

# INVESTIGACIONES ARQUEOLÓGICAS Y CONSERVACIÓN DE ARQUITECTURA MONUMENTAL EN LA REGIÓN DE HOLMUL

TEMPORADA 2016

*Francisco Estrada-Belli, Director*

Informe presentado al Departamento de Monumentos Prehispánicos y Coloniales  
Dirección General del Patrimonio Cultural y Natural  
Ministerio de Cultura y Deportes de Guatemala.



*Joya de jade del collar perteneciente al rey Kaanul Yuknoom Uti Chan, Edificio D, Grupo I, -619 d.C.*

Proyecto Arqueológico Holmul  
Tulane University  
Anthropology Department  
Middle American Research Institute  
6823 Saint Charles Ave  
New Orleans, LA 70118  
Email: [franciscoeb@gmail.com](mailto:franciscoeb@gmail.com)

GUATEMALA, MAYO 2017

## CONTENIDO

<b>Capítulo 1.</b> Resumen de la Temporada 2016 <i>Francisco Estrada-Belli</i>	1
<b>Capítulo 2.</b> Conservación del friso del Edificio A, Grupo II de Holmul. <i>Mariana Colín y Ma.Fernanda Escalante</i>	27
<b>Capítulo 3.</b> Excavaciones en el Edificio A, Grupo II de Holmul. <i>Mynor Adán Silvestre</i>	38
<b>Capítulo 4.</b> Excavación de la Estructura I, Grupo I de Holmul. <i>Berenice García Vásquez</i>	61
<b>Capítulo 5.</b> Mapeo de los sitios arqueológicos Witzna' y Las Ventanas. <i>Antolín Velázquez</i>	191
<b>Capítulo 6.</b> Trinchera de saqueo WT.L.38, Palacio, Witzna'. <i>Ángel Ajpop</i>	199
<b>Capítulo 7.</b> Excavación Estructura 9 de Witzna'. <i>Bhanny Girón</i>	203
<b>Capítulo 8.</b> Excavación en la Estructura 16 de Witzna'. <i>Mario Penados</i>	222
<b>Capítulo 9.</b> Excavaciones en la Estructura 8 de Witzna'. <i>William Castillo</i>	242
<b>Capítulo 10.</b> Excavación en la Estructura 2, Plaza Central de Witzna'. <i>Marta Perea</i>	253
<b>Capítulo 11.</b> Elaboración de dibujos del sitio arqueológico Holmul. <i>Weagli Casasola</i>	263
<b>Capítulo 12.</b> Pozo de sondeo Plaza II, Witzna'. <i>Yessica Tumax</i>	278
<b>Capítulo 13.</b> Excavación de Estructura 1, Plaza Este, Witzna'. <i>Josué Calvo</i>	293
ANEXO listado de piezas arqueológicas Holmul 2016	303

## ÍNDICE DE FIGURAS

### CAPÍTULO 1. Resumen de la Temporada 2016

Figura 1.1. Mapa en 3D de la topografía de la region de Holmul mostrando la ubicacion de Holmul, Witzna' y otros sitios menores.	2
Figura 1.2. Excavaciones en Holmul 2016.	3
Figura 1.3. Elementos inferiores de un mascarón monumental en la fachada sur (lado este) del montículo del Edificio A, Grupo II (Clásico Tardío ca. Siglo VII d.C.).	4
Figura 1.4. a,b,c,d y e. Contenido de la Tumba HOL.T.98.04 del Edificio A, Grupo II (Sector Oeste).	6
Figura 1.5. Perfil oeste de la Ruina X con localización de la arquitectura del edificio oeste y excavación HOL.T.100 y trinchera de saqueo.	7
Figura 1.6. Planta y perfiles del entierro HOL.T.100.02 en la Ruina X.	8
Figura 1.7. Objetos varios de la ofrenda del entierro HOL.T.100.03 en la Ruina X.	9
Figura 1.8. Algunas piezas cerámicas y conchas bivalvas de la ofrenda funeraria HOL.T.100.03 de la Ruina X.	10
Figura 1.9. Vista de uno de los cuencos Saxche-Naranja Policromo de estilo similar al del taller real del gobernante Ajnuumsaj de Naranjo.	11
Figura 1.10. Perfiles y plantas de las investigaciones de la trinchera de saqueo en la Estructura 2.	12
Figura 1.11. Planta de la subestructura de la Estructura 2 y otros rasgos detectados dentro de la trinchera de saqueo HOL.L.23.	12
Figura 1.12. Perfil general del Grupo I en su eje central, penetrando los Edificios A, B y D (Berenice García).	13
Figura 1.13. Planta del Cuarto 1 (sur) del Edificio D (fase penúltima) del Grupo I mostrando las puertas selladas y artefactos cerámicos y carbón distribuidos sobre el piso.	14
Figura 1.14. Objetos de ofrenda en el Cuarto 1 del Edificio D, Grupo I (penúltima fase).	14
Figura 1.15. Excavación de la banqueta del cuarto 2 del Edificio D, penúltima fase.	15
Figuras 1.16. a y b. Excavación de la cista dentro de la banqueta del Cuarto 2 del Edificio D en el momento del hallazgo y detalle de algunas piezas de jade de la ofrenda.	15
Figura 1.17. Planta de la cista dentro de la banqueta del Edificio D, Grupo I (penúltima fase).	16
Figura 1.18. Piezas cerámicas de la ofrenda funeraria dentro de la banqueta de Cuarto 2, Edificio D, Grupo I (penúltima fase).	16
Figura 1.19. Pendiente de jade de la ofrenda funeraria del Cuarto 1 Edificio D, Grupo I (penúltima fase).	17
Figura 1.20. Inscripción en el lado anverso del pendiente de jade localizado en el Cuarto 1 Edificio D, Grupo I (penúltima fase) con el nombre de un rey de Kaanul del año 619 d.C. (dibujo por Alexandre Tokovinine, foto J. López).	17
Figura 1.21. Mapa de Witzna' (Elaborado por Antolín Velásquez).	20
Figura 1.22. Mapa del área central de Witzna' mostrando trincheras y túneles de saque (rojo) y unidades investigadas (verde). Mapeo por A. Velásquez.	21
Figura 1.23. Mapa del área oeste de Witzna' mostrando ubicación de estelas y fragmentos de otros monumentos así como trincheras de saqueo investigadas y excavaciones (verde). Mapeo por A. Velásquez.	22
Figura 1.24. Estela 2 de Witzna' (a) con fecha de cuenta larga 9.17.15.0.0 abreviada con 5 ajaw 3 muwan en pA1 y pB1 y (b) cuenta larga 9.18.0.0.0. abreviada con 11 ajaw 18 mak de la Estela 1, y glifo emblema de <i>Bahlam Jol</i> ( <i>Cabeza de Jaguar</i> ) en posición pB3 en la Estela 2 de Witzna' y (c) el mismo signo en posición H9 en la Estela 22 de Naranjo (A. Tokovinine).	24

### CAPÍTULO 2 Conservación del friso del Edificio A, Grupo II de Holmul.

Figura 2.1. Crecimiento de raicillas y desprendimiento de enlucido. Foto: M. Colín.	28
Figuras 2.2 y 2.3. Galerías provocadas por termitas subterráneas. Fotos: M. Colín.	29
Figura 2.4. (Izquierda) estuco modelado con faltantes que dejan ver la piedra expuesta.	31
Figura 2.5. (Derecha) misma sección después de proceso de resane y reposición.	31
Figura 2.6. (Izquierda) desprendimiento de la mitad inferior.	31
Figura 2.7. (Derecha) misma sección después de procesos, se adhirieron fragmentos y se reconstruyó una parte. Fotos: M. Colín.	31
Figura 2.8. (Izquierda) detalle de rodilla durante proceso con enlucido grueso.	31

Figura 2.9. (Derecha) resultado después de resanes. Fotos. M. Colín.	31
Figura 2.10. Imagen que corresponde a “pO”. Foto. M. Colín.	32
Figura 2.11. Glifo “pP”. Foto. M. Colín.	32
Figura 2.12. (Izquierda) sección de “pT” y “pU”. Foto. M. Colín. Figura	32
2.13. (Derecha) fragmento del texto principal. Dibujo: A. Tokovinine, Tomado de Estrada-Belli, 2013.	32
Figura 2.14. Durante el proceso de reintegración de color (misma sección que la Figura 2.10).	33
Figura 2.15. (Izquierda). Detalle antes de procesos.	33
Figura 2.16. (Derecha) misma sección después de tratamientos. Fotos: M. Colín.	33
Figura 2.17. (Izquierda) detalle de serpiente, lado noroeste al inicio de procesos.	34
Figura 2.18. (Derecha) mismo relieve después de tratamientos. Fotos: M. Colín.	34
Figura 2.19. (Izquierda) panel noroeste con anciano, antes de procesos.	34
Figura 2.20. (Derecha) mismo panel después de tratamientos, aunque hay procesos de restauración por realizar en la parte superior. Fotos: M. Colín.	34
Figura 2.21. Esquema que muestra las áreas que fueron intervenidas en esta temporada. (Dibujo de A. Tokovinine) (Esquema: M. Colín).	35

### CAPÍTULO 3. Excavaciones en el Edificio A, Grupo II de Holmul.

Figura 3.1. Mascarón del cual se puede apreciar la nariz y al lado derecho posiblemente un ojo (Foto de M. Silvestre).	38
Figura 3.2. Mascarón expuesto en el segundo cuerpo del Edificio A (Foto de M. Silvestre).	39
Figura 3.3. Perfil oeste de mascarón (Dibujo de M. Silvestre).	39
Figura 3.4. Planta de mascarón y escalinata (Dibujo de M. Silvestre).	40
Figura 3.5. Perfil de escalinata (Dibujo de M. Silvestre).	40
Figura 3.7. Elevación frontal de mascarón y escalinata (Dibujo de M. Silvestre).	41
Figura 3.6. Muro de la escalinata vista hacia el oeste del Edificio A, del Grupo II (Foto de M. Silvestre).	41
Figura 3.8. Vista hacia el oeste de las gradas que conforman la escalinata del Edificio A del Grupo II.	42
Figura 3.9. Inicio de la escalinata en el lado oeste del Edificio A (Foto de M. Silvestre).	42
Figura 3.10. Perfil este de la escalinata de acceso al Edificio A (Dibujo de M. Silvestre).	43
Figura 3.11. Muro norte que forma parte del Edificio C, del Grupo II (Foto de M. Silvestre).	44
Figura 3.12. Piso que cubre la plataforma basal del Grupo II (Foto de M. Silvestre).	45
Figura 3.13. Vista hacia el este del mascarón ubicado en la parte oeste, primer cuerpo del Edificio A, nótese al centro el alineamiento que sería la nariz del zoomorfo (Foto de M. Silvestre).	45
Figura 3.14. Vista de planta de la figura zoomorfa, lado oeste del Edificio A, Grupo II (Foto de M. Silvestre).	46
Figura 3.15. Pisos descubiertos que coinciden con trinchera de saqueo (Foto de M. Silvestre).	47
Figura 3.16. Muro que es parte de la estructura expuesta en el Edificio D (Foto de M. Silvestre).	48
Figura 3.17. Vista del perfil oeste HOL.T.90 y HOL.T.95 (Dibujo de M. Silvestre).	49
Figura 3.18. Vista frontal del Edificio D, Grupo II (Dibujo de M. Silvestre).	49
Figura 3.19. Vista de perfil, HOL.T.90 (Dibujo de M. Silvestre).	50
Figura 3.20. Piso HOL.T.95.02 (Foto de M. Silvestre).	51
Figura 3.21. Vista de perfil HOL.T.95 (Dibujo de M. Silvestre).	52
Figura 3.22. Vista de planta HOL.T.90 y HOL.T.95 (Dibujo de M. Silvestre).	53
Figura 3.23. Muro localizado bajo el apisonado, lado sur (Foto de M. Silvestre).	54
Figura 3.24. Contenido de la tumba HOL.T.98.04.09 (Foto de M. Silvestre).	54
Figura 3.25 a. Cuenco HOL.T.98.04.02.01 y Figura 3.25 b Cuenco HOL.T.98.04.02.02 (Foto de M. Silvestre).	56
Figura 3.26 a. Cuenco HOL.T.98.04.02.03 y Figura 3.26 b. Plato HOL.T.98.04.02.04 (Foto de M. Silvestre).	56
Figura 3.27 a. Piedra verde HOL.T.98.04.06.01 y Figura 3.27 b. Cuenco HOL.T.98.04.02.05 (Foto de M. Silvestre).	56
Figura 3.28. Vista de perfil, lado norte de la tumba HOL.98.09.01 (Dibujo de M. Silvestre).	57
Figura 3.29 a. Perfil este de cámara funeraria HOL.T.98.09.01 y Figura 3.29 b. Perfil sur de cámara funeraria (Dibujos de M. Silvestre).	57
Figura 3.30. Planta con cuadrantes de tumba HOL.T.98 (Dibujo de M. Silvestre).	58
Figura 3.31. Planta, pozo, túneles y tumba HOL.T.98.09.01 (Dibujo de M. Silvestre).	59
Figura 3.32. Equipo de trabajadores en el Grupo II, Edificio A de Holmul (Foto de M. Silvestre).	60

#### CAPÍTULO 4. Excavación de la Estructura 1, Grupo I de Holmul.

Figura 4.1. Piso de estuco degradado del pozo (HOL.T.88.03) y capa de derrumbe en el perfil norte (HOL.T.88.02).	62
Figura 4.2. Representación esquemática del piso de estuco HOL.T.88.03.	62
Figura 4.3. Piedras en sillares de derrumbe localizadas en el interior de la capa de derrumbe HOL.T.88.02.	63
Figura 4.4. Dibujo de los contextos HOL.T.88.02 y HOL.T.88.03.	64
Figura 4.5. Representación esquemática en planta de los contextos HOL.T.88.02-05, con señalamiento del corte A-A'.	65
Figura 4.6. Fotografías del contexto HOL.T.88.05 nivel superior (Izquierda) y nivel inferior (derecha).	66
Figura 4.7. Dibujo del corte A-A' de los contextos HOL.T.88.02-05 (escalinatas de acceso al vano principal).	67
Figura 4.8. Matriz de Harris de la unidad de excavación HOL.T.88.	67
Figura 4.9. Piso del cuarto abovedado A (HOL.T.88.07) cubierto con material de derrumbe del muro norte.	68
Figura 4.10. Piso del cuarto abovedado A liberado.	69
Figura 4.11a. Piso del cuarto abovedado B (HOL.T.88.06) cubierto con material de derrumbe HOL.T.88.23 del muro norte.	70
Figura 4.11b. Piso del cuarto abovedado B (HOL.T.88.06) liberado.	71
Figura 4.12. Hiladas del recubrimiento del muro norte HOL.T.88.24 descubierto durante la extracción del contexto HOL.T.88.23.	71
Figura 4.13. Piso de la crujía B HOL.T.88.06 liberado e impronta del volumen del material ya extraído durante la extracción del contexto HOL.T.88.23.	72
Figura 4.14. Ubicación del piso de estuco entre los cuartos abovedados A y B (HOL.T.88.08).	72
Figura 4.15. Trazado del túnel de excavación HOL.T.88.25 en la sección norte entre los cuartos A y B.	73
Figura 4.16. Túnel entre el espacio que comunica los cuartos abovedados A y B.	74
Figura 4.17. Interior del túnel de exploración HO.T.88.25 y el piso de estuco HOL.T.88.10.	75
Figura 4.18. Horadación en el centro del túnel excavado (HOL.T.88.09) con tiestos (HOL.T.88.09.01) y una piedra en su interior.	76
Figura 4.19. Esquema en planta del piso de estuco de los cuartos A y B de la Estructura 1 (HOL.T.88.03 y HOL.T.88.06-10).	77
Figura 4.20. Muro colapsado y espacio entre los cuartos A y B en fase de tapiado incipiente.	78
Figura 4.21. Matriz de Harris de la unidad de excavación HOL.T.88 en la sección norte.	79
Figura 4.22. Segundo piso de estuco (HOL.T.88.12) del vano de acceso principal de las crujías A y B.	80
Figura 4.23. Tercer piso de estuco (HOL.T.88.14) con bloques de piedra grande en su superficie.	81
Figura 4.24. Cuarto piso de estuco al interior del vano de acceso principal entre las crujías A y B.	81
Figura 4.25. Quinto piso de estuco (HOL.T.88.17) con bloques de piedras con enlucido estucado en su superficie.	82
Figura 4.26. Ubicación de pozo de sondeo al interior del piso HOL.T.88.03 y ubicación del corte A-A.	83
Figura 4.27. Dibujo del corte A-A' del sondeo del piso HOL.T.88.03.	84
Figura 4.28. Matriz de Harris de la unidad de excavación HOL.T.88 en la sección sur.	85
Figura 4.29. Matriz de Harris de la unidad de excavación HOL.T.88 en todas las secciones.	86
Figura 4.30. Área de la unidad HOL.T.92 antes de la excavación vista desde el norte.	87
Figura 4.31. Vista norte del pozo de exploración HOL.T.92.	88
Figura 4.32. Alzado norte de la exploración número HOL.T.92.	89
Figura 4.33. Dibujo en planta de la unidad de excavación 92.	90
Figura 4.34. Dibujo del corte A-A' del contexto HOL.T.92.01-05 y contexto HOL.T.88 comunicados entre sí.	91
Figura 4.35. Matriz de Harris de la unidad de excavación HOL.T.92.	92
Figura 4.36. Pozo de exploración es HOL.T.91 antes de la excavación.	93
Figura 4.37. Conglomerado del interior del pozo HOL.T.92	94
Figura 4.38. Dibujo en planta del contexto HOL.T.92, exponiendo el conglomerado y el apisonado de tierra con reminiscencias de estuco.	95
Figura 4.39. Vista sur del conglomerado y escalinatas al interior del contexto HOL.T.91.	96
Figura 4.40. Alzado sur del conglomerado y escalinatas al interior del contexto HOL.T.91.	97
Figura 4.41. Matriz de Harris del contexto HOL.T.91	98

Figura 4.42. Dibujo en planta del conglomerado y escalinatas al interior del contexto HOL.T.91, con ubicación del corte A-A´.	99
Figura 4.43. Perfil oeste del corte A-A´ del pozo de exploración HOL.T.91	100
Figura 4.44. Ubicación del área que abarca el pozo HOL.T.94 antes de la excavación arqueológica.	101
Figura 4.45. Vista sur del contexto HOL.T.94.03	102
Figura 4.46. Dibujo en planta de la sección de escalinatas liberadas del contexto HOL.T.94 y ubicación del corte A-A´.	103
Figura 4.47. Perfil oeste del corte A-A´ de la sección de las escalinatas descubiertas en el pozo HOL.T.94.	104
Figura 4.48. Matriz de Harris de la unidad de excavación HOL.T.94.	105
Figura 4.49. Ubicación del pozo HOL.T.96 antes de la excavación arqueológica.	106
Figura 4.50. Vista superior de las escalinatas del pozo HOL.T.96.03 con un cubrimiento de argamasa amorfa.	107
Figura 4.51. Exploración del contexto HOL.T.96.04.	108
Figura 4.52. Vista frontal sur del contexto HOL.T.96.03 con remanentes de estuco en su acabado.	108
Figura 4.53. Dibujo en planta de los contextos HOL.T.96.04 y HOL.T.96.03.	109
Figura 4.54. Vista superior del contexto HOL.T.96.04 liberado.	110
Figura 4.55. Perfil oeste del corte A-A´ de la unidad de excavación HOL.T.96.	110
Figura 4.56. Dibujo en planta de los contextos HOL.T.96.03, HOL.T.96.04 Y HOL.T.94.03.	111
Figura 4.57. Perfil oeste del corte A-A´ de los contextos HOL.T.96.03, HOL.T.96.04 y HOL.T.94.03.	112
Figura 4.58. Matriz de Harris del contexto HOL.T.96. y HOL.T.94.	112
Figura 4.59. Perfil este de los contexto HOL.T.88, HOL.T.91, HOL.T.92, HOL.T.94 y HOL.T.96.	113
Figura 4.60. Talud del contexto HOL.T.97.03 irrumpido en la fachada sur por un pozo de saqueo.	114
Figura 4.61. Gradas HOL.T.97.04 irrumpidas al extremo este.	114
Figura 4.62. Vista en perspectiva de las escalinatas desde el extremo este, se aprecia el primer escalón que continúa por debajo de los límites del túnel.	115
Figura 4.63. Dibujo en planta de los contextos HOL.T.97.01-07.	115
Figura 4.64. Comienzo de la exploración al interior de las escalinatas HOL.T.97.04.	116
Figura 4.65. Fachada norte de las escalinatas y talud este; ubicación del túnel de exploración HOL.T.97.04.	116
Figura 4.66. Fachada este del muro oeste de la crujía interior 1 de las escalinatas HOL.T.97.04.	117
Figura 4.67. Extremo este de la cuarto 1 irrumpido, dentro de las escalinatas HOL.T.97.04.	118
Figura 4.68. Muros norte (HOL.T.97.21) y muro este (HOL.T.97.18) del cuarto 2 al interior de las escalinatas HOL.T.97.04.	118
Figura 4.69. Muro oeste (HOL.T.97.16) y muro norte (HOL.T.97.21) del cuarto 2, contexto HOL.T.97.06.	119
Figura 4.70. Dibujos de las fachadas de los cuartos 1 y 2 (HOL.T.97.05 Y HOL.T.97.06).	119
Figura 4.71. Ubicación del pozo de exploración HOL.T.97 al exterior de la Estructura 2.	120
Figura 4.72. Contexto número HOL.T.97.11 localizado al este de la Estructura 2.	120
Figura 4.73. Túnel de exploración al interior del pozo de excavación del contexto HOL.T.97.10.	121
Figura 4.74. Dibujo en planta de los contextos HOL.T.97.01-22 y ubicación de los cuartos 1 y 2 al interior.	122
Figura 4.75. Dibujo del perfil norte del pozo HOL.T.97.10-13 y fachada norte de los contextos HOL.T.97.03.04.	123
Figura 4.76. Matriz de Harris del contexto HOL.T.97.	123
Figura 4.77. Inicio de la exploración de las escalinatas este, contexto HOL.T.97.07.	124
Figura 4.78. Exploración del interior del contexto HOL.T.97.08. Extremo sur.	125
Figura 4.79. Límites de la exploración del contexto HOL.T.97.08 al extremo este.	125
Figura 4.80. Aglomeración de material constructivo del contexto HOL.T.97.09 que tapia la continuación del contexto HOL.T.97.07.	126
Figura 4.81. Fachada norte las escalinatas oeste HOL.T.97.07 y la sección oeste de este mismo segmento tapiado.	126
Figura 4.82. Dibujo en planta de las escalinatas oeste HOL.T.97.07; Excavación interior y segmento de los escalones tapiado por un conglomerado.	127
Figura 4.83. Matriz de Harris del contexto HOL.T.97.	127
Figura 4.84. Ubicación del pozo de saqueo HOL.L.23 limpio.	128
Figura 4.85. Ubicación del contexto HOL.L.23.07.	129

Figura 4.86. Ubicación y muro irrumpido del saqueo HOL.L.23.	130
Figura 4.87. Dibujo en planta del pozo de saqueo HOL.L.23.	130
Figura 4.88. Matriz de Harris del pozo de saqueo HOL.L.23.	131
Figura 4.89. Dibujo en planta general de la estructura 2, con pozo de saqueo HOL.L.23 y contexto HOL.T.97.	131
Figura 4.90. Dibujo del perfil sur (corte A-A´) de la Estructura 2.	132
Figura 4.91. Dibujo del perfil oeste (cortes A-A´ y B-B´) de la Estructura 2.	132
Figura 4.92. Piso de estuco con número de contexto HOL.T.100.04 al norte y relleno contemporáneo proveniente de la primera excavación HOL.T.100.02.	133
Figura 4.93. Límite superior del contexto HOL.T.100.03 sin alterar durante la primera excavación.	134
Figura 4.94. Dibujo en planta del contexto HOL.T.100 de la Ruina X.	135
Figura 4.95. Perfil Oeste de la Ruina X.	136
Figura 4.96. Dibujo en planta y cortes A-A´ y B-B´ de la ofrenda del depósito ritual del contexto HOL.T.100.	137
Figura 4.97. Límite norte de la ofrenda HOL.T.100.03, con una agrupación de 18 excéntricos y elementos malacológicos.	138
Figura 4.98. Artefactos ofrendados en la sección norte del depósito ritual HOL.T.100.03.	139
Figura 4.99. Parte central del depósito ritual, en donde se encontraron 5 artefactos cerámicos y restos óseos.	140
Figura 4.100. Artefactos cerámicos de la sección norte enumerados de izquierda a derecha de arriba hacia abajo (HOL.T.100.03.02.01-05) y la concha del genero <i>Spondylus</i> asociada a los fragmentos de cráneo de esta misma sección (HOL.T.100.03.10.01).	141
Figura 4.101. Vasijas de la sección sur de la cista y restos óseos degradados (HOL.T.100.03.02.06-09 y HOL.T.100.03.09.01).	142
Figura 4.101. Vasijas de la sección sur de la cista y restos óseos degradados (HOL.T.100.03.02.06-09 y HOL.T.100.03.09.01).	143
Figura 4.103. El pozo de sondeo de la Ruina X (HOL.T.100.) al fin de la excavación.	144
Figura 4.104. Matriz de Harris del contexto HOL.T.100 de la Ruina X.	144
Figura 4.105. Comienzo del pozo de excavación con número de contexto HOL.T.93.	145
Figura 4.106. Ubicación del pozo HOL.T.93 en la ladera sur de Edificio D.	146
Figura 4.107. Muro (HOL.T.93.35) de la sección norte del contexto HOL.T.93.04, con la horadación (HOL.T.93.36) en la sección intermedia y saliente en forma de guardapolvos.	147
Figura 4.108. La unión del muro norte (HOL.T.93.32) y del muro sur (HOL.T.93.35) del contexto HOL.T.93.04.	147
Figura 4.109. Muro vertical (HOL.T.93.32) sobre una base saliente (HOL.T.93.29) que tiene un efecto de columna con horadación al centro (HOL.T.93.33).	148
Figura 4.110. A la izquierda se muestra un vano de acceso tapiado por conglomerado de argamasa y piedra burda (HOL.T.93.05).	149
Figura 4.111. Muro oeste (HOL.T.93.30) y la horadación rectangular en la sección intermedia del paramento (HOL.T.93.31).	149
Figura 4.112. Nivelación vertical del relleno del extremo oeste del contexto HOL.T.93.04.	150
Figura 4.113. Isométrico del elemento arquitectónico dentro del contexto HOL.T.93.04 vista sureste.	151
Figura 4.114. Dibujos de las fachadas sur y este del elemento arquitectónico con números de contexto asignados.	151
Figura 4.115. Dibujo en planta del túnel HOL.T.93 de la estructura D con la ubicación del corte A-A´.	152
Figura 4.116. Perfiles este y oeste (cortes A-A´ y A´-A) de la excavación HOL.T.93 de la estructura D.	153
Figura 4.117. Vista en planta del contexto HOL.T.93.06 desde el extremo oeste, fotografía tomada por el Dr. Francisco Estrada-Belli, editada por Berenice García Vázquez.	154
Figura 4.118. Representaciones esquemáticas de los materiales arqueológicos encontrados en el contexto HOL.T.93.06, en el nivel superior con tiestos y el nivel inferior sin tiestos, con la ubicación de los artefactos arqueológicos completos, concentraciones de carbón y restos orgánicos.	155
Figura 4.118. Contexto HOL.T.93.06 en los cuadrantes del extremo este después de ser liberado de los fragmentos de estuco provenientes del colapso de la bóveda.	156
Figura 4.119. En el sentido de las manecillas del reloj: el registro de los artefactos de piedra verde y las vasijas 3 y 4 <i>in situ</i> , y el muestreo de carbón y piso por cuadrantes del contexto HOL.T.93.06.	157

Figura 4.120. Todos los cuadrantes del contexto HOL.T.93.06 liberados del derrumbe de estuco, en esta fotografía se aprecia aumento de grosor de material aglomerado al extremo este.	158
Figura 4.121. El siguiente contexto HOL.T.93.07 liberado con incidencia al extremo este del Cuarto 1.	158
Figura 4.122. De izquierda a derecha el cuarto 1 con restos de ceniza y sedimento en la superficie; piso blanco de estuco liberado HOL.T.93.08.	159
Figura 4.123. Piso de estuco blanco HOL.T.93.08 cerca de la horadación de los cuadrantes A2 y B2.	159
Figura 4.124. Fotografía de los artefactos HOL.T.93.06.02.04, HOL.T.93.06.02.01, HOL.T.93.06.02.02 Y HOL.T.93.06.02.03, de arriba hacia debajo de izquierda a derecha.	160
Figura 4.125. Artefactos HOL.T.93.06.02.06.01 y HOL.T.93.06.06.01-07 de arriba hacia debajo de izquierda a derecha.	161
Figura 4.126. Cerámica policroma del muestreo aleatorio del cuadrante E2 (HOL.T.93.06.E2).	162
Figura 4.127. Muro norte (HOL.T.93.43) con el vano de acceso tapiado por un conglomerado de argamasa y piedras de relleno (HOL.T.93.09).	163
Figura 4.128. Muro norte (HOL.T.93.44) con el vano de acceso tapiado por un conglomerado de argamasa y piedras de relleno (HOL.T.93.41).	163
Figura 4.129. Muro oeste (HOL.T.93.45) estucado con bóveda en forma de “botella” y la intrusión de flora y fauna al extremo norte del intradós.	164
Figura 4.130. Muro este (HOL.T.93.42) estucado con bóveda en forma de “botella”.	164
Figura 4.131. Representación esquemática de los muros, vanos de accesos y clausuras del cuarto 1 (HOL.T.93.06).	165
Figura 4.132. Dibujo en planta del túnel de la estructura D incluyendo el contexto HOL.T.93.06 y el corte A-A’.	166
Figura 4.133. Perfiles este y oeste (cortes A-A’ y A’-A) de la excavación HOL.T.93 de la estructura D, incluyendo el cuarto 1.	167
Figura 4.134. Isométrico representativo de los elementos arqueológicos dentro del túnel HOL.T.93 con muros y pisos transparentes en apreciación los componentes arquitectónicos del interior del cuarto 1 y representación del entierro inferior.	168
Figura 4.135. Túnel de exploración del contexto HOL.T.93.09, al extremo inferior oeste del vano de acceso.	169
Figura 4.136. Excavación sobre el elemento arquitectónico HOL.T.93.10, removiendo el relleno burdo (HOL.T.93.11) se halló otro muro (HOL.T.93.46) estucado negro a 1.4 m al norte.	169
Figura 4.138. De izquierda a derecha se muestra la esquina sureste y la esquina noroeste del cuarto 2 cubierto por una aglomeración de piedra en la parte inferior (HOL.T.93.11).	170
Figura 4.139. Fotografía de la banqueta HOL.T.93.10, vista desde el oeste del cuarto 2.	171
Figura 4.140. Impronta del corte de la banqueta HOL.T.93.20 vista desde el extremo este.	171
Figura 4.141. Representación esquemática de la planta del túnel HOL.T.93, el nivel de banqueta (HOL.T.93.10) del cuarto 2.	172
Figura 4.142. Dibujo en 3D del interior de la unidad de excavación HOL.T.93 de la estructura D, con muros transparentes para la apreciación de las formas interiores de las clausuras de los vanos de acceso, el individuo enterrado por debajo del piso del cuarto 1 y la banqueta del cuarto 2.	173
Figura 4.143. Excavación de la banqueta del cuarto 2 a .18 m de profundidad HOL.T.93.12.	174
Figura 4.144. Dibujo en planta de la banqueta del cuarto 2 de la unidad de excavación HOL.T.93 de la estructura D, interior del contexto HOL.T.93.12.	174
Figura 4.145. Cama de lascas de sílex al interior de la intrusión de la banqueta del cuarto 2 es HOL.T.93.22.04.01.	175
Figura 4.146. Cama de lascas de sílex (HOL.T.93.24) al interior de la banqueta del cuarto 2 de la unidad de excavación HOL.T.93 de la estructura D.	176
Figura 4.147. Sedimento conglomerado de piedras y tierra con afrentas de cenizas y carbón disperso HOL.T.93.25.	176
Figura 4.148. Dibujo en planta del contexto HOL.T.93.26 conformado por piedras gran formato acomodadas para clausurar el siguiente contexto.	177
Figura 4.149. Deposito ritual de carácter funerario (HOL.T.93.27) en el interior de la banqueta del cuarto 2.	178
Figura 4.150. Dibujo en planta del depósito ritual de carácter funerario (HOL.T.93.27) en el interior de la banqueta del cuarto 2.	178
Figura 4.151. Foto de 2 orejeras y dos pendientes de jade, al extremo superior derecho se encuentran el pendiente en bajo relieve con la presentación de un personaje ataviado.	179

Figura 4.152. Foto de los 5 artefactos malacológicos, al extremo izquierdo una concha del género <i>Spondylus</i> , al extremo derecho 4 caracoles (HOL.T.93.27.10.01-04) del género <i>Pachychilus</i> encontrados al interior del vaso anaranjado de pared alta (HOL.T.93.27.02.01).	180
Figura 4.153. Foto de los 5 artefactos cerámicos encontrados en el depósito ritual de carácter funerario, de izquierda a derecha y de arriba hacia abajo, dos vasos cilíndricos con acanaladuras incisas, un plato recto divergente policromo trípode, un plato divergente de pared baja y un plato recto divergente policromo trípode (HOL.T.93.27.02.01-05).	180
Figura 4.154. Dibujo en planta de los contextos HOL.T.93.27, con el entierro HOL.T.93.27.09.01 y el resto de los artefactos de jade HOL.T.93.27.06.01-03.	181
Figura 4.155. Restos óseos y artefactos de jade al interior del depósito ritual de carácter funerario del contexto HOLT.93.27 al interior de la banqueta del cuarto 2.	181
Figura 4.156. Planta de los cuartos 1 y 2 del túnel de exploración HOL.T.93 con ubicación de los cortes A-A´.	182
Figura 4.157. Perfiles este y oeste (cortes A-A´ y A´-A) de la excavación HOL.T.93 de la estructura D, incluyendo el cuarto 1 y cuarto 2.	183
Figura 4.158. El contexto HOLT.93.29 de la banqueta del cuarto 2.	184
Figura 4.159. Contexto HOL.T.93.31 compuesto de bloques de piedras gran formato y fin de la excavación.	184
Figura 4.160. Dibujo en planta del contexto HOL.T.93.31 compuesto de bloques de piedras gran formato y fin de la excavación.	185
Figura 4.161. Muro HOL.T.93.47 cubierto de humo sobre la cubierta de estuco y los sillares expuestos.	185
Figura 4.162. Esquina sureste del cuarto 2 del túnel de exploración HOL.T.93 de la estructura D.	186
Figura 4.163. Fachadas de los muros del cuarto 2 (HOL.T.93.46-49).	187
Figura 4.164. Matriz de Harris del contexto HOL.T.93.	188
Figura 4.165. Vista isométrica suroeste y vista isométrica sureste 3d con muros en transparencia de los cuartos 1 y 2 para apreciación de los elementos arquitectónicos y arqueológicos de la unidad de excavación HOL.T.93 de la estructura D.	189
Figuras 4.166. Perfil este del eje central del Grupo I, incluyendo las Estructura D y registro de las excavaciones HOL.T.88, HOL.T.91, HOL.T.92, HOL.T.94, HOL.T.96, y HOL.T.93 en la escalinata del Grupo I.	190
<b>CAPÍTULO 5. Mapeo de los sitios arqueológicos Witzna´ y Las Ventanas.</b>	
Figura 5.1. Imagen LANDSAT ETM+ (Enhanced Thematic Mapper Plus) 2001 sobre la región de Holmul y el área limítrofe Guatemala-Belice. Imagen A. Velásquez.	192
Figura 5.2. Mapa del núcleo principal de Witzna´. Imagen A. Velásquez.	194
Figura 5.3. Mapa del núcleo principal y de las áreas residenciales de Witzna´. Imagen A. Velásquez.	195
Figura 5.4. Gráfica de cálculo de áreas de bases de las estructuras generada por ArcGIS 10. Imagen. A. Velásquez.	196
Figura 5.5. Mapa del centro principal Las Ventanas. Imagen. A. Velásquez.	197
<b>CAPÍTULO 6. Trinchera de saqueo WT.L.38, Palacio, Witzna´.</b>	
Figura 6.1. Perfil Sur de WIT.L.01 (Dibujo de A. Castillo).	201
Figura 6.2. Matriz de Harris de WIT.L.01. La Matriz de Harris es un diagrama de las relaciones estratigráficas entre todos los tipos de contextos de una excavación (Harris 1998).	202
<b>CAPÍTULO 7. Excavación Estructura 9 de Witzna´.</b>	
Figura 7.1. Contexto WIT.L.03.05, Trinchera hecha por los saqueadores en la Estructura 9, entrando desde el rostro Oeste hacia el Este (Foto de Bhanny Girón).	203
Figura 7.2. Dibujo de Perfil Sur, de la Estructura 9, con los contextos WIT.L.03.01.02.03.04.05.06. Pared Este, Oeste y piso, parte de la bóveda. Escala 1:1 (Dibujo de Bhanny Girón).	204
Figura 3. WIT.L.03.07.10.01. Concha en forma de Pendiente, con diseño de paisaje. (Foto de Bhanny Girón).	204
Figura 7.4. WIT.L.03.07.05.01.02.03, fragmentos de Obsidiana (Foto de Bhanny Girón).	205
Figura 7.5. WIT.L.03.08.04.01.02.03, tres pedernales Bifaciales (Foto de Bhanny Girón).	205
Figura 7.6. Foto de la Pared Oeste contexto WIT.L.03.09, se observan piedras expuestas debido a que se ha caído la delgada capa de estuco (Foto de Bhanny Girón).	206

Figura 7.7. Foto de la Pared Sur contexto WIT.L.03.10. Obsérvese la conservación del estuco en la pared y el techo abovedado, casi en el centro la ventana (Foto de Bhanny Girón).	206
Figura 7.8. Pared Este contexto WIT.L.03.11, donde está la escalera fue mutilada la pared (Foto de Bhanny Girón).	207
Figura 7.9. Puerta este, contexto WIT.L.03.13, tapiada con relleno (Foto de Bhanny Girón).	207
Figura 7.10. Planta del cuarto de la Estructura 9, con los contextos WIT.L.03.08.09.10.11.12.13.14.15, Muestras de piso 01,02 y 03, y las secciones quemadas del piso. Escala 1:1 (Dibujo de Bhanny Girón).	208
Figura 7.11. Perfil Este del cuarto, Estructura 9, contextos WIT.L.03.11.12.13.14.15.16.17.18.19.20.21, techo Abovedado, se puede observar la mutilación en la pared. Escala 1:1 (Dibujo de Bhanny Girón).	209
Figura 7.12. Perfil Pared Oeste del cuarto, Estructura 9, contextos WIT.L.03.09.15.16.17.18.19.20.21.22, techo abovedado y el muro de contención (Dibujo de Bhanny Girón).	209
Figura 7.13. Foto del Cuarto de la Estructura 9, al Norte se observa parte del relleno que se dejó, el piso rajado y granulado, y el relleno que cubre la Puerta Central-Este (Foto de Bhanny Girón).	210
Figura 7.14. Matriz de Harris del WIT.L.03 (Elaborado por Bhanny Girón).	211
Figura 7.15. Foto de 2 pedernales bifaciales, WIT.L.05.04.04.01.02 (Foto de Bhanny Girón).	212
Figura 7.16. Fragmento de obsidiana WIT.L.05.06.05.01 (Foto de Bhanny Girón).	212
Figura 7.17. Dibujo del Perfil Oeste, Estructura 8, esquina Noreste, con los contextos WIT.L.05.01.02.03.04.05.06.07. Escala 1:1 (Dibujo de Bhanny Girón).	213
Figura 7.18. Dibujo del Perfil Sur, Estructura 8, esquina Noreste, contextos WIT.L.05.01.02.03.04.05.06.07. Escala 1:1 (Dibujo de Bhanny Girón).	213
Figura 7.19. Matriz de Harris Estructura 8 del WIT.L.05 (Elaborado por Bhanny Girón).	214
Figura 7.20. Contexto WIT.L.14.06, relleno compuesto de pedrín, piedras de fuego y caliza, destrucción hecha por los saqueadores donde intentaron entrar y se detuvieron (Foto de Bhanny Girón).	215
Figura 7.21. Dibujo del Perfil Norte, Estructura 25 de Este a Oeste tiene 16.50 m, contextos WIT.L.14.01.02.03.04.05.06.07.08.09.10.11.12. Se observa el agujero hecho en la pared norte del cuarto de la tumba WIT.L.14.12. Escala 1:1 (Dibujo de Bhanny Girón).	216
Figura 7.22. Perfil de la pared oeste, Estructura 25, cuarto de la tumba, contexto WIT.L.14.12. Al igual que la pared norte, presenta un agujero de saqueo. Escala 1:1 (Dibujo de Bhanny Girón).	217
Figura 7.23. Matriz de Harris de la Estructura 25, WIT.L.14 (Elaborado por Bhanny Girón).	218
Figura 7.24. Contexto WIT.T.10.01, humus (Foto de Bhanny Girón).	218
Figura 7.25. Pedernal bifacial y navajas de pedernal WIT.T.10.02.04.01.02.03 (Foto de Bhanny Girón).	219
Figura 7.26. Tres fragmentos de obsidiana WIT.T.10.03.05.01.02.03 (Foto de Bhanny Girón).	219
Figura 7.27. Fragmento de figurilla zoomorfa, parece ser un ave WIT.T.10.03.03.01 (Foto de Bhanny Girón).	219
Figura 7.28. Fragmento de figurilla, parece ser parte de una oreja, WIT.T.10.04.03.01 (Foto de Bhanny Girón).	220
Figura 7.29. Perfil Sur de la excavación WIT.T.10 con los contextos WIT.T.10.01.02.03.04.05 Escala 1:1 (Dibujo de Bhanny Girón).	220
Figura 7.30. Perfil oeste de la excavación WIT.T.10, con los contextos WIT.T.10.01.02.03.04.05. Escala 1:1 (Dibujo de Bhanny Girón).	221
Figura 7.31. Matriz de Harris WIT.T.10 (Elaborado por Bhanny Girón).	221

## CAPÍTULO 8. Excavación en la Estructura 16 de Witzna’.

Figura 8.1. Muro de contención de la fase III, WIT. L.09.03, su orientación es norte-sur.	222
Figura 8.2. Muro que corresponde a la fase II con orientación de 8º noroeste, posiblemente forma parte de un cuarto, WIT.L.09.06.	223
Figura 8.3. Este relleno está compuesto de piedra de fuego y tierra gris apisonada posiblemente de nivelación antes de la roca madre, WIT.L.09.11 y WIT.L.09.12.	223
Figura 8.4. Planta de trinchera de saqueo en donde se muestra la orientación de la misma, el inicio del muro exterior (lado norte), muro interior (lado sur) y el saqueo vertical (lado oeste).	224
Figura 8.5. El perfil de la trinchera corresponde a WIT.L.09, perfil norte, presenta las características constructivas del montículo.	225
Figura 8.6. Perfil sur de la trinchera WIT.L.09 en la cual se observa un colapso, un muro exterior, relleno de piedra de fuego, piso de la fase III, un muro, piso de la fase II, piso de la fase I, relleno de piedra de fuego y relleno de tierra gris apisonada y el saqueo.	225

Figura 8.7. Excavación WIT.L.09, Estructura 16. Matriz de Harris.	226
Figura 8.8. La planta corresponde a los contextos WIT.T.03.02 y WIT. T.03.03, representa las escalinatas erosionadas y el piso sin estuco.	227
Figura 8.9. Este piso presenta estuco en el lado oeste y resanes en el lado este.	228
Figura 8.10. Sondeo en el piso y los contextos registrados antes de llegar a roca madre.	228
Figura 8.11. Perfil de las escalinatas ubicadas en el lado sur de la plaza de Witzna'.	229
Figura 8.12. El perfil corresponde desde el área de pisos hasta roca madre.	229
Figura 8.13. Excavación WIT.T.03, Plaza Central, Matriz de Harris.	231
Figura 8.14. Descansos de la Estructura 32, WIT.06.03.	232
Figura 8.15. Piso de la fase I, esta parte del piso presenta resanes y debajo de los dos descansos el piso tiene estuco bien conservado, WIT.T.06.07.	233
Figura 8.16. La figura presenta el muro de contención que se encuentra justamente donde está mutilado el piso estucado de la fase I, WIT.T.06.10.	233
Figura 8.17. Roca madre de la excavación WIT.T.06 a una profundidad de 2.88 m, contexto WIT.T.06.25.	234
Figura 8.18. Planta de excavación WIT.T.06 Estructura 32.	235
Figura 8.19. Perfil sur de la excavación WIT.T.06, realizada en la Estructura 32.	236
Figura 8.20. Excavación WIT.T.06, Estructura 32.	237
Figura 8.21. Tierra blanca ubicada al pie del cuerpo de la fase III.	238
Figuras 8.22 y 8.23. Posibles percutores encontrados en la excavación WIT.L.18.03.	239
Figura 8.24. Punta de hacha sin terminar, encontrada en el contexto WIT.L18.03.	239
Figura 8.25. El perfil oeste presenta todos los contextos del registro WIT.L.18, especialmente los contextos WIT.L18.08 y WIT.L18.09.	240
Figura 8.26. Matriz de Harris de la excavación WIT.L.18, Estructura 27.	241

#### **CAPÍTULO 9. Excavaciones en la Estructura 8 de Witzna'.**

Figura 9.1. Excavación WIT.L.08.	242
Figura 9.2. Talud, cuerpo en forma de escalinata y muro de contención.	243
Figura 9.3. Excavación WIT.L.15.	244
Figura 9.4. Muro de contención, material apisonado y material de relleno.	245
Figura 9.5. Cuerpo en forma de escalinata de la Subestructura.	246
Figura 9.6. Excavación WIT.L.19.	247
Figura 9.7. Cuerpo en forma de escalinata y muro de contención.	248
Figura 9.8. Excavación WIT.L.20.	249
Figura 9.9. Subestructura y Estructura Superior (WIT.L.20).	249
Figura 9.10. Muro Este-Oeste y Muro Norte-Sur.	250
Figura 9.11. Excavación WIT.L.22.	251
Figura 9.12. Interior de la excavación WIT.L.22.	252

#### **CAPÍTULO 10. Excavación en la Estructura 2, Plaza Central de Witzna'.**

Figura 10.1. Perfil Este de WIT.L.16 donde se observan los contextos ubicados en la excavación. (Dibujo de Marta Perea).	254
Figura 10.2. Planta de WIT.L.16 donde se observan los contextos 03,04 y 05. (Dibujo de Marta Perea).	254
Figura 10.3. Parte de la Ofrenda #1. (Foto de Marta Perea).	255
Figura 10.4. Detalles de la Ofrenda #1. (Dibujo de Ángel Castillo).	256
Figura 10.5. Dibujo que muestra detalles de la ofrenda #2 (Dibujo de Marta Perea).	257
Figura 10.6. Matriz de Harris correspondiente a WIT.L.16. (Elaborado por Marta Perea).	258
Figura 10.7. Perfil norte donde se observan los contextos ubicados en la excavación. (Dibujo de Marta Perea).	258
Figura 10.8. Planta de WIT.L.16. (Dibujo de Marta Perea).	259
Figura 10.9. Perfil norte donde se observan los contextos ubicados en la excavación. (Dibujo de Marta Perea).	260
Figura 10.10. Planta de WIT.L.24. (Dibujo de Marta Perea).	260
Figura 10.11. Perfil de la fachada este donde se observan los contextos ubicados WIT.L.24. (Dibujo de Marta Perea).	261
Figura 10.12. Matriz de Harris correspondiente a WIT.L.24. (Elaborado por Marta Perea).	262

<b>CAPÍTULO II. Elaboración de dibujos del sitio arqueológico Holmul.</b>	
Figura II.1. Perfil Este-Oeste de la fachada norte de la Estructura I de Holmul (Dibujo de Casasola y Rodas).	263
Figura II.2. Perfil Norte-Sur, saqueo principal en el Palacio Sur de la Plaza Norte del sitio arqueológico Witzna' (Dibujo de Casasola).	265
Figura II.3. Corte realizado por los saqueadores sobre el piso del recinto 1 del Palacio Sur de la Plaza Norte sitio arqueológico Witzna' (Foto de Casasola).	266
Figura II.4. Vano norte, recinto 1 del Palacio Sur de la Plaza Norte del sitio arqueológico Witzna' (Foto de Casasola).	267
Figura II.5. Muestra de carbón recolectada en el recinto 2, Palacio Sur, plaza norte del sitio arqueológico Witzna' (Foto de Casasola).	267
Figura II.6. Grada que conduce al recinto 2, Palacio Sur, Plaza Norte del sitio arqueológico Witzna' (Foto de Casasola).	268
Figura II.7. Vano suroeste que conduce al recinto 3, Palacio Sur, Plaza Norte del sitio arqueológico Witzna' (Foto de Casasola).	268
Figura II.8. Extensión norte, saqueo L.10, Palacio Sur, Plaza Norte del sitio arqueológico Witzna' (Foto de Casasola).	269
Figura II.9. Planta del recinto 1 y vanos que conducen al recinto 2 al norte, y recinto 3 al sur del Palacio Sur, Plaza Norte del sitio arqueológico Witzna' (Dibujo de Casasola).	270
Figura II.10. Perfil norte-sur del recinto 1 y grada que conduce al recinto 2, Palacio Sur, Plaza Norte del sitio arqueológico Witzna' (Dibujo de Casasola).	271
Figura II.11. Cuatro tipos de planta de estructuras en la Acrópolis Central de Tikal: sin tándem ni cuartos transversales; con tándem, sin cuartos transversales; sin tándem, con cuartos transversales; con tándem y cuartos transversales (Tomado de Harrison 2003: 104, Fig.4.4).	272
Figura II.12. Perfil norte-sur, extensión norte, saqueo L.10, Palacio Sur, Plaza Norte del sitio arqueológico Witzna' (Foto de Casasola).	274
Figura II.13. Perfil norte-sur, extensión norte, saqueo L.10, Palacio Sur, Plaza Norte del sitio arqueológico Witzna' (Dibujo de Casasola).	274
Figura II.14. Diagrama Matriz de Harris con números se representan los contextos excavados en la temporada 2016. (Digitalización de Casasola).	275
Figura II.15. Perfil este-oeste, Operación L.11, Palacio Sur, Plaza Norte del sitio arqueológico Witzna'.	276
Figura II.16. Planta recinto oeste, Palacio Norte de la Plaza Norte, Estructura I del sitio arqueológico Witzna'.	276
<b>CAPÍTULO 12. Pozo de sondeo Plaza II, Witzna'.</b>	
Figura 12.1. Pozo de sondeo ubicado en la Plaza II. Contexto WIT.T.04.01, humus. Vista hacia el Sur.	278
Figura 12.2. Pozo de sondeo ubicado en la Plaza II, frente a la Estructura 5. Dibujo de Planta (escala 1:1) de WIT.T.04.01, humus. 01 de Junio, 2016 (Dibujo de Yessica Tumax).	278
Figura 12.3. Pozo de sondeo ubicado en la Plaza II. Contexto WIT.T.04.02, tierra café claro, piso en el perfil y relleno de piedras. Vista del Perfil Oeste (Foto de Yessica Tumax).	279
Figura 12.4. Pozo de sondeo ubicado en la Plaza II. Contexto WIT.T.04.03, tierra gris oscuro. Vista hacia el Sur (Foto de Yessica Tumax).	279
Figura 12.5. Pozo de sondeo ubicado en la Plaza II. Contexto WIT.T.04.04, tierra apisonada bien compactada. Vista hacia el Este (Foto de Yessica Tumax).	280
Figura 12.6. Pozo de sondeo ubicado en la Plaza II frente a la Estructura 5. Dibujo de planta (escala 1:1) de WIT.T.04.04, tierra apisonada. 04 de Junio, 2016 (Dibujo de Yessica Tumax).	280
Figura 12.7. Pozo de sondeo ubicado en la Plaza II. Contexto WIT.T.04.05, relleno de nivelación. Vista hacia el Este (Foto de Yessica Tumax).	280
Figura 12.8. Pozo de sondeo ubicado en la Plaza II, frente a la Estructura 5. Dibujo de Planta (escala 1:1) de WIT.T.04.05, utilizada para nivelación de la roca madre. 05 de Junio, 2016 (Dibujo de Yessica Tumax).	281
Figura 12.9. Pozo de registro ubicado en la Plaza II. Contexto WIT.T.04.06, Roca Madre. Vista hacia el Sur (Foto de Yessica Tumax).	281
Figura 12.10. Pozo de sondeo ubicado en la Plaza II, frente a la Estructura 5. Dibujo de Planta (escala 1:1) de WIT.T.04.06, roca madre. 06 de Junio, 2016 (Dibujo de Yessica Tumax).	282

Figura 12.11. Pozo de sondeo ubicado en la Plaza IV. Contexto WIT.T.07.01, Humus y la Estela. Vista hacia el Este (Foto de Yessica Tumax).	283
Figura 12.12. Pozo de sondeo ubicado en la Plaza IV. Dibujo de planta (escala 1:1) del contexto WIT.T.07.01, humus. 10 de Junio, 2016 (Dibujo de Yessica Tumax).	283
Figura 12.13. Fragmento de obsidiana encontrada en el contexto WIT.T.07.02. (Foto de Yessica Tumax).	284
Figura 12.14. Pozo de sondeo ubicado en la Plaza IV. Contexto WIT.T.07.02, tierra gris claro. Vista hacia el sur (Foto de Yessica Tumax).	284
Figura 12.15. Pozo de sondeo ubicado en la Plaza IV. Contexto WIT.T.07.03, relleno de piedrín (piedras de río). Vista hacia el Sur (Foto de Yessica Tumax).	284
Figura 12.16. Pozo de sondeo ubicado en la Plaza IV. Contexto WIT.T.07.04, tierra negra bien compactada. Vista desde la Superficie (Foto de Yessica Tumax).	285
Figura 12.17. Pozo de sondeo ubicado en la Plaza IV. Dibujo del perfil Norte (escala 1:1). Estratos de tierra de cada contexto. 13 de Junio, 2016 (Dibujo de Yessica Tumax).	285
Figura 12.18. Pozo de sondeo ubicado en la Plaza IV. Dibujo de planta (escala 1:1) del contexto WIT.T.07.05, roca madre. 12 de Junio, 2016 (Dibujo de Yessica Tumax).	286
Figura 12.19. Pozo de registro ubicado al Este del altar que se encontró en la Plaza IV. Contexto WIT.T.08.01, Humus. Vista hacia el sur (Foto de Yessica Tumax).	287
Figura 12.20. Trinchera de saqueo 63 de la Estructura 24, ubicada en la Plaza II. Contexto WIT.L.21.01, relleno de colapso. Vista hacia el Oeste (Foto de Yessica Tumax).	288
Figura 12.21. Trinchera de saqueo 21 en la Estructura 24, ubicada en la Plaza II. Contexto WIT.L.21.02, humus, tierra café. Vista hacia el Oeste (Foto de Yessica Tumax).	288
Figura 12.22. Pozo de sondeo en la Trinchera 63 de la Estructura 24, ubicada en la Plaza II. Contexto WIT.L.21.03, tierra gris claro. Vista hacia el Oeste (Foto de Yessica Tumax).	289
Figura 12.23. Pozo de registro en la Trinchera 21 que se encuentra en la Estructura 24, ubicada en la Plaza II. Contexto WIT.L.21.04, Tierra gris oscuro. Vista hacia el Oeste (Foto de Yessica Tumax).	289
Figura 12.24. Pozo de registro en el Perfil Norte de la Trinchera 21 que se encuentra en la Estructura 24, ubicada en la Plaza II. Contexto WIT.L.63.05, Muro. Vista del muro (Foto de Yessica Tumax).	290
Figura 12.25. Pozo de registro en la Trinchera 21 de la Estructura 24 ubicada en la Plaza II. Contexto WIT.L.63.06, relleno de piedrín. Vista desde la superficie (Foto de Yessica Tumax).	290
Figura 12.26. Pozo de sondeo en la Trinchera 21 de la Estructura 24 ubicada en la Plaza II. Contexto WIT.L.21.07, roca madre. Vista desde la Superficie (Foto de Yessica Tumax).	291
Figura 12.27. Trinchera de saqueo 21 (WIT.L.21) de la Estructura 24, ubicada en la Plaza II. Dibujo de planta (escala 1:1). 24 de Junio, 2016 (Dibujo de Yessica Tumax).	291
Figura 12.28. Trinchera de saqueo 21 (WIT.L.21) de la Estructura 24, ubicada en la Plaza II. Dibujo del Perfil Norte (escala 1:1). 25 de Junio, 2016. (Dibujo de Yessica Tumax).	292

### **CAPÍTULO 13. Excavación de Estructura I, Plaza Este, Witzna’.**

Figura 13.1. Material apisonado semi-destruido.	293
Figura 13.2. Fragmento de obsidiana WIT.T.05.03.05.01.	294
Figura 13.3. Roca natural.	294
Figura 13.4. Dibujo del Perfil Este de la Excavación WIT.T.05.	295
Figura 13.5. Matriz de Harris representando el contexto WIT.T.05.	295
Figura 13.6. Dibujo del Perfil Sur indicando los contextos visibles en WIT.T.II.	297
Figura 13.7. Dibujo de Planta de WIT.T.II indicando los contextos que pueden apreciarse.	297
Figura 13.8. Matriz de Harris representando el contexto WIT.T.II.	298
Figura 13.9. WIT.L.T.23 Parte de la fachada este de la Estructura I de Witzna’.	298
Figura 13.10. Perfil Sur de WIT.L.23.	300
Figura 13.11. Dibujo de planta de WIT.L.23.	300
Figura 13.12. Dibujo unificado de perfiles, incluyendo el corte de WIT.L.17.	301

# CAPÍTULO I

## INVESTIGACIONES ARQUEOLÓGICAS Y CONSERVACIÓN DE ARQUITECTURA MONUMENTAL EN LA REGIÓN DE HOLMUL

Resumen de la temporada 2016

*Francisco Estrada-Belli*

*Director del Proyecto Arqueológico Holmul (Tulane University)*

La temporada de campo 2016 se desarrolló durante los meses de mayo y junio clausurándose el día 5 de julio de 2016. La misma fue precedida y seguida por el trabajo de laboratorio desde de enero a mayo y de julio a diciembre del mismo año. Algunos trabajos de laboratorio aún siguen en proceso en la actualidad. Las investigaciones de 2016 fueron realizadas en el marco de un convenio trianual con vigencia a partir del 2016 hasta el año 2018. Participaron en las investigaciones 13 profesionales y técnicos y un promedio de 70 laborantes, choferes y ayudantes de cocina. Durante la temporada de 2016 el Proyecto Arqueológico Holmul procedió a: 1) conservar la arquitectura y escultura del Edificio A (friso) del Grupo II de Holmul, 2) investigar la fachada sur y cuerpo oeste del montículo del Edificio A, Grupo II (fase final), 3) documentar la arquitectura expuesta en el Grupo I, 4) excavar y documentar la escalinata del Grupo I y sus subestructuras (Edificios A, B y D), 5) mapear y documentar la arquitectura central del sitio Witzna' y 6) conservar artefactos excavados en temporadas previas para su exhibición en museos.

Adicionalmente en los meses anteriores al inicio de la temporada 2016 se trabajó en la preparación de la propuesta para una cobertura LiDAR en varias áreas de interés arqueológico y medio-ambiental dentro de la Biosfera Maya. La misma fue realizada en colaboración y de acuerdo a los requisitos de PACUNAM y en colaboración con otros proyectos patrocinados por la misma fundación así como con el centro NCALM de la Universidad de Houston. Los resultados del mapeo LiDAR estarán disponibles a la brevedad posible después de que se hayan podido analizar los datos.

### UBICACIÓN GEOGRÁFICA DEL PROYECTO

El sitio arqueológico Holmul se localiza a 35 km al este de Tikal y a 50 km al noreste del municipio de Melchor de Mencos. Dentro de la cuenca del río Holmul y en áreas relacionadas a la misma existen varios sitios menores y mayores cuya historia fue ligada a la de Holmul como centro primario de la región. Entre ellos se cuenta con sitios menores como Dos Aguadas, T'ot, Chanchich, Riverona, K'o, Hamontun, Hahakab y otros aun inexplorados, así como sitios mayores Cival y Witzna' con auge de ocupación en épocas distintas en la época prehispánica (Figura 1.1). El sitio Witzna' se sitúa sobre un área de colinas que forman parte de una escarpa cárstica a unos 15 km en línea directa al norte de Holmul, desde donde pueden verse ambos sitios uno del otro.

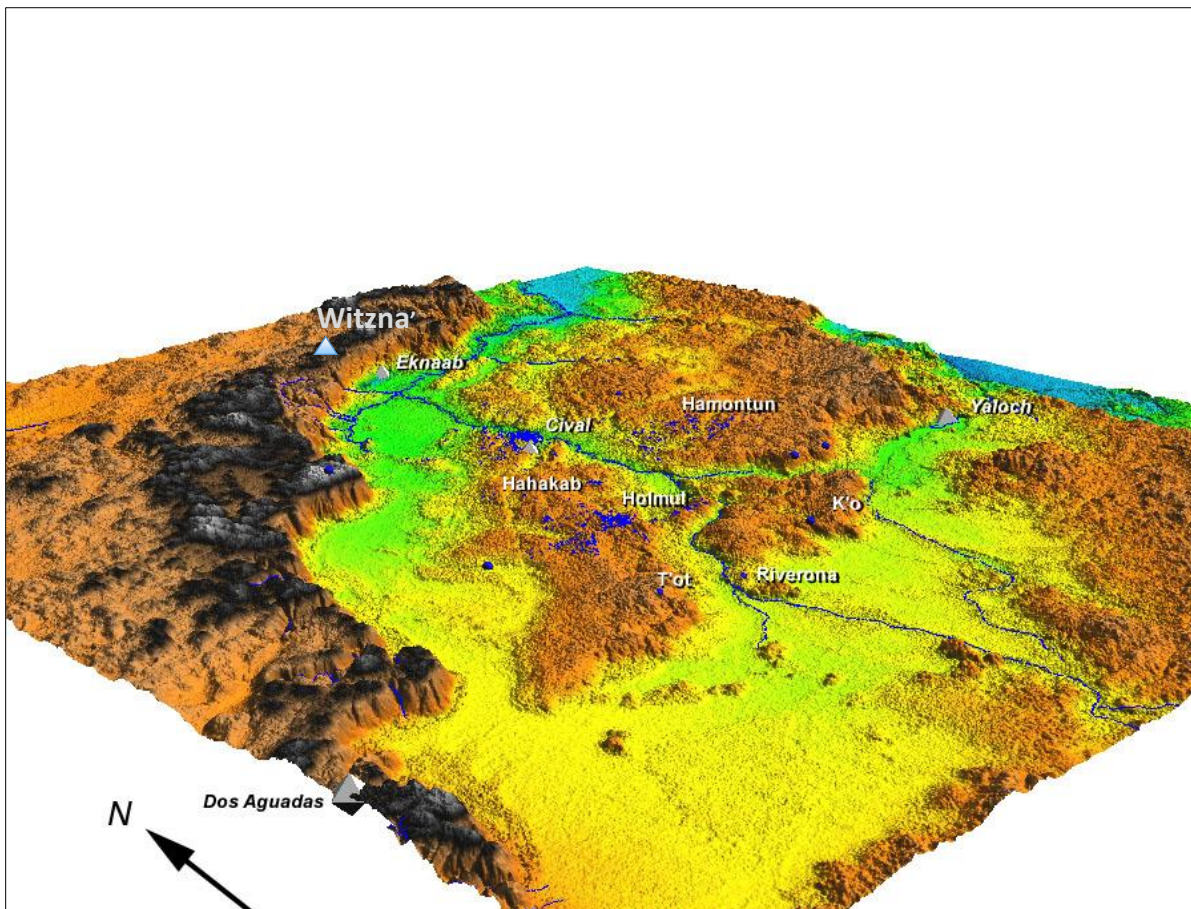


Figura 1.1. Mapa en 3D de la topografía de la region de Holmul mostrando la ubicacion de Holmul, Witzna' y otros sitios menores.

## RESULTADOS DE INVESTIGACIONES EN HOLMUL

Los trabajos de conservación en Holmul fueron dirigidos a estabilizar los estucos y los pigmentos del relieve (friso) del Edificio A, penúltima fase en el Grupo II. Los mismos fueron a cargo de las conservadoras Mariana Colín y María Fernanda Escalante (véase capítulo 2). Con estas intervenciones, la tercera de tres fases planeadas desde el 2014, se aseguró la estabilidad de la parte central y norte del friso (60% del área total). Adicionalmente se realizó la reintegración de fragmentos desprendidos regresándolos a su lugar correspondiente. Al finalizar el trabajo se recomendó realizar más reintegración de la policromía en las partes intervenidas así como más conservación en la esquina sureste de la fachada y monitoreo de la estabilidad de factores climáticos y biológicos dentro del espacio del túnel del friso para su conservación a largo plazo. Desde el punto de vista de las excavaciones arqueológicas, en Holmul se investigó arquitectura monumental en los siguientes edificios: Edificio A del Grupo II, Ruina X y la Estructura 2 (plaza principal), la escalinata sur del Grupo I y los Edificios A, B y D del mismo.

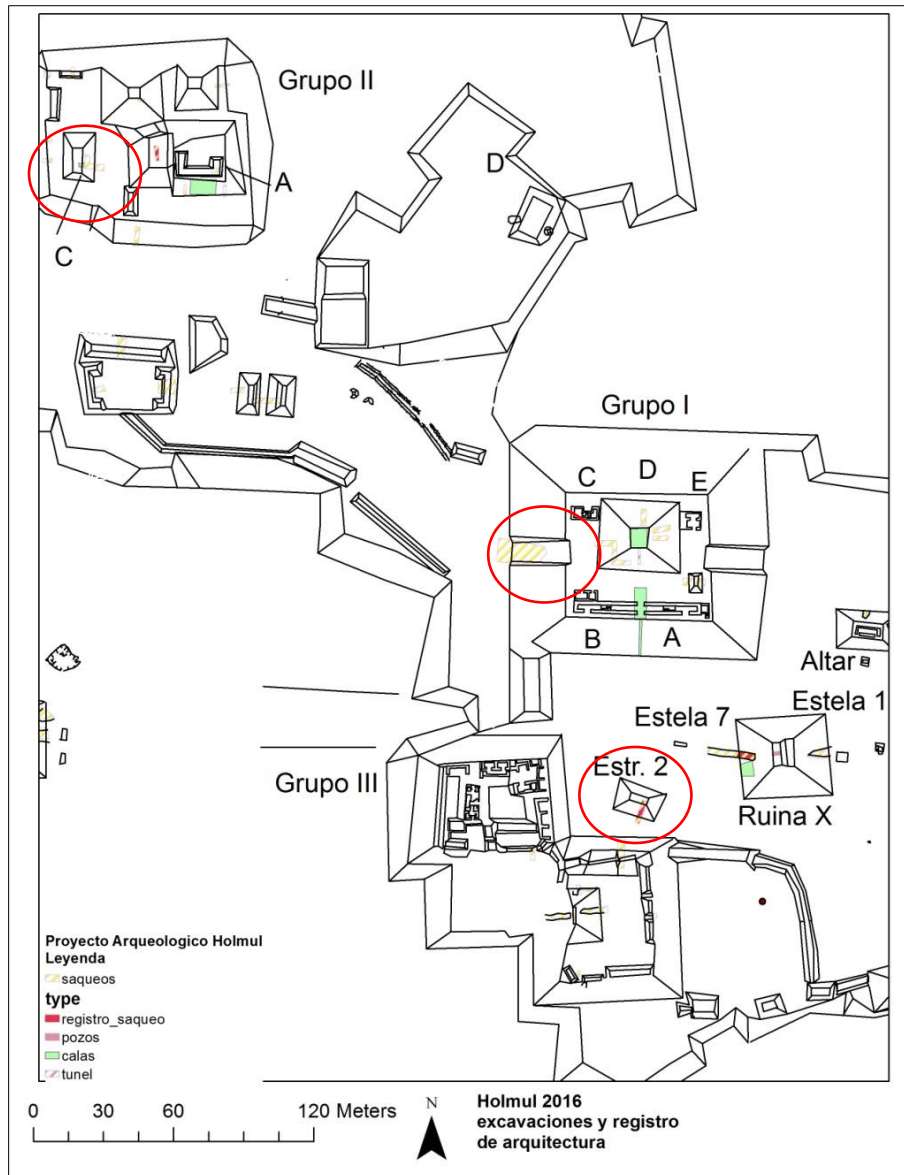


Figura I.2. Excavaciones en Holmul 2016.

## FACHADA DEL EDIFICIO A, GRUPO II

Las excavaciones en el Edificio A (fase final) estuvieron a cargo del arqueólogo Mynor Silvestre (véase capítulo 3). En la fachada sur del montículo del Edificio A se abrió una excavación inicialmente de 6x4m de ancho para determinar la posible existencia de un relieve monumental (mascarón) que decoraría la parte este de la fachada misma en su mitad inferior. Asimismo se pretendía determinar si existieron elementos de una posible escalinata de acceso en la parte superior del Edificio A en su fase final. Cabe mencionar que la puerta monumental (conocida como Puerta Negra) y corredor de acceso a una cámara funeraria en la parte superior del montículo (HOLL.20) también son parte de la misma fase final del Edificio A. Sin embargo, al iniciar las investigaciones se planteó como hipótesis la existencia de una escalinata para acceder a la tumba o más bien a un edificio arriba de la misma desde la plaza.

Al finalizar la excavación se pudo liberar la sección inferior de un mascarón monumental de bloques tallados a lo largo de un área de 8 m de largo por 3 m de alto. El mismo fue originalmente cubierto por una capa de estuco la cual desafortunadamente fue erosionada completamente por efecto de raíces y otros agentes dentro de la sutil capa de tierra que la cubría. Por lo tanto, la identificación de la iconografía de este relieve se hace sumamente difícil. Sin embargo, es posible reconocer algunos rasgos de este mascarón así como de la parte sobreviviente en la sección superior de la fachada, misma que fue expuesta por R. Merwin hace unos cien años, para sugerir una posible identificación de este mascarón como *cabeza de witz* (*cerro sagrado*) las cuales son elementos comunes dentro de la iconografía de templos funerarios de la época Clásica como podría ser el Edificio A. Por lo anterior se puede sugerir que la parte este de la fachada (sur) del Edificio A fuera originalmente decorada con dos mascarones sobrepuestos, al menos uno de los cuales representaría una cabeza de cerro sagrado *witz* (Figura 1.3).



Figura 1.3. Elementos inferiores de un mascarón monumental en la fachada sur (lado este) del montículo del Edificio A, Grupo II (Clásico Tardío ca. Siglo VII d.C.).

Al continuar liberando la fachada sur hacia el oeste se vino evidenciando la parte inferior de una escalinata monumental. La misma solo se encontró preservada en sus primeras seis gradas. Más allá de la misma no se pudieron detectar ningunos elementos pertenecientes a otro posible mascarón que simétricamente decoraría la fachada sur en su lado oeste. La naturaleza incompleta de los rasgos documentados en estas excavaciones sugiere que la fachada del Edificio A fue construida inicialmente con la intención de recubrir el acceso a la cámara funeraria (Puerta Negra) asociada a esta misma fase constructiva (y posterior al edificio del Friso sobre el cual descansa). Sin embargo, es aparente que la obra solo fue llevada a cabo en el lado este y que ni la escalinata central, ni el relleno y la fachada del lado oeste de la estructura fueron terminados. Es posible que algunas de las piedras talladas fueran sustraídas en una época posterior (siglo VIII o IX) para construir el adyacente Edificio C el cual es de carácter residencial.

Aun así, la falta de volumetría en la parte superior del lado oeste de la fachada es tal, que lo más probable es que no fuera completada. Esta suposición acordaría con otras características del Edificio A fase final, como por ejemplo la falta total de piedras talladas en la parte superior del relleno del montículo así como de su fachada posterior (norte) y la falta de cualquier indicio de entierro existente dentro de la cámara funeraria. Por lo tanto, se puede concluir de manera preliminar que la construcción de la fase final del Edificio A fue abandonada antes de haberse completado la fachada y el edificio abovedado superior.

## TUMBA EN EL EDIFICIO A, GRUPO II (SECTOR OESTE)

Debido a la aparente carencia de piedras acabadas y de volumetría uniforme en la parte posterior y superior del Edificio A (fase final) se decidió colocar un pozo de 2x2 m en el sector oeste de la parte posterior del mismo (HOL.T.98, véase capítulo 3). Esta excavación, penetró el relleno del edificio hasta una profundidad de 3m. De allí se continuó a excavar en dirección sur siguiendo el mismo nivel. A unos 3m más de distancia del inicio del túnel se accedió a una cámara funeraria aparentemente intacta. La misma mide aproximadamente 3 m de largo por 1.20 de ancho y 1.6 de alto y está orientada norte-sur.

Sobre el piso de la cámara abovedada se encontraron restos óseos muy fragmentados y en mal estado de conservación, pertenecientes a un individuo de sexo desconocido en posición supina extendida. Junto al esqueleto, cerca de su cabeza y en el lado este yacían varios objetos de ofrenda funeraria (Figura 1.4a): 5 vasijas entre las cuales destacan dos cuencos Sibal ante Policromo con decoración de pseudoglifos en la banda labial (Figura 1.4b), una placa de jade tallada con el perfil de un gobernante con tocado de plumas (Figura 1.4c), un fragmento óseo inciso con inscripción jeroglífica (texto ilegible) (Figura 1.4d), un tintero de concha o caracol trabajado (Figura 1.4e), cinco navajas de obsidiana, dos plaquetas de concha trabajada (más una en forma de estrella), colmillos de animal (¿jaguar?), una cuenta de jade redonda y una cuenta de jade en forma de cabeza de ave estilizada.

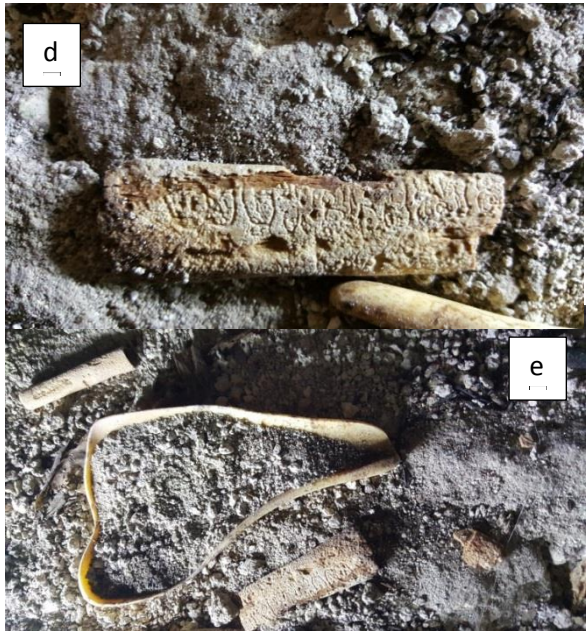


Figura 4 a,b,c,d y e. Contenido de la Tumba HOL.T.98.04 del Edificio A, Grupo II (Sector Oeste).

Sobre los restos óseos y materiales de la ofrenda se encontraron varios fragmentos de barro con impresión de petate por lo que se cree que la bóveda había sido sellada con una capa de barro húmedo y petate. El mismo rasgo fue observado en el entierro del Grupo I (véase más adelante). De acuerdo con las características arquitectónicas así como del contenido de la ofrenda funeraria se piensa que la tumba (HOL.T.98.04) fue construida para un gobernante de Holmul o para un miembro de la familia real durante la segunda mitad del siglo VII o inicios de siglo VIII d.C. (650 a 700 d.C.). Debido a la falta de más datos arquitectónicos, solo se puede concluir en forma preliminar que la tumba fue depositada dentro del relleno de una fase posterior a la fase del Edificio A del friso. Es posible que la misma sea la fase final del Edificio A o una fase intermedia (entre la del friso y la final) presente solo en el sector oeste del montículo y aún desconocida. En todo caso, es muy probable que el ocupante de esta tumba haya sido un miembro importante de la familia real de Holmul en las décadas después de la erección del mausoleo (Edificio A del friso) dedicado al gobernante *Tz'ahb Chan Yopaat* (ca. -600 d.C.).

## RUINA X

Es una estructura piramidal localizada en el espacio entre la plaza principal y la plaza este de Holmul, excavaciones en años anteriores en la plaza este determinaron que la misma fue parte de un conjunto Grupo E en su fase inicial, durante del Preclásico Tardío con posible forma radial. En la parte superior de la pirámide se erigió un edificio abovedado en el lado este y uno en el lado oeste durante la época Clásico Tardío. Las excavaciones del 2016 en la Ruina X estuvieron a cargo de la arqueóloga Berenice García (véase capítulo 4). Inicialmente se liberaron las trincheras de saqueo este y oeste para verificar la secuencia constructiva de esta estructura con obvios antecedentes Preclásicos. Posteriormente a este trabajo se abrió un pozo de 2x2 m sobre el piso de la estructura oeste (cuarto oeste) en posición central.

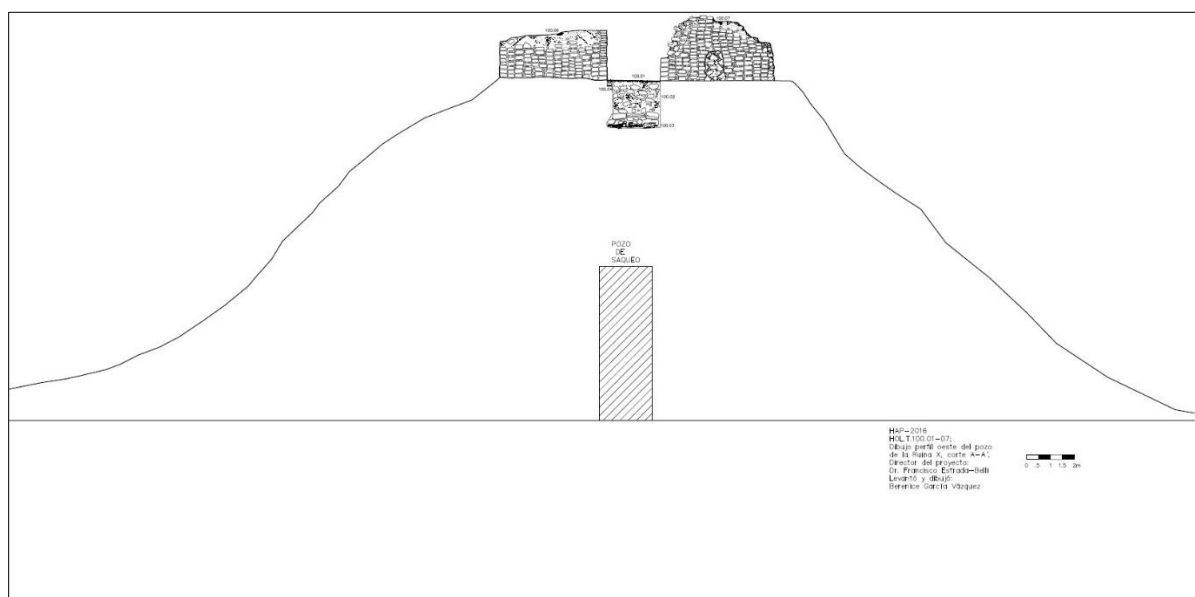


Figura 1.5. Perfil oeste de la Ruina X con localización de la arquitectura del edificio oeste y excavación HOL.T.100 y trinchera de saqueo.

Desde el principio se detectó que el piso del cuarto había sido removido por la excavación de Merwin en 1911 (Merwin y Vaillant 1932). A una profundidad de 2m del piso se encontraron en el margen oeste de la excavación tres lajas en posición horizontal. Debajo de las mismas estaba una cista con eje principal norte-sur (Figura 1.6).

Dentro de la cista (HOL.T.100.02) yacían los restos óseos fragmentados de un individuo en posición extendida con la cabeza al norte. Junto al esqueleto se encontraron varios objetos de ofrenda funeraria. Entre ellos figuran ocho piezas cerámicas, 18 excéntricos de obsidiana, dos conchas bivalvas de las cuales una tiene sus mitades trabajadas, varios fragmentos de coral rojo, blanco y piedra verde (Figura 7). Entre las piezas cerámicas destacan dos cuencos del tipo Saxche Naranja Policromo del horizonte Tepeu 1 y 2 (Figura 8 y 9). Los mismos presentan una inscripción de pseudoglifos que imita la “*primary standard sequence*” en el estilo del taller de alfarería real de Naranjo asociado con el gobernante *Ajnuumsaj Chan K'inich* (546-615 d.C.). Por lo tanto se puede fechar este entierro para la fase final del siglo VI. Es probable que el ocupante de este entierro fuese un miembro de la familia real muy cercano al gobernante de Holmul *Tz'ahb Chan Yopaat*, al cual se dedicó el Edificio A del friso o a su hijo, el *K'inich Tajal Tuun*, quien lo realizó entre el 593 y 600 d.C.

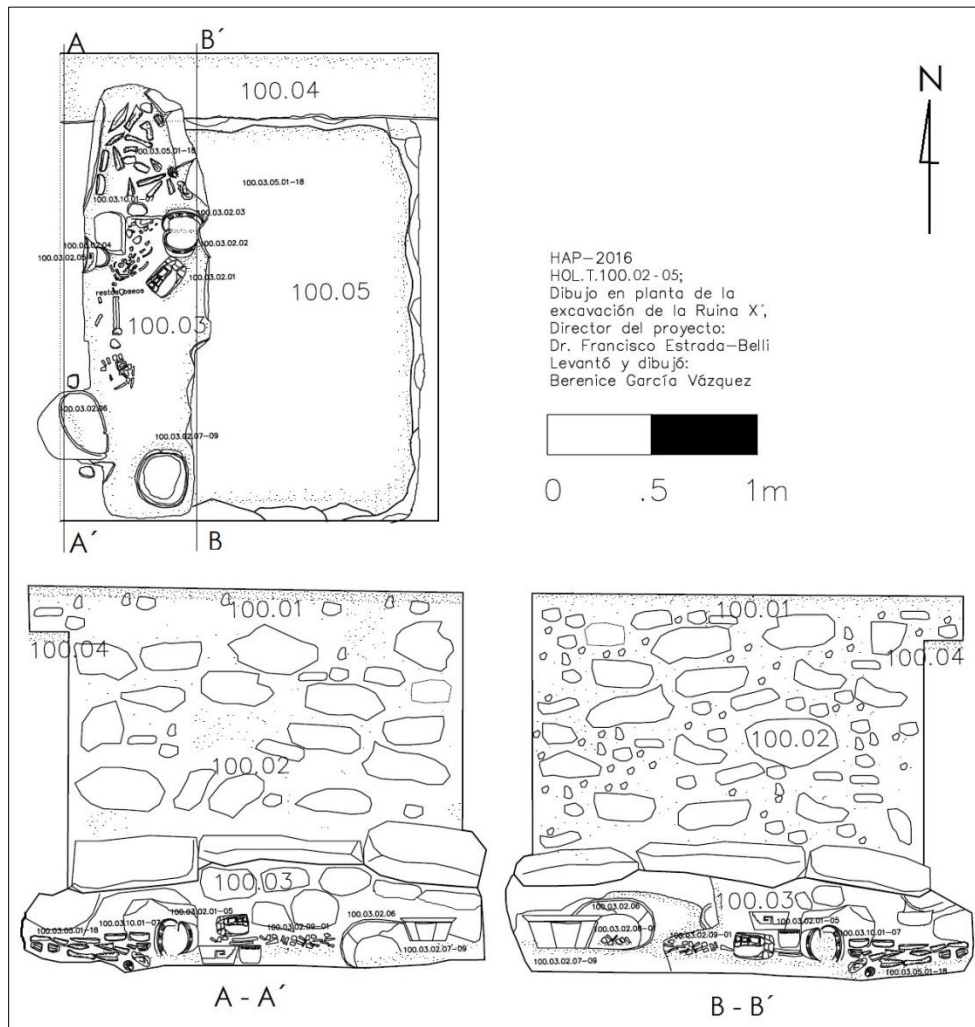


Figura 1.6. Planta y perfiles del entierro HOL.T.100.02 en la Ruina X.



Figura 1.7. Objetos varios de la ofrenda del entierro HOL.T.100.03 en la Ruina X.



Figura 1.8. Algunas piezas cerámicas y conchas bivalvas de la ofrenda funeraria HOL. T.100.03 de la Ruina X.



Figura 1.9. Vista de uno de los cuencos Saxche Naranja Policromo de estilo similar al del taller real del gobernante Ajnuumsaj de Naranjo.

## ESTRUCTURA 2

La Estructura 2 es una pequeña pirámide (8m de altura) en la parte sur de la plaza principal de Holmul (Figura 2, véase capítulo 4). Se liberó una trinchera de saqueo que penetra la parte superior e inferior del lado sur de la estructura. La Estructura 2 fase final fue integrada por un edificio abovedado de dos cámaras abierto hacia el norte con una banqueta en el cuarto interior. Ningún rasgo de entierro u ofrenda se pudo detectar dentro de la trinchera de saqueo. Dentro del basamento de la estructura se pudo liberar parte de una subestructura con escalinata hacia el norte. La misma estructura se sitúa completamente en el lado este del eje central de la pirámide (Figura 1.10). Se pudo documentar arriba de la escalinata y de dos cuerpos escalonados el piso de una estructura abovedada de la cual no queda más que una línea de piedras de sus paredes. Sin embargo, debajo de la misma se pudo liberar un espacio abovedado de una tumba. La misma tiene una orientación este-oeste, paredes de mampostería y bóveda de piedra. Lamentablemente, la tumba se encontró rellena de escombros y sin ningún rasgo de ofrenda o de entierro.

En la parte este de esta tumba se encontró otra cámara abovedada perpendicular a la anterior e igualmente vacía. Debido a la falta de muro de mampostería en el lado este se puede suponer que las tumbas fueron ingresadas durante la construcción de la fase final de la estructura y en ese momento su contenido pudo haberse removido cuidadosamente. Por lo tanto, se puede concluir que en su primera fase, probablemente fechable al inicio del Clásico Tardío (600 d.C.) la Estructura 2 fue de carácter funerario. En su fase final (-700 d.C.?) la estructura no fue asociada a ningún entierro sino a una función residencial/administrativa.

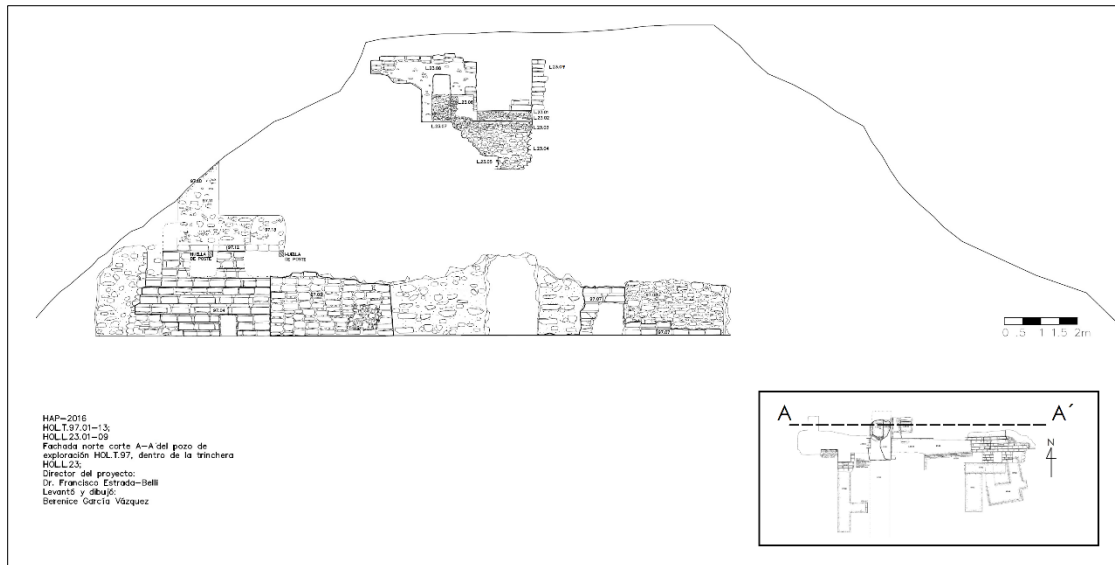


Figura 1.10. Perfiles y plantas de las investigaciones de la trinchera de saqueo en la Estructura 2.

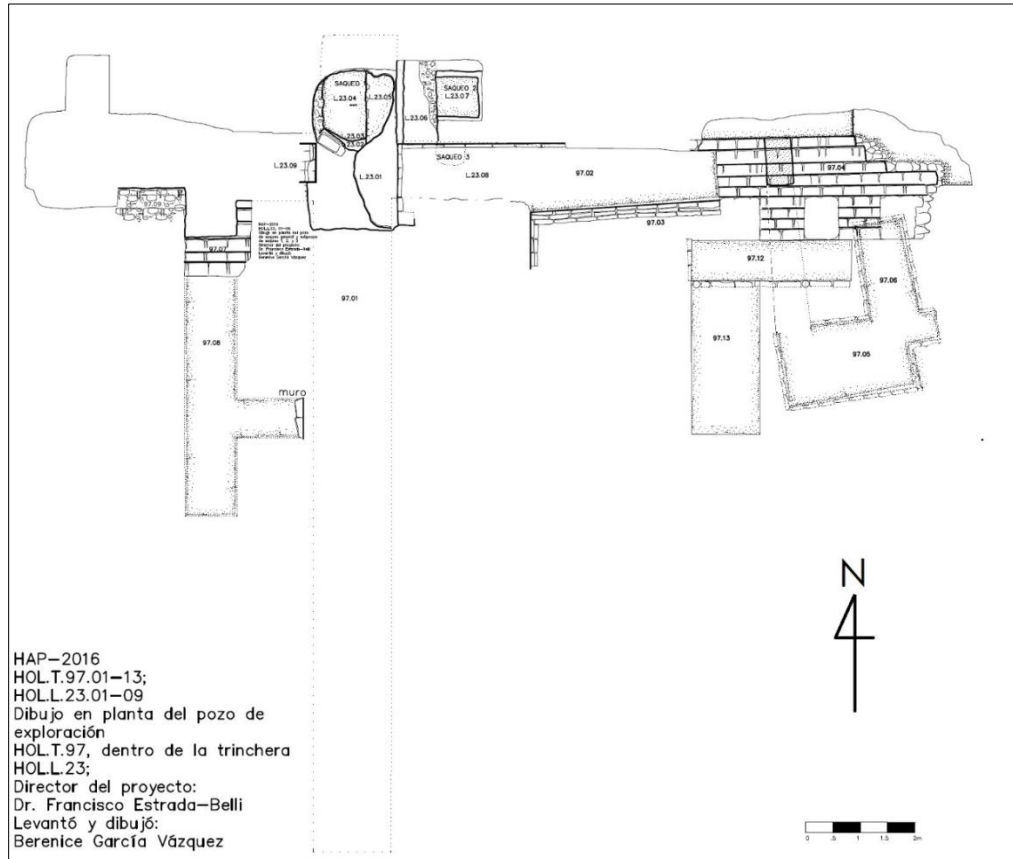


Figura 1.11. Planta de la subestructura de la Estructura 2 y otros rasgos detectados dentro de la trinchera de saqueo HOL.L.23.

## GRUPO I

En el Grupo I se colocaron excavaciones en la fachada sur para documentar la existencia de una o múltiples fases constructivas de una escalinata de acceso y en la parte superior en el pasillo central y vanos principales de las Edificios A y B. Adicionalmente se colocó un túnel en la parte media del basamento piramidal del Edificio D en busca de fases anteriores a la última. Las excavaciones fueron a cargo de la arqueóloga Berenice García (véase capítulo 4). En el marco de las excavaciones de la escalinata se pudo comprobar la existencia de al menos tres episodios constructivos de la misma. En la parte superior se pudo colocar un pozo en el cual se detectaron tres pisos constructivos de la plataforma del Grupo I. Los Edificios A y B forman parte de la fase final del conjunto arquitectónico del Grupo I. El espacio entre estos edificios fue ocupado originalmente por un corredor abovedado a través del cual se daba acceso al patio interior así como a la escalinata del Edificio D (Figura 1.12).

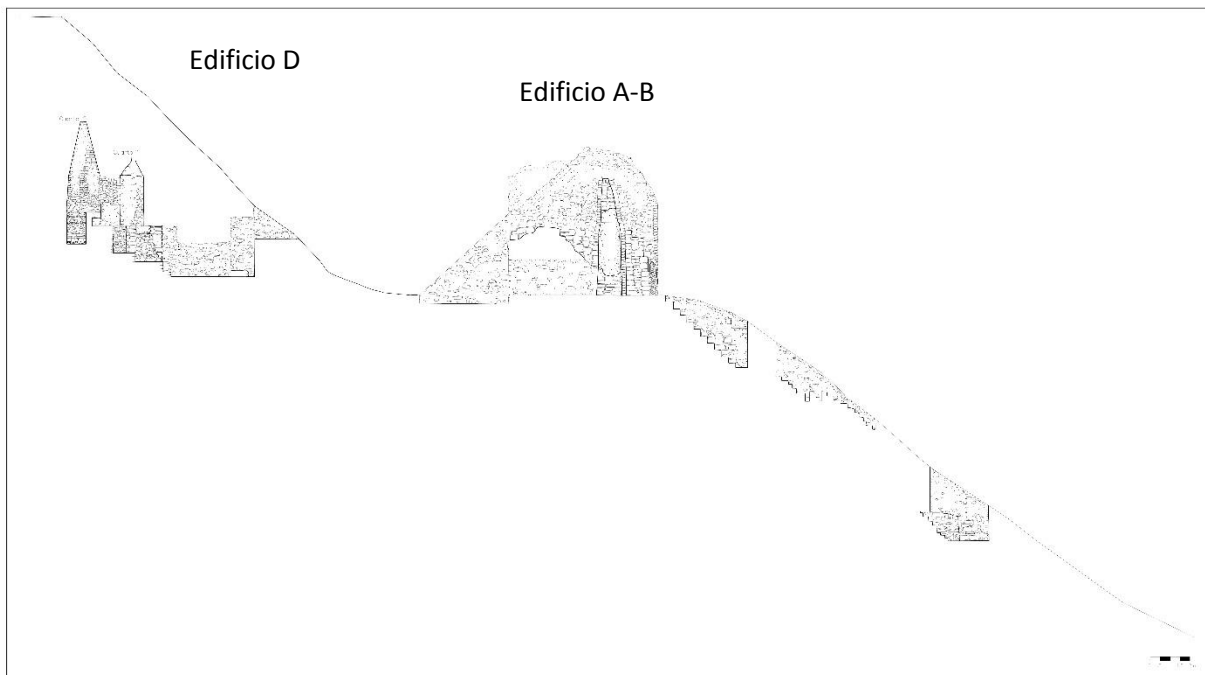


Figura 1.12. Perfil general del Grupo I en su eje central, penetrando los Edificios A, B y D (Berenice García).

En la parte superior del Edificio D, se limpiaron varias trincheras y túneles de saqueo para verificar la existencia de un edificio asociado a la fase final. En base a los datos disponibles, se hipotetizó que el mismo no haya sido completado ya que no existen restos de paredes de piedra tallada en la parte superior del basamento. En el túnel del Edificio D (HOL.T.93) se penetró el relleno de la fase final del edificio sin encontrar restos de una escalinata hasta llegar a la esquina de un pequeño cuarto. Arriba del mismo se pudo penetrar a otro cuarto de mayores dimensiones, perteneciente a una fase posterior del edificio que de momento se define como la penúltima fase. Este edificio se compone de dos cámaras abovedadas completas con paredes estucadas aún en buen estado. La altura máxima de las bóvedas es de unos 5 m.

La cámara sur (Cuarto 1) se encontró libre de escombro y con sus dos accesos (norte y sur) sellados por paredes de piedras de relleno y mezcla de barro. Sobre el piso yacían cuatro vasijas completas, seis objetos de jade y cientos de fragmentos de cerámica policroma muchos de los cuales estaban quemados. Además, se encontró una gran cantidad de carbón y un sutil estrato de ceniza sobre todo el piso (Figura 1.13). Un pequeño altar se había construido con piedras toscas adosadas al acceso del muro norte. El mismo fue liberado para acceder a la cámara posterior del edificio.

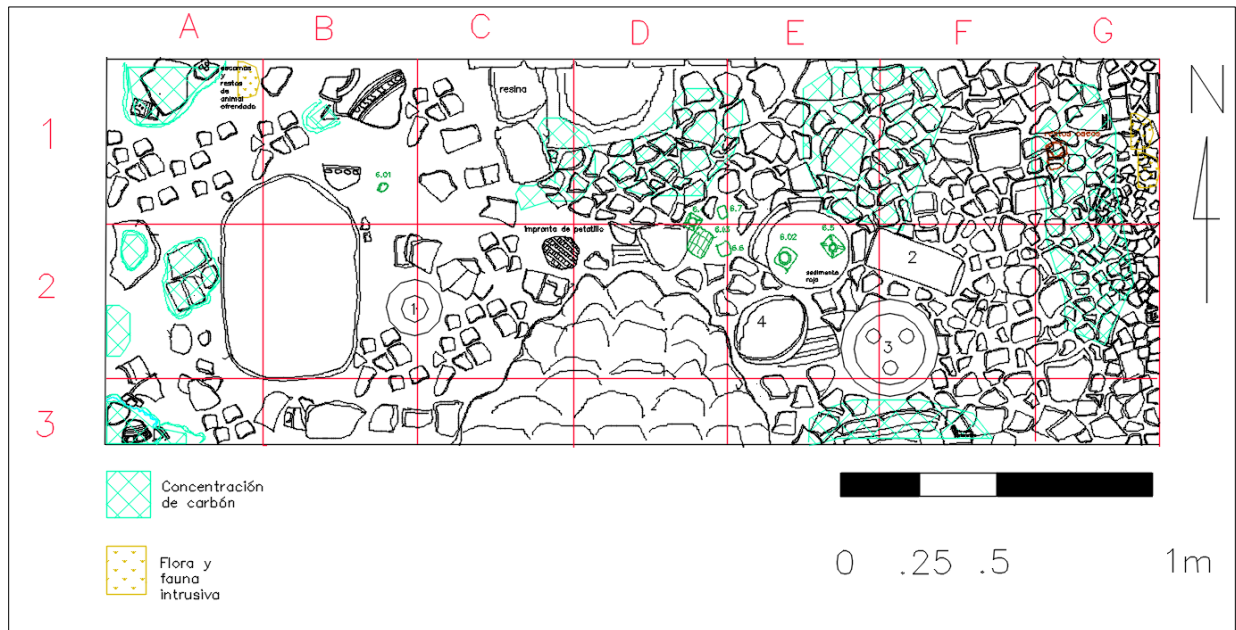


Figura 1.13. Planta del Cuarto 1 (sur) del Edificio D (fase penúltima) del Grupo I mostrando las puertas selladas y artefactos cerámicos y carbón distribuidos sobre el piso.



Figura 1.14. Objetos de ofrenda en el Cuarto 1 del Edificio D, Grupo I (penúltima fase).

La segunda cámara fue encontrada parcialmente rellena de piedras toscas y quemadas sobre una banqueta que ocupaba el 1/3 inferior del espacio del cuarto. Al remover las piedras de relleno se pudo ver señales de que el piso de la banqueta faltaba en la parte central. Por lo tanto, se procedió a vaciar el corte en la banqueta de su relleno (Figura 1.15).

A una profundidad de 0.5 metros debajo del mismo se encontró una primera capa de lascas de pedernal seguida a unos pocos centímetros de otra capa. Y a 1.5 m se encontraron lajas de piedra caliza formando el techo de una cista. Dentro de la cista se encontraron los restos óseos fragmentados de un individuo en posición flexionada, acompañado por cuatro vasijas cerámicas (dos vasos cilíndricos monocromos y dos cuencos policromos). Dentro del mismo contexto se encontraron cinco conchas de gasterópodos (caracol) y una concha *Spondylus*.



Figura 1.15. Excavación de la banqueta del cuarto 2 del Edificio D, penúltima fase.



Figuras 1.16. a y b. Excavación de la cista dentro de la banqueta del Cuarto 2 del Edificio D en el momento del hallazgo y detalle de algunas piezas de jade de la ofrenda.

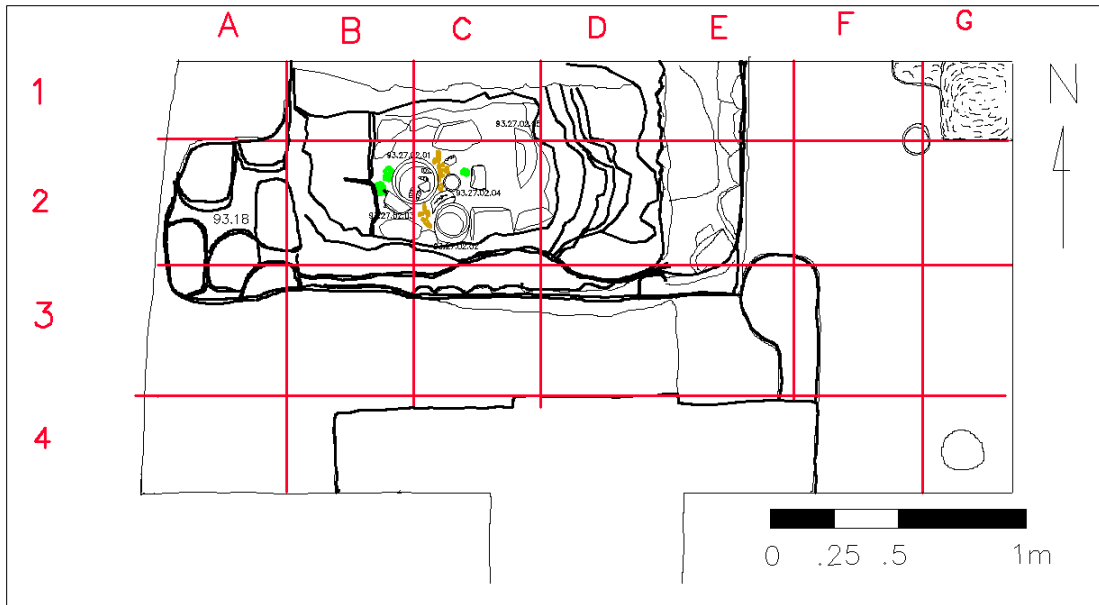


Figura 1.17. Planta de la cista dentro de la banqueta del Edificio D, Grupo I (penúltima fase).



Figura 1.18. Piezas cerámicas de la ofrenda funeraria dentro de la banqueta de Cuarto 2, Edificio D, Grupo I (penúltima fase).

Finalmente, dentro de un cuenco policromo de la ofrenda del Cuarto 1 del Edificio D, Grupo I (penúltima fase) se encontró un pendiente tallado de jade (Figura 1.14). El tallado representa el rostro del dios del maíz vistiendo el tocado del ave del dios solar al mismo tiempo que emerge de la cabeza de un cormorán. Este es un ornamento frecuentemente ilustrado en el arte pictórico y escultórico de la época clásica en asociación a imágenes del Dios N y de gobernantes. En el lado anverso del pendiente se observa una corta inscripción incisa de tres elementos: *Yuuh Yuknoom U Ti Chaan, Kuhul Kaanul Ajaw* “es el collar de *Yuknoom U Ti Chaan, divino rey de Kaanul*” (Figuras 1.19 y 1.20).

El hallazgo de una joya perteneciente a un rey de la dinastía Kaan en este contexto de Holmul es sorprendente y extraordinario. No se conoce otro caso de joyas de jade inscritas con el nombre de un rey de Kaanul. El texto proporciona indirectamente una fecha para la tumba ya que el gobernante *Yuknoom U-Ti Chaan* solo se asocia a la fecha 619 d.C. y de acuerdo a los datos hasta ahora disponibles pudo haber tenido un reino muy breve. Además, el objeto sugiere una estrecha relación política entre un gobernante de Holmul y el de Kaan. Es decir una relación no necesariamente intermediada por Naranja.



Figura 1.19. Pendiente de jade de la ofrenda funeraria del Cuarto 1 Edificio D, Grupo I (penúltima fase).

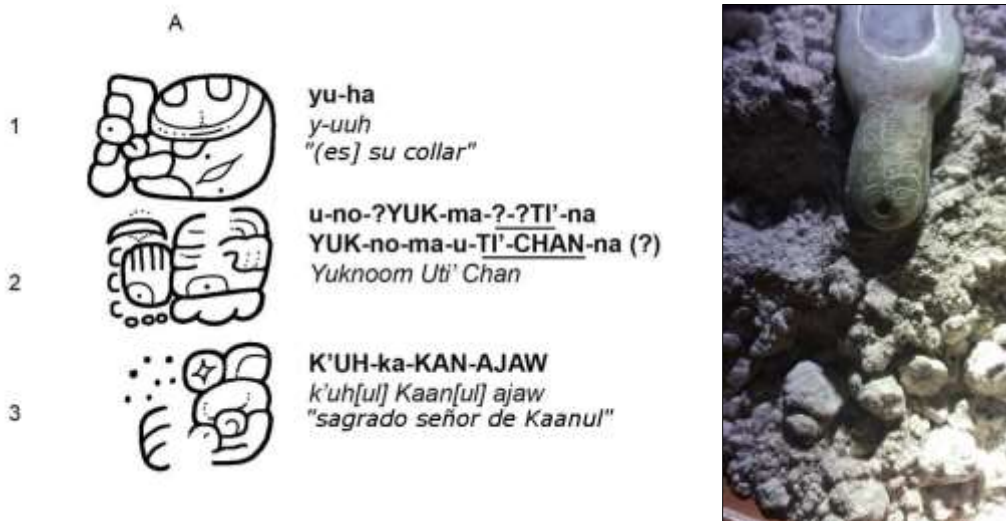


Figura 1.20. Inscripción en el lado anverso del pendiente de jade localizado en el Cuarto 1 Edificio D, Grupo I (penúltima fase) con el nombre de un rey de Kaanul del año 619 d.C. (dibujo por Alexandre Tokovinine, foto J. López).

## INVESTIGACIONES EN WITZNA'

Durante la temporada 2016 se hicieron investigaciones preliminares en el sitio Witzna'. Se realizó un mapa preliminar del centro del sitio y se registraron grupos residenciales en un radio de 5 km del mismo identificando un centro menor denominado Las Ventanas a 6.5 km al suroeste de Witzna' y el centro menor denominado Las Cuevas a 3.1 km al oeste (véase capítulo 5). El sitio Witzna' es un centro ceremonial mayor ubicado a unos 15 km al norte de Holmul. Se compone de un conjunto palaciego de tipo acrópolis distribuido sobre tres niveles (Figura 1.21). El primer nivel es el de la plaza principal del sitio sobre la cual se sitúan varios edificios mayores de tipo pirámide en los lados sureste y oeste así como una larga estructura en su lado norte la cual da acceso por su puerta central a un patio interior. El mismo se encuentra a un nivel más alto de la plaza y presenta una estructura funeraria en el lado este y estructuras palaciegas en los lados oeste y este así como de una terraza en el lado norte. Sobre la misma, en el tercer nivel de la acrópolis, se erige un conjunto palaciego cuadrangular alrededor de un patio.

Se investigaron trincheras de saqueo en algunas de las estructuras principales del sitio con enfoque primario en el conjunto palaciego cuadrangular de la acrópolis (véase Figura 1.22 y Capítulo 6). Allí se pudo liberar parte de la escalinata principal y el cuarto y banqueta situados en la parte superior de la misma en excelente estado de conservación. Estos fueron interpretados como una cámara de trono para audiencias hacia los ocupantes del patio intermedio. Adicionalmente se encontró un trono en la estructura norte en posición axial con la escalinata en el patio interior del cuadrángulo. El mismo posiblemente tuvo la función de albergar al gobernante durante audiencias más privadas en el interior del patio. Sobre las superficies de la escalinata y del cuarto de trono exterior al cuadrángulo se observaron abundantes manchas de quemaduras las cuales sugieren la terminación del edificio por medio del fuego.

Los datos estratigráficos derivados de las paredes de las múltiples trincheras de saqueo dentro del basamento del cuadrángulo indican la existencia de al menos tres fases constructivas del mismo. De acuerdo a la cerámica recolectada se puede sugerir que una fase pertenece al Clásico Temprano y las otras dos al Clásico Tardío. En las excavaciones afuera del palacio también se recuperó cerámica del Preclásico Tardío en pequeñas cantidades. Por ejemplo, la plaza este pudo haber sido un área en uso desde la época Preclásica. Al este del palacio cuadrangular, se investigaron dos estructuras alargadas norte-sur y este-oeste formado un patio abierto hacia el este (unidades WIT.L.03 y WIT.L.05, véase Figura 1.22 y capítulo 7). Ambas estructuras se fechan para el Clásico Tardío. Al oeste del palacio cuadrangular se documentó un cuarto con banca/trono estucado y en color rojo de la época Clásico Tardío (véase Figura 1.22 y unidad WIT.L.07 capítulo 6). En este espacio se observó una banda de glifos que decoraba todas las paredes en el arranque de la bóveda. Lamentablemente, por su estado fragmentario no se pudo realizar una lectura. Los fragmentos de estuco con escritura fueron removidos para su consolidación y análisis epigráfico.

Inmediatamente al sur y en el margen de la terraza superior del conjunto palaciego se investigó la escalinata de acceso (véase WIT.T.03 en Figura 1.22 y capítulo 8). La cerámica asociada a la misma se fechó para el Clásico Tardío. En el margen suroeste se investigó una estructura en forma de L por medio de varias trincheras de saqueo (véase Figura 1.22 y capítulo 9 por William Castillo). Más al suroeste y en el nivel inferior del conjunto palaciego se encuentra una estructura en el suroeste, (WIT.L.09) investigada por Mario Penados (véase Figura 1.22 y capítulo 8), y una estructura en el lado este (WIT.L.24) investigada por Marta Perea (véase capítulo 10). Ambas trincheras documentaron etapas constructivas del Clásico Tardío. La terraza inferior del conjunto palaciego forma un corte cuyo acceso desde la plaza principal se da por una larga estructura en su lado sur, así como se pudo documentar en las trincheras de saqueo (WIT.L.11 y WIT.L.10) registradas por Waegli Casasola (véase Figura 1.22 y capítulo 11).

En la plaza principal, se colocó un pozo frente a la estructura recién mencionada (WIT.T.04, véase Figura 1.22 y capítulo 12 por Yessica Tumax). También se investigó una trinchera de saqueo en la Estructura 2, al este de la plaza WIT.L.16 por Marta Perea. En esta unidad se registró una ofrenda cerámica con 18 excéntricos de pedernal en el eje central de la estructura del Clásico Tardío (véase Figura 1.22 y capítulo 10). Al este de la plaza principal se encuentra una amplia plaza sobre una nivelación inferior. Aquí se trazaron dos pozos sobre la ubicación de dos fragmentos de estelas sin encontrar ningún rasgo relacionado a la plaza (WIT.T.07 y WIT.T.08, véase Figura 1.23 y capítulo 12). En la estructura alargada al este de esta plaza la excavación WIT.T.06 realizada por Mario Penados (Figura 1.23 y capítulo 8) documentó restos de una escalinata de la subestructura posiblemente preclásica.

En el margen oeste de la plaza principal se encuentra una estructura alargada con una trinchera de saqueo (WIT.L.14) la cual penetró una tumba con cámara abovedada con orientación norte-sur (véase capítulo 7 por Bhanny Miranda). Más al oeste de esta estructura se encuentra otra estructura alargada pero de dimensiones menores. Aquí también se registró una trinchera de saqueo sin evidenciarse ninguna tumba o subestructuras en su interior (véase WIT.L.21 en Figura 1.22 y capítulo 12 por Yessica Tumax). La pirámide principal del sitio se encuentra en el margen sureste de la plaza. Esta fue investigada por medio de una trinchera de saqueo en la parte oeste de su basamento que corta la estructura de la base a su cumbre (WIT.L.17, véase Figura 1.22 y capítulo 13, por Josué Calvo). Además se excavó un pozo frente a la fachada este (WIT.T.05) y una excavación en la cumbre de la estructura (WIT.T.08) las cuales confirmaron que la estructura fue realizada en una sola etapa constructiva.

En la esquina suroeste de la plaza principal se encuentra una estructura piramidal atravesada por una ancha trinchera de saqueo en su eje. En su interior se pudo registrar una subestructura con altos cuerpos escalonados posiblemente del Clásico Temprano o Clásico Tardío (véase WIT.L.27 Figura 1.22 y capítulo 8 por Mario Penados). Un poco más al norte y al oeste del conjunto palaciego se investigó con un pozo una estructura alargada en forma de L (véase WIT.T.10 Figura 1.22 y capítulo 7 por Bhanny Miranda), con el cual se pudo registrar el relleno de la plaza en el Clásico Tardío.

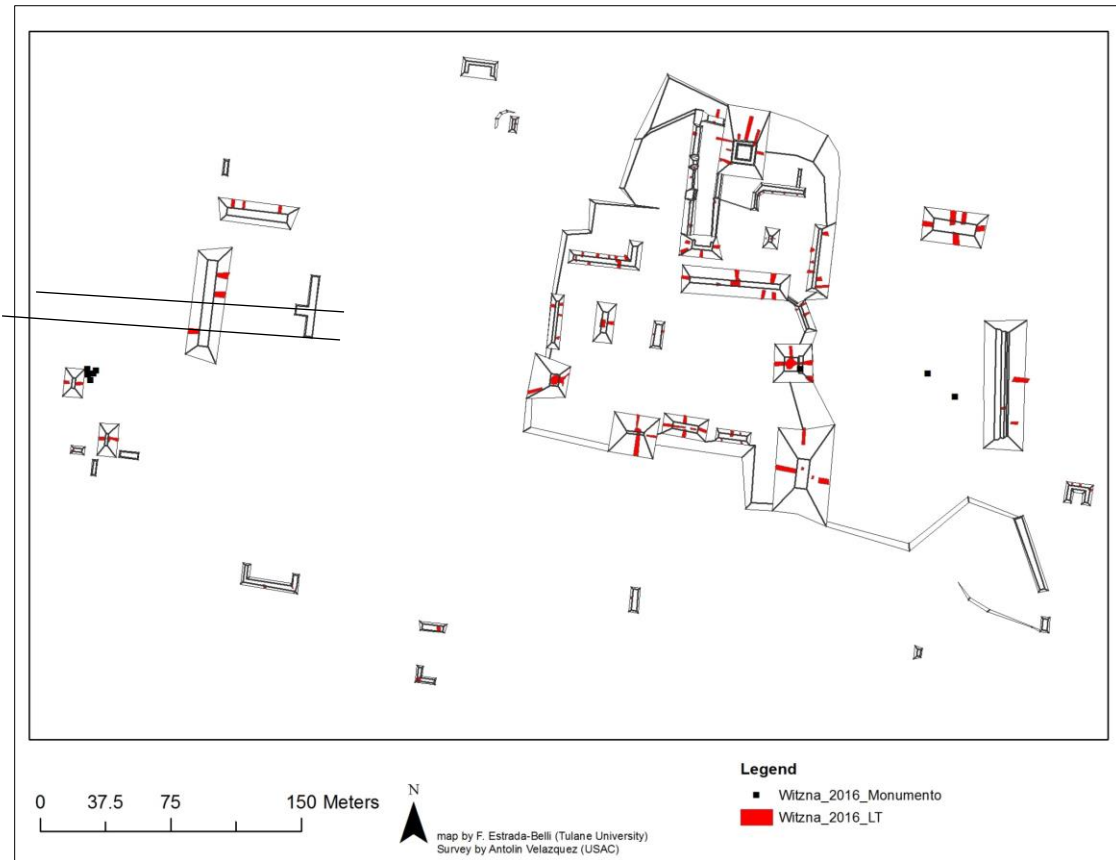


Figura 1.21. Mapa de Witzna' (Elaborado por Antolín Velásquez).

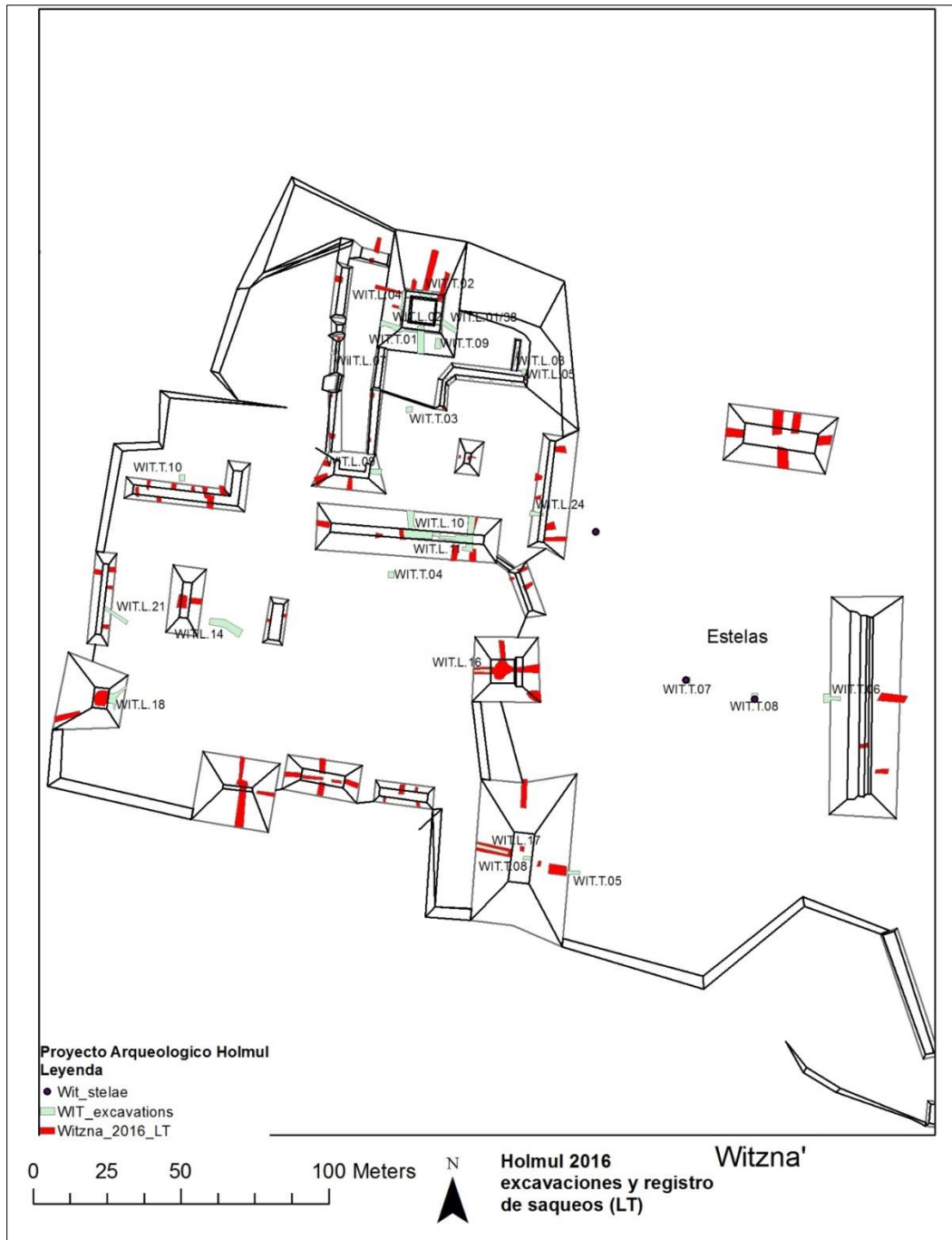


Figura 1.22. Mapa del área central de Witzna' mostrando trincheras y túneles de saqueo (rojo) y unidades investigadas (verde). Mapeo por A. Velázquez.

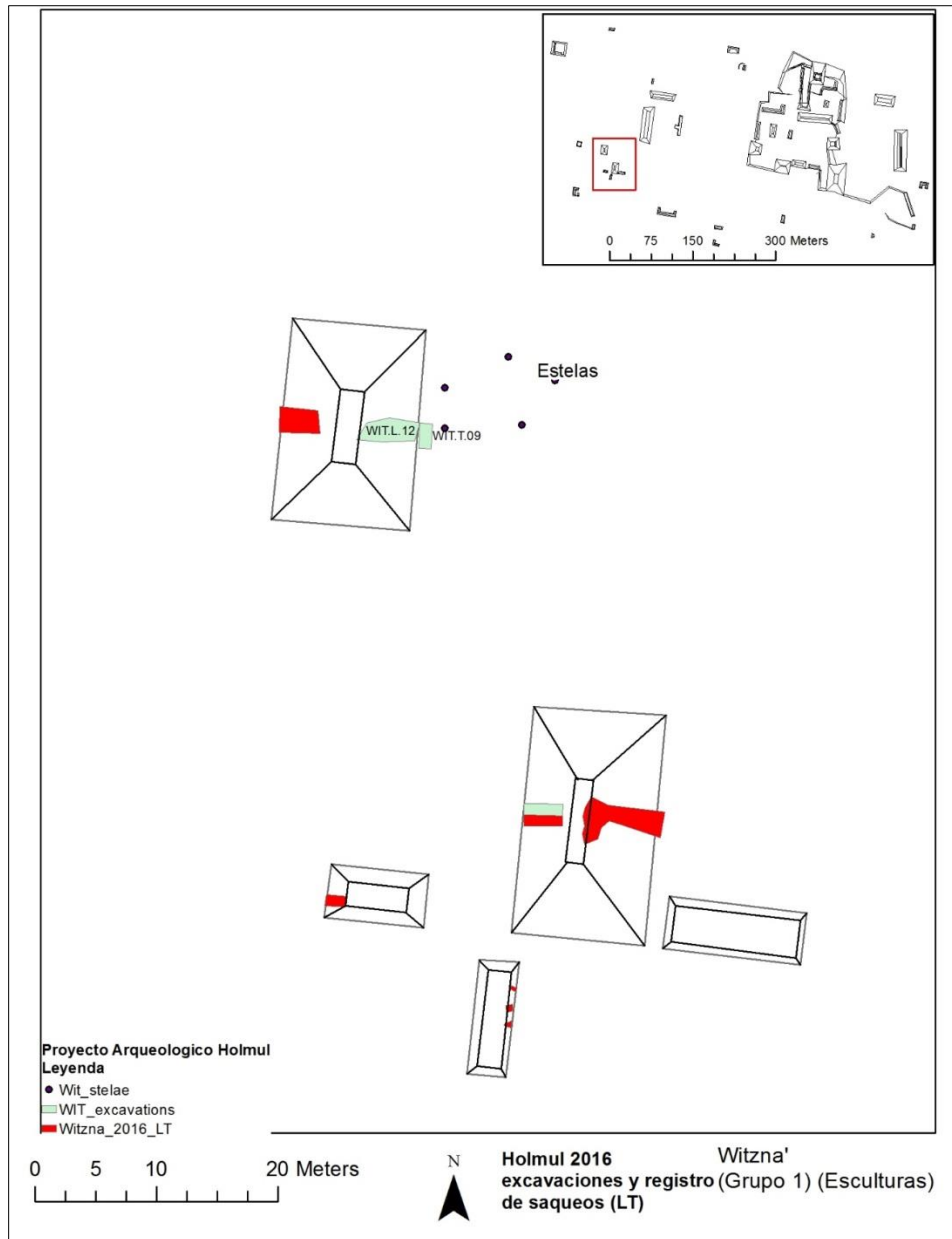


Figura 1.23. Mapa del área oeste de Witzna' mostrando ubicación de estelas y fragmentos de otros monumentos así como trincheras de saqueo investigadas y excavaciones (verde). Mapeo por A. Velázquez.

El hallazgo más importante de esta temporada en Witzna' se dio en este conjunto de estructuras piramidales al oeste de la plaza principal, el cual está conectado a la misma por medio de una calzada (Figura 1.23). La estructura oeste fue saqueada por una trinchera este-oeste que penetró un entierro en una cámara abovedada dentro de la roca natural debajo de la estructura misma (WIT.L12). De este entierro se pudieron recuperar fragmentos de cuentas de jade, concha *Spondylus*, de un espejo de pirita, excéntricos de pedernal y otros fragmentos que sugieren que el individuo fue parte de la nobleza o familia real de Witzna'. Frente a la estructura se encontraron varios fragmentos de piedra caliza. Algunos de estos parecen haber sido depositados aun en forma burda para ser acabados en el lugar en un segundo momento. Dos de ellos tienen forma de estelas y estaban colocados con su lado frontal hacia abajo. Un pozo en frente a la estructura documentó la espiga de una de las estelas (Estela 2, véase WIT.T.09 y capítulo 6).

Ambas estelas presentan restos muy erosionados de relieve. La erosión del relieve en su parte superior parece ser intencional. Ambas aparentemente representan un gobernante en posición frontal sobre un cautivo. La Estela 2 es la que presenta mayor detalle. En ella se puede apreciar la figura de un cautivo en posición sentada/agachada de perfil debajo de los pies de un gobernante el cual sostiene en la mano izquierda un escudo redondo y en la derecha un posible cetro Kawiiil (Figura 1.24). En el lado derecho, se encuentran también dos columnas de tres glifos cada una. Lamentablemente, la lectura es difícil debido a la avanzada erosión. Sin embargo el epigrafista Alexandre Tokovinine pudo reconocer la fecha de cuenta larga 9.17.15.0.0 (31 de octubre 785 d.C.) y un glifo en posición final como un glifo emblema conocido como *Cabeza de Jaguar (Bahlam Jol)* el cual aparece en la Estela 22 de Naranjo (Figura 1.24).

En la Estela 1 se pudo identificar la fecha 9.18.0.0.0 (5 de octubre 790 d.C.). En la inscripción de la Estela 22 de Naranjo el reino *Cabeza de Jaguar (Bahlam Jol)* se dice fue quemado por la segunda vez por el rey *K'ak' Tilew* en 697 d.C. Gracias a esta identificación hecha por el epigrafista Alexandre Tokovinine se puede identificar ahora el sitio arqueológico Witzna' como una de las ciudades de la época Clásica Tardía en la esfera de influencia de Naranjo, por lo menos del 697 d.C. en adelante. Adicionalmente, este dato epigráfico corresponde a un episodio de incendio de magnitud extraordinaria detectado en el estudio paleoambiental de una columna de sedimentos en la vecina laguna Ek Naab realizado por los geógrafos David Wahl y Lysanna Anderson y fechado independientemente con método de radiocarbono (AMS) al año 700 d.C. De acuerdo a los datos medio-ambientales, la actividad humana en la región disminuyó casi completamente después de este evento. Estos datos indicarían que la cesación casi total de actividades agrícolas y constructivas en el centro de Witzna' se diera por causas bélicas y no de cambios en el medio-ambiente alrededor del 700 d.C. Debido a este dato y al contexto arquitectónico de las Estelas 1 y 2 y la tumba saqueada de la diminuta estructura correspondiente, las mismas parecen pertenecer a un periodo de modesto resurgimiento del poder dinástico en Witzna' antes de su declinación final.

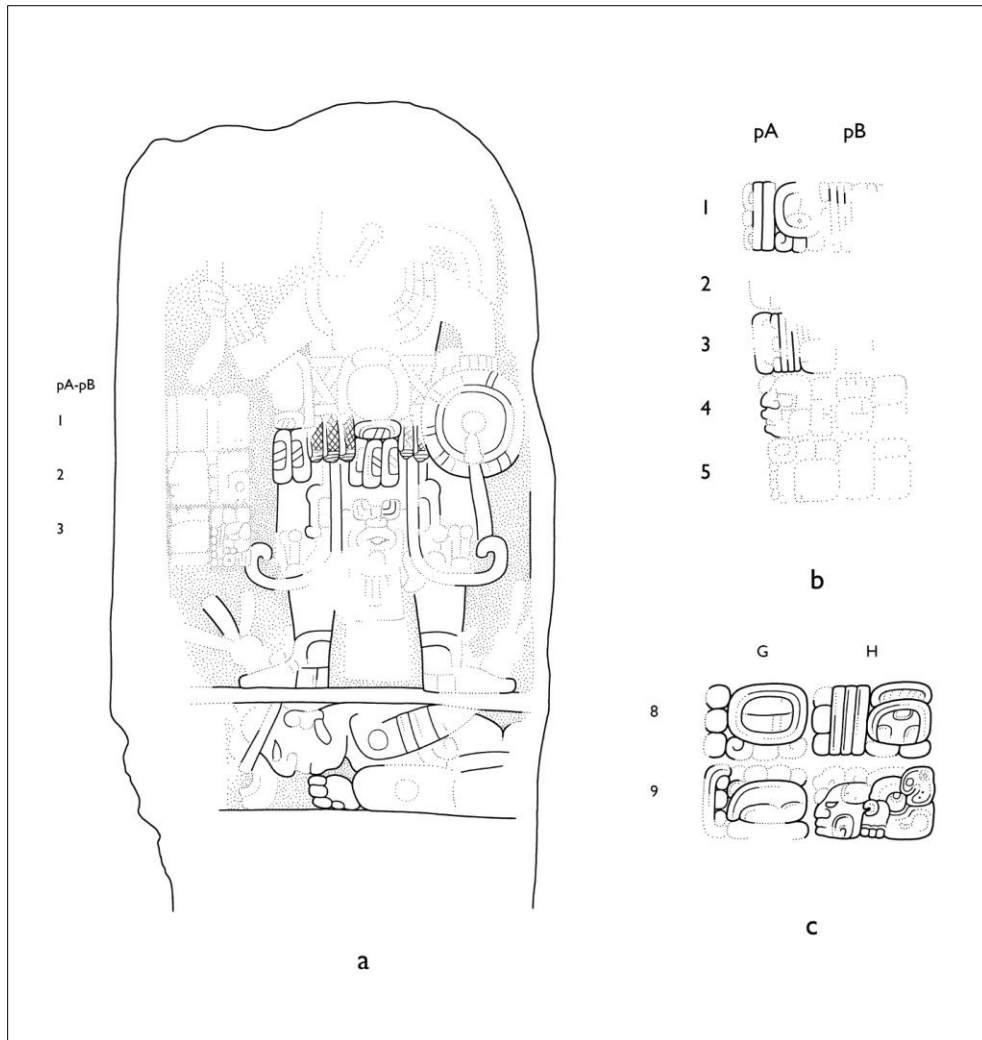


Figura 1.24. Estela 2 de Witzna' (a) con fecha de cuenta larga 9.17.15.0.0 abreviada con 5 ajaw 3 muwan en pA1 y pB1 y (b) cuenta larga 9.18.0.0.0. abreviación con 11 ajaw 18 mak de la Estela 1, y glifo emblema de *Bahlam Jol* (*Cabeza de Jaguar*) en posición pB3 en la Estela 2 de Witzna' y (c) el mismo signo en posición H9 en la Estela 22 de Naranjo (A. Tokovinine).

## CONCLUSIONES

La temporada 2016 fue exitosa puesto que se alcanzaron metas importantes tanto en Holmul como en Witzna'. En Holmul se pudo alcanzar un paso importante más hacia la conservación a largo plazo del friso así como de artefactos importantes para su exposición en museos. En la futura temporada se espera concluir con la conservación del friso por lo menos en su fase de consolidación para empezar una nueva fase de mantenimiento y monitoreo. Asimismo, se continuará con la conservación de artefactos más importantes producto de investigaciones en la región de Holmul para su exposición museográfica a nivel nacional e internacional.

Los datos arqueológicos recabados en la temporada 2016 son de gran significado histórico ya que nos proporcionan nueva información sobre los gobernantes de estos reinos y de sus relaciones políticas internas y externas. En Holmul se encontraron las tumbas de tres miembros de la nobleza real que vivieron en contemporaneidad parcial uno con otro durante el siglo VII d.C. Uno de ellos, el del Edificio D del Grupo I, poseía un ornamento personal con el nombre del rey de *Kaanul Yuknoom Uti Chaan* quien reinó en el 619 d.C. Este dato y el estilo cerámico de la ofrenda funeraria así como la mención en el texto del friso de que en el momento de la dedicación del edificio del friso a *Tzahb Chan Yopaat K'inich Tajal Tuun* había alcanzado veinte años de edad, sugieren que este entierro puede corresponder con el de *K'inich Tajal Tuun* mismo, sucesor de *Tzahb Chan Yopaat*, el rey celebrado en el friso del Edificio A en el 593-600 d.C.

El individuo enterrado en la Ruina X, podría ser otro miembro de la familia real de Holmul del inicio del siglo VII. Su ofrenda funeraria sugiere que vivió durante el reino de *Ajnuumsaj*, rey de Naranjo y abuelo de *K'inich Tajal Tuun* (y suegro de *Tzahb Chan Yopaat*). Ya que su entierro fue anterior al de *K'inich Tajal Tuun*, se hipotetiza que haya sido un hermano del rey *Tzahb Chan Yopaat* o de *K'inich Tajal Tun*. El individuo enterrado en el Grupo II, murió posiblemente unas décadas después de los mencionados anteriormente. La ubicación de su tumba frente al Edificio A del friso sugiere que haya sido un descendiente cercano de *Tzahb Chan Yopaat*. Debido a que su ofrenda está fechada alrededor del 650 a 700 d.C., se puede proponer la hipótesis de que el mismo fue un hijo/a menor o nieto/a del gran rey de Holmul. Entre su ofrenda es evidente su predilección para la escritura. Los hijos menores de los reyes frecuentemente tomaban el oficio de escriba.

El individuo enterrado en el Edificio D del Grupo I ocupó la ubicación más importante dentro del sitio, siendo el Edificio D la pirámide más elevada. Hay algunas similitudes entre este entierro y el de *Tzahb Chan Yopaat del Grupo II* como por ejemplo el estilo cerámico de la ofrenda y la ubicación del entierro en un edificio que anteriormente sirvió de palacio/sala de trono. La probable fecha de este entierro es alrededor del 619 d.C. por lo tanto se cree que el ocupante fue el hijo y sucesor de *Tzahb Chan Yopaat, K'inich Tajal Tuun*. Su ofrenda también nos proporciona un dato excepcional desde el punto de vista del panorama geopolítico de la época. El hecho de que un rey menor pudo haber poseído una joya de un rey de Kaanul es extraordinario. Esto nos indica que los reyes de Kaanul mantenían estrechas relaciones políticas con sus vasallos, sean estos de reinos mayores como Naranjo o secundarios como Holmul. Cabe mencionar que Holmul era parte de la hegemonía de Naranjo en el siglo VI. Esto sugiere que la estrategia de los reyes Kaanul era de micro-administración de sus sujetos incluso de reinos lejanos y por lo menos en las regiones claves como la de Holmul. Este nuevo dato es importante para nuestro entendimiento sobre la naturaleza de la hegemonía Kaanul sobre las Tierras Bajas Mayas del sur.

Finalmente, de Witzna' se recabaron datos primarios sobre la historia de ocupación del sitio así como de su importancia geopolítica. El sitio fue aparente sede de una dinastía independiente que utilizó su propio glifo emblema (*Bahlam Jol "Cabeza de Jaguar"*). Su palacio real fue ocupado por lo menos desde el Clásico Temprano. En el Clásico Tardío Witzna' fue aparentemente atacada por el rey de Naranjo *K'ahk' Tilew* dos veces, la segunda en el 697 d.C. de acuerdo a la Estela 22 de Naranjo. La causa de este ataque pudo haber sido que Witzna' era independiente hasta este momento y Naranjo quiso extender su hegemonía hacia el norte o bien que Witzna' fue anteriormente parte de la hegemonía de Naranjo y fue castigada por éste por haber intentado independizarse durante el periodo de debilidad de Naranjo anterior a la llegada al poder de *K'ahk' Tilew* y de su madre la señora *Seis Cielo*. Será interesante recabar más datos de Witzna' para comprender más sobre las interacciones políticas de esta importante entidad política.

El ataque a Witzna' coincide con un gran incendio y una marcada disminución de las actividades agrícolas y constructivas en el área, así como lo registran los sedimentos de la vecina laguna Ek Naab. Este dato es de suma importancia en la arqueología Maya puesto que con estos resultados se ha logrado congruencia entre datos históricos y datos paleoecológicos. Además es importante resaltar un caso bien documentado de abandono de un sitio por causas no relacionadas a cambios en el medio-ambiente o climático sino directamente ligados a la política. Gracias a estos datos históricos de la región de Holmul se puede alcanzar un mayor entendimiento no solamente sobre los reinos locales sino también sobre las estrategias geo-políticas de reinos hegemónicos como fue el reino Kaanul. Es probable que la continuación de investigaciones en esta región siga proporcionando datos clave para reconstruir la historia Clásica así como sus antecedentes Preclásicos en las Tierras Bajas Mayas del sur.

## REFERENCIAS

Fialko, Vilma

2005 Diez años de investigaciones arqueológicas en la cuenca del río Holmul, región noreste de Petén. En *XVIII Simposio de Investigaciones Arqueológicas en Guatemala, 2004*, (editado por J.P. Laporte, B. Arroyo y H. Mejía), pp. 244-260. Museo Nacional de Arqueología y Etnología, Guatemala.

Merwin, R.E. y G. Vaillant

1932 *The Ruins of Holmul*. Memoirs of the Peabody Museum of Archaeology and Ethnology III No.2. Peabody Museum of American Archaeology and Ethnology, Harvard University, Cambridge, MA.

## CAPÍTULO 2

### TERCERA TEMPORADA DE CONSERVACIÓN DEL FRISO DEL EDIFICIO A, GRUPO II, HOLMUL. HOL.T.78.32.

*Mariana Colín Gámez y Ma. Fernanda Escalante Hernández*

#### INTRODUCCIÓN

Con el objetivo de continuar con el plan de conservación elaborado para preservar el friso de Holmul, durante todo el mes de mayo de 2016 se realizó la tercera temporada de trabajo en la fachada estucada del Edificio A del Grupo II. Para esta ocasión, en su mayoría se elaboraron procesos de mantenimiento y restauración, principalmente en los paneles izquierdos de la fachada noroeste, también al centro, donde se ubica el personaje principal y en la primera mitad del dintel con la banda de glifos. En este reporte técnico, se resume los procesos realizados, así como materiales y los resultados obtenidos durante el periodo antes mencionado.

#### OBJETIVOS

- Continuar con la estabilización de zonas frágiles.
- Iniciar procesos de restauración en secciones ya estables.
- Contextualizar relieves desprendidos y reintegrarlos en su lugar correspondiente.

#### ESTADO DE CONSERVACIÓN

Durante el reconocimiento inicial de la tercera sesión, se examinaron las fachadas sur y oeste, es decir, las fachadas excavadas del friso a fin de monitorear los deterioros ya registrados (Colín 2014) y evaluar el funcionamiento de materiales e intervenciones realizadas en las primeras dos temporadas del proyecto de conservación (Colín 2014, 2015). Por otro lado, también se identificaron nuevas alteraciones, lo cual se explicará en este apartado.

El resultado de la inspección mostró que el estuco y la policromía se mantienen en buen estado sin cambios estructurales graves. Esto, gracias a los tratamientos de conservación curativa y que las condiciones climáticas son poco variables en el interior del túnel<sup>1</sup>, con lo cual se ha alcanzado un punto de equilibrio. Los cambios que se detectaron son oquedades, grietas y movimiento de estuco (al aplicar poca presión) en secciones de la banda de glifos, específicamente desde el tercer panel noroeste hasta el centro, es decir, debajo del personaje principal. Esta sección fue intervenida después del primer diagnóstico, durante 2014. Sin embargo, las grietas y oquedades continuaron trabajando, a consecuencia de los trabajos de excavación en los espacios internos del Edificio A del Grupo II (Estrada-Belli 2015). Hay que resaltar que, en este contexto, un pozo de sondeo aún se encuentra sin rellenar, lo cual disminuye el punto de carga para la banda de glifos, que es a su vez un dintel arquitectónico.

El aplanado de la bóveda hecho durante la temporada 2015, ha tenido un efecto óptimo, pues disminuye drásticamente la acumulación de tierra y pequeñas piedras, que anteriormente se depositaban en gran cantidad sobre la superficie estucada y como resultado, se reduce la abrasión de la policromía.

---

<sup>1</sup> Humedad Relativa (H.R.) 100% y temperatura (T) entre 24-26°C. Condiciones climáticas monitoreadas diariamente por un periodo de dos semanas, con termo higrómetro digital.



Figura 2.1. Crecimiento de raicillas y desprendimiento de enlucido. Foto: M. Colín.

Sin embargo, algunos factores biológicos causaron nuevos deterioros en el estuco. El primero, como se ha reportado desde el primer diagnóstico del friso (Colín 2014) es el crecimiento de raicillas en la cornisa y primer panel de la fachada oeste (Figura 2.1). Esto ha causado microfisuras, oquedades y desprendimientos del enlucido más fino. Por ello, se reitera la importancia de efectuar un plan de conservación arquitectónica y mantenimiento en el Edificio A, que erradique la flora que recubre el edificio, particularmente en la fachada norte, pues daña de manera irreversible la estructura y decoración del friso.

El segundo agente biológico, es una plaga de termitas subterráneas<sup>2</sup>, comúnmente llamada “comején”. La plaga, formó sobre la superficie del friso una red de estructuras tubulares delgadas y alargadas, de color café oscuro; estos canales están hechos de tierra y materia orgánica aglutinada con saliva del insecto (Figuras 2.2 y 2.3). Ya que las termitas se alimentan de celulosa, se dedujo que la plaga ingresó al friso mediante los tablones de madera que fueron colocados en el 2013 en la ventana de excavación que colinda a la superficie del edificio. El efecto que provocó son perforaciones en el estuco y pequeñas manchas negras en superficie.

En las temporadas previas se ha observado la aparición de microorganismos, específicamente hongos que se concentran en áreas puntuales sin un patrón definido de ubicación. Esta alteración se ha presentado de manera constante desde los últimos dos años y únicamente se activa cuando hay personas dentro del túnel por periodos prolongados. Razón por la cual, durante el proyecto de conservación, diariamente se hacen revisiones minuciosas de toda la superficie. Si bien este problema puede ser detectado y controlado, se han tomado medidas preventivas que reducen su proliferación: se procura que la cantidad de personas dentro del túnel no sea mayor a cuatro, se mantiene el área bien oreada (con ventilador), se procura mantener la H.R. en el mismo rango y se evitan condensaciones.

---

<sup>2</sup> Las termitas (*Reticulitermes banyulensis*) son isópteros que se alimentan de la celulosa que se encuentra en la madera o cualquiera de sus derivados. El termitero suele estar situado en el subsuelo y encontrarse a más de 40 metros del lugar en que se detectan sus señales. Tienen fototropismo negativo, es decir, que huyen de la luz, por lo que acceden a la madera desde el interior atravesando muros y paredes. En algunos casos, en paredes muy duras o cuando precisan intercambios de humedad y/o temperatura, salen de los muros, formando unos túneles característicos, compuestos de arena y excrementos cementados por saliva.



Figuras 2.2 y 2.3. Galerías provocadas por termitas subterráneas. Fotos: M. Colín.

## PROCESOS DE CONSERVACIÓN Y RESTAURACIÓN

A continuación, señalaremos los procesos realizados durante la temporada 2016, estos fueron efectuados de acuerdo a los principios y criterios que rigen a la conservación a nivel internacional, además de dar seguimiento a la propuesta de conservación (Colín 2014). Es por ello que los materiales utilizados en la intervención son inocuos y tienen afinidad química con los que conforman el friso. Además, para contrarrestar las problemáticas detectadas en el estuco, se han aplicado tanto metodologías como materiales que con antelación han demostrado su eficiencia en pro de la conservación de materiales calizos, así como su retratabilidad en futuras intervenciones, en caso de ser necesario. Por otro lado, en la ejecución de cada proceso se ha preponderado el respeto a la originalidad, sin falsificar o quitar los rasgos documentales del friso.

Los procesos aquí desarrollados dan seguimiento a los ejecutados durante 2014 y 2015, teniendo como objetivo frenar y/o subsanar los deterioros que presentaba el estuco modelado; con lo cual se pretende evitar su deterioro a mediano plazo. Es importante mencionar que, en la conservación de elementos de estuco, los materiales que han demostrado mejores características en la conservación, son la cal y sus derivados. Pues su uso en la conservación de estructuras arqueológicas e históricas puede asegurar una buena compatibilidad y continuidad en el comportamiento de las mismas (Magar en Barba y Villaseñor 2013). Es por ello que, para este proyecto se ha favorecido la aplicación de cal frente a otros productos.

## LIMPIEZA

El proceso de limpieza tiene la finalidad de eliminar, o retirar de la superficie del estuco, todos aquellos elementos o materiales que son ajenos al bien. Ya que estos de manera paulatina dañan la superficie, por medio de reacciones químicas y/o causando manchas. Entre los diferentes materiales que se eliminaron en este proceso son: tierra, túneles de termitas subterráneas, excretas de fauna y flora. En primer lugar, se eliminó tierra únicamente de las áreas a intervenir utilizando brocha; cabe aclarar que este proceso no se realizó de manera generalizada para evitar la abrasión de la policromía. A continuación, se cortaron las raicillas nuevas a ras de la piedra de soporte, mediante tijeras y navaja.

Posteriormente, se inició la remoción de las galerías de termitas, para lo cual se realizaron pruebas de solubilidad, a fin de identificar el método más efectivo. En base a la composición de las galerías y en las pruebas de solubilidad, se decidió combinar limpieza química y mecánica, es decir, se retiró la sección más gruesa con bisturí y espátula. Después, se reblandeció el aglutinante natural con una mezcla de agua-alcohol 1:1 o agua, aplicada con hisopo rodado o papeta de algodón, según se requiriera; alternadamente se utilizó bisturí para remover los pequeños residuos. Al finalizar la limpieza, fue evidente que el anclaje de los túneles de termita, dañan la superficie del estuco de manera irreversible, generando erosión puntual y pérdida de policromía.

## FIJADO Y CONSOLIDACIÓN

Estos procesos se realizaron en aquellas secciones en las que el estuco se había desprendido parcial o totalmente de la piedra de soporte. Para ello se utilizaron lechadas y mortero<sup>3</sup> de carga de granulometría gruesa en proporción 3:1; el polvo de piedra utilizado fue previamente lavado y cernido. Con la finalidad de evitar la proliferación de hongos, como se detalla al final del capítulo, el mortero fue adicionado con *Kathon LX* al 0.02%. Los procesos se efectuaron en algunas áreas del lado noroeste del friso, sin embargo, este año la zona más intervenida fue la banda jeroglífica; donde por medio de inspección pudimos determinar que aún existía movimiento y probabilidad de desplome de algunas secciones. La estabilización de cada caso se realizó de acuerdo a su problemática particular. En aquellos en que el elemento presentaba oquedad, se realizó consolidación con lechadas<sup>4</sup> aplicadas por inyección. La perforación para el paso de la aguja, se hizo preferentemente en áreas con grietas o de pequeños faltantes. Por otro lado, cuando el fragmento tenía áreas de faltante asociado y había poco movimiento, se realizaba fijado con lechada por goteo y aplicación de mortero grueso para reforzar las uniones.

## UNIÓN DE FRAGMENTOS

Las secciones más inestables, donde el estuco tenía mayor movimiento, se desprendieron intencionalmente y se realizó una nueva adhesión del fragmento. En estos casos, la parte interna del estuco contenía raicillas secas y tierra, así que se limpiaron las áreas de contacto y se humectaron con agua de cal<sup>5</sup>, después se adherieron al soporte colocando una capa de lechada o una capa de mortero, si se requería aumentar el grosor.

Como se reporta en temporadas anteriores (Colín 2014 y 2015), durante el proceso de excavación se encontraron fragmentos de estuco. Estos elementos, y otros recabados durante las primeras temporadas del proyecto de conservación, fueron clasificados de acuerdo a la ubicación de su hallazgo, forma, tamaño y color, posteriormente se colocaron en bolsas de polietileno a fin de conservarlos. En el presente se hicieron pruebas de colocación de todos los fragmentos, para reincorporar en el friso la mayor cantidad posible. Para la unión de estos elementos, al igual que en los anteriores, se utilizó pasta y/o mortero grueso. En algunos casos fue necesario colocar de manera auxiliar un hisopo u otros elementos a manera de puntal, hasta que el fragmento quedara bien adherido (Figuras 2.4 y 2.5).

Todos los fragmentos fueron revisados, pero solo una parte se reubicó en su lugar correspondiente. De manera que, en función de los principios de mínima intervención, respeto al original y no falsificación, hay una gran cantidad de fragmentos que no podrán ser adheridos, por las siguientes razones:

- Son muy pequeños, por lo tanto, solo se puede suponer cuál es su lugar original.
- Tienen forma bien definida, pero no existen lagunas en el friso que correspondan con dicha forma o tamaño.
- Son fragmentos del rostro; resultado de la destrucción intencional de los personajes. Es decir, adherirlos significa borrar una huella en la historicidad del bien.

## RESANES Y RIBETES

---

<sup>3</sup> Mortero o Argamasa. Mezcla de un cementante (cal) y un agregado (carga). Al expresar la proporción, siempre va primero la correspondiente a la carga y después la de la cal. Por ejemplo, un mortero 2:1, está conformado por dos partes de cargas por una de cal.

<sup>4</sup> La lechada es una pasta de cal con exceso de agua, por lo que tiene la capacidad de hacer gota y es fluida.

<sup>5</sup> El agua de cal resulta del proceso de apagado de este producto y se puede recuperar cuando la pasta se ha precipitado. El agua a pesar de ser transparente, presenta un valioso contenido de carbonato de calcio disuelto, por lo cual es muy eficiente en consolidaciones y otros procesos.

Una vez estabilizadas las áreas por medio de los procesos antes señalados, se hicieron resanes y ribetes en secciones con faltantes. Para su aplicación, primero se humectó el área a tratar con agua de cal y posteriormente se colocaron las capas de mortero. Se usaron dos morteros de piedra caliza en proporción 3:1; uno de granulometría gruesa y otro de granulometría fina. Las cargas fueron previamente lavadas, cernidas y se les agregó *Kathon LX* al 0.02%. La argamasa gruesa se utilizó para rellenar las secciones más profundas (Figura 2.8) que posteriormente se recubrieron con el mortero fino, con la intención de imitar el enlucido del estuco (Figuras 2.5, 2.7 y 2.9). Continuando con los criterios establecidos para este proyecto, los resanes se realizaron al mismo nivel que el original. Como parte de este proceso, también se hizo reposición formal, con la finalidad de completar y hacer más comprensibles algunos diseños del friso (Figuras 2.4-2.7). Este proceso se basó en la evidencia material, es decir completando líneas y formas simétricas.



Figura 2.4. (Izquierda) estuco modelado con faltantes que dejan ver la piedra expuesta. Figura 2.5. (Derecha) misma sección después de proceso de resane y reposición.



Figura 2.6. (Izquierda) desprendimiento de la mitad inferior. Figura 2.7. (Derecha) misma sección después de procesos, se adhirieron fragmentos y se reconstruyó una parte. Fotos. M. Colín.



Figura 2.8. (Izquierda) detalle de rodilla durante proceso con enlucido grueso. Figura 2.9. (Derecha) resultado después de resanes. Fotos. M. Colín.

Un punto importante durante este proceso fue reconstruir pequeñas secciones de la banda de glifos (Figuras 2.10-2.12), que, si bien son secciones con faltantes pequeños, estos se localizan en una de las zonas más importantes de la fachada. Motivo por el cual, para la reconstrucción, fue obligatorio apearse a las referencias gráficas, específicamente del primer registro fotográfico (inmediato al hallazgo) y también en el análisis epigráfico (Figura 2.12) de A. Tokovinine (2014).



Figura 2.10. Imagen que corresponde a “pO”. Foto. M. Colín.



Figura 2.11. Glifo “pP”. Foto. M. Colín.

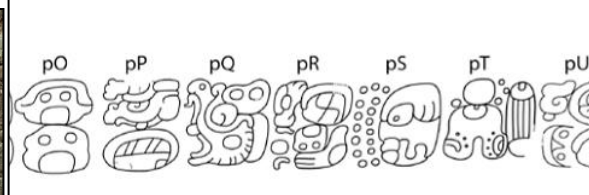


Figura 2.12. (Izquierda) sección de “pT” y “pU”. Foto. M. Colín. Figura 2.13. (Derecha) fragmento del texto principal. Dibujo: A. Tokovinine, Tomado de Estrada-Belli, 2013.

## REINTEGRACIÓN CROMÁTICA

Al secar, los morteros de cal cambian de color a uno sumamente blanco; esta característica puede ayudar a evidenciar las intervenciones y a distinguir fácilmente entre el material original del agregado. Sin embargo, desde otra perspectiva, también puede interferir de manera negativa en la apreciación, creando puntos de atención no relevantes. Por esta razón, se optó por agregar color únicamente en los resanes de cal. Durante esta temporada se inició este proceso, tal y como se planificó en la propuesta de trabajo se utilizaron pigmentos minerales aplicados a manera de temple a la cal, mediante la técnica operativa de puntillismo (Figura 2.14). El resultado de este proceso, igualmente sirve para diferenciar las intervenciones cuando la superficie se observa a detalle y poca distancia. Como resultado, la reintegración de color facilita la comprensión en general, de tal manera que, se aprecia la obra como un total y no enfocando la atención en los deterioros e intervenciones, es decir, hay más unidad. A continuación, se muestran ejemplos de detalles ya intervenidos hasta este proceso.



Figura 2.14. Durante el proceso de reintegración de color (misma sección que la Figura 2.10).



Figura 2.15. (Izquierda). Detalle antes de procesos. Figura 2.16. (Derecha) misma sección después de tratamientos. Fotos: M. Colín.



Figura 2.17. (Izquierda) detalle de serpiente, lado noroeste al inicio de procesos. Figura 2.18. (Derecha) mismo relieve después de tratamientos. Fotos: M. Colín.



Figura 2.19. (Izquierda) panel noroeste con anciano, antes de procesos. Figura 2.20. (Derecha) mismo panel después de tratamientos, aunque hay procesos de restauración por realizar en la parte superior. Fotos: M. Colín.

## TRATAMIENTO DE PLAGAS Y MICROORGANISMOS

Como se mencionó en el estado de conservación, se observó la aparición hongos en áreas específicas. Es por ello, que se decidió dar continuidad a las estrategias utilizadas en 2014 y 2015. En primer lugar, se eliminó el hongo por medios mecánicos con espátula cauterizada con alcohol. Una vez retirada la mayor parte, se limpió la superficie con alcohol y se asperjó una solución de agua de cal con *Kathon LX*<sup>6</sup> al 0.02%. Este biocida de alto espectro y con baja remanencia, garantiza la eliminación de la microflora, sin reaccionar con otros elementos como el estuco y los pigmentos que constituyen la policromía. Como medida preventiva, además se colocó óxido de zinc<sup>7</sup> en pequeñas cantidades para inhibir la proliferación de hongos.

También, como repelente contra las termitas y pretendiendo que reubiquen sus túneles, al cerrar la temporada se colocaron cuatro pastillas de naftalina<sup>8</sup> dentro de la subestructura donde se ubica el friso. Por lo tanto, se hace énfasis en que en futuras temporadas al iniciar cualquier trabajo en el friso, se debe ventilar adecuadamente el área, debido a la toxicidad por remanentes de la naftalina, que pueden dañar al personal.

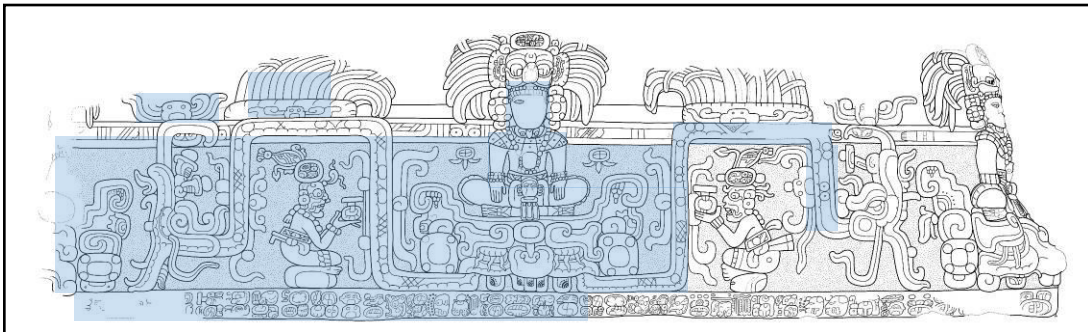


Figura 2.21. Esquema que muestra las áreas que fueron intervenidas en esta temporada. (Dibujo: A. Tokovinine) (Esquema: M. Colín).

<sup>6</sup> *Kathon LX*: Preservador compuesto de dos ingredientes activos de isotiazolinones (5-cloro-2-metil-4-isotiazol-3-uno y 2-metil-4-isotiazol-3-uno). Rohm y Hass son los descubridores del ingrediente activo del *Kathon*<sup>®</sup> en 1960. Es de amplio espectro contra microorganismos que se desarrollan en ambientes húmedos, soluble en agua, incoloro e inodoro, baja toxicidad, rápidamente biodegradable, no persistente en el ambiente y no bio-acumulable, efectivo a bajas concentraciones y sin modificar el pH, no iónico.

<sup>7</sup> ZnO, provee propiedades anti-bacteriales, funciona como fungicida.

<sup>8</sup> Hidrocarburo aromático policíclico, derivado del paradiclorobenceno, su fórmula química es C<sub>10</sub>H<sub>8</sub>, es un sólido blanco que se volatiliza fácilmente. Repelente que funciona como método preventivo, pero que no debe estar en contacto directo con los materiales originales (Canevá, *et.al.* 2000:159). La naftalina en exposiciones elevadas es tóxica para los seres humanos.

## CONCLUSIONES

En esta temporada se consumaron procesos tanto de conservación como restauración en aproximadamente 30% del friso. Lo cual es un avance significativo, dada la complejidad y estado de conservación en el que se encontraba el estuco. Los relieves más frágiles actualmente están completamente estabilizados y restaurados, es decir, visualmente hay un cambio drástico favorable y en términos de conservación, se han cumplido con los principios profesionales sin alterar los valores originales. Sin embargo, para garantizar la preservación del bien, en el futuro será necesario continuar con el mantenimiento de la subestructura y el friso; pues debido a las características del contexto, es imposible eliminar completamente las causas de deterioro. El estado de conservación del Edificio A, se reflejará inevitablemente en el friso; los efectos de deterioros en la estructura son a su vez causa de nuevos daños en el estuco. En las próximas temporadas, el trabajo deberá enfocarse en la conservación y restauración de la segunda mitad de la fachada oeste e iniciar algunos tratamientos en la esquina sureste. Será imprescindible monitorear el dintel con glifos y la plaga de terminas, para tomar las medidas correspondientes en caso de presentar nuevos deterioros.

## REFERENCIAS

Barba, Luis e Isabel Villaseñor (editores)

2013 *La cal: Historia, propiedades y usos*, UNAM – Instituto de Investigaciones Antropológicas – Asociación Nacional de Fabricantes de Cal A.C., México.

Canevá, G., N. P. Nugari y O. Salvadori

2000 *La biología en la restauración*, ENEA – Junta de Andalucía – Consejería de Cultura – IAPH, España.

Colín, Mariana y José Morales

2015 “Capítulo 8. Conservación del friso del Edificio A, Grupo II, Holmul. HOL.T.78.32”. En *Investigaciones arqueológicas en la región de Holmul, Petén: Holmul y Cival. Informe preliminar de la temporada 2014*. (Editado por F. Estrada-Belli), pp. 83-92. Boston University, Archaeology Department. Informe entregado al Departamento de Monumentos Prehispánicos y Coloniales, Ministerio de Cultura y Deportes. Guatemala.

Colín, Mariana

2016 “Capítulo 2. Segunda Temporada de conservación del friso del Edificio A, Grupo II, Holmul. En *Investigaciones Arqueológicas en la Región de Holmul, Petén: Holmul y Cival. Informe anual de la temporada 2015*. (Editado por F. Estrada-Belli), pp. 29-38. Boston University, Archaeology Department. Informe entregado al Departamento de Monumentos Prehispánicos y Coloniales, Ministerio de Cultura y Deportes. Guatemala.

Estrada-Belli, Francisco

2014 “Capítulo 8. Excavaciones en el Edificio A, Grupo II, Holmul. HOL.T.78, HOL.L.20”. En *Investigaciones Arqueológicas en la Región de Holmul, Petén: Holmul y Cival. Informe Preliminar de la Temporada 2013*. (Editado por F. Estrada-Belli), pp. 101-110. Boston University, Archaeology Department. Informe entregado al Departamento de Monumentos Prehispánicos y Coloniales, Ministerio de Cultura y Deportes. Guatemala.

Estrada- Belli, Francisco

2015 *Investigaciones arqueológicas en la región de Holmul, Petén: Holmul y Cival. En Informe preliminar de la temporada 2014*. Boston University, Archaeology Department. Departamento de Monumentos Prehispánicos y Coloniales, Ministerio de Cultura y Deportes. Guatemala.

Estrada- Belli, Francisco

2016 *Investigaciones Arqueológicas en la Región de Holmul, Petén: Holmul y Cival. En Informe Anual de la Temporada 2015*. pp. 6-14. Boston University, Archaeology Department. Informe entregado al Departamento de Monumentos Prehispánicos y Coloniales, Ministerio de Cultura y Deportes. Guatemala.

Tokovinine, Alexandre

2014 “Capítulo 9. Documentación y análisis preliminar de la inscripción del Edificio A, Grupo II, Holmul, Guatemala”. En *Investigaciones Arqueológicas en la Región de Holmul, Petén: Holmul y Cival. Informe Preliminar de la Temporada 2013*. (Editado por F. Estrada-Belli), pp.119. Boston University, Archaeology Department. Informe entregado al Departamento de Monumentos Prehispánicos y Coloniales, Ministerio de Cultura y Deportes. Guatemala.

Página web:

[http://www.termitas.net/las\\_termitas/especies/las\\_termitas\\_subterranas.php](http://www.termitas.net/las_termitas/especies/las_termitas_subterranas.php)

Consultada en octubre de 2016.

## CAPÍTULO 3

### EXCAVACIÓN HOL.T.89, EDIFICIO A, GRUPO II, HOLMUL.

*Mynor Adán Silvestre Aroche*  
*Universidad de San Carlos de Guatemala*

#### INTRODUCCIÓN

La excavación HOL.T.89 se efectuó con el propósito de comprobar si en la arquitectura frontal del Edificio A se localizaba otro mascarón como el que se encuentra expuesto y su posible escalinata de acceso. Se inició con una excavación de 5 m de largo por 3 m de ancho, orientada de norte a sur en la parte central y al frente de la fachada que está hacia el lado sur del Edificio A del Grupo II, el cual está compuesto de siete edificios (de la A a la F según nomenclatura de Merwin) construido sobre una plataforma rectangular de 13 m de altura y 89 x 110 m sobre los lados. El Edificio A, es el montículo más imponente del grupo, ocupa gran parte del lado sureste de la plataforma (Merwin y Vaillant, 1932:17). El Edificio A, tiene en la fachada este un mascarón de mampostería, pero está derrumbado en el lado sur y un túnel de saqueo sobre lo que se identifica como una nariz. La fachada del lado sur que es la principal del edificio, está decorada con otro mascarón que presenta derrumbes en el lado este y muros estables en el lado oeste.

#### DESCRIPCIÓN DE LA EXCAVACIÓN

Se inició la excavación removiendo el humus de 0.20 metros de espesor mezclado con raíces y piedrín, debajo de este se encontró otra capa, contexto HOL.T.89.01, la cual está integrada por material que se acumuló por derrumbes del edificio, compuesto por piedrín, piedras de pequeñas a grandes dimensiones y tierra color blanco con consistencia poco compacta, textura granulosa y suave. Se realizaron extensiones al este y oeste con el objetivo de seguir los muros y conocer su conformación. En este contexto HOL.T.89.01, se localizó el mascarón que está situado en el primer cuerpo del edificio con características similares al que se encuentra expuesto y ubicado en el segundo cuerpo, teniendo 8 m de largo por 3 m de altura aproximadamente.



Figura 3.1. Mascarón del cual se puede apreciar la nariz y al lado derecho posiblemente un ojo (Foto de M. Silvestre).

En el lado oeste del mascarón se localizó un muro de 1.90 m de largo por 1.20 m de altura que es parte de la escalinata que queda justo frente a la única entrada visible (Puerta Negra). Seguidamente se continuó con la excavación hasta encontrar el piso, contexto HOL.T.89.02, que presenta un acabado fino y que seguramente es el piso que cubre toda la plataforma sobre la que se levanta el Edificio A.



Figura 3.2. Mascarón expuesto en el segundo cuerpo del Edificio A (Foto de M. Silvestre).

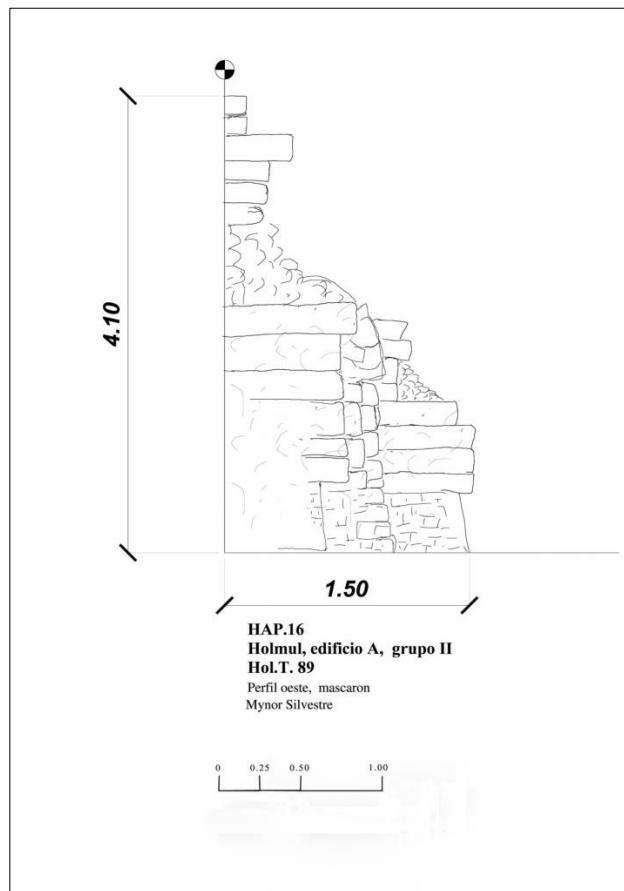


Figura 3.3. Perfil oeste de mascarón (Dibujo de M. Silvestre).

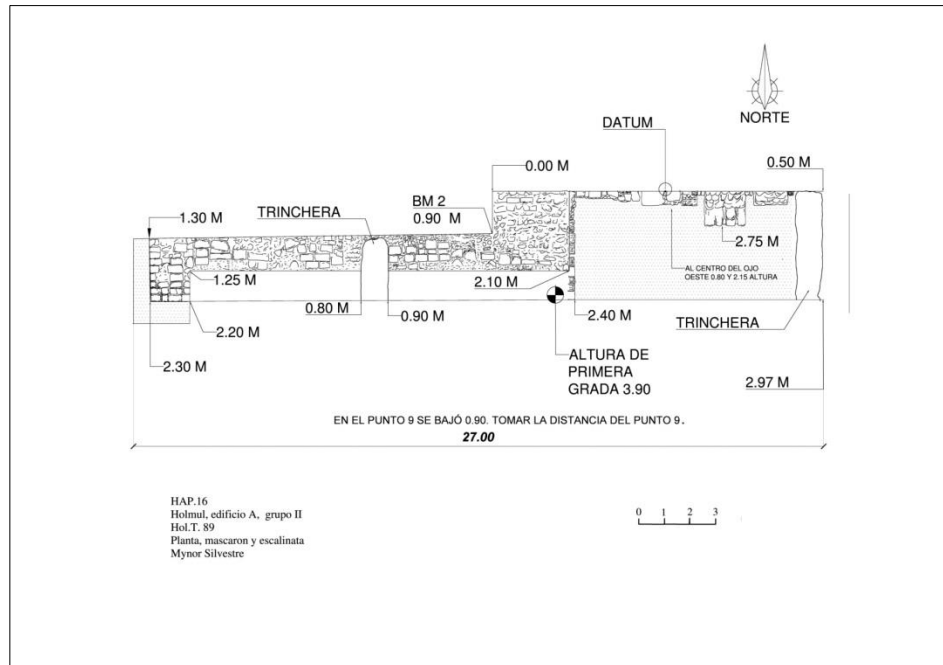


Figura 3.4. Planta de mascarón y escalinata (Dibujo de M. Silvestre).

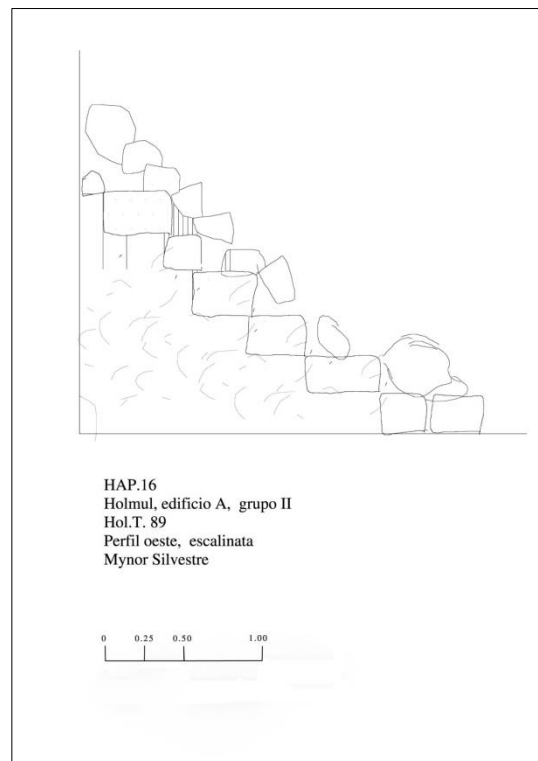


Figura 3.5. Perfil de escalinata (Dibujo de M. Silvestre).

En la extensión realizada en el oeste, en parte del muro descrito anteriormente se localizaron las gradas de la escalinata, contexto HOL.T.89.03, que daban acceso al edificio, estas tienen una longitud de 16.50 metros, su mal estado se infiere, que es debido al tiempo y a los colapsos que se dieron desde lo alto del edificio, no se conoció su altura debido a que la excavación se realizó en forma horizontal, quedando pendiente realizar una excavación vertical que proporcionara la altura y el número de gradas que la conforman.



Figura 3.6. Muro de la escalinata vista hacia el oeste del Edificio A, del Grupo II (Foto de M.Silvestre).

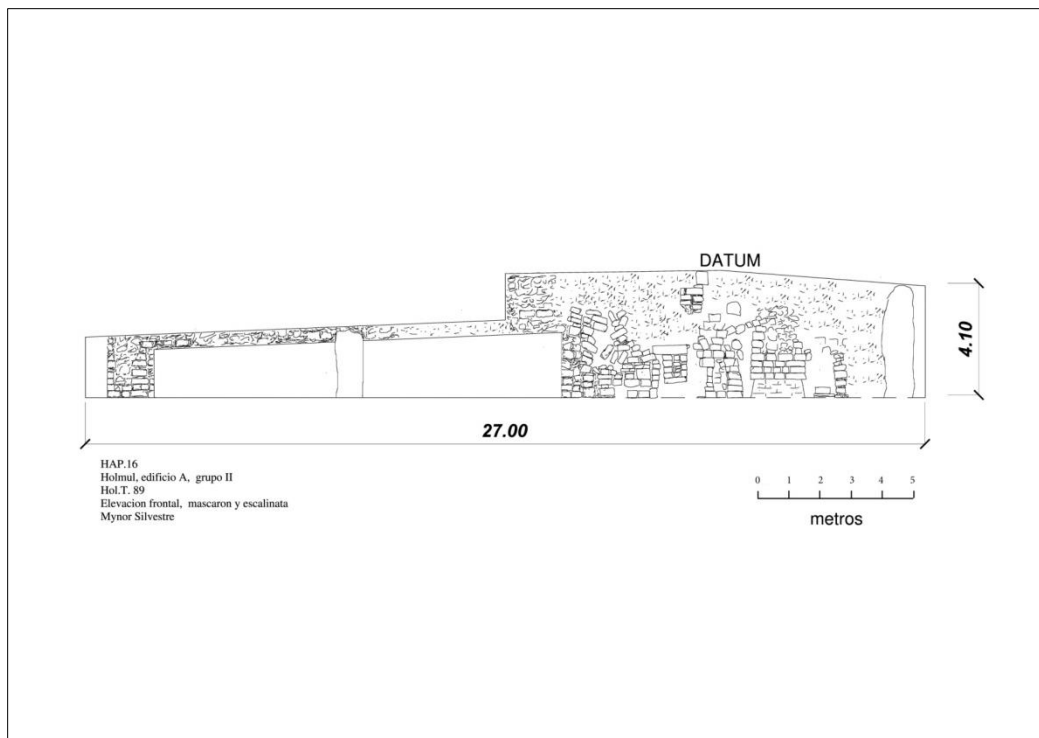


Figura 3.7. Elevación frontal de mascarón y escalinata (Dibujo de M. Silvestre).

En lado oeste del Edificio A, se localizó el muro que da inicio a la escalinata, su estado es malo por lo motivos antes descritos. En los contextos HOL.T.89.01 Y HOL.T.89.03 se recolectaron tiestos cerámicos pertenecientes a las fases Sierra Rojo, Polvero Negro, Policromos, sin engobe y artefactos de pedernal.



Figura 3.8. Vista hacia el oeste de las gradas que conforman la escalinata del Edificio A del Grupo II.



Figura 3.9. Inicio de la escalinata en el lado oeste del Edificio A (Foto de M. Silvestre).

## CONCLUSIONES

Sobre la plataforma que soporta los edificios A, B, C, D, E, F y G del Grupo II en el lado sur, se construyó un piso, HOL.T.89.02, sobre el cual se encuentran los muros de contención del primer cuerpo del Edificio A y los que conforman los mascarones, HOL.T.89.01, que ornamentan al mismo edificio. Estos mascarones fueron realizados con bloques de piedra de entre 0.20 m a 1.40 m de largo por una altura variable de entre 0.10 a 0.50 m y grosor de 0.20 a 0.25 m; los mismos fueron colocados de manera que formaban la figura de un posiblemente felino. Todo lo anterior fue descubierto después de retirar el relleno que era parte del colapso que sufrió el edificio y que fue cubierto por una capa de humus de aproximadamente de 0.20 metros. Sobre el mismo piso, anteriormente descrito, se construyó la escalinata, HOL.T.89.03, que daría acceso al Edificio A.

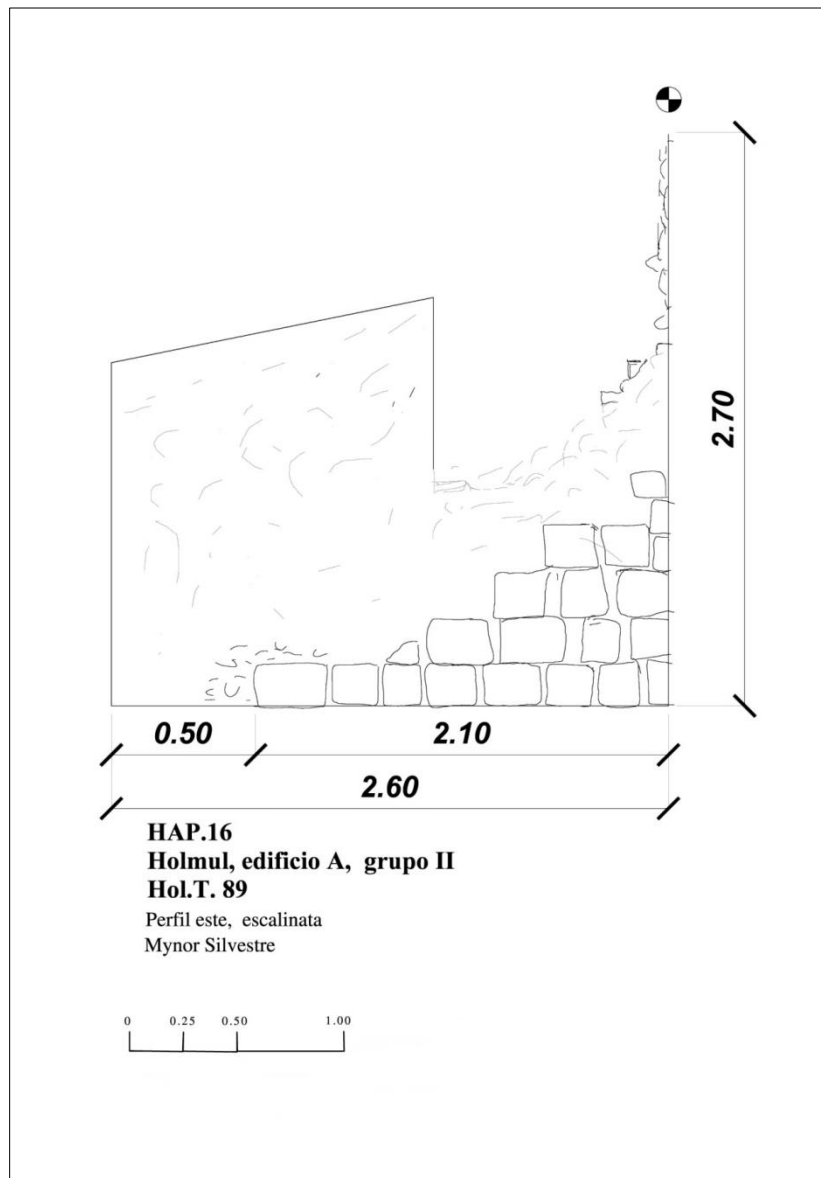


Figura 3.10. Perfil este de la escalinata de acceso al Edificio A (Dibujo de M. Silvestre).

## EXCAVACIÓN HOL.T.99, EDIFICIO A, GRUPO II, HOLMUL

La excavación HOL.T.99 se efectuó con el propósito de conocer si en la arquitectura frontal del primer cuerpo, se localizaba otro mascarón similar al encontrado en el lado este del edificio conformando una ornamentación simétrica. Se inició con una excavación de 2.00 metros de largo por 2.00 metros de ancho, orientada de sur a norte, ubicada en el lado oeste del Edificio A del Grupo II.

### DESCRIPCIÓN DE LA EXCAVACIÓN

Se inició la excavación removiendo aproximadamente 0.20 metros de espesor de humus que cubría al área a explorar, es de color café oscuro, consistencia poco compacta, textura granulosa y suave, está integrada por piedras calizas de variados tamaños. Bajo esta capa se encontró un relleno de piedras de pequeñas a grandes mezcladas con tierra caliza producto de derrumbes que se dieron desde la parte superior del edificio; se registró como contexto HOL.T.99.01.

En este contexto, HOL.T.99.01, se encontraron alineamientos de piedras motivo por el cual se realizaron extensiones hacia el oeste, este y sur; en el lado oeste se encontró un muro que formaría parte del Edificio C, al sur se localizó el piso que cubre toda la plataforma basal del grupo y al este los alineamientos de piedra mostraron que formaban parte de una figura zoomorfa, posiblemente de un felino, las características indican que era similar a los mascarones que ornamentan los cuerpos uno y dos ubicados en el lado este del edificio. En todo el contexto se recuperó muy poco material cerámico debido a que es relleno de colapso. De material lítico se recuperó un fragmento de un hacha de pedernal al que se denominó hallazgo HOL.T.99.01.04.01.



Figura 3.II. Muro norte que forma parte del Edificio C, del Grupo II (Foto de M. Silvestre).



Figura 3.12. Piso que cubre la plataforma basal del Grupo II (Foto de M. Silvestre).



Figura 3.13. Vista hacia el este del mascarón ubicado en la parte oeste, primer cuerpo del Edificio A, nótese al centro el alineamiento que sería la nariz del zoomorfo (Foto de M. Silvestre).

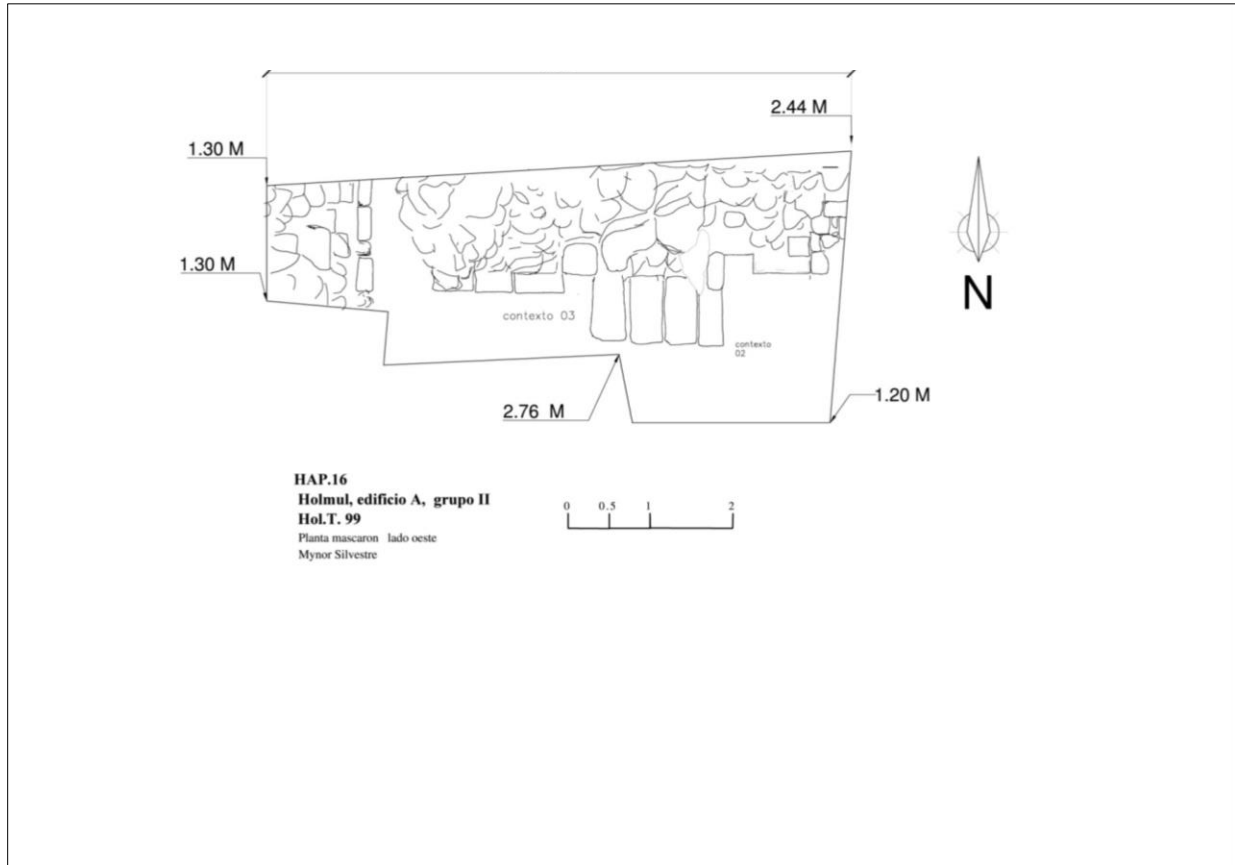


Figura 3.14. Vista de planta de la figura zoomorfa, lado oeste del Edificio A, Grupo II (Foto de M. Silvestre).

## CONCLUSIÓN

Sobre la plataforma que soporta los Edificios A, B, C, D, E, F y G del Grupo II, en el lado sur, se construyó un piso, (HOL.T.89.02) sobre el cual se encuentran los muros de contención del primer cuerpo del Edificio A; y los que conforman el mascarón HOL.T.99.01, que ornamenta el primer cuerpo del lado oeste. Este mascarón fue realizado con bloques de piedra de entre 0.20 a 1.40 metros de largo por una altura variable de entre 0.10 a 0.50 metros y grosor de 0.20 a 0.25 metros; los mismos fueron colocados de manera que formaran la figura de un posiblemente felino. Todo lo anterior fue descubierto después de retirar el relleno que era parte del colapso que sufrió el edificio y que fue cubierto por una capa de humus de aproximadamente de 0.20 metros. En la próxima temporada de investigación se continuará con esta excavación para poder definir lo sucedido con este mascarón.

## EXCAVACIÓN HOL.T.90, EDIFICIO D, GRUPO II, HOLMUL

El Grupo II está compuesto por siete edificios identificados de la A a la G, sobre una plataforma basal de 3 metros de altura de forma rectangular que mide 89 metros de ancho por 110 metros de largo. El Edificio D es una construcción pequeña que tiene aproximadamente 29 metros de largo por 20 metros de ancho y una altura de 6 metros, orientado de este a oeste; en la parte superior cuenta con tres cuartos con accesos hacia el oeste, el cuarto central tiene relación directa con los cuartos anexos a través de puertas internas. Según las investigaciones realizadas en el 2013, este edificio presenta hacia el lado este, restos parciales de mascarones que representan deidades solares o gobernantes con tocado de ave primordial durante el Preclásico Tardío (Estrada Belli 2014:89). La excavación se realizó en la fachada este, se inició con el trazo de un área de 2.50 metros de largo por 2.00 metros de ancho con el objetivo de localizar la existencia de construcciones tempranas que aporten datos para conocer la historia del edificio.

### DESCRIPCIÓN DE LA EXCAVACIÓN

La excavación se inició con el número de contexto HOL.T.90.01 correspondiendo a lo que es el relleno de la investigación del 2013, mezclado con colapso de la última fase constructiva. Este contexto está integrado por tierra color gris y blanca, piedras de pequeñas a grandes y pedrín, no se recolectó material cerámico ni lítico debido a que es el relleno de la última etapa o colapso. Al continuar la excavación hacia abajo, a 1.30 metros se localizó un piso que se infiere es el mismo que se encuentra expuesto en la trinchera de saqueo del lado sur del edificio, se registró como contexto HOL.T.90.02. Se amplió la excavación hacia el oeste un metro más y a una altura de 0.44 metros en la esquina noroeste del datum en la esquina suroeste 0.48 metros, esquina sureste 0.15 metros. Y parte central 0.24 metros. Con la ampliación realizada se continuó con la excavación bajo el piso HOL.T.90.02, se extrajo el relleno, contexto HOL.T.90.03, que estaba constituido por tierra color gris y blanca mezclada con piedras pequeñas a grandes, que dio como resultado encontrar otro piso, contexto HOL.T.90.004, a 1.50 metros, que también coincide con el segundo piso que se encuentra expuesto en la trinchera de saqueo.



Figura 3.15. Pisos descubiertos que coinciden con trinchera de saqueo (Foto de M. Silvestre).

En el relleno que está entre los dos pisos contexto HOL.90.03, se realizó una excavación horizontal con el objetivo de localizar edificios de construcción más temprana, a 1.27 metros se encontró un muro conformado por bloques trabajados de una altura 0.52 metros que no se pudo establecer la función, detrás de este muro había material de relleno compuesto por piedras de varios tamaños y tierra color blanco. Se continuó con la excavación en forma horizontal en el piso HOL.T.90.02, hasta encontrar el muro que es el mismo de la estructura que se encuentra expuesto en la parte superior del Edificio D.



Figura 3.16. Muro que es parte de la estructura expuesta en el Edificio D (Foto de M. Silvestre).

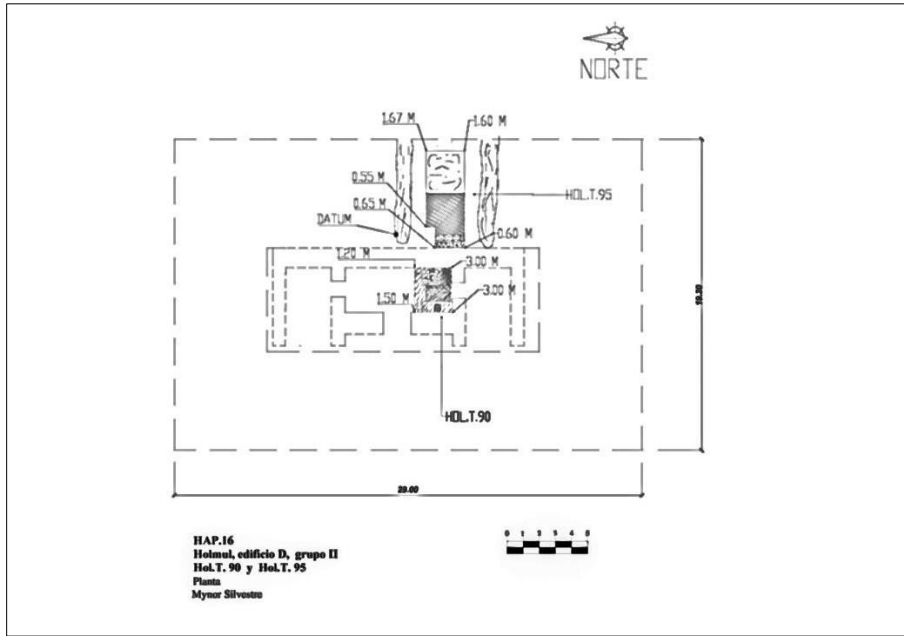


Figura 3.17. Vista del perfil oeste HOL.T.90 y HOL.T.95 (Dibujo de M. Silvestre).

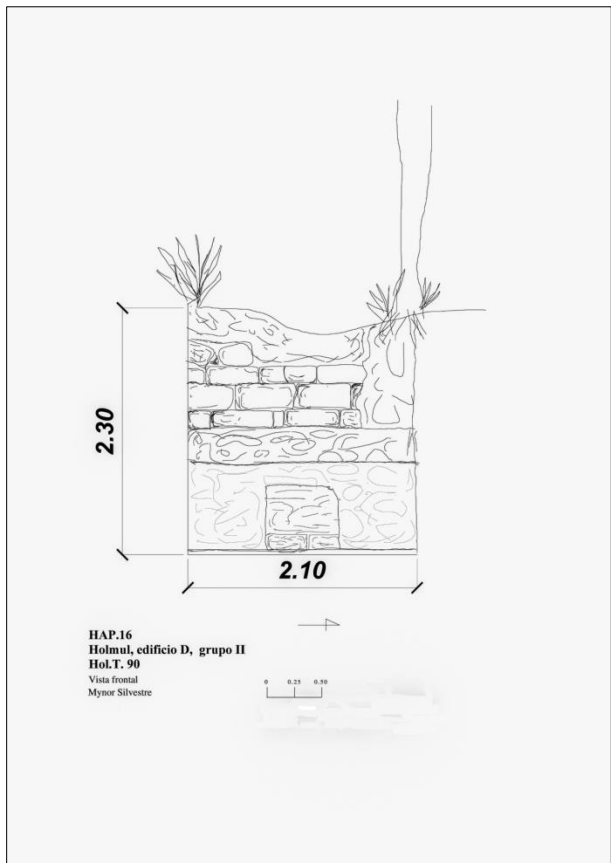


Figura 3.18. Vista frontal del Edificio D, Grupo II (Dibujo de M. Silvestre).

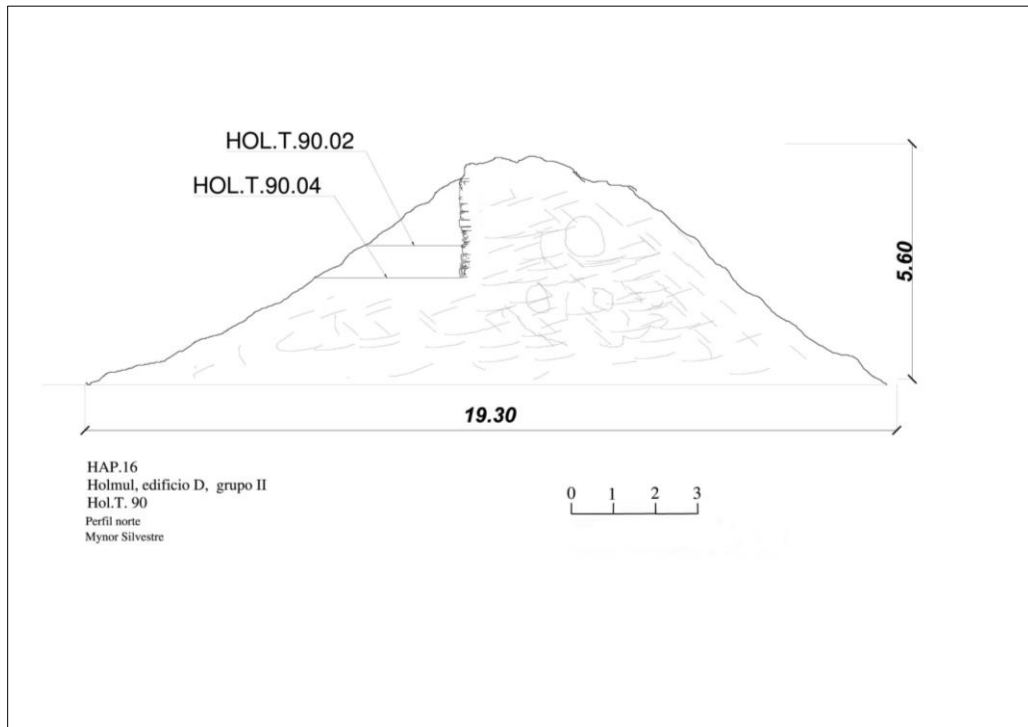


Figura 3.19. Vista de perfil, HOL.T.90 (Dibujo de M. Silvestre).

## CONCLUSIÓN

La excavación HOL.T.90, se dio por concluida al no encontrar los objetivos esperados. A pesar de esto dicha excavación proporcionó más información sobre la estructura, por ejemplo que los mascarones que se encontraron en la temporada del 2013, no seguían un patrón ya que fueron mutilados para dar paso a la estructura expuesta. Se continuó con la exploración en la parte superior dentro en los cuartos en donde se realizó un pozo que se registró como HOL.T.95.

## EXCAVACIÓN HOL.T.95, EDIFICIO D, GRUPO II, HOLMUL

Esta excavación HOL.T.95, se realiza con el objetivo de determinar cuál fue la secuencia constructiva del edificio, realizando un pozo de exploración en el lado sur del cuarto central.

### DESCRIPCIÓN DE LA EXCAVACIÓN

La excavación se inició con el trazo de un área de 2.00 metros de largo por 2.00 metros de ancho con el número de contexto HOL.T.95.01; este contexto está integrado por tierra color gris y blanca, piedras de pequeñas a grandes y piedrín producto del derrumbe de la parte superior y bóveda de la estructura. En todos los contextos se recolectó material cerámico con características de los tipos Sierra Rojo, Juventud, Pucté Café, Polvero Negro, Policromos y sin engobe y un artefacto lítico de pedernal que se le dio el número HO.T.95.01.04.01. Al continuar la excavación, hacia abajo, a 2.10 metros se localizó un piso, contexto HOL.T.95.02, que corresponde al del cuarto, se limpió y se registró, se continuó con la excavación en el relleno, que se enumeró como HOL.T.95.03, que estaba constituido por tierra color blanco mezclada con piedras de 0.25 metros por 0.15 metros a 0.50 metros por 0.80 metros y bloques de 0.80 metros por 0.25 metros por 0.45 metros, el material cerámico fue relativamente poco, de lítica no se recuperó ningún artefacto.



Figura 3.20. Piso HOL.T.95.02 (Foto de M. Silvestre).

En esta excavación, se localizaron un total de nueve contextos:

1. Contexto HOL.T.95.01, relleno de derrumbe de los muros y bóveda.
2. Contexto HOL.T.95.02, piso del cuarto.
3. Contexto HOL.T.95.03, relleno bajo el piso.
4. Contexto HOL.T.95.04, piso.
5. Contexto HOL.T.95.05, relleno.
6. Contexto HOL.T.95.06, piso.
7. Contexto HOL.T.95.07, relleno.
8. Contexto HOL.T.95.08, piso.
9. Contexto HOL.T.95.09, relleno

Todos estos contextos presentaron características similares a lo descrito en el contexto HOL.T.95.03, a excepción del contexto Hol.t.95.09 cuyo relleno era de piedras grandes mezcladas con tierra color blanco.

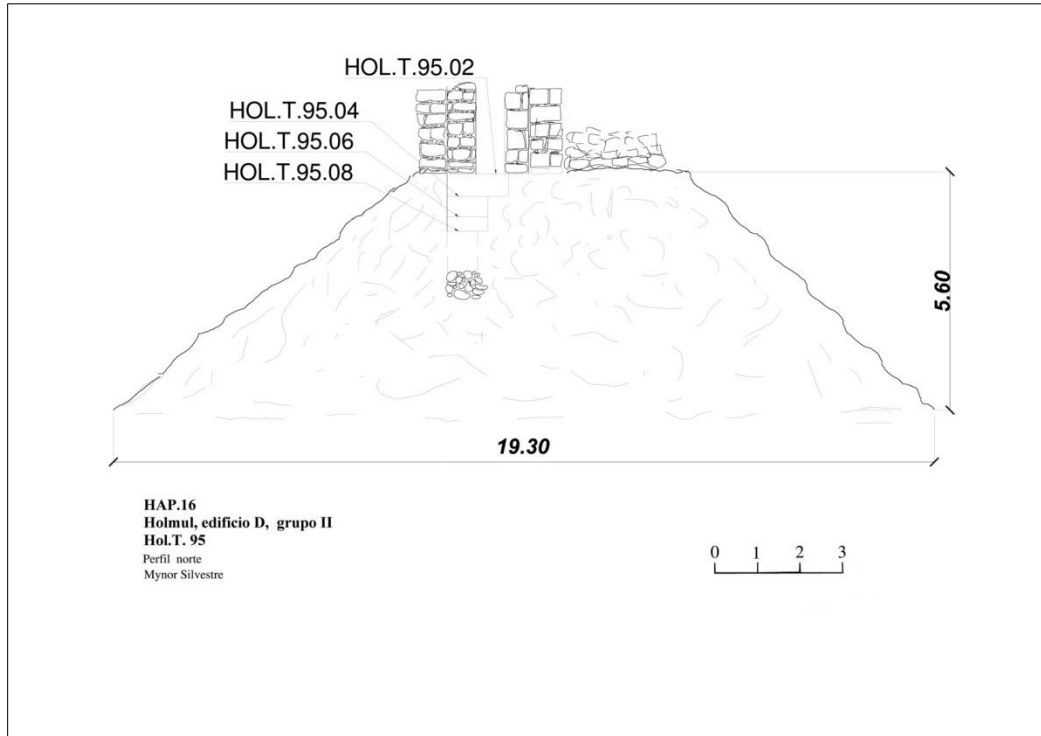


Figura 3.21. Vista de perfil HOL.T.95 (Dibujo de M. Silvestre).

## CONCLUSIÓN

Con el último contexto se determinó que no existe una construcción más temprana pero se sugiere continuar la exploración para obtener los datos definitivos que brindaran el historial constructivo del edificio.

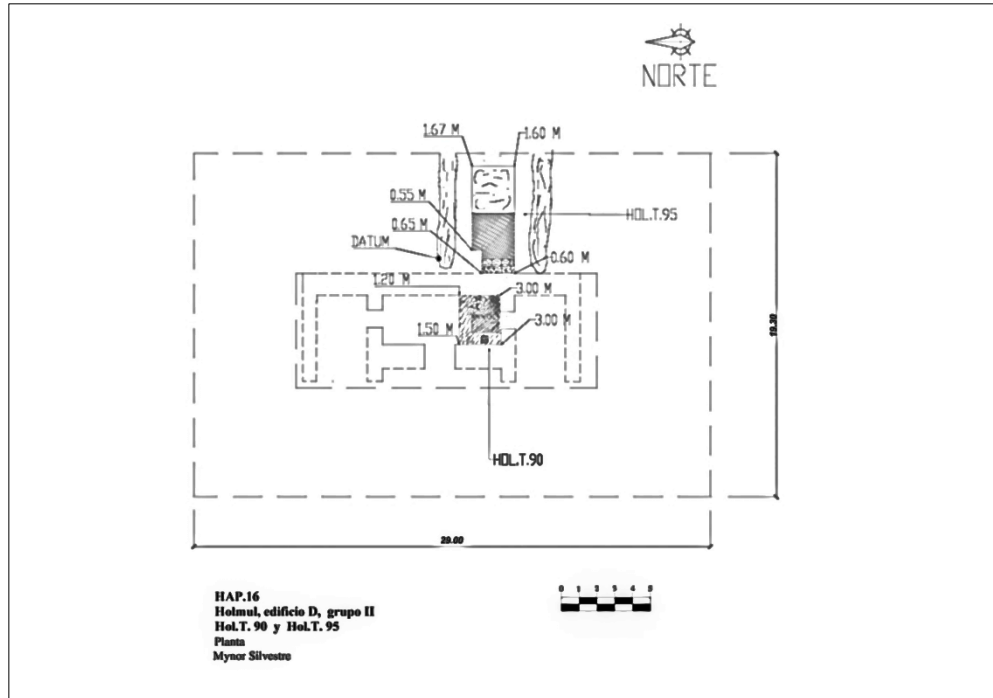


Figura 3.22. Vista de planta HOL.T.90 y HOL.T.95 (Dibujo de M. Silvestre).

## EXCAVACIÓN HOL.T.98, EDIFICIO A, GRUPO II, HOLMUL

Se inició la excavación HOL.T.98 ubicada en la parte norte, lado oeste del Edificio A, del Grupo II, por medio de un pozo con orientación norte sur, de 1.00 m de ancho por 1.50 m de largo, con el objetivo de investigar las fases constructivas de la estructura piramidal, en este caso el penúltimo edificio que estaría en el interior del edificio expuesto.

## DESCRIPCIÓN DE LA EXCAVACIÓN

La excavación HOL.T.98 se llevó a cabo, por medio de un pozo de donde se extrajo material de relleno integrado por una capa de humus de aproximadamente 0.20 metros de grosor y tierra color blanco con piedras grandes a pequeñas, contexto HOL.T.98.01; a la profundidad de 1.75 metros se localizó un apisonado, que al hacer las mediciones se determinó que entre el piso de la puerta negra y este apisonado hay únicamente una diferencia de 0.50 metros, el piso de la puerta negra está a 4.10 metros desde la parte superior del edificio y el apisonado está a 4.60 metros.

Al llegar al apisonado se determinó realizar un túnel en la pared sur pero se suspendió debido a que el material de relleno estaba demasiado suelto y presentaba peligro para poder continuar, por lo que se regresó al apisonado que se rompió para dar paso a la profundización del pozo original. Bajo el apisonado se encontró un relleno de piedras de pequeñas a grandes mezcladas con tierra color blanco; al extraer todo este relleno, en el lado sur de la excavación, se localizó un muro de contención construido con bloques de piedra caliza grandes, se continuó la excavación hasta alcanzar la profundidad de 2.90 metros.



Figura 3.23. Muro localizado bajo el apisonado, lado sur (Foto de M. Silvestre).

Al llegar a la profundidad antes descrita se decidió excavar en forma horizontal, a manera de construir un túnel por lo que se rompió el muro y tras este había material de relleno HOL.T.98.02, constituido por piedras de varios tamaños y tierra color blanco que tenía una consistencia compacta y granulosa. A 1.10 metros se localiza otro muro que contenía material de relleno HOL.T.98.03, con características iguales al anteriormente descrito, se continúa la excavación con el objetivo de atravesar el muro interno, trabajo que fue más lento debido a lo compacto de los materiales. Se recuperó cerámica pero no se observó lítica. Al continuar la excavación se localizó a 2.00 metros un tercer muro, al atravesarlo se extrajo material de relleno con características similares a los anteriores, con la diferencia que era un poco menos compacto pasando a ser el contexto HOL.T.98.04. Se extrajo el material de relleno cubriendo un área de 1.25 metros, en este contexto se localizó una tumba que se enumeró como HOL.T.98.04.09, a los restos óseos humanos se les identificó como HOL.T.98.04.09.01, y corresponden a una persona adulta, sexo: no determinado, condición: esqueletizado, erosión: severa; orientado con el cráneo hacia el norte, posición dorsal, correspondiendo a un entierro primario y directo que también contenía ofrendas.



Figura 3.24. Contenido de la tumba HOL.T.98.04.09 (Foto de M. Silvestre).

A continuación se detallan los objetos localizados en la tumba que se infiere eran objetos de uso personal (los que llevaba puestos al morir) siendo los siguientes:

- En el cuadrante C2 se localizó una placa de piedra verde que estaría en el área central del tocado.
- En el cuadrante D3 se localizó una cuenta de piedra verde con horadación en el centro que estaría en la boca.
- En los cuadrantes C2 y C3, estaba depositado un material no identificado pero se deduce que fue parte del tocado que tenía puesto el personaje enterrado.
- En los cuadrantes E1 y E2, se recolectó fragmentos de estuco con color azul.

Como objetos asociados se encontraron los siguientes:

- En el cuadrante B2, un cuenco de cerámica decorado con líneas color rojo y negro, un recipiente que fue elaborado utilizando la caparazón de un caracol, seis fragmentos de hueso de animal.
- En el cuadrante B3 se recuperaron cinco navajas de obsidiana, dos plaquetas pequeñas de concha, colmillos de animal y una placa de concha en forma de estrella.
- En el cuadrante C2, dos cuencos de cerámica policromos.
- En el cuadrante D2, un plato que en su interior está decorado con semicírculos color rojo, una piedra verde triangular zoomorfa y un cuenco de cerámica de color negro partido a la mitad.

Los restos óseos humanos se recolectaron de la siguiente manera:

- En los cuadrantes D2 y D3, se recolectó sedimento que contendría fragmentos muy finos de los huesos del cráneo y otros, fragmentos de piedra verde que estarían incrustados en los dientes.
- En los cuadrantes E2 y E3, se recolectaron huesos de las manos.
- En el cuadrante F2, se recolectó fragmentos de huesos de la extremidad inferior izquierda.
- En los cuadrantes F3 y G3, se recolectó fragmentos de huesos de la extremidad inferior y la diáfisis de la tibia, del lado derecho.
- En el cuadrante G3, se recolectó algunos metatarsos y falanges del pie derecho.
- En el cuadrante G2, se recolectó algunos metatarsos y falanges del pie izquierdo.

Restos vegetales y otros, se recolectaron de la forma siguiente:

- En los cuadrantes G3 y E1, se recolectaron exoesqueletos posiblemente de diplópodos y huesos de ratón.
- En los cuadrantes B2, C2, E1, E2, E3, F1, F2, G2, G3, se recolectaron restos vegetales.
- En los cuadrantes C2, C3, D2, D3, E2, E3, F2, F3, G2 y G3, se recolectó sedimento que estaba en el área donde fueron encontrados los restos óseos humanos.
- En todos los cuadrantes se recolectaron muestras de barro que estaban impresos con marcas de lo petate o algún textil.



Figura 3.25 a. Cuenco HOL.T.98.04.02.01 y Figura 3.25 b Cuenco HOL.T.98.04.02.02 (Foto de M. Silvestre).



Figura 3.26 a. Cuenco HOL.T.98.04.02.03 y Figura 3.26 b. Plato HOL.T.98.04.02.04 (Foto de M. Silvestre).



Figura 3.27 a. Piedra verde HOL.T.98.04.06.01 y Figura 3.27 b. Cuenco HOL.T.98.04.02.05 (Foto de M. Silvestre).

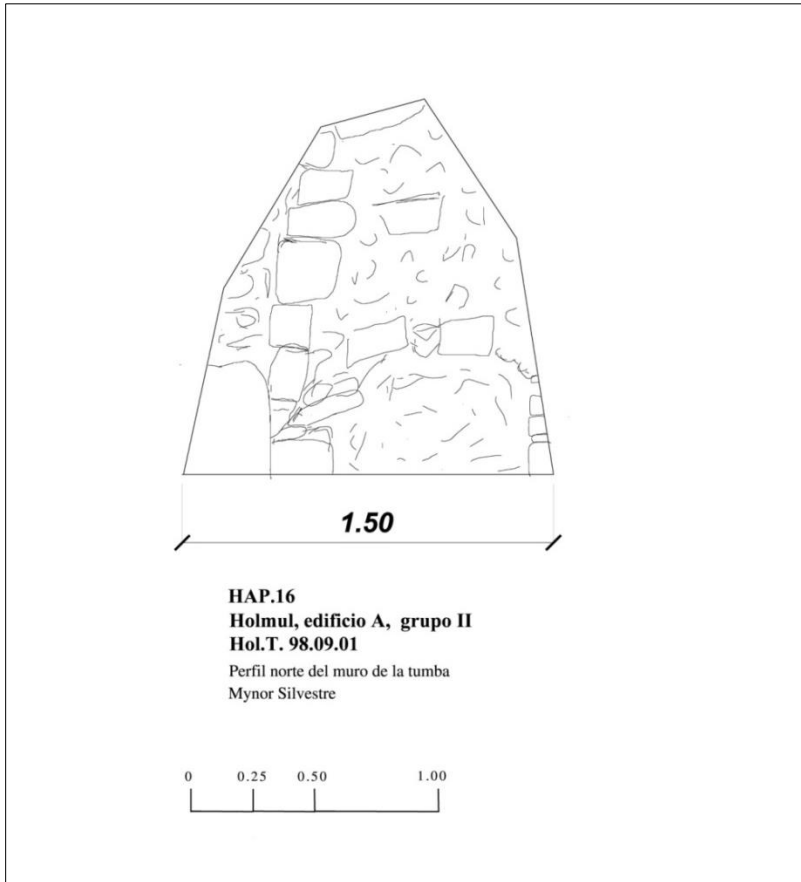


Figura 3.28. Vista de perfil, lado norte de la tumba HOL.98.09.01 (Dibujo de M. Silvestre).

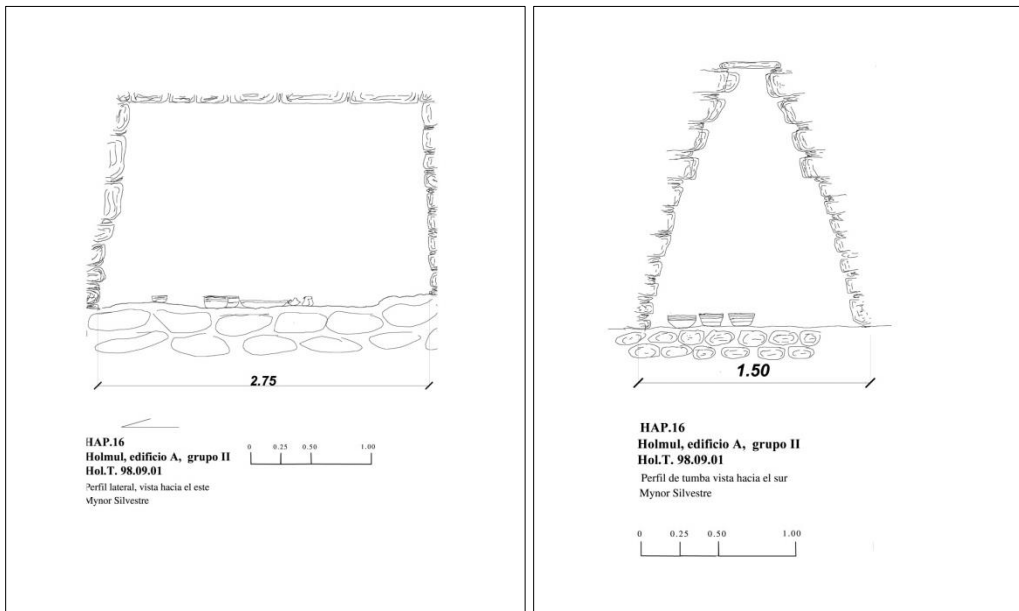


Figura 3.29 a. Perfil este de cámara funeraria HOL.T.98.09.01 y Figura 3.29 b. Perfil sur de cámara funeraria (Dibujos de M. Silvestre).

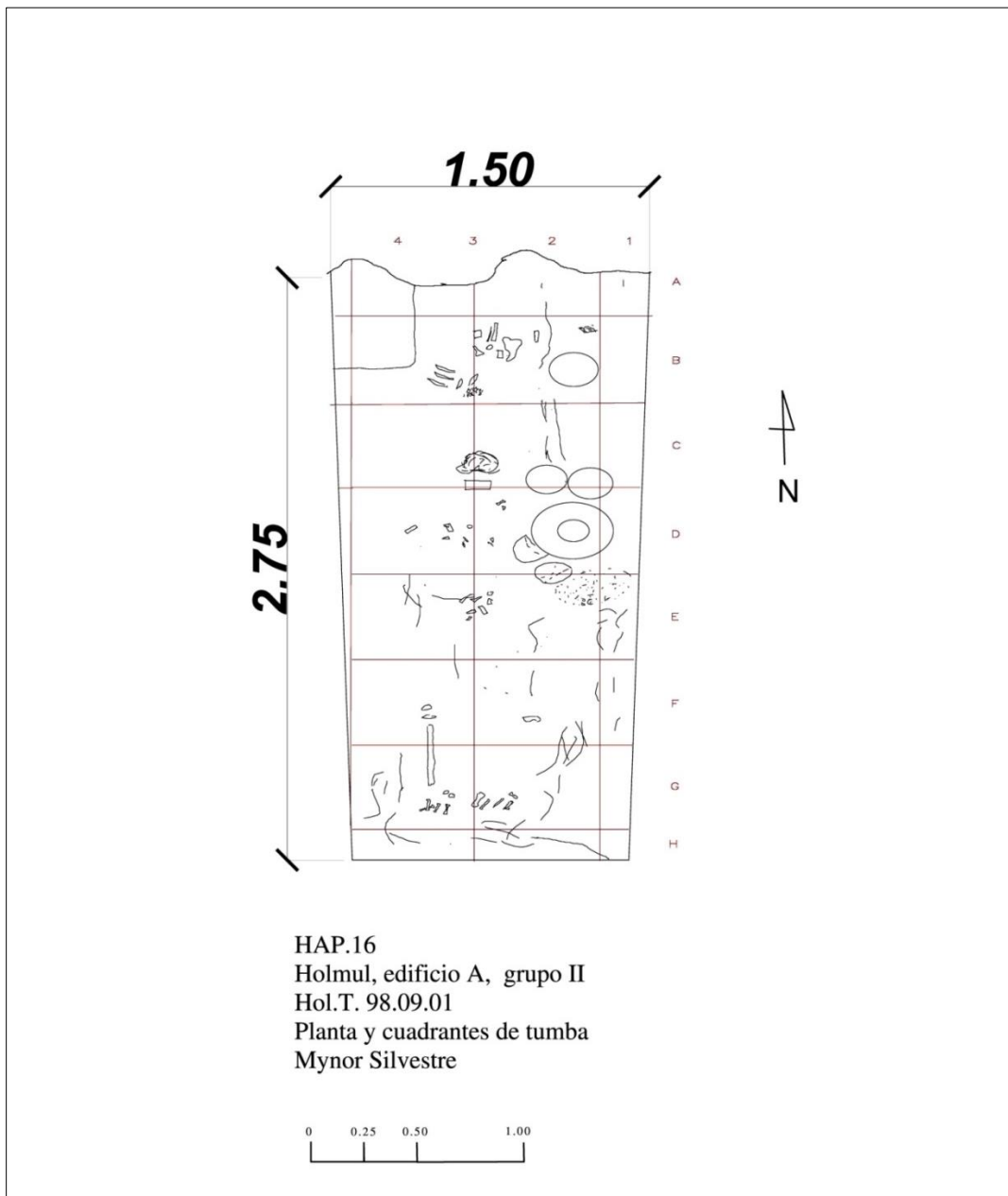


Figura 3.30. Planta con cuadrantes de tumba HOL.T.98 (Dibujo de M. Silvestre).

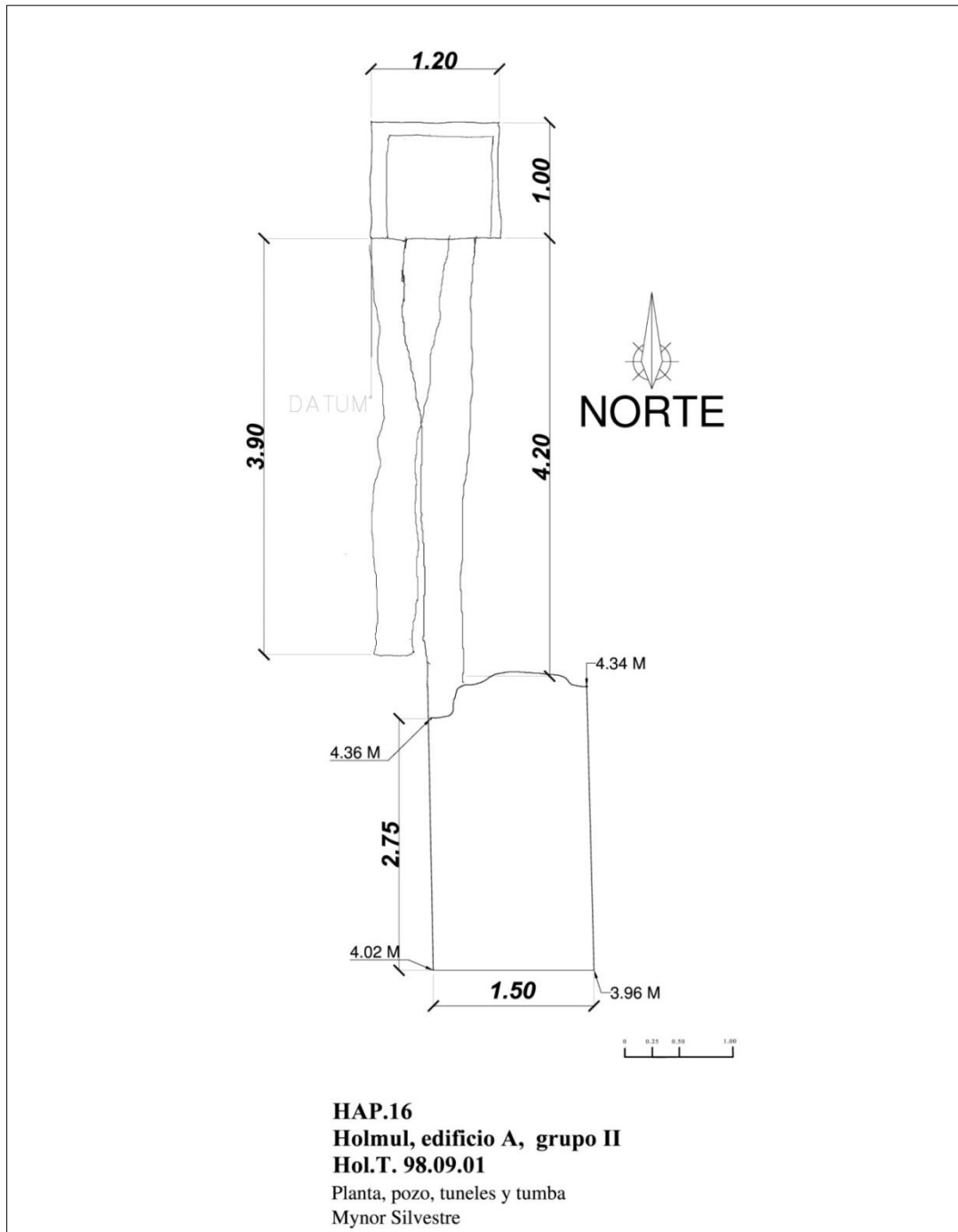


Figura 3.31. Planta, pozo, túneles y tumba HOL.T.98.09.01 (Dibujo de M. Silvestre).

## CONCLUSIÓN

En esta excavación se pudieron identificar las tres últimas fases constructivas de la pirámide. La antepenúltima fase es la más antigua debido a su posición estratigráfica, de ésta solo se pudo apreciar un muro vertical, tras del cual se localizó la tumba HOL.T.98.04.09, se espera que en la próxima temporada de campo se pueda investigar este muro para establecer si es parte de una estructura formal o solamente constituía una protección para la tumba. En la última fase constructiva se pudo apreciar un muro vertical de consistencia fuerte y estable, no se pudo establecer su longitud y altura, los 2.90 metros que se descubrieron no indicaban su altura total y su longitud estaría ligada a la longitud del mismo edificio, lo que tendría que comprobarse en la próxima investigación. Esta investigación tenía por objetivo encontrar estructuras más tempranas en donde podría existir una con un friso, como el que tiene el lado este del edificio, sin embargo la localización de la tumba impidió continuar con la búsqueda del objetivo planteado, motivo por el cual la investigación continuará en la próxima temporada.

## AGRADECIMIENTOS

Agradezco al Proyecto Arqueológico Holmul y a su director Dr. Francisco Estrada Belli por la oportunidad de realizar esta investigación que me brindó nuevamente, después de doce años de actividad forense, regresar a los trabajos de Arqueología. También agradezco al equipo de trabajadores por los que fue posible llevar a cabo las excavaciones en esta investigación.



Figura 3.32. Equipo de trabajadores en el Grupo II, Edificio A de Holmul (Foto de M. Silvestre).

## REFERENCIAS BIBLIOGRÁFICAS

Estrada-Belli, Francisco

2014 “Capítulo 8. Excavaciones en el Edificio A, Grupo II, Holmul. HOL.T.78, HOL.L.20”. En *Investigaciones Arqueológicas en la Región de Holmul, Petén: Holmul y Cival. Informe Preliminar de la Temporada 2013*. (Editado por F. Estrada-Belli), pp. 101-110. Boston University, Archaeology Department. Informe entregado al Departamento de Monumentos Prehispánicos y Coloniales, Ministerio de Cultura y Deportes. Guatemala.

Merwin, R.E. y G. Vaillant

1932 *The Ruins of Holmul*. Memoirs of the Peabody Museum of Archaeology and Ethnology III No.2. Peabody Museum of American Archaeology and Ethnology, Harvard University, Cambridge, MA.

## CAPÍTULO 4

### EXCAVACIÓN DE LA ESTRUCTURA 1, GRUPO 1, HOLMUL.

Berenice García Vázquez  
*Escuela Nacional de Antropología e Historia-México*

Las excavaciones que se efectuaron en la temporada del presente año, en la sección superior de la Estructura 1 del Grupo 1, del sitio arqueológico de Holmul, se implementaron con el fin de encontrar escalinatas o algún otro elemento, que aporte datos sobre la configuración del sistema constructivo de este complejo arquitectónico; que junto con la información discernida a través de la cerámica, lítica y restos óseos entre otros materiales arqueológicos, se espera que contribuya de la misma manera que las piezas de un rompe cabezas, a la labor de investigación de sustenta este proyecto, aportando información o implicaciones de prueba que conduzcan a la formulación de hipótesis para un llegar a acercamiento sobre la realidad de la ideología, política y economía de la sociedad pretérita de Holmul. Bajo al anterior lineamiento se comenzaron la excavaciones trazando un pozo de exploración con nomenclatura HOL.T.88, de 2 m de longitud norte a sur y 2 m de este a oeste en el remate superior de la pendiente sur que colinda con la plaza, cubriendo el área que delimita el vano de acceso principal de los cuartos A y B que tienen un eje principal orientado de este a oeste.

#### DESCRIPCIÓN DE LA EXCAVACIÓN

El primer contexto HOL.T.88.01, es conformado por la capa de humus que tiene un grosor de 6 a 15 cm en promedio, está compuesta de forma general por sedimento de color café oscuro de baja compactación (60%), en su interior aloja piedras pequeñas de un grosor promedio de 0.5 cm (20%), contiene material orgánico integrado en su mayoría por hojarasca y raíces (20%). El nivel de la compactación de este estrato es bajo, el tamaño de la granulometría parte de un rango mediano a grueso, la esfericidad de las piedras es angulosa y la porosidad es alta. También contiene bloques de piedra careada por los 6 lados, cuyas dimensiones son 0.40 m de largo, 0.25 m de ancho y 0.25 de grosor en promedio, este tipo de bloques que también se encuentran en las inmediaciones del pozo HOL.T.88, estas piedras pertenecen al muro de la fachada sur del cuarto A y fueron conducidos a esta área en el momento que se colapsó la esquina superior de este muro.

El segundo contexto con número HOL.T.88.02 tiene un grosor de 0.30 m, el sedimento compuesto que predomina en este estrato es limo-arenoso, contiene tierra caliza mezclada con otros materiales constructivos, entre ellos arena proveniente del derrumbe de los muros de los elementos arquitectónicos que conforman los cuartos A y B. El color del estrato es blanco grisáceo, el nivel de la compactación es media, la porosidad es media, el tamaño granulometría parte de medio a grueso, la textura de las piedras son angulosas y la porosidad es baja; la presencia de las raíces del árbol Ramón (*Brosimum alicastrum*) ubicado al oeste, son más pronunciadas al extremo oeste del pozo (30%), el sedimento mixto forma la mayor parte del estrato (60%), las piedras irregulares de derrumbe (10%) que aloja, no presentan facetas careadas y tienen diferentes dimensiones, cuyo rango oscila entre los 0.01 m de largo por 0.05 m en promedio.



Figura 4.1. Piso de estuco degradado del pozo (HOL.T.88.03) y capa de derrumbe en el perfil norte (HOL.T.88.02).

A una profundidad de 0.73 m del datum topográfico ubicado en el vano de acceso de las crujía A y B, se encontró el tercer contexto HOL.T.88.03 (Figura 4.2), este se trata de un piso de estuco erosionado en un total del 60% del área del pozo, debido a la fragmentación originado por la fuerza de las raíces del árbol, las condiciones de su integridad no son óptimas. Sin embargo, por medio de las escarificaciones de la superficie cuyo aspecto es friable, se perciben mínimo tres momentos de mantenimiento cuyo grosor en promedio por cada uno, abarca un rango aproximado de 0.05 m a 0.15 m; en cuanto a las propiedades se describe el color como blanco grisáceo, la compactación es alta, la porosidad es baja, el tamaño granulométría parte de fina a media y la esfericidad de las piedras es redondeada.

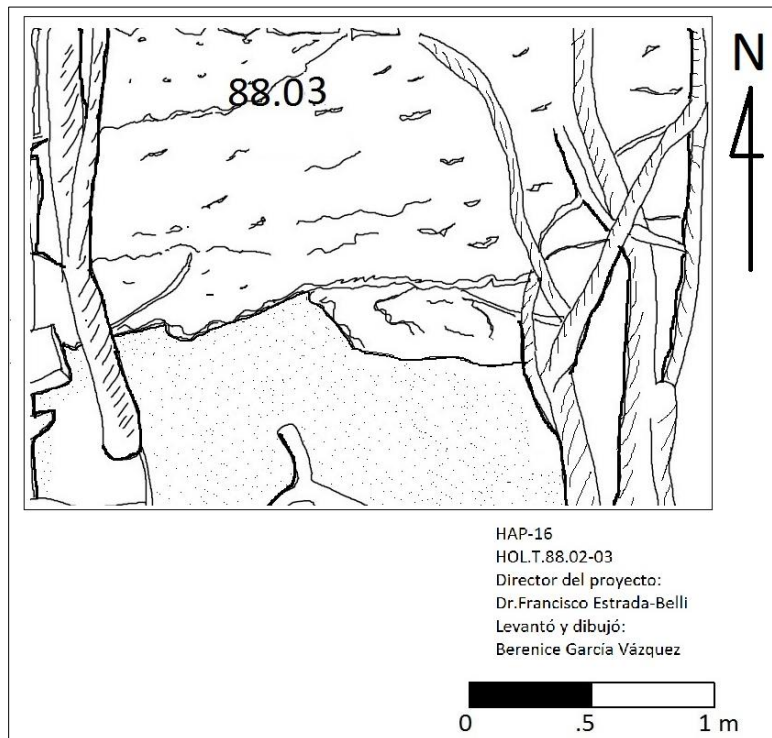


Figura 4.2. Representación esquemática del piso de estuco HOL.T.88.03.

Con el propósito de encontrar las escalinatas del lado sur, se extendió el pozo hacia el sur 3.4 m de largo, durante la excavación se logró observar que el primer contexto HOL.T.88.01 mantiene las mismas características descritas anteriormente; el segundo contexto HOL.T.88.02 también es similar, con la única diferencia de que las piedras calizas que contiene están careadas por uno o dos lados, algunas están careadas en seis dimensiones para formar bloques de acabado recto. El formato de las piedras varía en diversas formas, estas son formas irregulares o formas rectangulares, la mayoría presenta esquinas angulosas de acabado burdo, sus dimensiones oscilan entre los de 0.10 m de largo a los 0.20 m de ancho. La ubicación de las piedras se encuentra entre las raíces del árbol y por encima de estas, por esta razón se piensa que son parte del relleno de los elementos arquitectónico que provienen del colapso de los cuartos A y B (Figuras 4.3 y 4.4).



Figura 4.3. Piedras en sillares de derrumbe localizadas en el interior de la capa de derrumbe HOL.T.88.02.

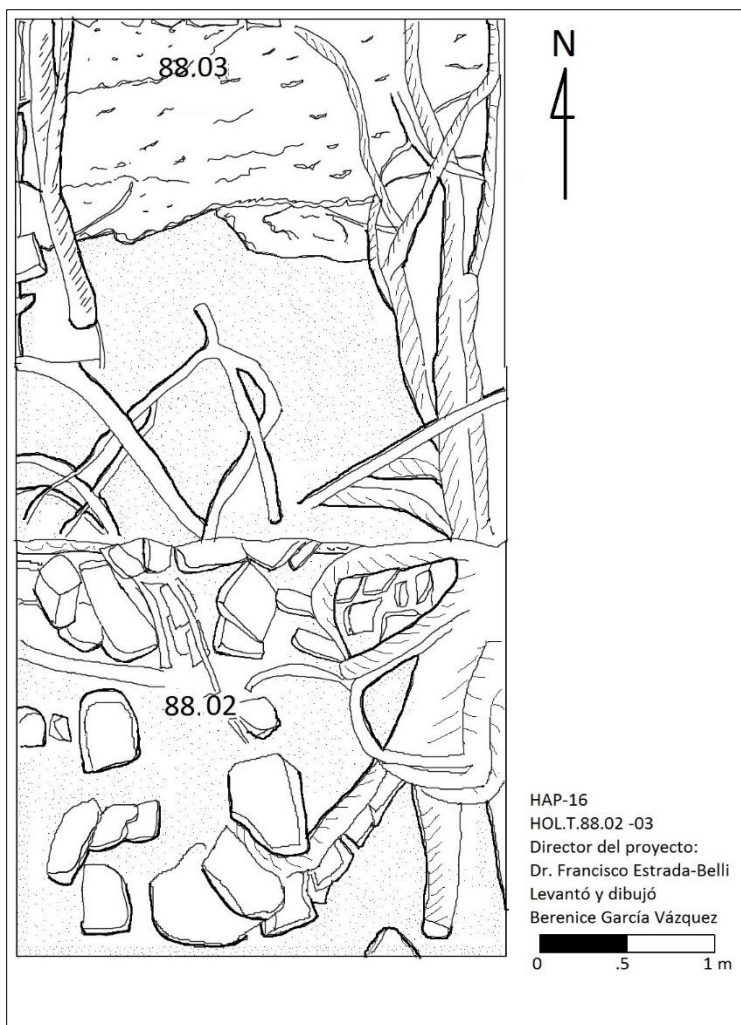


Figura 4.4. Dibujo de los contextos HOL.T.88.02 y HOL.T.88.03.

Una vez que se analizó la configuración del segundo estrato se removió la tierra proveniente del derrumbe y enseguida se encontró parte de las escalinatas que rematan en la sección superior con el piso de estuco cuya nomenclatura asignada fue HOL.T.88.05 (Figura 4.5). Las medidas de las huellas oscilan entre los 0.30 a 0.34 m de ancho y los peraltes de 0.27 a 0.37 m de alto, están dispuestos en una severa verticalidad con un cubrimiento de estuco fino, estas se liberaron en condiciones favorables, pero el recubrimiento del estuco tiene daños severos en la superficie, por lo cual se podría estimar que las escalinatas se encontraron en un 85% de su integridad total.

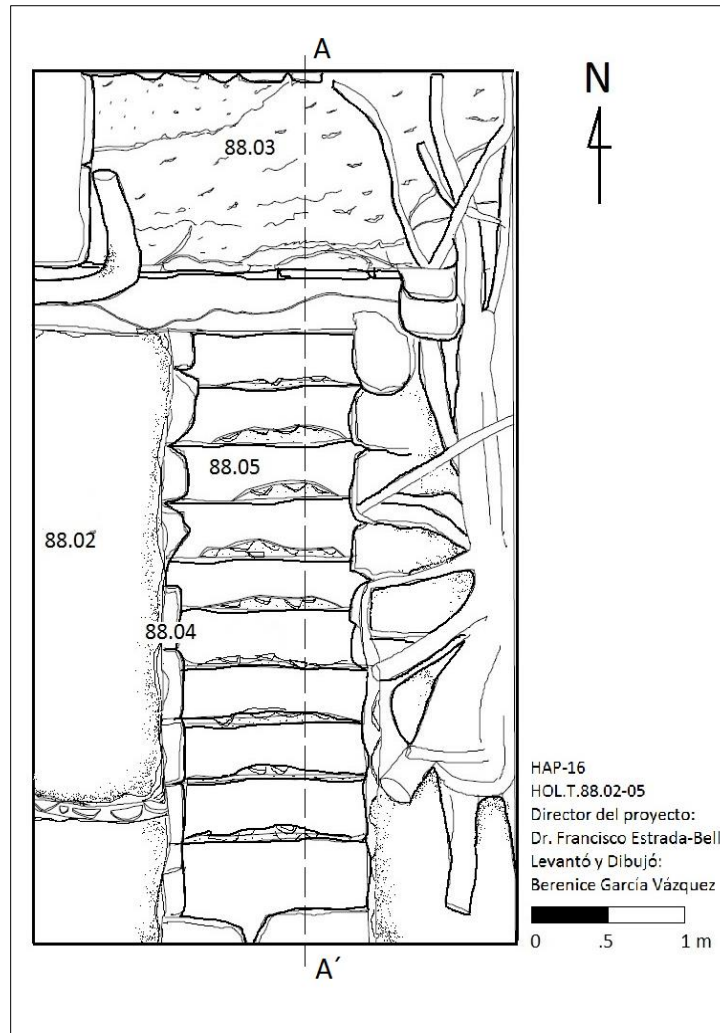


Figura 4.5. Representación esquemática en planta de los contextos HOL.T.88.02-05, con señalamiento del corte A-A'.

La particularidad a destacar en esta área excavada es que por encima de las escalinatas se encontró un conglomerado constructivo HOL.T.88.04 que anticiparía un elemento arquitectónico trunco, es decir se trata de una fase constructiva final que no alcanzó a ser terminada y solo se preservaron indicadores del acomodamiento de piedras angulosas de acabado burdo y piedras careadas por 4 y/o 6 lados cuyas dimensiones oscilan entre los 0.30 m de largo por 0.30 m de ancho y una altura de 0.15 m en promedio (Figura 4.6).



Figura 4.6. Fotografías del contexto HOL.T.88.05 nivel superior (Izquierda) y nivel inferior (derecha).

## CONCLUSIÓN

A manera de conclusión, se resalta la presencia de un indicador que está relacionado con la última fase constructiva de la estructura 1, uno de ellos es el elemento que se encontró en un estado trunco, con esto nos referimos al contexto número HOL.T.88.04, localizada por encima de la sección de escalinatas adosadas al vano principal de acceso del extremo sur de los cuartos abovedados A y B. La aseveración anterior, se infirió observando el acomodamiento de los bloques que no están cimentados por alguna argamasa, ni cuentan con un acabado o enlucido de estuco, de lo contrario este cúmulo tiene la apariencia de ser una incipiente forma escalonada que no fue terminada. Asimismo, otro primordial aspecto a resaltar tiene que ver con el espacio entre las escalinatas y los muros sur de los cuartos A y B, este segmento tiene una distancia de 0.30 m por lo tanto no existe un descanso viable entre estos para transitar, por cual es probable que el acceso al interior de los cuartos fue profusamente controlado (Figuras 4.7 y 4.8).

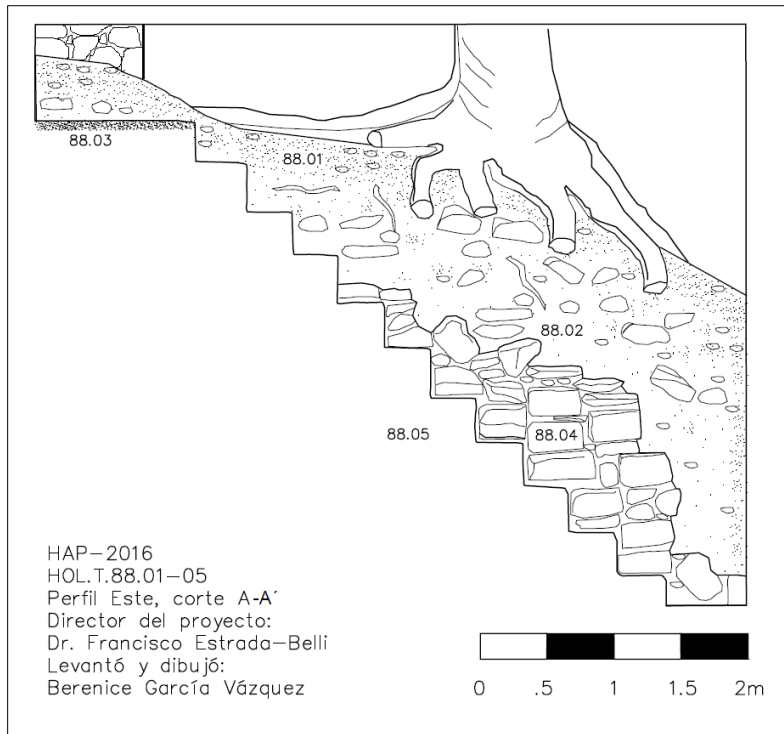


Figura 4.7. Dibujo del corte A-A' de los contextos HOL.T.88.02-05 (escalinatas de acceso al vano principal).

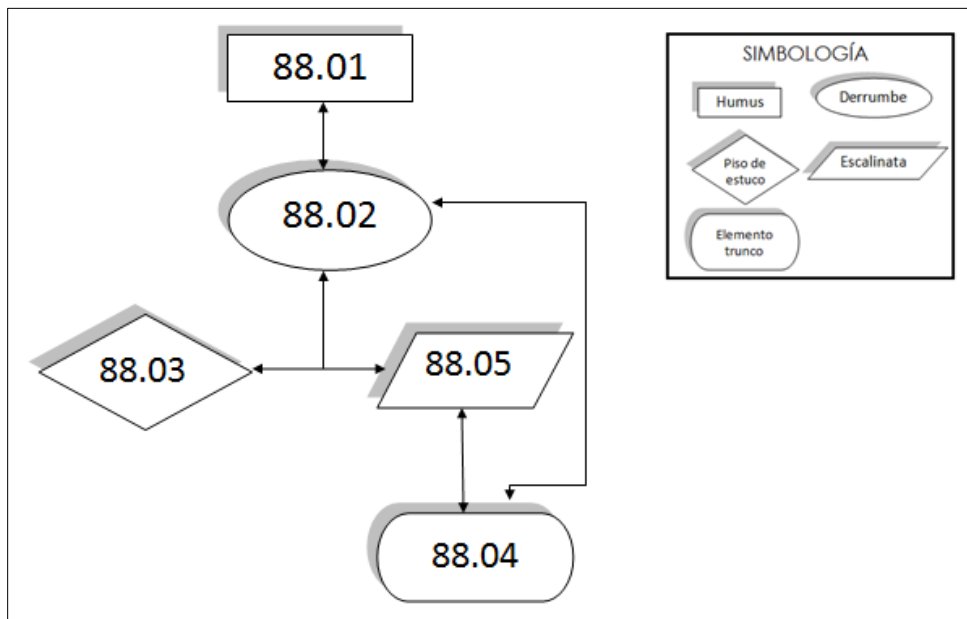


Figura 4.8. Matriz de Harris de la unidad de excavación HOL.T.88.

## LIBERACIÓN DEL PISO DE LAS CRUJÍAS, ESTRUCTURAS A Y B HOL.T.88.03

Con el propósito de continuar con el descubrimiento y la liberación del piso HOL.T.88.03 se procedió a excavar las áreas que corresponden a las crujías A y B de la Estructura 1. En resultado de este procedimiento, se levantó la capa de humus HOL.T.88.01 que presenta las características ya descritas en el comienzo de la exploración del pozo HOL.T.88, de la misma manera ocurre con el contexto HOL.T.88.02 que no cambia de manera total su configuración en este espacio, pero si aumenta de forma significativa la proporción que corresponde al material de derrumbe que proviene del muro norte de los cuartos A y B, al espacio de este contexto le fue asignada la nomenclatura HOL.T.88.23 (Figura 4.9).



Figura 4.9. Piso del cuarto abovedado A (HOL.T.88.07) cubierto con material de derrumbe del muro norte.

### DESCRIPCIÓN DE LA EXCAVACIÓN

La capa de derrumbe que cubre la parte frontal del acceso principal del muro sur, marca una pronunciada pendiente desde los 2 m desde el nivel de piso, marcando un talud de una pendiente aproximada de  $45^{\circ}$  hasta la parte intermedia del acceso principal de las crujías A y B, sin embargo gracias a la estabilidad del muro norte del cuarto A, el derrumbe no cubrió el interior de esta área, solo en una pequeña porción del 10 % o menos de la altura del nivel de piso. Una vez ya liberado el piso del interior de la crujía A con numero de control interno HOL.T.88.07, fue expuesto un desnivel en el extremo este, que comenzó desde el muro hacia al oeste presentando 1.3 m de largo en un solo nivel, pero que tiende a disminuir la altura hasta formar un pequeño talud de 0.30 m de alto. Por otro lado, en la parte en donde se encuentra el acceso principal que conecta a las crujías, fue descubierto el piso a una profundidad promedio de 1.2 m del nivel del derrumbe, el piso fue encontrado en tan buenas condiciones que se estima que se preservó el 90% de su composición original (Figura 4.10).



Figura 4.10. Piso del cuarto abovedado A liberado.

En el caso contrario, el interior de la crujía B se encontraba cubierta en su totalidad por el derrumbe HOL.T.88.23 que proviene del muro norte del cuarto B, pero cabe destacar que en esta área más del 80 % del muro de cubrimiento evidencia un contundente colapso, dejando expuesto y endeble la parte central de su relleno. Aunado a esto el intradós norte y parte del intradós sur que conforman la parte superior de la crujía no lograron permanecer, dejando esta área sin bóveda en el remate en un aproximado 95%, el colapso se pronunció más hacia el muro norte y la parte de este muro que logró permanecer de pie, ahora con la presión que las raíces de los árboles ha ejercido a través del tiempo se ha deteriorado gradualmente dejando este cuarto a “cielo abierto” de manera abrupta (Figura 4.11).



Figura 4.11a. Piso del cuarto abovedado B (HOL.T.88.06) cubierto con material de derrumbe HOL.T.88.23 del muro norte.

El piso de esta área con número de contexto HOL.T.88.06, presenta cuando menos tres mantenimientos por medio de sus pústulas; el total de su composición se estima en un 80%, apenas muestra un deterioro el área en donde se aprecia una incipiente degradación que se ubica al sur, unida a un costado del muro sur; la parte que cubrió el derrumbe alcanzó hasta los 1.2 m de altura desde el nivel de piso original hasta el punto más alto que cubrió la parte frontal del muro sur con vista hacia el norte (Figura 4.11). Del muro norte con número asignado HOL.T.88.24 fue posible descubrir las hiladas inferiores de su conformación, que es posible que paradójicamente fueran protegidas por el material proveniente del colapso del mismo muro (Figura 4.12 y 4.13).



Figura 4.11b. Piso del cuarto abovedado B (HOL.T.88.06) liberado.



Figura 4.12. Hiladas del recubrimiento del muro norte HOL.T.88.24 descubierto durante la extracción del contexto HOL.T.88.23.



Figura 4.13. Piso de la crujía B HOL.T.88.06 liberado e impronta del volumen del material ya extraído durante la extracción del contexto HOL.T.88.23.

Durante la excavación de la parte central que conecta las dos crujías con el acceso principal, se mostró el piso cuyo número de contexto que le fue asignado es HOL.T.88.08 (Figura 4.14), tiende a degradarse hacia el sur de manera significativa, esta degradación se encuentra relacionada con el área en donde se encuentra incrustadas las raíces del árbol ramón que deterioró un estimado del 50 % de esta sección. En la superficie del piso se delataron mediante las placas o escarificaciones expuestas mínimo tres momentos de mantenimiento; el datum se encuentra 0.72 m sobre el nivel de piso de estuco.



Figura 4.14. Ubicación del piso de estuco entre los cuartos abovedados A y B (HOL.T.88.08)

En el momento de descubrir el piso con número HOL.T.88.08 asignado para este espacio, resaltó el hecho de que existe un muro sin bloques de revestimiento o contención, pero en el desplante presenta unas esquinas construidas con bloques de piedras, paralelas a las esquinas del vano de acceso principal. Sin embargo, este elemento se encuentra tapiando el acceso hacia el norte, lo que representaría ser una fase en preparación para modificar y controlar el acceso hacia el patio norte que comunica con el Edificio D. Para contrastar la teoría anterior se implementó un túnel para conocer el sistema constructivo de unos 2 m de altura por 1 m de ancho y 4.3 m de largo, el número de control interno que le corresponde es HOL.T.88.25 (Figuras 4.15 y 4.16).



Figura 4.15. Trazado del túnel de excavación HOL.T.88.25 en la sección norte entre los cuartos A y B.



Figura 4.16. Túnel entre el espacio que comunica los cuartos abovedados A y B.

El área que abarca el contexto con número asignado HOL.T.88.25 contiene material de relleno de tierra caliza, con rocas irregulares de diferentes proporciones, la mayoría angulosas y aunque algunas presentan ciertas fases, no tienen indicios contundentes de haber sido trabajadas en sus fases para otorgarles un acabado fino. El piso (HOL.T.88.10) en esta sección se muestra más preservado a excepción de una porción de aproximados  $1.2 \text{ m}^2$  en el extremo oeste que se degradó casi en su totalidad, por lo tanto se estima que el área del piso se preservó en un 90%. En el interior se observó una horadación de forma circular de 0.43 m de diámetro que se sondeó con número de contexto HOL.T.88.09 para inferir sobre la función de este elemento arquitectónico (Figura 4.17).



Figura 4.17. Interior del túnel de exploración HO.T.88.25 y el piso de estuco HOL.T.88.10.

El contexto HOL.T.88.09 en su interior mostró solo algunos tiestos no diagnósticos y una piedra angulosa de 0.15 m de ancho por 0.15 de largo y un grosor de 0.5m. Sin embargo la forma de la horadación tiende a ser circular y la profundidad apenas alcanza los 0.15 cm, cabe la posibilidad de que la funcionalidad de tal horadación se trate de una huella de poste (Figura 4.18).



Figura 4.18. Horadación en el centro del túnel excavado (HOL.T.88.09) con tiestos (HOL.T.88.09.01) y una piedra en su interior.

## CONCLUSIÓN

A manera de conclusión se dilucida, que el resultado de la exploración del piso distribuido en los diferentes espacios de la crujía que conforman los cuartos A y B, con números de contexto HOL.T.88.06-09 (Figura 4.19), aportó datos para vislumbrar que existió un espacio abierto que comunica a estos cuartos abovedados y posteriormente se preparó otra fase constructiva de 3.2 m de longitud que consistía en tapiar esta sección pero que por alguna razón no fue terminada.

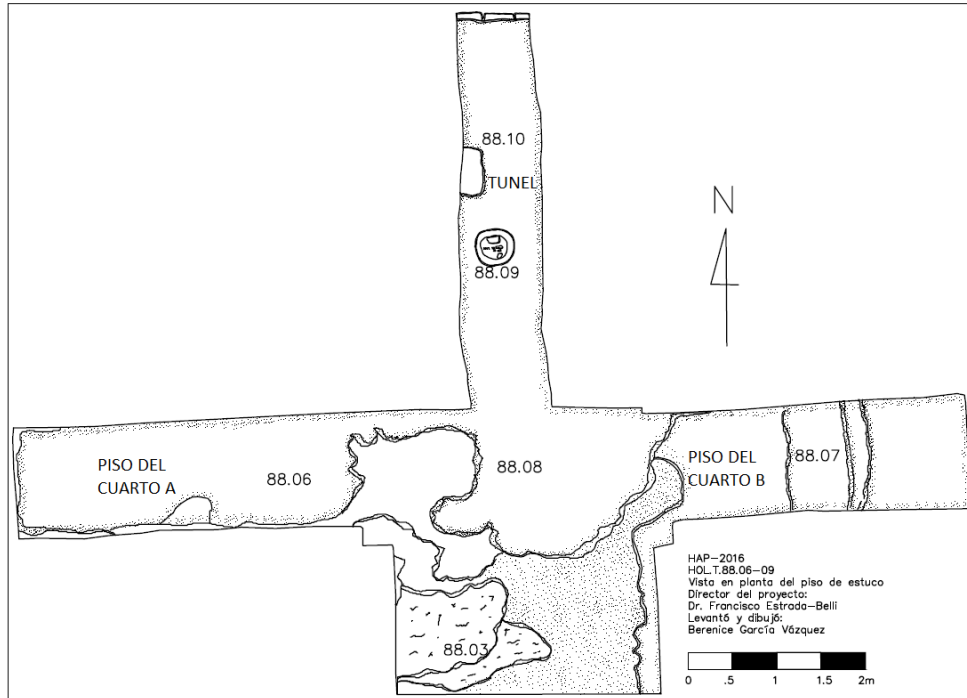


Figura 4.19. Esquema en planta del piso de estuco de los cuartos A y B de la Estructura 1 (HOL.T.88.03 y HOL.T.88.06-10).

También se piensa que el muro norte del cuarto B colapsó y el derrumbe cubrió parte del piso de los dos cuartos en su totalidad, no obstante de los dos tipos materiales están situados en un mismo espacio es posible diferenciarlos, porque el conglomerado de la preparación de la fase constructiva trunca es de color blanco, compuesto de partículas finas, de compactación y adherencia considerable entre partículas. Por otro lado, el material de relleno que se desprendió del muro norte de la crujía B, es de color gris, de poca adherencia entre sus partículas y permite el alojamiento de material orgánico. Además, en la parte superior del área en donde se encuentra, quedaron expuestos de manera clara los conglomerados de piedra que pertenecen al núcleo del muro, del cual es posible apreciar el sistema constructivo compuesto por bloques careados de cubrimiento, con cuñas entre las juntas y un núcleo en su interior de piedras irregulares medianas y grandes unidas con una mezcla elaborada a base de cal y arena (Figuras 4.20 y 4.21).

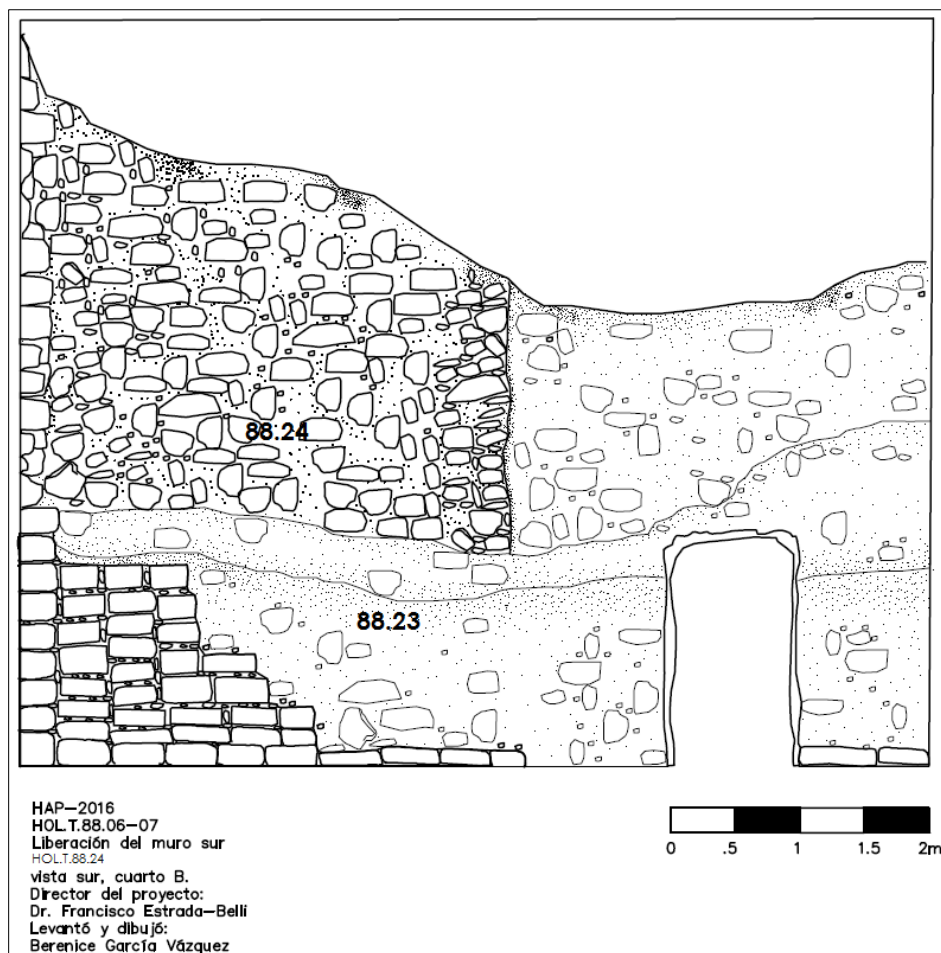


Figura 4.20. Muro colapsado y espacio entre los cuartos A y B en fase de tapiado incipiente.

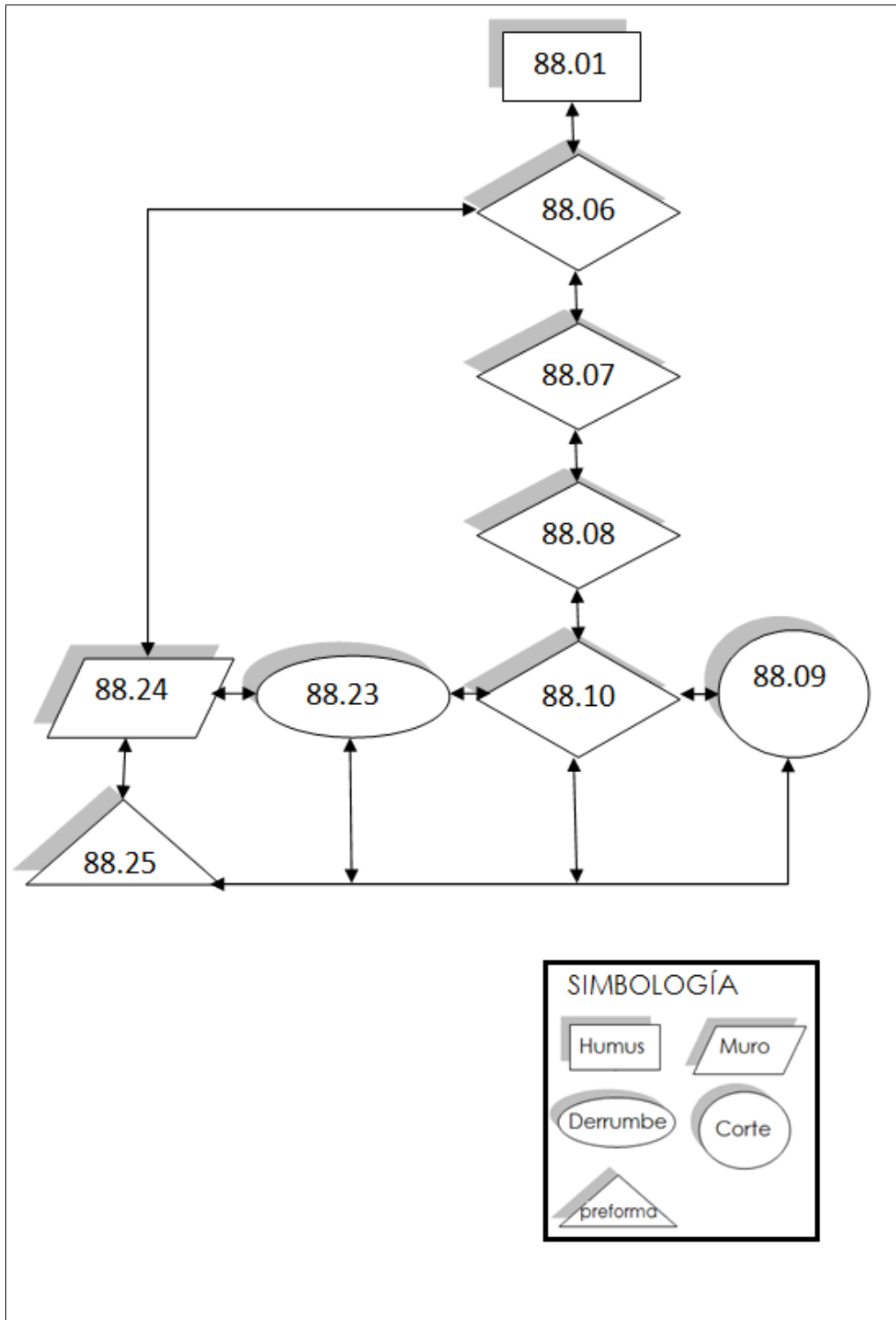


Figura 4.21. Matriz de Harris de la unidad de excavación HOL.T.88 en la sección norte.

## EXCAVACIÓN INTENSIVA EN EL PISO DE ESTUCO HOL.T.88, ESTRUCTURA A Y B.

### DESCRIPCIÓN DE LA EXCAVACIÓN

Se montó un pozo de sondeo a 0.30 m hacia el norte de la primer grada liberada, de 1.5 m de longitud con dirección este a oeste y un ancho de 1 m de norte a sur, con la finalidad de sondear los contextos que se encuentren por debajo del piso cuyo número de contexto es HOL.T.88.03. El primer estrato que se encuentra por debajo de 0.07 m de grosor del piso de estuco recibe el número HOL.T.88.11, se trata de material de relleno en donde predominan las piedras irregulares de formato pequeño y mediano que oscilan entre los 0.05 m a los 0.20 m de grosor la mayoría se trata de piedras angulares (70 %), sin forma específica alguna, existen raíces delgadas (5%) que solo penetraron el área en donde está totalmente degradado el piso de estuco, el sedimento que contiene el estrato (25%) es areno arcilloso, de color gris blanquecino, de baja cohesión de partículas, la textura es gruesa, el grosor del estrato oscila entre los 0.90m y 1 m de profundidad del nivel de piso; a nivel del datum la media en total es de 1.8 m a 1.9 m, el siguiente contexto es el HOL.T.88.12 y se trata de un piso de estuco de las mismas características del primer piso (Figura 4.22).



Figura 4.22. Segundo piso de estuco (HOL.T.88.12) del vano de acceso principal de las crujiás A y B.

Continuando con el sondeo al interior del piso de estuco, se extrajo la capa que alcanzó un grosor de 0.07 m, enseguida se llegó a otro estrato de relleno (HOL.T.88.13) de un grosor aproximado de 0.70 m a 0.83 m de profundidad del nivel de piso, en su interior predominan las piedras irregulares de formato pequeño y mediano, que oscilan entre los 0.05 m a los 0.20 m de grosor, la mayoría de estas son piedras angulares sin forma específica alguna (40 %), pero también existe un acomodamiento de bloques de piedra careada por seis lados de aproximados 0.40 m de largo, 0.20 de alto, por 0.15 de ancho (30 %), que dividen el pozo por la mitad y cuya dirección parte de sur a norte, el sedimento que contiene el estrato es areno arcilloso, de color gris blanquecino, cuyas cohesión de partículas es baja y la textura es gruesa (25%), el grosor del estrato oscila entre los 0.90 m y 1 m de profundidad del nivel último piso. El contexto HOL.T.88.14 es un tercer piso con las mismas características que presentan los dos primeros pisos (Figura 4.23).



Figura 4.23. Tercer piso de estuco (HOL.T.88.14) con bloques de piedra grande en su superficie.

Después de haber extraído el tercer piso aparece un cuarto piso con número de contexto HOL.T.88.15 (Figura 4.24), cuya profundidad desde el nivel de primer piso alcanza 2 m y presenta las mismas características de los primeros tres pisos ya descubiertos. Sin embargo este cuarto piso tiene la singularidad de mostrar dos improntas marcadas en la superficie que están trazadas en paralelo con dirección este a oeste, con un grosor de 0.0015 cm cada una y una distancia de 0.20 m entre ellas, el extremo sur que parte de la primera impronta hasta la pared del pozo, tiene reminiscencias de un sedimento de color negro cuya textura que es posible que sean cenizas; en relación con las especificaciones ya descritas, se piensa que puede tratarse del trazo de algún alineamiento de piedras a manera de muro que existió y que fue removido en alguna fase constructiva. Por debajo de este contexto se halló una capa de relleno de 0.16 de grosor, en donde se extrajo material conformado de piedras irregulares angulosas de aproximados 0.15 m de diámetro (HOL.T.88.16)



Figura 4.24. Cuarto piso de estuco al interior del vano de acceso principal entre las crujías A y B.

A tan solo 0.09 m de profundidad por debajo del último piso se localiza el contexto con número HOL.T.88.17, se trata de otro piso de estuco con acabado fino, que presenta en sus escarificaciones 2 mantenimientos, por encima de él se encuentra un bloque de piedra careada de 0.40 de largo, un ancho visible de 0.18 m y un alto de 0.07 m desde el nivel de piso, la profundidad de este contexto alcanza los 2.24 m desde el nivel del primer piso de estuco (Figura 4.25).



Figura 4.25. Quinto piso de estuco (HOL.T.88.17) con bloques de piedras con enlucido estucado en su superficie.

Se profundizó un estrato de 1.2 m en donde se extrajo material de relleno en donde predominan las piedras irregulares angulosas de aproximados 0.15 m de diámetro, el número de contexto que le fue asignado es HOL.T.88.18. Por debajo de este estrato se localizó un estrato con un enlucido negro de ceniza; la distancia vertical desde el primer piso de estuco hasta este último estrato liberado es de 3.43 m, el contexto asignado es el número HOL.T.88.19 y no presenta algún elemento arquitectónico de relevancia (Figura 4.26).

## CONCLUSIÓN

Debido a que la extensión del pozo de sondeo se reducía a medida que se profundizaba (Figuras 4.26, 4.27 y 4.28), los datos de relevancia para lograr formular inferencias sobre el sistema constructivo de esta área, están limitados a la información que las características expuestas que la verticalidad de hasta 3.43 m pudieran arrojar. Por lo tanto, se asevera a manera de conclusión, que en general existieron mínimo tres fases de construcción para el aumento de volumen en la altura en esta sección, no se encontraron indicadores de algunos cuerpos definidos, no obstante, si se hallaron mantenimientos y remantes de alineamientos de piedra que quizá pudieron ser muros de alguna arquitectura edificada para después ser removida.

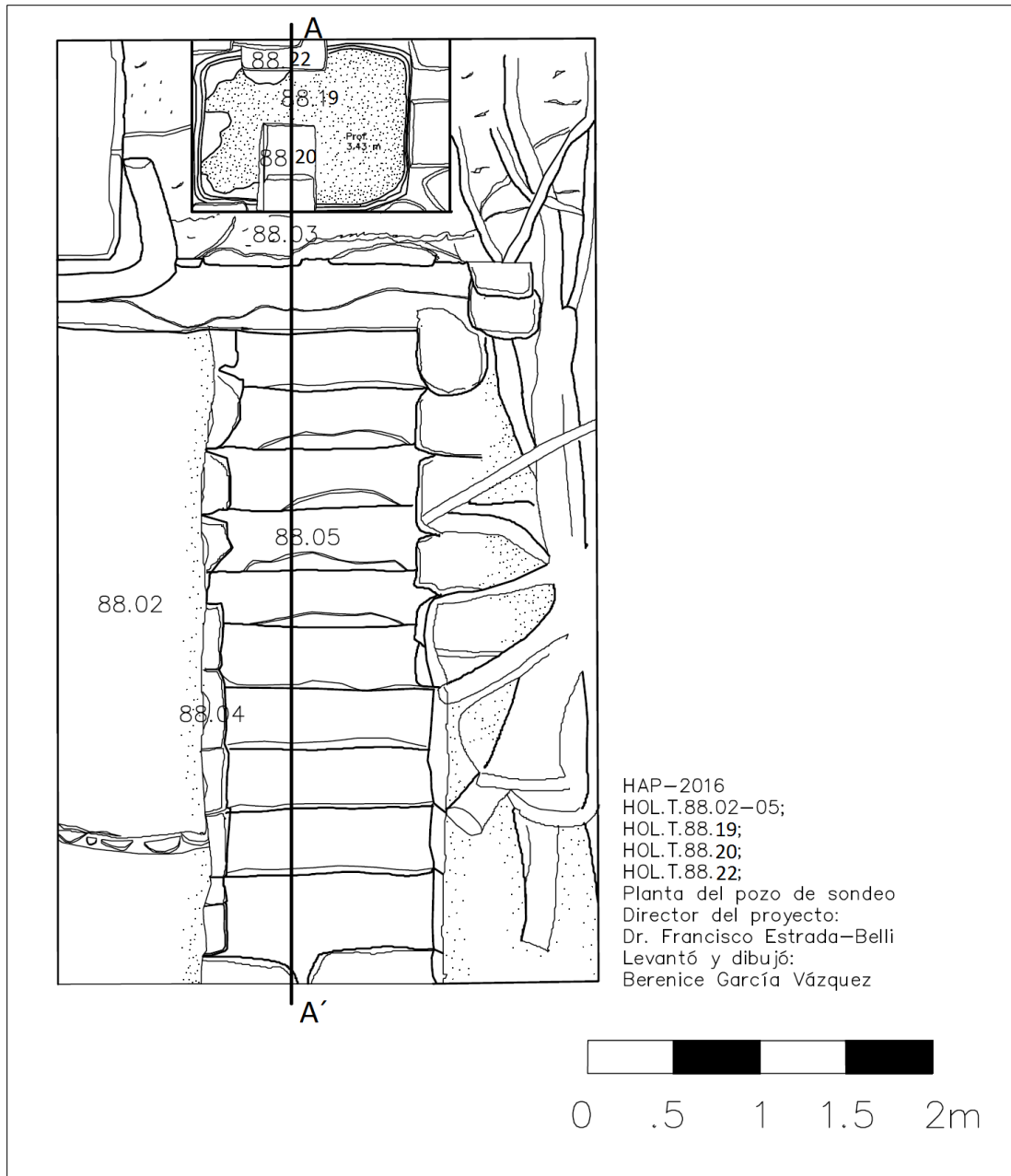


Figura 4.26. Ubicación de pozo de sondeo al interior del piso HOL.T.88.03 y ubicación del corte A-A.

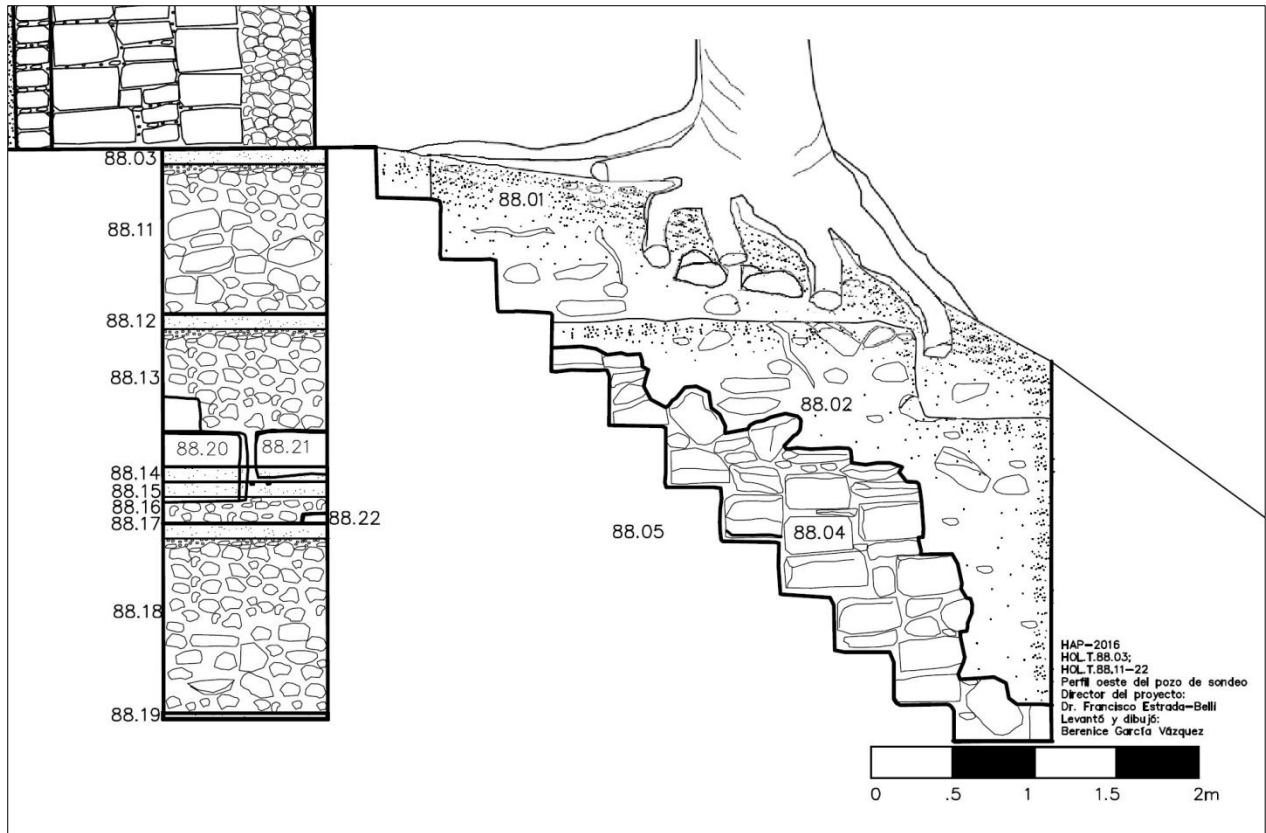


Figura 4.27. Dibujo del corte A-A' del sondeo del piso HOL.T.88.03.

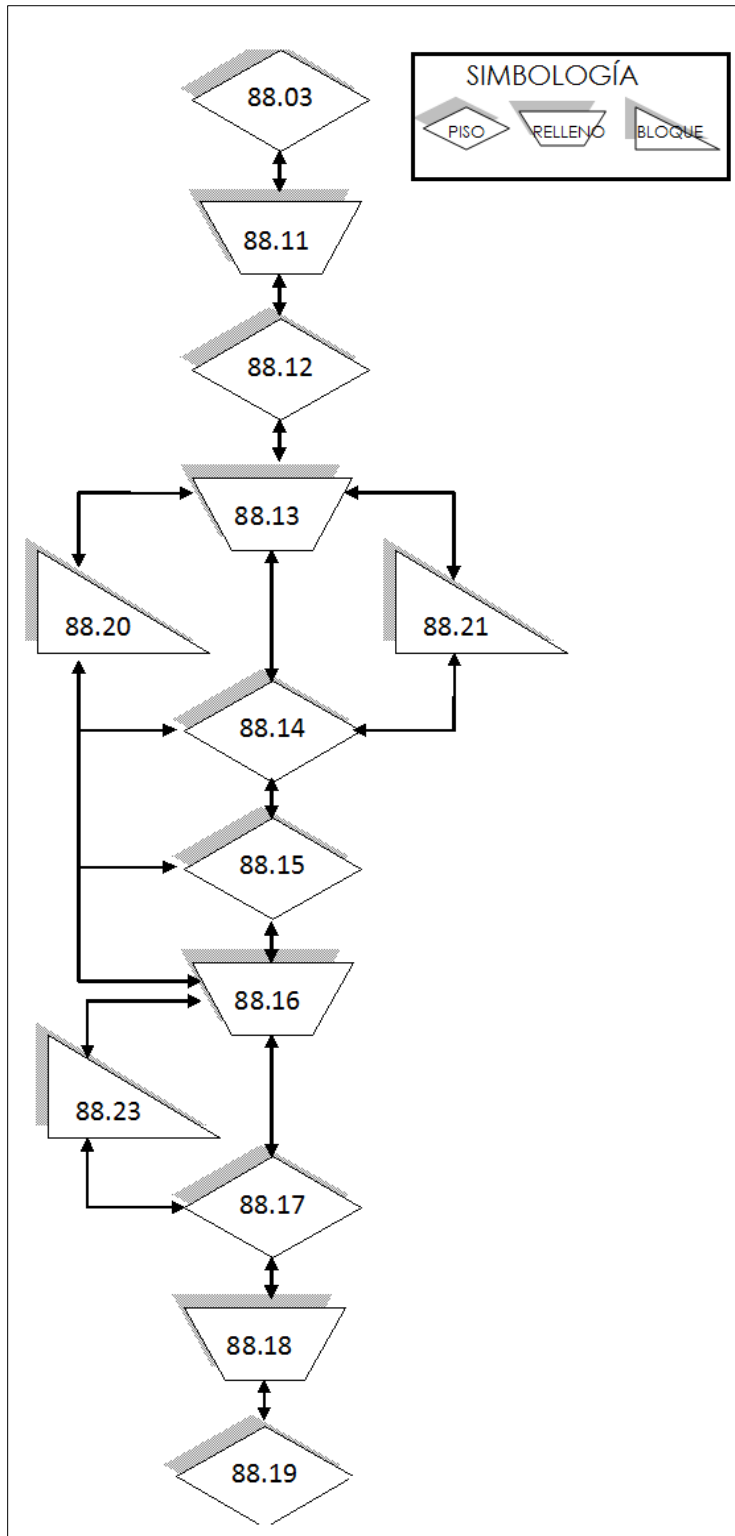


Figura 4.28. Matriz de Harris de la unidad de excavación HOL.T.88 en la sección sur.

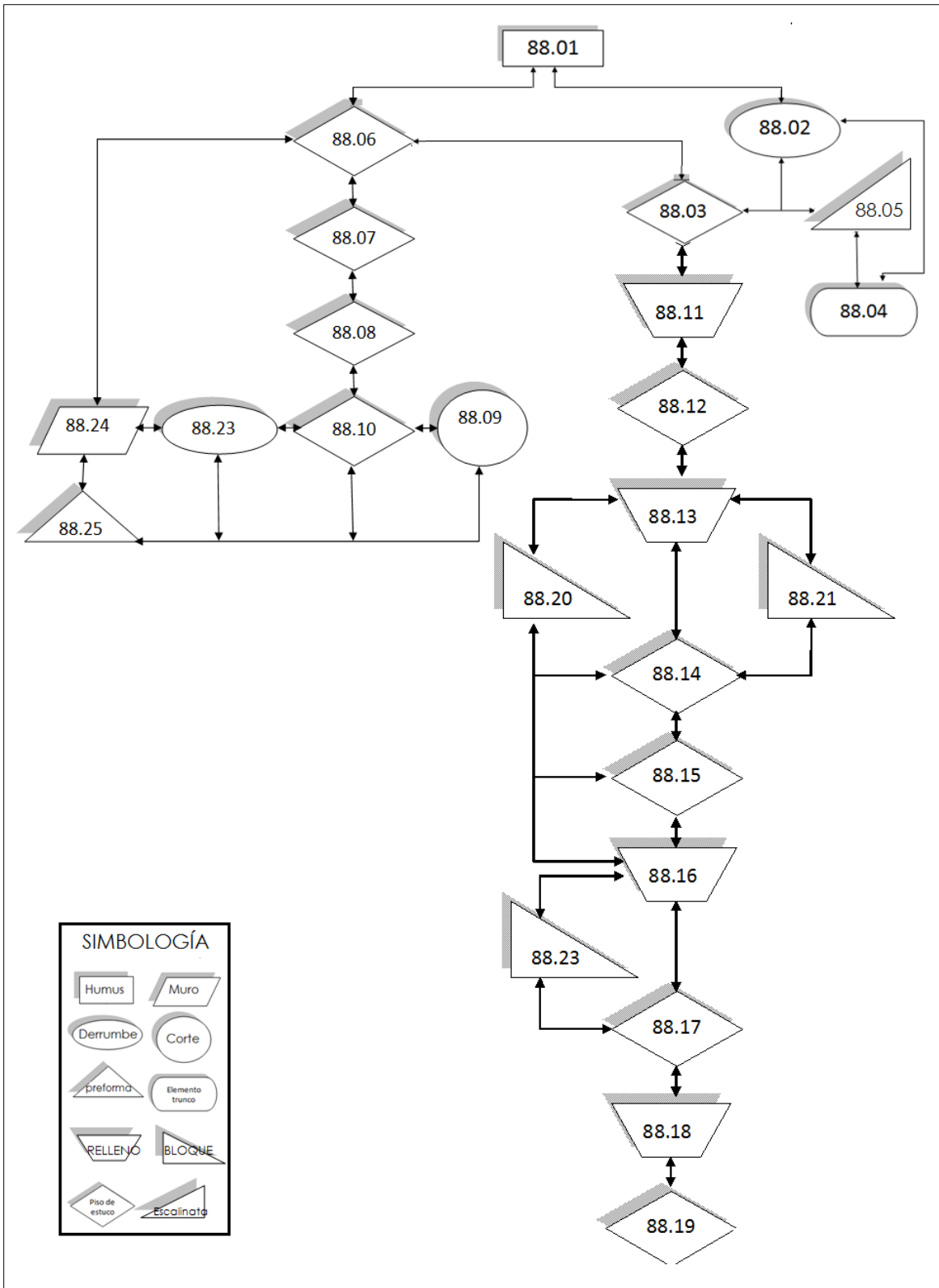


Figura 4.29. Matriz de Harris de la unidad de excavación HOL.T.88 en todas las secciones.

## EXCAVACIÓN HOL.T.92. ACCESO ENTRE ESTRUCTURAS A Y B.

### INTRODUCCIÓN

La exploración arqueológica cuyo número de registro asignado es HOL.T.92, se comenzó para complementar el entendimiento de las fases constructivas que conforman el elemento que divide el área de las crujías A y B con el edificio D ubicado al norte, el cual anteriormente recibió la nomenclatura HOL.T.88.25. Así mismo, también se realizó con el fin de contrastar el planteamiento que se formuló sobre esta sección, que señala que pudiera ser que existió un acceso abierto entre las crujías A y B hacia la estructura D en alguna fase constructiva más antigua y en un intento de clausurar esta área, la construcción quedó inconclusa; para lograr discernir más información acerca de este evento, se montó un pozo de exploración en el extremo norte, cuyas medidas son 4.5 m de sur a norte y 2.7 m de este a oeste, en donde la excavación es dirigida a liberar cualquier elemento arquitectónico que esté relacionado con el acceso que conduce a la estructura D (Figura 4.30).



Figura 4.30. Área de la unidad HOL.T.92 antes de la excavación vista desde el norte.

### DESCRIPCIÓN DE LA EXCAVACIÓN

El primer estrato HOL.T.92.01 es la capa de humus de un grosor aproximado de 0.15 m en promedio, se compone por sedimento limo arenoso de color café oscuro de baja compactación (70%), piedras pequeñas de un grosor promedio de 0.5 cm (20%) raíces y material orgánico entre ellos hojarasca y raíces (10%). El nivel de la compactación del sedimento es bajo, el tamaño granulometría es grueso, la textura de las piedras son angulosas y la porosidad es alta.

En seguida que se extrajo el contexto HOL.T.92.01, quedo al descubierto el contexto HOL.T.92.02 que se compone por material de tierra caliza color blanquecino de granulometría fina, de partículas redondeadas, de porosidad que parte de media a alta, la cohesión entre las partículas es de mediana compactación, las inclusiones son piedras de diferentes proporciones, la mayoría angulosas y aunque algunas presentan ciertas fases, no tienen indicios contundentes de haber sido trabajadas para otorgarles un acabado fino (Figura 4.31).



Figura 4.31. Vista norte del pozo de exploración HOL.T.92.

Los compendios arquitectónicos liberados durante la excavación de exploración son: la esquina del muro norte de la crujía A HOL.T.92.03 cuya dirección está orientada hacia el norte, tiene una altura de 4 m de altura, el recubrimiento está constituido por bloques de piedra con facetas por seis lados, tienden a tener unas dimensiones promedio de 0.25 m de ancho por 0.35 m de alto y 0.4 m de largo (Figura 4.32).

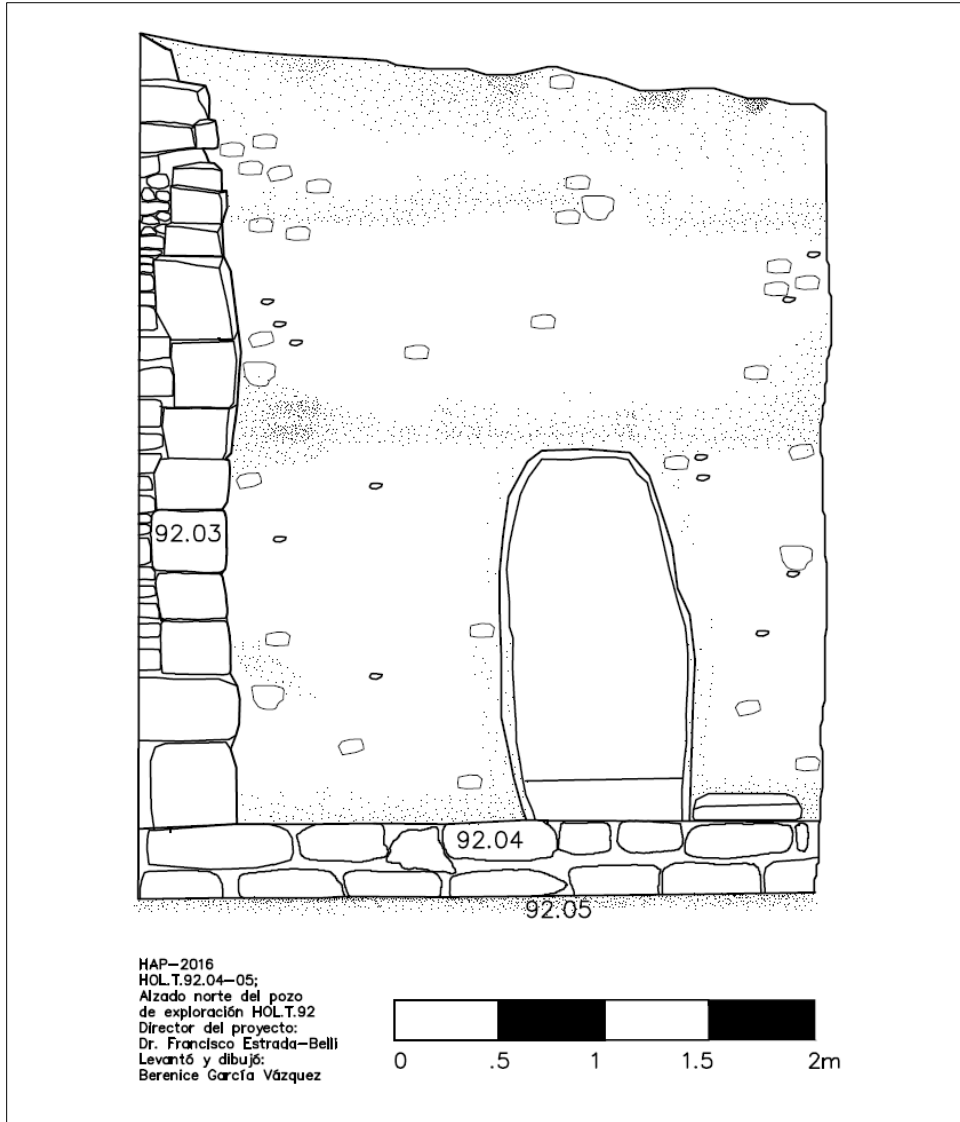


Figura 4.32. Alzado norte de la exploración número HOL.T.92.

La plataforma HOL.T.92.04 que contiene el piso HOL.T.88.10, está compuesta por dos hiladas de piedras en bloque cuyas medidas oscilan entre los 0.30 a 0.50 m de largo, por 0.20 a 0.25 de alto; las hiladas en su conjunto tienen un peralte de 0.23 m, y la extensión que se liberó de este a oeste tiene 2.7 m de largo y se encuentra sobre un piso de estuco HOL.T.92.05 que se encontró en óptimas condiciones, que presentan más del 90 % de su completitud, mostrando cuando menos 3 capas de mantenimientos; con este último componente arquitectónico se dilucida que el acceso principal entre las crujías A y B se comunica mediante un patio a desnivel (Figura 4.33).

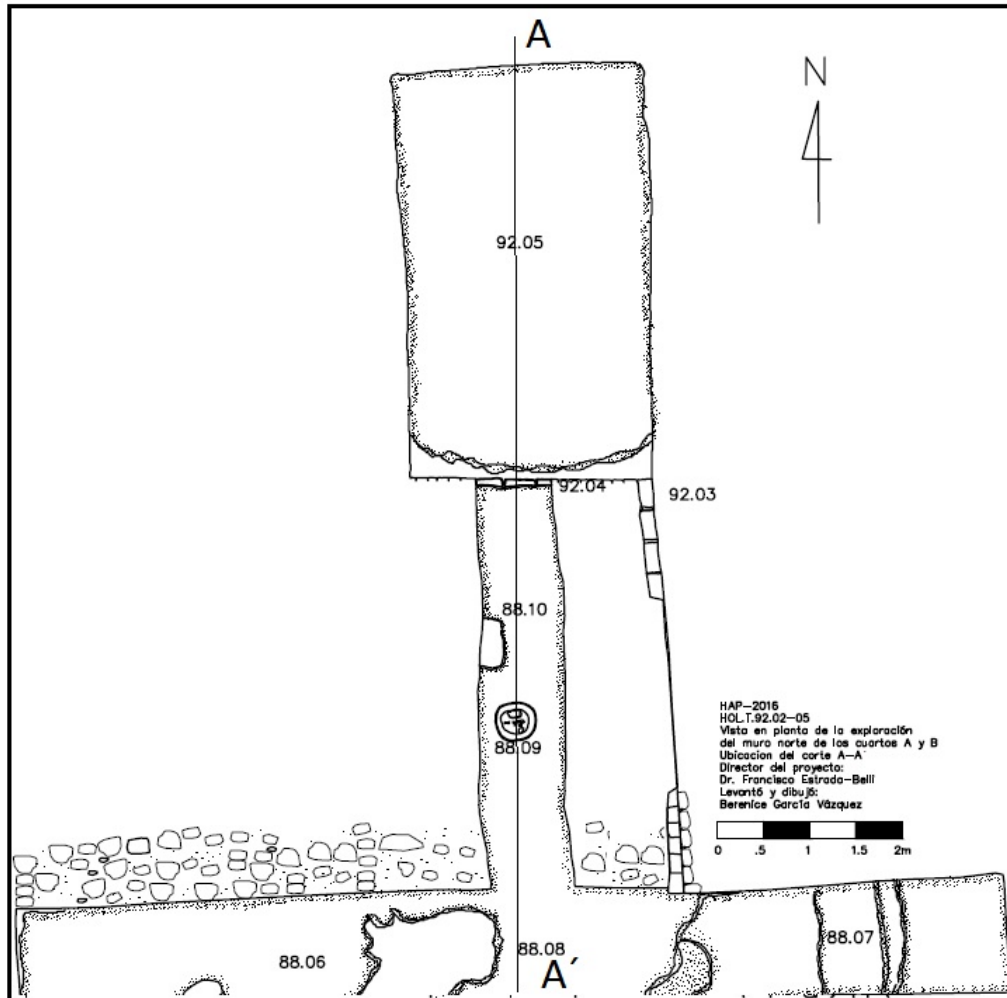


Figura 4.33. Dibujo en planta de la unidad de excavación 92.

## CONCLUSIÓN

De acuerdo a los contextos ya descritos se puede discernir que el elemento HOL.T.92.02 es un conglomerado de material de preparación para relleno constructivo, con la peculiaridad de estar dispuesto a manera de talud, cuya pendiente tiene aproximados  $40^\circ$  de inclinación, razón por la cual se cae en la deducción de que se trata de un elemento especial que formó parte de una fase constructiva más antigua y que está cubriendo dos niveles de piso que delatan un espacio de acceso hacia el norte (Figuras 4.34 y 4.35).

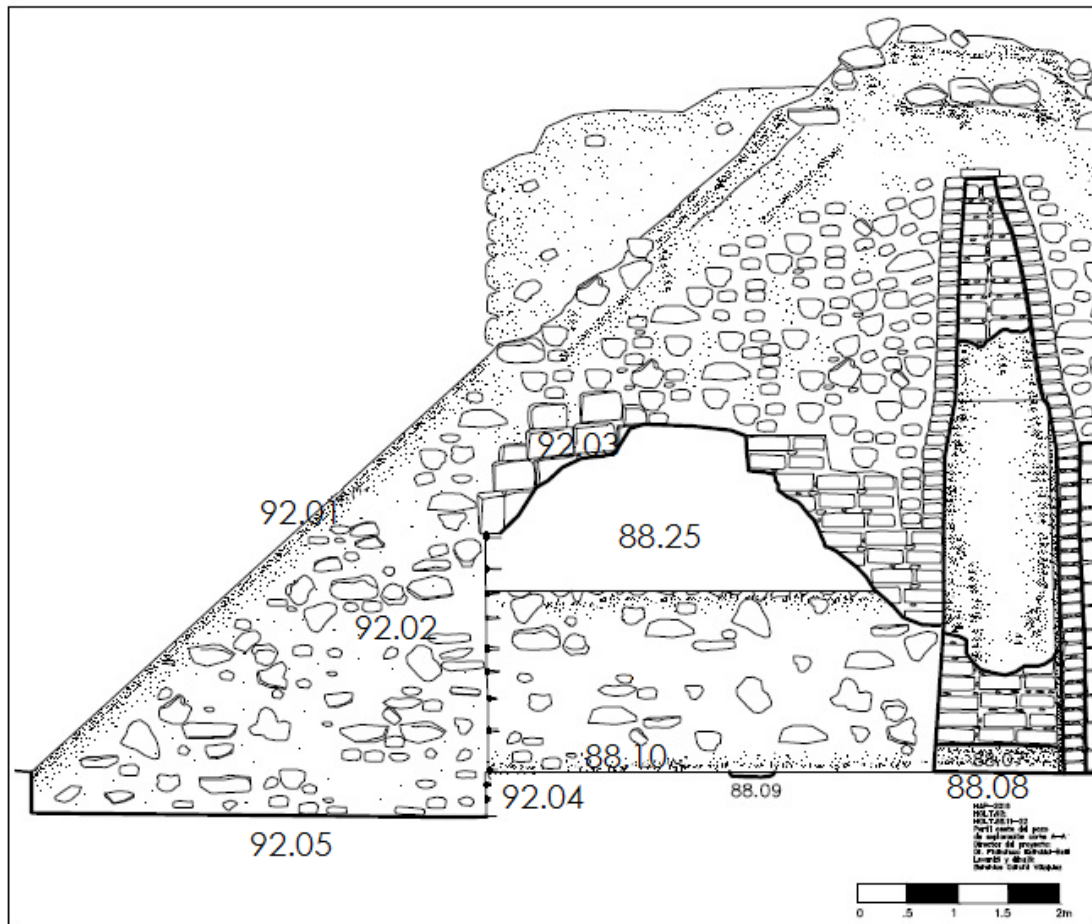


Figura 4.34. Dibujo del corte A-A' del contexto HOL.T.92.01-05 y contexto HOL.T.88 comunicados entre sí.

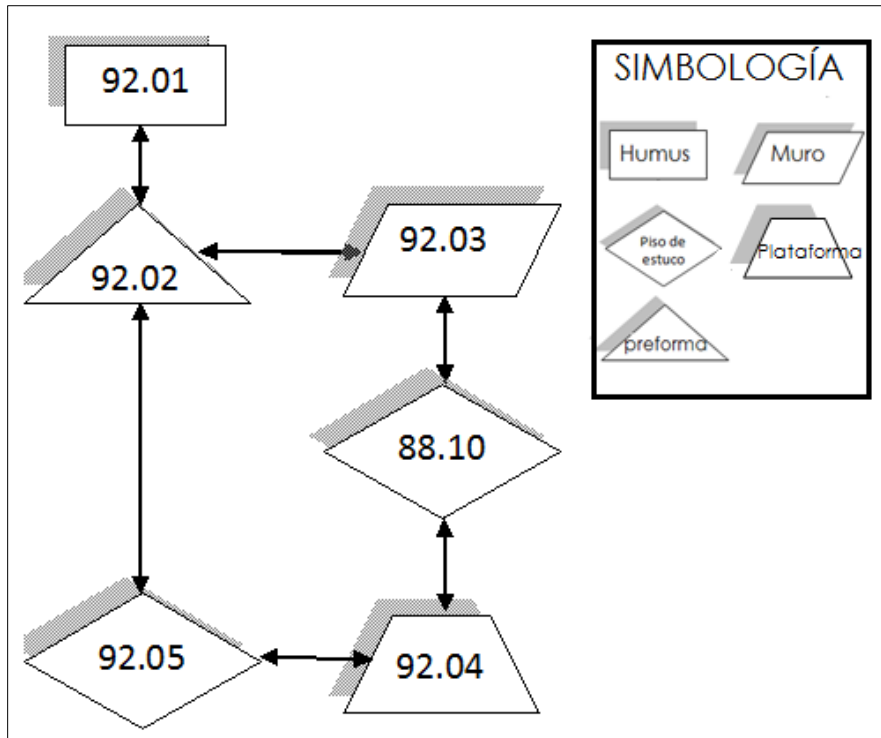


Figura 4.35. Matriz de Harris de la unidad de excavación HOL.T.92.

## EXCAVACIÓN HOL.T.91. ESCALINATA SUR, GRUPO I

### INTRODUCCIÓN

La sección inferior de la ladera sur de la estructura 1 se excavó trazando un pozo de 3 m de sur a norte y de 2 m de este a oeste, con el fin de encontrar elementos arquitectónicos que correspondieran al acceso que se dirige hacia la plaza ubicada al sur, debido a la orientación correspondiente al vano principal entre las crujeas A y B de la parte superior de la estructura 1, se piensa que se trata de un lugar estratégico para situar escalinatas centrales.

### DESCRIPCIÓN DE LA EXCAVACIÓN

El primer contexto HOL.T.91.01 corresponde a la capa de humus de en un grosor de 0.10 m en promedio, está compuesta por sedimento limo arenoso de color café oscuro de baja compactación (75%), piedras pequeñas de un grosor promedio de 0.5 cm (20%) raíces y material orgánico entre ellos hojarasca y raíces (5%). El nivel de la compactación del sedimento es bajo, el tamaño granulometría es grueso, la textura de las piedras son angulosas y la porosidad es alta (Figura 4.36).



Figura 4.36. Pozo de exploración es HOL.T.91 antes de la excavación.

En el segundo contexto HOL.T.91.02 está contenido el material de derrumbe de los elementos arquitectónicos de la parte superior de la estructura 1, el sedimento es areno-arcilloso, expone tierra caliza que en un principio fue parte del estuco constructivo y ahora es un sedimento degradado, que fue arrastrado y compactado de forma natural en el momento de la deposición. El color general del estrato es blanco grisáceo, el nivel de la compactación es media, la porosidad es media, el tamaño granulometría parte de medio a grueso, la textura de las piedras son angulosas y la porosidad es baja. La irrupción de las raíces es moderada (5%) el sedimento mixto conforma la mayor parte del estrato (75 %) y las piedras irregulares de derrumbe que no presentan facetas careadas y presentan diferentes proporciones cuyo rango parte desde los 0.01 m de largo por 0.05 m de ancho a 0.20 m de largo a 0.15 m de ancho (10%) (Figura 4.37).



Figura 4.37. Conglomerado del interior del pozo HOL.T.92

El contexto HOL.T.91.03 se trata de un conglomerado de piedras careadas de acabado burdo de diferentes proporciones y formas; a partir del desplante dentro los primeros cuarenta centímetros el formato de las piedras son irregulares, angulosas y/o redondeadas de un grosor promedio de 0.15 m y 0.15 m de ancho, no están careadas y no parecen tener un acomodamiento (Figura 4.38).

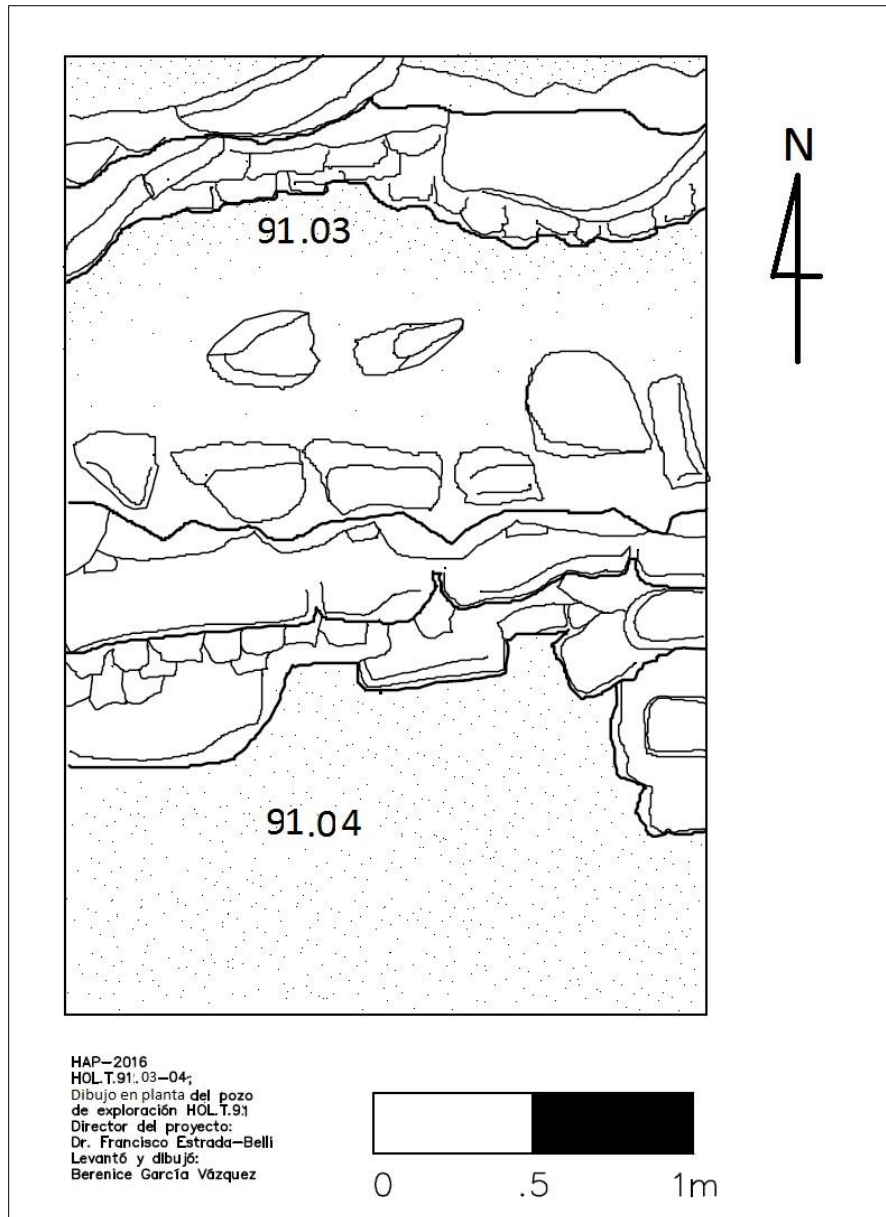


Figura 4.38. Dibujo en planta del contexto HOL.T.92, exponiendo el conglomerado y el apisonado de tierra con reminiscencias de estuco.

El contexto HOL.T.91.03 está conformado por diferentes formas de acomodamiento de piedras, el primer acomodamiento a 0.40 m de altura del nivel de piso interior, presenta piedras en formas de lajas grandes dispuestas de manera horizontal, el tamaño oscila entre los 0.35 m de largo por 0.20 m de ancho y 0.15 m de altura, en seguida el siguiente acomodamiento de 1.3 m de grosor es la unión de piedras angulosas y piedras careadas burdas, colocadas sin orden alguno en un relleno de tierra caliza y arena, el formato de las piedras varía entre los 0.20 m de largo, 0.20 de ancho y 0.15 de grosor (Figura 4.39).



Figura 4.39. Vista sur del conglomerado y escalinatas al interior del contexto HOL.T.91

El último acomodamiento se trata de piedras careadas por solo dos lados ordenadas de forma horizontal cuyo tamaño varían entre los 0.30 m de largo por 0.15 cm de ancho y un grosor de 0.10 cm. La inferencia a destacar sobre este elemento propone que se encontró la incipiente preparación o preforma de algún elemento arquitectónico que quedó trunco y por esta razón, no muestra algún acabado fino e indicios de un tratamiento final alguno (Figura 4.40).

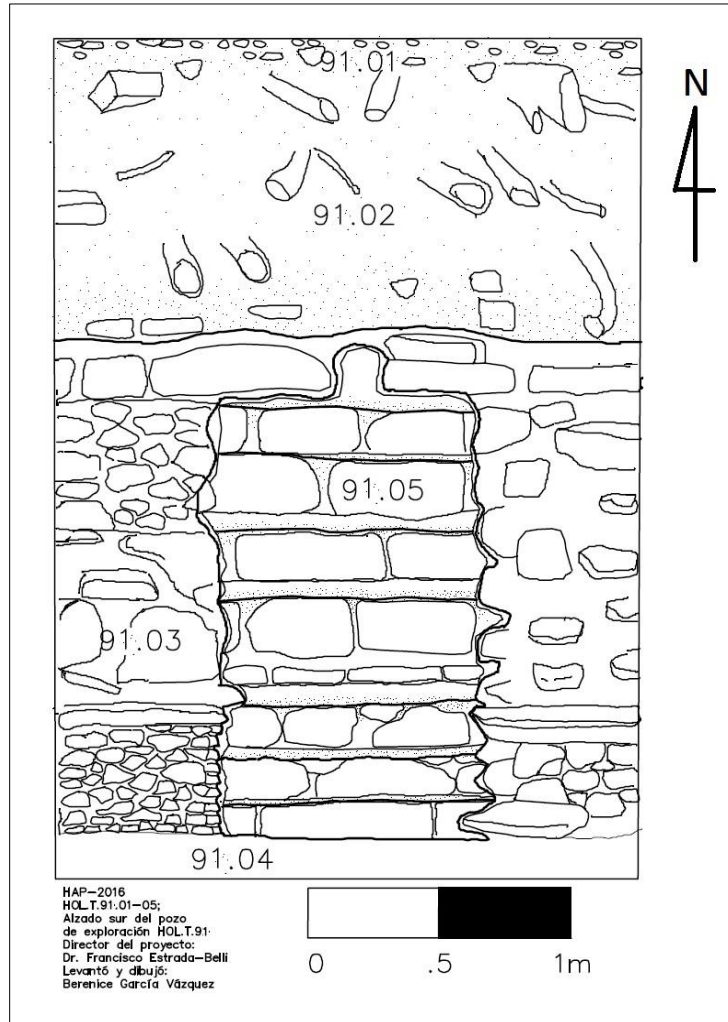


Figura 4.40. Alzado sur del conglomerado y escalinatas al interior del contexto HOL.T.91.

En el contexto HOL.T.91.05, se encontró parte de las escalinatas, cuyas medidas en promedio corresponden a un peralte que fluctúa entre 0.14 m y 0.40 m; las huellas tienen un rango de 0.15 m a 0.26 m, los bloques tienden a tener entre 0.23 m a 0.60 m de largo, se encuentran remetidas a 2 m del primer cuerpo. El contexto HOL.T.91.04 se trata de un apisonado, sin algún enlucido de estuco o cualquier otro elemento de material constructivo; este apisonado es compuesto de tierra con reminiscencias de tierra caliza compactada por la presión antropogénica.

## CONCLUSIÓN

La característica destacable de este contexto está relacionada con la conformación del sistema constructivo que es similar a la sección de las escalinatas liberadas del contexto HOL.T.88, que de la misma manera están cubiertas con un enlucido de estuco que fue degradado parcialmente, el tamaño de huellas y peraltes encajan dentro del mismo rango en medidas, en donde la huella es pequeña en relación al peralte, además de que la verticalidad presenta un ángulo con severa inclinación. De acuerdo a los atributos anteriores se infiere que estas secciones tienen correspondencia cronológica entre si y es posible que pertenezcan a las mismas escalinatas. Sin embargo es una aseveración preliminar que en un futuro será contrastada (Figuras 4.41, 4.42 y 4.43).

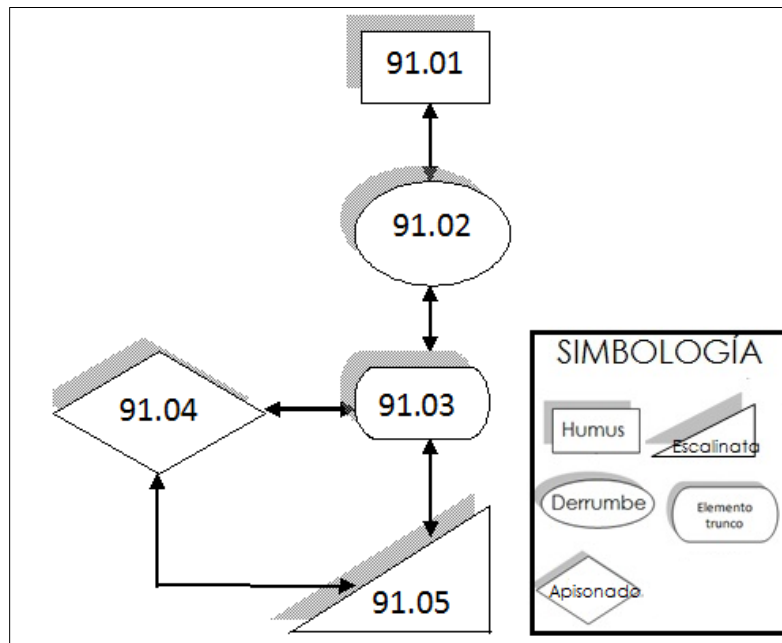


Figura 4.41. Matriz de Harris del contexto HOL.T.91

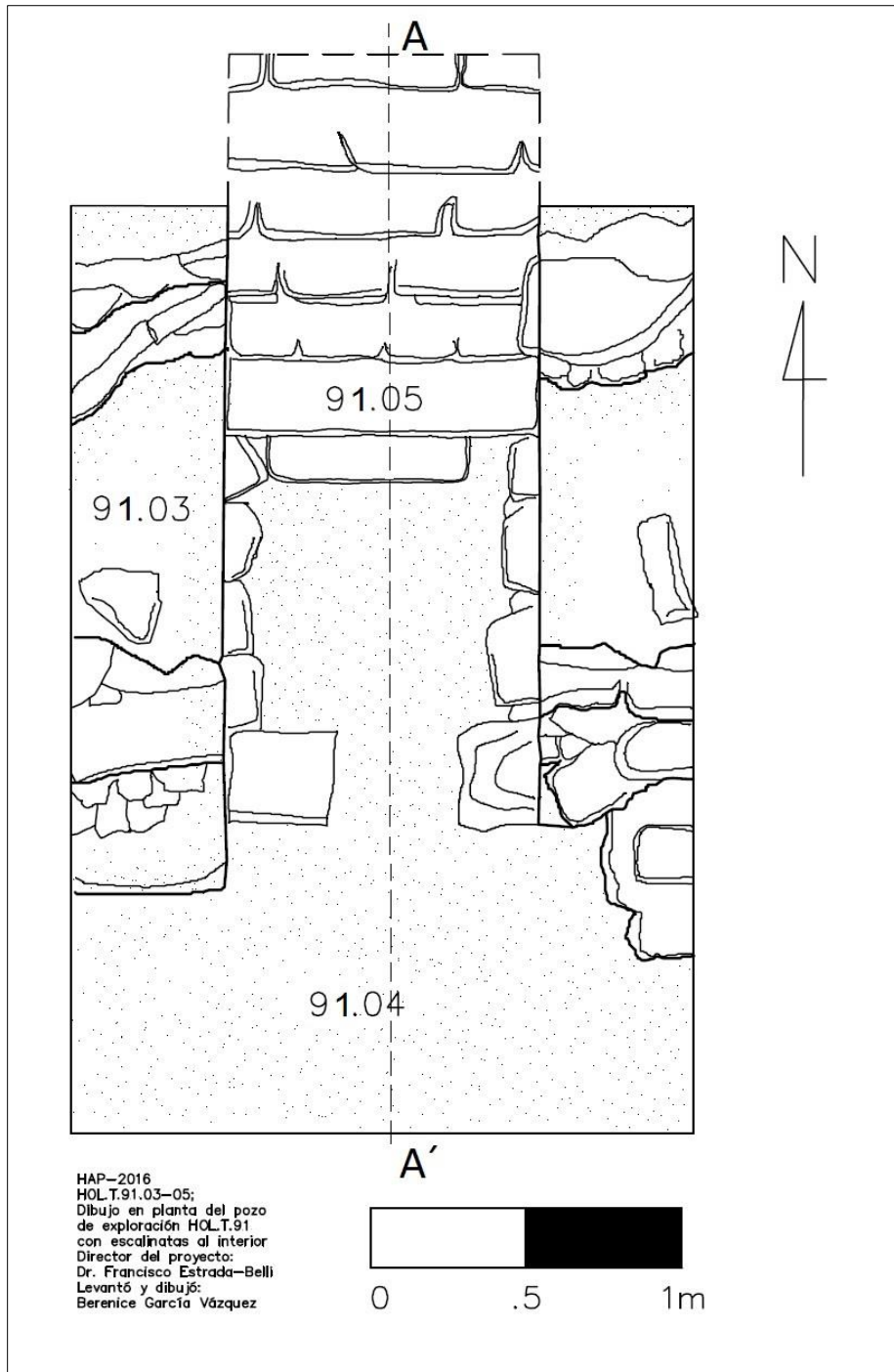


Figura 4.42. Dibujo en planta del conglomerado y escalinatas al interior del contexto HOL.T.91, con ubicación del corte A-A'.

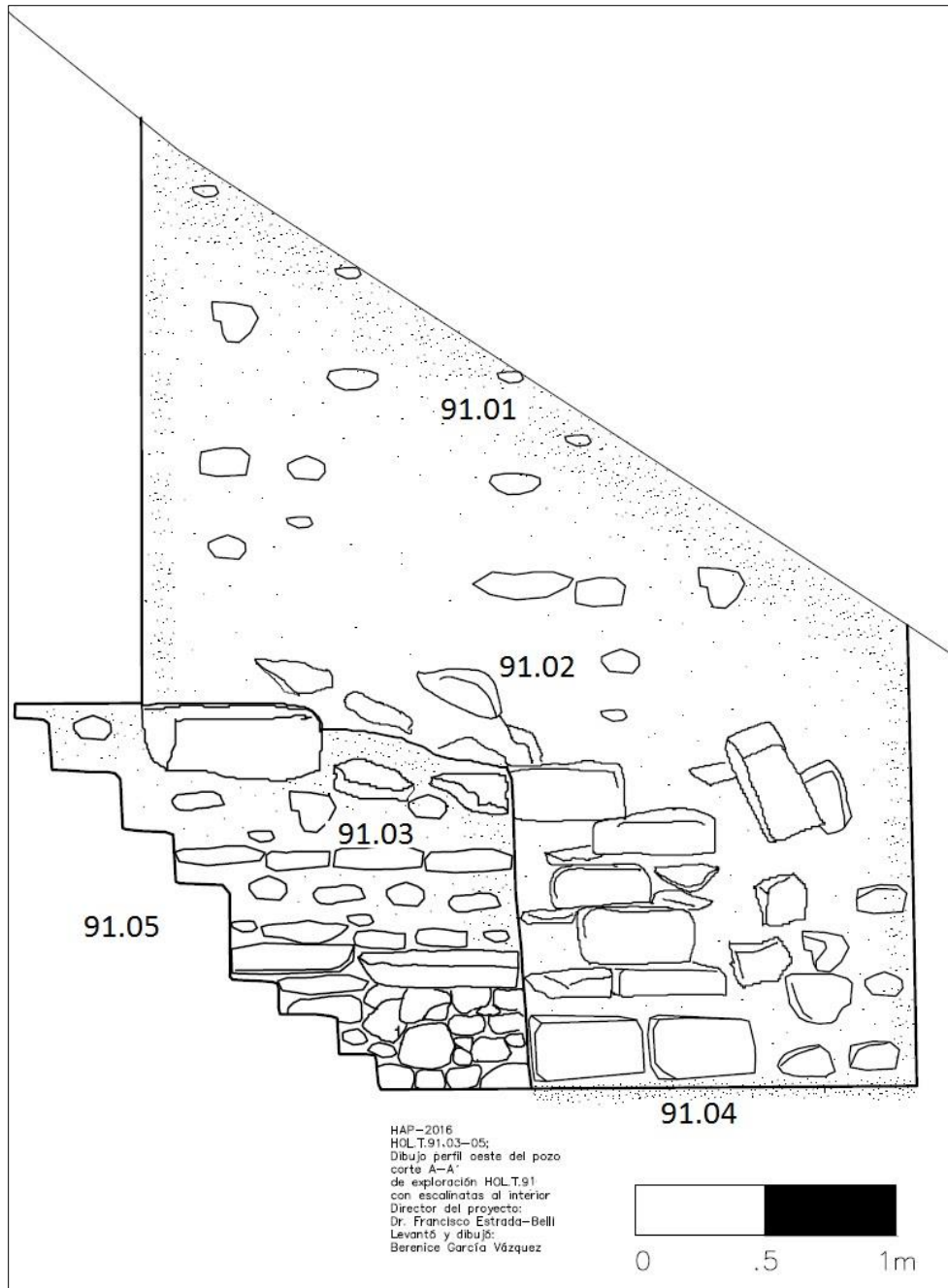


Figura 4.43. Perfil oeste del corte A-A' del pozo de exploración HOLT.91

## EXCAVACIÓN HOL.T.94. ESCALINATA SUR, GRUPO I

### INTRODUCCIÓN Y DESCRIPCIÓN DE LA EXCAVACIÓN

Con la finalidad de otorgarle continuidad a la exploración de las escalinatas frontales de la estructura 1, que fueron liberadas en la unidad HOL.T.91. Se situó el pozo de exploración con nomenclatura HOL.T.94 de 3.2 m de norte a sur y 2.8 de este oeste en la sección intermedia de la pendiente sur que se comunica con la plaza.

El primer estrato con nomenclatura HOL.T.94.01 tiene un espesor en promedio de 0.10 m y corresponde al humus que alberga materia orgánica, tiene una composición limo arenoso de color café oscuro, de baja compactación (40%), en su interior alberga piedras pequeñas de un grosor promedio de 0.5 cm (20%) raíces y material orgánico entre ellos hojarasca y raíces (35%) el tamaño granulometría es grueso, la textura de las piedras son angulosas y la porosidad es alta (Figura 4.44).



Figura 4.44. Ubicación del área que abarca el pozo HOL.T.94 antes de la excavación arqueológica.

El contexto HOL.T.94.02 se trata del derrumbe proveniente de la parte superior de la Estructura 1, la composición del sedimento es arenoso limoso y es compuesto por tierra caliza colocada de forma natural en la deposición. El color es blanco grisáceo, el nivel de la compactación es medio, la porosidad es media, el tamaño granulometría parte de medio a grueso, la textura de las piedras son angulosas y la porosidad es alta. La presencia de las raíces es media (25%) el sedimento mixto conforma la mayor parte del estrato (55%) y las piedras irregulares de derrumbe que no presentan facetas careadas y son de diferentes proporciones cuyo rango parte desde los 0.01 m de largo por 0.05 m de ancho a 0.20 m de largo a 0.15 m de ancho (10%) (Figura 4.45).



Figura 4.45. Vista sur del contexto HOL.T.94.03

En el contexto siguiente con número HOL.T.94.03, se descubrieron nueve filas y cuatro columnas de 36 bloques de piedra alienados que corresponden a otra sección de las escalinatas centrales cuyas medidas en promedio presentan en los peraltes de un rango de 0.17 m y 0.22 m de altura; la huella se mantiene alrededor de los 0.30 m, ya sean 5 centímetros menos o más (Figura 4.46).

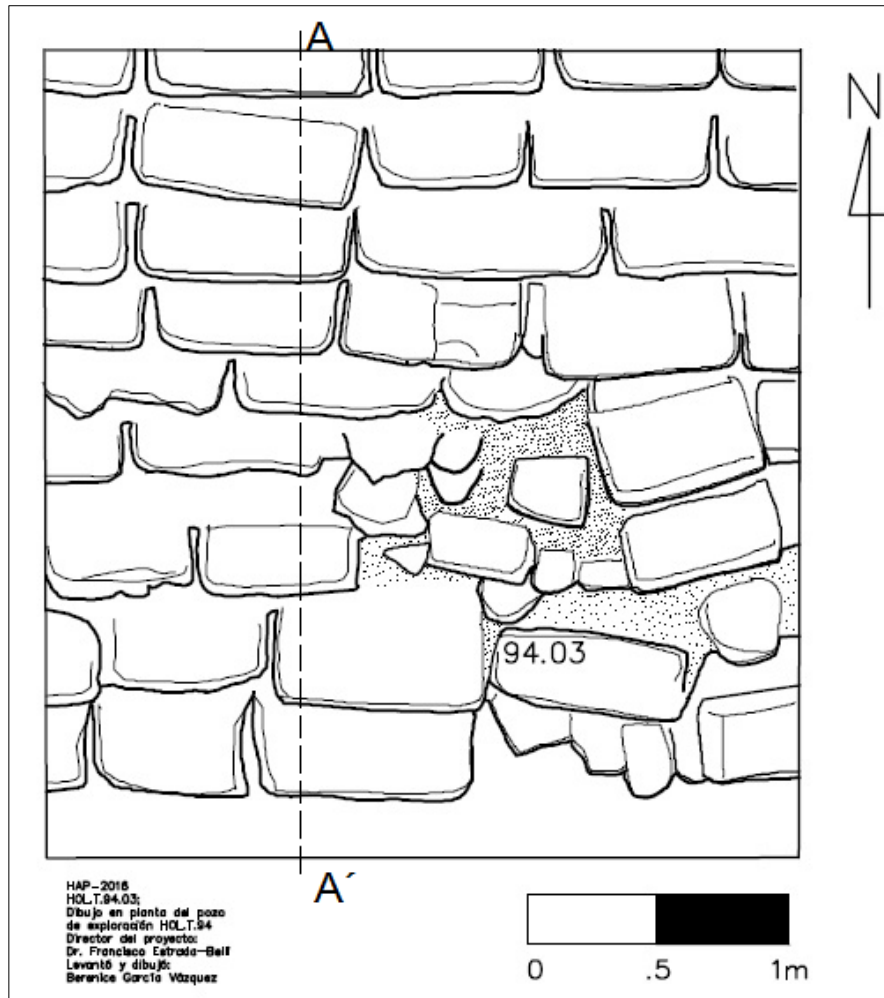


Figura 4.46. Dibujo en planta de la sección de escalinatas liberadas del contexto HOL.T.94 y ubicación del corte A-A'.

El tamaño de los bloques tienden a ser prolongados en el largo pueden alcanzar los 0.80 m hasta los 0.90 m de largo, el ancho pueden alcanzar los 0.35 m de ancho y 0.22 m de grosor. Por el tamaño de las piedras careadas se catalogan dentro de un formato grande, de corte burdo en sus facetas y no presentan un acabado de estuco en su exterior; la cimentación entre ellas es débil, pero se mantuvieron estables a pesar de que algunos bloques se fueron degradando de manera individual, alcanzando a preservarse el 80% de su integridad. Podría aseverarse que los bloques permanecieron en su lugar debido al peso que representan, sin embargo manifiestan un desplazamiento de la formación horizontal (Figura 4.47).

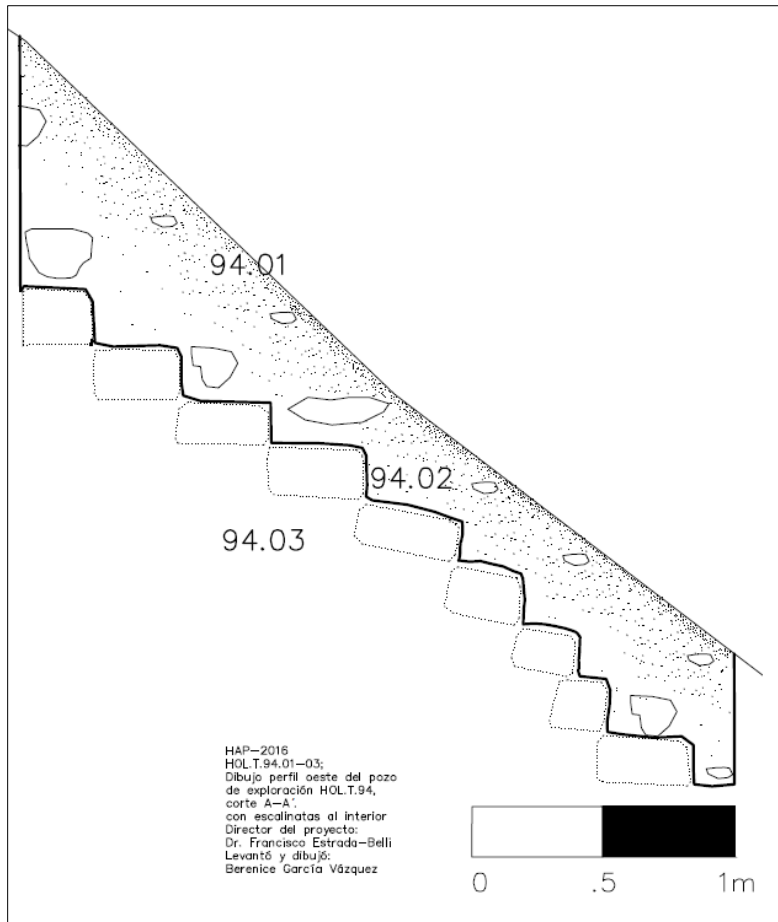


Figura 4.47. Perfil oeste del corte A-A' de la sección de las escalinatas descubiertas en el pozo HOL.T.94.

## CONCLUSIÓN

Sobre la sección liberada de escalinatas que resultaron en esta excavación, se resalta el hecho de que expone diferente formatos a las otras escalinatas ya liberadas anteriormente (HOL.T.88 Y HOL.T.91). Las escalinatas de este contexto tienen formato más grande y no presentan indicios de estar estucadas, además no es visible una clara cimentación entre los bloques que conforman los peldaños, sin embargo si muestran fracturas en un estimado del 20% de los bloques (Figura 4.48).

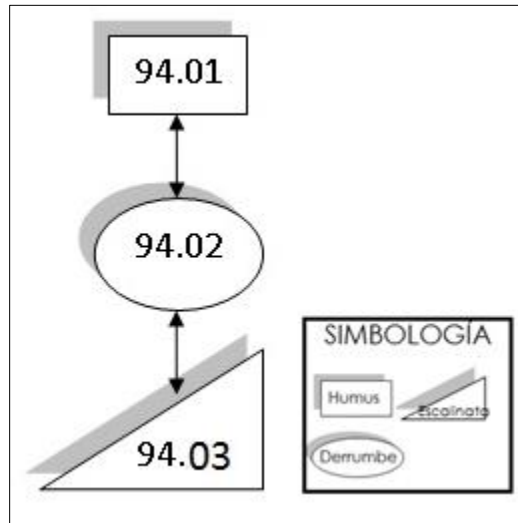


Figura 4.48. Matriz de Harris de la unidad de excavación HOL.T.94.

## EXCAVACIÓN HOL.T.96

### INTRODUCCIÓN

En la exploración con número correspondiente HOL.T.06, se pretende encontrar datos que asocien las escalinatas que se encontraron en los contextos HOL.T.91 Y HOL.T.94, con la sección de las escalinatas descubiertas en el pozo HOL.T.88, ya que esta área es el punto intermedio entre estos contextos y se encuentra pendiente por explorar. Debido a la proximidad de esta área con el pozo HOL.T.94, desde un principio, se dedujo que se encontraría la continuación de las escalinatas HOL.T.94.03. Sin embargo, hasta el momento se han encontrado dos secciones de escalinatas que presentan diferentes sistemas constructivos y bajo este lineamiento, se espera que los indicadores que se encuentren en esta excavación, coadyuven a ampliar el entendimiento sobre las diferencias arquitectónicas que cada sección presentan (Figura 4.49).



Figura 4.49. Ubicación del pozo HOL.T.96 antes de la excavación arqueológica.

## DESCRIPCIÓN DE LA EXCAVACIÓN

Desde un principio se buscó montar el pozo de exploración, en alguna parte del terreno que no fuera obstruido por las raíces del árbol ramón, que abarcan una significativa extensión en esta área, y por esta razón las medidas que resultaron en la delimitación del área resultaron fueron arbitrarias, estas son: un largo 2.3 m de norte a sur y un ancho de 1.3 de este a oeste. Durante la exploración se encontró el primer contexto HOL.T.96.01, que es conformado por la capa de humus de grosor de 0.10 m en promedio, su conformación es sedimento limo-arenoso de color café oscuro de baja compactación (50%), piedras pequeñas de un grosor promedio de 0.5 cm (20%) raíces y material orgánico entre ellos hojarasca y raíces (30%). El nivel de la compactación del sedimento es bajo, el tamaño granulometría es grueso, la textura de las piedras son angulosas y la porosidad es alta (Figura 4.50).

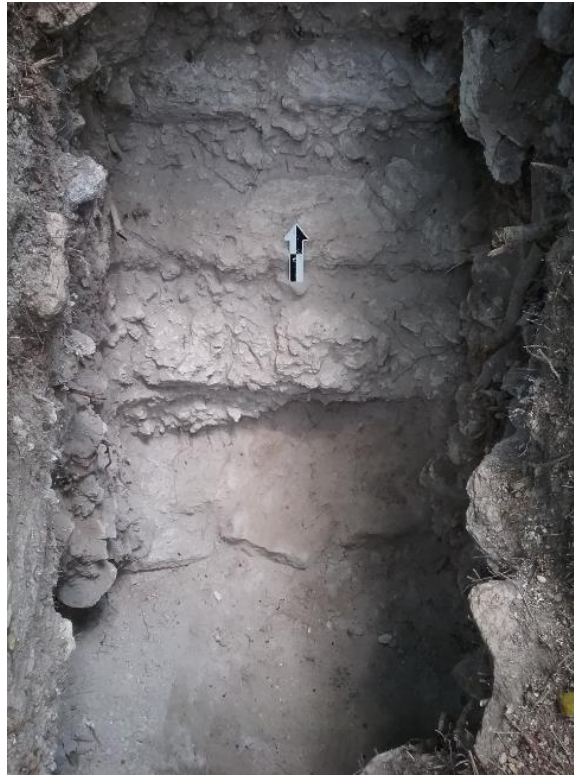


Figura 4.50. Vista superior de las escalinatas del pozo HOL.T.96.03 con un cubrimiento de argamasa amorfa.

El segundo contexto HOL.T.96.02 no cambia de manera significativa en la parte superior e inferior de la pendiente, se conforma básicamente de material constructivo de sedimento areno arcilloso y tierra caliza que fue arrastrada y compactada de forma natural en el momento de la deposición. El color es blanco grisáceo, el nivel de la compactación es medio, el tamaño granulometría parte de medio a grueso, la textura de las piedras son angulosas y la porosidad es alta. La presencia de las raíces es media, en donde predominan las raíces con filamentos delgados (25%), el sedimento mixto conforma la mayor parte del estrato (55%), las piedras irregulares de derrumbe que no presentan facetas careadas se encuentran en diferentes tamaños, cuyo tamaño rango oscila entre 0.01 m de largo por 0.05 m de ancho a 0.20 m de largo a 0.15 m de ancho (10%) (Figura 4.51).



Figura 4.51. Exploración del contexto HOL.T.96.04.

Excavando un nivel más profundo (1.5 m en promedio), el contexto HOL.T.96.03, se definió de forma más concisa, en donde los peldaños sin la argamasa amorfa se muestran más claros en cuanto su formato. La mezcla sobre los peldaños parece constituir la preparación de una forma cuya finalidad era otorgar volumen a los peldaños, mediante capas de mezcla preparadas a base de cal, este proceso se percibe con acabado burdo e incompleto. Aunque no son muy claras las proporciones de los bloques, se puede observar por medio de las improntas menos difusa, los primeros 3 peldaños superiores de unos 0.3 m (huella del escalón) de ancho por 0.45 m de largo y un grosor de 0.20 m a 0.25 m (peralte del escalón) en promedio (Figuras 4.52 y 4.53).



Figura 4.52. Vista frontal sur del contexto HOL.T.96.03 con remanentes de estuco en su acabado.

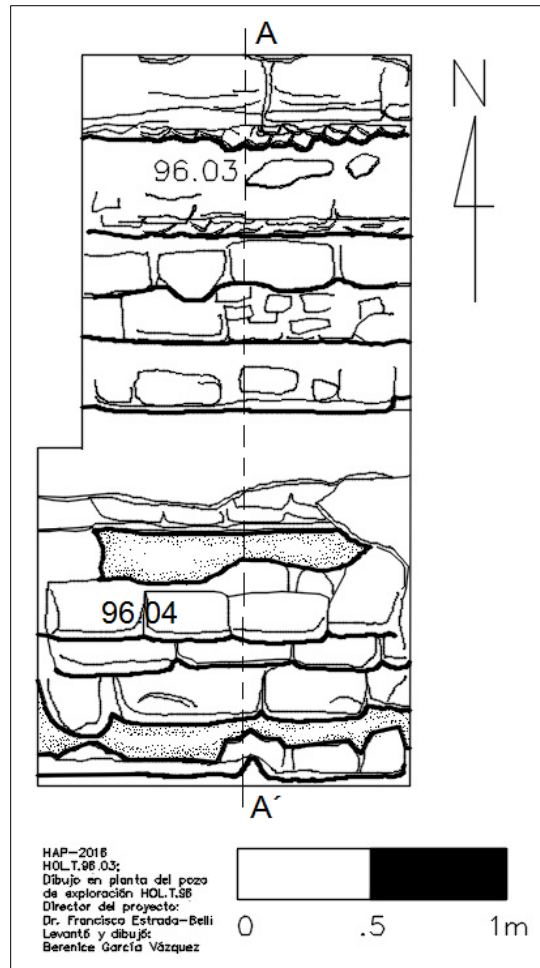


Figura 4.53. Dibujo en planta de los contextos HOL.T.96.04 y HOL.T.96.03.

El contexto número HOL.T.96.04 que comienza a partir de la parte inferior del cuarto peldaño inferior, se muestra la huella construida con una base de tierra apisonada sin enlucido o acabado fino en su exterior; el peralte está conformado por sillares de piedra de acabado burdo careado por 6 lados, que presentan similitud con respecto a las dimensiones de las siguientes 4 hileras inferiores, que rematan en las escalinatas del pozo HOL.T.94. Estos peldaños presentan un largo de 0.30 m un ancho de 0.15 m y un alto de 0.15 m en promedio, cabe señalar que la altura de los bloques, en este caso, no difiere con la medida del peralte, pues el volumen del peralte es complementado con piedras en forma de cuñas para elevar el tamaño de forma general.

En este apartado se resalta que la hilada inferior de las escalinatas, se articula con las gradas del pozo HOL.T.94, sin ser parte de estas, debido a que no se une con el remate de esta sección, es decir la última hilada se encuentra a 0.50 m de profundidad de la primera hilada de la sección HOL.T.94. Con la especificación anterior y con la diferencia de los formatos de los peldaños de las escalinatas, es contundente la evidencia de dos momentos diferentes del sistema constructivo, que es imperativo señalar en este registro, y como consecuencia conlleva a más indagatorias que conducen el propósito de la exploración (Figura 4.54).



Figura 4.54. Vista superior del contexto HOLT.96.04 liberado.

Como se había mencionado con los anteriores atributos arquitectónicos ya descritos en esta sección de las escalinatas frontales (HOLT.96.04), se infiere que puede ser una fase constructiva incipiente y que fue implementada en otro momento de ocupación con respecto a la sección de las escalinatas del pozo HOLT.94. Para contrastar la aseveración de haberse encontrado una fase inconclusa de preparación de escalinatas y al mismo tiempo, tratar de entender la relación entre las secciones HOLT.94 y HOLT.96, se profundizó esta sección hasta encontrar otro elemento arquitectónico cuyos datos coadyuven a contrastar las inferencias ya expuestas (Figuras 4.55 y 4.56).

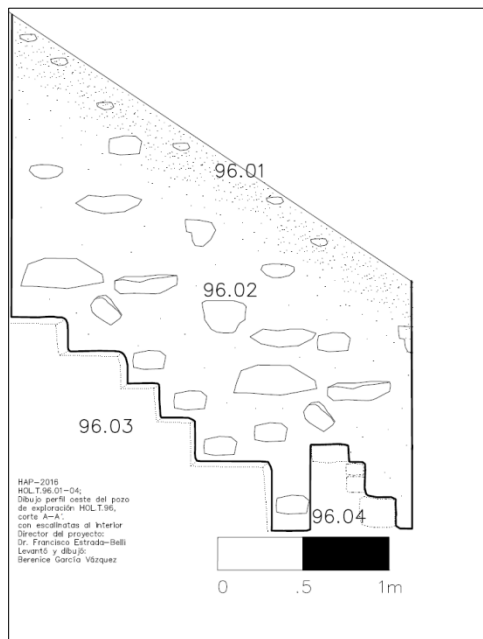


Figura 4.55. Perfil oeste del corte A-A' de la unidad de excavación HOLT.96.

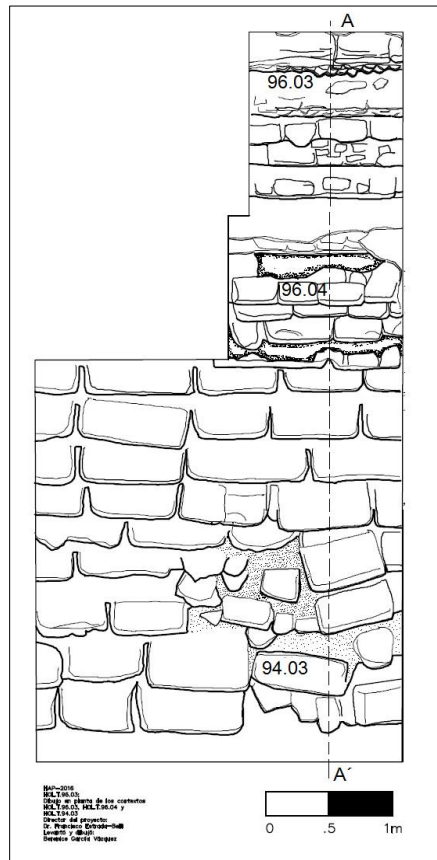


Figura 4.56. Dibujo en planta de los contextos HOL.T.96.03, HOL.T.96.04 Y HOL.T.94.03

## CONCLUSIÓN

El contexto HOL.T.96.04, es el resultado de la excavación del contexto HOL.T.96.03 a otro nivel de profundidad, como resultado se logró encontrar los peldaños restantes de las escalinatas, por encima de estas se liberó un fragmento de estuco modelado de 0.50 de largo, 0.15 m de ancho y 0.10 m de espesor, cuya forma es semejante a un número “L” con la abertura del ángulo más abrupto. Con la exploración de HOL.T.96.04 fue posible contrastar el hecho de que se descubrieron dos fases constructivas en donde el contexto HOL.T.96.04 se construyó sobre el contexto HOL.T.96.03 para otorgar más volumen y altura a las escalinatas, en donde cabe la posibilidad de que el contexto HOL.T.96.04 fue una fase constructiva de nivelación posterior al contexto HOL.T.96.03 y anterior al contexto HOL.T.94.03, debido a que el último escalón se empalma a una profundidad de 0.40 m de diferencia entre ellas (Figuras 4.57 y 4.58). A continuación para mayor entendimiento, se representa en solo diagrama el resumen de cada una de las conclusiones por cada contexto, de la Unidad I del sitio arqueológico de Holmul (Figura 4.59).

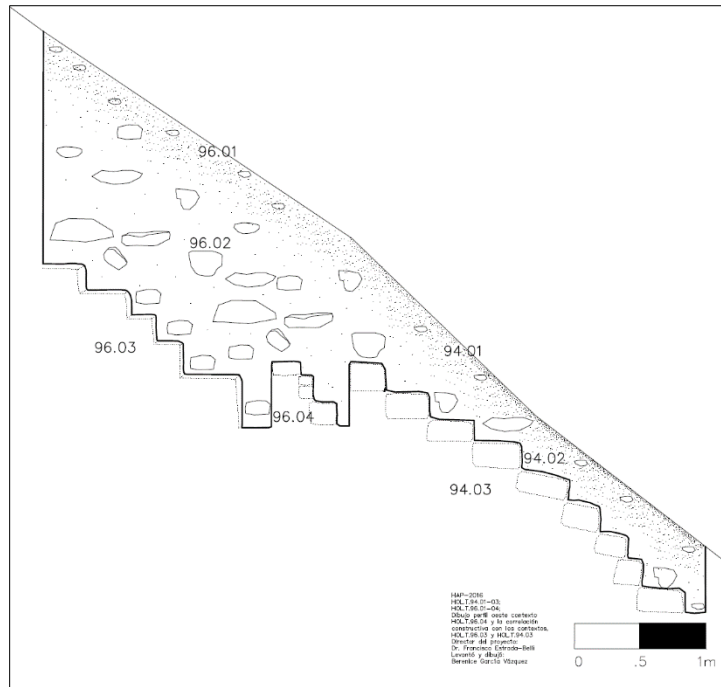


Figura 4.57. Perfil oeste del corte A-A' de los contextos HOL.T.96.03, HOL.T.96.04 y HOL.T.94.03

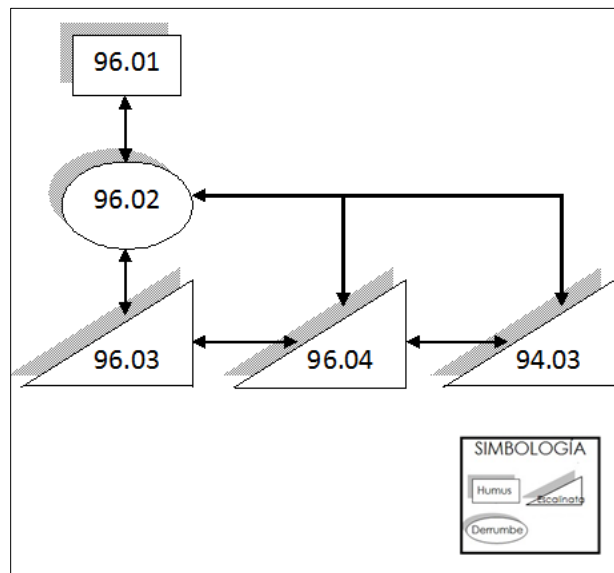


Figura 4.58. Matriz de Harris del contexto HOL.T.96. y HOL.T.94.



A partir de la esquina este, a una distancia de 2.5 m, comienza un muro con nomenclatura HOL.T.97.03 en forma de talud compuesto de piedra careadas en bloques cuyas medidas en promedio tienen 0.25 de largo por 0.15 de alto, se encuentran unidas entre sí por una argamasa que presenta piedras menores irregulares en su interior a manera de cuña de un diámetro promedio de 0.05 a 0.10 m.

Al extremo oeste la esquina se encuentra en buenas condiciones, al este remata con unas escalinatas que se unen al talud como parte de un solo cuerpo arquitectónico; la altura del talud que se descubrió en el momento del saqueo tiene 1.6 m, y el muro tiene una oquedad originada durante el saqueo de 1 m de diámetro a 0.6 m de distancia a partir de la esquina oeste (Figura 4.60).



Figura 4.60. Talud del contexto HOL.T.97.03 irrumpido en la fachada sur por un pozo de saqueo.

Las gradas cuyo número de contexto es HOL.T.97.04, se encuentran con dirección norte-sur, están interrumpidas de forma irregular en el extremo este, razón por la cual tiene una longitud de este a oeste de 2.5 m en la grada más corta y de 4 m en la grada más larga. Los peraltes tienden a medir de 0.20 m a 0.33 m de altura, el rango de la huellas oscilan entre los 0.17m y 0.23 m de ancho a la altura del nivel de piso desde el remate de las escalinatas tiene 2.34 m, en conjunto las 9 gradas tienen un ancho total de 2 m (Figura 4.61).



Figura 4.61. Gradas HOL.T.97.04 irrumpidas al extremo este.

El escalón superior forma parte del remate del cuerpo arquitectónico, es decir se encuentran al mismo nivel y las gradas siguen en aumento en la parte superior, las dimensiones de los bloques tienen correspondencia con los rangos que presentan las huellas y los peraltes (ya proporcionados con anterioridad) en relación al ancho y la altura, los tamaños de los largos varían de 0.30 a 0.40 m y se encuentran unidas entre sí por una argamasa que en su interior presenta piedras menores irregulares a manera de cuña de un diámetro promedio de 0.05 a 0.10 m; el último escalón inferior tiene la peculiaridad de continuar de manera indefinida prolongándose al interior de los límites del túnel, además que al extremo oeste tiene adosado en un ángulo de 90°, otro alineamiento de bloques careados de las mismas características con dirección hacia el sur. Es importante señalar que los elementos arquitectónicos encontrados en los contextos HOL.T.97.03 y HOL.T.97.04, presentan someros remanentes de un acabado de estuco burdo en el exterior (Figuras 4.62 y 4.63).



Figura 4.62. Vista en perspectiva de las escalinatas desde el extremo este, se aprecia el primer escalón que continúa por debajo de los límites del túnel.

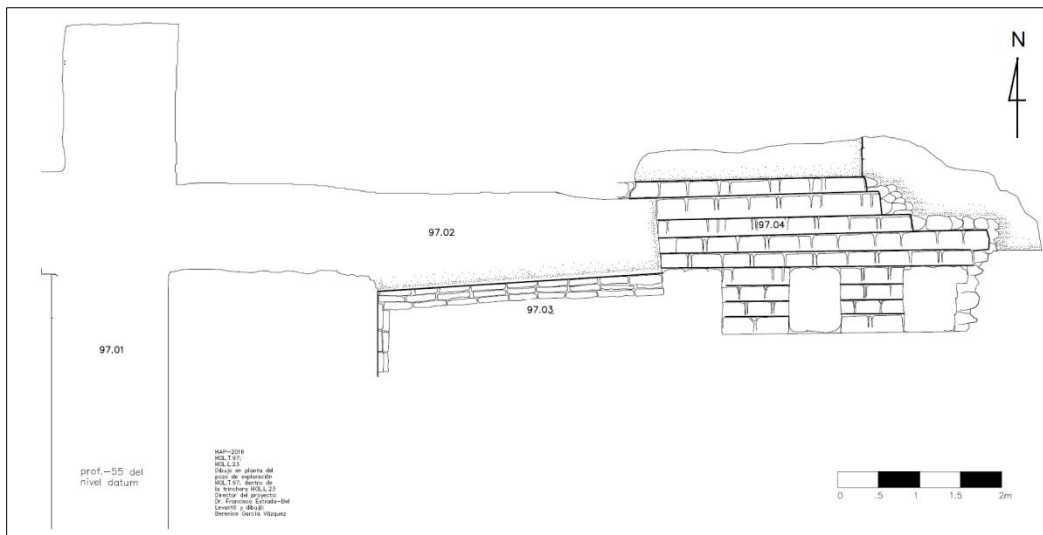


Figura 4.63. Dibujo en planta de los contextos HOL.T.97.01-07.

La exploración del contexto HOL.T.93.04 penetró el relleno interior que está al norte de las gradas, esta excavación se ejecutó con el fin de conocer el sistema constructivo, la cala de exploración se prolongó 3.5 m al norte y 0.5 m de ancho, el material que se extrajo fue relleno de piedras irregulares y burdas de diferentes tamaños unidas entre sí por una mezcla compuesta a base de tierra caliza. El límite del contexto es un muro de piedras careadas de acabado burdo de aproximados 0.20 m de largo y 0.15 de largo, encontrándose por encima de un apisonado de tierra (Figuras 4.64 y 4.65).



Figura 4.64. Comienzo de la exploración al interior de las escalinatas HOL.T.97.04.

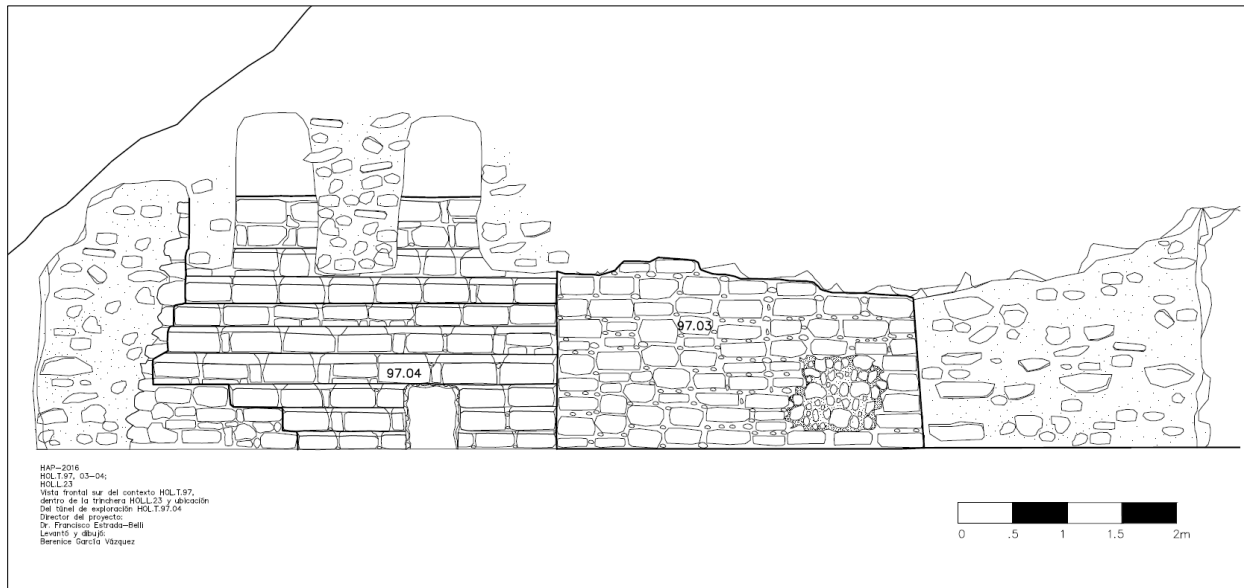


Figura 4.65. Fachada norte de las escalinatas y talud este; ubicación del túnel de exploración HOL.T.97.04.

Derivado de la exploración del contexto HOL.T.97.04, se llegó al siguiente contexto HOL.T.97.05 que continúa sobre el apisonado de tierra ya descubierto, en su interior alberga un cuarto abovedado de 3 m largo de este a oeste y de 1.5 m de norte a sur, el piso de tierra es un conglomerado fino de arena, arcilla, cal y piedras angulares pequeñas de 0.05 m de diámetro en promedio, el alto del muro hasta donde llega el desplante del intradós que se muestra en saledizo de unos aproximados 0.05 a 0.10 m, tiene 1.3 de altura en el muro sur (HOL.T.97.17) y en el muro norte (HOL.T.97.21) aumenta 0.10 m, los bloques de piedra que conforman los muros que soportan el techo abovedado tienen un largo de 0.20 m un alto de 0.20 m y presentan piedras pequeñas a manera de cuña. La bóveda tiene un alto de 1.1 hasta las tapas que cierran el remate y el intradós es recto (Figura 4.66).



Figura 4.66. Fachada este del muro oeste de la crujía interior 1 de las escalinatas HOL.T.97.04.

En el extremo este, la bóveda tiene indicios de haber sido acortada de manera irregular, la anterior aseveración se sustenta porque el piso de tierra continua, pero el muro este (HOL.T.97.18), fue interrumpido, al mismo tiempo el muro este fue sustituido por un conglomerado de piedras de relleno careada de manera burda, de un grosor aproximado de 0.15m, un largo de 0.20 m y una altura de 0.15 m, todas afianzadas por una mezcla de arena y cal. Esta parte expone raíces de árbol que provienen de la superficie, cuya presencia indica estar cerca de la superficie del extremo oeste de la estructura 2 que aún se encuentra enmontada (Figura 4.67).



Figura 4.67. Extremo este de la cuarto 1 irrumpido, dentro de las escalinatas HOL.T.97.04.

El muro sur (HOL.T.97.21) se encuentra completo y no cambia en cuanto a las dimensiones ya descritas, a diferencia del muro norte (HOL.T.97.17); que muestra una crujiá de acceso hacia el sur de menor altura el largo de norte a sur tiene 1.7 m y de este a oeste 0.93 m, a este último espacio abovedado se le ha nombrado cuarto 2 con número de contexto HOL.T.97.06, el cuarto se adhiere al cuarto 1 de tal manera que la constitución de la bóveda tiene una forma de “L” vista de oeste a este, el sistema constructivo es igual en cuanto a la construcción de los 3 muros, estos son el muro oeste (HOL.T.97.16), muro este (HOL.T.97.18) y el muro norte (HOL.T.97.21), al sur se encuentra al vano de acceso hacia el cuarto 1 por bloques de piedra, en el muro oeste la altura del muro vertical tiene 0.86 m hasta el desplante del intradós, la ménsula de remate del intradós tiene 0.54 m sumando un total del 1.4 m de altura, en el muro este la altura del muro vertical que soporta la bóveda disminuye a 0.6 m hasta el desplante del intradós, la altura de la bóveda alcanza los 0.8 m sumando un total de 1.4 m de altura de la bóveda. Los intradós que conforman la bóveda son rectos y el acabado de las cuartos son burdos sin un cubrimiento o enlucido de estuco, destacándose las piedras incrustadas a manera de calzas o rajuelas entre las juntas de los bloques de piedra (Figuras 4.68, 4.69 y 4.70).



Figura 4.68. Muros norte (HOL.T.97.21) y muro este (HOL.T.97.18) del cuarto 2 al interior de las escalinatas HOL.T.97.04.



Figura 4.69. Muro oeste (HOL.T.97.16) y muro norte (HOL.T.97.21) del cuarto 2, contexto HOL.T.97.06.

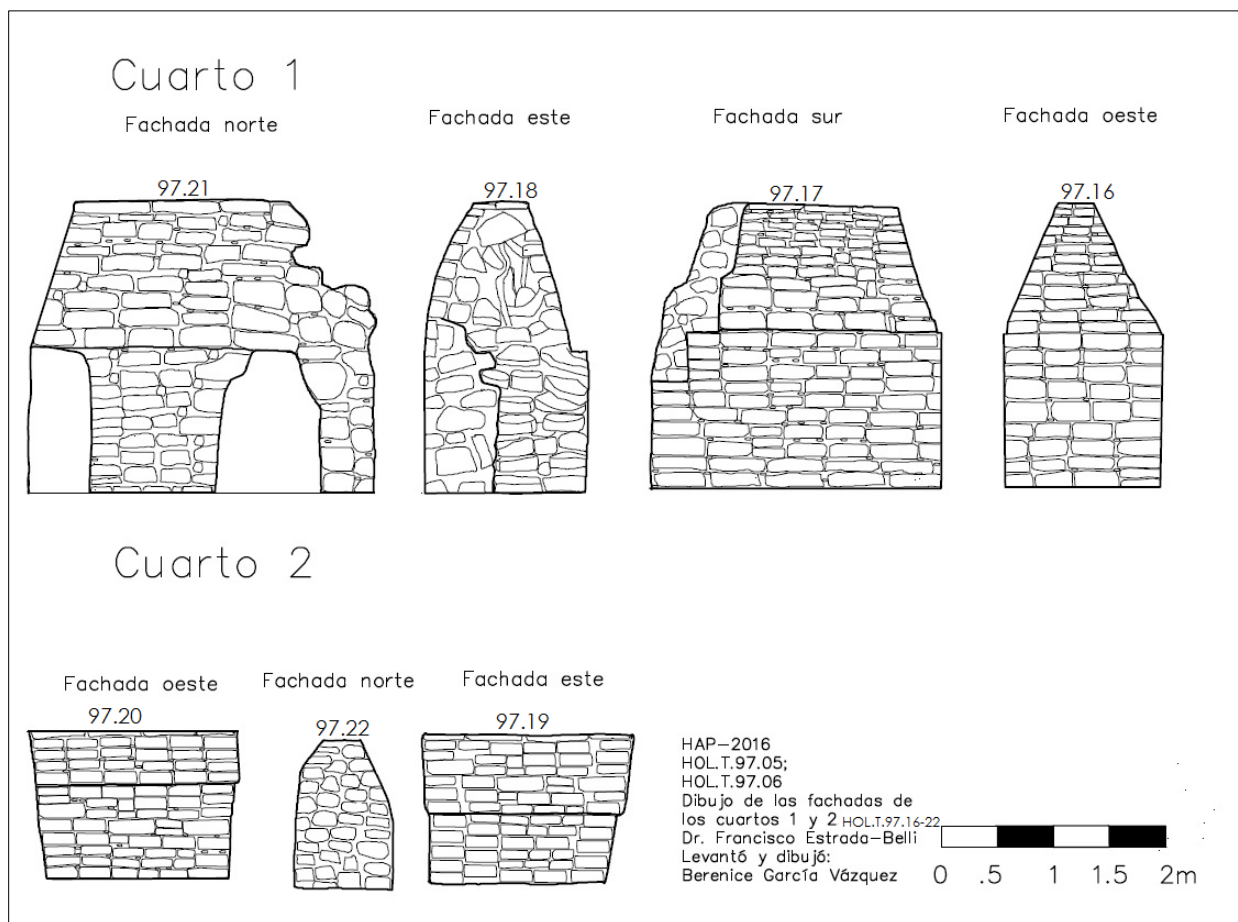


Figura 4.70. Dibujos de las fachadas de los cuartos 1 y 2 (HOL.T.97.05 Y HOL.T.97.06).

El contexto HOL.T.97.10, es la continuación de la exploración en el flanco este de la Estructura 2, con los datos que se extraigan de la excavación se espera acercarse bajo otra perspectiva sobre la funcionalidad y el sistema constructivo del cuerpo escalonado cuyo interior albergó dos crujiás abovedadas de baja altura que fue mutilado en extremo oeste; la excavación continuó en la parte superior, es decir en el remate de los escalones. El pozo se implementó en el primer contexto con número HOL.T.97.10 con 0.75 m de norte a sur y 1.2 m de este a oeste, es conformado por la capa de humus que se presenta en un grosor de 6 a 15 cm en promedio, está compuesta de forma general por sedimento limo arenoso de color café oscuro de baja compactación (50%), piedras pequeñas de un grosor promedio de 0.5 cm (10%) raíces y material orgánico entre ellos hojarasca y raíces (40%). El nivel de la compactación del sedimento es bajo, el tamaño granulometría es grueso, la textura de las piedras son angulosas y la porosidad es alta (Figuras 4.71 y 4.72).



Figura 4.71. Ubicación del pozo de exploración HOL.T.97 al exterior de la Estructura 2.



Figura 4.72. Contexto número HOL.T.97.11 localizado al este de la Estructura 2.

El segundo contexto número HOL.T.97.11 color es blanco grisáceo, el nivel de la compactación es medio, el tamaño granulométrico parte de medio a grueso, la textura de las piedras son angulosas y la porosidad es alta. La presencia de las raíces es muy baja en donde predominan las raíces con filamentos delgados (5%) el sedimento mixto conforma la mayor parte del estrato (25%). Contiene piedras de relleno dispuestas con cierto acomodamiento en filas que presentan una o dos facetas careadas, los formatos se manifiestan en diferentes tamaños cuyo rango parte desde los 0.2 m de largo por 0.15 m de ancho a 0.2 m de largo a 0.15 m de ancho (70%) (Figura 4.73).



Figura 4.73. Túnel de exploración al interior del pozo de excavación del contexto HOL.T.97.10.

El contexto HOL.T.97.11 se excavó con dirección oeste a este en una longitud de 3m y 0.7 m de sur a norte, en esta área fue liberada un apisonado de tierra con remanentes de estuco y presenta un cuerpo escalonado HOL.T.97.12 cuyo orientación parte de este a oeste, está compuesto de piedras careadas con una extensión de 3m, los bloques presentan un largo de entre 0.3m a 0.4 m de largo, presentan dos huellas de poste de 0.11 m de diámetro y una distancia de 2 m entre ellas. En una prolongación de 2.7 m hacia al sur y 1.2 m de este a oeste se liberó otro apisonado de tierra con reminiscencias de estuco sobre el pequeño muro cuyo peralte tiene 0.15 m de alto a este último contexto le fue asignado el número HOL.T.97.13 (Figuras 4.74, 4.75 y 4.76).

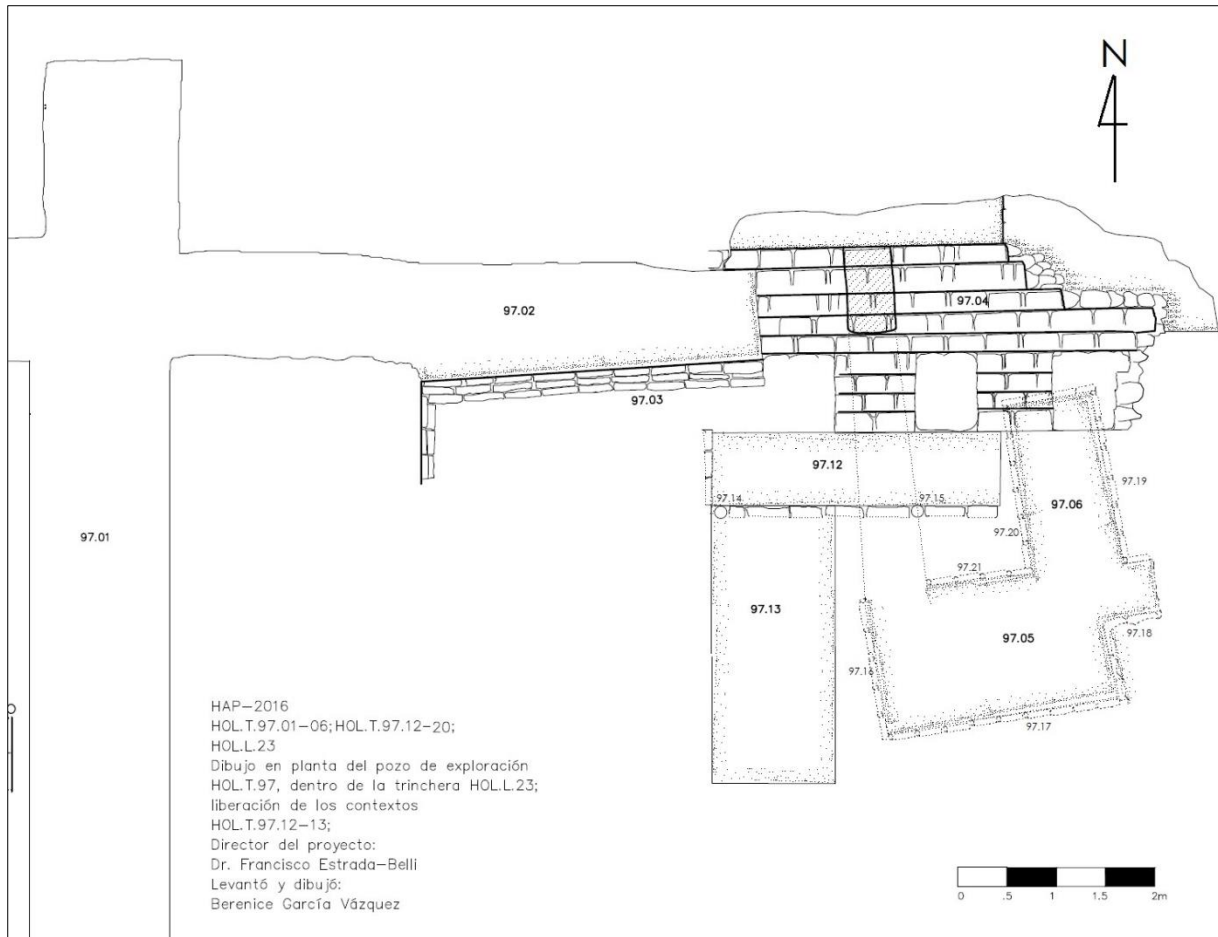


Figura 4.74. Dibujo en planta de los contextos HOL.T.97.01-22 y ubicación de los cuartos 1 y 2 al interior.

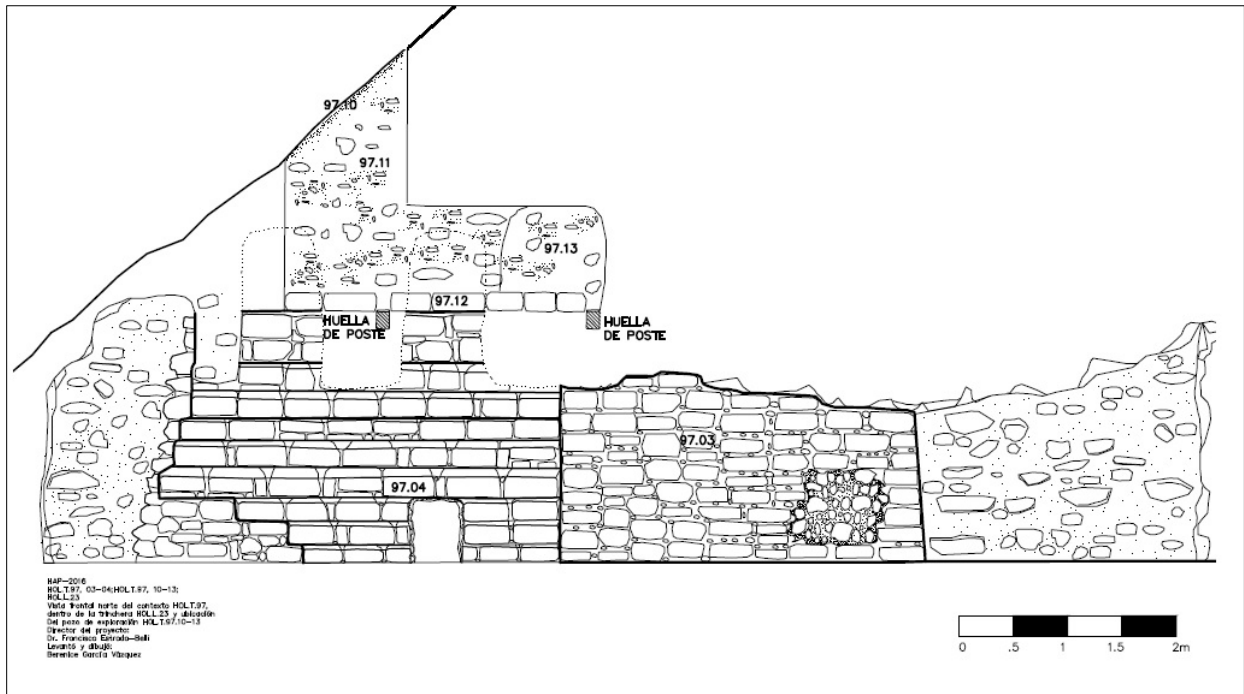


Figura 4.75. Dibujo del perfil norte del pozo HOL.T.97.10-13 y fachada norte de los contextos HOL.T.97.03-04.

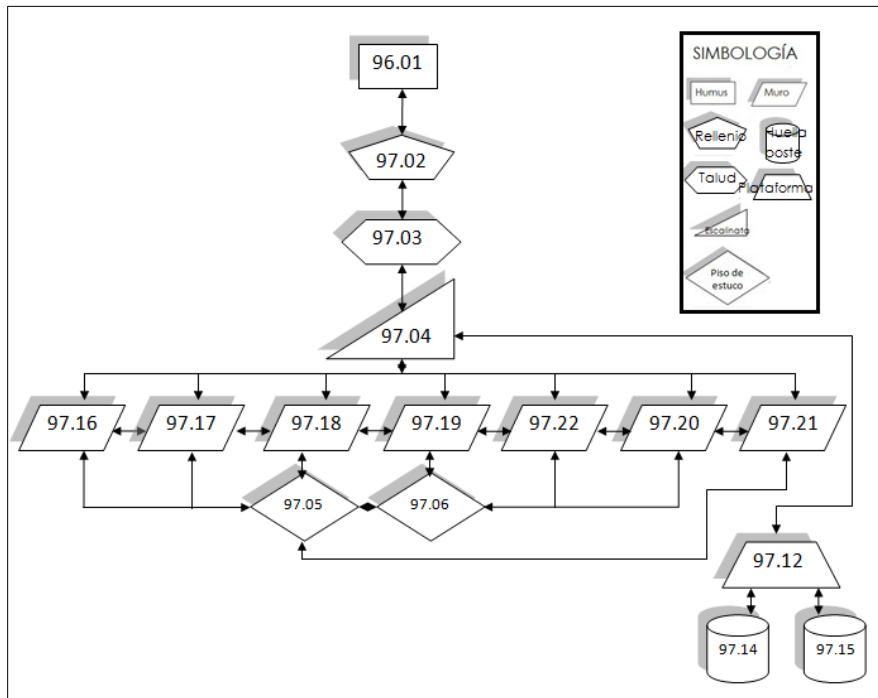


Figura 4.76. Matriz de Harris del contexto HOL.T.97.

## EXCAVACIÓN DEL CONTEXTO HOL.T.97.07

Durante la exploración extensiva, surgieron nuevos cuestionamientos sobre la funcionalidad del conjunto de elementos arquitectónicos que se descubrieron en la sección este de la trinchera de saqueo, debido a esto, se decidió continuar la exploración en el extremo oeste, en donde era evidente que también existía un cuerpo arquitectónico probablemente de las mismas características, pero que todavía se encontraba cubierto por una aglomeración de material constructivo. Ubicado a 1.1 m al oeste de la esquina poniente del acceso al interior de la estructura 2, se encuentra al pozo de exploración HOL.T.97.07, se mostró como una argamasa de piedra irregular de relleno afianzada con una mezcla a base de cal, en su interior se delataban hiladas de piedras ordenadas de este a oeste y escalonadas una hilera sobre otra, que alcanzan un longitud de 2.5 m. Una vez ya liberado se mostró una sección de 5 peldaños de las escalinatas cuyos peraltes tienen un rango de altura de 0.20 a 0.40 m (Figura 4.77).



Figura 4.77. Inicio de la exploración de las escalinatas este, contexto HOL.T.97.07.

## DESCRIPCIÓN DE LA EXCAVACIÓN

Se realizó una cala de exploración al interior de las escalinatas de 6 m de longitud hacia al sur y una anchura de 0.94 m, el contexto es el número HOL.T.97.08, el estrato tiene las mismas características del contexto HOL.T.97.05, el límite de la excavación fue hasta encontrar un muro al extremo sur, cambio de dirección hacia el este alcanzando una longitud de 1.2 m y un ancho de 0.8 m, no cambio el estrato y la exploración terminó al momento de descubrir un muro (Figuras 4.78 y 4.79).



Figura 4.78. Exploración del interior del contexto HOL.T.97.08. Extremo sur.



Figura 4.79. Límites de la exploración del contexto HOL.T.97.08 al extremo este.

El contexto HOL.T.97.08 es un segmento de piedras irregulares unidas por una argamasa de cal y arena que al parecer están tapiando la parte superior de la continuación oeste de las gradas del contexto HOL.T.97.07, este segmento tiene un alto de 1.5 m y un largo de 2.7 m, el acomodamiento de las piedras es diferente a las rocas dispuestas en los paramentos del túnel en general, es notorio que este conglomerado *exprofeso* a cubrir esta sección y no es necesariamente parte del relleno burdo. En la parte inferior están expuestos el primer escalón y parcialmente el segundo (Figuras 4.80, 4.81, 4.82 y 4.83).



Figura 4.80. Aglomeración de material constructivo del contexto HOL.T.97.09 que tapia la continuación del contexto HOL.T.97.07.

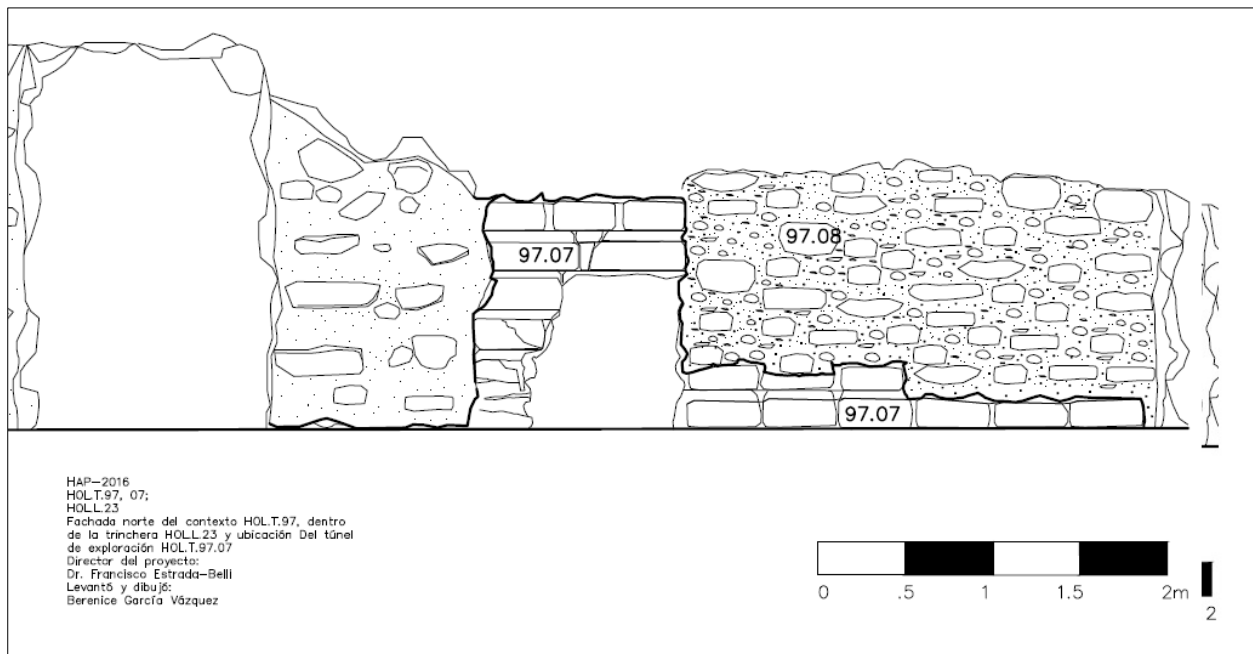


Figura 4.81. Fachada norte las escalinatas oeste HOL.T.97.07 y la sección oeste de este mismo segmento tapiado.

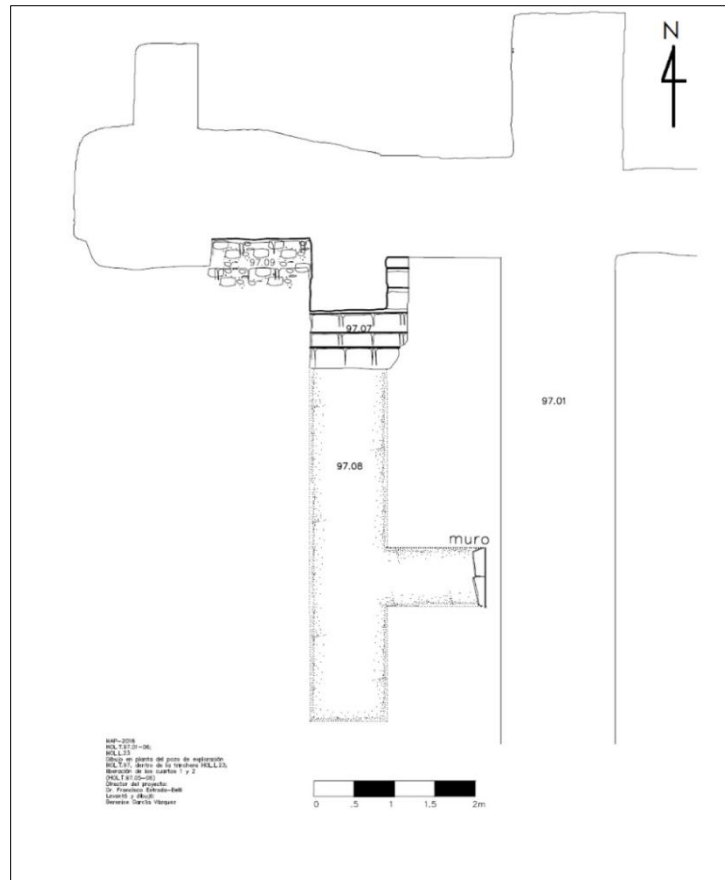


Figura 4.82. Dibujo en planta de las escalinatas oeste HOL.T.97.07; Excavación interior y segmento de los escalones tapiado por un conglomerado.

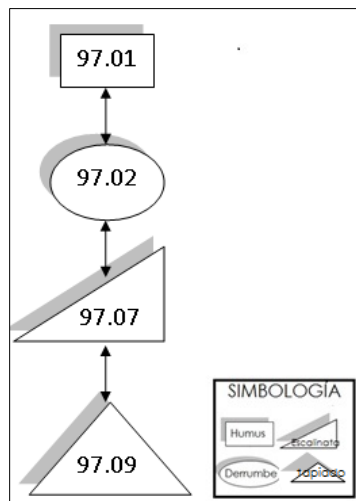


Figura 4.83. Matriz de Harris del contexto HOL.T.97.

## TRINCHERA DE SAQUEO HOL.L.23. ESTRUCTURA 2.

La trinchera de saqueo con nomenclatura HOL.L.23, se limpió para buscar el orden del sistema constructivo, bajo el lineamiento de que la exposición de la arquitectura y la ubicación en la parte superior de la Estructura 2, sugiere que esta área es un lugar estratégico y de suma importancia, razón que también pudo haber promovido su saqueo. En la asignación de la nomenclatura tenemos que el contexto HOL.L.23.01 es la horadación de 1.4 m de diámetro que se efectuó sobre el piso de estuco del cuarto que se ubica en la cresta o área superior de la estructura 2 y muestra dos niveles de mantenimientos y expone el sistema constructivo a base de piedras pequeñas precedidas por material de relleno; se encuentra al norte del vano de acceso conformado por dos jambas, la jamba oeste tiene 1.5 m de ancho y la jamba este tiene 1.1 m de ancho correspondiéndoles los números HOL.L.23.08 y HOL.L.23.09 (Figura 4.84).



Figura 4.84. Ubicación del pozo de saqueo HOL.L.23 limpio.

## DESCRIPCIÓN GENERAL DE CONTEXTO HOL.L.23

El piso HOL.L.23.01 fue irrumpido en el 70%, pero es evidente que el pozo de saqueo fue ejecutado en la parte en donde el piso se encontraba en su completitud, el piso tenía un grosor de 0.10 m desde el nivel superior. El segundo estrato con número HOL.L.23.02 que se encuentra por debajo de 0.07 m de grosor del piso de estuco, principalmente esta, conformado por material de relleno en donde predominan las piedras irregulares de formato pequeño y mediano que oscilan entre los 0.05 m a los 0.20 m de grosor la mayoría se trata de piedras angulares (70 %), sin forma específica alguna, existen raíces delgadas (5%) que solo penetraron el área en donde está totalmente degradado el piso de estuco, el sedimento que contiene el estrato (25%) es areno arcilloso, de color gris blanquecino, de baja cohesión de partículas, la textura es gruesa, el grosor del estrato oscila entre los 0.3 m de profundidad del nivel de piso; el siguiente contexto es el HOL.L.23.03, que se trata de un piso de estuco de las mismas características del primer piso de un grosor de 0.07 m y por debajo de este piso, el contexto HOL.L.23.04, con las mismas características del contexto HOL.L.23.02 con la diferencia de que, este último estrato presenta piedras irregulares de formato grande de un promedio de 0.45 m de ancho, la profundidad desde el nivel de piso superior alcanza un total de 1.6 m.

Dentro del contexto HOL.L.23.04, a los 1.2 m de profundidad desde el nivel de piso superior, se encuentra un alineamiento de piedras careadas con número de contexto HOL.L.23.05, que en conjunto están ordenadas de sur a norte y alcanzan una longitud de 1.4 m. Sin embargo, el alineamiento no presenta las características adecuadas para clasificarse como un muro; al parecer se trata de un acomodamiento de relleno constructivo. Al este, en una proporción del 70% la profundidad del nivel de piso, el pozo alcanza los 1.6 m pero no muestra evidencia de algún elemento arquitectónico, esta área fue asignada con el número HOL.L.23.05 (Figura 4.85).



Figura 4.85. Ubicación del contexto HOL.L.23.07.

El extremo oeste del saqueo corresponde al número interno de control HOL.L.23.06 está dividido del contexto HOL.L.23.01, por los remanentes de un desnivel localizado por encima del nivel de piso de estuco, está cubierto por un enlucido de estuco tanto en la parte superior como en la faceta frontal este, la altura que alcanza este segundo nivel de piso es de 0.44 m. Las piedras que conforman la base del piso son medianas de 0.15 m de grosor en promedio y no presentan facetas, pero sí un acomodamiento intencional entre ellas, de tal manera que forman un cuerpo en forma cuadrangular en el lado este. En el lado oeste presenta un corte que fue originado durante el saqueo, en el cual se aprecia claramente que fue irrumpido y rebajado el volumen del nivel de piso ya descrito. Por debajo de este se encuentra un apisonado número HOL.L.23.07 saqueado en un cuadrante de un metro por lado y profundidad de 0.40 m (Figura 4.86).



Figura 4.86. Ubicación y muro irrumpido del saqueo HOL.L.23.

En el extremo sur del contexto HOL.L.23.06 se encuentra un muro cuyo número de contexto es HOL.L.23.08 de 3 metros de largo que parte desde la jamba oeste de un grosor de 1.5 m, en su fachada norte como prolongación del saqueo tiene una oquedad de 0.4 m de largo hacia el sur, 0.5 m de este a oeste y una altura de 0.4 m. La altura del muro alcanza los 1.7 m de altura y se trata de un muro en buenas condiciones formado por piedras careadas por los 6 lados a manera de bloques cuyas dimensiones oscilan entre los 0.25 m a 0.30 m de largo por 0.15 de alto y están unidas por una mezcla compuesta a base de cal (Figuras 4.87, 4.88, 4.89, 4.90 y 4.91).

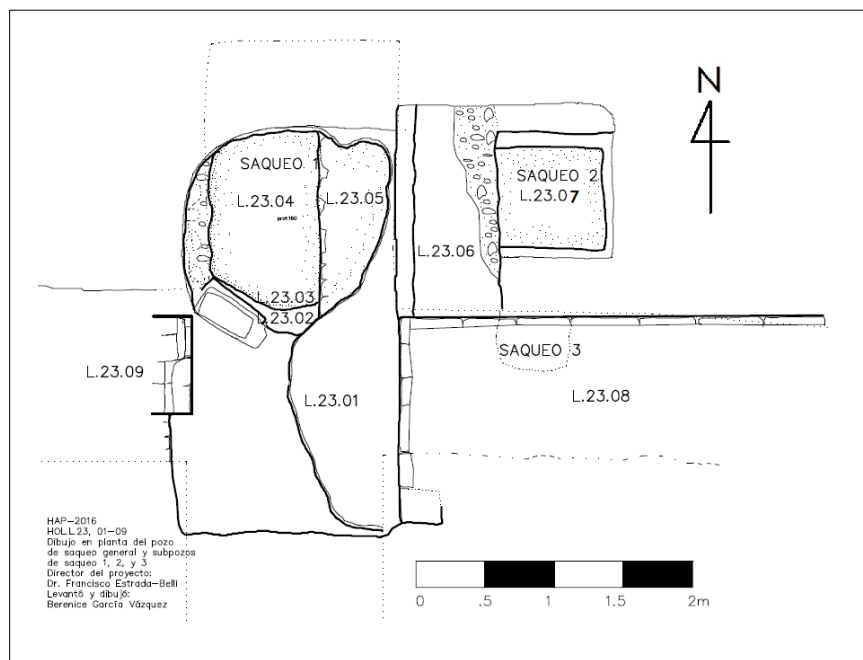


Figura 4.87. Dibujo en planta del pozo de saqueo HOL.L.23.

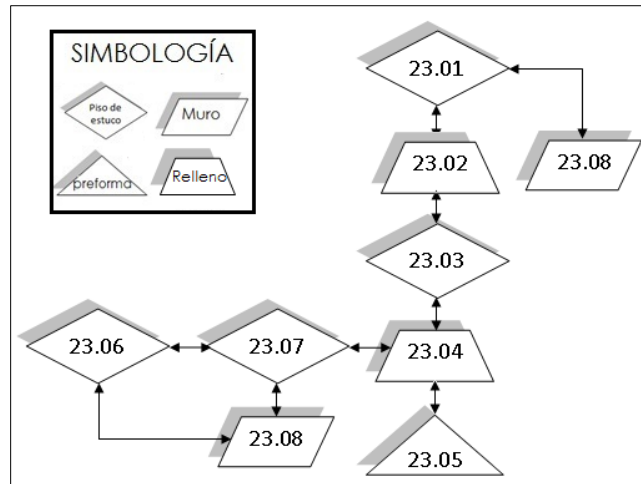


Figura 4.88. Matriz de Harris del pozo de saqueo HOL.L.23.

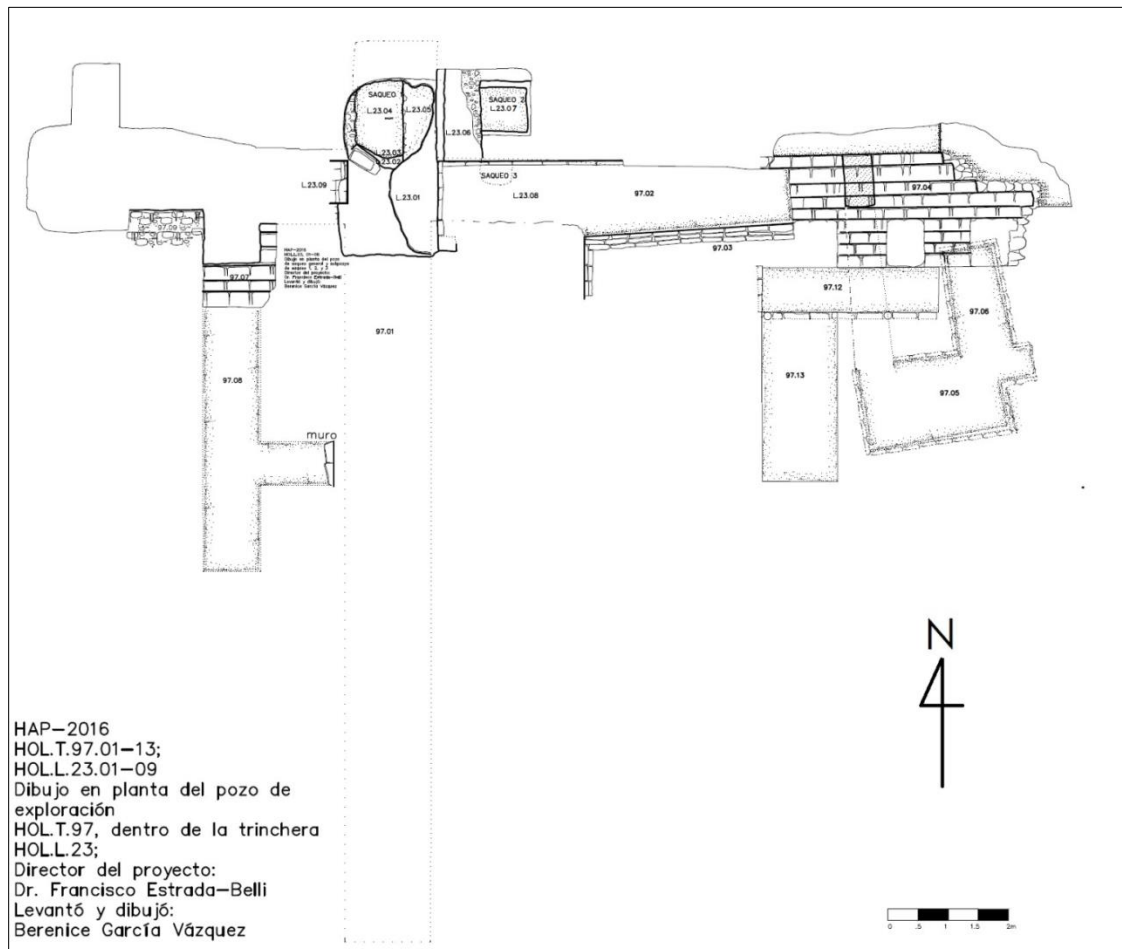


Figura 4.89. Dibujo en planta general de la estructura 2, con pozo de saqueo HOL.L.23 y contexto HOL.T.97.

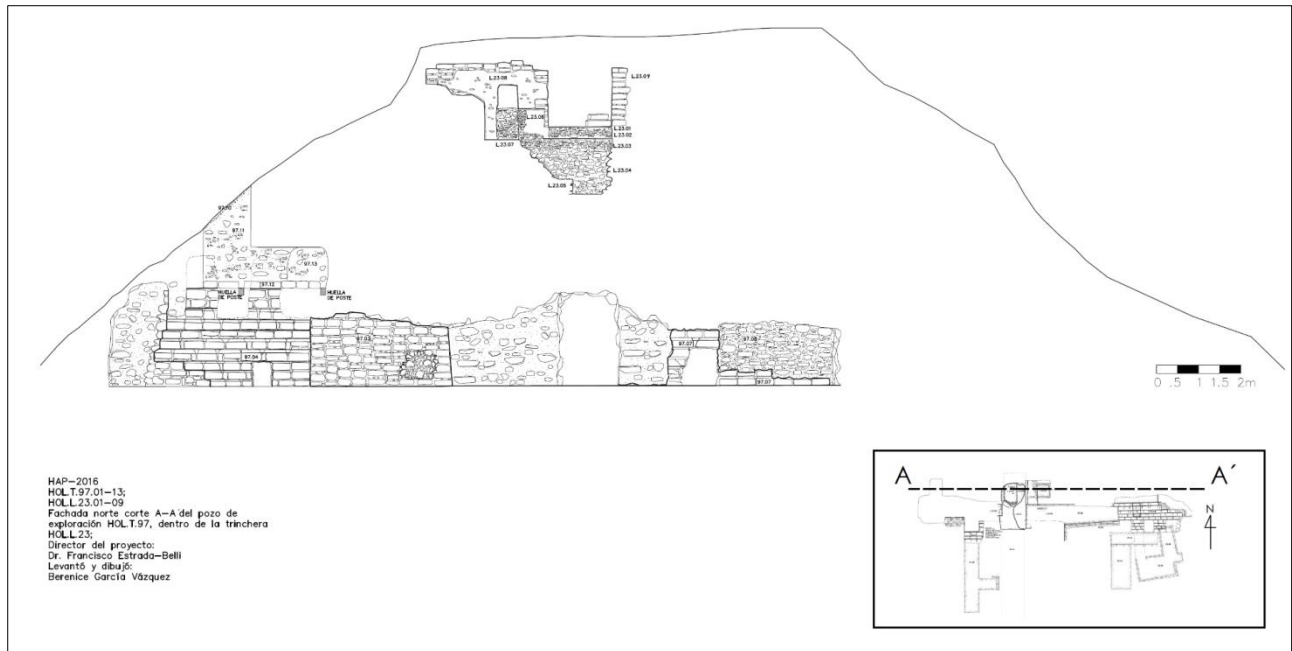


Figura 4.90. Dibujo del perfil sur (corte A-A') de la Estructura 2.

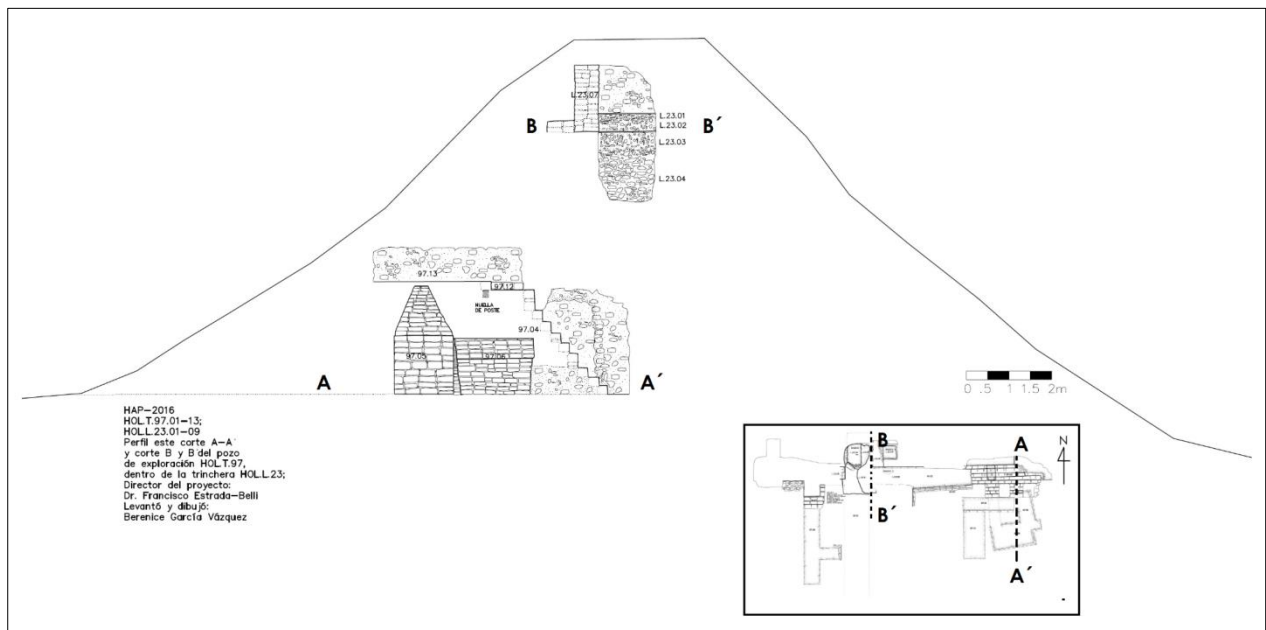


Figura 4.91. Dibujo del perfil oeste (cortes A-A' y B-B') de la estructura 2.

## EXCAVACIÓN HOL.T.100. RUINA X.

En el presente año se comenzó una prospección arqueológica intensiva en el área superior de la Ruina X, con el objetivo de darle seguimiento a las antiguas excavaciones suscitadas en el año 1911 ejecutadas por el Dr. R. E. Merwin, quien en ese momento encontró una serie de entierros con diversos tipos de artefactos asociados; estos depósitos rituales descubiertos en aquella época fueron registrados en el área central del cuarto principal y con el propósito de continuar con la investigación, se trazó la retícula en esta sección, recorriéndola 2 metros hacia el oeste, exactamente entre las jambas del acceso principal, las medidas que abarco el cuadrante fueron de 2.23 m de norte a sur y 1.8 m de este a oeste. El eje longitudinal de los remantes de las dos crujías está orientado de norte a sur y de acuerdo a la posición transversal y central, el acceso principal está orientado de este a oeste.

### DESCRIPCIÓN DE LA EXCAVACIÓN

Durante la excavación intensiva, se identificó al primer contexto con número HOL.T.100.01 que es conformado por la capa de humus que se presenta en un grosor de 6 cm en la parte más angosta y 15 cm en la parte más gruesa, de forma general, está compuesta por sedimento limo arenoso de color café oscuro de baja compactación (50%), piedras pequeñas de un grosor promedio de 0.5 cm y grandes en forma de bloques que formaron parte de los muros de revestimiento de las crujías de un largo aproximado de 0.25 m, 0.15 de ancho y 0.20 de alto en promedio(40%) raíces y material orgánico entre ellos hojarasca y raíces (10%); el nivel de compactación del sedimento es bajo, el tamaño granulometría es grueso, la forma de las piedras son angulosas y la porosidad es alta.

El contexto siguiente, es el identificado con número HOL.T.100.02 es conformado por el relleno que fue depositado durante la excavación del año 1911, presenta un grosor de 0.20 m en promedio, está compuesta de forma general por sedimento limo arenoso de color café oscuro de baja compactación (50%), piedras pequeñas de un grosor promedio de 0.15 m en promedio (15%) raíces y hojarasca (35%); el nivel de la compactación del sedimento es bajo, el tamaño granulometría es grueso, la forma de las piedras son angulosas y la porosidad es alta, tiene un grosor de 0.15 m del extremo norte y 0.05 m del lado sur. El norte del cuadrante se liberó restos de un piso de estuco que no fue alterado durante la excavación de Merwin y expone la forma irregular del corte del pozo de sondeo antiguo mediante una impronta de forma irregular de aproximados 1.5.m de diámetro. El número de contexto que le corresponde el apisonado de estuco es el HOL.T.100.04 (Figura 4.92).



Figura 4.92. Piso de estuco con número de contexto HOL.T.100.04 al norte y relleno contemporáneo proveniente de la primera excavación HOL.T.100.02.

Una vez ya identificada la forma del corte del contexto HOL.T.100.02, se extrajo el material de relleno contemporáneo para liberar el contorno de la intrusión sin alterar el contexto HOL.T.100.03, de esta manera el perfil del corte muestra el siguiente contexto por debajo de los restos de piso de estuco: se trata de relleno constructivo de sedimento gris, compuesto de piedras irregulares angulosas de varios formatos que oscilan entre los 0.10 m de diámetro a los 0.20, algunas presentan algunas facetas (Figura 4.93).



Figura 4.93. Límite superior del contexto HOL.T.100.03 sin alterar durante la primera excavación.

Al extremo oeste del contexto HOL.T.100.03 se halló una cista de forma irregular de un largo de 2.2 m que rebasa el límite del pozo de sondeo, un ancho de 0.75 m, una altura de 0.90 m, cuyo nivel inferior se encuentra a 1.8 m del nivel de piso de estuco y 3.8 m del datum. Las lajas que clausuran la parte superior están colapsadas en un 30 %, no presentan revestimiento alguno de estuco, son de formato grande, tienen 80 cm de largo, un ancho de 0.4 m y un grosor de 0.15 m, las piedras que conforman las paredes de la cista no están dispuestas en algún orden, tampoco tienen un revestimiento de estuco, en general su forma es irregular y de tamaño mediano de un grosor promedio de 0.20 m. De acuerdo a los elementos encontrados al interior del espacio de la cista, se deduce que esta, tiene la función de depositar artefactos de índole ritual, dentro de esta área se encontraron varios elementos ofrendados de diversa composición material y diferentes funciones asociados a un entierro humano.

Los restos del entierro humano (HOL.T.100.03.09.01) están colocados en una longitud de 0.80 m, presentan alteraciones post deposicionales tafonómicas por presión y por el movimiento provocado por la fauna intrusiva que se presentó en este espacio (esta aseveración se infirió de acuerdo a la cantidad de sedimento que cubría al individuo y la presencia de raíces y restos óseos animales encontrados en esta área). La consistencia de los huesos presenta severa degradación, por esta razón la orientación craneo facial no fue posible diagnosticar, sin embargo gracias a la posición y correspondencia anatómica se abre un margen para vislumbrar de manera preliminar que se trata de un entierro primario, cuya deposición con orientación cardinal se extiende con dirección de norte a sur con deposición decúbito (dorsal o ventral extendida); el tipo de entierro se piensa que es directo porque la cista está construida sin acabado de estuco, por lo tanto el sistema constructivo no está obstaculizando el contacto del individuo con la tierra; cabe mencionar que todas las aseveraciones anteriormente expuestas y las siguientes por proponer, sobre el estudio tafonómico del individuo inhumano serán contrastadas mediante el estudio de un

especialista en antropología física, y bajo esta condición tienen el carácter de preliminares y factibles de ser perfectibles (Figuras 4.94, 4.95 y 4.96).

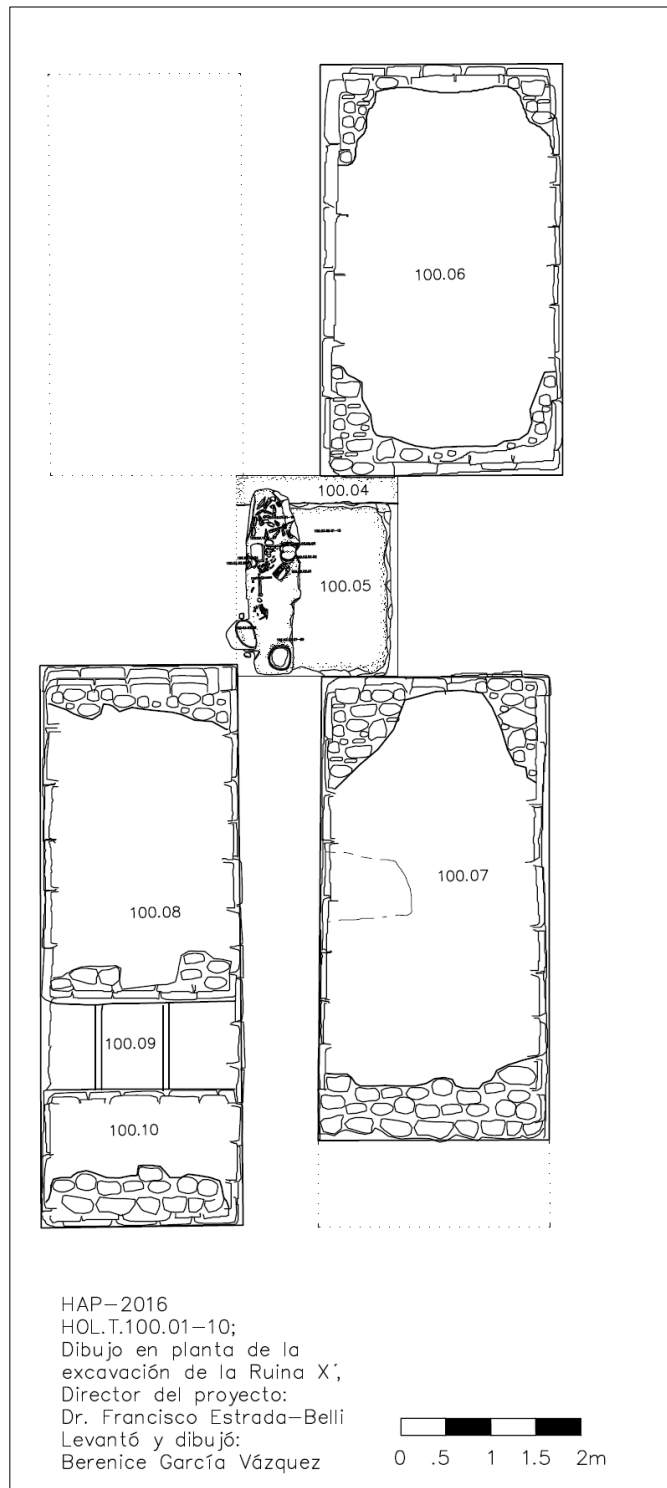


Figura 4.94. Dibujo en planta del contexto HOL.T.100 de la Ruina X.

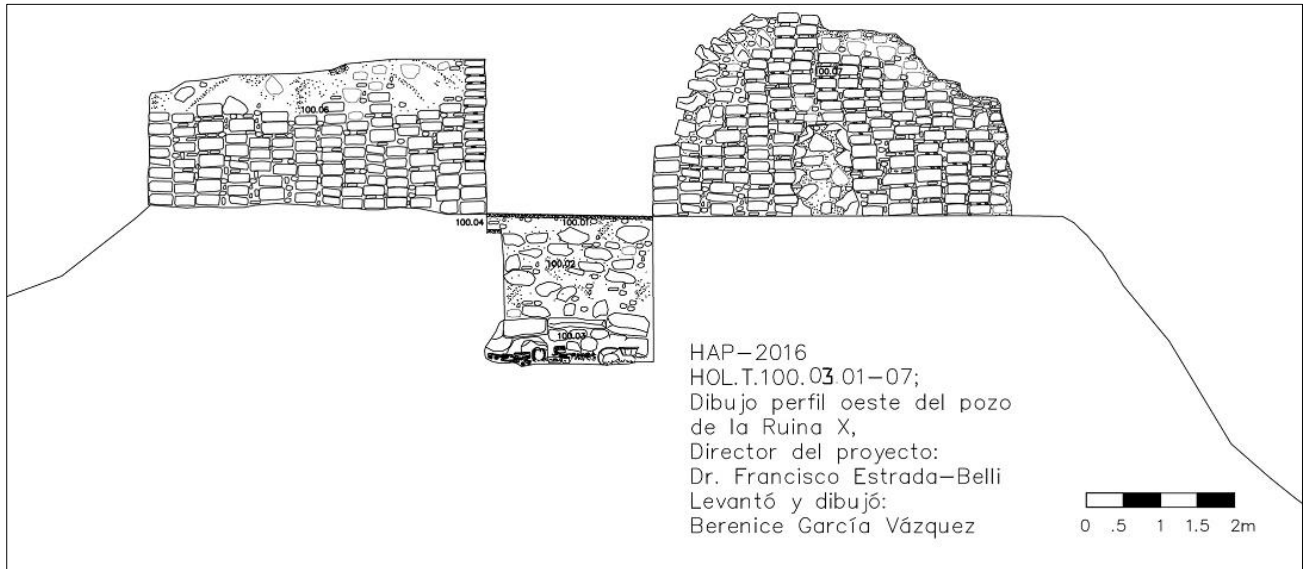
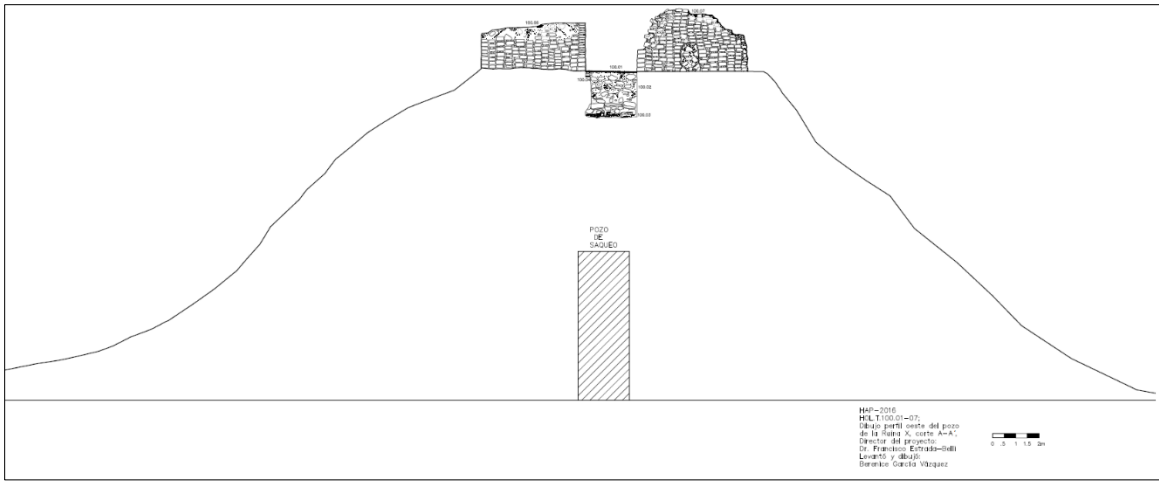


Figura 4.95. Perfil Oeste de la Ruina X.

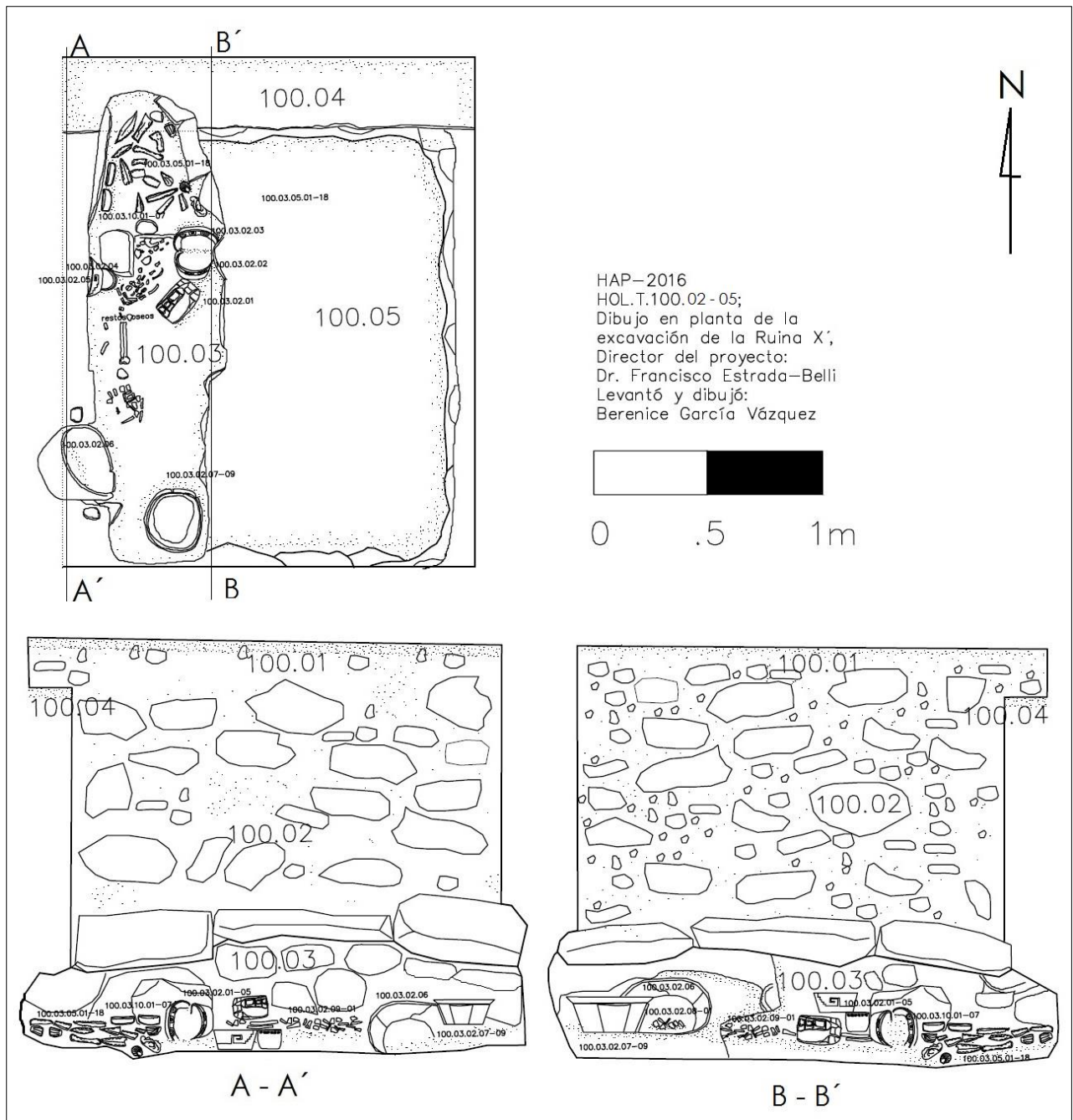


Figura 4.96. Dibujo en planta y cortes A-A' y B - B' de la ofrenda del depósito ritual del contexto HOL.T.100.

La descripción sobre el depósito ritual de tipo funerario que a continuación se expone, fue seccionada en extremos norte, centro y sur. En la sección norte, se descubrió un grupo de 18 excéntricos de obsidiana negra (HOL.T.100.03.05.01-18), un fragmento de coral blanco (*Alcyoniidae Lobophytum*) (HOL.T.100.03.10.02), 2 conchas bivalvas de la familia *Arcidae* del género *Anadara* (HOL.T.100.10.3-4), una concha bivalva compuestas por sus dos valvas de la familia *Arcidae* del género *Arca*, que se encuentra trabajada por abrasión en la parte dorsal con líneas en forma de rombo (HOL.T.100.03.10.07) y un caracol molusco gasterópodo del género *potácea* (HOL.T.100.03.10.06).

Durante el cernido de la tierra se encontraron decenas de fragmentos pequeños de coral rojo (*Corallium rubrum*) (HOL.T.100.03.10.05) y fragmentos de piedra verde (HOL.T.100.03.06.01), todos los fragmentos de piedra verde y los fragmentos de coral rojo tienen forma irregular, no presentan pulimento o trabajo alguno en su exterior, el tamaño no rebasa los 0.005 m de diámetro, la esfericidad de los fragmentos es angulosa de filos redondeados. Esta sección no presenta restos óseos (Figuras 4.97 y 4.98).



Figura 4.97. Límite norte de la ofrenda HOL.T.100.03, con una agrupación de 18 excéntricos y elementos malacológicos.



Figura 4.98. Artefactos ofrendados en la sección norte del depósito ritual HOLT.T.100.03.

En la sección del centro de la cista se hallaron 5 artefactos cerámicos policromos, el primer artefacto es un vaso cilíndrico de pared convergente ligeramente cóncava fragmentado en un 30% de su proporción (HOL.T.100.03.02.01), el segundo artefacto es un plato (HOL.T.100.03.02.02) completo de pared alta convergente ligeramente curva, el tercer plato completo (HOL.T.100.03.02.03) también tiene pared alta divergente ligeramente curva con decoración interior y exterior, el cuarto artefacto (HOL.T.100.03.02.04) es un vaso completo de pared convergente con decoración exterior y el quinto artefacto (HOL.T.100.03.02.05) es un plato completo, tiene pared alta divergente con decoración exterior cuyo elemento decorativo sobresaliente se trata de una greca escalonada, que se infiere de manera preliminar, como un símbolo alusivo al inframundo en un estadio húmedo y por asociación artefactual se deduce que la reticencia, podría referirse a la funcionalidad del depósito ritual destinada a ser una ofrenda mortuoria (Figuras 4.99 y 4.100).



Figura 4.99. Parte central del depósito ritual, en donde se encontraron 5 artefactos cerámicos y restos óseos.



Figura 4.100. Artefactos cerámicos de la sección norte enumerados de izquierda a derecha de arriba hacia abajo (HOL.T.100.03.02.01-05) y la concha del género *Spondylus* asociada a los fragmentos de cráneo de esta misma sección (HOL.T.100.03.10.01).

Los restos óseos encontrados en esta sección central están degradados de forma severa, dentro de estos fragmentos se hallaron piezas dentales, fragmentos de mandíbula, dos huesos largos con las epifisis degradadas, falanges y fragmentos de huesos gruesos y esponjosos, cuyos rasgos delatan que pertenecen a la bóveda craneal. Asociada a los restos óseos en esta sección fue descubierta una concha del género *Spondylus* (HOL.T.100.03.10.01).

Al extremo sur se halló una sexta vasija de formato grande de pared recta y fondo recto (HOL.T.100.03.02.06), sin decoración y con acabado liso que en su interior contenía restos óseos de animal (HOL.T.100.03.08.01), completa y fragmentada en 5 partes; en la parte más cercana al límite sur de la cista se encontraron la séptima, la octava y la novena (HOL.T.100.03.02.07-09), colocadas una sobre la otra en ese orden: la séptima vasija se trata de un plato de pared baja divergente, ligeramente curva con decoración interior y exterior; la octava vasija es un plato de pared alta, recto divergente con decoración interior y exterior; la novena vasija presenta características similares a la anterior, pero con diferentes motivos decorativos. Los restos óseos localizados en este segmento están conformados por falanges y fragmentos no diagnósticos en el primer contacto macroscópico en campo.

Al finalizar la extracción de los elementos de la ofrenda mortuoria del contexto HOL.T.100.03 a 1.8 m de profundidad desde el nivel de piso de estuco y de 3.8 m del nivel del datum arbitrario, se finaliza también de forma general la excavación de la Ruina X, señalando que la sección del estrato sin excavar, localizada al este, con numeración HOL.T.100.05 de 1.5 m de profundidad, medida desde el nivel de piso de estuco, presenta pequeños colapsos al borde del pozo, para ser precisos al límite oriente; las oquedades exponen atributos que podrían ser parte de otros depósitos o simplemente se trata de oquedades del sistema constructivo (Figuras 4.101, 4.102, 4.103 y 4.104).



Figura 4.101. Vasijas de la sección sur de la cista y restos óseos degradados (HOL.T.100.03.02.06-09 y HOL.T.100.03.09.01).



Figura 4.102. De izquierda a derecha de arriba hacia abajo los artefactos cerámicos del extremo sur, del número 6 al 9 en esa correspondencia (HOL.T.100.03.06-09).



Figura 4.103. El pozo de sondeo de la Ruina X (HOL.T.100.) al fin de la excavación.

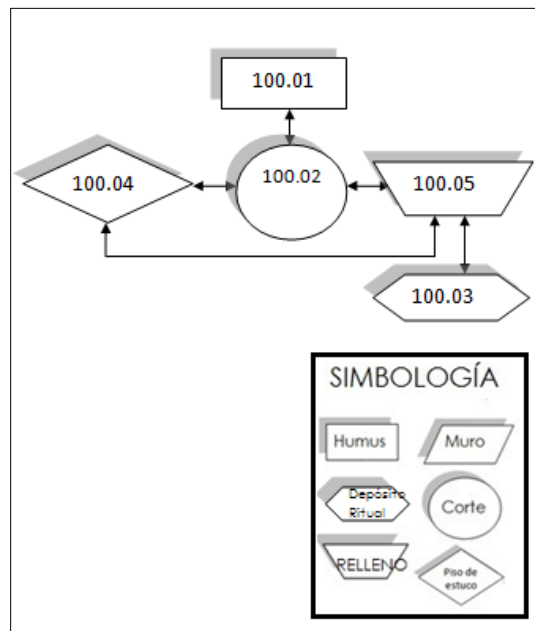


Figura 4.104. Matriz de Harris del contexto HOL.T.100 de la Ruina X.

## EXCAVACIÓN HOL.T.93, ESTRUCTURA D, GRUPO I .

### INTRODUCCIÓN Y DESCRIPCIÓN DE LA EXCAVACIÓN

Con el fin de escudriñar sobre el sistema constructivo de la Estructura D y la relación funcional que guarda en relación en la Estructura I; en la sección central inferior de ladera sur de la estructura D se implementó un pozo de exploración a manera de túnel, de 2.5 m de largo de norte a sur, 1 m de este a oeste, el alto tiene aproximados 1.85 m y el nivel inferior del pozo se encuentra a 0.24 m del nivel del datum topográfico número 85 de esta área, por debajo de la capa de humus HOL.T.93.01 de un grosor promedio de 0.1 m, se encontró un piso de estuco a 1.1 m de altura del nivel del datum topográfico número 85, a este evento se le asignó el número HOL.T.93, por debajo de este piso se localizaron piedras reutilizadas algunas con remanentes de estuco en su cubierta y se encuentran unidas por una argamasa para solidificar un relleno constructivo, la forma de las piedras pueden variar entre sillares de cara plana o sillares de acabado burdo de 0.20 de largo por 0.15 de ancho y 0.10 de grosor en promedio. Por encima del piso de estuco las piedras siguen teniendo la misma forma y también son parte de dos rellenos constructivos que son diferenciados por el patrón de ordenamiento de las piedras, en donde unas están orientadas en forma vertical y otras en forma horizontal (Figura 4.105).



Figura 4.105. Comienzo del pozo de excavación con número de contexto HOL.T.93.

Este mismo contexto se profundizó de manera horizontal siguiendo el relleno, se trazó un tiro de 137 de altura y 166 de profundidad a partir del datum, tiene un largo de 1.16 de este a oeste y 1.3 de norte a sur. El contexto número HOL.T.93.03 se trata de todo relleno constructivo que no presenta algún elemento arquitectónico diferente a este, comienza de sur a norte de 3.5 m de longitud, el túnel cambia de dirección hacia el este con una longitud de 2.6 m, en donde descubre la esquina de forman dos muros de acabado burdo que al aparecer se trata de otra fase del relleno constructivo acomodado, se decidió continuar al norte y el largo que alcanzó este contexto fue de 4.2 m hacia al norte y 0.7 de este a oeste con una profundidad de 0.77 m y un altura de 0.78 del nivel del datum 85, hasta esta sección el contexto mantiene las mismas características de un relleno constructivo, pero en donde predominan las piedras medianas y grandes irregulares de tamaño variante (Figura 4.106).



Figura 4.106. Ubicación del pozo HOL.T.93 en la ladera sur de Edificio D.

El contexto HOL.T.93.04 contiene en su interior una banqueta (HOL.T.93.29) cuyo descanso tiene 0.41 m y 0.22 m de altura sobre este cuerpo se encontró la parte exterior de un cuarto; el extremo de la esquina sureste, el largo de norte a sur del túnel fue de 3.36 m, se encuentra dividido en dos secciones, el muro norte (HOL.T.93.35) está compuesto de bloques de piedra careada de largo de 0.20 m por 0.15 de alto en promedio y piedras irregulares pequeñas dispuestas a manera de cuñas en las juntas entre los sillares, tiene un largo de 1.44 m, también tiene un elemento que sobresale del muro en la sección inferior a 1 m desde el desplante en forma guardapolvos, este se une con la segunda sección del muro vertical mediante un chafflán de 0.10 m de ancho, a 0.6 m de distancia entre la unión del próximo muro de la sección sur, tiene una horadación rectangular (HOL.T.93.36) de 0.17 m de largo por cada lado aproximadamente (Figuras 4.107 y 4.108).



Figura 4.107. Muro (HOL.T.93.35) de la sección norte del contexto HOL.T.93.04, con la horadación (HOL.T.93.36) en la sección intermedia y saliente en forma de guardapolvos.



Figura 4.108. La unión del muro norte (HOL.T.93.32) y del muro sur (HOL.T.93.35) del contexto HOL.T.93.04.

La unión entre los muros norte (HOL.T.93.32) y sur (HOL.T.93.35) que son parte del contexto HOL.T.93.04 tiene 0.15 m de diferencia en donde el muro norte queda remetido, el sistema constructivo del muro sur en sillares no cambia, sin embargo, la forma de este muro tiene el efecto de ser una columna con basa y fuste, en la sección en donde se une la base o basa con el fuste tiene una horadación rectangular (HOL.T.93.34) de unos 0.15 m de por cada lado. El largo de norte a sur tiene 1.5 m, de este a oeste tiene 1.3 m y en la sección intermedia también presenta una horadación con las mismas características que la anterior, tiene 0.20 m de largo por cada lado; la saliente de la base presenta una medida de 0.10 m de ancho, la altura de la base tiene un ancho de 0.5 desde el desplante de este elemento (Figura 4.109).



Figura 4.109. Muro vertical (HOL.T.93.32) sobre una base saliente (HOL.T.93.29) que tiene un efecto de columna con horadación al centro (HOL.T.93.33).

Después de 3 m de longitud hacia el oeste, desde la esquina este, se muestra la continuación de la base, en donde está localizado un vano de acceso clausurado por un conglomerado de piedras irregulares (HOL.T.93.05) angulosas de distintos tamaños afianzados por una mezcla de cal y arena; al extremo se observa un muro sin acabado de estuco u otro enlucido que está tapiando intencionalmente la sección izquierda del cuerpo arquitectónico al que corresponde el vano de acceso, se comienza a remover esta sección para liberar y conocer el la arquitectura restante (Figura 4.110).



Figura 4.110. A la Izquierda se muestra un vano de acceso tapiado por conglomerado de argamasa y piedra burda (HOL.T.93.05)

Se liberó un muro (HOL.T.93.30) que precede al vano de acceso sobre la base, que en esta sección tiene 0.45 m de altura, la longitud de liberación en esta parte alcanzó los 1.5 m con dirección este – oeste, en la parte intermedia entre la base y el muro vertical a 0.68 m de la esquina este, muestra una horadación cuadrangular (HOL.T.93.31) de 0.15 m por cada lado. El sistema constructivo es similar al muro de la sección este y forma parte del mismo elemento arquitectónico, que se trata de un cuarto cuyo vano de acceso está orientado al sur, formado por dos paramentos verticales con horadaciones cuadrangulares intermedias, contruidos sobre una base a manera de moldura inferior, al sur presenta un banqueta rectangular (HOL.T.93.37) cuyo descanso otorga acceso al cuarto tapiado (Figura 4.111).



Figura 4.111. Muro oeste (HOL.T.93.30) y la horadación rectangular en la sección intermedia del paramento (HOL.T.93.31).

El muro que se observa al extremo del túnel no tiene las condiciones para ser un muro de revestimiento, de lo contrario este elemento tiene las características de ser un muro de relleno a manera de cajón constructivo, pues no presenta un rajuelas o cuñas entre las juntas, el acabado es burdo tanto para la unión de los sillares y en la cara externa de los sillares, no parece estar construido para revestir, ni sostener un apilado de sillares, pareciera que la intención es nivelar y junto con el relleno interior es posible que se pretenda sostener peso de las construcciones superiores. Por lo tanto, bajo las observaciones ya descritas se piensa que se trata de nivelación vertical del relleno constructivo exterior (Figura 4.112).



Figura 4.112. Nivelación vertical del relleno del extremo oeste del contexto HOL.T.93.04.

Al relleno que se encuentra clausurando el vano de acceso le fue asignado la nomenclatura HOL.T.93.05, se excavó para liberar parte del acceso y a 0.70 m de distancia que existen entre el filo del acceso HOL.T.93.29 y 0.62 m de distancia de la jamba oeste HOL.T.93.38 se encontró un depósito de fragmentos de restos óseos (HOL.T.93.40), que parecían humanos al primer contacto macroscópico; entre ellos, los restos que más predominaban eran fragmentos huesos largos. Sin embargo, estos quedaron pendientes pues no era posible fotografiarse ni dibujarse, para poder continuar con el registro, se buscó liberar espacio para fotografiar y dibujar en planta los restos óseos, excavando la parte este del relleno.

Durante la excavación para liberar un espacio lateral a los restos óseos, se descubrió el extremo oeste del vano de una anchura de 0.6 m de norte a sur, después al norte se encontró un segmento cubierto de relleno de 0.92 m, a partir de esta medida se halló el fuste de una columna (HOL.T.93.38) de un ancho de 0.44 m de norte a sur al extremo sur se une con un descanso (HOL.T.93.37) de 0.45 m de altura desde el nivel de piso del cuarto. Al tope del extremo norte a una distancia de 2.4 m fue descubierto un muro estucado negro (HOL.T.93.39), hasta aquí llegó el túnel en esta sección cuando en la parte superior del relleno al extremo oeste a 1.2 m de distancia del filo de la base del acceso HOL.T.93.29 y a 1.4m de altura de la huella del desnivel HOL.T.93.37, se halló un cuarto cuyo número de control asignado fue HOL.T.93.06 (Figuras 4.113, 4.114, 4.115 y 4.116).

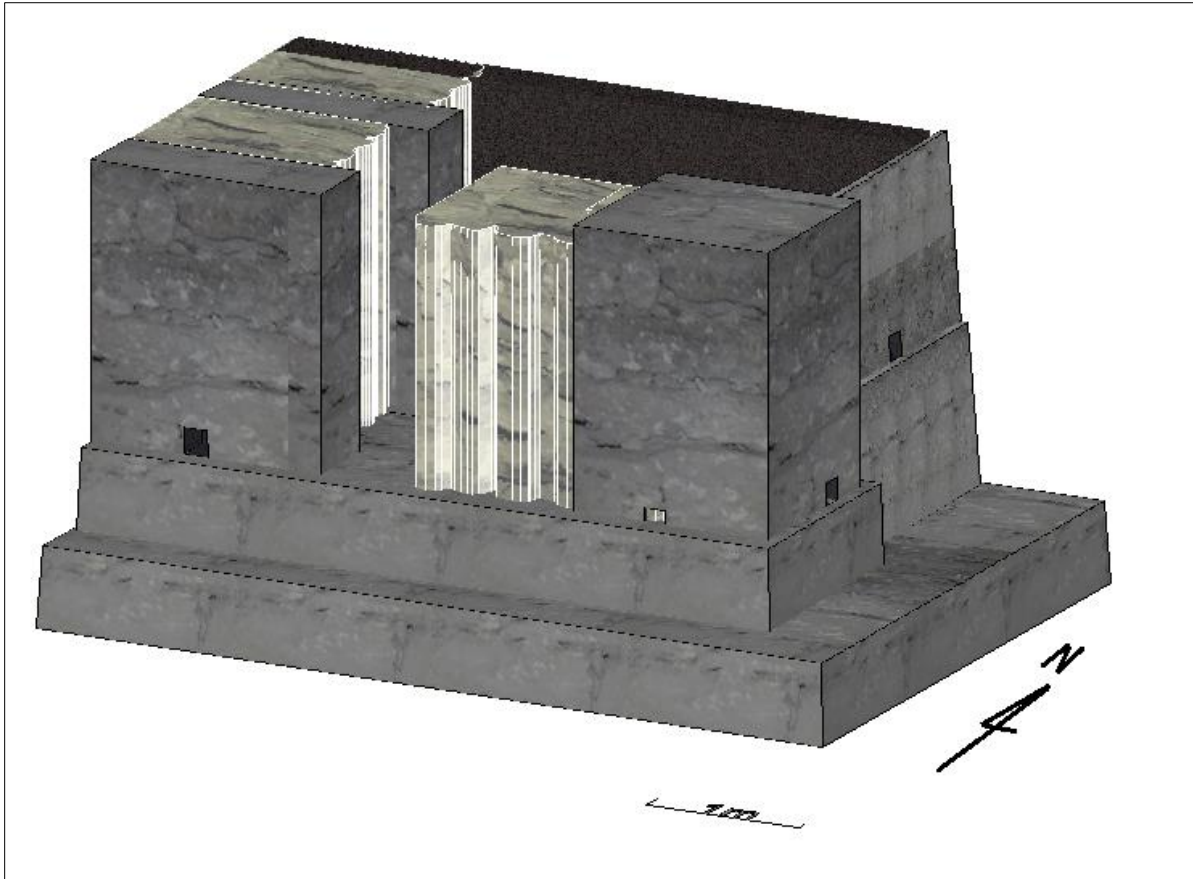


Figura 4.113. Isométrico del elemento arquitectónico dentro del contexto HOL.T.93.04 vista sureste.

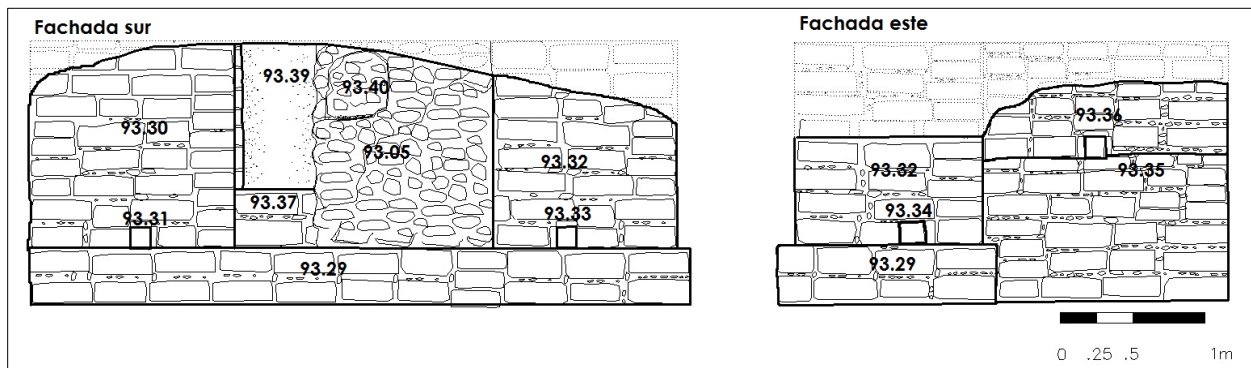


Figura 4.114. Dibujos de las fachadas sur y este del elemento arquitectónico con números de contexto asignados.

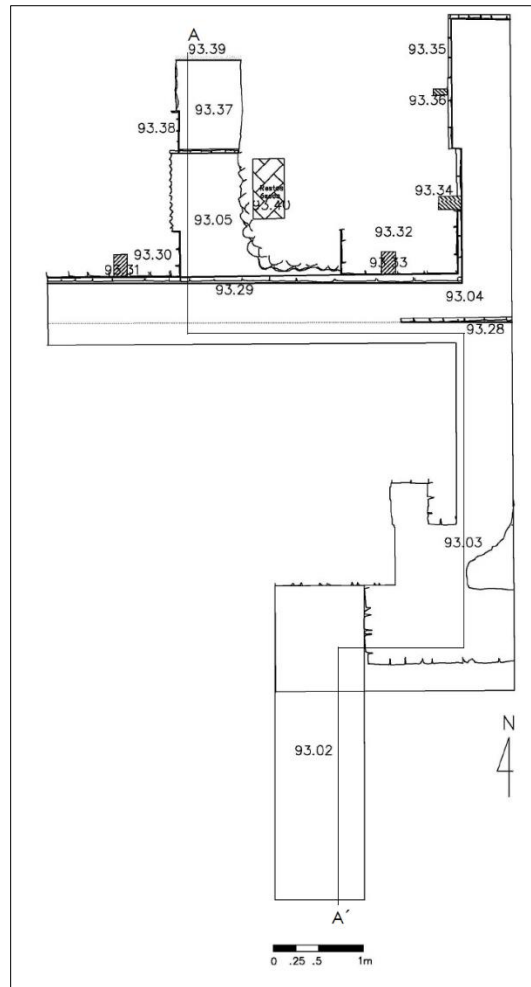


Figura 4.115. Dibujo en planta del túnel HOL.T.93 de la estructura D con la ubicación del corte A – A'.

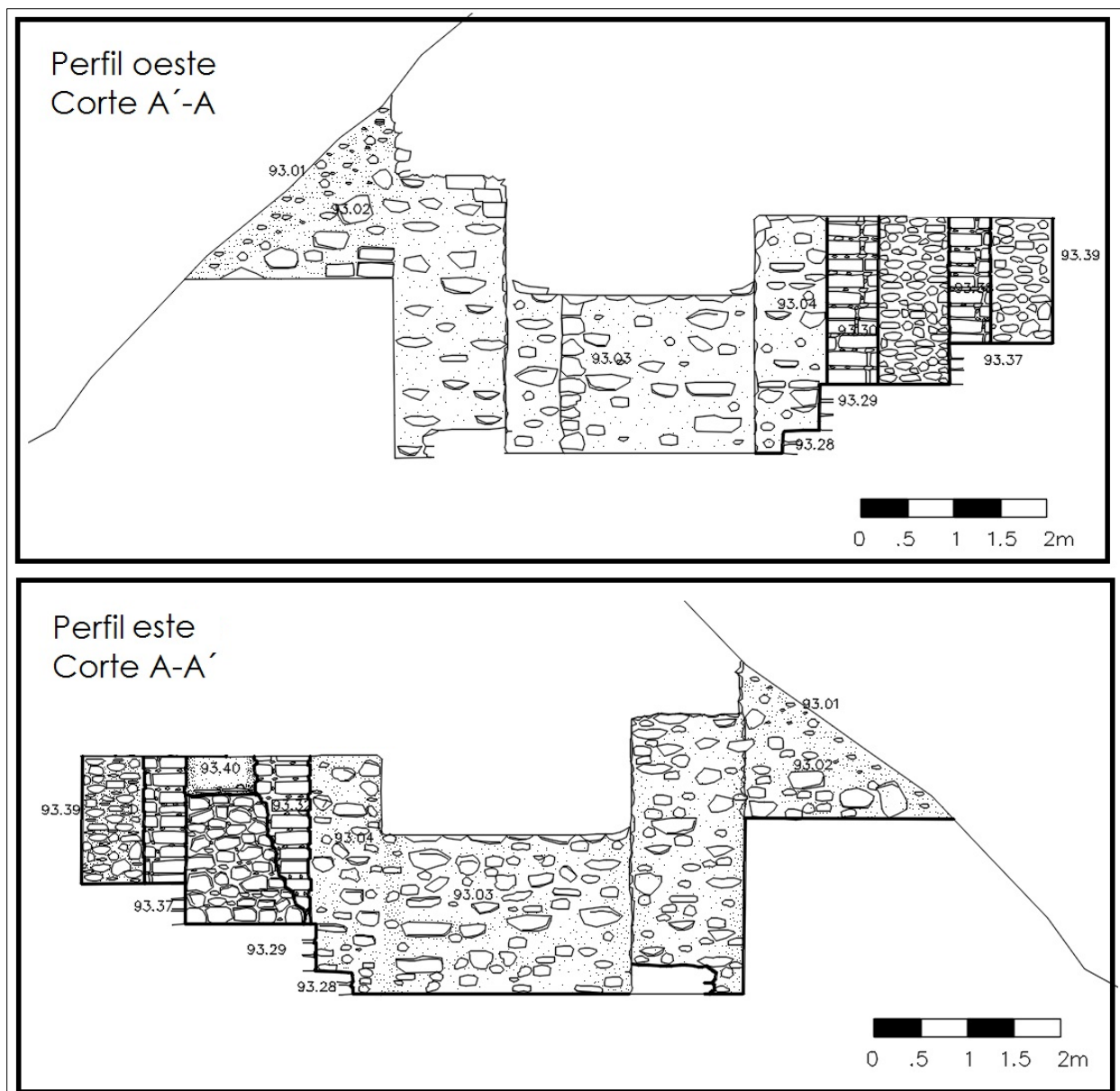


Figura 4.116. Perfiles este y oeste (cortes A-A' y A'-A) de la excavación HOL.T.93 de la estructura D.

El contexto HOL.T.93.06 se trata de un cuarto abovedado que mide 1.25 m de norte a sur y 3.4 m de este a oeste. Presenta una perturbación por flora intrusiva que socavó parte del intradós de norte, cerca de la esquina noroeste y noreste, en estas ubicaciones a nivel de piso es notorio que estas intrusiones trajeron consigo fauna intrusiva compuesta por insectos y posiblemente pequeños mamíferos. El cuarto en la superficie alberga diversos artefactos arqueológicos depositados a manera de ofrenda y para lograr adecuado control durante el registro de estas piezas, se seccionó el piso en cuadrantes de 0.5 m de cada lado en total mide 0.25 m<sup>2</sup>; se trazaron 7 columnas identificadas con letras de la A a la G de oeste a este y 3 filas enumeradas del 1 al 3 de norte a sur.

De esta manera el registro de cada material tiene la nomenclatura agregada de acuerdo al cuadrante en donde fue localizado (A1, A2, A3, B1, B2, B3...G3). Se localizaron y ubicaron las concentraciones de carbón, cenizas además de flora y fauna intrusivas en el esquema reticulado. La concentración de tiestos por cuadrantes tendía a ser severa en el extremo medio a medida que avanzaba al este, llegando a contabilizar alrededor de 50 tiestos en promedio por cuadrante, los cuadrantes que mostraban esta afluencia máxima de tiestos fueron a partir del cuadrante D, hasta llegar al cuadrante G abarcando las respectivas prolongaciones 1, 2 y 3, todos los cuadrantes restantes presentan una disminución en la frecuencia de número de tiestos, se estima que este decrecimiento en la cuantificación es alrededor de un 50 % que reduce el número de tiestos de 25 tiestos por cuadrante (Figuras 4.117 y 4.118).



Figura 4.117. Vista en planta del contexto HOL.T.93.06 desde el extremo oeste, fotografía tomada por el Dr. Francisco Estrada-Belli, editada por Berenice García Vázquez.

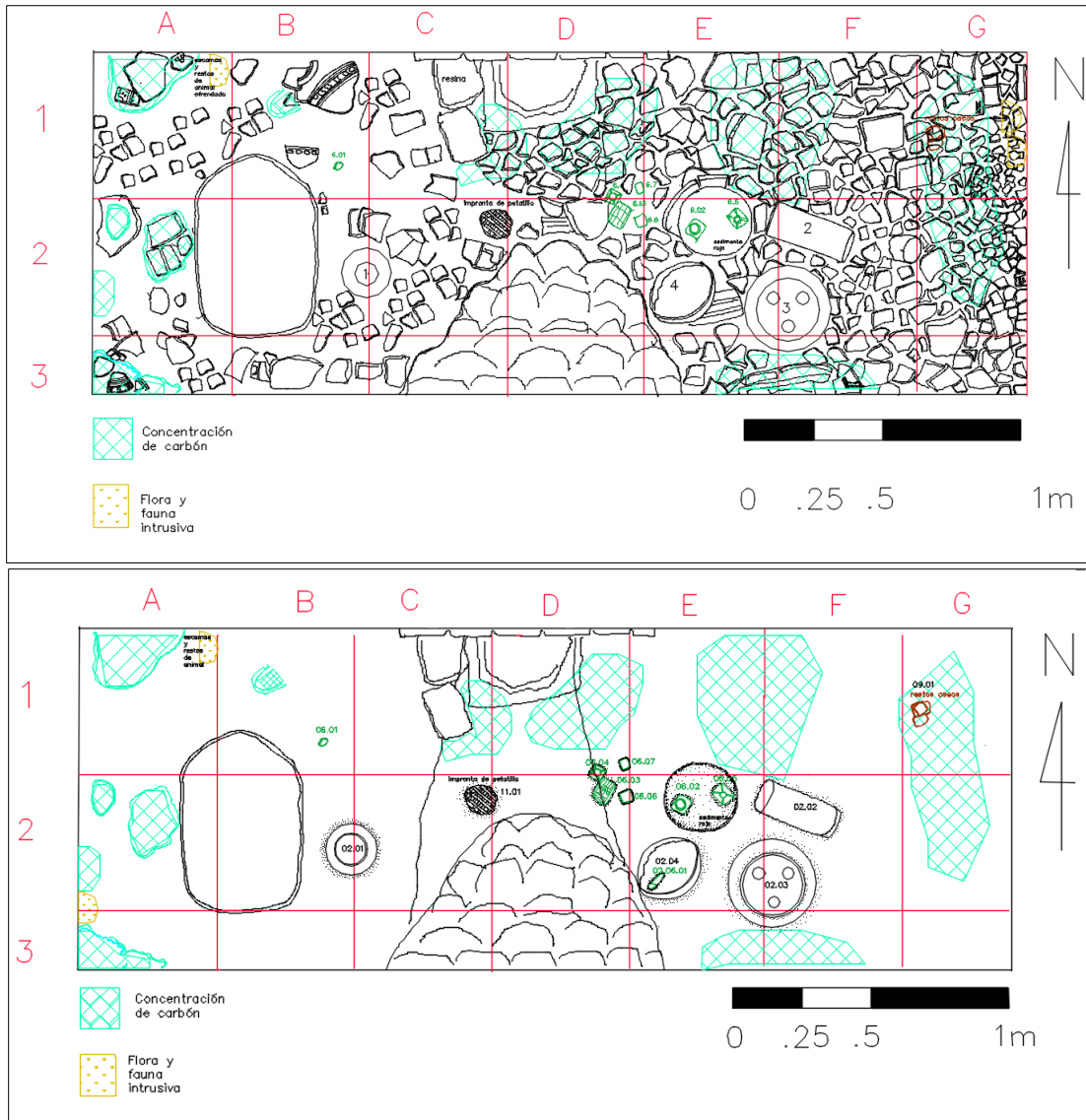


Figura 4.118. Representaciones esquemáticas de los materiales arqueológicos encontrados en el contexto HOLT.93.06, en el nivel superior con tiestos y el nivel inferior sin tiestos, con la ubicación de los artefactos arqueológicos completos, concentraciones de carbón y restos orgánicos.

La deposición artefactual que ocupa el contexto HOL.T.93.06, ubicada en el cuarto 1, se suscitó entre dos contextos momentos, que si bien no se tratan de eventos gestados por actos culturales, si son de origen antrópico y son predominantes en la configuración de la deposición vertical de capas. Estos eventos son dos momentos de colapso del revestimiento de estuco de la bóveda, que encapsulan la posición última de los artefactos ofrendados, para su descripción se detallará del colapso más reciente al más antiguo a continuación (Figura 4.119).



Figura 4.118. Contexto HOL.T.93.06 en los cuadrantes del extremo este después de ser liberado de los fragmentos de estuco provenientes del colapso de la bóveda.

Una vez que se liberó este contexto de los fragmentos blancos de estuco derrumbado, se localizaron cuatro artefactos cerámicos completos (HOL.T.93.06.02.01-04), 6 artefactos de jade (HOL.T.93.06.06.01-06), un fragmento de estuco con impresión de petate (HOL.T.93.06.11.01), fragmentos de restos óseos (HOL.T.93.06.09.01-03), navajillas de obsidiana (HOL.T.93.06.05.01-02), un fragmento de mano de molienda y un fragmento de petate de basalto (HOL.T.93.06.07.01-02) más de 40 muestras de sedimento gris, cenizas, carbón y materia orgánica (HOL.T.93.06.13.01-46) y 19 bolsas de tiestos cerámicos que se decidió enumerar de acuerdo al contexto precedido por el número del cuadrante correspondiente a su ubicación (HOL.T.93.06.A1..G3), (Figura 4.119).



Figura 4.119. En el sentido de las manecillas del reloj: el registro de los artefactos de piedra verde y las vasijas 3 y 4 *in situ*, y el muestreo de carbón y piso por cuadrantes del contexto HOL.T.93.06.

Durante el proceso de extracción de los artefactos completos, fueron registrados y se embalaron para trasladarse y resguardarse en laboratorio del campamento del proyecto, se recogió el derrumbe de estuco proveniente de la crujía superior, era de color blanco y negro en el exterior, mostraba en su consistencia una friabilidad muy severa, el porcentaje de proporción con el resto del material sobre el piso se estima en un 10 % aproximadamente, el estuco derrumbado cubría una aglomeración de tiestos (80 %) con tierra y cenizas (10%), (Figura 4.120).



Figura 4.120. Todos los cuadrantes del contexto HOL.T.93.06 liberados del derrumbe de estuco, en esta fotografía se aprecia aumento de grosor de material aglomerado al extremo este.

Se extrajo en su totalidad todos los componentes del contexto HOL.T.93.06, que incluye unos sillares dispuestos a manera de altar improvisado en los cuadrantes C1 y D1 con restos de una composición que se infiere que es un tipo de resina, cenizas y una cubierta ahumada a manera de patina. Fue posible observar que la dispersión de los tiestos tenían un grosor promedio de 0.05 a 0.10 m de grosor y como ya se había mencionado: en los cuadrantes restantes que preceden al cuadrante D1 hacia el este, presenta un grosor de 0.15 a 0.20 m; la razón de esta elevación se debe a que estaba cubierto otro estrato de aglomerado de material de la misma composición (estuco, tiestas, ceniza y carbón) en donde el derrumbe se encuentra en el nivel superior y por debajo de él los tiestos, entre los restos de ceniza y carbón. A este último acontecimiento estratigráfico se le asignó la nomenclatura HOL.T.93.07 y de acuerdo a la ley de deposición natural de capas, es más antiguo que el contexto HOL.T.96.03, aunque este no significa que la diferencia cronológica es significativa, bien, se pudieron haber presentado en el mismo periodo histórico cultural (Figura 4.121).



Figura 4.121. El siguiente contexto HOL.T.93.07 liberado con incidencia al extremo este del cuarto 1.

El contexto HOL.T.93.07 está compuesto por el derrumbe de estuco de color blanco y negro en el exterior (10%), de una consistencia de friabilidad muy severa, cubría una aglomeración de tiestos (80%) con tierra y cenizas (10%). Se levantó todo el material arqueológico tomando muestras de carbón y de sedimento; enseguida se encontró el piso de estuco blanco, al cual le fue asignado el número HOL.T.93.08, este piso también se extrajo en bolsas para sedimento y se registró con el número de cuadrante correspondiente, se trasladó al laboratorio del campamento para su resguardo (Figuras 4.122 y 4.123).



Figura 4.122. De izquierda a derecha el cuarto I con restos de ceniza y sedimento en la superficie; piso blanco de estuco liberado HOL.T.93.08.



Figura 4.123. Piso de estuco blanco HOL.T.93.08 cerca de la horadación de los cuadrantes A2 y B2.

## CONCLUSIÓN

Los artefactos cerámicos encontrados en el contexto HOL.T.93.06, son vasijas completas aunque una de ellas está fragmentada (HOL.T.93.06.02.01), esta se trata de un plato policromo recto divergente de pared alta, de borde redondeado, con decoración interior con una línea negra en el borde y decoración exterior con secciones cuadrangulares rellenas por líneas paralelas rojas sobre blanco verticales y negras horizontales, dispuestas en secciones de 4 segmentos, lateralizadas por formas elipsoides de color anaranjado; el artefacto HOLT.93.06.02.02 es un vaso policromo de pared alta y recta, con decoración exterior que porta la representación del dios de las artes acompañado por una cenefa de pseudoglifos en la parte superior y líneas horizontales rojas y negras. El artefacto HOL.T.93.06.02.03, es un plato policromo trípode recto divergente de pared baja, con decoración exterior en donde también presenta al dios de las artes y pseudoglifos en la parte superior, los soportes son globulares huecos con una horadación lateral y contiene una esfera cerámica en el interior a manera de precusores.

El último artefacto se trata de un plato policromo de pared alta recto divergente de borde redondeado, de base y fondo plano con decoración exterior en color rojo, anaranjado y negro (HOL.T.93.06.02.04). Este último plato en su interior contenía un estrato de sedimento de estuco proveniente del derrumbe superior, que fue excavado y en su interior se encontró un pendiente de jade (HOL.T.93.06.02.06.01) que representa a un personaje antropomorfo- zoomorfo en donde se conjuga el rostro de un hombre ataviado con tocado que emerge de la espalda de un animal, tal vez de un ave; con un glifo en la parte posterior de la figura, cabe mencionar que tiene reminiscencias de un sedimento rojo que pudiera tratarse de cinabrio o cualquier otro óxido de hierro.



Figura 4.124. Fotografía de los artefactos HOL.T.93.06.02.04, HOL.T.93.06.02.01, HOL.T.93.06.02.02 Y HOL.T.93.06.02.03, de arriba hacia abajo de izquierda a derecha.

El artefacto HOL.T.93.06.06.01, es un fragmento de jade que no presenta trabajo alguno ya sea pulido o talla, este se encontró en un estado “bruto”. El artefacto HOL.T.93.06.06.02, es un pendiente rectangular, que representa por medio de líneas perpendiculares en bajo relieve a un personaje ataviado con tocado con un círculo al centro y orejeras circulares; la orejera HOL.T.93.06.06.03 presenta un formato rectangular con esquinas redondeadas, con líneas horizontales y perpendiculares que se dirigen al centro. Las orejeras HOL.T.93.06.06.04 y HOL.T.93.06.06.05, son rectangulares con una horadación en el centro y unos cortes perpendiculares en dirección a las esquinas; los artefactos HOL.T.93.06.06.06 y HOL.T.93.06.06.07 son complementos de orejeras de forma rectangular de borde redondeado con una pequeña horadación en el centro, cabe señalar que los artefactos de jade en su superficie contiene restos de sedimento rojo posiblemente se trate de cinabrio u algún otro óxido de hierro (Figura 4.125).



Figura 4.125. Artefactos HOL.T.93.06.02.06.01 y HOL.T.93.06.06.01-07 de arriba hacia abajo de izquierda a derecha.

Los tiestos en general se tratan de fragmentos de vasijas policromas con decoraciones que pueden tratarse líneas simples o bien alcanzan la complejidad de representar personajes y pseudoglifos, la cronología relativa que representan proviene del periodo clásico medio al clásico terminal, en donde se considera de suma importancia señalar que este dato, como la identificación del jade y del dios de las artes es acierto del Dr. Francisco Estrada-Belli. Sobre la cerámica de manera muy general se logró observar que predomina la cerámica suntuaria, sobre aquella que podría tener fines utilitarios. Sin embargo, esta es una aseveración preliminar que será contrastada sin lugar a dudas en trabajo de laboratorio (Figura 4.126).



Figura 4.126. Cerámica policroma del muestreo aleatorio del cuadrante E2 (HOL.T.93.06.E2).

El cuarto 1 está conformado por el muro norte (HOL.T.93.43) que se encuentra estucado con grafitis plasmados en su superficie que están pendiente de registrar, al centro tiene un vano de acceso de 0.83 m de largo y 2.3 m de alto (HOL.T.93.09) tapiado por argamasa y piedras en sillar con un acabado burdo, la longitud del muro de este a oeste tiene 3.40 m, la altura hasta el desplante del intradós tiene 2.30 m y del desplante del intradós hasta el remate de la crujía o tapa tiene 1.10 m. Cabe mencionar que aunque el acabado del tapiado es burdo tiene remantes de actividades ejecutadas con fuego, además de que existe una nivelación con el nivel del muro (HOL.T.93.43), acto que indica que el vano fue tapiado de norte a sur y posteriormente tuvieron lugar las actividades (probablemente rituales) que implican la combustión y que involucran el carbón, la posible resina y las cenizas que fueron muestreadas (Figura 4.127).



Figura 4.127. Muro norte (HOL.T.93.43) con el vano de acceso tapiado por un conglomerado de argamasa y piedras de relleno (HOL.T.93.09).

El muro sur (HOL.T.93.44) está estucado y presenta remanentes ahumados en su exterior, detalles de grafitis, en la parte intermedia presenta un vano de acceso de 1.1 de largo por 2.4 de alto, el vano se encuentra tapiado (HOL.T.93.41). El largo del muro presenta 3.4 m de este a oeste, y el alto del nivel de piso hasta el desplante del intradós tiene 2.4 y la altura desde este punto hasta la tapa de la bóveda tiene 0.96 m. La observación relevante sobre este espacio, está relacionada con la forma de clausura de acceso en donde se percibe irregular con respecto al nivel del muro, además de que no muestra remanentes de actividad utilizando el fuego, indicadores que otorgan parámetros para inferir que la última combustión (posiblemente derivada de una actividad ritual) se suscitó antes de clausurar el acceso, y que la clausura tuvo un orden de norte a sur, en el momento de abandonar el cuarto por el vano de acceso sur (Figura 4.128).



Figura 4.128. Muro norte (HOL.T.93.44) con el vano de acceso tapiado por un conglomerado de argamasa y piedras de relleno (HOL.T.93.41).

El muro oeste (HOL.T.93.45) es un muro estucado que contiene remanentes de color negro en su superficie, tiene un largo de 1.25 m de norte a sur, presenta un alto de 2.4 m desde el nivel de piso hasta la saliente del intradós; y desde este punto hasta la tapa de la bóveda tiene 0.94 m, en este muro es visible la unión de los intradós que forman el tipo de bóveda que en términos coloquiales se le conoce en forma de “botella”, en donde los intradós presentan una sutil curva con prominencia en la parte superior. La particularidad a destacar del muro oeste es que presenta una oquedad en la esquina superior norte, quebrantada por raíces de flora intrusiva y que permitió la intrusión de micro fauna (Figura 4.129).



Figura 4.129. Muro oeste (HOL.T.93.45) estucado con bóveda en forma de “botella” y la intrusión de flora y fauna al extremo norte del intradós.

El muro este (HOL.T.93.42) se encuentra estucado y contiene remanentes de color negro en el enlucido de estuco, tiene un largo de 1.25 m de norte a sur, un alto de 2.5 m desde el nivel de piso hasta la saliente del intradós; y desde este punto hasta la tapa de la bóveda tiene 0.92 m, la silueta de los intradós también forman el tipo conocido en forma de “botella. Los extremos norte y sur contienen pequeñas horadaciones provocadas por raíces que han permitido la incursión de fauna y a juzgar por la presencia de minerales lixiviados en la sección baja, se infiere que también se ha filtrado humedad en pequeñas escorrentías (Figuras 4.130, 4.131, 4.132, 4.133 y 4.134).



Figura 4.130. Muro este (HOL.T.93.42) estucado con bóveda en forma de “botella”.

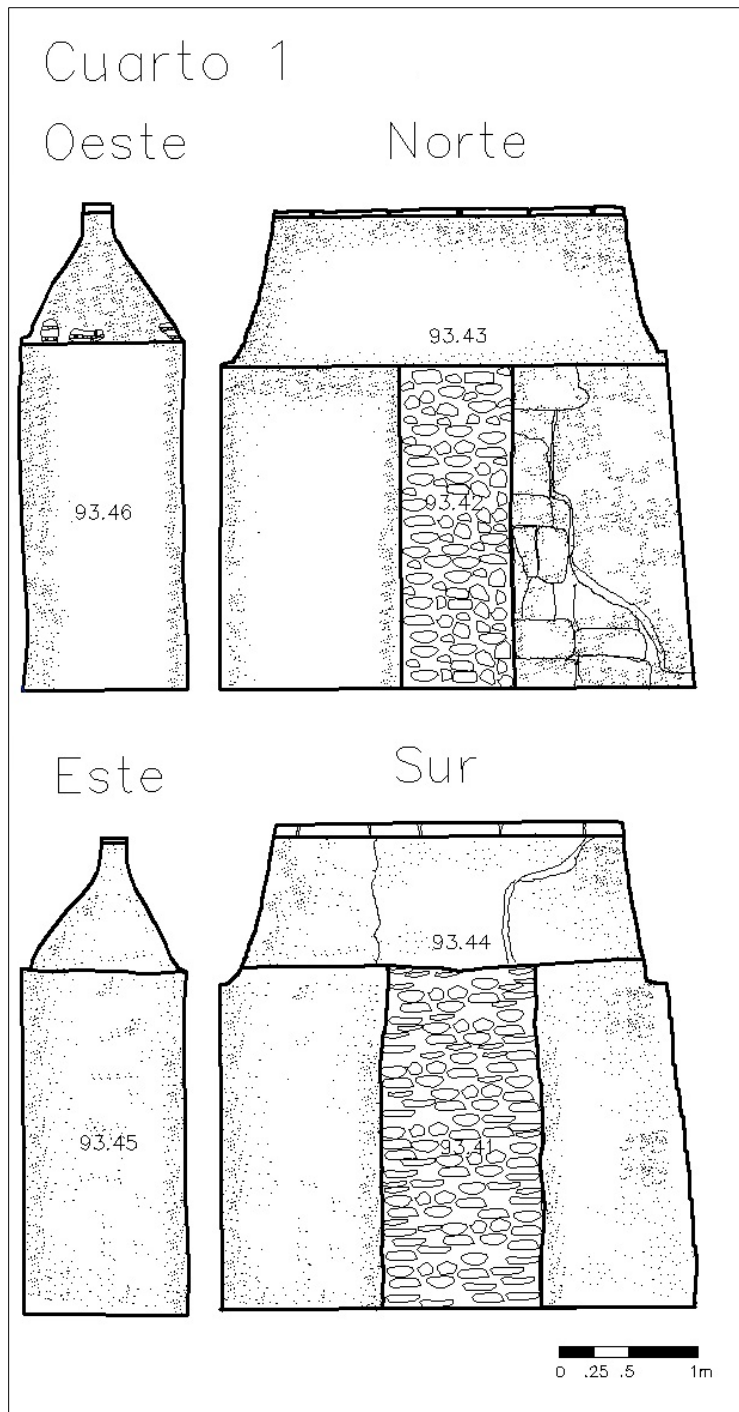


Figura 4.131. Representación esquemática de los muros, vanos de accesos y clausuras del cuarto 1 (HOL.T.93.06).

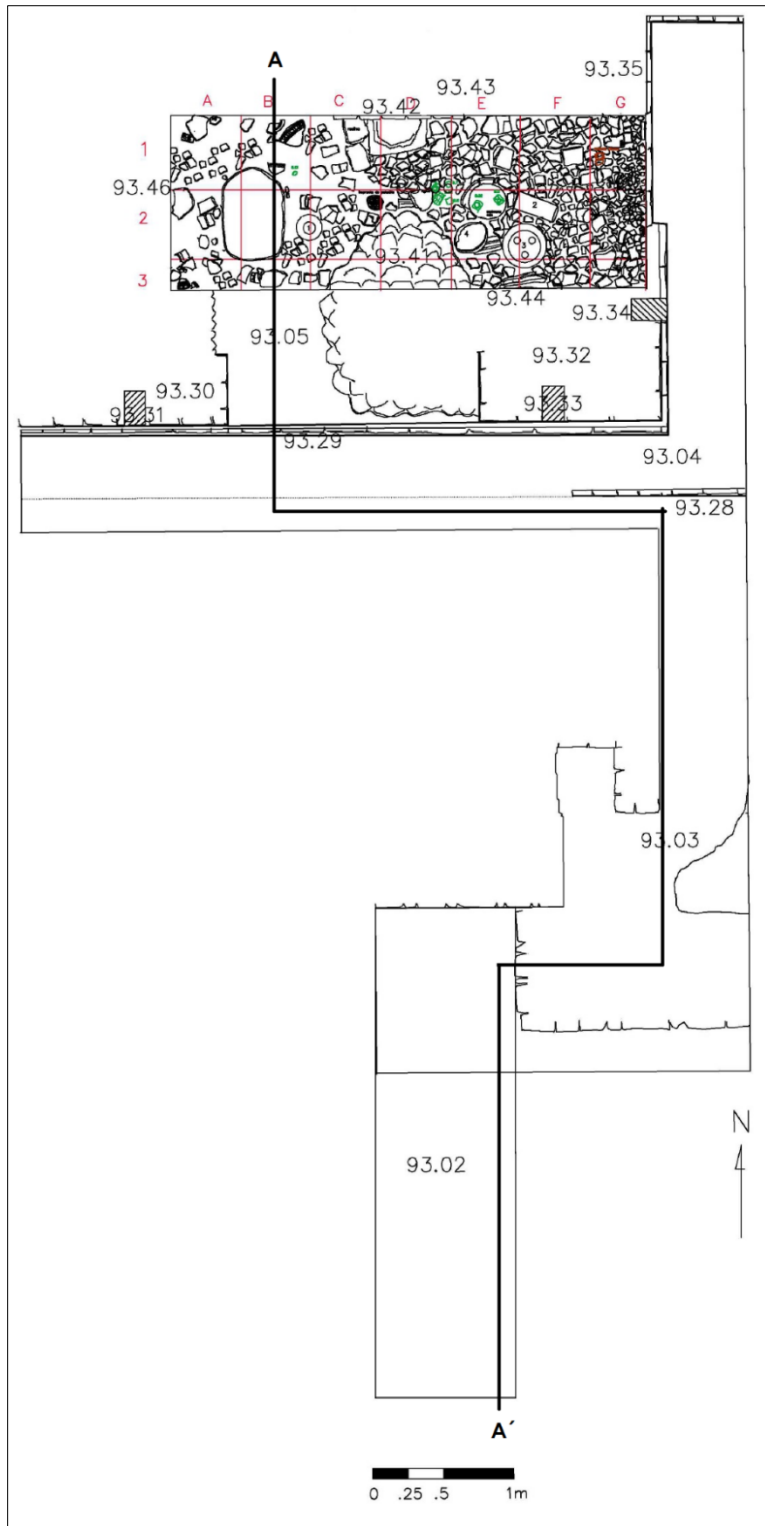


Figura 4.132. Dibujo en planta del túnel de la estructura D incluyendo el contexto HOL.T.93.06 y el corte A-A'.

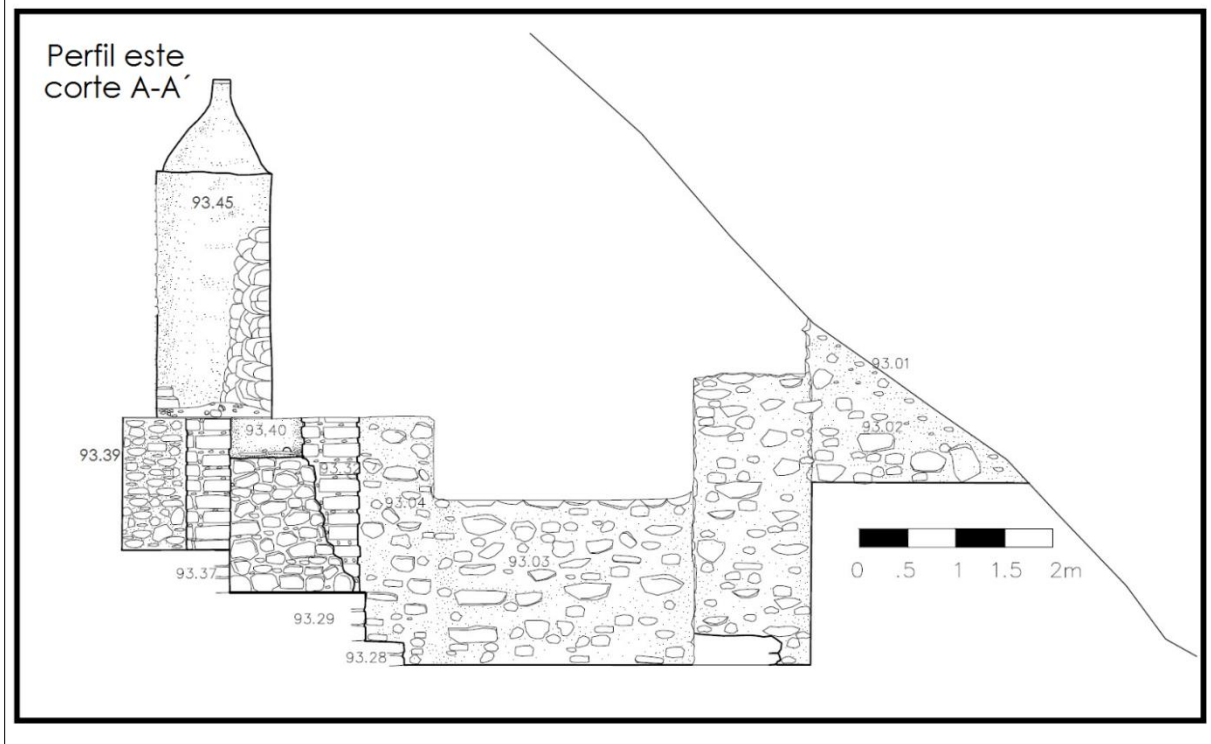
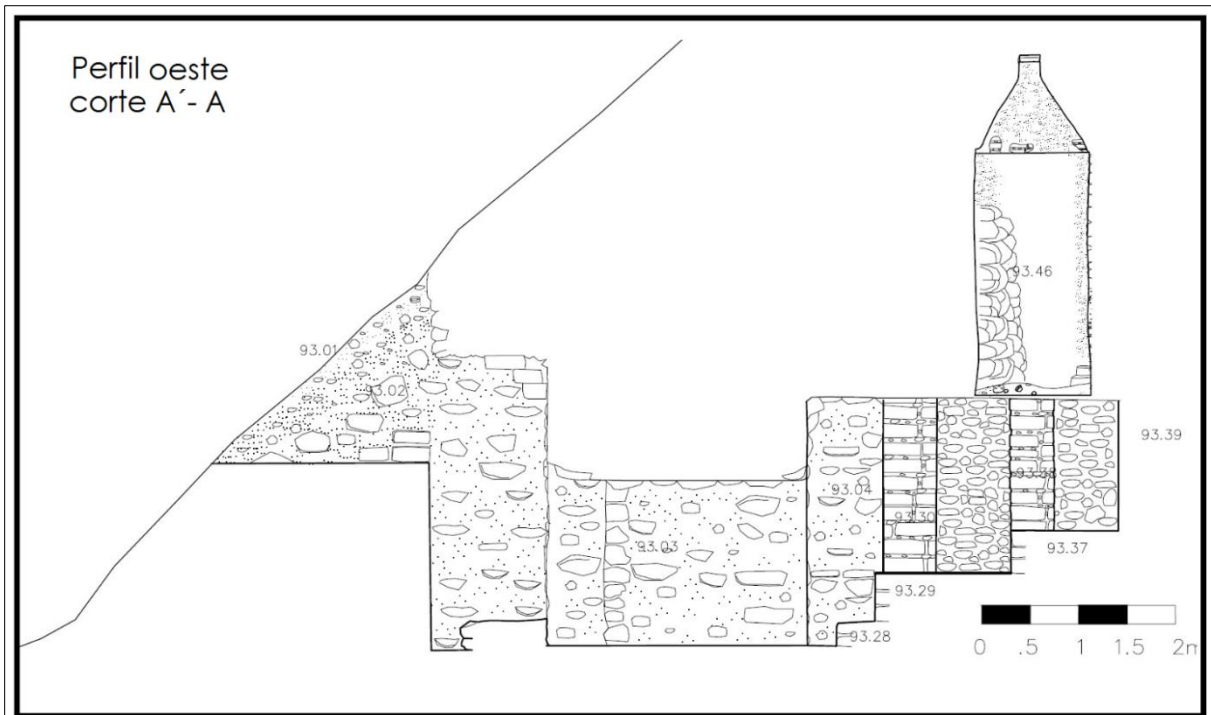


Figura 4.133. Perfiles este y oeste (cortes A-A' y A'-A) de la excavación HOL.T.93 de la estructura D, incluyendo el cuarto I.

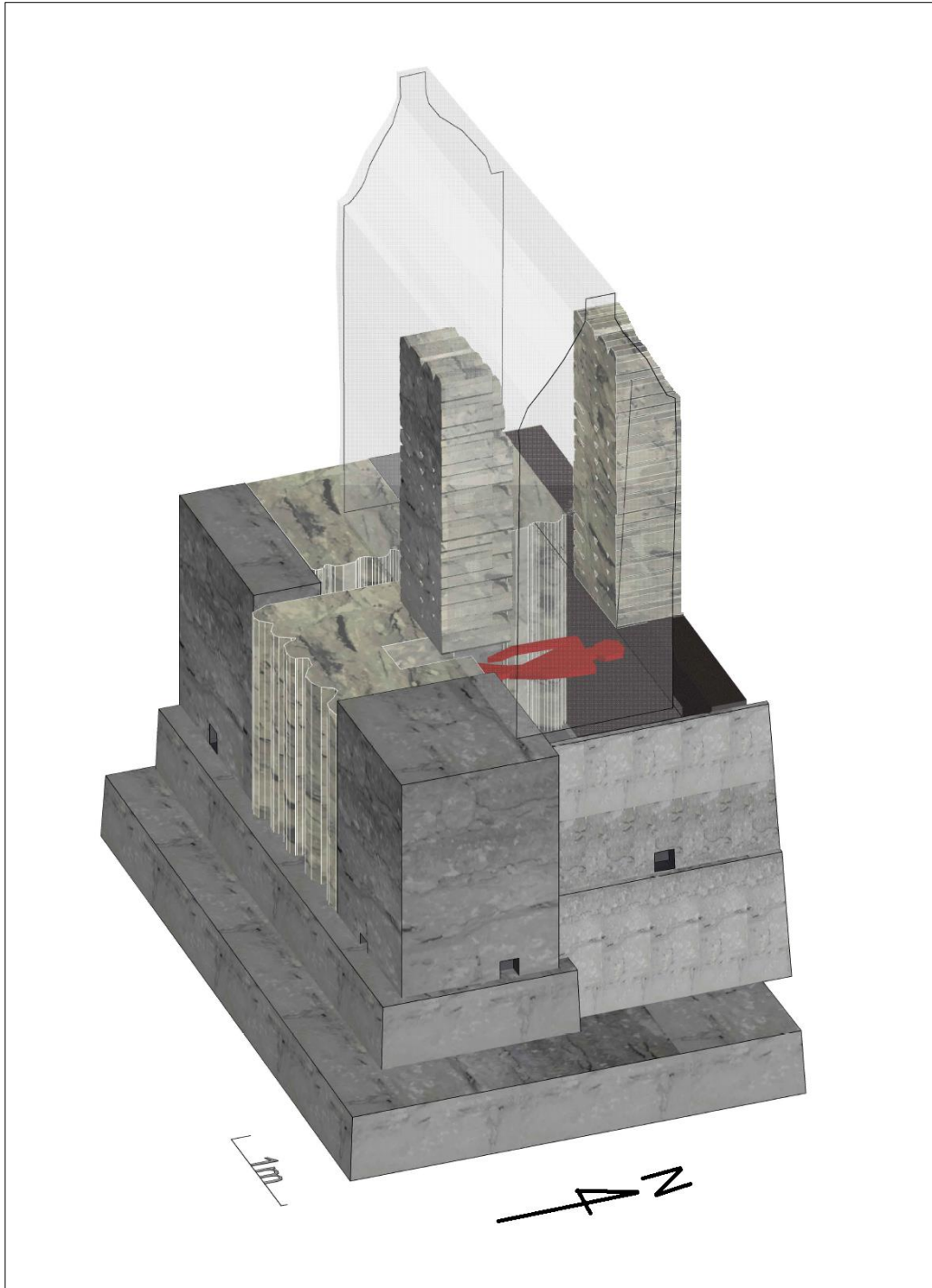


Figura 4.134. Isométrico representativo de los elementos arqueológicos dentro del túnel HOL.T.93 con muros y pisos transparentes. En apreciación los componentes arquitectónicos del interior del cuarto 1 y representación del entierro inferior.

Después del registro y embalaje de los artefactos arqueológicos del cuarto 1, se decidió abrir el contexto HOL.T.93.09, mediante un túnel de 1 m de alto por 1 m de ancho, el largo que se excavó para encontrar otro elemento arqueológico fue de 1.45 m, durante la excavación se logró que se mantuviera intacto el vano de acceso cuyo muro oeste fue descubierto parcialmente, el grosor del extremo tenía 1 m de ancho, estaba cubierto de estuco blanco con remanentes de color negro (Figura 4.135).



Figura 4.135. Túnel de exploración del contexto HOL.T.93.09, al extremo inferior oeste del vano de acceso.

Se encontró un elemento arquitectónico (HOL.T.93.10) de 0.45 de alto que estaba cubierto en su totalidad por rocas grandes de relleno de formato mediano y grande de un ancho aproximado de 0.30 m a 0.45 m. que estaban afianzadas entre sí por una argamasa hecha a base de cal y arena (HOL.T.93.11). Se continuó excavando la parte superior de este elemento otro túnel con un metro de altura (Figura 4.136), después de excavar 1.4 m de longitud hacia el norte se llegó a otro muro revestido de estuco blanco y negro (HOL.T.93.46).



Figura 4.136. Excavación sobre el elemento arquitectónico HOL.T.93.10, removiendo el relleno burdo (HOL.T.93.11) se halló otro muro (HOL.T.93.46) estucado negro a 1.4 m al norte.

El túnel superó el 1 m y se definió la agrupación de piedras medianas y grandes unidas por una argamasa (HOL.T.93.11) que cubría en su totalidad el nivel inferior de un cuarto abovedado de 1.7 m de norte a sur y 3.5 m de este a oeste, se mostraba revestido de estuco en los 4 muros, aunque este estaba deteriorándose dejando al descubierto algunas secciones de sillares. En algunas oquedades se mostraban raíces de flora intrusiva que provenía de la parte superior de la bóveda. El aglomerado de piedra estaba unido por argamasa elaborada a base de cal solo en la sección intermedia, la parte superior no mostraba argamasa, las piedras solo estaban colocadas unas sobre otras. Sin embargo, las piedras eran de formato grande y a medida de que fueron colocadas hacia las esquinas la altura del conglomerado disminuyó hasta 0.30 m (Figura 4.137).



Figura 4.138. De izquierda a derecha se muestra la esquina sureste y la esquina noroeste del cuarto 2 cubierto por una aglomeración de piedra en la parte inferior (HOL.T.93.11).

Una vez ya liberado el elemento se denotó la forma de una banqueta que tiene un remetimiento de lado sur, de manera que la forma general es similar a una “C”, de inmediato se retículo en cuadrantes de 0.5 m de cada lado sobre la banqueta (HOL.T.93.10) que se encuentra a 0.6 m de altura del nivel de piso del cuarto HOL.T.93.09 y a 1.55 m de altura del datum topográfico de la estructura D. Sobre la banqueta se encontraban concentraciones cerámicas que se registraron y levantaron, encontrándose por debajo un estrato delgado de piso de color gris oscuro, de granulometría fina y sin compactación entre las partículas que se registró con el número HOL.T.93.15; a un nivel inferior a tan solo unos escasos 0.03 m de profundidad se localizó un piso de estuco blanco que se levantó y registró con el número HOL.T.93.16 (Figura 4.139).



Figura 4.139. Fotografía de la banqueta HOL.T.93.10, vista desde el oeste del cuarto 2.

Una vez que la banqueta fue liberada de los sedimentos de piso y del enlucido blanco de estuco, se logró percibir la impronta de un corte dentro de la banqueta de forma rectangular con algunas irregularidades en su configuración que tiene de largo 1 m de norte a sur y 2.3 m de este a oeste. Este corte recibió la nomenclatura HOL.T.93.20, se registró en fotografía y se dibujó y se comenzó a excavar de manera intensiva (Figuras 4.140, 4.141 y 4.142).



Figura 4.140. Impronta del corte de la banqueta HOL.T.93.20 vista desde el extremo este.

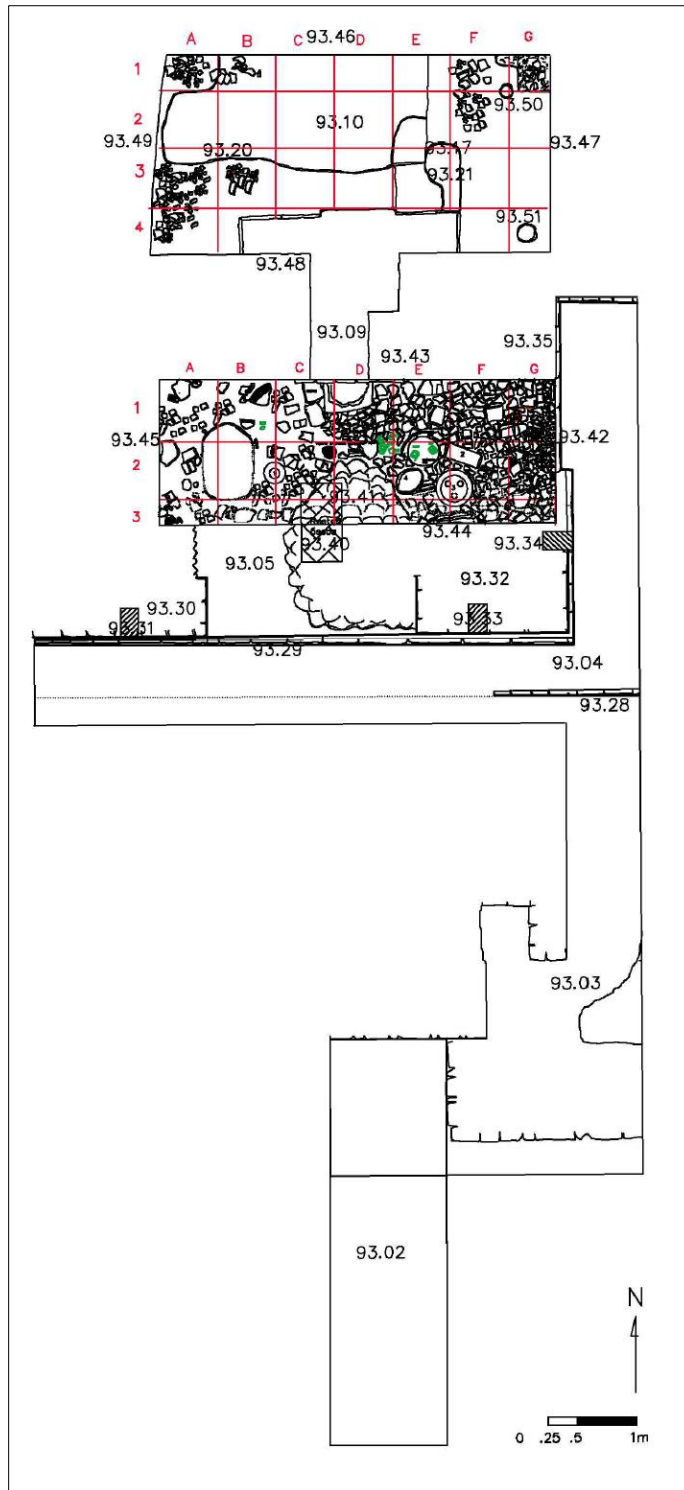


Figura 4.141. Representación esquemática de la planta del túnel HOLT.93, el nivel de banquetta (HOLT.93.10) del cuarto 2.

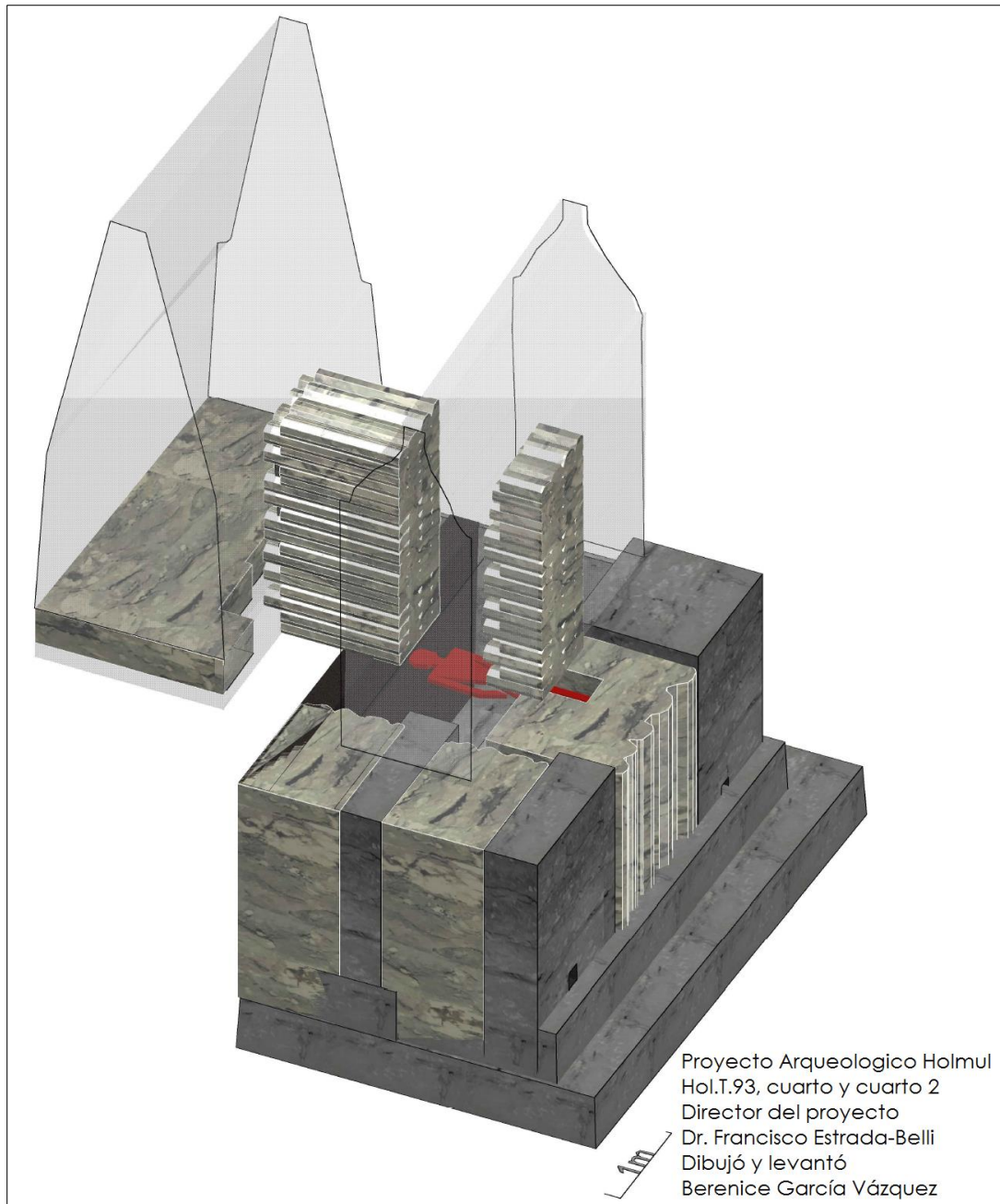


Figura 4.142. Dibujo en 3D del interior de la unidad de excavación HOL.T.93 de la estructura D, con muros transparentes para la apreciación de las formas interiores de las clausuras de los vanos de acceso, el individuo enterrado por debajo del piso del cuarto 1 y la banqueta del cuarto 2.

El nivel superior de la banqueta del cuarto 2, tiene una altura de 1.55 m de altura a partir del datum topográfico de la ladera sur que pertenece a la estructura D; en el momento que se comenzó a excavar, fue perceptible que el primer estrato de 0.20 m de grosor fue edificado a manera de “tapa”, su conformación mezclaba piedras medianas irregulares de 0.10 a 0.15 de grosor en un 80 % y tierra (20 %) de color gris claro, de partículas de poca adherencia entre sí y de textura mediana. A este contexto se le asignó la nomenclatura HOL.T.93.12, se encontró dentro de ella una concentración de restos óseos (HOL.T.93.12.09.01) y lascas de sílex (HOL.T.93.12.04.01). El estrato se profundizó a la par del corte HOL.T.98.18 ubicada al oeste, en donde se extrajo el relleno de esta intrusión (HOL.T.93.19) hasta alcanzar la misma medida 0.23 m (Figuras 4.143 y 4.144).



Figura 4.143. Excavación de la banqueta del cuarto 2 a 0.18 m de profundidad HOL.T.93.12.

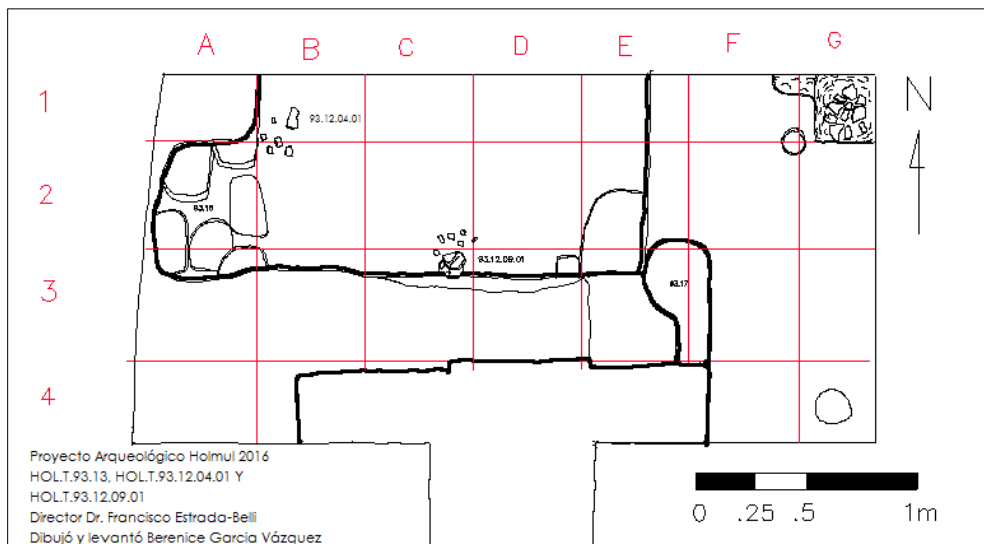


Figura 4.144. Dibujo en planta de la banqueta del cuarto 2 de la unidad de excavación HOL.T.93 de la estructura D, interior del contexto HOL.T.93.12.

El segundo estrato está constituido por una cama de lascas de sílex, que no tienen alguna definición funcional, es decir, no son formas y preformas de artefactos, no presentan huellas de uso o facetas con algún corte en específico; el tamaño oscila entre los 0.02 m y 0.05 m de largo; 0.005 m y 0.01 m de ancho, el grosor del estrato conformado con estos desechos de lítica tallada tiene por medida entre 0.03 y 0.10 m hasta el nivel inferior; el número asignado a este contexto es HOL.T.93.13.04.01.

El tercer contexto (HOL.T.94.14) tiene un grosor de 0.10 m en promedio, está conformado por piedras pequeñas y medianas de menos de 0.05 m a 0.10 de grosor irregulares (50%) y tierra de granulometría mediana, de poca adherencia entre partículas y su referencia cromática es el color gris claro (50 %). El cuarto contexto (HOL.T.93.22) se trata de otra cama de lascas de sílex con las mismas propiedades físicas y morfológicas del contexto HOL.T.93.13, de un grosor promedio de 0.10 m hasta el nivel más bajo.



Figura 4.145. Cama de lascas de sílex al interior de la intrusión de la banqueta del cuarto 2 es HOL.T.93.22.04.01.

El quinto contexto (HOL.T.94.23) presenta un grosor de 0.10 m en promedio, está conformado de forma general por piedras pequeñas y medianas de menos de 0.05 m a 0.10 de grosor irregulares (50%) y tierra de color gris claro de granulometría mediana, de poca adherencia entre partículas (50 %); en seguida se halló el sexto contexto (HOL.T.93.24) que se trata de otra cama de lascas de sílex de un grosor de 0.10 m en promedio con las mismas características de las otros dos estratos de desecho de talla de sílex que se encontraron anteriormente (Figura 4.146).



Figura 4.146. Cama de lascas de sílex (HOL.T.93.24) al interior de la banqueta del cuarto 2 de la unidad de excavación HOL.T.93 de la estructura D.

El séptimo contexto (HOL.T.93.25) está constituido por un conglomerado de piedras pequeñas (50%) de un grosor promedio de 0.05 m, presenta carbón y cenizas dispersos; el sedimento (50 %) tiene una adherencia media entre partículas, el nivel de compactación es moderado, debido a que remover la tierra no implica mayor dificultad, la granulometría es media y la referencia cromática es gris oscuro. Se percibe un severo colapso a manera de dolina en el punto central de esta área, en donde la diferencia de profundidad entre las esquinas y el epicentro oscila entre los 0.005 y los 0.10 m (Figura 4.147).



Figura 4.147. Sedimento conglomerado de piedras y tierra con afrentas de cenizas y carbón disperso HOL.T.93.25.

El octavo contexto (HOL.T.93.26), se trata de piedras colocadas a manera de tapa, son irregulares y algunas en forma de bloques grandes delgados, los tamaños varían, sin embargo predomina el formato grande entre ellas que oscilan entre los 0.20 m y los 0.25 m de largo por 0.10 m a 0.15 de ancho, el grosor varia alrededor de los 0.15 m, y están emplazadas en dos niveles en donde el nivel más alto tiene 0.75 m y el más bajo 0.60 m en relación al datum topográfico de esta unidad de excavación (Figura 4.148).

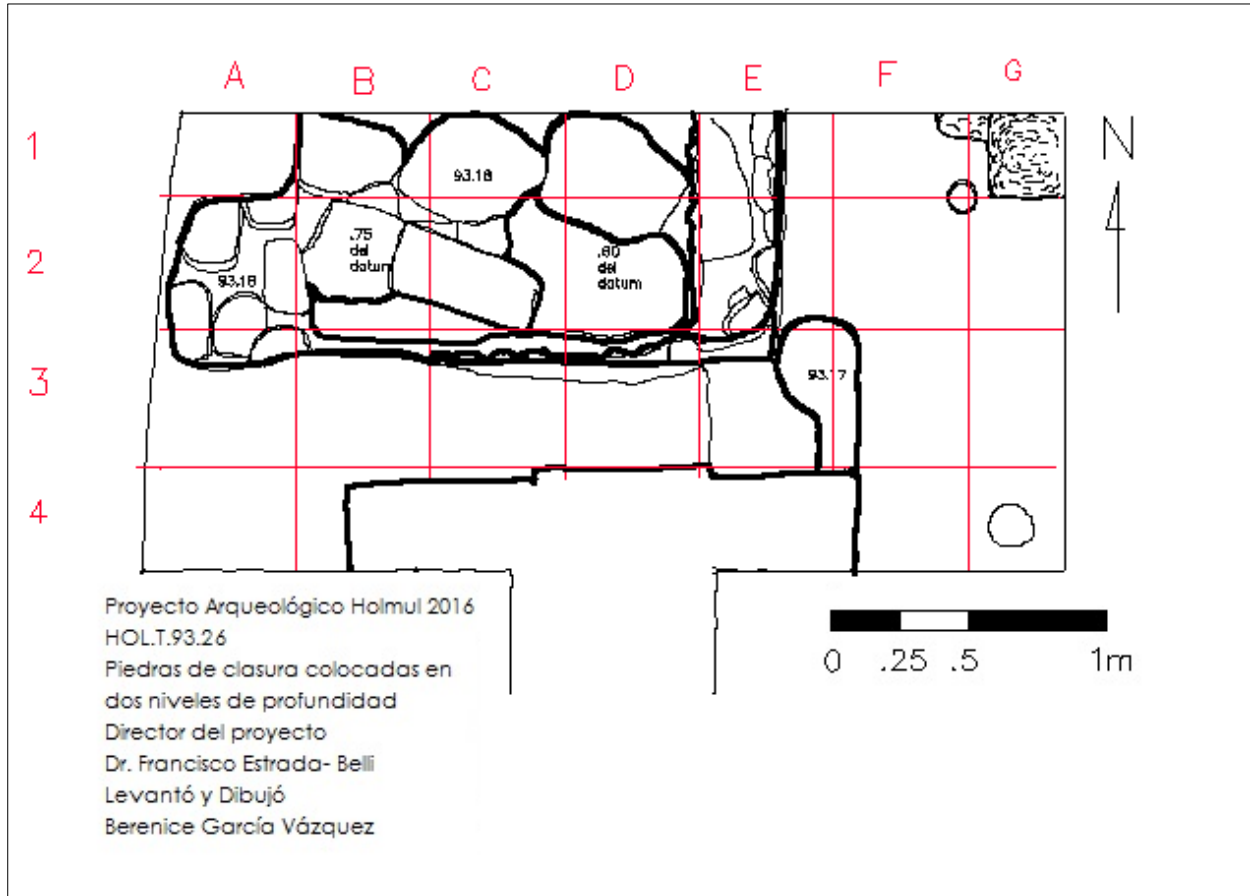


Figura 4.148. Dibujo en planta del contexto HOL.T.93.26 conformado por piedras gran formato acomodadas para clausurar el siguiente contexto.

En el momento que se levantaron las piedras de gran formato, se descubrió una cista de aproximados 0.55 m a 0.65 m de altura medida desde las lajas (HOL.T.93.29) que clausuran el contexto de la cista (cuya nomenclatura asignada fue HOL.T.93.27). La clausura mostró indicios de estar colapsada desde el momento contexto, y por debajo de este derrumbe se encontró un conjunto de diversos artefactos arqueológicos ofrendados a los restos óseos de un individuo inhumado. Las condiciones del depósito no son las óptimas, debido a que se estima que la integridad se conservó solo al 40%. Sin embargo los artefactos ofrendados se mantuvieron casi intactos. Debido a que es un espacio abierto que no tiene relleno alguno, el único sedimento visible son las glebas del derrumbe de color gris claro, con mediana adherencia entre partículas y moderada compactación (Figuras 4.149 y 4.150).



Figura 4.149. Deposito ritual de carácter funerario (HOL.T.93.27) en el interior de la banqueta del cuarto 2.

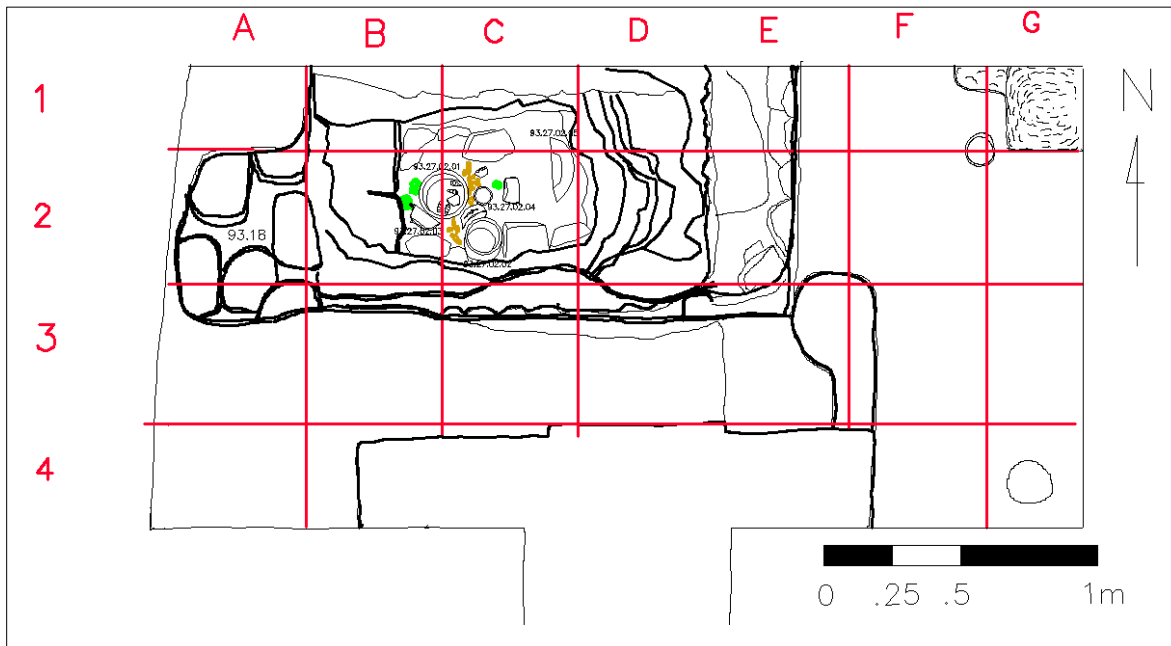


Figura 4.150. Dibujo en planta del depósito ritual de carácter funerario (HOL.T.93.27) en el interior de la banqueta del cuarto 2.

## CONCLUSIÓN

Los artefactos arqueológicos encontrados son 2 orejeras de jade circulares con líneas transversales (HOL.T.93.27.06.02-03) y dos pendiente en bajo relieve; el primero circular con círculos concéntricos y 4 círculos, el segundo con la representación de un personaje ataviado con orejeras y tocado sobre su cabeza (HOL.T.93.27.06.10.01); 5 artefactos cerámicos (HOL.T.93.27.02.01-05) dos de ellos que estaban completos aunque fragmentados en su totalidad, son platos policromos trípodes de pared alta recta divergente con decoración interior y exterior; un plato de pared recta divergente de base plana, los dos artefactos restantes son vasos de pared alta recta de los cuales el vaso de engobe café oscuro tiene decoración con acanaladuras pre cocción con motivos fitomorfos (Figura 4.151).



Figura 4.151. Foto de 2 orejeras y dos pendientes de jade, al extremo superior derecho se encuentran el pendiente en bajo relieve con la presentación de un personaje ataviado (HOL.T.93.27.06.01-04).

El vaso anaranjado tiene incisiones en forma de acanaladuras verticales, en su interior contenía 4 molusco gasterópodos (caracoles) del género *Pachytilus*; en el exterior a un costado del vaso también se halló otro caracol de la misma especie (HOL.T.93.27.10.01-05) al extremo este de las vasijas en un punto intermedio de la cista se encontró una concha del género *Spondylus* (HOL.T.93.27.10.06) que se situó en un extremo cercano de las orejeras de jade (Figuras 4.152 y 4.153).



Figura 4.152. Foto de los 5 artefactos malacológicos, al extremo izquierdo una concha del género *Spondylus*, al extremo derecho 4 caracoles (HOL.T.93.27.10.01-04) del género *Pachychilus* encontrados al interior del vaso anaranjado de pared alta (HOL.T.93.27.02.01).



Figura 4.153. Foto de los 5 artefactos cerámicos encontrados en el depósito ritual de carácter funerario, de izquierda a derecha y de arriba hacia abajo, dos vasos cilíndricos con acanaladuras incisas, un plato recto divergente policromo trípode, un plato divergente de pared baja y un plato recto divergente policromo trípode (HOL.T.93.27.02.01-05).

Después de extraer los elementos ofrendados, se liberó una capa de tierra con restos óseos humanos (HOL.T.93.27.09.01) en la superficie, todos ellos se encontraron degradados y dispersos. Sin embargo se logró reconocer dientes, muelas, algunos tejidos esponjosos, y otros fragmentos planos pertenecientes a extremidades, de acuerdo al número de piezas óseas diagnósticas, se infiere que se trata de un entierro de un solo individuo, mismo que se registró y levantó al igual que todo el sedimento de este contexto (HOL.T.93.27.13.01) que estaba conformado por pequeñas piedras y fragmentos de sílex de menos de 0.05 m, la textura era media, la cohesión entre partículas era baja, la compactación de los granos también era baja y el color era café oscuro grisáceo (Figuras 4.154, 4.155, 4.156 y 4.157).

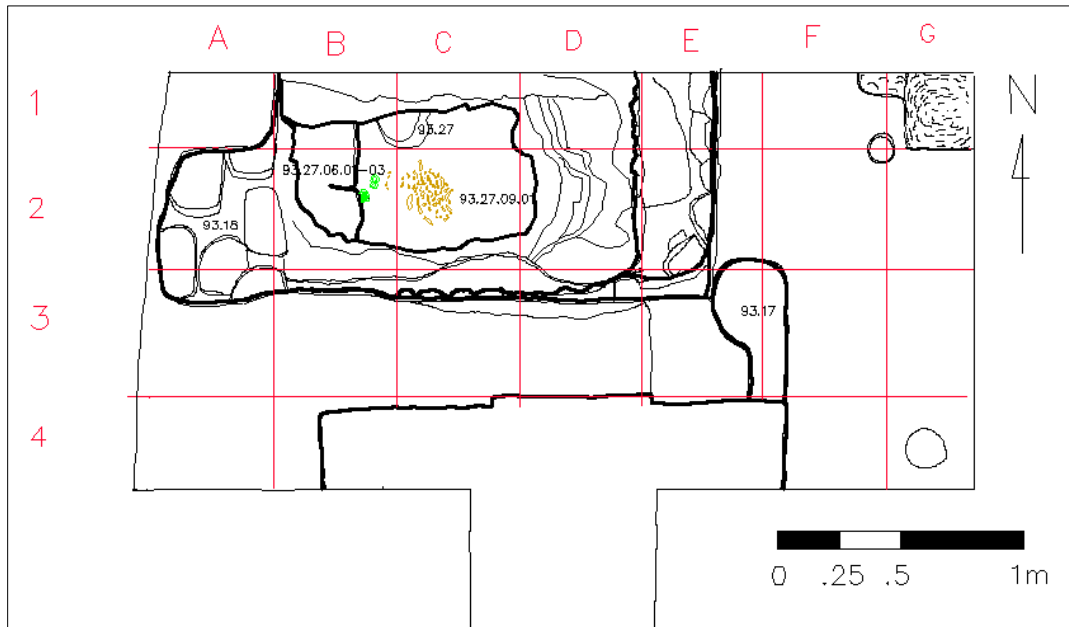


Figura 4.154. Dibujo en planta de los contextos HOL.T.93.27, con el entierro HOL.T.93.27.09.01 y el resto de los artefactos de jade HOL.T.93.27.06.01-03.



Figura 4.155. Restos óseos y artefactos de jade al interior del depósito ritual de carácter funerario del contexto HOL.T.93.27 al interior de la banqueta del cuarto 2.

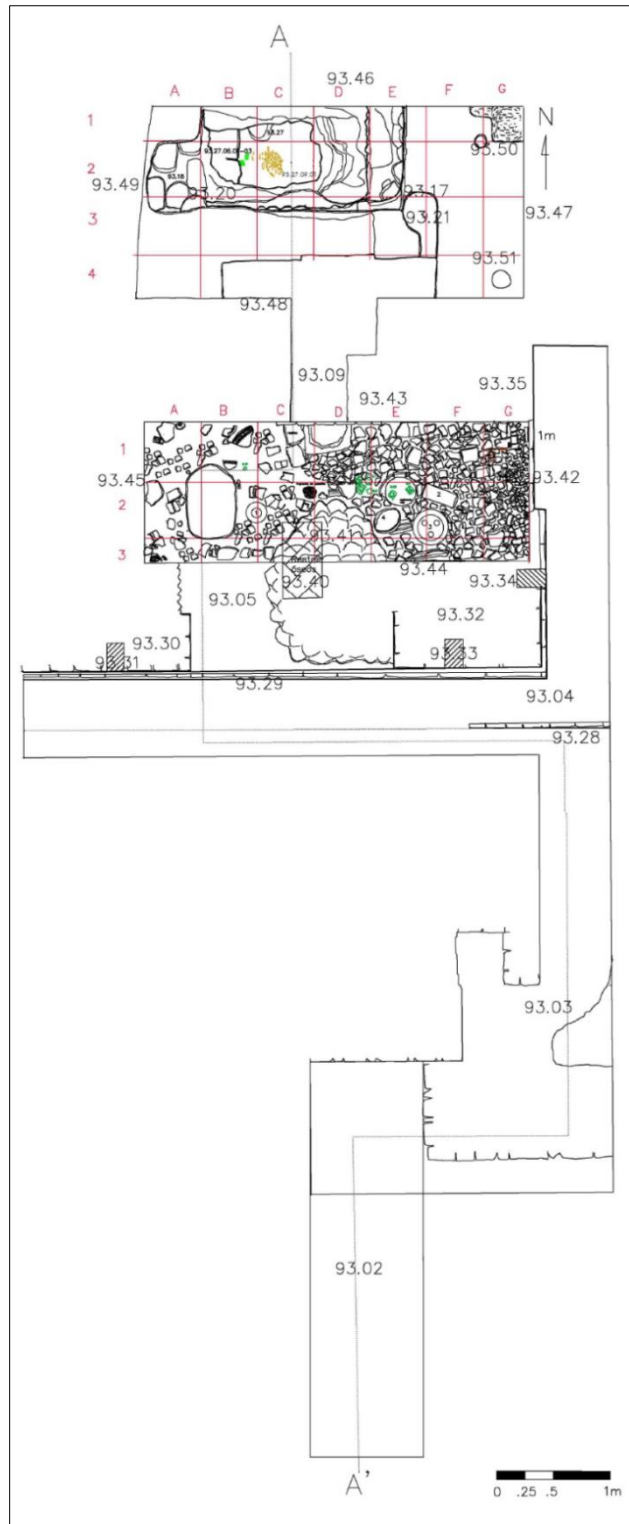


Figura 4.156. Planta de los cuartos 1 y 2 del túnel de exploración HOL.T.93 con ubicación de los cortes A-A'.

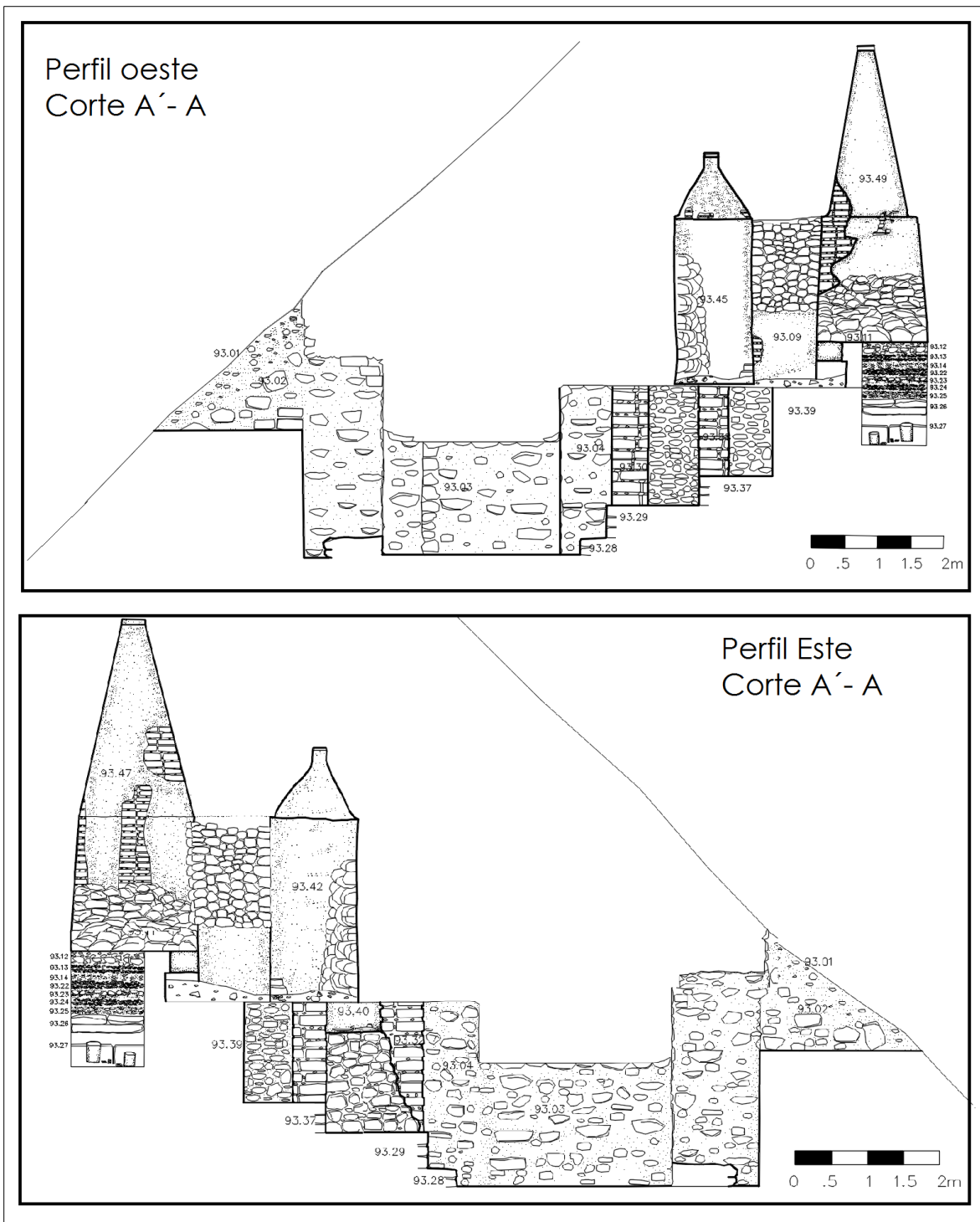


Figura 4.157. Perfiles este y oeste (cortes A-A' y A'-A) de la excavación HOL.T.93 de la estructura D, incluyendo el cuarto 1 y cuarto 2.

El siguiente contexto con nomenclatura HOL.T.93.29 es básicamente sedimento de color café claro, de partículas con poca cohesión entre sí, de textura fina, de compactación baja (50%) tiene inclusiones de piedras pequeñas de menos de 0.05 m de piedra caliza (Figura 4.158).



Figura 4.158. El contexto HOL.T.93.29 de la banqueta del cuarto 2.

El siguiente contexto HOL.T.93.30 es un relleno que tiene un grosor de 0.55 m, que cubre un elemento arquitectónico compuesto por bloques (HOL.T.93.31), el nivel superior del estrato se encuentra a 0.50 m de altura y el nivel inferior a 0.005 m de profundidad a partir del datum topográfico. Este relleno está compuesto por piedras irregulares medianas de aproximados 0.20 m de ancho (65%) y la tierra en su mayoría es cal y arena de partículas sin cohesión significativa, y baja compactación entre ellas, el color es gris claro con algunas afrentas de cenizas (35%).

El contexto HOL.T.93.31 se compone por bloques de tamaño gran formato cuyo largo está orientado de este a oeste, el largo que predomina alcanza los 0.90 m, el ancho tiene 0.23 m y el grosor 0.25 m en promedio, el bloque ubicado al norte se encuentra a 0.30 m de altura por encima del datum y el bloque central está 0.005 m de profundidad por debajo del datum topográfico. Hasta este nivel llega el final de la excavación intensiva de esta sección (Figuras 4.159 y 4.160).



Figura 4.159. Contexto HOL.T.93.31 compuesto de bloques de piedras gran formato y fin de la excavación.

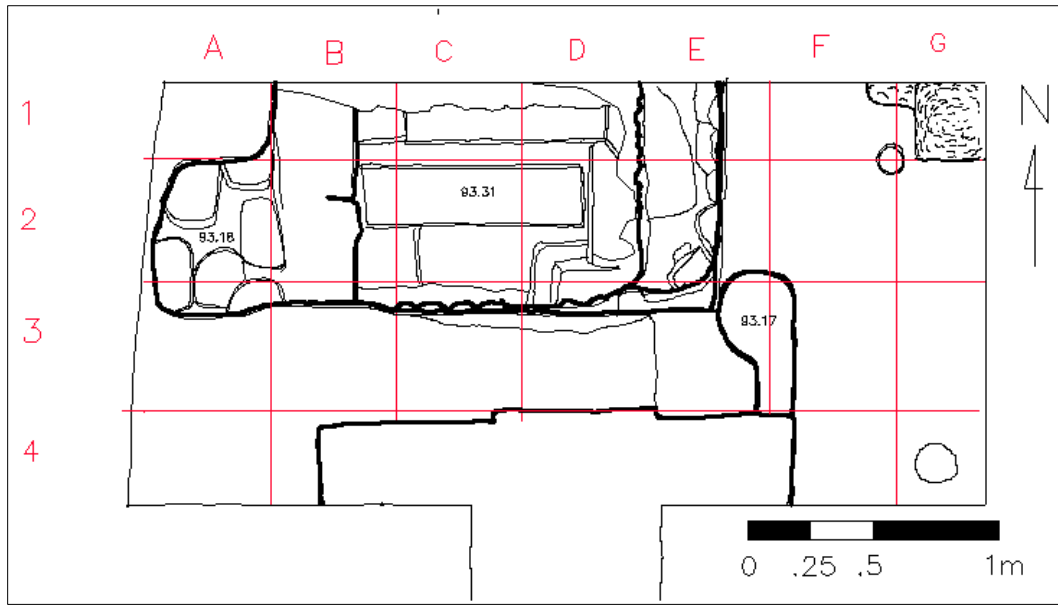


Figura 4.160. Dibujo en planta del contexto HOL.T.93.31 compuesto de bloques de piedras gran formato y fin de la excavación.

El cuarto 2 está compuesto por 2 muros abovedados (HOL.T.93.46-49), en donde el perfil de la bóveda al extremo oeste tiene la forma de intradós plano, también el perfil este a diferencia de que este último tiene dos salientes prominentes en los desplante de los intradós. Todo el cuarto se encuentra con remantes de humo sobre el estuco y sobre los sillares que quedaron al colapsarse parte del estuco, acto que permite inferir que se ejecutaron actividades posiblemente rituales en donde estaba implicado el uso de fuego, a diferencia de la pátina de la clausura del vano de acceso principal, que no muestra ninguna especie de perturbación, se deduce que estas actividades se realizaron antes de cerrar el cuarto y que el único acceso fue por esta sección sur (Figura 4.161).



Figura 4.161. Muro HOL.T.93.47 cubierto de humo sobre la cubierta de estuco y los sillares expuestos.

En general los 4 muros (HOL.T.93.46-49) no cambian en forma de manera substancial, la medida desde el nivel superior de la banqueta hasta el desplante del intradós tienen 1.60 m de altura y del intradós a la tapa tienen 2.5 m, el cubrimiento de estuco permanece en un 50%, el muro sur (HOL.T.93.48) presenta socavones provocados por las raíces de los árboles que se encuentran al exterior, sin embargo existe una horadación de morillos en donde se localizó un fragmento de madera que fue registrada y extraída para un pertinente análisis. Con la excavación del cuarto 2 del túnel de exploración HOL.T.93, se finaliza la excavación de la Unidad 1, esperando aportar datos para la investigación general sobre la antigua sociedad de Holmul Y agradeciendo al Dr. Francisco Estrada – Belli, por las enseñanzas y por permitir la realización de este trabajo con todo el apoyo que superó las expectativas de la que aquí suscribe. (Figuras 4.162, 4.163, 4.164, 4.165 y 4.166).



Figura 4.162. Esquina sureste del cuarto 2 del túnel de exploración HOL.T.93 de la estructura D.

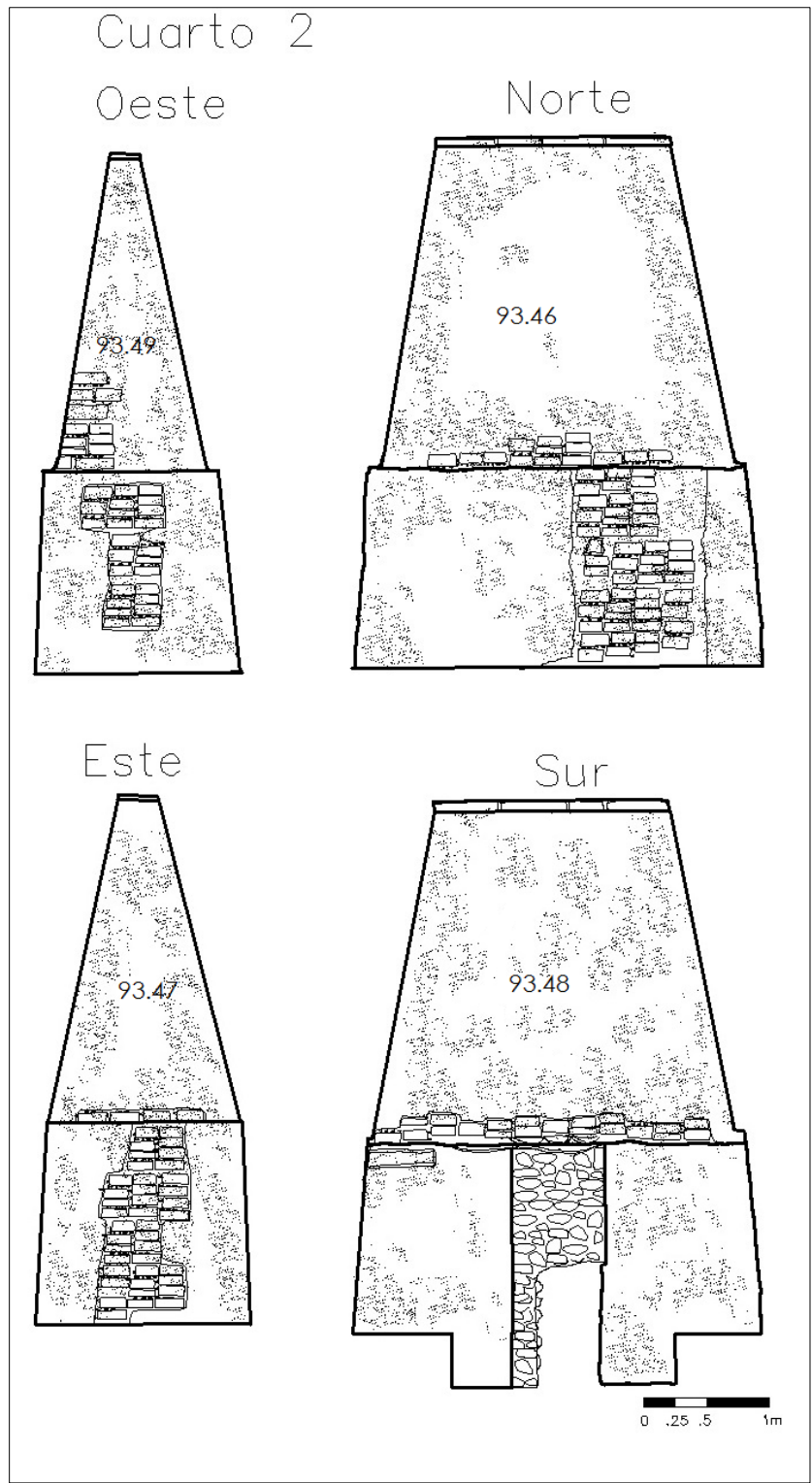


Figura 4.163. Fachadas de los muros del cuarto 2 (HOL.T.93.46-49).

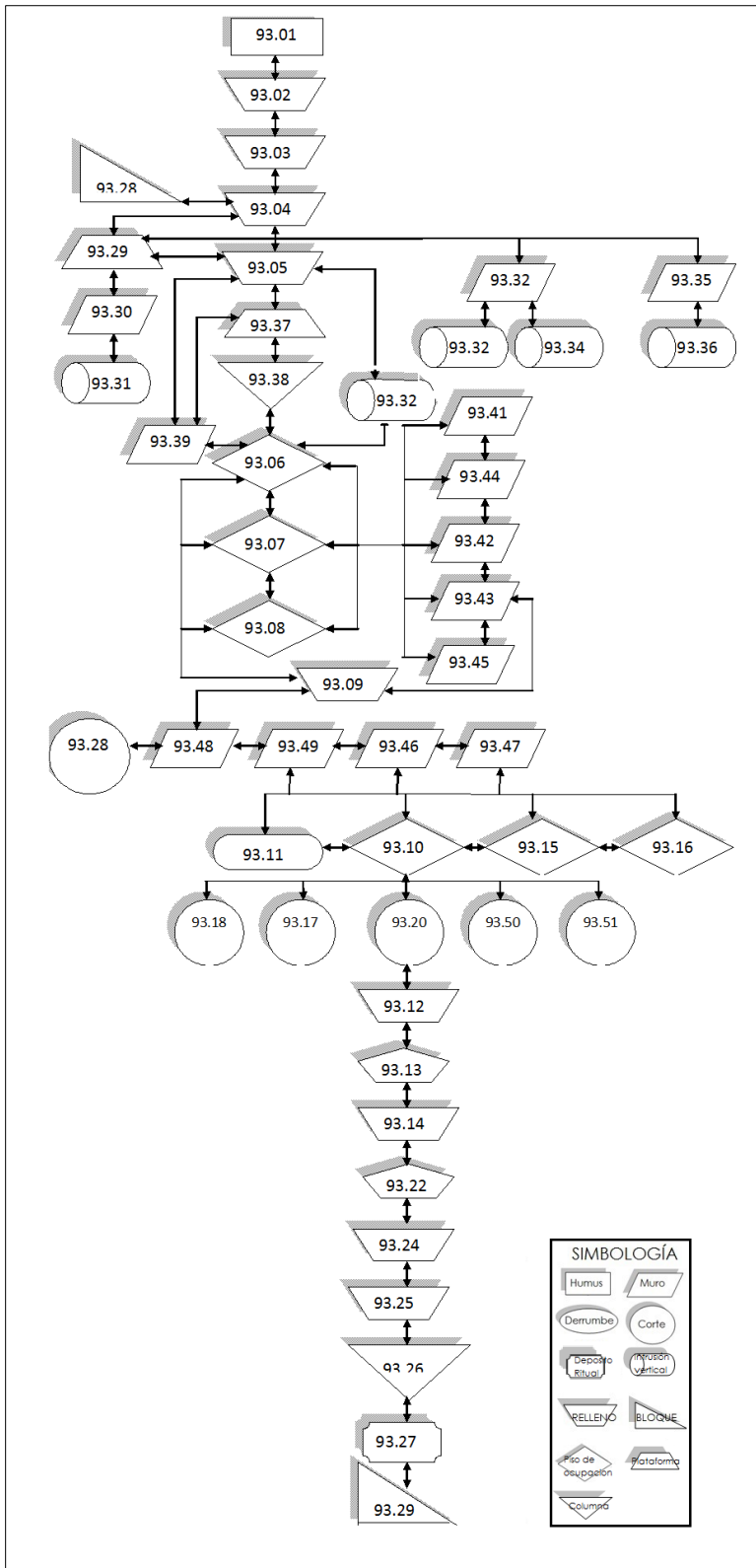


Figura 4.164. Matriz de Harris del contexto HOL.T.93.

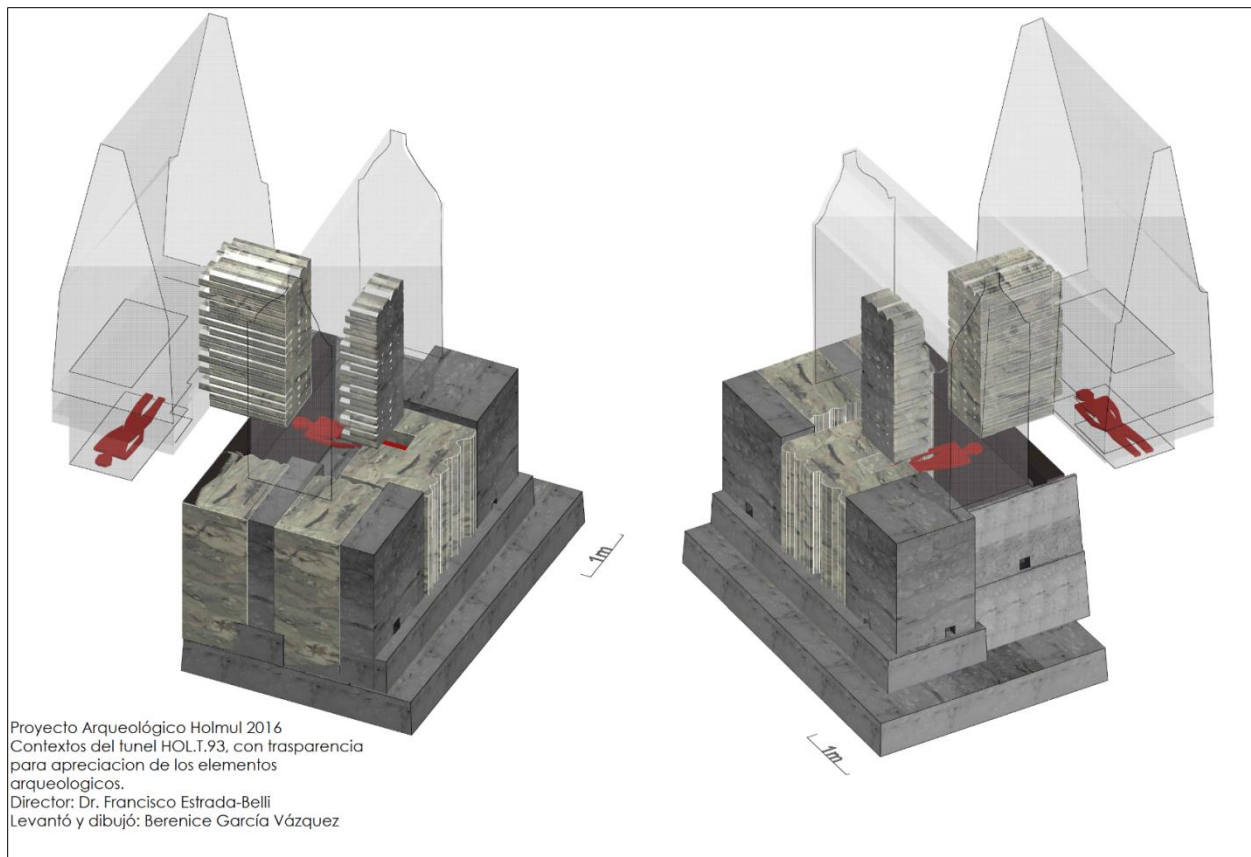
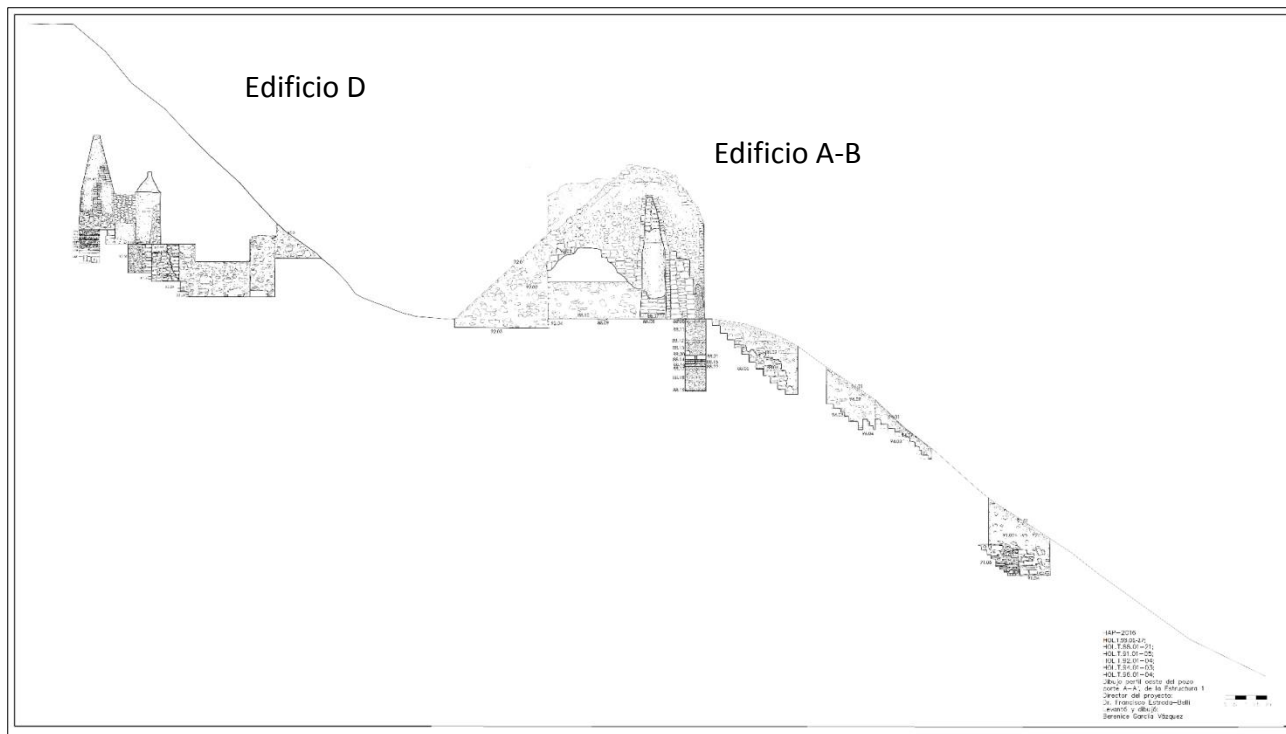


Figura 4.165. Vista isométrica suroeste y vista isométrica sureste 3D con muros en transparencia de los cuartos 1 y 2 para apreciación de los elementos arquitectónicos y arqueológicos de la unidad de excavación HOL.T.93 de la estructura D.



Figuras 4.166. Perfil este del eje central del Grupo I, incluyendo las Estructura D y registro de las excavaciones HOL.T.88, HOL.T.91, HOL.T.92, HOL.T.94, HOL.T.96, y HOL.T.93 en la escalinata del Grupo I.

## CAPÍTULO 5

# MAPEO DE LOS SITIOS ARQUEOLÓGICOS WITZNA Y LAS VENTANAS, PETÉN GUATEMALA.

*Antolín Velásquez López*

### INTRODUCCIÓN

El Proyecto Arqueológico Holmul (HAP) investiga multidisciplinariamente la región de Holmul, la que se localiza al noreste de las tierras bajas peteneras. Generalmente los trabajos regionales sólo se limitan a hacer referencia a algún artefacto de procedencia exótica, HAP hace uso de grandes escalas espaciales en base a preguntas que hacen referencia a cuestiones que abarcan grupos humanos con alta movilidad o dinámicas socio económicas que afectan a más de una región y no sobre la base de la localización de gran densidad de hallazgos arqueológicos que permitan la demarcación de unidades operativas mínimas de trabajo o sitios. En este trabajo se tendrá como objeto de análisis a un conjunto de estructuras y su variedad de formas, utilizando la *Teledetección* para la identificación, el análisis y la interpretación de los objetos, rasgos y contextos culturales o naturales que permitan obtener, de manera directa o indirecta, información resultante de actividades culturales pasadas.

### ÁREA DE ESTUDIO

Al noreste de las tierras bajas mayas de Petén, se ubica la región arqueológica Holmul, está cubre un área 250 km<sup>2</sup> aproximadamente (Figura 5.1). Abarcando varias geo formas, en el centro se disponen una serie de colinas que se orientan de noreste a suroeste y se elevaban por encima de un área de bajos, al norte el bajo Tintal, al sur el bajo Las Chamacas y al oeste el bajo Dos Arroyos, aquí se localizan el sitio arqueológico *Holmul* (La Riverita), con una ocupación continua desde el Preclásico hasta el Clásico, siendo el principal y más tardío de los asentamientos de la región. A 1 km al suroeste de la plaza principal de Holmul se ubica el sitio o grupo ceremonial conocido como *La Sufricaya*.

En el extremo norte se localiza *Cival*, donde se ha documentado una ocupación que inició 1100 A.C. final del Preclásico Temprano y finalizó en el período Protoclásico 200 D.C. su extensión, escultura monumental, iconografía, ofrendas y diversidad de los conjuntos arquitectónicos demuestra que ocurrieron cambios de complejidad social dentro del área. Siendo el centro rector más temprano de una serie de centros primarios y parte de una organización de sedes ceremoniales localizadas a su alrededor. En el extremo sur se ubica *Tot*, al oeste *Hahakab* y al este *Sisia'*, asentamientos ocupados en el Preclásico. Un poco más al norte en una especie de islas se localiza *Chanichich*.

Al este de esta serie de colinas se abre paso el río Holmul con rumbo norte, en lado opuesto del río Holmul al oeste de una serie de pequeñas colinas semejando una isla orienta de noreste a suroeste y limitada por el arroyo el Charcal al norte, el bajo El Jobal al este y sur y por el río Holmul al oeste, se localizan *La Riverona* a 3.4 km del centro de Holmul. Al este, se localiza *K'o* (Lechugal) a 4.6 km de la plaza principal de *Holmul* en proximidad del bajo El Jobal a pocos metros de la aguada el Lechugal y en arroyo el Charcal que sigue hasta la laguna Yaloch a 10 km al este. A 4 km de distancia de *Holmul* se localiza *Hamontun* (El Perú) en la parte oeste de una área de colinas mucho más extensa y caracterizada por varios arroyos y manantiales, dos de ellos limitan esta área al norte el arroyo Pueblo Viejo y al sur el arroyo El Charcal que se conecta con la laguna Yaloch.

Localizados sobre una gran escarpa que sirve de parte aguas entre la cuenca del río Holmul y del Ixcán río, aproximadamente a 12 km al suroeste de *Holmul* se encuentra *Dos Aguadas*, sitio menor con ocupación Preclásica y Clásica significativa, mientras que a unos 16 km al norte se encuentra *Witzna'*, sitio Clásico con arquitectura monumental.

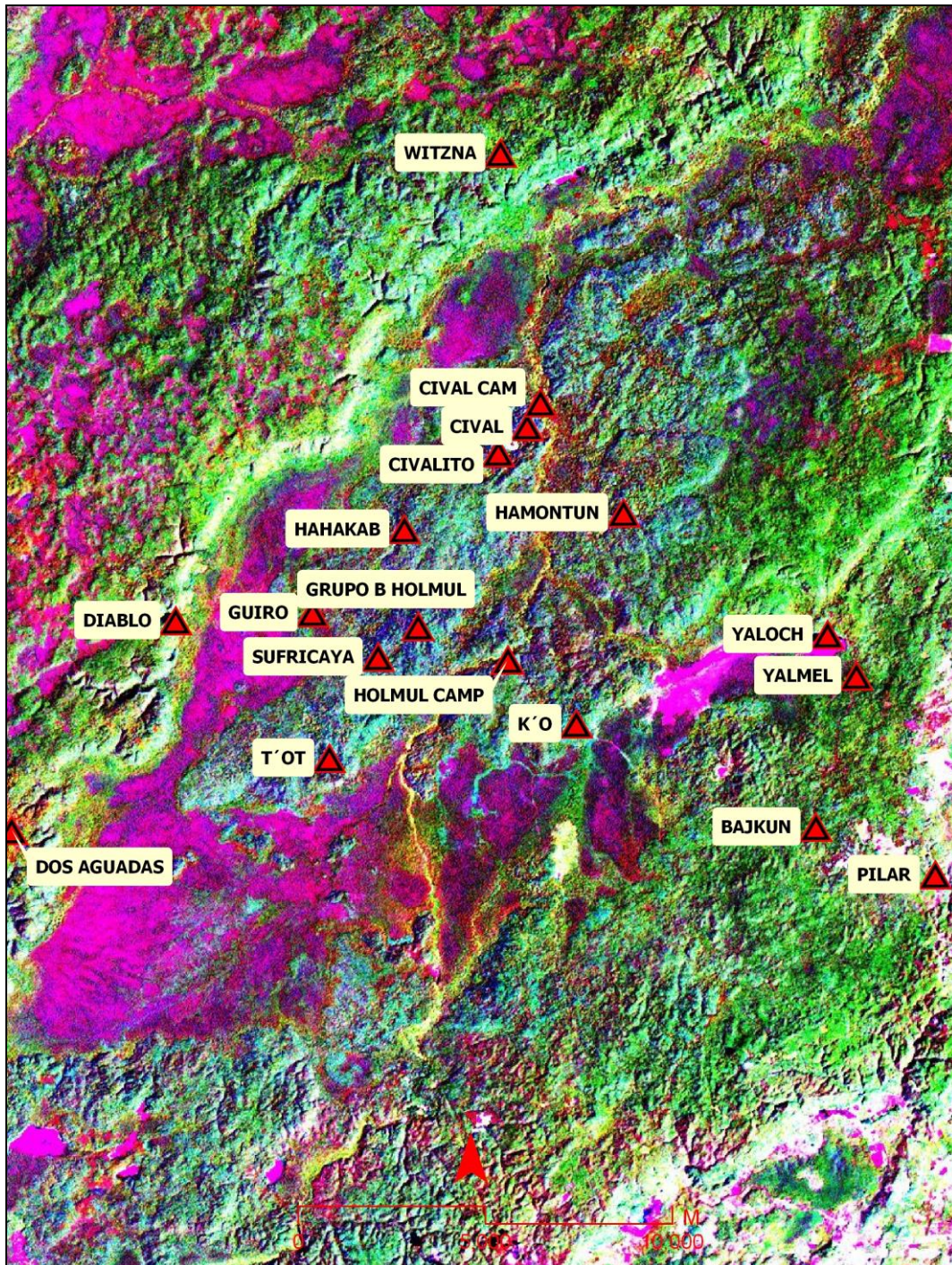


Figura 5.1. Imagen LANDSAT ETM+ (Enhanced Thematic Mapper Plus) 2001 sobre la región de Holmul y el área limítrofe Guatemala-Belice. Imagen A. Velásquez.

## OBJETIVOS

1) Extender el reconocimiento regional. 2) Mapear los núcleos principales y áreas residenciales de sitios no explorados. 3) Mapear, mejorar y ampliar el mapa de Witzna' presentado entre 1994 y 1996 por el Proyecto Protección de Sitios Arqueológicos de Petén (PROSIAPETEN) del Instituto de Antropología e Historia de Guatemala. Utilizando la teledetección a través de imágenes satelitales y sistemas de software específicos, posibilitan el manejo integrado de grandes volúmenes de datos.

## MÉTODO

El equipo de mapeo utilizó el GPS de una tableta Samsung Tab A, modelo SM-P550 con la aplicación *MapIt* que permitió dibujar y guardar los archivos en formato kml. Sobre la esquina de una estructura se colocó un punto GPS con el cual se orientó directamente el rasgo arquitectónico con una brújula Silva modelo *Ranger* 515 y las dimensiones de las estructuras se determinaron con un medidor laser modelo *CP-100*. La navegación se realizó directamente sobre las imágenes *LANDSAT* y *LiDAR* que permitieron la adquisición de datos topográficos, la creación de mapas y modelos de terreno más rápidamente.

Los datos obtenidos se trasladaron a una computadora portátil y fueron integrados a un GIS con programa ArcGIS 10.2 de ESRI: 1) Los datos kml, fueron transformados al sistema cartográfico UTM en metros, 2) los datos fueron representados en tres formas básicas: polígonos, líneas y puntos en archivos shp distintos, cada Shapefile a su vez se compone de tres tipos de archivos: 1) shp (Spatial data): almacena rasgos geométricos (como forma y localización). 2) shx (Spatial data index): almacena el índice de los rasgos geométricos. 3) dbf (Attribute data): almacena la información de los atributos o la descripción de estos rasgos.

La información recabada fue registrada con información espacial en forma de coordenadas UTM (Zona 16 N) utilizando el Datum WGS-84, lo que permitió la integración de datos digitales de diversos tipos (layers), como, arqueológicos, imágenes de satélite y texto en una sola base de datos digital. Este sistema permite la visualización, así como la utilización de importantes herramientas de análisis espacial, las cuales ayudan en la interpretación final de los componentes espaciales de un sitio arqueológico.

## DESCRIPCIÓN Y ANÁLISIS DE LOS RESULTADOS

El trabajo de campo 2016 fue realizado por un equipo integrado por Juan De La Cruz, Maynor Segura y Antolín Velásquez López, realizando un reconocimiento y levantamiento topográfico en los sitios: *Witzna'* (Las Cubetitas) se localizaron y mapearon 108 estructuras las cuales se distribuyen en el *núcleo principal* y el *área residencial*, *Las Ventanas* 29 estructuras pertenecientes al centro principal.

### NÚCLEO PRINCIPAL DE *WITZNA'*

La parte más alta de una serranía fue acondicionada por medio de una gran plataforma de nivelación que cubre un área de 30,906 m<sup>2</sup> sobre esta se emplazaron por lo menos 30 estructuras de gran volumetría, los complejos arquitectónicos se definen por tener un patio cuadrangular principal, el sector norte está formado por estructuras de tipo palacio, sobre una plataforma que encierra un patio completamente restringido, sin duda, fue un lugar muy privado que debió albergar a la realeza del lugar, rodeado por varias pirámides que varían en su altura, estructuras largas menos altas, al sureste del palacio se ubica la pirámide de mayores dimensiones con 48 m en eje norte-sur, 31 m en eje este-oeste y 19 m de altura (Figura 5.2).

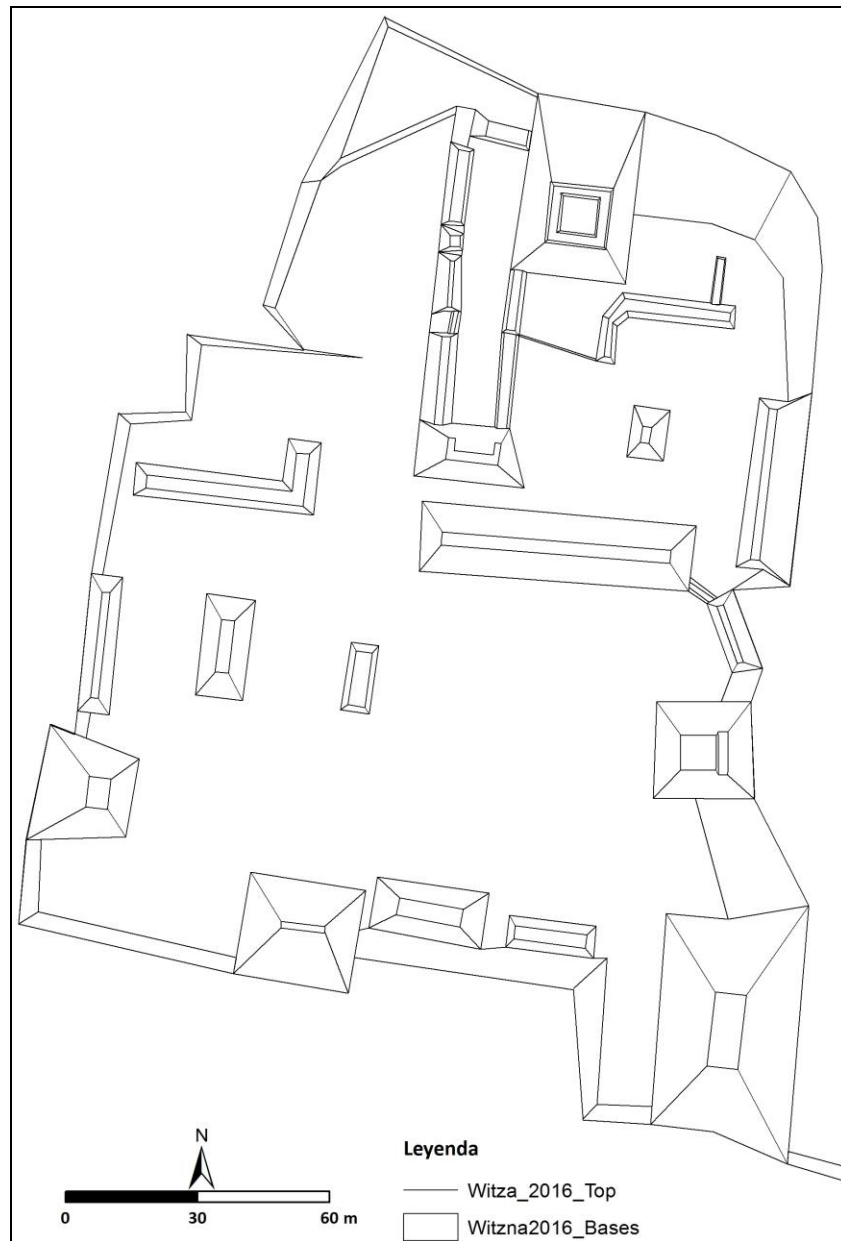


Figura 5.2. Mapa del núcleo principal de Witzna'. Imagen A. Velásquez.

## ÁREA RESIDENCIAL

El equipo de mapeo y reconocimiento cubrió un área de aproximadamente de 1.50 km<sup>2</sup> alrededor del centro logrando mapear un núcleo residencial de élite (Figura 5.3), donde en algunos de los grupos residenciales se han localizado fragmentos de monumentos tanto esculpido como lisos, esta zona, está rodeada por un área residencial que contiene espacios abiertos entre los grupos domésticos, estos permiten observar la presencia de recursos diferenciados, actividades según jerarquías sociales, políticas, económicas y rituales internas, la organización de los grupos habitacionales exhibe una población dispersa y separada por espacios abiertos geográficamente por encañones, arroyos y áreas de bajos, los rasgos arquitectónicos incluyen estructuras multi-habitacionales de mampostería y bóveda.

Las áreas empleadas para la construcción en esta zona fueron libres de inundaciones, cima de cerros escarpados y las áreas intermedias entre los cerros y los bajos acondicionándolas para la construcción por medio de plataformas basales o terrazas de diferentes alturas y formas que sostuvieron estructuras de formas rectangulares, cuadradas, algunas en forma de “L” y de “U”. Otras estructuras fueron construidas a nivel del suelo, se presentan aisladas o en grupos de dos o más estructuras, edificadas con piedra caliza generalmente cubiertas con estuco y de alturas variables, sometidas a varias remodelaciones, con diversas funciones. Las estructuras se dispusieron de tal manera que forman espacios abiertos y cerrados.



Figura 5.3. Mapa del núcleo principal y de las áreas residenciales de Witzna'. Imagen A. Velásquez.

## ÁREAS DE BASE

En ArcGIS 10 se calculó el área de 108 polígonos correspondientes a las bases de las estructuras, 14 terrazas de nivelación y 5 plataformas, se creó una gráfica que permitió proyectar visualmente la distribución de las áreas de los polígonos (Figura 5.4). Un total de 148 estructuras corresponde a un área entre 5.36 y 777.889 m<sup>2</sup>, 3 entre 777.889 y 1,550.418 m<sup>2</sup>, 3 entre 1,550.418 y 2,322.947 m<sup>2</sup> y únicamente se mapeó una estructura con un área de 30,906 m<sup>2</sup>.

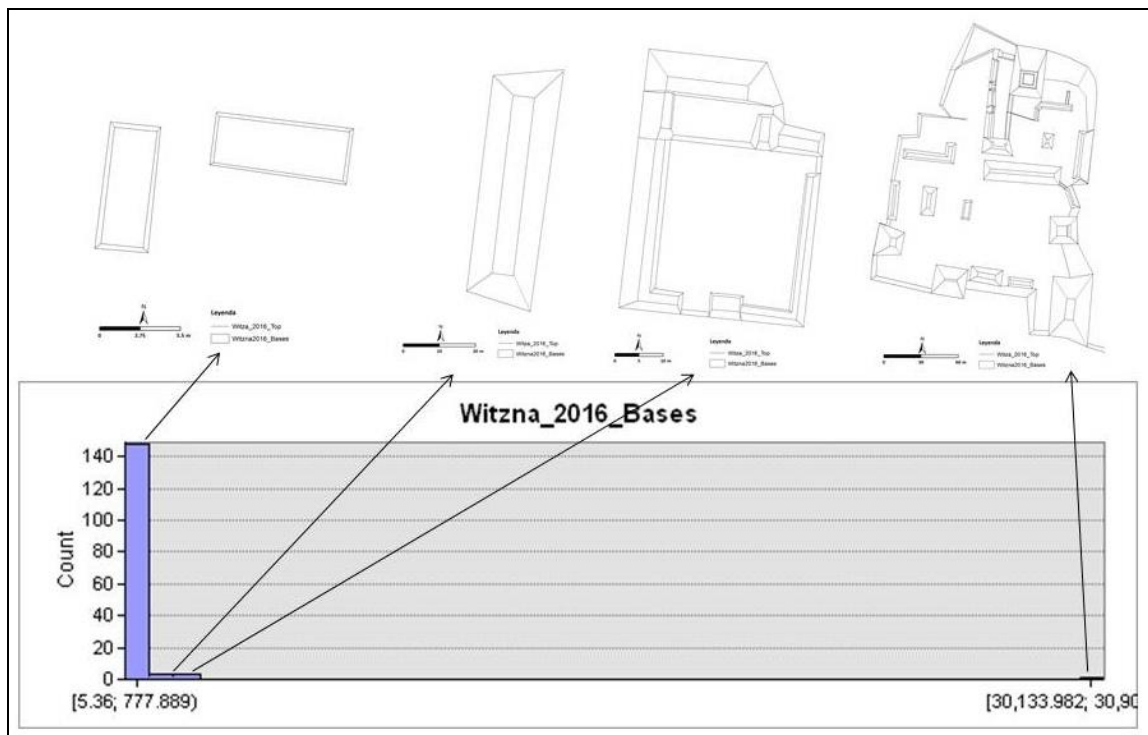


Figura 5.4. Gráfica de cálculo de áreas de bases de las estructuras generada por ArcGIS 10. Imagen. A. Velásquez.

## NÚCLEO PRINCIPAL DE *LAS VENTANAS*

Está formado por 29 estructuras distribuidas en tres grupos arquitectónicos que presentan espacios cerrados, que cubren un área aproximada de 26,339 m<sup>2</sup>. Los edificios están colocados sobre terrazas de nivelación.

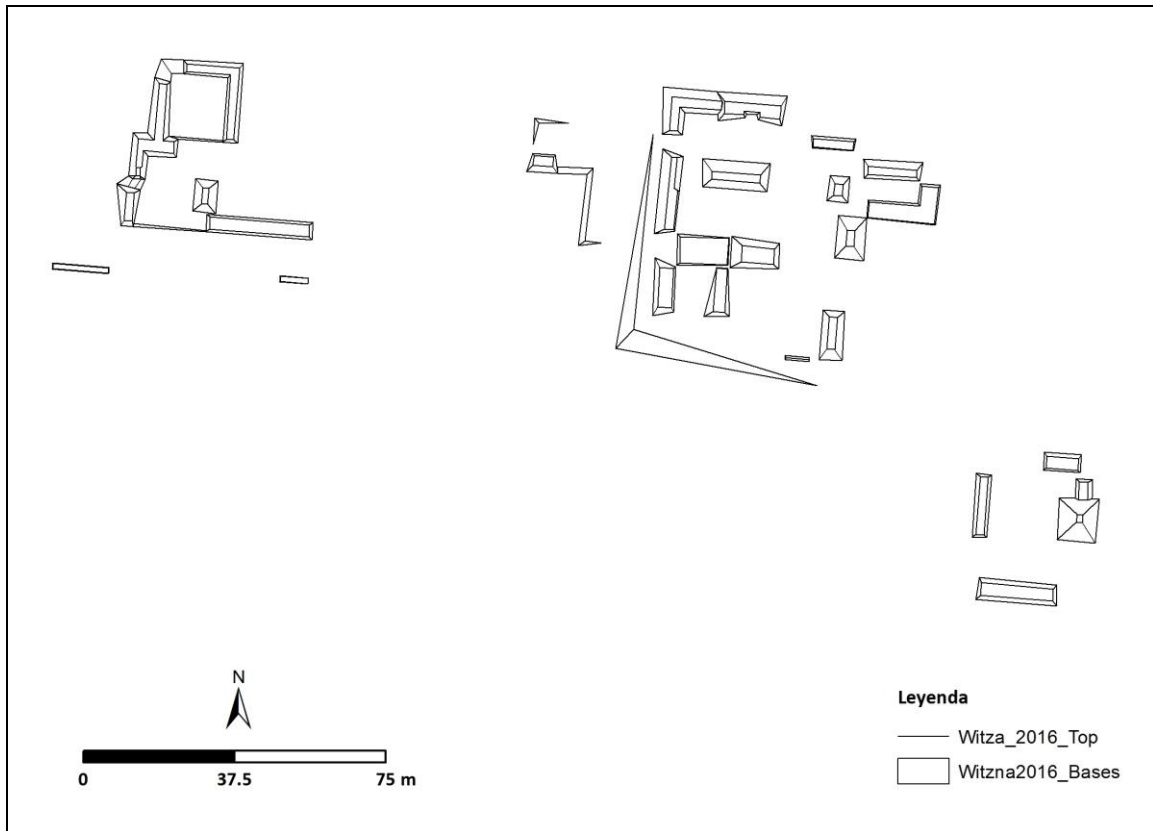


Figura 5.5. Mapa del centro principal Las Ventanas. Imagen. A. Velásquez.

## CONCLUSIONES

Hasta el momento el uso de imágenes satelitales como herramienta de exploración y el mapeo detallado e integrado a un GIS proporciona un mejor entendimiento entre la relación espacial de los grupos, las estructuras, los rasgos de interés sobre el paisaje han determinado un patrón de asentamiento a nivel de sitio en pequeñas aldeas dispersas separadas por los encañones, las áreas inundables y las colinas naturales que dominan la región, variando sus dimensiones, estatus y especialización de producción.

Las estructuras fueron construidas con bloques de piedra caliza bien labrada, unidos con argamasa y cubiertos con capas de estuco en su superficie, la cual en algunos casos aun muestra restos de pintura de diversos colores y algunos aún tienen sus bóvedas. Cabe mencionar que las trincheras de saqueo son masivas y han destruido en gran parte las estructuras.

## REFERENCIAS

Estrada-Belli, Francisco

2000 Investigaciones arqueológicas en la región de Holmul, Petén, Guatemala. En *Informe preliminar de la temporada 2008*. Informe presentado al Instituto de Antropología e Historia, Ministerio de Cultura y Deportes, Guatemala.

Estrada-Belli, Francisco

2001 Investigaciones arqueológicas en la región de Holmul, Petén, Guatemala. En *Informe preliminar de la temporada 2008*. Informe presentado a Instituto de Antropología e Historia, Ministerio de Cultura y Deportes, Guatemala.

2011 *The First Maya Civilization Ritual and Power before the Classic Period*. Routledge, London and New York.

Fialko, Vilma

2005 *Diez años de investigaciones arqueológicas en la cuenca del río Holmul, región noreste de Petén*. En XVIII Simposio de Investigaciones Arqueológicas en Guatemala, 2004, (editado por J.P. Laporte, B. Arroyo y H. Mejía). Museo Nacional de Arqueología y Etnología, Guatemala. Pp.244-260.

Velásquez López, Antolín

2011 *Geografía y Territorio, patrón de asentamiento del sitio arqueológico Cival, Petén Guatemala*. Tesis de Licenciatura, Área de Arqueología, Escuela de Historia, Universidad de San Carlos de Guatemala, Guatemala.

## CAPÍTULO 6 TRINCHERA DE SAQUEO WIT.L.38, PALACIO, WITZNA’.

*Ángel Ajpop Castillo*  
*Centro Universitario de Petén*

### INTRODUCCIÓN

La trinchera de saqueo WIT.L.38 se encuentra ubicada al centro de la fachada este del Palacio del sitio Arqueológico Witzna’. En esta trinchera se observaron los restos de un friso que fue expuesto por los saqueadores y reportado por la arqueóloga Vilma Fialko en su temporada de campo 2004. Al tener dicho detalle expuesto se tomó la decisión de hacer la limpieza.

### DESCRIPCIÓN DE LA TRINCHERA DE SAQUEO

Se inició la limpieza del saqueo WIT.L.38 removiendo material que está revuelto con una delgada capa de humus, material de saqueo y colapso. A este material se le dio el número de contexto WIT.L.01.01. Dentro de este material se sacó tierra gris y blanca, muy poca piedra y algunos bloques de construcción. Algunos de estos bloques aun con estuco de color rojo, lo cual indica que hubo una subestructura de color rojo. El material de este contexto se extendía desde el inicio hasta 8 m adentro. Luego de ese punto se llegó al túnel de saqueo.

Después de haber removido el material de saqueo se tuvo acceso para ingresar al túnel y se pudo observar la profundidad de este, desde el inicio hasta donde finalizaba medía 13.9 m. Ya teniendo todo al descubierto se observaron varios rasgos arquitectónicos dañados por los saqueadores. A dichos rasgos se les dio un número de contexto para poder registrarlos.

A la capa de humus que se pudo observar en la trinchera de saqueo se le dio el número de contexto WIT.L.38.02. La capa de humus consiste en tierra café mezclada con piedras pequeñas. En la esquina oeste la capa de humus tiene un espesor de 14 cm y en la esquina este un espesor de 9 cm (Figura 6.1). El contexto WIT.L.38.03 consiste en material de relleno de tierra gris, piedras pequeñas y algunas piedras medianas. Algunas de estas piedras medían aproximadamente 15 cm por 30 cm. Dicho contexto tiene también los contextos WIT.L.38.04, 05, 08, 09, 11 y 12. Inmediatamente después de este contexto se encuentra el contexto WIT.L.38.04 compuesto de cuatro bloques de caliza que en algún momento formaron una plataforma o un descanso.

El contexto WIT.L.38.05 es una delgada capa de estuco que aún se observa en el perfil del saqueo y al parecer en algún momento formó lo que podría ser una grada (Figura 6.1). El contexto WIT.L.01.06 consiste también de una alineación de bloques que al igual que el contexto WIT.L.38.04 pudo haber formado alguna plataforma o un descanso. Consiste de 14 bloques de caliza. Sobre este rasgo se encuentra un relleno de tierra gris con piedrín, asignándole el número de contexto WIT.L.01.07. El contexto WIT.L.01.08 está formado también por dos alineaciones de bloques de caliza una sobre otra, la fila de abajo tiene 18 bloques y la de arriba 17 bloques. Dicha alineación parece ser una remodelación dentro de la misma fase constructiva del palacio que corresponde a la última fase.

El contexto WIT.L.38.09 es una alineación de bloques que forman lo que podría ser una pequeña pared mutilada, puede que corresponda a una jamba. Consiste de tres bloques calizos. Detrás de este contexto se encuentra WIT.L.38.10 y pertenece al relleno que utilizaron para remodelar esa sección de la última fase constructiva. El contexto WIT.L.38.11 también es una pequeña alineación de piedra que da forma a lo que podría ser parte de otra jamba, dicho contexto consiste de tres pequeños bloques de caliza. Luego se localiza otra alineación de piedras con el número de contexto WIT.L.38.12, de cinco pequeños bloques calizos, parece ser la parte interior de una jamba. Detrás de este se encuentra el material que se usó para rellenar el espacio del cuarto, corresponde al contexto WIT.L.38.12, al material de relleno se le dio el número de contexto WIT.L.38.13.

El contexto WIT.L.38.14 es el piso de un cuarto, aún conserva el estuco y tiene un grosor de 14 cm se extiende a lo ancho de todo el cuarto midiendo 2.29 m. Este piso se une a un muro expuesto por los saqueadores al cual se le dio el número de contexto WIT.L.38.15, y corresponde a la fachada interior de un cuarto abovedado que al parecer ya había sido mutilado de su bóveda cuando fue saqueada. La pared tiene una altura de 2 m. En la parte superior aún se pueden observar tres bloques pequeños desde donde iniciaba la bóveda (Figura 6.1). Justamente debajo de este contexto se encuentra el friso mutilado al cual se le dio el número de contexto WIT.L.38.16. Dicho friso es una representación del petate (Figura 6.2).

El contexto WIT.L.38.17 se encuentra directamente debajo de los contextos WIT.L.38.05 y WIT.L.38.06 (Figura 6.1), y se trata de material de relleno que fue utilizado para rellenar una subestructura y luego así construir la fase media. Este relleno consiste de tierra gris, piedrín y algunas piedras medianas. En el mismo perfil se notó un talud de una subestructura por lo cual se decidió hacer un registro. Claramente se pudo observar luego del registro que era un talud mutilado por los saqueadores. A dicho talud se le dio el número de contexto WIT.L.38.18. Tiene una altura hasta donde se excavó de 1.4 m y un grosor de 25 cm, aun conserva su estuco en buen estado.

El fragmento que se excavó fue de 75 cm de donde pasa el perfil sur de WIT.L.38, al llegar a esa profundidad el talud hizo esquina y se descubrieron las escalinatas que dan acceso a la parte superior de esta subestructura. Se pudieron observar dos escalones aún en muy buen estado. A estos escalones se les dio el número de contexto WIT.L.38.19. Al descubrir dichos escalones se notó que las contrahuellas miden 50 cm y las huellas miden 35 cm. Detrás de este talud se encuentra material de relleno al cual se le dio el número de contexto WIT.L.38.20. Este material está compuesto de tierra gris mezclada con piedras pequeñas, medianas y algunos bloques constructivos que fueron tirados dentro del relleno de alguna pared mutilada por los mismos mayas.

Luego de este relleno se encuentra una jamba de un cuarto mutilado. A esta jamba se le dio el número de contexto WIT.L.38.21, aún conserva su estuco pero los saqueadores le hicieron un pequeño túnel, confundiéndola quizás con una tumba. Dicha jamba mide 1.35 m de ancho y 1.65 m de alto en su punto más alto. Al hacer el túnel a través de la jamba los saqueadores dejaron expuestos los bloques constructivos de esta a los cuales se les dio el número de contexto WIT.L.38.22. Se puede observar un bloque completo que mide 35 cm de largo por 18 cm de ancho. Los demás bloques no se observan en su totalidad pero se asume que tienen las mismas medidas, seis bloques fueron expuestos en su totalidad (Figura 6.1).

Detrás de esta jamba se encuentra material de relleno que consiste en su mayoría de tierra gris mezclada con piedras pequeñas. También se pueden observar algunas piedras grandes. A este relleno mencionado anteriormente se le dio el número de contexto WIT.L.38.23. Dentro de este mismo relleno se pudo observar una banqueta destruida en su totalidad por los saqueadores. A esta banqueta se le dio el número de contexto WIT.L.38.24. La banqueta tiene una altura de 65 cm y 1.35 cm de ancho. El estuco sobre esta tiene 2 cm de grosor.

El contexto WIT.L.38.25 es el piso interior del edificio donde se encuentra montada la jamba del contexto WIT.L.38.21 y la banqueta WIT.L.38.24. Dicho piso aún se encuentra estucado aunque en partes un poco dañado por los saqueadores. Lo que se encuentra expuesto del piso es 3.20 m en el túnel de saqueo ya al final de este (Figura 6.1). El contexto WIT.L.38.26 es el relleno que fuera colocado sobre el piso WIT.L.38.25 para poder elaborar la banqueta. Se notan tres bloques que le dan soporte a la pared este de la banqueta. El resto de material consiste de tierra gris mezclada con piedra pequeña y unas cuantas piedras medianas.

El contexto WIT.L.38.27 es una pequeña pared mutilada para poder elaborar la banqueta WIT.L.38.24. Dicho fragmento de pared aún guarda su estuco de color rojo. Tiene una altura de 62 cm y también hace esquina con el piso WIT.L.38.25. El último contexto del saqueo WIT.L.38 corresponde a un pequeño registro en el piso WIT.L.38.25. Este registro fue ubicado en un agujero que dejaron empezado los saqueadores. Al relleno encontrado en este registro se le dio el número de contexto WIT.L.38.28. Solamente se encontró relleno de tierra gris mezclado con piedras pequeñas. Se finalizó a una profundidad de 35 cm y 32 cm de ancho.

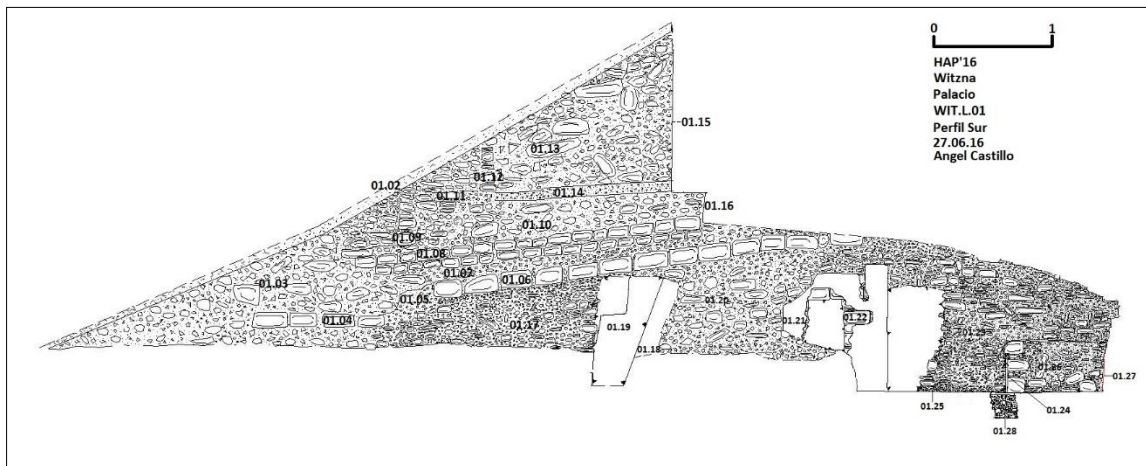


Figura 6.1. Perfil Sur de WIT.L.01 (Dibujo de A. Castillo).

## CONCLUSIÓN

Luego de finalizar la limpieza y registros de la trinchera de saqueo WIT.L.38 se pudieron observar tres fases constructivas del palacio, remodelaciones dentro de las mismas fases. Al parecer son las únicas fases constructivas del palacio de Witzna'. La primera fase constructiva muestra varios rasgos arquitectónicos. Lo primero que se observa es el pequeño muro pintado de rojo que corresponde al contexto WIT.L.38.27. Al parecer dicho muro fue mutilado para luego construir sobre este una banqueta que corresponde al contexto WIT.L.38.24.

Se puede determinar que la banqueta corresponde a la misma fase constructiva con el muro de color rojo mutilado, debido a que el piso (WIT.L.38.25) que sale de la base del mismo muro (WIT.L.38.27) se extiende por debajo de la banqueta y sigue aún hacia el este. A una distancia de 1.56 m de la base de la banqueta se encuentra lo que sería la jamba del cuarto para el cual elaboraron dicha banqueta. El fragmento de pared pintado de rojo fue mutilado para construir la banqueta y la jamba, ambos forman parte de la primera fase constructiva. Sobre estos rasgos se construyó la segunda fase constructiva del palacio. En esta fase se observa el friso con diseños de petate. Este va junto con el talud que dañaron los saqueadores y las gradas que se encontraron en el registro. Sobre este friso se encuentran varias evidencias arquitectónicas que corresponden a la fase final del palacio (Figura 6.1).

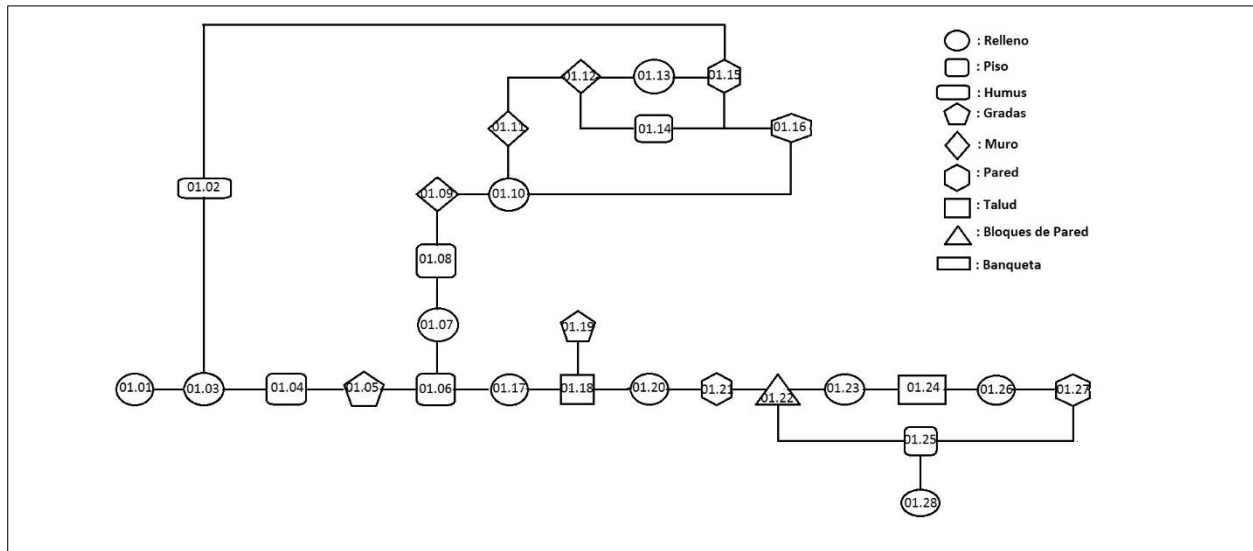


Figura 6.2. Matriz de Harris de WIT.L.01.

## CAPÍTULO 7

### EXCAVACIÓN WIT.L.03, ESTRUCTURA 9, WITZNA’.

*Bhanny Girón*  
*Universidad de San Carlos de Guatemala*

La excavación WIT.L.03 se realizó con el propósito de investigar el saqueo hecho en la Estructura 9. La Estructura 9 es un montículo de 16m de largo x 3m de ancho orientada de sur a norte con una altura de 2 m. La excavación se inició a partir de un saqueo ubicado en el rostro este de la estructura; puesto que parte de la estructura estaba expuesta observándose cuatro fases constructivas.

#### DESCRIPCIÓN DE LA EXCAVACIÓN

Se inició la excavación removiendo el humus, Contexto WIT.L.03.01, que es una capa de 0.06 m de espesor sobre el saqueo en dirección este a oeste. Es de color café oscuro, consistencia poco compacta, textura arenosa y suave, con raíces delgadas y se integra en un 30% por cantos rodados pequeños. Al limpiar se halló debajo un relleno de tierra blanca y piedritas, contexto WIT.L.03.02. Este es un relleno de construcción color blanco, de consistencia poco compacta, textura arenosa y suave, incluye pedrín en un 60%, piedras de regular tamaño en un 40%, con una medida aproximada de 0.30 m de largo por 0.09 m de ancho, 0.20 m de largo por 0.16 m de ancho. Este contexto se interpretó como una capa de sostén de la última fase de construcción.

Debajo del contexto WIT.L.03.02 se encuentra el contexto WIT.L.03.03. Este es un piso estucado con un grosor de 0.03 m, se observa que este piso está quebrado en una sección, ya que se ve que parte del relleno del contexto anterior sobrepasa el piso. Este contexto se interpretó como el piso de una plaza o patio de la penúltima fase. Debajo del contexto WIT.L.03.03, se encuentra el contexto WIT.L.03.04. Este es un relleno de construcción de tierra color blanco mezclado con piedras, de consistencia poco compacta, textura arenosa y suave. Contiene dos bloques de piedra usados para nivelación, muy probablemente para sostener el piso, dichos bloques tienen una medida de 0.48 m de largo por 0.23 m de ancho y 0.43 m de largo por 0.15 m de ancho. El resto del relleno corresponde a piedras pequeñas (70%) y de regular tamaño (30%), pocas raíces; se interpretó como la nivelación del piso.

El contexto WIT.L.03.05 fue limpiado, retirando bastantes hojas sueltas y algunas pequeñas piedras. Consiste en tierra café oscura de consistencia poco compacta, textura arenosa y suave; piedras sueltas (25%), raíces (10%), se obtuvo cerámica de diferente temporalidad. Este contexto es un relleno dejado por los saqueadores, destruyendo parte de la estructura desde el lado oeste hacia el este (Figura 7.1).



Figura 7.1. Contexto WIT.L.03.05. Trinchera hecha por los saqueadores en la Estructura 9, entrando desde el rostro oeste hacia el este (Foto de Bhanny Girón).

Debajo del contexto WIT.L.0.05 se encuentra el contexto WIT.L.03.06, consiste en tierra blanca, de consistencia no compacta, textura arenosa y suave, bastante piedrín (80%), piedras de varios tamaños, piedras de pedernal y caliza (20%), se encontró un bloque de piedra con la siguiente medida: 0.54 m de largo por 0.19 m de ancho. Se halló cerámica de diferente temporalidad, raíces delgadas (0.05%). Este contexto es casi continuo del contexto WIT.L.03.04, ya que forman el mismo relleno; los bloques encontrados son cercanos al techo abovedado del contexto WIT.L.03.11 (Figura 7.2).

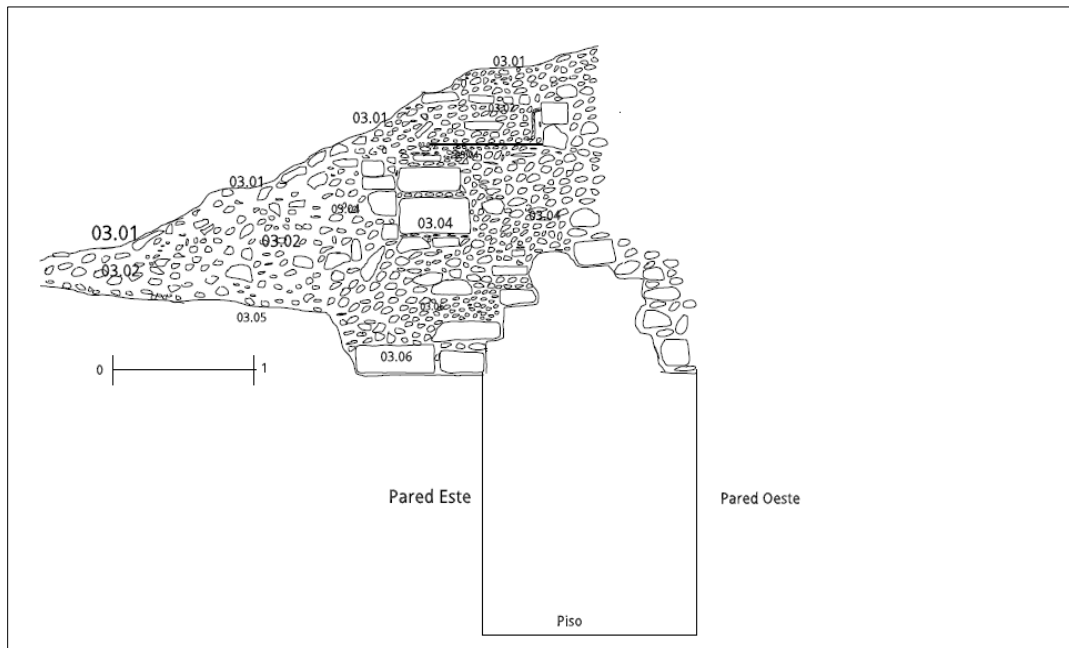


Figura 7.2. Dibujo de Perfil Sur, de la Estructura 9, con los contextos WIT.L.03.01.02.03.04.05.06. Pared este, oeste y piso, parte de la bóveda. Escala 1:1 (Dibujo de Bhanny Girón).

El contexto WIT.L.03.07 consiste en tierra blanca de consistencia poco compacta, de textura arenosa y suave, bastantes piedras de pedernal y de caliza (70%) de gran tamaño con unas medidas de 0.45 m de largo por 0.25 m de ancho, 0.70 m de largo por 0.20 m de ancho, 0.35 m de ancho por 0.45 m de ancho con piedras pequeñas (30%), raíces (0.05%), abundante cerámica del periodo Clásico Temprano y Tardío. En este contexto se halló una pieza de concha en forma de pendiente (WIT.L.03.07.10.01. Figura 7.3) y fragmentos de obsidiana (WIT.L.03.07.05.01.02.03. Figura 7.4). Este contexto es un relleno que cubre parte de la pared oeste, este y el piso.



Figura 3. WIT.L.03.07.10.01. Concha en forma de pendiente, con diseño de paisaje (Foto de Bhanny Girón).



Figura 7.4. WIT.L.03.07.05.01.02.03, fragmentos de obsidiana (Foto de Bhanny Girón).

Hacia dirección sur cambia el color de la tierra que corresponde al contexto WIT.L.03.08. Consiste en tierra gris clara de consistencia poco compacta, de textura arenosa y suave, piedras de caliza y pedernal (80%) de gran tamaño con una medida de 0.50 m de largo por 0.24 m de ancho, 0.67 m de largo por 0.20 m de ancho, algunas de estas piedras de caliza son bloques. Se encontró bastante cerámica del periodo Clásico Temprano y Tardío, piedras pequeñas (80%) de pedernal y tres pedernales bifaciales (WIT.L.03.08.04.01.02.03) (Figura 7.5) y restos de huesos de animal. Este contexto es un relleno que cubre la pared oeste, este, sur, las puertas o jambas sureste, centro este y noreste. Hacia el norte solo se movió parte del relleno para descubrir la puerta o jamba noreste, por lo cual se dejó el resto del relleno. Ambos contextos fueron un relleno que cubría un extenso cuarto el cual fue destapado en casi su totalidad.



Figura 7.5. WIT.L.03.08.04.01.02.03, tres pedernales bifaciales (Foto de Bhanny Girón).

Destapado el cuarto, se nombró a la pared oeste como contexto WIT.L.03.09, que consiste en un muro con una delgada capa de estuco, se pudo notar que algunas secciones de la pared están infladas y también se ha caído el estuco. El muro oeste tiene un aproximado de 14 m de largo, pero solo se destapó en su totalidad hacia el sur y parte al norte, dejando entonces 11.50 m liberados. Aquí se observa el techo abovedado casi en su estado original, ya que hay secciones que fueron mutiladas para una nueva construcción. En toda la pared se pudo apreciar los agujeros de los dinteles (Figura 7.6).



Figura 7.6. Foto de la pared oeste contexto WIT.L.03.09, se observan piedras expuestas debido a que se ha caído la delgada capa de estuco (Foto de Bhanny Girón).

Continuo al contexto WIT.L.03.09 se encuentra el contexto WIT.L.03.10. Este consiste en una pared estucada, donde hay pocas piedras expuestas, tiene el estuco bien conservado, lo mismo se observa con el techo abovedado que también está cubierto de estuco. El muro mide 1.50 m de largo con una altura del techo abovedado al piso de 2.50 m, casi en el centro tiene una pequeña ventana que mide 0.28 m de largo x 0.28 m de ancho. La altura que hay del techo al inicio de la ventana es de 0.92 m y de la ventana hacia el piso es de 1.30 m (Figura 7.7).



Figura 7.7. Foto de la pared sur contexto WIT.L.03.10. Obsérvese la conservación del estuco en la pared y el techo abovedado, casi en el centro la ventana (Foto de Bhanny Girón).

Continuo al contexto WIT.L.03.10 se localiza el contexto WIT.L.03.11. Este contexto consiste en un muro recubierto con una capa delgada de estuco, piedras expuestas debido a que el estuco se ha caído. Este contexto es la pared este del cuarto y tiene tres puertas o jambas: puerta sureste (WIT.L.03.12), puerta central este (WIT.L.03.13) puerta noreste (WIT.L.03.14). Con una extensión aproximada de 14 m de largo y en la parte de arriba el techo abovedado tiene secciones que fueron destruidas o mutiladas. Cerca de la puerta noreste, la pared fue mutilada al igual que el techo; esta mutilación muy posiblemente fue hecha para una nueva construcción (Figura 7.8).



Figura 7.8. Pared este contexto WIT.L.03.11, donde está la escalera fue mutilada la pared (Foto de Bhanny Girón).

El contexto WIT.L.03.12 consiste en un relleno de tierra gris clara, de consistencia poco compacta, textura arenosa y suave, piedras de pedernal (60%) y de caliza en forma de bloques (25%) y pequeñas piedras (15%). Este contexto es el muro sureste y mide 1.30 m de largo y una altura de 1.80 m, fue tapado con el relleno y en los lados sur y norte, se observan los agujeros de las jambas (Figura 7.9). El contexto WIT.L.03.13 consiste en un relleno de tierra gris clara, de consistencia poco compacta, textura arenosa y suave, piedras de pedernal (50%) y de caliza (30%) y pequeñas piedras (20%). Este contexto es el muro central y mide 1.55 m de largo y una altura del 0.72 m, el muro fue cubierto con el relleno de una nueva construcción (Figura 7.9). El contexto WIT.L.03.14 consiste en un relleno de tierra gris clara, de consistencia poco compacta, textura arenosa y suave, piedras de pedernal (55%) y de caliza en forma de bloques (35%) y pequeñas piedras (10%). Este contexto es el muro noreste y mide 1.38 m de largo y una altura de 1.40 m, fue tapado con relleno de una nueva construcción.



Figura 7.9. Puerta este, contexto WIT.L.03.13, tapiada con relleno (Foto de Bhanny Girón).

El contexto WIT.L.03.15 es una capa de tierra gris clara de 0.10 m de consistencia poco compacta, textura arenosa y suave. Este contexto es el piso del cuarto, tiene un ancho de 1.50 m a 1.60m, se limpió con una cuchara removiendo una delgada capa de tierra, de textura granulosa, para partes del piso que estaba rajado. Cerca del muro sur (WIT.L.03.10) se halló un piso con evidencia de quemado, por lo tanto, se tomó la muestra correspondiente (Figura 7.10).

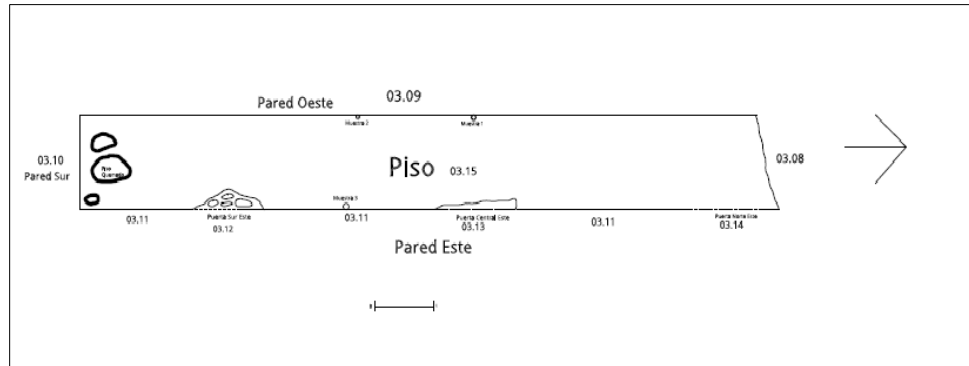


Figura 7.10. Planta del cuarto de la Estructura 9, con los contextos WIT.L.03.08.09.10.11.12.13.14.15, muestras de piso 01,02 y 03, y las secciones quemadas del piso. Escala 1:1 (Dibujo de Bhanny Girón).

Se realizó un pozo de sondeo sobre el piso con las siguientes medidas: norte-sur 1.54 m de largo y este-oeste 1.00 m de ancho. Debajo del contexto WIT.L.03.15 se encuentra el contexto WIT.L.03.16, que consiste en tierra gris clara, de consistencia poco compacta, textura arenosa y suave, piedras de pedernal (35%) y cerámica. Este contexto es un relleno que estaba arriba de un piso erosionado, el relleno sirvió para sostener el piso (WIT.L.03.15). Al remover este relleno se encontró el contexto WIT.L.03.17, que consiste en un piso, al que le fue removida una delgada capa de tierra blanca. Presenta erosión y textura granulosa, tiene un grosor de 0.02 m. Debajo de este piso se encontró el contexto WIT.L.03.18, que contiene tierra gris clara, de consistencia no compacta, textura arenosa y suave, pedrín compuesto de piedras pequeñas de pedernal (70%) y de lascas (30%). Este contexto es un relleno posiblemente utilizado para sostener el piso erosionado (WIT.L.03.17). Al removerse este relleno se encontró tierra apelmazada.

Debajo del contexto WIT.L.03.18, se encuentra el contexto WIT.L.03.19, este contexto consiste en una capa de tierra gris oscura de 0.02 m de grosor con una capa de tierra blanca de 0.02 m de grosor, ambos compactados, de textura arenosa y suave. Este contexto es un piso apelmazado usado probablemente para nivelar el relleno que se colocó encima. Debajo de este contexto se halló el contexto WIT.L.03.20, de tierra gris clara, de textura arenosa y suave, espesor de 0.40 m, abundante pedrín compuesto de piedras de pedernal (95%) y de lascas (05%), se encontró cerámica del periodo Clásico Temprano y Tardío. Continuando hacia abajo se encuentra el contexto WIT.L.03.21, que consiste en un relleno con poca tierra de color gris claro, textura arenosa y suave, piedras grandes de pedernal (80%) con medidas de 0.30 m de largo por 0.20 m de ancho, piedras pequeñas de pedernal (15%) y de lascas (05%), se halló poca cerámica del periodo Clásico Temprano y Tardío. Se detuvo la excavación, por lo tanto, sólo se excavó un total de 2.25 m de profundidad desde el piso (WIT.L.03.15) (Figura 7.11).

Debido a que el pedrín del relleno de los contextos (WIT.L.03.18, 20) estaba muy suelto, se descubrió el contexto WIT.L.03.22. Este contexto es un muro de contención formado por piedras grandes de pedernal de aproximadamente 0.35 m de largo por 0.10 m de ancho, 0.28 m de largo por 0.20 m de ancho, pequeñas piedras de pedernal (10%) y de lascas (05%), tierra gris clara, textura arenosa y suave. Este muro se encuentra hacia el oeste. Ya que no se continuó excavando se desconoce la altura completa de este muro, solo se descubrió 1 m (Figura 7.12).

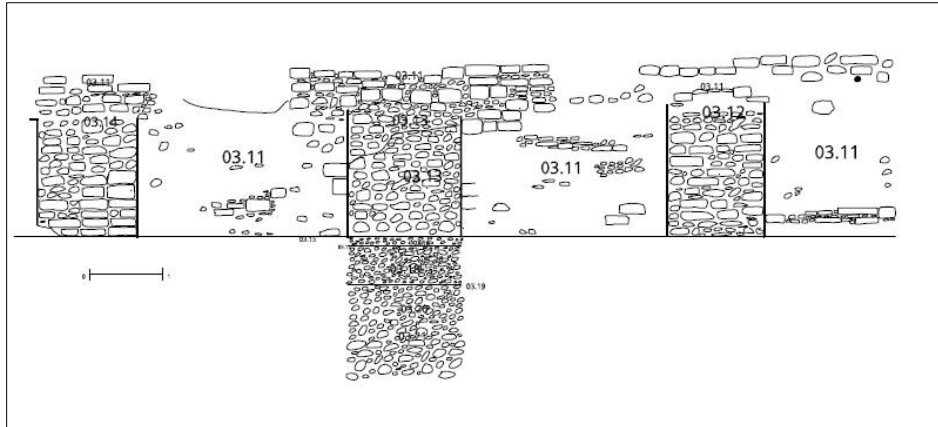


Figura 7.11. Perfil este del cuarto, Estructura 9, contextos WIT.L.03.11.12.13.14.15.16.17.18.19.20.21, techo abovedado, se puede observar la mutilación en la pared. Escala 1:1 (Dibujo de Bhanny Girón).

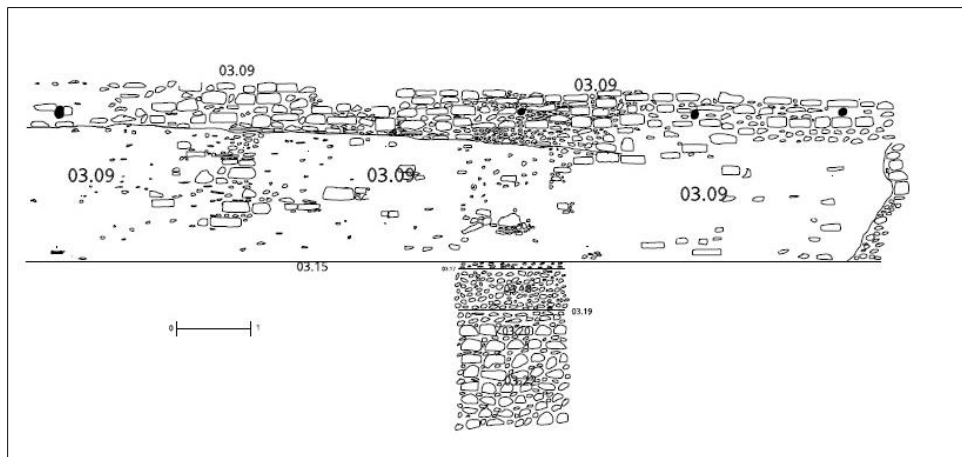


Figura 7.12. Perfil pared oeste del cuarto, Estructura 9, contextos WIT.L.03.09.15.16.17.18.19.20.21.22, techo abovedado y el muro de contención (Dibujo de Bhanny Girón).

## CONCLUSIÓN

La Estructura 9 presentó por lo menos seis fases de construcción. Las primeras fases que se pueden ver, son la última y penúltima, ya que estaban expuestas debido a un saqueo, los contextos WIT.L.03.01.02.03.04, muestran humus, relleno, piso y relleno. Debajo de estos contextos se encontró el gran cuarto de aproximadamente 14 m de largo, y una altura de 2.25 m desde el piso hacia el techo abovedado. El cuarto no fue saqueado, los saqueadores destruyeron desde la parte de arriba de la estructura y solamente destaparon una parte del techo abovedado.

El cuarto contenía dos rellenos, uno de tierra blanca o caliza y el otro de tierra café clara mezclados con bastantes piedras grandes de caliza y de pedernal, con una medida de 0.50 m de largo por 0.24 m de ancho, 0.67 m de largo por 0.20 m de grosor, se encontró abundante cerámica del periodo Clásico Temprano y Tardío. Al estar el cuarto limpio, se pudo comprobar que una sección del muro este había sido mutilada al igual que el techo con el fin de rellenarlo y hacer una nueva construcción. Las tres puertas (WIT.L.03.12.13.14) también fueron rellenas con el mismo material. Los tres muros que se destaparon estaban recubiertos con una delgada capa de estuco, lo cual en muchas partes cayó.

El piso fue limpiado, removiendo una capa de tierra gris clara, en ciertas partes el piso estaba rajado y granulado, por lo cual, no fue bien fabricado. Cerca de la pared sur, el piso esta quemado, se tomó muestra de tierra con ceniza como también se tomó 3 muestras del piso. Se hizo un pozo de sondeo pegado a la pared oeste y puerta central este, con un aproximado de 1.54 m de largo en dirección norte-sur y un ancho de 1.00 m, dirección este-oeste. Debajo del piso se encontró un relleno y debajo de este otro piso (WIT.L.03.17) que estaba erosionado. Continuando se halló otra capa de relleno (WIT.L.03.18) y debajo una capa de 0.04 m de tierra o piso apelmazado (WIT.L.03.19), es una mezcla de tierra gris clara y blanca, pudo haber sido puesto para nivelar el relleno que sostenía el piso que se erosionó.

Dos rellenos más se localizaron, compuestos de bastante pedrín y piedras grandes de pedernal. Como el pedrín se encontraba muy suelto, en un momento en que se removían piedras del contexto WIT.L.03.21, mucho pedrín se cayó y reveló un muro de contención (WIT.L.03.22) construido con piedras de pedernal tanto grandes como pequeñas y algunas de lasca. Parece que cubre toda la extensión del muro oeste desconociéndose su altura. La excavación se detuvo en este punto, por lo tanto, no se conoce la profundidad del último relleno que se excavó. Como se mencionó al principio, la Estructura 9 presenta por ahora seis fases constructivas, en cuanto al cuarto, al no encontrarse bancas y las puertas fueron selladas con el relleno, se desconoce por el momento cuál fue su función (Figura 7.13).



Figura 7.13. Foto del cuarto de la Estructura 9, al norte se observa parte del relleno que se dejó, el piso rajado y granulado, y el relleno que cubre la puerta central-este (Foto de Bhanny Girón).

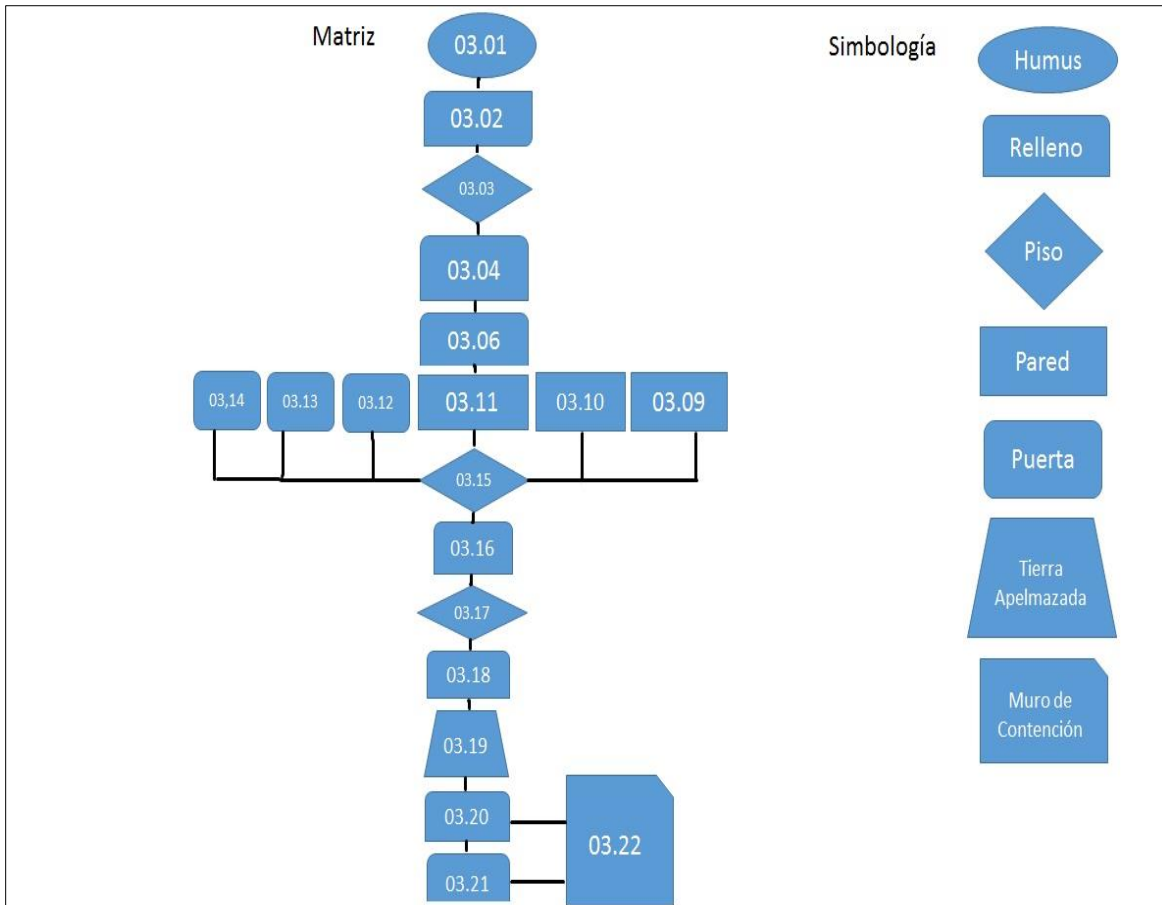


Figura 7.14. Matriz de Harris del contexto WIT.L.03 (Elaborado por Bhanny Girón).

## EXCAVACIÓN WIT.L.05, WITZNA'.

### INTRODUCCIÓN

La excavación WIT.L.05 se realizó en la esquina de la fachada noreste de la Estructura 8. Es una excavación de 3 x 1 m. Esta excavación se hizo ya que se observó en la estructura evidencia de una trinchera que posteriormente fue cerrada, por lo cual se buscaba determinar cuál fue la razón de cerrarla.

### DESCRIPCIÓN DE LA EXCAVACIÓN

Se inició la excavación removiendo el humus, contexto WIT.L.05.01, que es una capa de tierra color café oscuro, consistencia poco compacta, textura arenosa y suave, raíces delgadas (35%) y se integra por un 30% de cantos rodados pequeños. Al limpiar este contexto se halló tierra café oscura y piedras, contexto WIT.L.05.02.

El contexto WIT.L.05.02 consiste en tierra café oscura, de consistencia poco compacta, textura arenosa y semisuave, piedras de caliza (60%) de colapso, piedras pequeñas (25%) y raíces delgadas (15%). Debajo de este contexto se halla el contexto WIT.L.05.03, que consiste en tierra blanca de consistencia poco compacta, textura arenosa y suave, varias piedras de caliza (70%) de diferentes tamaños, medidas de 0.38 m de largo por 0.25 m de ancho, 0.27 m de largo por 0.18 m de ancho, piedras grandes de pedernal (30%), medidas de 0.55 m de largo por 0.09 m de ancho, pocas raíces.

Removido el contexto WIT.L.05.03 se encontró el contexto WIT.L.05.04. Este contexto consiste en tierra blanca de consistencia poco compacta, textura arenosa y suave, varias raíces (30%), piedras grandes y pequeñas de caliza (40%), se encontró cerámica y dos pedernales bifaciales (WIT.L.05.04.04.01.02, Figura 7.15). Se descubrieron tres bloques de piedra con estuco con las siguientes medidas: 1.-0.21 m de largo por 0.13 m de ancho, 2.-0.35 m de largo por 0.13 m de ancho, 3.-0.68 m de largo por 0.37 M. de ancho, posiblemente sea parte de una pared de bloques estucados.



Figura 7.15. Foto de 2 pedernales bifaciales, WIT.L.05.04.04.01.02 (Foto de Bhanny Girón).

Debajo del contexto WIT.L.05.04, se encuentra el contexto WIT.L.05.05, consiste en una pequeña capa de tierra caliza de consistencia poco compacta, textura arenosa y suave, raíces delgadas (13%). Este contexto es un piso estucado que está unido con el bloque grande de piedra también estucada que se encuentra en el contexto anterior. Tiene un grosor de 0.04 m, las raíces delgadas se han metido dentro del piso provocando su deterioro. Después de este contexto se realizó un pozo de sondeo de 0.87 m de largo este-oeste por 1.00 m de ancho norte-sur.

El contexto WIT.L.05.06, es tierra blanca, de consistencia no compacta, textura arenosa y suave, bastante piedra pequeña de pedernal (90%), piedras de varios tamaños de caliza (40%), bloques de piedra de caliza con medida de 0.54 m de largo por 0.19 m de ancho, utilizados para nivelar, cerámica del periodo Clásico Temprano y Tardío y un fragmento de obsidiana (WIT.L.05.06.05.01, Figura 7.16). Este contexto es un relleno que está sobre un muro (Figura 7.17)



Figura 7.16. Fragmento de obsidiana WIT.L.05.06.05.01 (Foto de Bhanny Girón).

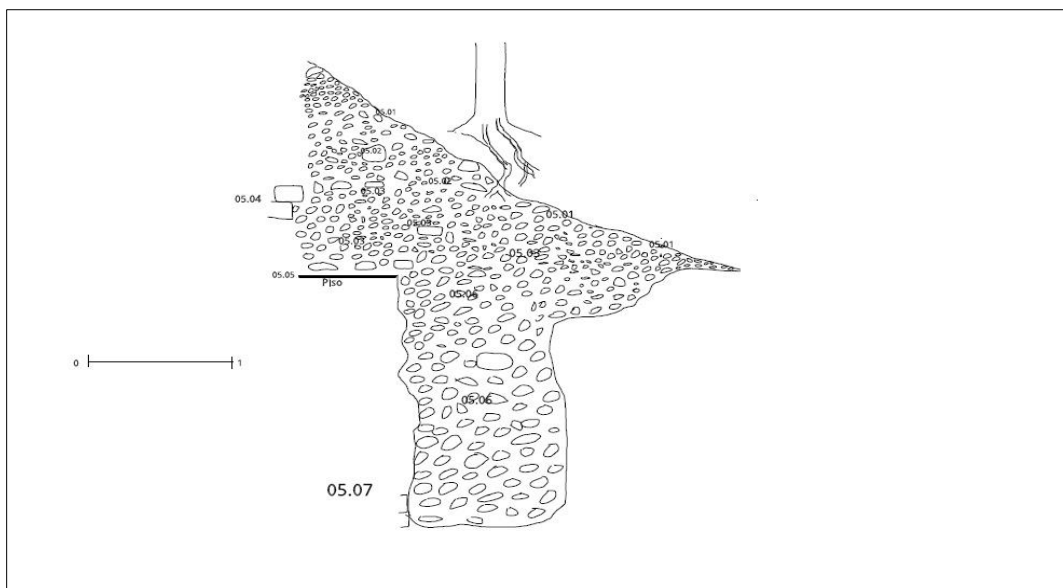


Figura 7.17. Dibujo del perfil oeste, Estructura 8, esquina noreste, con los contextos WIT.L.05.01.02.03.04.05.06.07. Escala 1:1 (Dibujo de Bhanny Girón).

El contexto WIT.L.05.07, consiste en tierra gris clara, de consistencia no compacta, textura arenosa y suave, pocas raíces (0.8%), piedras pequeñas de pedernal (80%) o piedrín, cerámica del periodo Clásico Temprano y Tardío. Este contexto es un muro de contención debajo de una parte del relleno (WIT.L.05.06) conformado por bloques de piedra con medida aproximada de 0.35 m de largo por 0.20 m de ancho. No se siguió excavando por lo tanto la profundidad del muro no se conoce (Figura 7.18).

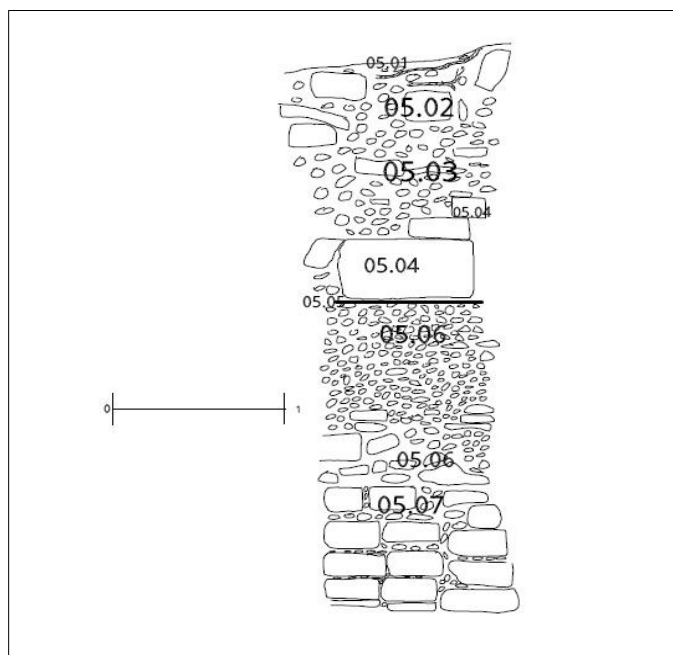


Figura 7.18. Dibujo del perfil sur, Estructura 8, esquina noreste, contextos WIT.L.05.01.02.03.04.05.06.07. Escala 1:1 (Dibujo de Bhanny Girón).

## CONCLUSIÓN

Esta excavación se realizó para descubrir por qué fue cerrada la trinchera de saqueo. Con esta excavación se evidenciaron tres fases de construcción. Los bloques de piedra pudieron haber sido parte de una pared estucada, el resto debió haberse destruido por causas naturales. Se pudo observar que donde se encuentra el bloque de piedra estucada más grande continúan otros bloques en esa línea. El piso que aún se conserva, empieza a destruirse de a poco, debido a que raíces muy delgadas se han metido dentro del mismo. Debajo de este piso se encontró una buena cantidad de piedrín o piedras pequeñas de pedernal, que son parte del relleno y la pared o muro de contención al sur, que se desconoce su extensión y profundidad.

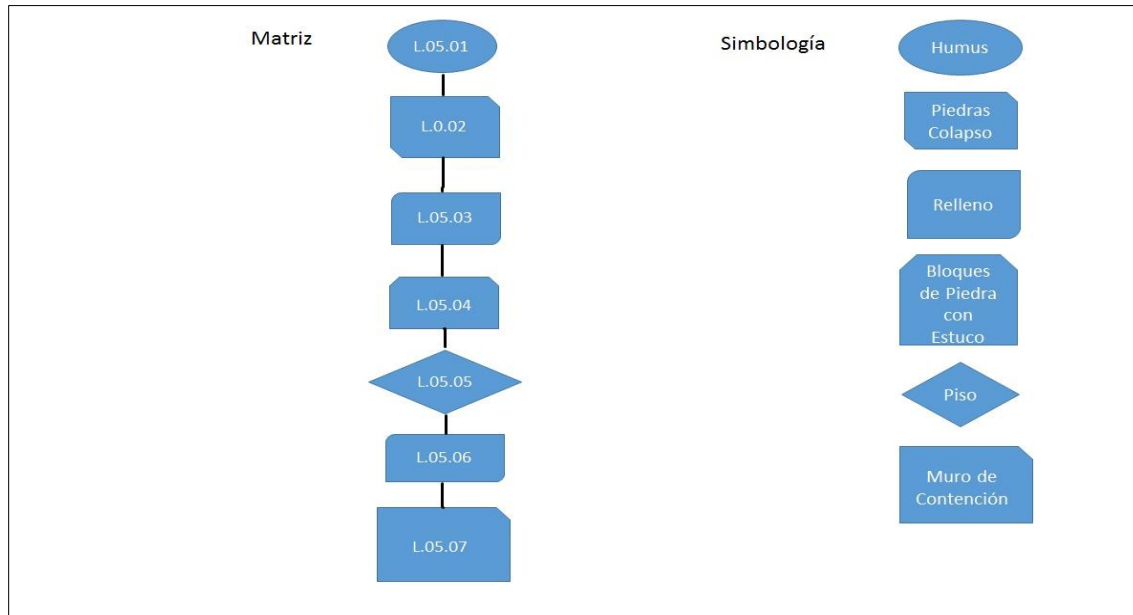


Figura 7.19. Matriz de Harris Estructura 8 del WIT.L.05 (Elaborado por Bhanny Girón).

## EXCAVACIÓN WIT.L.14, ESTRUCTURA 25, WITZNA'.

### INTRODUCCIÓN

La Estructura 25 es un edificio que fue muy saqueado y en este se encuentra una pequeña tumba que fue saqueada. Las paredes norte y oeste del cuarto de la tumba presentan agujeros de destrucción. No se hizo excavación solo limpieza, la estructura contiene varios murciélagos que habitan dentro y el olor a guano es fuerte.

### DESCRIPCIÓN DE LA EXCAVACIÓN

Se comenzó retirando ramas caídas, hojas, raíces, ya que esta parte de la estructura está expuesta. El contexto WIT.L.14.01 es humus de tierra café oscura, de consistencia no compacta, textura arenosa y suave, piedras de colapso de tamaños grandes (90%) y pequeñas (40%), bloques de piedra de derrumbe y saqueo, hojas sueltas y varias raíces (60%).

Continuo al humus y parte del saqueo se encuentra el contexto WIT.L14.02, que consiste en tierra café oscura mezclada con tierra blanca, de consistencia no compacta, textura arenosa y suave. Bloques de piedra de caliza con medida de 0.60 m de largo por 0.20 m de ancho, piedras de relleno (40%), raíces (20%). El contexto presenta restos de un muro, posible última fase de ocupación, que fue destruida por los saqueadores. Debajo de las piedras de relleno del contexto WIT.L14.02 se encuentra el contexto WIT.L14.03. Consiste en una capa delgada de tierra blanca de consistencia no compacta, textura arenosa y suave. Este contexto es un piso estucado con un grosor de 0.02 m y se encuentra destruido.

Debajo de este piso estucado se halla el contexto WIT.L14.04, que consiste en tierra blanca o caliza de consistencia no compacta, textura arenosa y suave, piedras de pedernal (30%) y piedrín (70%). Este contexto es un relleno que sirve de sostén del piso estucado (WIT.L14.03). Debajo de este relleno se encuentra el contexto WIT.L14.05, que consiste en una delgada capa de tierra blanca, de consistencia no compacta, textura arenosa y suave. Este contexto es un piso estucado de un grosor de 0.02 m se encuentra destruido, posiblemente fue el piso de la penúltima fase de ocupación.

Abajo de este piso se encuentra el contexto WIT.L14.06, que consiste en tierra blanca de consistencia no compacta, textura arenosa y suave, piedras de pedernal (40%), piedrín (50%), pequeñas piedras de caliza (30%). Este contexto es un relleno que sirvió de sostén para el penúltimo piso, los saqueadores hicieron un boquete en su búsqueda, sin embargo, no penetraron más al ver que solo era relleno de piedrín y tierra blanca (Figura 7.20).



Figura 7.20. Contexto WIT.L14.06, relleno compuesto de piedrín, piedras de pedernal y caliza, destrucción hecha por los saqueadores donde intentaron entrar y se detuvieron (Foto de Bhanny Girón).

Hacia el oeste se encuentra el contexto WIT.L14.07, consiste en bloques grandes de piedra con una medida de 0.58 m de largo por 0.32 m de ancho aproximado. Se encuentran casi debajo del contexto WIT.L14.09 posiblemente estos bloques fueron usados como un descansadero. Siguiendo la misma dirección oeste aparece el contexto WIT.L14.08, tierra blanca con negra, de consistencia no compacta, textura arenosa y suave, piedrín (30%), piedras calizas (25%), hay dos bloques grandes de piedra con una medida aproximada de 0.48 m de largo por 0.26 m de ancho. Este contexto es un relleno que al parecer fue utilizado para sostener el techo.

Debajo de este relleno se encuentra el contexto WIT.L14.09, que está conformado por dos bloques de piedra que son las gradas, con una medida aproximada de 0.65 m de largo por 0.35 m de ancho, hay una tercera que se encuentra muy erosionada, tienen una capa delgada de estuco en la parte superior, este rasgo parece corresponder a la antepenúltima fase de ocupación.

Estas gradas están casi cerca de los bloques de piedra del contexto WIT.L.14.07. Debajo de este contexto se halla el contexto WIT.L.14.10, está conformado por varios bloques de piedra con estuco de color rojo, con medidas aproximadas de 0.70 m de largo por 0.14 m de ancho, 0.57 m de largo por 0.11 m de ancho, tiene alrededor piedras de relleno. Este contexto posiblemente fue parte de una pared estucada de color rojo que con el tiempo se le cayó, dejando expuestos los bloques y el relleno.

En dirección oeste se halla el contexto WIT.L.14.11, que corresponde a tierra café oscura de consistencia no compacta, textura arenosa y suave, mezclado con pedrín (85%). Contiene varios bloques de piedra, algunos con estuco color rojo; estos bloques son de piedra caliza y de pedernal, las medidas aproximadas de estos bloques son de 0.65 m de largo por 0.17 m de ancho. Este contexto es un relleno que está debajo del techo y termina a nivel de planta (Figura 7.21).

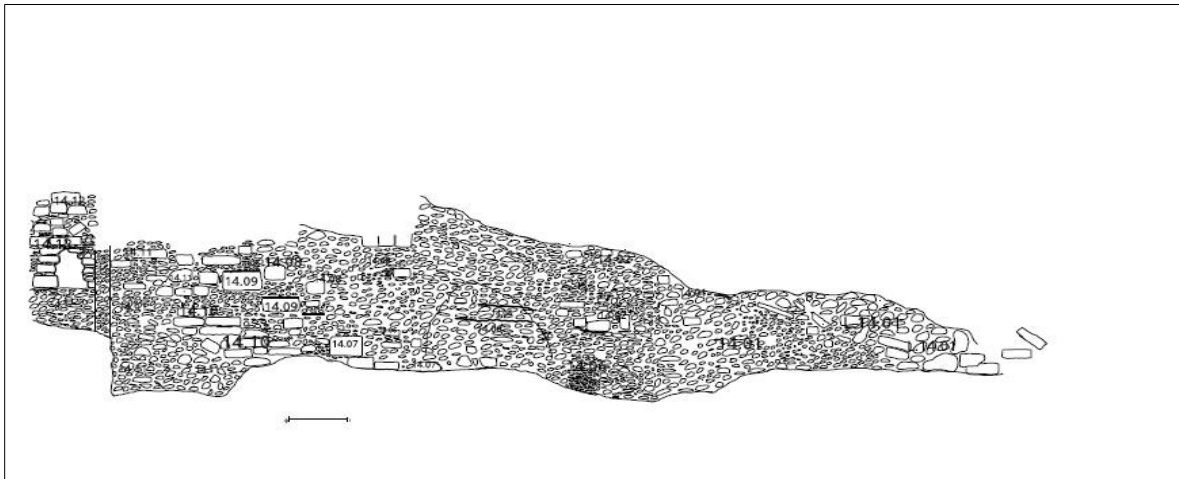


Figura 7.21. Dibujo del perfil norte, Estructura 25 de este a oeste tiene 16.50 m, contextos WIT.L.14.01.02.03.04.05.06.07.08.09.10.11.12. Se observa el agujero hecho en la pared norte del cuarto de la tumba WIT.L.14.12. Escala 1:1 (Dibujo de Bhanny Girón).

El contexto WIT.L.14.12 corresponde a tierra café oscura de consistencia húmeda y seca, textura arenosa, restos de excremento de murciélago (55%). Este contexto es una pequeña tumba que fue saqueada, la fachada de la pared norte como la oeste presentan una abertura de saqueo. Las paredes de la tumba están construidas por bloques de piedra caliza, con una medida aproximada de 0.32 m de largo por 0.18 m de ancho, 0.37 m de largo por 0.14 m de ancho, relleno de piedras de pedernal (90%) mezclado con tierra café oscura (30%). Sobre el suelo de la tumba hay piedras de pedernal de diferentes tamaños (35%), pocos tiestos cerámicos que se dejaron *in situ*. El agujero de la tumba tiene una dimensión de norte-sur de 0.78 m por 0.87 m este-oeste y una profundidad de 0.18 m. Detrás de los agujeros que hicieron los saqueadores en las paredes norte y oeste, se observó un relleno de piedras de caliza y de pedernal (Figura 7.22).

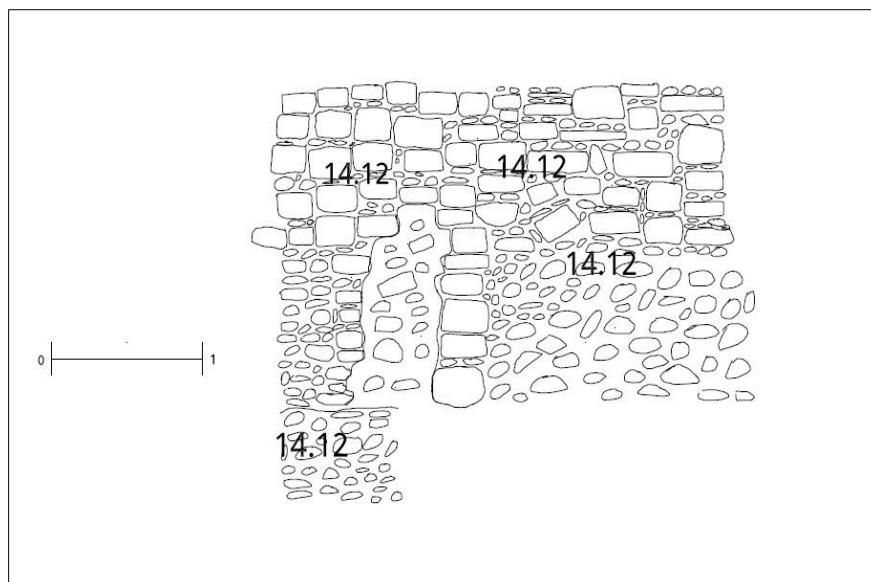


Figura 7.22. Perfil de la pared oeste, Estructura 25, cuarto de la tumba, contexto WIT.L.14.12. Al igual que la pared norte, presenta un agujero de saqueo. Escala 1:1 (Dibujo de Bhanny Girón).

## CONCLUSIÓN

En la Estructura 25 se pudieron observar aproximadamente nueve fases constructivas, evidencia dejada por los saqueadores. Todo el contexto WIT.L.14.01 aparte del humus fueron los bloques, piedras de relleno que dejaron los saqueadores al momento de ir destruyendo la que posiblemente fue una pared (WIT.L.14.02). Siguiendo el relleno, destruyeron parte de dos pisos (WIT.L.14.03, WIT.L.14.05), donde encontraron rellenos de piedras de pedernal (WIT.L.14.04, WIT.L.14.06) y de caliza, hicieron un agujero en este último contexto en el perfil norte de la estructura, deteniéndose al ver que sólo continuaba el relleno.

El contexto WIT.L.14.07 son bloques de piedra que se relacionan con el relleno de WIT.L.14.08, es probable que estos bloques fueron colocados a ras de suelo para soporte del relleno que sostendría el techo. El WIT.L.14.09 son gradas al parecer de la antepenúltima fase de ocupación, el contexto WIT.L.14.10 son bloques de piedra caliza con estuco color rojo, están debajo de las gradas que fueron cubiertas por estas y por relleno, por la forma que se encontraban, pudo haber sido una pared estucada de otra fase constructiva y al momento de rellenar para colocar las gradas fue parcialmente destruida. El contexto WIT.L.14.11 es un relleno que al principio se colocó detrás de WIT.L.14.10 o formaba parte y después se agregó más para las gradas.

El contexto WIT.L.14.12 que es todo el cuarto de la tumba, mostraba paredes con bloques bien colocados, mezclados con tierra café oscura, sufrió daños en sus paredes norte y oeste, con dos aberturas, donde los saqueadores solo vieron qué había atrás. Al hacer una revisión de estas oquedades se encontró que era otro relleno de bloques de caliza y de pedernal, tierra café oscura. Esta tumba fue saqueada a excepción de unos fragmentos cerámicos, estos tiestos no fueron removidos de su lugar. Se encontraban muchos murciélagos que habitaban el cuarto, el olor era fuerte por la cantidad de excremento, provocando mucha humedad en algunas partes de las paredes y del cuarto.

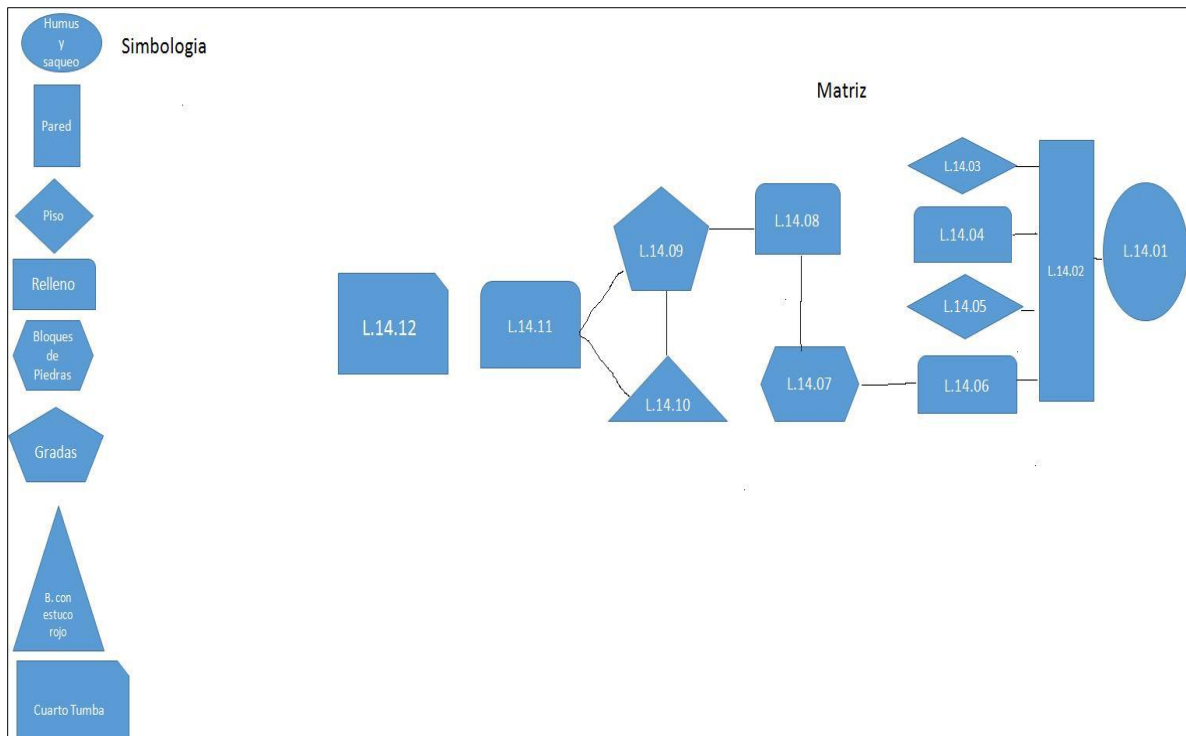


Figura 7.23. Matriz de Harris de la Estructura 25, WIT.L.14 (Elaborado por Bhanny Girón).

## EXCAVACIÓN WIT.T.10, WITZNA'.

### INTRODUCCIÓN

Se realizó la excavación WIT.T.10 con un pozo de sondeo de 2 x 2 m cerca de la cara norte de la Estructura 23, con el objetivo de encontrar un piso y llegar a la roca madre. La Estructura 23 tiene forma de L, que mide 41 m en su parte más larga por 17.50 m en su parte más corta y 33 m de largo en su fachada norte.

### DESCRIPCIÓN DE LA EXCAVACIÓN

Se inició la excavación trazando los 2 x 2 m, removiendo el humus, contexto WIT.T.10.01, consiste en tierra gris oscura, de consistencia compacta, textura arenosa y mojada, hojas sueltas (60%) troncos caídos (35%), raíces delgadas y pequeñas (40%), gusanos de rosca (0.02%) (Figura 7.24).



Figura 7.24. Contexto WIT.T.10.01, humus (Foto de Bhanny Girón).

Debajo del contexto WIT.T.10.01 se encuentra el contexto WIT.T.10.02, que consiste en tierra gris oscura, de consistencia compacta, textura arenosa y pastosa, bastantes raíces delgadas (90%) y gruesas (25%), pequeñas piedras de caliza (30%) y pedernal (30%), piedras de lasca (50%). Este contexto es un relleno en el cual se encontró cerámica del periodo Clásico Temprano y Tardío, una pieza de pedernal bifacial y dos navajas de pedernal WIT.T.10.02.04.01.02.03 (Figura 7.25).



Figura 7.25. Pedernal bifacial y navajas de pedernal WIT.T.10.02.04.01.02.03 (Foto de Bhanny Girón).

Seguido del contexto WIT.T.10.02 se halla el contexto WIT.T.10.03, que consiste en tierra gris clara, de consistencia no compacta, textura suave y arenosa, raíces (60%), piedras de regular tamaño (55%) con una medida de 0.17 m, bastante pedrín de pedernal (100%). Este contexto es un relleno donde se encontró bastante cerámica del periodo Clásico Temprano y Tardío, fragmentos de obsidiana (WIT.T.10.03.05.01.02.03) (Figura 7.26) y un fragmento de figurilla zoomorfa (WIT.T.10.03.03.01) (Figura 7.27).



Figura 7.26. Tres fragmentos de obsidiana WIT.T.10.03.05.01.02.03 (Foto de Bhanny Girón).



Figura 7.27. Fragmento de figurilla zoomorfa, parece ser un ave WIT.T.10.03.03.01 (Foto de Bhanny Girón).

Seguido del contexto WIT.T.10.03 se encuentra el contexto WIT.T.10.04, que consiste en tierra blanca de consistencia poco compacta, textura arenosa y suave, raíces delgadas (25%), piedras de pedernal de regular tamaño (45%) y pequeñas (55%), piedras de caliza (20%), piedras de lasca (50%). Este contexto es un relleno, se encontró cerámica y un fragmento de figurilla WIT.T.10.04.03.01 (Figura 7.28).



Figura 7.28. Fragmento de figurilla, parece ser parte de una oreja, WIT.T.10.04.03.01 (Foto de Bhanny Girón).

Debajo de este contexto se halla el contexto WIT.T.10.05, que consiste en tierra roja de consistencia muy compacta, textura pastosa mezclada con tierra gris clara, de consistencia compacta, piedras de pedernal de regular tamaño (45%) y tamaño pequeño (38%), piedras de lasca (75%) y raíces delgadas (49%). Este contexto es un relleno, hasta este punto se detuvo la excavación. No se halló piso y no se alcanzó a llegar a la roca madre que se encontraba posiblemente a otros 2 o 3 m de profundidad (Figuras 7.29 y 7.30).

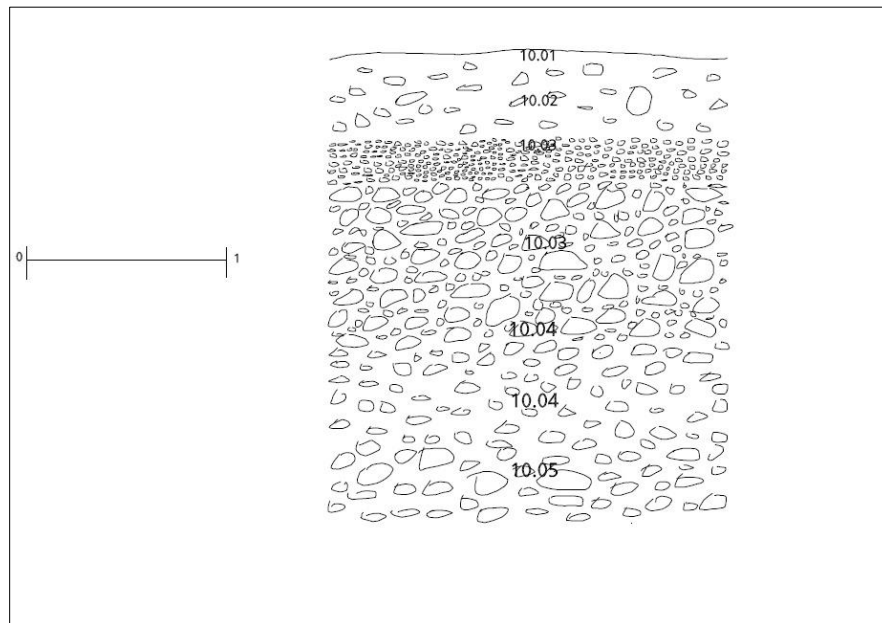


Figura 7.29. Perfil sur de la excavación WIT.T.10 con los contextos WIT.T.10.01.02.03.04.05 Escala 1:1 (Dibujo de Bhanny Girón).

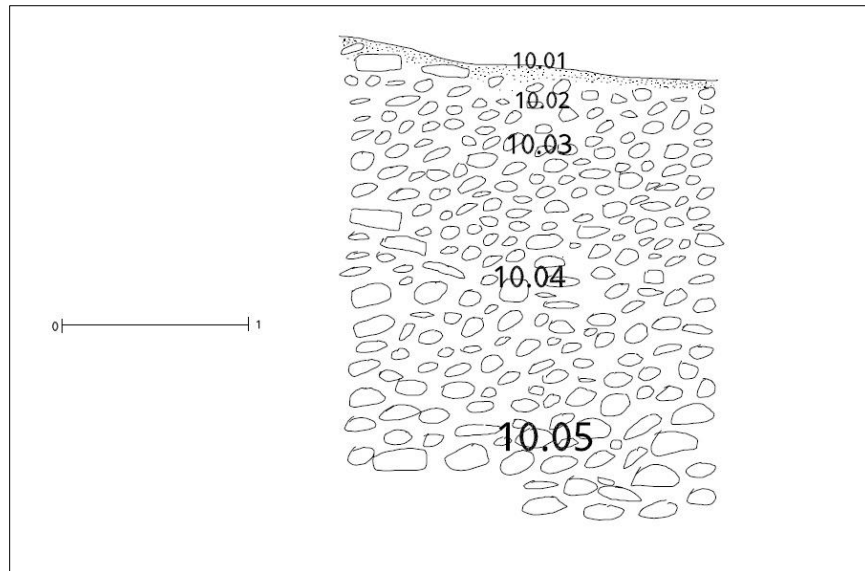


Figura 7.30. Perfil oeste de la excavación WIT.T.10, con los contextos WIT.T.10.01.02.03.04.05. Escala 1:1 (Dibujo de Bhanny Girón).

## CONCLUSIÓN

El sector donde se realizó el pozo de sondeo demostró ser un área de relleno de pedrín de pedernal y algunas piedras de caliza, utilizado para nivelar el terreno, partiendo de la roca madre mezclada al inicio probablemente con tierra roja muy compactada. El siguiente estrato fue un relleno de tierra blanca de textura arenosa y suave hasta llegar a tierra café oscura. Después del contexto WIT.T.10.05 es posible que la roca madre esté a 2 o 3 m.

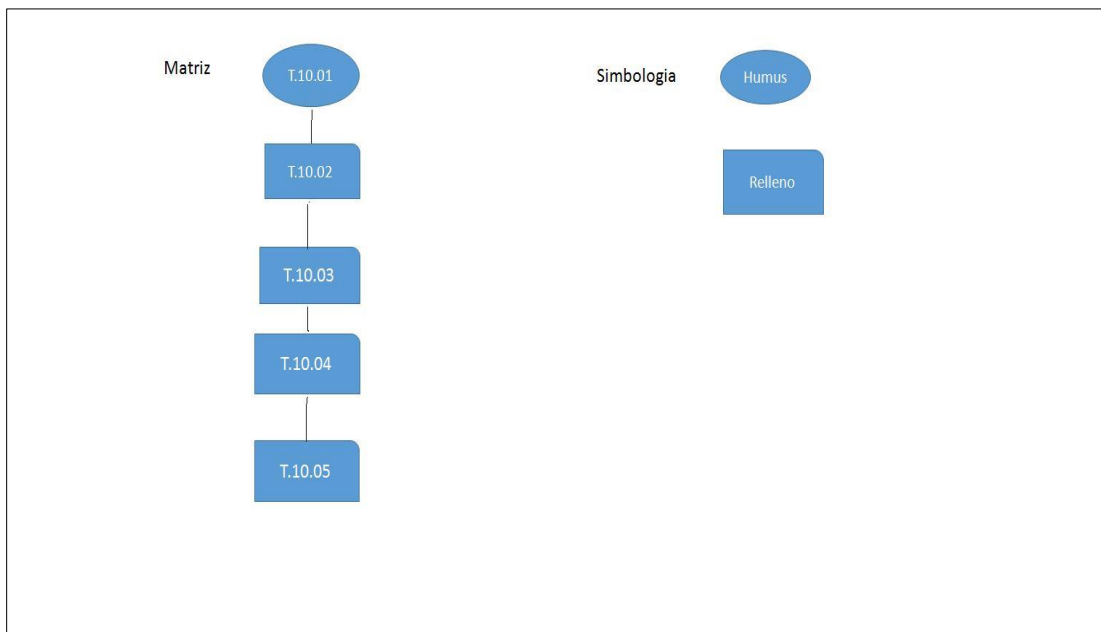


Figura 7.31. Matriz de Harris WIT.T.10 (Elaborado por Bhanny Girón).

## CAPÍTULO 8

### EXCAVACIÓN WIT.L.09, ESTRUCTURA 16, WITZNA'.

*Mario Penados*  
*Centro Universitario de Petén*

#### INTRODUCCIÓN

El registro WIT.L.09 se efectuó con el propósito de determinar las características constructivas e investigar la cronología de ocupación de la Estructura 16 de Witzna' ubicada en la Plaza Este. Es un registro de trinchera de saqueo que mide aproximadamente de 7 a 8 m. La trinchera de saqueo está orientada del sureste al noroeste con una desviación aproximada hacia el norte de 15° a 20°, la trinchera de saqueo se localiza en el extremo este de la estructura. A través del saqueo se pudo observar tres fases constructivas, dos muros escasamente separados, tres pisos y un posible cuarto, relleno de piedra de pedernal y como relleno de nivelación tierra gris con piedra caliza pequeña.

#### DESCRIPCIÓN DE LA EXCAVACIÓN

Se inició la extracción del material de relleno de saqueo removiendo el humus, contexto WIT.L.09.01 que es una capa de 0.05 m. de espesor sobre toda la trinchera de saqueo con una inclinación de aproximadamente 10 grados de este a oeste, es de color café oscuro, consistencia poco compacta, de material orgánico y se integra por un 90 % de material orgánico y raíces finas y un 10% de piedras de pedernal pequeñas.

Al removerse este contexto se encontró debajo de ello un relleno de piedra caliza y tierra gris, que se considera colapso dentro del relleno, contexto WIT.L.09.02. AL quitar el colapso y el relleno del saqueo, que consiste en piedras de tamaño mediano y grande el cual hace un 85% y un 15% del relleno del saqueo, posteriormente se notó un muro mutilado por los saqueadores, muro exterior, WIT.L.09.03. (Figura 8.1).



Figura 8.1. Muro de contención de la fase III, WIT. L.09.03, su orientación es norte-sur.

La excavación presenta un relleno entre el muro inicial y el piso una piedra de pedernal pequeña y de tamaño considerable, WIT.L.09.04. El contexto WIT.L.09.05, corresponde al piso sobre la pared, este piso es de la fase III, posiblemente de la última ocupación. El contexto WIT.L.09.06, corresponde al muro de piedra caliza con orientación este-oeste, el muro está bien definido, con una desviación noroeste de 8° grados (Figura 8.2).



Figura 8.2. Muro que corresponde a la fase II con orientación de 8° noroeste, posiblemente forma parte de un cuarto, WIT.L.09.06.

El contexto WIT.L.09.07 es un relleno ubicado en la parte oeste de la excavación y está formado por bloques de piedra caliza. Posteriormente al relleno anterior, se localiza el segundo piso que corresponde a la fase II y está en malas condiciones, el piso tiene un espesor aproximado de 0.10 m. contexto WIT.L.09.08. El contexto WIT.L.09.09 corresponde al relleno de piedra caliza pequeña que se localiza entre pisos (Figura 8.2). Contexto WIT.L.09.10 corresponde al piso de la fase I el cual tiene un espesor de 0.10 m. de espesor, el piso presenta deterioro y no tiene estuco (Figura 8.2).

El contexto WIT.L.09.11 es el relleno de piedra de pedernal de diferentes tamaños, no tiene mezcla y la piedra está suelta. El material que se localiza debajo de este relleno es de tierra gris con piedra caliza pequeña y bien compacta, WIT. L.09.12. El saqueo no llegó a la roca madre debido a que la profundidad del relleno de tierra gris es de 2.34 m del nivel de la fase II (Figura 8.3).



Figura 8.3. Este relleno está compuesto de piedra de pedernal y tierra gris apisonada posiblemente de nivelación antes de la roca madre, WIT.L.09.11 y WIT.L.09.12.

## CONCLUSIÓN

El trabajo realizado en WIT:L.09, presenta las siguientes características: Se observó un relleno de nivelación, posiblemente desde la roca madre, este relleno WIT:L.09.12 está antes del relleno de piedra de pedernal de diferentes tamaños WIT.L.09.11, es piedra acomodada y suelta, posteriormente se encuentra el primer piso de la fase I WIT.L.09.10, es de mala calidad y está separado del segundo piso de la fase II por un relleno de piedra caliza pequeña WIT.L.09.09 que se localiza entre pisos y posterior a él se localiza el segundo piso de la fase II, WIT.L.09.08 de igual manera se encuentra muy deteriorado y mutilado por los saqueadores.

Luego se encuentra un relleno de block de piedra caliza que se localiza en la parte oeste de la trinchera WIT.L.09.07, encima del segundo piso que corresponde a la fase II se localiza una pared de piedra caliza orientada este-oeste bien definida con una desviación de ocho grados noroeste WIT.L.09.06 y sobre la pared se localiza el tercer piso que corresponde a la fase III WIT.L.09.05. Entre el muro exterior y el piso de la fase III se localiza un relleno de piedra de pedernal pequeña de unos 0.05 a 0.10 m de espesor y algunas piedras de tamaño considerado de aproximadamente 0.15 a 0.20 m de espesor, WIT.L.09.04.

Después se localiza el muro exterior, posiblemente de contención de piedra caliza WIT.L.09.03 y posterior al muro, el material de colapso WIT.L.09.02 y por último se encuentra el humus, material orgánico con raíces WIT.L.09.01. Es importante mencionar que la cerámica que se encontró fue dentro de la trinchera de saqueo y no en cada fase constructiva. Para el registro de la trinchera de saqueo, se dibujó la planta, perfil norte y perfil sur del saqueo (Figura 8.4, Figura 8.5, Figura 8.6) y por último la Matriz de Harris en donde se observa la secuencia de la excavación (Figura 8.7).

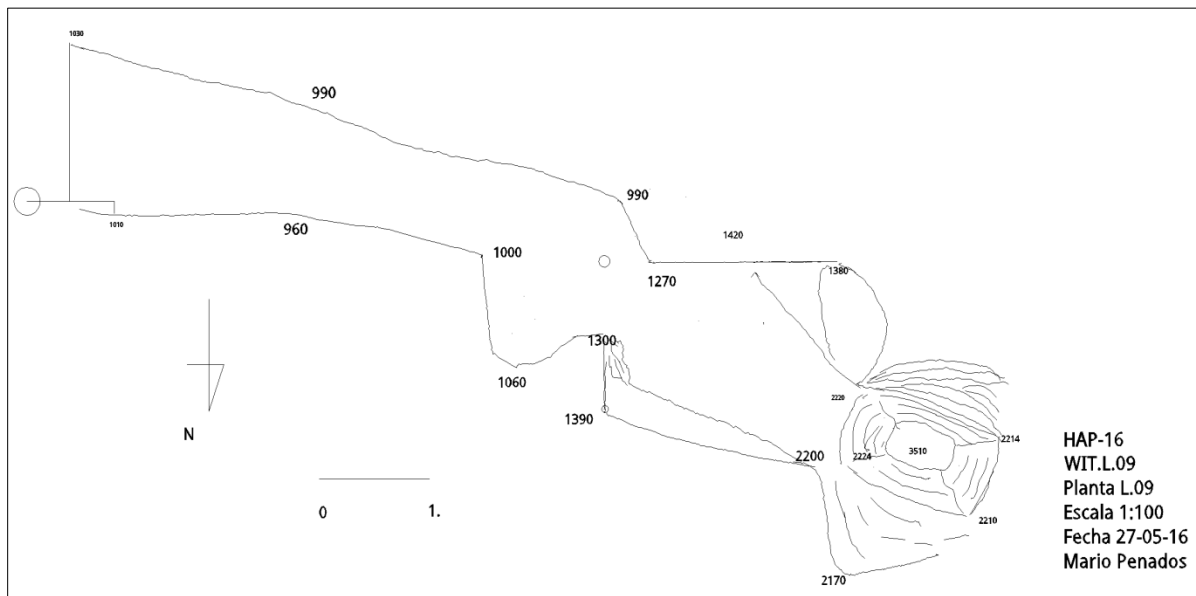
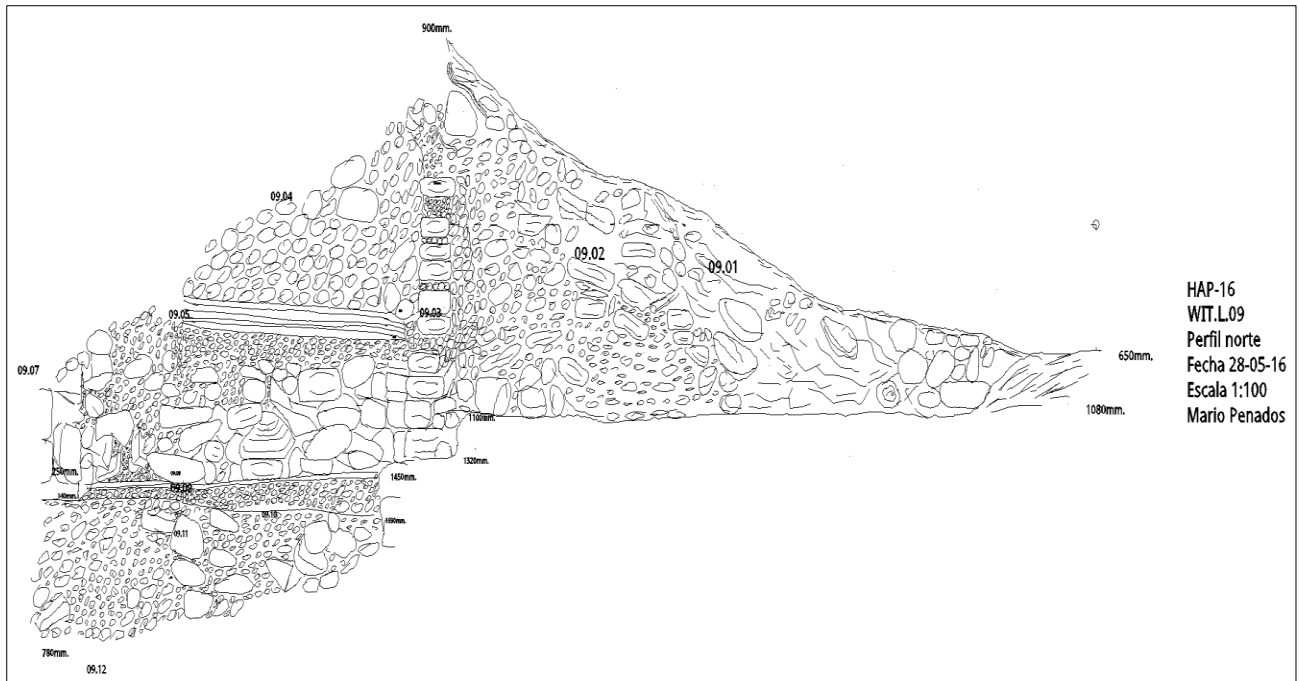
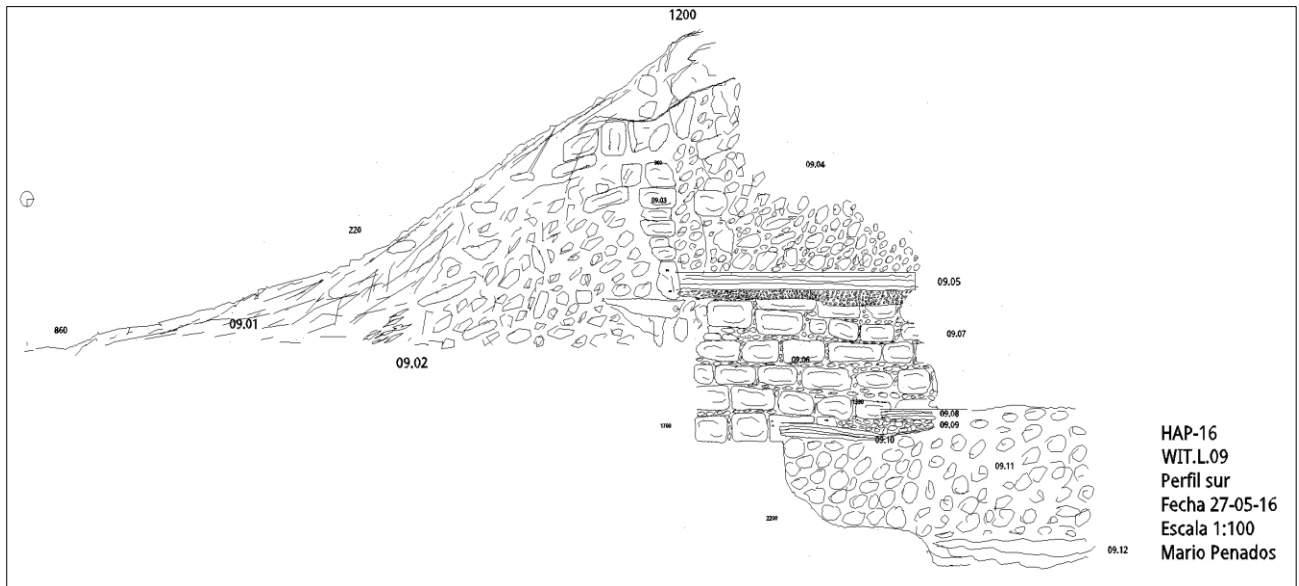


Figura 8.4. Planta de trinchera de saqueo en donde se muestra la orientación de la misma, el inicio del muro exterior (lado norte), muro interior (lado sur) y el saqueo vertical (lado oeste).



HAP-16  
WIT.L.09  
Perfil norte  
Fecha 28-05-16  
Escala 1:100  
Mario Penados

Figura 8.5. El perfil de la trinchera corresponde a WIT.L.09, perfil norte, presenta las características constructivas del montículo.



HAP-16  
WIT.L.09  
Perfil sur  
Fecha 27-05-16  
Escala 1:100  
Mario Penados

Figura 8.6. Perfil sur de la trinchera WIT.L.09 en la cual se observa un colapso, un muro exterior, relleno de piedra de pedernal, piso de la fase III, un muro, piso de la fase II, piso de la fase I, relleno de piedra de pedernal y relleno de tierra gris apisonada y el saqueo.

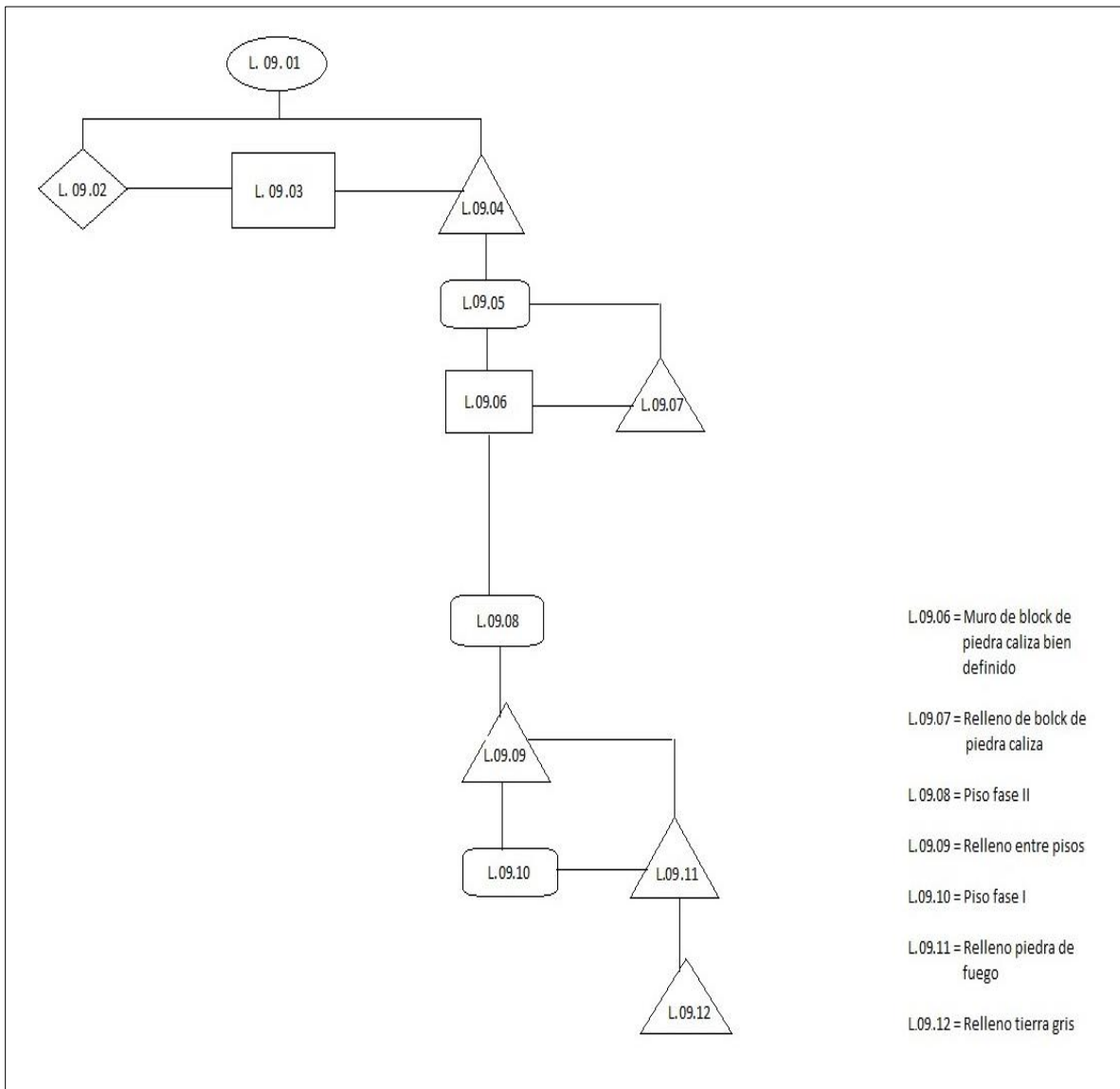


Figura 8.7. Excavación WIT.L.09, Estructura 16. Matriz de Harris.

## EXCAVACIÓN WIT.T.03, PLAZA CENTRAL.

### INTRODUCCIÓN

La excavación correspondiente a WIT.T.03, la cual se ubica al sur de la plaza central, ésta se realizó con la finalidad de encontrar el acceso a la plaza norte la cual se encuentra frente al palacio Witzna'. A su inicio se ubicó el datum inicial y se orientó el pozo de sondeo el cual tuvo una dimensión de 2x2 m y luego se amplió dos metros más hacia el sur debido a los cuatros escalones que se localizaron, el espacio de trabajo tenia raíces grandes que se tuvieron que quitar para poder trabajar. La excavación se amplió 0.50 m más para localizar el piso de plaza y posteriormente se realizó un pozo de sondeo de 2 m por 0.50 m hasta llegar a la roca madre y poder determinar las características constructivas.

### DESCRIPCIÓN DE LA EXCAVACIÓN

La excavación se inicia con la orientación del área de trabajo y su respectiva limpieza de la superficie (humus) WIT.T.03.01, se recolectó cerámica, se llega a las escalinatas las cuales estaban cubiertas por el humus WIT.L.03.02. La excavación se continúa y a escasos 0.34 m se localizó el piso WIT.T.03.03.

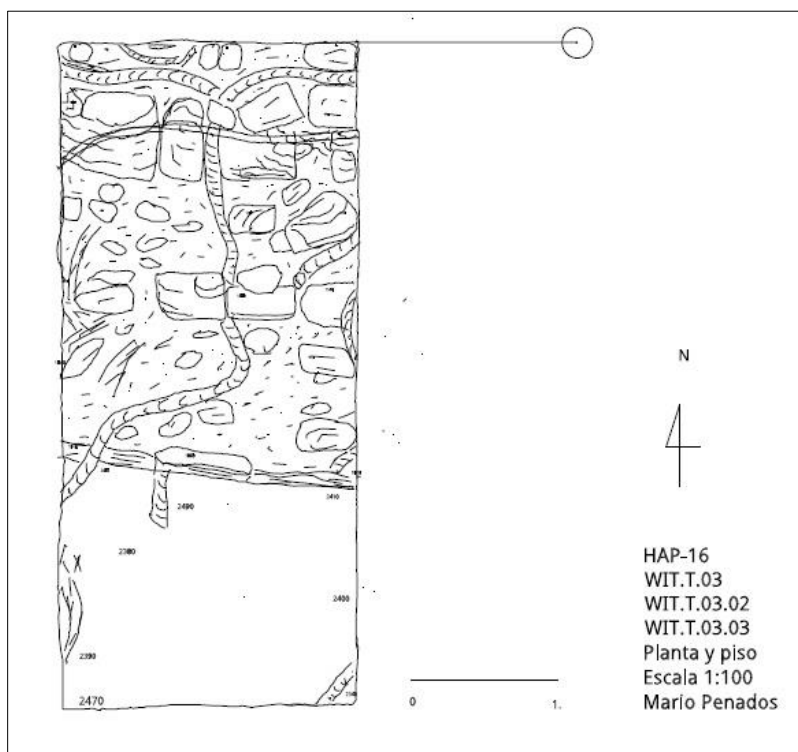


Figura 8.8. La planta corresponde a los contextos WIT.T.03.02 y WIT. T.03.03, representa las escalinatas erosionadas y el piso sin estuco.

Se procede a continuar excavando y se llega a otro piso, éste es piso sobre piso ya que no tiene ningún relleno alguno WIT.T.03.04, se procedió a su limpieza, registro y dibujo del piso. Se llegó al tercer piso el cual presenta las siguientes características: el piso del lado oeste está estucado mientras el lado este no tiene estuco y no es uniforme, debido a las raíces el piso presenta deterioro en una de sus partes (al norte y en la esquina suroeste así como a mediaciones del lado este, WIT.T.03.05 (Figura 8.9).

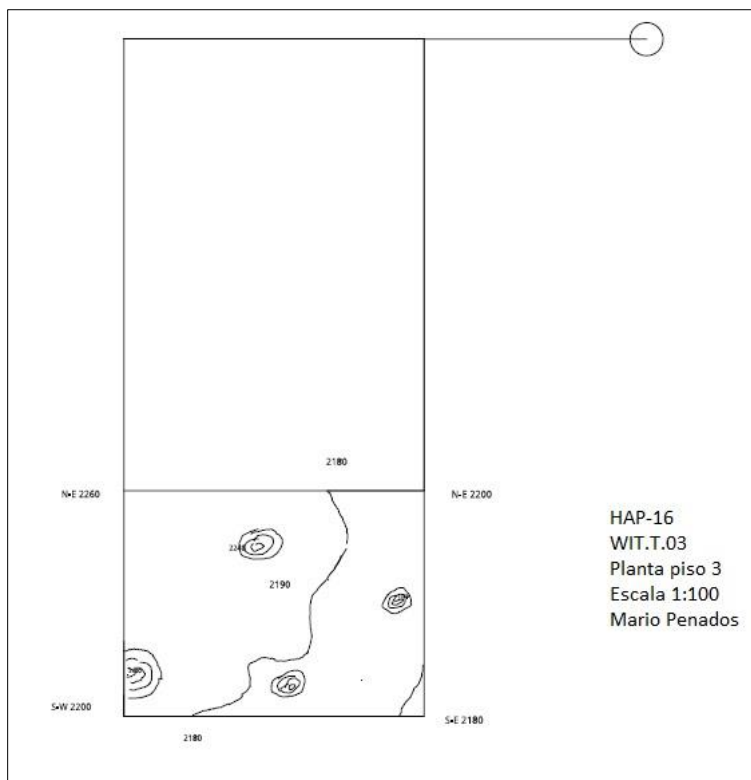


Figura 8.9. Este piso presenta estuco en el lado oeste y resanes en el lado este.

Se procedió a registrar el piso y continuar la excavación con un sondeo en las esquinas sureste y suroeste de la excavación y se llegó a relleno de material con piedra mediana para base de piso, WIT.T.03.06. Posteriormente a ello se localiza un relleno de piedra de pedernal mediana con un espesor aproximado de 0.43 a 0.48 m. WIT.T.03.07, se sigue excavando y se llega nuevamente a tierra apisonada, WIT.T.03.08; se llega a otro relleno de piedra de pedernal suelta, con un espesor aproximado de 1.48 m, dentro del relleno se localiza cerámica, WIT.T.03.09; se sigue la excavación y se llega a tierra gris apisonada con material calizo, WIT.T.03.10; posterior a este relleno de tierra gris apisonada se llega a roca madre a una profundidad de 3.30 m desde el humus WIT.T.03.11, se procedió a su limpieza, registro y fotografía respectiva (Figura 8.10).



Figura 8.10. Sondeo en el piso y los contextos registrados antes de llegar a roca madre.

Para finalizar la excavación se procedió a dibujar el perfil de la escalinata (Figura 8.11) y el perfil este de la excavación (Figura 8.12). Se procedió a rellenar la excavación.

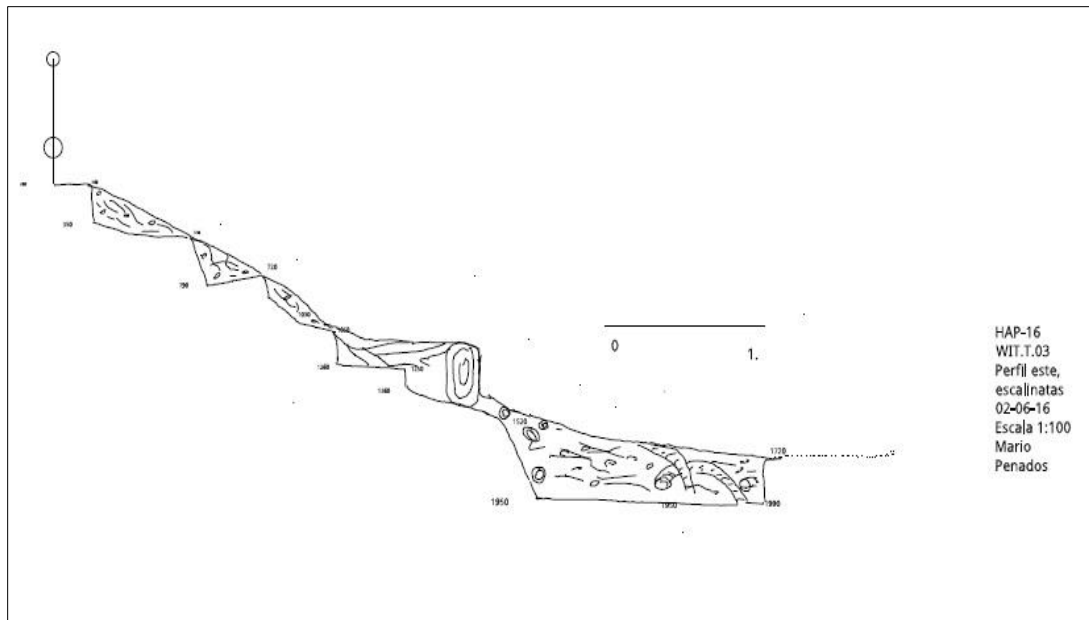


Figura 8.11. Perfil de las escalinatas ubicadas en el lado sur de la plaza de Witzna'.

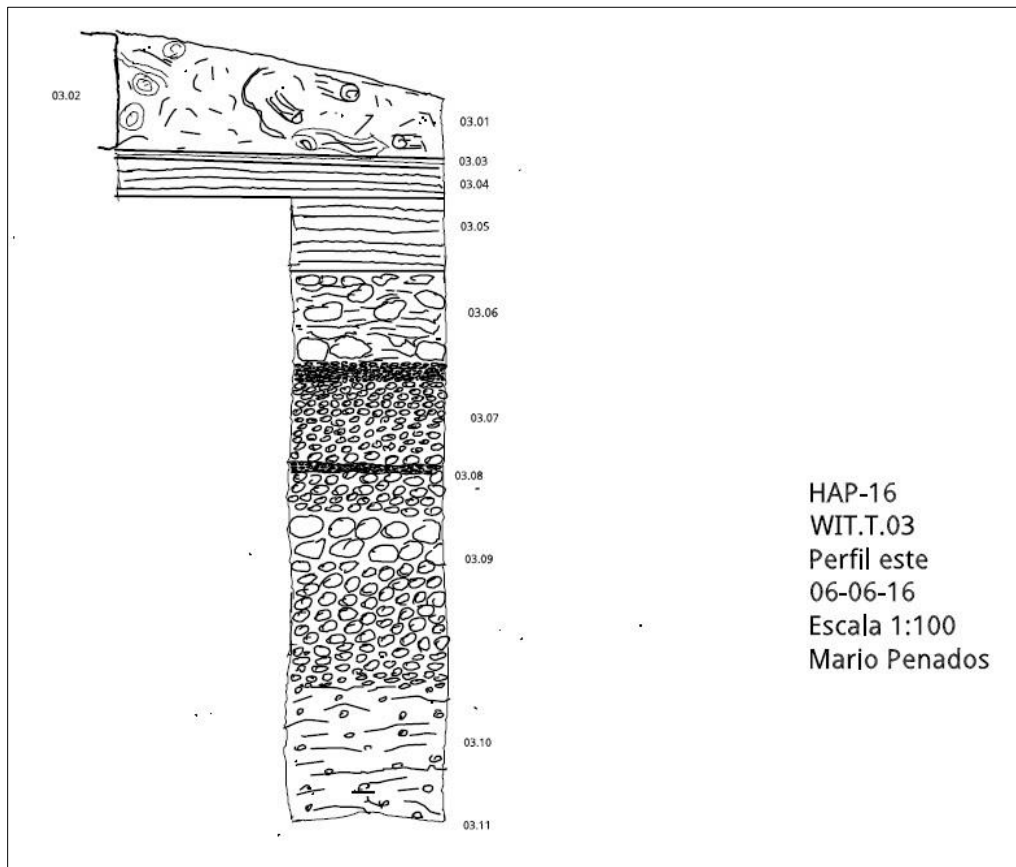


Figura 8.12. El perfil corresponde desde el área de pisos hasta roca madre.

## CONCLUSIÓN

La excavación WIT.T.03 presenta las características siguientes: la roca madre se encontró a una profundidad de 3.30 m WIT.T.03.11, sobre la roca madre se localizó tierra gris apisonada WIT.T.03.10, sobre esta capa se localizó un relleno de piedra de pedernal suelta de tamaño mediano y grande WIT.T.03.09, sobre esta piedra se encontró tierra gris apisonada con un espesor aproximado de 0.05 m. WIT.T.03.08, sobre la tierra gris apisonada se encontró otro relleno de piedra mediana WIT.T.03.07, sobre este relleno se localizó un relleno de caliza, piedra mediana y mezcla con un espesor aproximado de 0.40 m, posiblemente era el relleno para colocar el piso de plaza WIT.T.03.06, sobre éste relleno se localizó el piso de la fase I con un espesor aproximado de 0.15 m, estaba estucado y con resanes en la parte este WIT.T.03.05; sobre este piso se localizó el piso de la fase II, piso muy erosionado y sin estuco, con resanes en la parte norte WIT.T.03.04; el piso de la fase III era muy delgado parecía un apisonado de tierra estaba muy deteriorado y dañado por las raíces, este piso sostuvo la primera grada WIT.T.03.03; WIT.T.30.02 la cual estaba formada por cuatro escalones de acceso a la plaza y WIT.T.03.01 era el humus compuesto por material orgánico, raíces y la escalinata que prácticamente se localiza casi en la superficie. Después de obtener la información, dibujo y fotografía de la excavación, se procedió a rellenar la misma. Se elaboró la Matriz de Harris para relacionar los contextos (Figura 8.13).

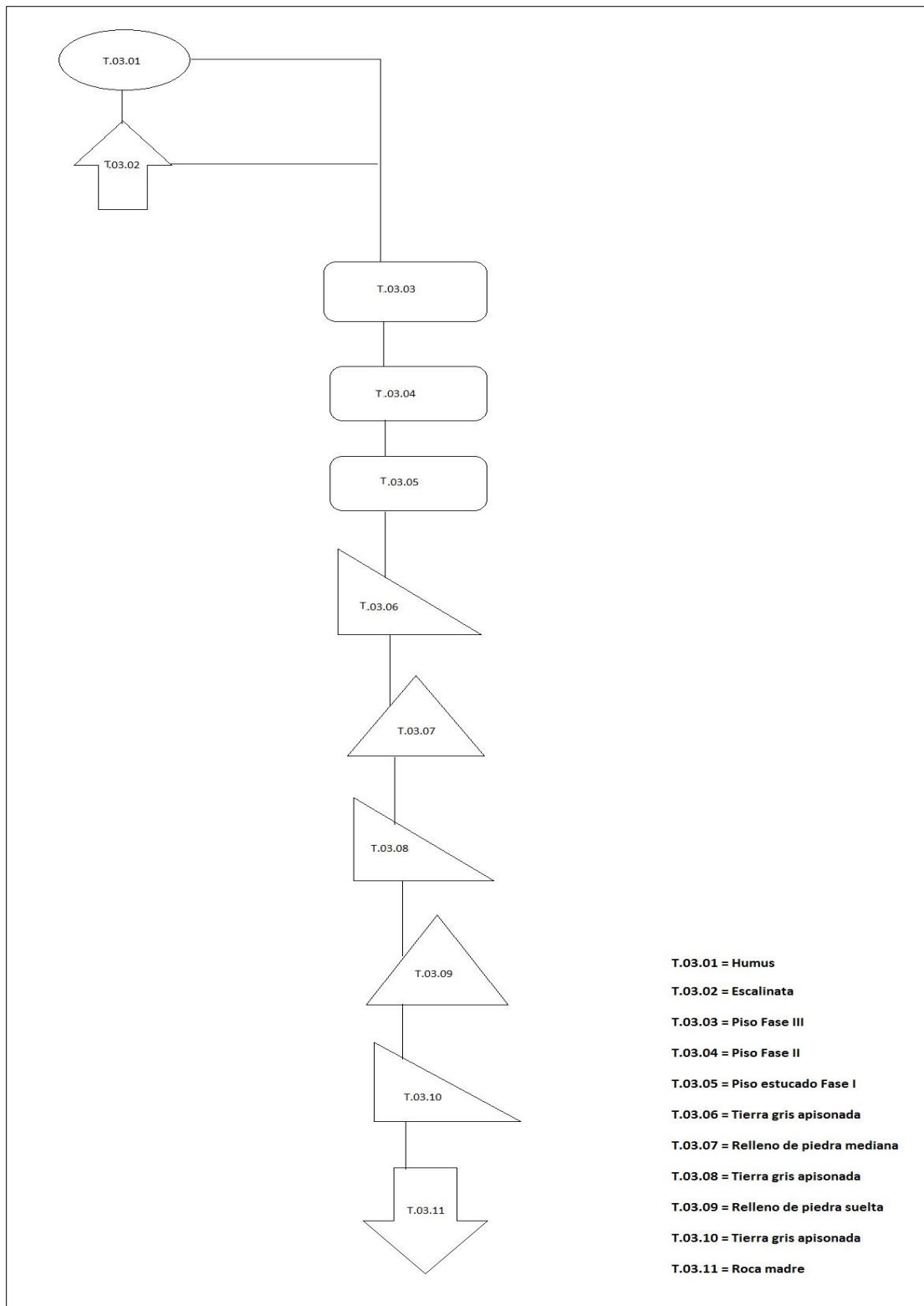


Figura 8.13. Excavación WIT.T.03, Plaza Central, Matriz de Harris.

## EXCAVACIÓN WIT.T.06, ESTRUCTURA 32.

### INTRODUCCIÓN

La excavación WIT.T.06, se ubicó frente a la Estructura 32, lado oeste. La investigación consistió en encontrar las escalinatas de la estructura. Se ubicó la excavación frente a la estructura, lado oeste, con las medidas de 2.00 por 2.50 m. Se limpió el área a excavar y se dibujó la planta inicial, se quitó el humus el cual tiene un espesor de 0.05 m, se encontraron dos descansos y no la escalinata, así mismo los descansos están sobre tierra gris apisonada, la excavación se amplió hacia el oeste para encontrar piso y se realizó un registro de 1x1 m. Se procedió a quitar dos bloques de los descansos para hacer un túnel sobre el piso y ver las características constructivas. El piso, en el interior de la excavación esta mutilado y sobre él un muro de contención con piedra de pedernal y caliza. El relleno detrás del muro es de piedra de pedernal con barro amarrado por capas de tierra gris apisonada hasta llegar a la roca madre.

### DESCRIPCIÓN DE LA EXCAVACIÓN

La excavación se ubicó frente a la Estructura 32, inicialmente sus medidas son de 2x2.5 m. El objetivo es encontrar las escalinatas del palacio; se procedió a limpiar y delimitar el área de trabajo, su limpieza y dibujo del mismo, se quitó el humus WIT.T.06.01 y se llega a tierra gris apisonada WIT.T.06.02 y dos descansos muy deteriorados WIT.T.06.03 (Figura 8.14).



Figura 8.14. Descansos de la Estructura 32, WIT.06.03.

Registrado el contexto anterior, se llega a tierra gris apisonada WIT.T.06.04, que cubre el piso de la fase II, WIT.T.06.05, debajo del piso se encuentra un relleno de tierra gris y piedrín WIT.T.06.06, al quitar el relleno se llega al piso de la fase I, WIT.T.06.07 (Figura 8.15) .



Figura 8.15. Piso de la fase I, esta parte del piso presenta resanes y debajo de los dos descansos el piso tiene estuco bien conservado, WIT.T.06.07.

Se procede a continuar con la excavación haciendo un túnel hacia el este, debajo de los descansos se nota el cambio de relleno que consiste en piedra caliza grande posiblemente de contención WIT.T.06.08. Se suspende la excavación y se realiza un registro de sondeo en el lado oeste de la excavación y se pudo notar que el piso de la fase I tiene un espesor aproximado de 0.15 a 0.16 m. y se llega a un relleno de barro café con piedra bien compactado WIT.T.06.09. Se deja el registro en el lado oeste de la excavación y se sigue el túnel, llegando a un muro de contención WIT.T.06.10, en esta parte el piso tiene un desnivel de 0.10 m. de inclinación hacia el este y esta mutilado debajo del muro (Figura 8.16).



Figura 8.16. La imagen presenta el muro de contención que se encuentra justamente donde está mutilado el piso estucado de la fase I, WIT.T.06.10.

Se registra el muro de contención y se continúa, el muro está sobre tierra gris apisonada, con un espesor aproximado de 0.15 m WIT.T.06.11. debajo de este relleno hay piedra de pedernal mediana con barro café y barro gris bien compactado WIT.T.06.12, se deja el pequeño registro de tierra gris apisonada y se continúa excavando hacia el este y el relleno que presenta después del muro es piedra de pedernal con barro café y barro gris bien compactado WIT.T.06.13.

Se deja de excavar hacia el este y se continúa excavando debajo de la tierra gris apisonada y se localiza un relleno de barro gris con piedra de pedernal juntamente con tierra caliza, una capa de tierra blanca, una cama de piedra y debajo piedra caliza WIT.T.06.14, posteriormente se encuentra una capa de tierra gris apisonada WIT.T.06.15; debajo piedra de pedernal y barro café WIT.T.06.16, se quita el relleno y se encuentra tierra caliza apisonada con un espesor aproximado de 0.15 m (muy suave) WIT.T.06.17, debajo de esta caliza apisonada surge otro relleno de piedra de pedernal y barro café WIT.T.06.18, nuevamente se encuentra tierra gris apisonada WIT.T.06.19, debajo de la tierra apisonada otro relleno de piedra de pedernal con barro café WIT.T.06.20, luego otra capa de tierra caliza apisonada con un espesor aproximado de 0.20 m WIT.T.06.21, debajo de la caliza apisonada un relleno de piedra de pedernal pequeña y barro café bien compactado WIT.T.06.22, debajo del relleno una capa de tierra caliza apisonada WIT.T.06.23, luego de la tierra gris apisonada una capa de tierra negra posiblemente barro muy bien compactada, no tiene la misma medida en las esquinas de la excavación WIT.T.06.24 y por último se localiza la roca madre WIT.T.06.25 (Figura 8.17).



Figura 8.17. Roca madre de la excavación WIT.T.06 a una profundidad de 2.88 m, contexto WIT.T.06.25.

Como paso final se procede a dibujar la planta (Figura 8.18) y el perfil sur de la excavación (Figura 8.19) y el relleno respectivo.

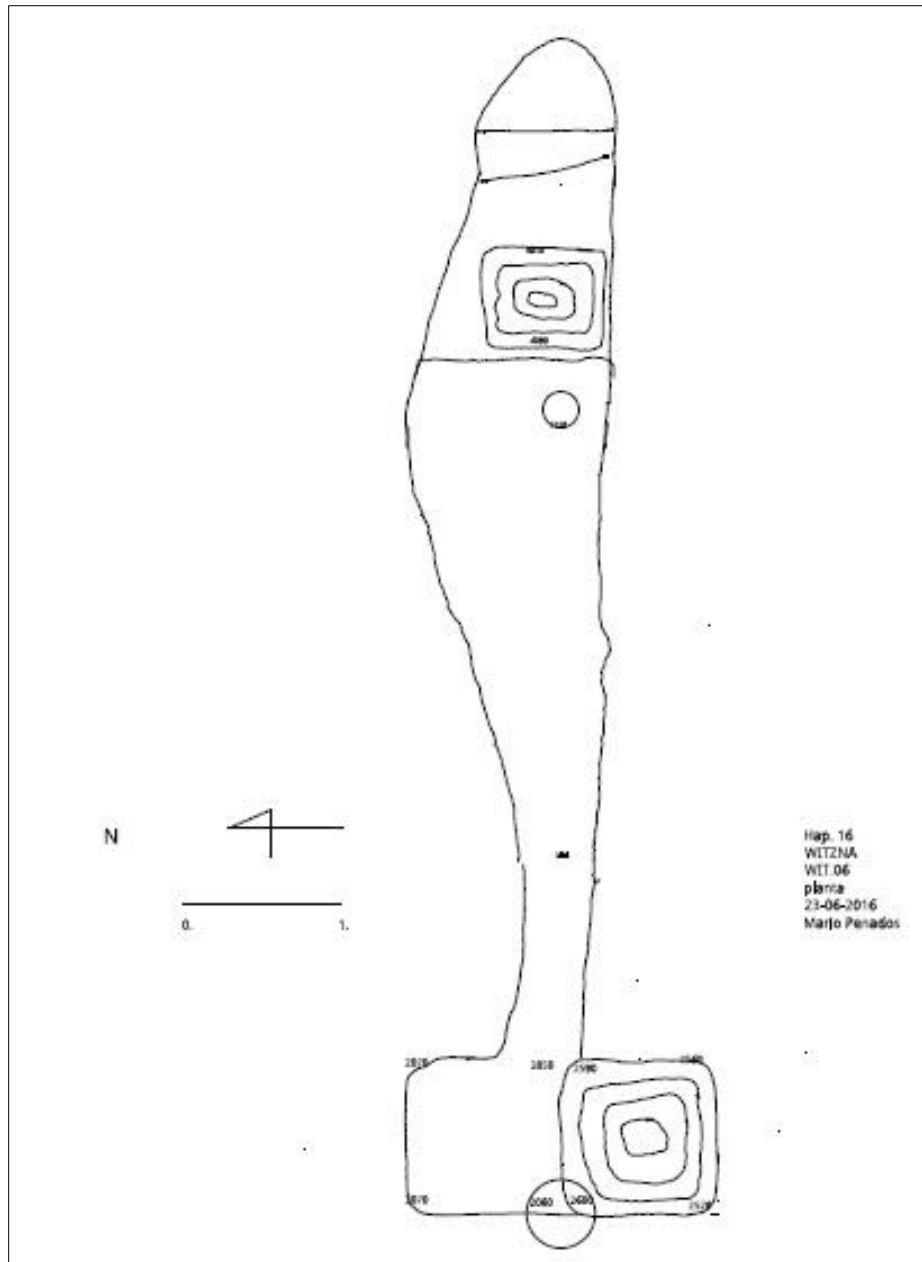


Figura 8.18. Planta de excavación WIT.T.06 Estructura 32.

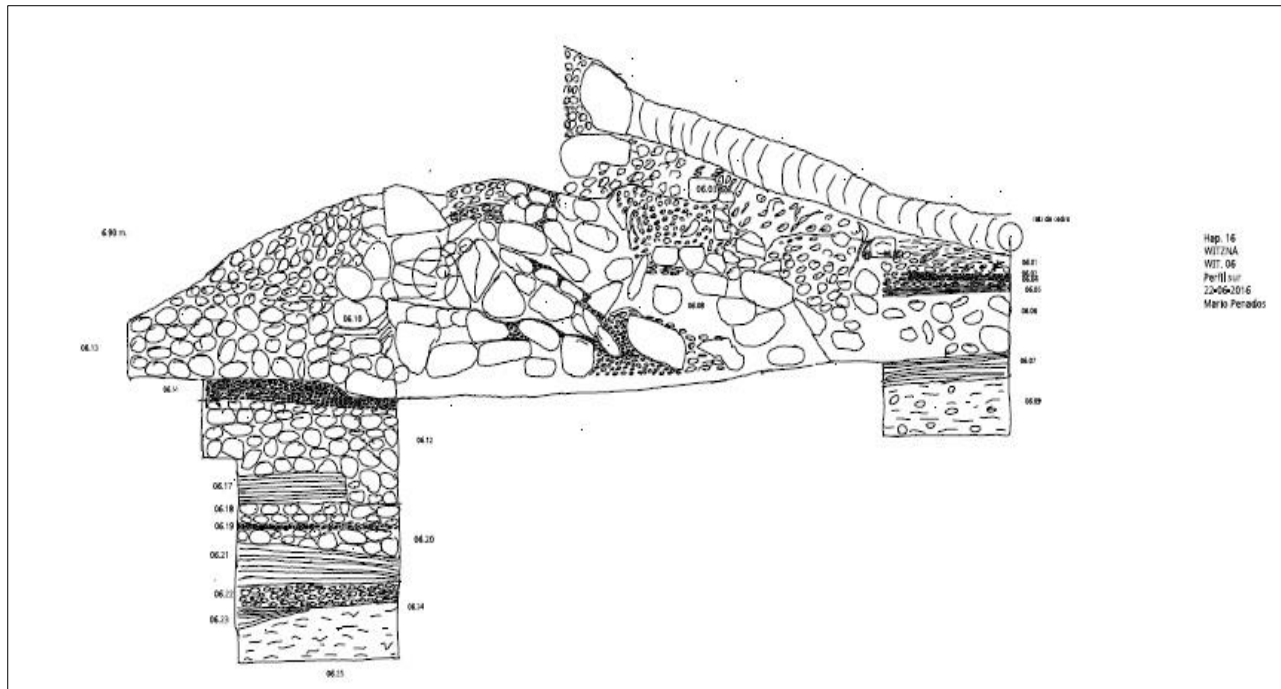


Figura 8.19. Perfil sur de la excavación WIT.T.06, realizada en la Estructura 32.

## CONCLUSIÓN

La excavación WIT.T.06, se realizó en el Palacio Este de la Plaza Este de Witzna' y presenta las siguientes características: WIT.T.06.25 corresponde a la roca madre que se localiza a una profundidad de 2.88 m, antes de llegar a la roca madre se encontró una capa de tierra negra bien compactada WIT.T.06.24; luego se localizó una capa de tierra caliza apisonada con un espesor de aproximadamente 0.15 m que no cubría toda el área de la excavación WIT.T.06.23; se localizó un relleno de piedra de pedernal pequeña de un espesor de 0.30 m WIT.06.22; sobre el relleno de piedra de pedernal pequeña se localizó un amarre de tierra caliza apisonada con un espesor de 0.20 m. era muy suave y sin compactar WIT.T.06.21; sobre ésta caliza se localizó un relleno de piedra de pedernal con barro café compactado WIT.06.20; sobre el relleno de piedra de pedernal hay un amarre de tierra gris apisonada con un espesor aproximado de 0.05 m de grosor WIT.T.06.19; sobre esta tierra gris apisonada se localizó un relleno de piedra de pedernal mediana con barro café compactado WIT.T.06.18; sobre éste relleno había tierra con caliza apisonada con un espesor de 0.15 m WIT.T.06.17.

Antes se localizó un relleno de piedra de pedernal y barro café con un espesor de 0.20 m WIT.T.06.16; sobre éste relleno se excavó tierra gris apisonada con un espesor de 0.07 m, WIT.T.06.15; este relleno era de barro gris con piedra de pedernal juntamente con tierra caliza WIT.T.06.14; este relleno consiste en piedra de pedernal y barro café compactado WIT.T.06.13; sobre el relleno anterior se localizó otro similar de piedra de pedernal con barro café y barro gris WIT.T.06.12; sobre este relleno se localizó una capa de tierra gris apisonada con un espesor aproximado de 0.15 m WIT.T.06.11; se localizó un muro de contención con piedras de pedernal y piedras de caliza orientado de norte a sur WIT.T.06.10; esta parte corresponde a un registro de sondeo realizado en el lado oeste de la excavación para determinar características frente al palacio WIT.06.09; se continuó excavando el túnel de investigación y el relleno que presentaba era de piedra caliza grande WIT.T.06.08; antes de este relleno se localizó el piso de la fase I, tiene un espesor de 0.15 m WIT.T.06.07.

Sobre el piso se localizó un pequeño relleno con un espesor aproximado de 0.05 m WIT.T.06.06; previo al relleno de piso, se excavó el piso de la fase II, este se encontraba deteriorado por la raíz de un árbol de cedro WIT.T.06.05; anterior al piso se localizó tierra gris apisonada con un espesor de 0.40 m WIT.T.06.04; el relleno de tierra gris apisonada tenía sobre ésta dos descansos con orientación norte-sur con la fachada hacia el oeste WIT.T.06.03; los descansos presentaban un relleno de tierra gris con piedrín de un espesor de 0.15 m WIT.T.06.02 y el registro WIT.T.06.01 corresponde al humus con un espesor de 0.10 m en el lado este y un espesor de 0.20 m en el lado oeste de la excavación. Los pisos que se describieron presentaban resanes y no se localizó evidencia de que existiese piso de plaza. La excavación no registró dos o más ocupaciones, se recomienda para la próxima temporada de campo continuar la excavación para poder identificar si hay o no otras ocupaciones más tempranas.

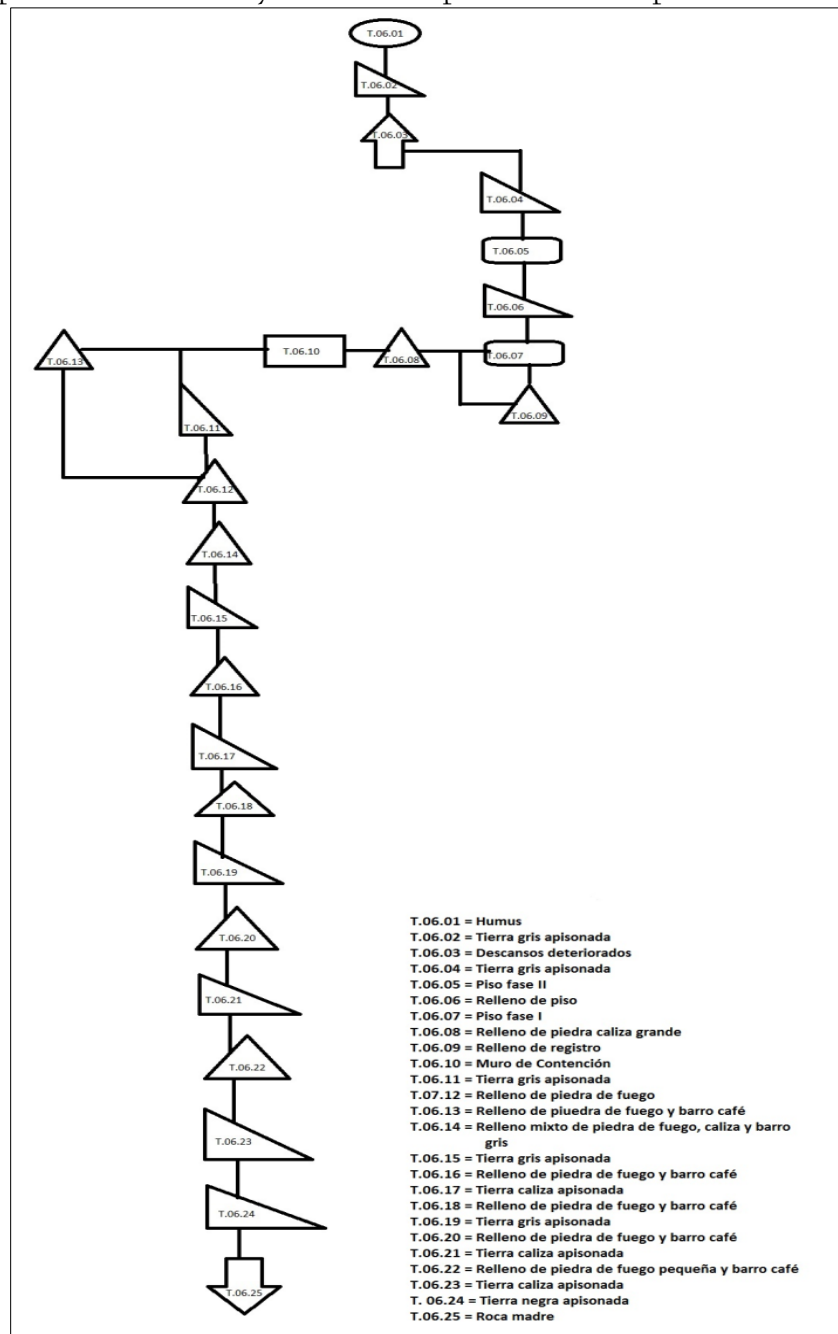


Figura 20. Excavación WIT.T.06, Estructura 32. Matriz de Harris

## EXCAVACIÓN WIT.L.18, ESTRUCTURA 27.

### INTRODUCCIÓN

El registro de saqueo de la Estructura 27, WIT.T.18, se inició limpiando la trinchera de saqueo que está orientada norte-sur con 15° de desviación hacia el este. Se quita el humus y se recolecta cerámica y obsidiana; se llega a tierra blanca que se localiza en la parte baja del cuerpo de la estructura (fachada este); se llega a tierra gris apisonada y recolectan fragmentos de cerámica, una punta de hacha y un martillo. Por las características constructivas, se procedió a realizar una limpieza en la parte superior de la estructura y determinar características, pero por el derrumbe fue imposible determinar la misma, se continuó con la excavación en el relleno de saqueo el cual consiste en piedra de pedernal mediana. Se excavó hacia abajo y se llegó al relleno que se localiza fuera del muro de la fase II el cual tienen piedra de pedernal mediana y caliza y se llega a tierra apisonada, por estar mutilado el muro de la fase II se sigue la excavación hacia el oeste y se llega a las escalinatas de la fase I y en la limpieza de la misma se llega al talud de la misma estructura que se le denomina muro fachada norte, se continúa excavando hacia el sur a aproximadamente dos metros. Por lo falso del relleno del saqueo se limpia el área y se procede a su registro.

### DESCRIPCIÓN DE LA EXCAVACIÓN

La excavación denominada WIT.L.18 se realizó en la Estructura 27 y la misma se desarrolló de la siguiente manera: se procedió a limpiar la trinchera de saqueo quitando el humus WIT.L.18.01, posteriormente se llega a tierra blanca, WIT.L.18.02, que se localiza frente al muro de la fase III, (Figura 8.21).



Figura 8.21. Tierra blanca ubicada al pie del cuerpo de la fase III.

Se siguió excavando y se llegó a tierra gris apisonada, WIT.L.18.03, en donde se encontró cerámica, dos percutores y una punta de hacha (Figuras 8.22, 8.23 y 8.24).



Figuras 8.22 y 8.23. Posibles percutores encontrados en la excavación WIT.L.18.03.



Figura 8.24. Punta de hacha sin terminar, encontrada en el contexto WIT.L.18.03.

Se continúa la excavación hacia el sur del saqueo y se llega a un relleno de piedra de pedernal mediana, WIT.L.18.04, dentro y fuera del muro de la fase II, posteriormente se llega a otro relleno de piedra mediana y piedra caliza, WIT.L.18.5, al sacar el relleno se llega a tierra gris apisonada WIT.L.18.06, y queda descubierto el muro mutilado de la fachada este de la fase II WIT.L.18.07. Al quitar el relleno WIT.L.18.04 se llega a un muro de posible escalinata de la estructura de la fase I, WIT.L.18.08, posteriormente se llegó al cuerpo fachada norte, adosado a las escalinatas WIT.L.18.09 (Figura 8.25, perfil oeste).

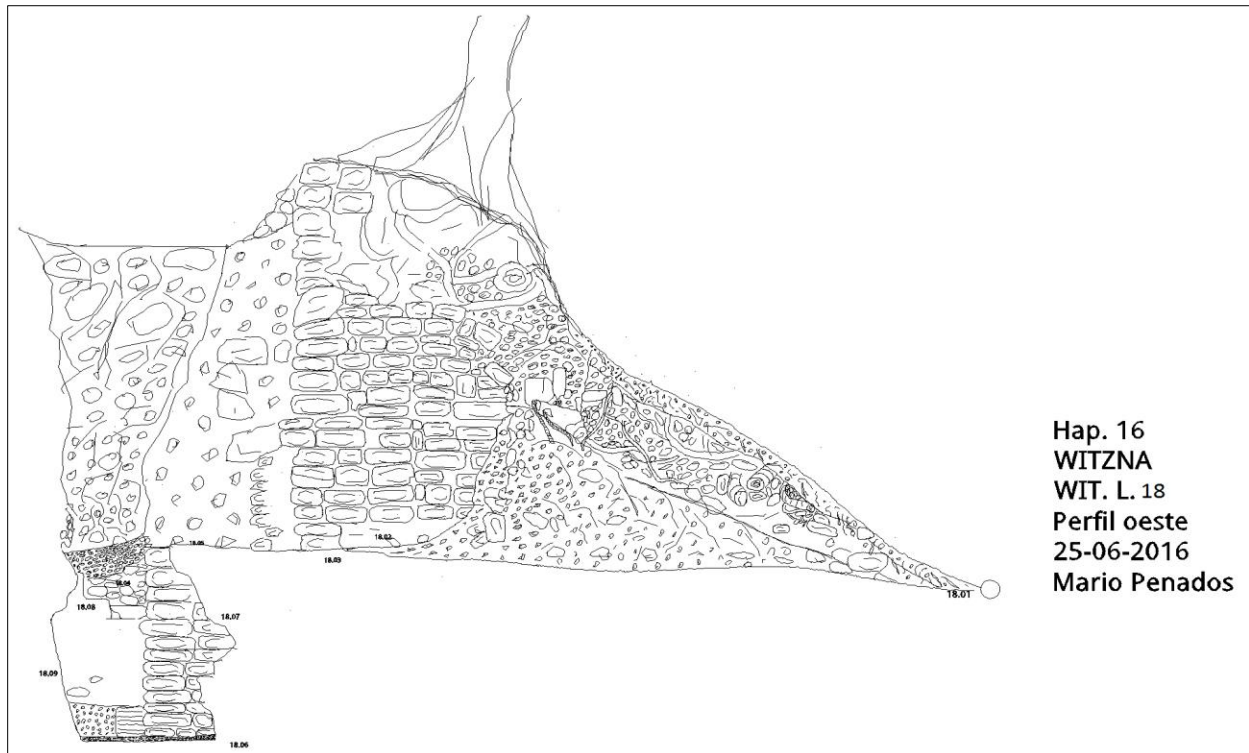


Figura 8.25. El perfil oeste presenta todos los contextos del registro WIT.L.18, especialmente los contextos WIT.L18.08 y WIT.L18.09.

## CONCLUSIÓN

El muro de la estructura de la fase I, WIT.L.18.09 (fachada norte) se encuentra adosado a las escalinatas de acceso de la estructura WIT.L.18.08 posterior a ello se localiza el muro mutilado de la estructura de la fase II WIT.L.18.07, debajo de estos muros se localiza tierra gris apisonada WIT.L.18.06 que posiblemente haya sido utilizado como piso, estos dos muros están cubiertos por un relleno de piedra de pedernal mediana y piedra caliza WIT.L.18.05, sobre este relleno se localiza relleno de saqueo y de derrumbe que consiste en piedra de pedernal mediana WIT.L.18.04, el relleno está amarrado con una capa de tierra gris apisonada WIT.L.18.03, sobre esta tierra gris apisonada se localiza tierra blanca, posiblemente de saqueo o derrumbe ocasionado por las raíces de los árboles WIT.L.18.02 y por último, se encuentra el humus que cubre el montículo el cual está formado por material orgánico y raíces WIT.L.18.01.

La primera fase constructiva posiblemente tiene su acceso hacia el norte no así la fase dos y la fase tres. El cuerpo de la fachada norte de la fase I está estucado y la esquina ligeramente redondeada. Se elaboró la Matriz de Harris para la mayor comprensión de la excavación WIT.L.18 (Figura 8.26).

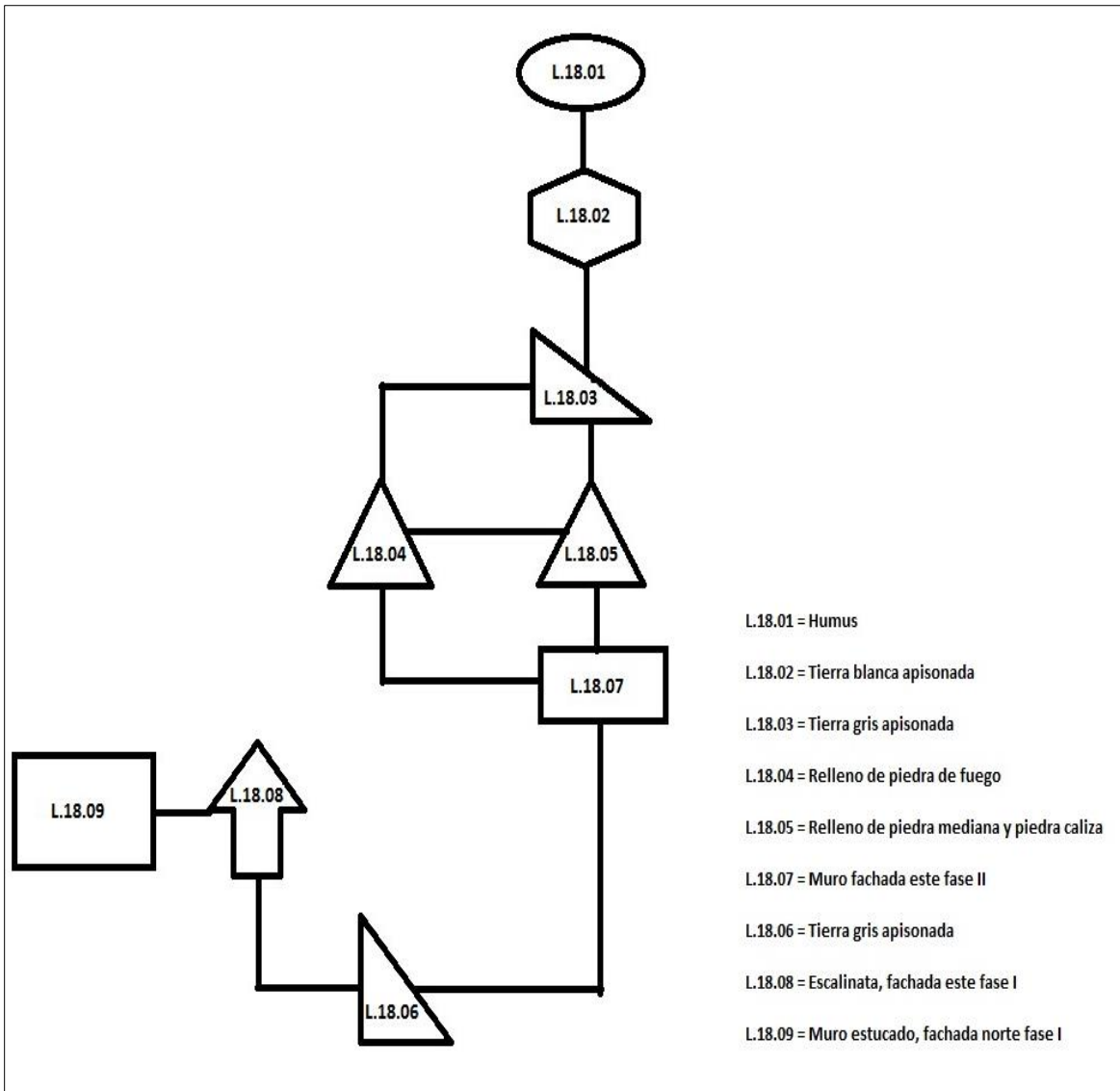


Figura 8.26. Matriz de Harris de la excavación WIT.L.18, Estructura 27.

## CAPÍTULO 9

### EXCAVACIONES EN LA ESTRUCTURA 8 DE WITZNA’.

*William Castillo*  
*Universidad de Belice*

El sitio arqueológico Witzna’ fue el lugar donde se efectuaron excavaciones arqueológicas para la temporada 2016 del Proyecto Arqueológico Holmul. El siguiente es el informe de cinco excavaciones efectuadas en el montículo denominado Estructura 8 en este sitio. Las cinco excavaciones son: WIT.L.08, WIT.L.15, WIT.L.19, WIT.L.20, y WIT.L.22.

#### EXCAVACIÓN WIT.L.08

La excavación WIT.L.08 fue la primera conducida en la Estructura 8. Esta excavación era una trinchera de saqueo ubicada al extremo oeste del montículo en la fachada sur. Siendo una trinchera de saqueo, la entrada a la excavación estaba parcialmente tapada, pero también presentaba evidencia de colapso de la parte superior de la estructura. Este colapso había creado un agujero, de donde se percibía al interior, revelando la arquitectura de una subestructura.



Figura 9.1. Excavación WIT.L.08.

Una gran parte de la excavación se condujo siguiendo la trinchera de saqueo existente, salvo un registro que se hizo para estudiar una pared hacia el oeste y al remover material de relleno para descubrir unas gradas. Entonces, al principio el material extraído fue material de saqueo y de colapso, el cual consistía de tierra blanca de baja compactación, bloques de piedra caliza, y piedra caliza y piedra de pedernal mediana. Este material, junto al humus, se le llamó Contexto WIT.L.08.01. Al sacar este material se fue revelando aún más las características arquitectónicas de una subestructura. Primero se descubrió un talud estucado (Contexto WIT.L.08.02), el cual todavía conserva color rojo en partes. Este talud formaba parte de la fachada sur de la subestructura; el mismo corre de este a oeste y mide 2.27 m de alto y 2.41 m de largo. El lado oeste del talud está mutilado, creando una abertura de 1.76 m de alto y 0.78 m de ancho. Lo más probable es que esta mutilación fue hecha por saqueadores para tener acceso al interior de la subestructura.

Al remover más material del Contexto WIT.L.08.01 hacia el este donde termina el talud, se encontró lo que parecía ser la orilla oeste de un cuerpo en forma de escalinata (Contexto WIT.L.08.03). Este cuerpo está estucado y al igual que el talud, todavía conserva color rojo en partes. Las gradas que forman la aparente escalinata son bastante amplias y de esquinas redondeadas. A 0.60 m hacia el este de donde comienzan las orillas redondeadas de las gradas del cuerpo en forma de escalinata se observó un muro de contención (Contexto WIT.L.08.04), el cual se monta en forma perpendicular sobre las gradas.

Al seguir excavando para descubrir aún más las gradas hasta llegar al muro de contención el material de Contexto WIT.L.08.01, luego dio paso a material de relleno, el cual era piedra de pedernal (Contexto WIT.L.08.05) pequeña. Se sacó una cantidad de este material para seguir aclarando más las gradas hacia abajo de la primera descubierta y al final se descubrieron tres. Posiblemente, hay más gradas pero solo hasta aquí se excavo en el lado este de la excavación. Es importante mencionar que por las características de este cuerpo, se pensó que no necesariamente tendría que ser una escalinata, sino también pudiera ser parte de un mascarón.



Figura 9.2. Talud, cuerpo en forma de escalinata y muro de contención.

Después de descubrir el cuerpo en forma de escalinata se siguió excavando hacia abajo alrededor del punto donde este cuerpo (Contexto WIT.L.08.03) se une con el talud (Contexto WIT.L.08.02). En este punto se forma una esquina, ya que el Contexto WIT.L.08.03 resalta, dejando al Contexto WIT.L.08.02 en el fondo. El propósito de este registro era para ver si se encontraba piso, el cual se encontró. El material que se excavo al hacer este registro fue material del Contexto WIT.L.08.01 y en el transcurso se encontraron dos artefactos de mucho interés. El primero fue un fragmento de cerámica, al cual se le perciben glifos. Este artefacto se clasificó como pequeño hallazgo. El segundo artefacto encontrado fue un documento de papel envuelto en un plástico transparente. El documento contenía información escrita por arqueólogos, quienes visitaron esta excavación anteriormente. En la información contenida en este documento también se encuentra la propuesta de que el Contexto WIT.L.08.03 pudiera ser indicativo de un mascarón.

Con el propósito de estudiar la continuidad de una pared de la subestructura en el lado oeste de la excavación se siguió excavando en esa dirección. Esta pared (Contexto WIT.L.08.06), la cual al descender tiene una fachada ligeramente inclinada hacia afuera, corre de este a oeste y está formada por bloques grandes y medianos de piedra caliza y no está estucada. Al igual que el Contexto WIT.L.08.03 esta pared resalta del talud (Contexto WIT.L.08.02), el cual queda en el fondo.

Al resaltar del talud la pared hace una esquina redonda y luego, sigue hacia el oeste. En la parte de arriba de la esquina se observa una mutilación, probablemente hecha por saqueadores para tener acceso al interior de la subestructura, pero esta no es muy profunda. Se excavó paralelo a esta pared y a 1.96 m de la esquina se encontró un muro de contención, el cual atraviesa perpendicularmente de la pared.

Hasta este punto se descubrió que parte de la pared había sido mutilada por los constructores de la fase constructiva superior. Se descubrió un área de 2.64 m de alto y 1.96 m de ancho a la pared y la parte mutilada en esta área mide 1.45 m de alto por 1.03 m de ancho. Luego, se hizo un registro atravesando el muro de contención y después de 0.86 m de excavar se observó que la mutilación en la pared sigue.

Se cree que en la parte mutilada de la pared pudiera haber existido un mascarón, el cual fue mutilado cuando se hizo la siguiente fase constructiva. El material que se excavo fue material de relleno de la última fase constructiva. Este material consistía de piedra de pedernal mediana y pequeña, y también había piedra caliza mediana y grande revuelta con tierra blanca de baja compactación. Después, se siguió excavando hacia abajo hasta llegar a un piso (Contexto WIT.L.08.07). Este piso es el mismo que se encontró en el registro que se hizo en la esquina del Contexto WIT.L.08.02 y Contexto WIT.L.08.03 al lado este de la excavación. Esto se constató cuando se excavó hasta el piso a lo largo del Contexto WIT.L.08.06 y Contexto WIT.L.08.02, uniendo el registro del lado oeste con el lado este.

### EXCAVACION WIT.L.15

La excavación WIT.L.15 se efectuó en el lado oeste de la fachada sur de la Estructura 8. Esta excavación era una trinchera de saqueo y está orientada de sur a norte y ubicada a escasos dos metros al este de la anterior WIT.L.08. La razón de esta cercanía es porque el objetivo principal de la excavación WIT.L.15 era el de estudiar la continuidad del cuerpo en forma de escalinata que se encontró en la WIT.L.08; especialmente por la propuesta de que este cuerpo podría ser parte de un mascarón.



Figura 9.3. Excavación WIT.L.15.

Se comenzó la excavación removiendo material de saqueo junto con el humus (Contexto WIT.L.15.01), luego una capa de tierra gris (Contexto WIT.L.15.02). Al remover la capa de tierra gris se fueron descubriendo bloques de piedra caliza (Contexto WIT.L.15.03), los cuales estaban alineados de este a oeste. Se descubrieron tres de estas alineaciones. Entre las alineaciones había tierra blanca apisonada (Contexto WIT.L.15.04) que formaba una especie de piso. Estas características daban la impresión de que se estaba tratando con una escalinata de acceso a la parte superior de la estructura de la última fase constructiva. En seguida se hicieron dibujos de la excavación hasta este punto, donde se incluyeron dibujos de Perfil oeste y de Planta.

Se siguió profundizando la excavación removiendo los bloques alineados y la tierra blanca apisonada y se dio con una cantidad considerable de piedra de pedernal (Contexto WIT.L.15.05) pequeña y mediana; material que era utilizado como material de relleno. Entonces se observó que los bloques de piedra alineados (Contexto WIT.L.15.03) también tenían la función de muros de contención. Al igual, también se observó que la tierra blanca apisonada (Contexto WIT.L.15.04) eran capas, de unos 8 cm de grueso, que dividían horizontalmente el relleno de piedra de pedernal en secciones. (Anteriormente, se pensó que estos dos contextos formaban una escalinata de la última fase constructiva.) Ambos el Contexto WIT.L.15.03 y el Contexto WIT.L.15.04, además de formar una posible escalinata, también servían para contener el material de relleno y dar estabilidad a la estructura de la última fase constructiva.



Figura 9.4. Muro de contención, material apisonado y material de relleno.

Al remover el material de relleno (Contexto WIT.L.15.05) se empezó a descubrir un cuerpo estucado con restos de color rojo. Se siguió ampliando la excavación y se fue revelando que este cuerpo es un cuerpo en forma de escalinata (Contexto WIT.L.15.06), y es el mismo que inicia en la excavación WIT.L.08. Luego, la excavación se dirigió hacia el sur, descendiendo sobre la escalinata. Se descubrieron tres gradas. Estas gradas tienen las características de estar estucadas relativamente intactas con rasgos de color rojo, de tener esquinas redondeadas, y de ser bastante amplias. Sin embargo, la amplitud disminuye leve y sucesivamente en la manera que ascienden. Luego de la última grada de abajo, al ir sacando más material de relleno y bloques de piedra caliza, los cuales formaban muros de contención, se encontró un piso (Contexto WIT.L.15.07). Este piso está bastante sólido y nivelado. Es más probable que este sea el piso de plaza, ya que después de 2.62 m de excavación desde la última grada, el piso continuaba.

Después de encontrar el piso, la excavación se dirigió en forma de túnel ascendiendo sobre la escalinata hacia el norte. Aquí se removió bastante material de relleno (Contexto WIT.L.15.05) y más capas de tierra blanca apisonada (Contexto WIT.L.15.04). Las capas de tierra apisonada fueron engrosándose, entre 8 cm a 12 cm, y dentro de ellas se encontraron fragmentos de estuco, los cuales estaban moldeados y de varios colores – rojo, verde y azul. Por las características de estos fragmentos de estuco se pensó en la posibilidad de un friso. Al excavar estos dos contextos se encontró una grada más. La huella de esta grada es más amplia que la huella de la anterior de abajo. Al terminar esta grada, se levanta una posible plataforma superior de la subestructura.



Figura 9.5. Cuerpo en forma de escalinata de la Subestructura.

En total, el cuerpo en forma de escalinata está compuesto por cuatro gradas. Las medidas de estas gradas en orden de ascenso, empezando del piso hasta la plataforma, son las siguientes:

Grada 1:	Contrahuella (Alto)	0.51 m	Huella (Ancho)	0.68 m
Grada 2:	Contrahuella	0.42 m	Huella	0.54 m
Grada 3:	Contrahuella	0.38 m	Huella	0.50 m
Grada 4:	Contrahuella	0.30 m	Huella	0.71 m

Después de la última grada superior de la subestructura se levanta una plataforma (Contexto WIT.L.15.08). Esta plataforma se levanta 0.25 m de la última grada. El piso de la misma está estucado con restos de color rojo y está relativamente sólido y nivelado. Luego se extiende hacia el norte, según la excavación. El material que se sacó al excavar sobre la plataforma fue tierra blanca apisonada y piedra caliza y de pedernal mediana y grande.

Al excavar hacia el norte sobre la plataforma se observó la existencia de la base de un muro (Contexto WIT.L.15.09), al lado oeste. Esta base está estucada y conserva color rojo en partes. Se excavó alrededor de dos lados de esta base, lados sur y oeste, y se observó que pudiera haberse extendido hacia arriba y probablemente haber contenido un friso. Se presume que el muro fue mutilado porque la parte superior de la base presenta un corte quebrantado. Las medidas de la base del muro son las siguientes:

Ancho (lado oeste)	0.56 m
Largo (lado Sur)	1.33 m
Alto	0.32 m

Al finalizar la excavación WIT.L.15 se fue descartando la idea de que el cuerpo en forma de escalinata de la subestructura que se empezó a observar en la excavación WIT.L.08 fuera parte de un mascarón. Dado a sus características de tener gradas bastante amplias con esquinas redondeadas se empezó a creer que la función de este cuerpo no era necesariamente la de escalinata de acceso, más bien era el diseño estructural y estético de la fachada sur de la subestructura. Desde esta excavación WIT.L.15 se pudo observar que el cuerpo en forma de escalinata continúa hacia el este de la estructura.

## EXCAVACION WIT.L.19.

La excavación WIT.L.19 se efectuó con el propósito de estudiar la continuidad del cuerpo en forma de escalinata de la subestructura hacia el este del montículo. Esta excavación era una trinchera de saqueo con orientación sur a norte; la misma está ubicada en la fachada sur y aproximadamente al centro de la Estructura 8.

Se empezó la excavación WIT.L.19 removiendo material de saqueo y humus (Contexto WIT.L.19.01); luego, la capa de tierra gris (Contexto WIT.L.19.02). Después de remover la capa de tierra gris se encontró una capa de tierra blanca de baja compactación con piedra caliza mediana y grande (Contexto WIT.L.19.03). Posiblemente, el material de este contexto era utilizado como relleno o también pudiera tratarse de la acumulación de material de algún colapso de la estructura superior. Al remover una cantidad de este último contexto se reveló una capa de tierra blanca apisonada (Contexto WIT.L.19.04) de unos 6 cm a 8 cm de grueso.

Se removió la capa de este material apisonado y se encontró una cantidad considerable de piedra de pedernal (Contexto WIT.L.19.05) de tamaño pequeño y mediano. Este material era utilizado como relleno. La capa de tierra apisonada estaba bordeada al lado oeste de la excavación por un muro de contención (Contexto WIT.L.19.06), el cual estaba formado por piedras calizas medianas y grandes, y estas estaban cementadas con tierra blanca compacta. Ambos contextos, WIT.L.19.04 y WIT.L.19.06, eran utilizados para contener el material de relleno WIT.L.19.05 y para dar estabilidad a la estructura de la última fase constructiva.



Figura 9.6. Excavación WIT.L.19.

Luego de excavar el material de relleno WIT.L.19.05 se encontró un cuerpo arquitectónico de una subestructura. Este cuerpo tiene forma de escalinata (Contexto WIT.L.19.07) y, aparentemente, este es el mismo cuerpo que se encontró en la excavación WIT.L.15 y que inicia en la WIT.L.08 al extremo oeste de esta estructura. Se le descubrieron dos gradas a este cuerpo, las dos de arriba que dan con la plataforma superior de la subestructura. Las gradas siempre son amplias y siguen estucadas y de color rojo en partes.



Figura 9.7. Cuerpo en forma de escalinata y muro de contención.

Al descubrir el Contexto WIT.L.19.07, la excavación dio un giro hacia el este con el fin de ver la continuidad de la escalinata. Se fue excavando en forma de túnel sobre la segunda grada de abajo que se descubrió y después de 1.10 m de excavación, la grada finaliza y comienza un talud (Contexto WIT.L.19.08). El talud está estucado, pero se encuentra deteriorado y casi ya no se observa el color rojo. El material que se excavo al inicio del túnel fue del Contexto WIT.L.19.03 y después fue del Contexto WIT.L.19.05.

Se siguió excavando hacia el este a lo largo del talud, sacando bastante material de relleno, WIT.L.19.05, y después de 1.34 m de excavación desde donde termina la grada, se encontró un muro de contención, el cual se encuentra sobre el talud de manera perpendicular. Este muro es característica estructural de la última fase constructiva y está compuesto por piedras calizas grandes y medianas, las cuales están cementadas con tierra blanca compacta. Se le hizo un registro de 0.46 m al muro de contención y se observó que el mismo continuaba hacia el este.

## CONCLUSIÓN

Hasta este punto la excavación WIT.L.19 reveló que las características de los dos cuerpos de la subestructura, gradas y talud, son similares a las que se observan en la excavación WIT.L.08 en el extremo oeste de esta estructura. Dado a esta similitud, se pensó que el diseño arquitectónico de la fachada sur de la subestructura podría ser simétrico.

## EXCAVACIÓN WIT.L.20.

La excavación WIT.L.20 se efectuó con el objetivo de estudiar las características arquitectónicas de la subestructura de la Estructura 8. Se pretendía estudiar si las características en este lado este de la estructura eran similares a las que se observan en la excavación WIT.L.08 en el extremo oeste y así constatar si la fachada sur de la subestructura tenía un diseño arquitectónico simétrico. Esta excavación WIT.L.20 era una trinchera de saqueo con orientación sur a norte y ubicada al lado este fachada sur de la Estructura 8. Se empezó la excavación removiendo material de saqueo y humus (Contexto WIT.L.20.01) y luego, se removió la capa de tierra gris (Contexto WIT.L.20.02). Después de la capa de tierra gris se encontró material compuesto por tierra blanca de baja compactación y piedra caliza (Contexto WIT.L.20.03) mediana y grande. Este material, probablemente, era utilizado como material de relleno de la última fase constructiva o también podría ser la acumulación de material de colapso de la parte superior de la estructura.

Al remover el material del Contexto WIT.L.28.03 se encontró la orilla de un piso (Contexto WIT.L.20.04). La orilla de este piso aparenta haber sido mutilada, pues el corte está disparejo.



Figura 9.8. Excavación WIT.L.20.

Se siguió profundizando la excavación y después del piso, WIT.L.20.04, se empezó a sacar piedra de pedernal (Contexto WIT.L.20.05) pequeña y mediana. Este contexto después dio paso a una capa de tierra blanca de baja compactación y piedra de pedernal mediana (Contexto WIT.L.20.06). El material de estos dos últimos contextos era utilizado como material de relleno y los dividía horizontalmente capas de tierra blanca apisonada (Contexto WIT.L.20.07).

Al seguir excavando hacia el norte de la excavación, removiendo el material de relleno y tierra blanca apisonada, se encontró una pared (Contexto WIT.L.20.08) de la subestructura. Esta pared, la cual al descender tiene una fachada ligeramente inclinada hacia afuera, corre de este a oeste y formaba parte de la fachada sur de la subestructura. La pared está formada por bloques grandes de piedra caliza y no está estucada. Al lado este de la pared se encontró un muro de contención, el cual se encuentra perpendicularmente sobre la pared. Se observó que donde este muro se junta sobre la pared, fue mutilada.



Figura 9.9. Subestructura y Estructura Superior (WIT.L.20).

Cuando se continuó excavando hacia el oeste paralelo a la pared este-oeste, WIT.L.20.08, se encontró otra pared que le hizo tope a la que se venía siguiendo, formando una esquina de 90°. Esta otra pared (Contexto WIT.L.20.09), la cual tiene una fachada vertical y está estucada con rasgos de color rojo, corre de norte a sur.

La parte de arriba de la pared tiene una inclinación que desciende del lado norte hacia el sur. Esta parte inclinada presenta un corte en forma de gradas. Por las características observadas, salvo el corte en gradas, se empezó a pensar que esta pared era el corte donde finaliza el talud que se empezó a observar en la excavación WIT.L.19. Sobre el corte escalonado se levanta un muro de contención (Contexto WIT.L.20.10), posiblemente de la última fase constructiva. Este muro de contención está formado por piedras calizas medianas y grandes, las cuales están cimentadas con tierra blanca compacta. Se cree que este muro es el mismo que se encontró sobre el talud en la excavación WIT.L.19. El material excavado para descubrir estos últimos dos contextos (WIT.L.20.09 y WIT.L.20.10) fue material de relleno (WIT.L.20.05 y WIT.L.20.06) y capas de tierra blanca apisonada (WIT.L.20.07).

Después de encontrar las dos paredes se hizo un registro hacia abajo alrededor del punto donde estas hacen esquina. Se excavó material de relleno, WIT.L.20.03 y WIT.L.20.05, y se encontró un piso (WIT.L.20.11). Este piso está relativamente intacto y es probable que sea el piso de nivel de plaza de donde se levanta la subestructura. Las dimensiones de las secciones de paredes de la subestructura que se descubrieron son las siguientes:

Pared este-oeste:

Altura – 2.59 m (de piso hasta cielo de excavación)

Ancho – 2.50 m (de pared norte-Sur hasta muro de contención)

Pared norte-sur:

Altura – 2.15 m (punto más alto – lado norte)

Ancho – 2.5 m (punto más ancho – de pared este-oeste a donde termina la excavación)



Figura 9.10. Muro este-oeste y muro norte-sur.

Con el fin de investigar si el muro de contención que se encuentra sobre el lado inclinado de la pared norte-sur, WIT.L.20.09, es el mismo que se observa sobre el talud en la excavación WIT.L.19 se le hizo un registro hacia el oeste a tratar de atravesar este muro. Después de remover unas piedras calizas grandes se conectó con la excavación WIT.L.19 y se constató que se trataba del mismo muro de contención. El muro mide 1.10 m de ancho y por su dimensión se cree que además de utilizarse como muro de contención, también tenía otra función estructural bastante importante del edificio de la última fase constructiva. También se hizo la observación que la pared norte-sur es el corte final del talud que inicia en la excavación WIT.L.19 y que el corte escalonado en el lado inclinado de la misma se debe a una mutilación para colocar el muro. Es posible que el corte irregular/escalonado fuera hecho deliberadamente para proveer estabilidad al muro de contención.

## CONCLUSIÓN

La excavación WIT.L.20 reveló que el diseño arquitectónico en el lado este de la subestructura es diferente a la del lado oeste. Las características estructurales (talud y pared) son similares en los dos lados pero el diseño es diferente. La diferencia es que en este lado (Este) de la estructura el talud (WIT.L.20.09) resalta y la pared (WIT.L.20.08) queda en el fondo, pero en el lado oeste de la estructura este diseño es revertido. Dado a estas características se puede asumir que el diseño arquitectónico de la subestructura de la Estructura 8 es asimétrico.

## EXCAVACION WIT.L.22.

La excavación WIT.L.22 se efectuó con el objetivo de estudiar la continuidad, o finalidad, de las características arquitectónicas de la subestructura que se venía observando desde el extremo oeste fachada sur de la Estructura 8. Esta excavación era una trinchera de saqueo con orientación de sur a norte; la misma está ubicada al extremo este de la fachada sur de la Estructura 8.



Figura 9.11. Excavación WIT.L.22.

Se empezó la excavación removiendo material de saqueo y humus (Contexto WIT.L.22.01); luego, la capa de tierra gris (Contexto WIT.L.22.02). Después, se encontró una capa de tierra blanca de baja compactación con piedra caliza mediana y grande (Contexto WIT.L.22.03). El material de este contexto era utilizado como material de relleno de la última fase constructiva o posiblemente, podría ser la acumulación de material de colapso de la parte superior de la estructura. Al remover el material WIT.L.22.03 se encontró la orilla de un piso (Contexto WIT.L.22.04). Este piso presenta características similares al que se encontró en la excavación anterior WIT.L.20 nombrado Contexto WIT.L.20.04, en el sentido que aparenta tener la orilla mutilada porque está dispereja y también es un piso colgante porque no tiene pared de soporte abajo.

Al profundizar la excavación después del piso se encontró una cantidad considerable de piedra de pedernal (Contexto WIT.L.22.05), la cual era utilizada como material de relleno y estaba dividida en secciones horizontalmente por capas de tierra blanca apisonada (Contexto WIT.L.22.06). Se siguió excavando material de relleno de los contextos WIT.L.22.03 y WIT.L.22.05 y capas de tierra blanca apisonada y se empezaron a observar una especie de muros de contención (Contexto WIT.L.22.07) no muy definidos, los cuales aparentan encajonar el material de relleno.

## CONCLUSIÓN

Hasta este punto de la excavación WIT.L.22 se esperaba ver alguna característica arquitectónica de la subestructura, tal como la pared este-oeste que se dejó de ver en el lado este de la excavación anterior WIT.L.20. Sin embargo, no se encontró ninguna característica semejante. Probablemente, la subestructura que se venía observando en las otras cuatro excavaciones a lo largo de la fachada sur desde el extremo oeste de la Estructura 8 no se extendía hasta este punto donde se efectuó la excavación WIT.L.22, o la misma pudiera haber sido mutilada para dar paso a la última fase constructiva.



Figura 9.12. Interior de la excavación WIT.L.22.

## CAPÍTULO 10

### EXCAVACIÓN WIT.L.16, ESTRUCTURA 2 PLAZA CENTRAL, WITZNA'.

*Marta Perea*  
*Universidad de San Carlos de Guatemala*

#### INTRODUCCIÓN

La excavación WIT.L.16, se efectuó con el propósito de investigar la cronología ocupacional y encontrar rasgos arquitectónicos de la Estructura 2. La excavación se realizó sobre el relleno de saqueo, con dimensiones de 5.70 x 1.30 metros, la excavación fue realizada en la parte oeste de la estructura, luego de llegar a roca madre, se hizo un túnel de 9 m por 95 cm. Se realizó la documentación de la excavación con los respectivos dibujos y fotografías.

#### DESCRIPCIÓN DE LA EXCAVACIÓN

Debido a que se trata del relleno de saqueo, dividiéndolo en tres capas de tierra, es una capa de 0.5 m de espesor 94 cm al oeste y 73 cm al este. Se inició la excavación removiendo el contexto WIT.L.16.01, correspondiente al humus, tierra color café oscura de consistencia un poco compacta y textura granulosa con piedras de varios tamaños y piedras de muro colapsadas de la estructura y muchas raíces. Dentro de este contexto aparece una segunda capa de tierra color gris clara, de consistencia compacta, integrada por piedras mediadas y piedras de muro de la estructura, la tercera capa de tierra presenta tierra color gris clara, de consistencia suelta, integrada por piedras pequeñas y aparecen tres bloques grandes posiblemente de algún muro. Este contexto está asociado a material cerámico.

Al levantar este contexto se encontró el humus original de la estructura, que es tierra color café oscura, con piedras pequeñas y raíces, al cual se le asignó el contexto WIT.L.16.02, de consistencia suelta, textura granulosa suave, con piedras pequeñas y muchas raíces. Su espesor es de 6 cm por toda la excavación. En este contexto no se encontró material arqueológico.

Se encontraron tres diferentes contextos más; un relleno de tierra café clara, consistencia suelta con piedras pequeñas, es una capa de 0.5 m de espesor 94 cm al oeste y 73 cm al este., denominado contexto WIT.L.16.03. Justamente al lado este se localizó un fragmento de piso de estuco de 6 cm de grosor, Contexto WIT.L.16.04 (Figura 1). Al lado este del piso se localizó un relleno de tierra gris oscura de consistencia suelta y textura suave, es una capa de 28 cm de espesor al oeste y 1.15 metros al este, contexto WIT.L.16.05.

Surgen dos contextos más, los cuales son denominados WIT.L.16.06 y WIT.L.16.07. Al deponer el contexto WIT.L.16.05 se ubicó un relleno consistente en tierra de color gris oscura, suave, con muchas piedras de tamaño pequeño WIT.L.16.10.

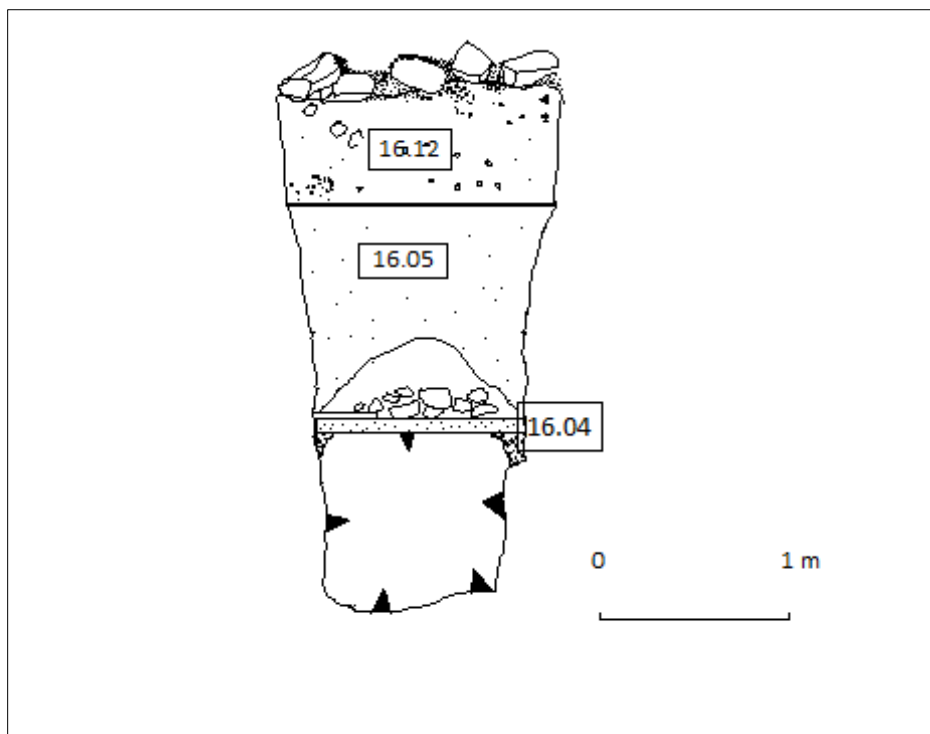


Figura 10.1. Perfil este de WIT.L.16 donde se observan los contextos ubicados en la excavación. (Dibujo de Marta Perea).

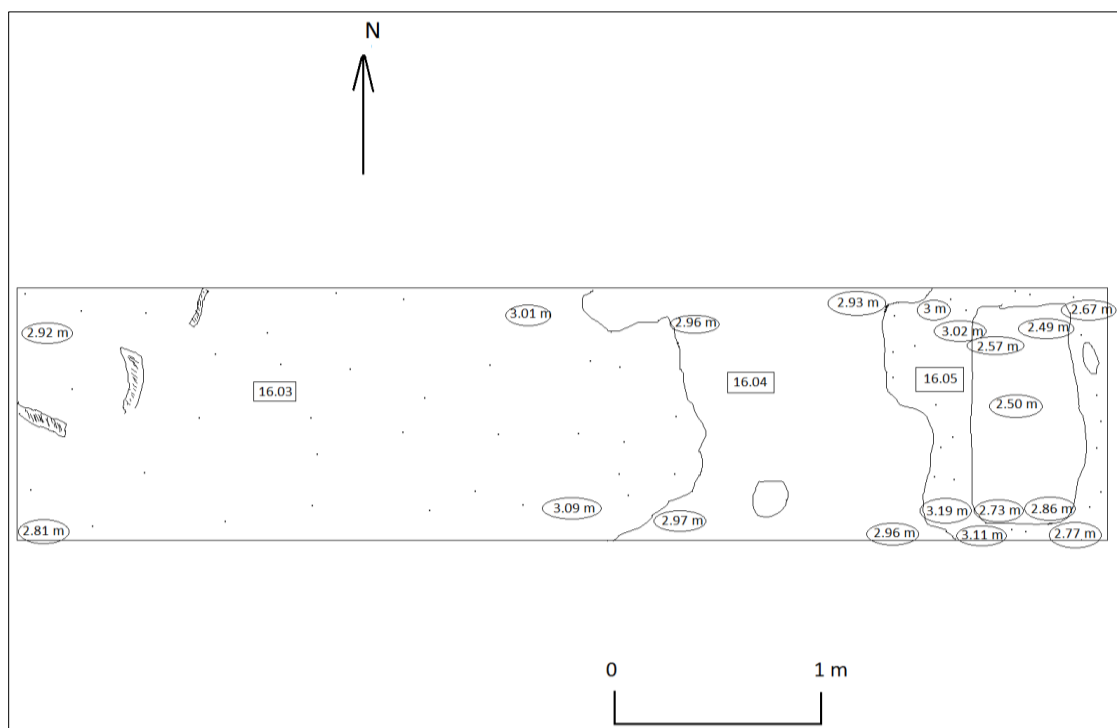


Figura 10.2. Planta de WIT.L.16 donde se observan los contextos 03,04 y 05. (Dibujo de Marta Perea).

El contexto WIT.L.16.06, corresponde a un relleno de tierra color gris claro, consistencia suelta, con piedras pequeñas y medianas, es una capa de 30 cm de espesor al oeste y 31 cm al este. Al remover el contexto WIT.L.16.06 aparece un cambio de tierra color gris oscuro, consistencia suelta, mezclada con piedras pequeñas y medianas, WIT.L.16.08. El contexto WIT.L.16.07 es una capa de tierra color gris claro, consistencia suelta, con piedras pequeñas, es una capa de 31 cm de espesor al oeste y 33 cm al este. Al WIT.L.16.07 se encontró debajo de ello un relleno de tierra color gris oscuro, consistencia suave, con piedras medianas contexto WIT.L.16.09. A este contexto esta asociados a tres fragmentos cerámicos.

El contexto WIT.L.16.08, tierra color gris oscuro, consistencia suelta, mezclado con piedras pequeñas y medianas, es una capa de 35 cm de espesor al oeste y 33 cm al este. Al remover el contexto WIT.L.16.08 se encontró la roca madre.

Dentro de WIT.L.16.09, tierra color gris oscuro, consistencia suave, con piedras medianas, es una capa de 33 cm de espesor al oeste y 85 cm al este. Dentro del contexto se localizó la ofrenda #1 (Figura 10.3). Conformada por dos platos boca abajo, uno encima del otro WIT.L.16.09.04.01, estos platos estaban rodeados por siete excéntricos de pedernal, WIT.L.16.09.04.02 ubicado en la parte suroeste de la ofrenda, tiene forma de mantarraya, WIT.L.16.09.04.0 al este presenta forma de hoja con una muesca a cada uno de sus lados al centro, WIT.L.16.09.04.04 en la parte sur, de forma de hoja alargada con cuatro muescas, dos y dos a los lados, WIT.L.16.09.04.05 se descubrió en la parte sureste, presenta forma de media luna.

En el segmento noreste se localizó WIT.L.16.09.04.06, este presenta forma de almohadilla. WIT.L.16.09.04.07 se encontró en la parte sureste, presenta forma dentada o aserrada, en la parte sur en forma de media luna. WIT.L.16.09.04.08, se halló en la parte sureste, a cuatro centímetros aproximadamente de la ofrenda, es un bifacial que mide 18 cm de largo y 6 cm de ancho aproximadamente (Figura 10.4). Se encontró arriba de un núcleo de pedernal. WIT.L.16.09.04.08.A. Al remover el contexto WIT.L.16.09 se halló la roca madre.



Figura 10.3. Parte de la Ofrenda #1. (Foto de Marta Perea).

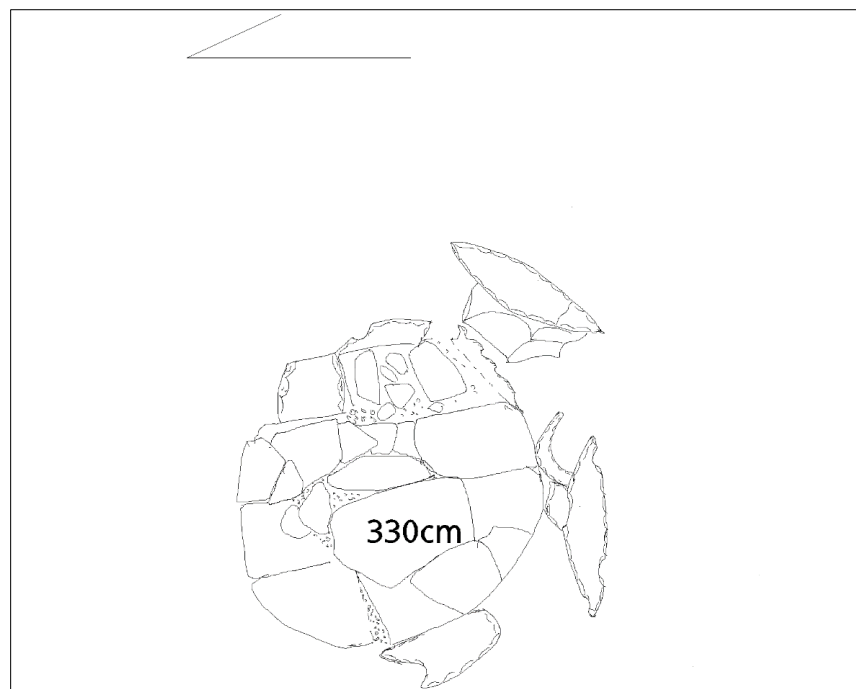


Figura 10.4. Detalles de la Ofrenda #1. (Dibujo de Ángel Castillo).

Al quitar el contexto WIT.L.16.05 se encontró un relleno tierra color gris oscura de consistencia suelta con piedras medianas, es una capa de 1.05 metros de espesor al oeste y 99 cm al este, contexto WIT.L.16.10 en este contexto no aparece material arqueológico. Al removerse este contexto se encontró a la roca madre, contexto WIT.L.16.11.

Se realizó un registro en la parte este en la superficie de la estructura, arriba del contexto 05. Con el objetivo encontrar rasgos arquitectónicos. Se encontró un piso estucado al cual se le dio el número de contexto WIT.L.16.12, el cual parece ser parte del segundo cuerpo piramidal de la estructura, destruido por el saqueo. La excavación se expandió por medio de un de túnel de 9 metros de largo por 0.95 cm de ancho, hacia la parte este de la estructura, con el objetivo de encontrar algún rasgo arquitectónico.

El contexto WIT.L.16.13 corresponde a tierra color gris oscura mezclada con piedras pequeñas y compactas. Avanzando la excavación ofrenda a 2.70 metros del inicio del túnel, se encontró la ofrenda # 2, esta presenta tres platos, fragmentados e incompletos (Figura 10.5). WIT.L.16.13.03.11, El primer plato de la ofrenda aparece sentado sobre el contexto 13, aunque fragmentado, posiblemente por el relleno del contexto 14. WIT.L.16.13.03.12, se encontró atrás del plato WIT.L.16.13.03.11, en la parte sur de la ofrenda, igualmente fragmentado, presenta color negro. WIT.L.16.13.03.13.

El tercer plato se encontraba atrás del plato WIT.L.16.13.03.13, en la parte norte, se trata de un plato más pequeño e igualmente fragmentado. Se encuentra alineada con la ofrenda anterior encontrada en el contexto 9 a una distancia aproximada de 5.40 metros. La ofrenda se encontró aproximadamente a 55 cm en la parte sur y en la parte norte 78 cm de la roca madre. El contexto WIT.L.16.14, presenta un relleno de piedras de río con tierra gris claro. Este contexto se encuentra sobre el contexto 13. WIT.L.16.15. presenta relleno de tierra gris clara, de consistencia semi compacta y con piedras muy pequeñas.

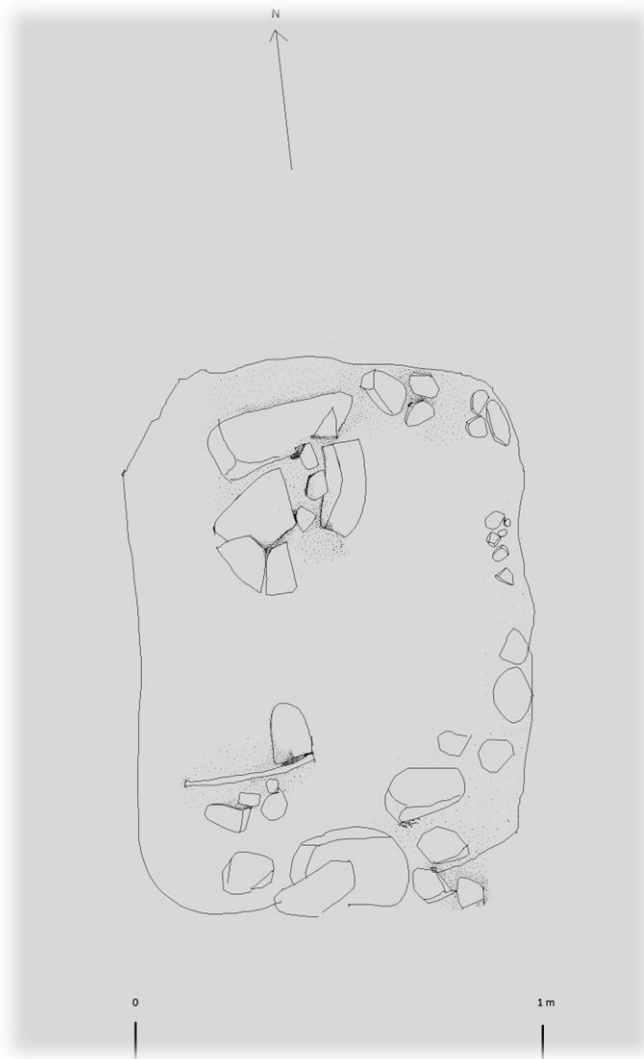


Figura 10.5. Dibujo que muestra detalles de la ofrenda #2 (Dibujo de Marta Perea).

## CONCLUSIÓN

De las relaciones físicas entre contextos (cubre, corta, rellena, se adosa) se presentan en el esquema de la Matriz Harris (Figura 10.6), de manera que todos los contextos puedan ser reunidos en un mismo diagrama (anterior, posterior o contemporáneo). La documentación de la LT.16 localizada en la Estructura 2, se establecieron 15 contextos de los cuales, dos fueron pisos que marcan dos fases constructivas, construidas sobre la roca madre WIT.L.16.11 (Figura 10.7).

La fase constructiva 2 corresponde al piso estucado WIT.L.16.4 y a sus rellenos WIT.L.16.6, WIT.L.16.7, WIT.L.16.8 y la ofrenda #1 WIT.L.16.9 que presentaba dos platos fragmentados, boca abajo, uno sobre el otro y a su alrededor excéntricos de pedernal. La fase constructiva 1 está definida por el piso de estuco WIT.L.16.12 y los rellenos WIT.L.16.5, WIT.L.16.14 y WIT.L.16.15 y la ofrenda #2 WIT.L.16.13 que presentaba tres platos, fragmentados, y en el plato #13 se encontraron fragmentos de hueso. Todos estos fueron cubiertos por la capa natural de suelo WIT.L.16.1 (Figura 10.8).

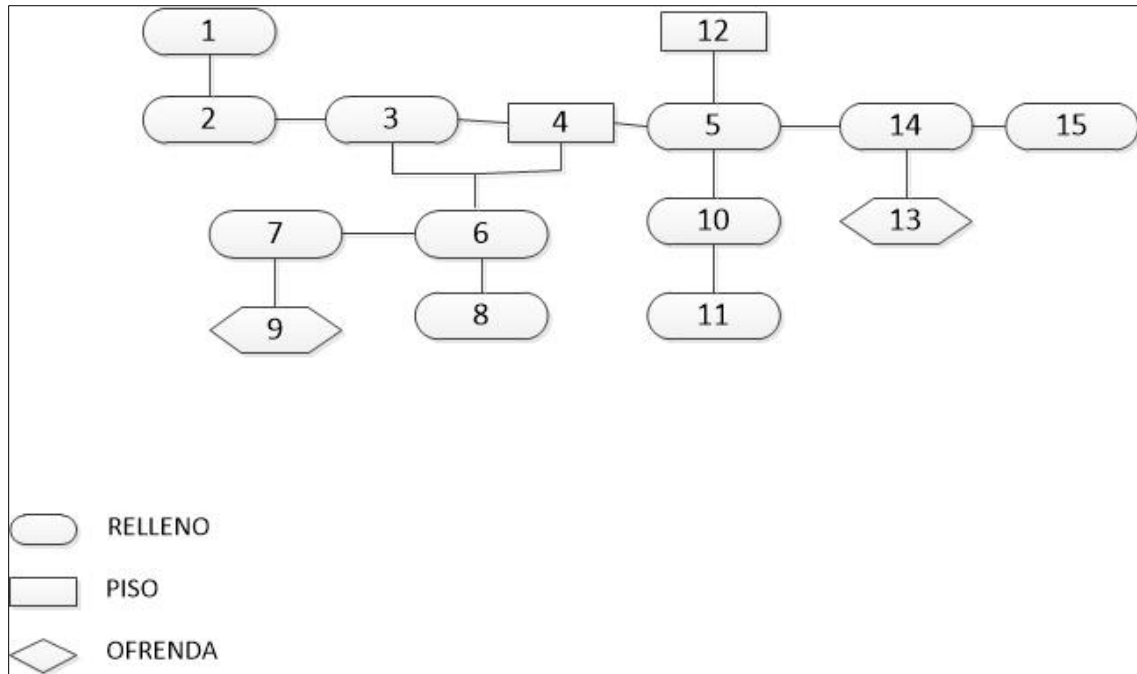


Figura 10.6. Matriz de Harris correspondiente a WIT.L.16. (Elaborado por Marta Perea).

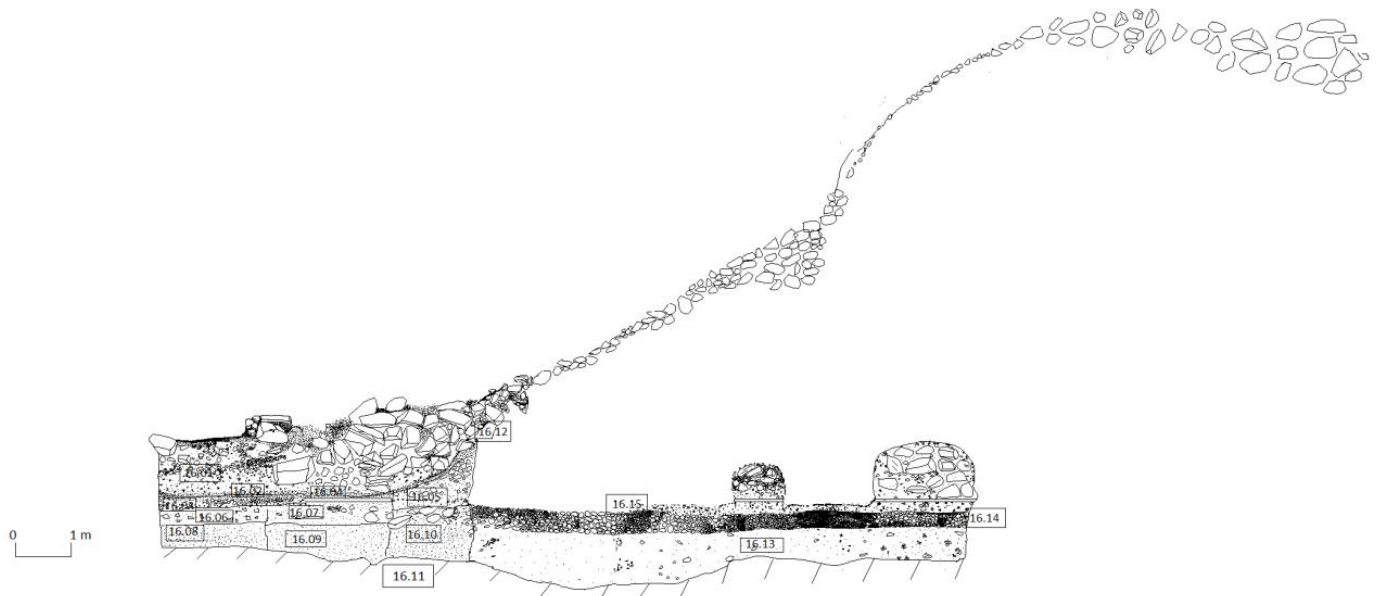


Figura 10.7. Perfil norte donde se observan los contextos ubicados en la excavación. (Dibujo de Marta Perea).

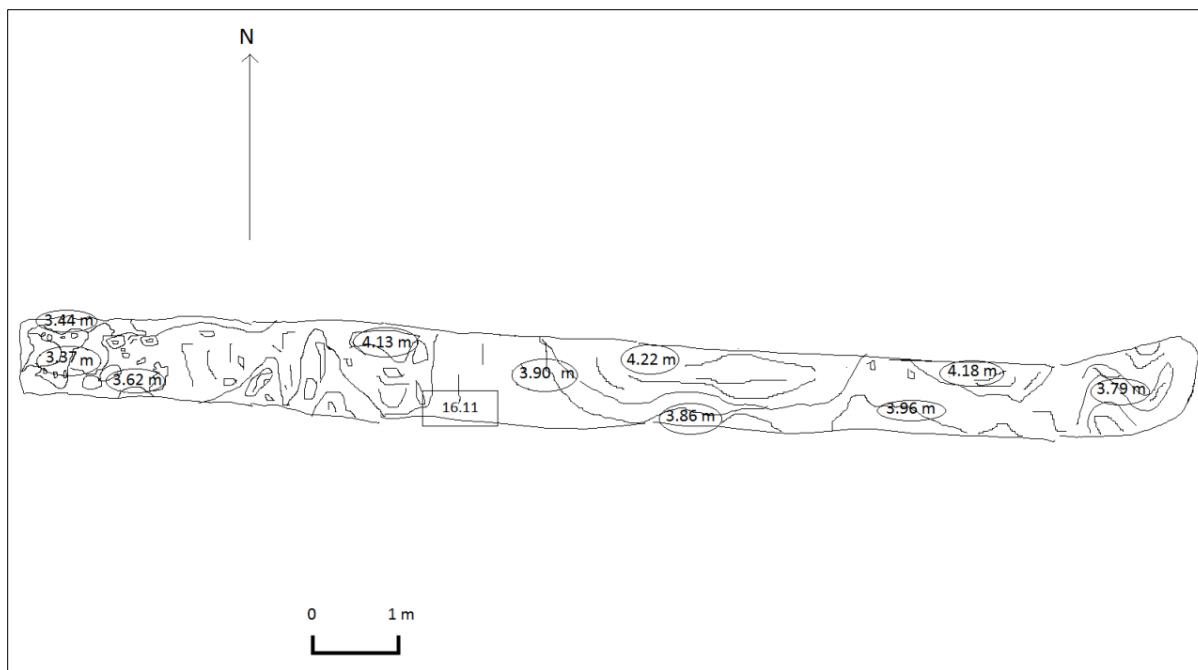


Figura 10.8. Planta de WIT.L.16. (Dibujo de Marta Perea).

## EXCAVACIÓN WIT.L.24, ESTRUCTURA 6 DE WITZNA'

### INTRODUCCIÓN

La excavación WIT.L.24, se efectuó con el propósito de llevar a cabo limpieza de saqueo en la trinchera y documentación (Figura 10.9). Debido a que el saqueo estaba expuesto, se puede apreciar la fachada y los perfiles. Se removió el humus del material de saqueo y colapso. Se documentó el perfil norte, plata y fachada este. La trinchera de saqueo mide 5.40 metros de largo en eje este-oeste y de alto en el lado este tiene 3.55 m y oeste 12 cm, muestra seis contextos.

### DESCRIPCIÓN DE LA EXCAVACIÓN:

Se removió una capa de humus mezclada con el material de colapso causado por el saqueo contexto WIT.L.24.01, este tuvo por dimensiones 1.40 m este y 12 cm oeste (Figura 10.10). Se realizó un registro en el perfil de la parte norte, con el fin de ver la continuidad del muro este. WIT.L.24.02, realizó 1 m hacia el este y 1 m al oeste. WIT.L.24.03, se trata del humus de la trinchera de saqueo, tierra color café oscura de 20 cm este y 16 cm oeste. WIT.L.24.04, correspondió a piedras de colapso con tierra color gris claro, de 1.40 m al este y 12 cm oeste. WIT.L.24.05, fue una mezcla de tierra color gris claro con piedras pequeñas de 95 cm este y 49 cm oeste. WIT.L.24.06, se le denominó a la pared de la fachada este (Figura 10.11).

### CONCLUSIÓN

La relaciones físicas entre contextos (cubre, corta, rellena, se adosa) se presentan en un esquema la Matriz de Harris, de manera que todos los contextos puedan ser reunidos en un mismo diagrama (anterior, posterior o contemporáneo). Por medio de la limpieza que se realizó en la trinchera de saqueo, se recuperó cerámica en el contexto WIT.L.24.01 y WIT.L.24.02. Solo se pudo establecer una fase constructiva que es la pared WIT.L.24.06 la relación estratigráfica sobre o debajo de otro contexto es expresada con una línea vertical, como se observan en el esquema de Matriz (Figura 10.12).

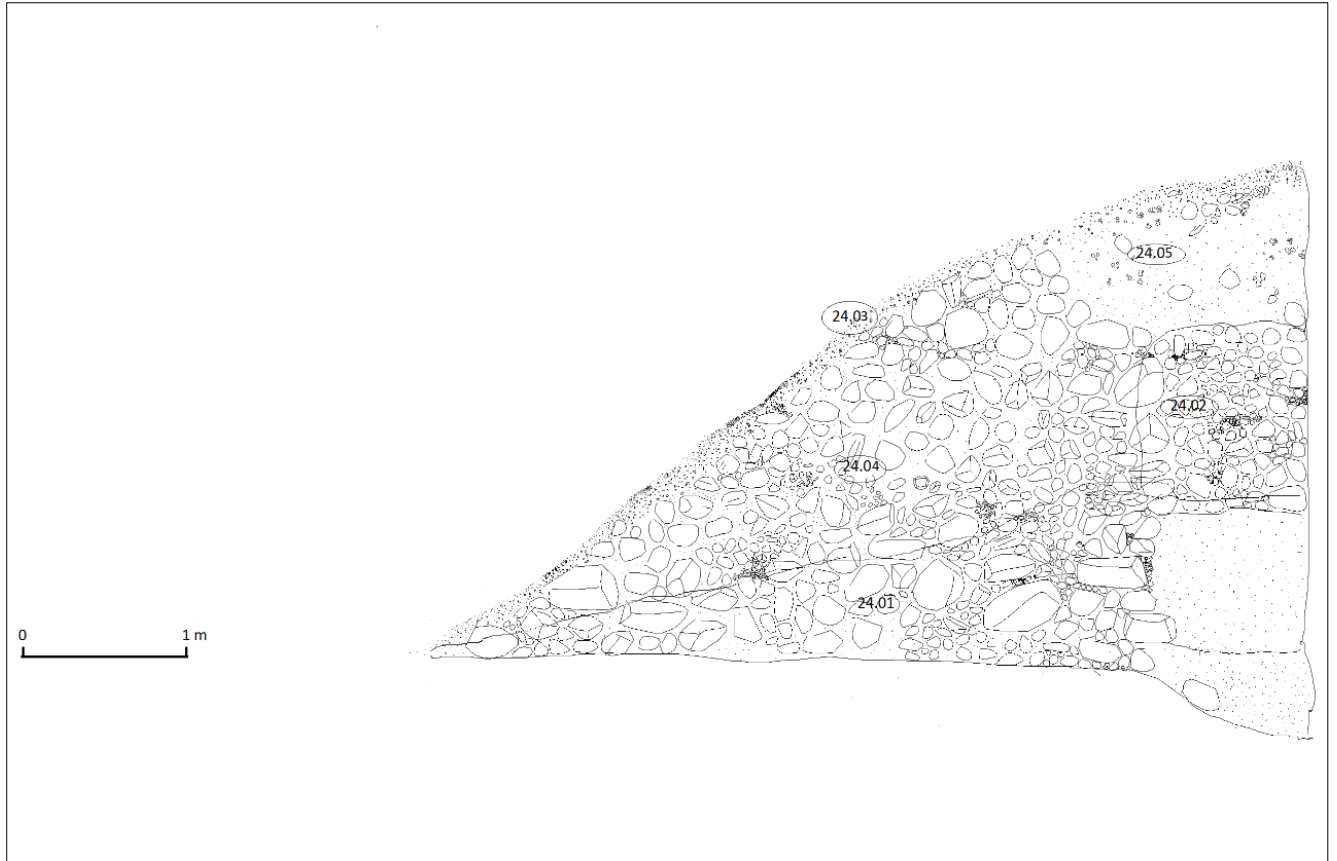


Figura 10.9. Perfil norte donde se observan los contextos ubicados en la excavación. (Dibujo de Marta Perea).

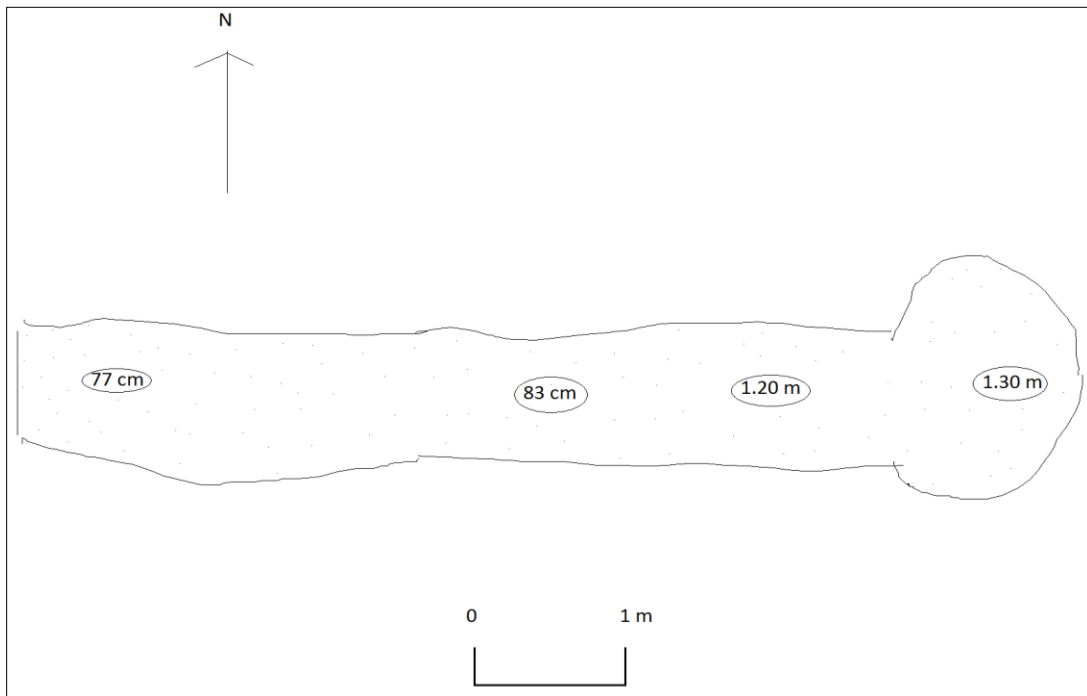


Figura 10.10. Planta de WIT.L.24. (Dibujo de Marta Perea).

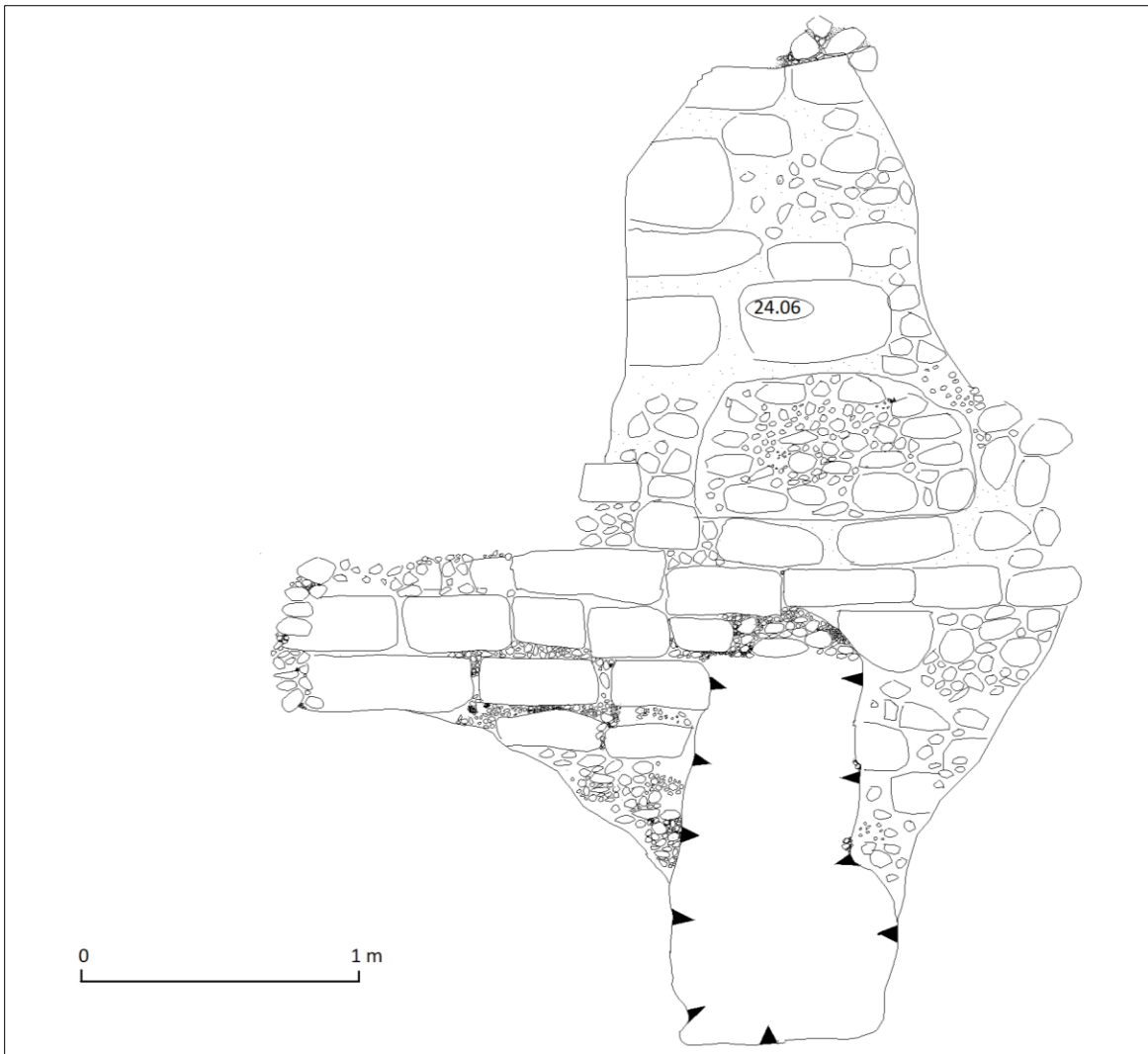


Figura 10.11. Perfil este de la fachada este donde se observan los contextos ubicados WIT.L.24.  
(Dibujo de Marta Perea).

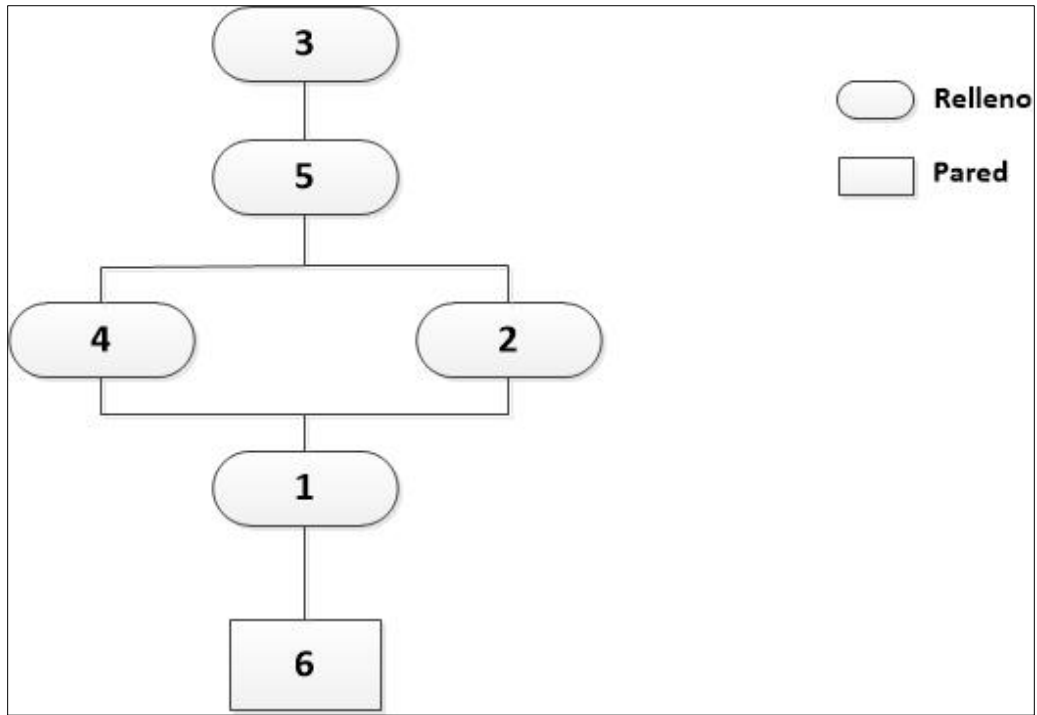


Figura 10.12. Matriz de Harris correspondiente a WIT.L.24. (Elaborado por Marta Perea).

## CAPÍTULO II

### ELABORACIÓN DE DIBUJOS DEL SITIO ARQUEOLÓGICO HOLMUL.

*Weagli Casasola*  
*Universidad de San Carlos de Guatemala*

#### INTRODUCCIÓN

La elaboración de dibujos de campo se efectuó con el propósito de realizar un catálogo de dibujos. Primeramente se realizó un planta general de la estructura I, sitio arqueológico Holmul, con la ayuda del programa *Cad Touch* dibujos realizados en un *tablet Samsung* proporcionada por el proyecto arqueológico, conjuntamente con todo el equipo de arqueología se dibujaron las fachadas y diferentes recintos que conforman esta estructura, lastimosamente por fallas del programa el dibujo de la planta general en la cual colaboré se borró, y junto con ello los datos recopilados de esta, por lo que se inició de nuevo con dicho dibujo. Por mi parte fui asignado para dibujar la fachada norte, Estructura I.

#### DESCRIPCIÓN DEL DIBUJO

El dibujo arqueológico de la fachada norte, estructura I, en el sitio arqueológico Holmul estuvo a cargo de Ricardo Rodas y Weagli Casasola junto a la colaboración de trabajadores operativos del proyecto, el dibujo consistió en un perfil este-oeste visto al norte que abarco un largo de 11.0 metros por una altura de 7.75 metros, se delimito en el dibujo el área que abarca dicha fachada y se incluyó los bloques que la conforman, (Figura 11.1) las dificultades con el programa y la poca potencia del procesador de la Tablet aunado al clima húmedo del sitio, produjeron retrasos en la elaboración de este dibujo por lo tanto no se terminó de procesar, queda pendiente para la siguiente temporada de campo.

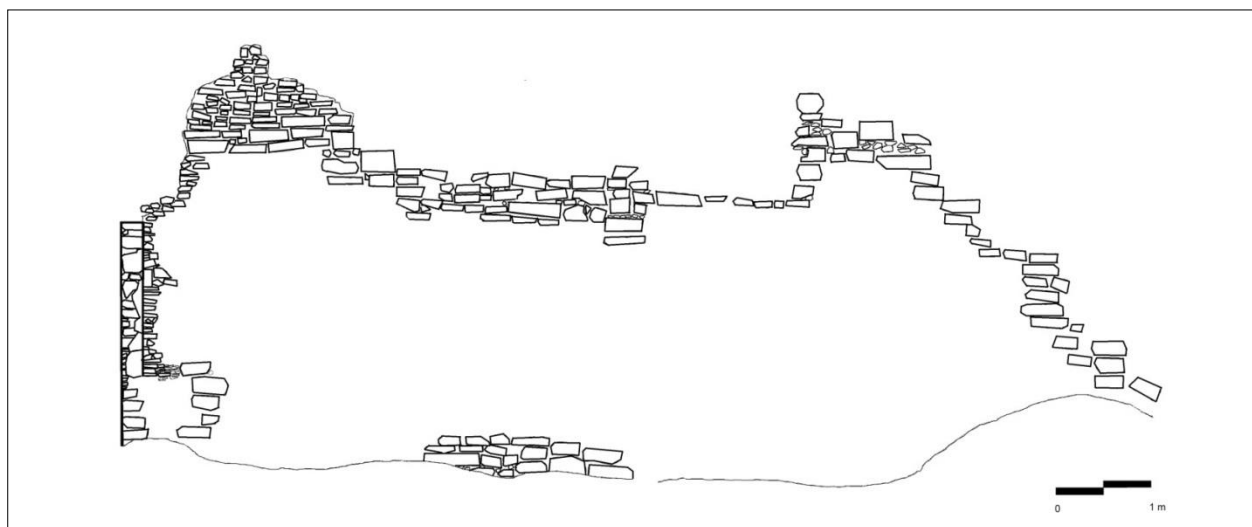


Figura 11.1. Perfil este-oeste de la fachada norte de la Estructura I de Holmul (Dibujo de Casasola y Rodas).

## EXCAVACIÓN WIT.L.10 PALACIO SUR, PLAZA NORTE, WITZN'A.

### INTRODUCCIÓN

La excavación WIT.L.10 se efectuó con el propósito de limpiar e investigar el saqueo principal ubicado en el eje central de la estructura denominada Palacio Sur, Plaza Norte del sitio arqueológico Witzna' este saqueo está orientado norte sur y enumerado como L.10. Presenta una trinchera de 13 metros de largo. Con un ancho inicial de 1.2 m, en su lado norte mientras que en lado sur la extensión este y la extensión oeste del saqueo provocaron el colapso del montículo exponiendo un agujero de 4.6 metros de largo por 2.8 de ancho.

La excavación WIT.L.10 se realizó con el objetivo de investigar un recinto que se expuso en la extensión este dentro del Palacio sur Plaza norte. Esta estructura es un montículo de 54.0 m de largo por 12.0 m de ancho en eje este-oeste con una altura de 8.0 m. La excavación se colocó primeramente sobre la parte central de la base y se dirigió hacia el lado este del montículo, posteriormente se realizó una extensión hacia el norte. Se definieron un total de 24 contextos arqueológicos.

### DESCRIPCIÓN DE LA EXCAVACIÓN:

Se inició con los trabajos arqueológicos dentro del saqueo del Palacio Sur, en la Plaza Norte, con el dibujo del perfil norte-sur visto al oeste del saqueo principal, esto debido a que la tierra que se extraería de la extensión sería colocada en este perfil. Para ello se reconocieron los contextos expuestos por el saqueo, se registró el humus contexto WIT.L.10.01 que es una capa de 0.40 m de espesor sobre toda la excavación con una inclinación de aproximadamente 10 grados de sur a norte. Es de color café oscuro, consistencia poco compacta, textura granulosa y suave, con inclusión de piedrín por un 50 % del volumen total.

Debajo del humus se encontró el contexto WIT.L.10.02. Este es un relleno de construcción color gris claro, consistencia poco compacta, textura granulosa suave, con inclusión de piedrín por un 50 % del volumen total. Su espesor es de 0.75 m con piedra caliza mediana y pequeña por toda la excavación. Dentro de este relleno constructivo WIT.L.10.02. Se ubicó a 8.40 m hacia el sureste del saqueo el contexto WIT.L.10.03. Este es un muro compuesto por 8 bloques de piedra caliza de 0.50 m de largo muro se ha identificado como fase constructiva I.

Dentro del relleno constructivo WIT.L.10.02. Se ubicó a 10.50 m hacia el sur-este del saqueo el contexto WIT.L.10.04. Este es un muro compuesto por 13 bloques de piedra caliza de 0.40 m de largo muro que se ha identificado como fase constructiva II. Dentro del relleno constructivo WIT.L.10.02. Se ubicó a 13.50 m hacia el sur-este del saqueo el contexto WIT.L.10.05. Este es un muro compuesto por 8 bloques de piedra caliza de 0.50 m de largo muro identificado como fase constructiva III.

Dentro del relleno constructivo WIT.L.10.02. Se ubicó a 13.50 m hacia el sur del saqueo el contexto WIT.L.10.06. Este es un muro compuesto por ocho bloques de piedra caliza de 0.50 m de largo muro que se ha identificado como fase constructiva IV. Todos estos muros fueron mutilados con la penetración del saqueo principal orientado de norte a sur (Figura 11.2).

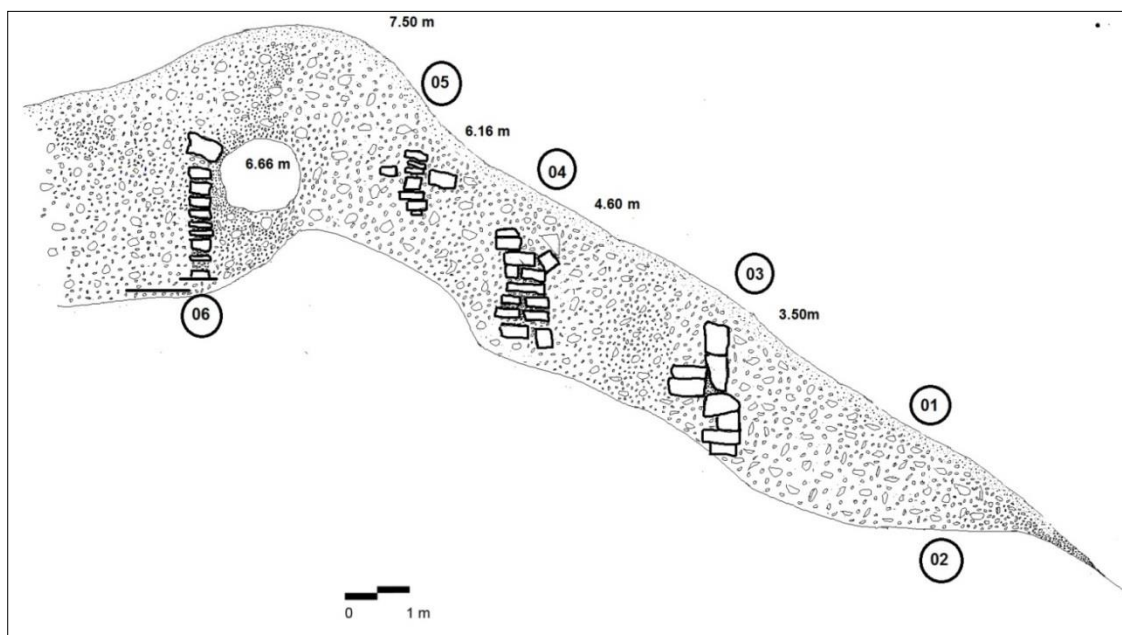


Figura 11.2. Perfil norte-sur, saqueo principal en el Palacio Sur de la Plaza Norte del sitio arqueológico Witzna' (Dibujo de Casasola).

## EXCAVACIÓN WIT.L.10 EXTENSIÓN ESTE, PALACIO SUR, PLAZA NORTE, WITZNA'

### DESCRIPCIÓN DE LA EXCAVACIÓN

La extensión este es la trinchera de saqueo ubicada al sureste de la trinchera principal (norte-sur), los objetivos de esta investigación eran la limpieza y descripción de los rasgos arquitectónicos que se expusieron en el saqueo, un recinto que presenta muros estucados de color salmón y otras características arquitectónicas las cuales se describen a continuación. La excavación arqueológica inicio con la limpieza de parte del saqueo en la extensión este, se decidió llevar el número de contextos en correlativo, así pues se expuso el contexto WIT.L.10.07 que es un relleno constructivo color gris claro, consistencia poco compacta, textura granulosa suave, con inclusión de pedrín por un 50% del volumen total.

Se menciona que dos apisonados están presentes dentro de este relleno constructivo al igual que pequeños rellenos de pedernal que se encuentran en su lado oeste. Debajo de este relleno constructivo se encontró el contexto WIT.L.10.08 consistente en un muro al sur perteneciente al recinto 1, que muestra estuco de color salmón, de este muro se expuso un largo total de 8.0 metros, tiene una altura de 0.90 m, con relación al piso del recinto.

Mientras la excavación se realizaba se expuso el contexto WIT.L.10.09 consistente en un muro al norte perteneciente al mismo recinto que muestra estuco de color salmón, de este muro se expuso un largo total de 2.43 metros, y tiene una altura de 0.82 m, con relación al piso del recinto. Con la exposición de los dos muros que conforman el recinto 1, se procedió a la limpieza de esta área, el piso fue nombrado contexto WIT.L.10.10 piso #1 estucado de 0.08 m de espesor compuesto de pedrín.

La excavación descubrió que el piso se encontraba cortado debido a una excavación que realizaron los saqueadores, este hallazgo se nombró WIT.L.10.11 el corte presenta un largo de 2.40 m y una profundidad de 1.52 m es un relleno constructivo tierra color gris oscuro textura granulosa, con inclusión de pedrín por un 50 % del volumen total. Su espesor es de 1.52 m con piedra caliza mediana y pequeña por toda la excavación. Dentro del corte se expuso el contexto WIT.L.10.12 que pertenece al piso #2 estucado de 0.05 m de espesor compuesto de pedrín este piso fue cortado por los saqueadores.

Continuando con la excavación se descubrió el contexto WIT.L.10.13 que pertenece al piso #3 estucado de 0.08 m de espesor compuesto de pedrín, este piso fue cortado por los saqueadores concluyendo la profundidad de este corte inmediatamente bajo este piso, no se evidencia que hayan descubierto algún hallazgo importante, por lo que se asume que solamente fue un registro ya que el piso presentaba restos de ceniza (Figura 11.3)



Figura 11.3. Corte realizado por los saqueadores sobre el piso del recinto 1 del Palacio Sur de la Plaza Norte sitio arqueológico Witzna' (Foto de Casasola).

Se retoma la continuidad de la excavación del muro norte del recinto 1, inmediatamente se descubrió la jamba este de un vano que conduce hacia el norte a lo que se denominó recinto 2, este contexto es WIT.L.10.14 la jamba presenta un altura de 2.43 m, en su lado este y un ancho total del vano de 1.83 m, e incluye restos de pintura roja. En la delimitación del jamba noreste se descubrió hacia el norte el contexto WIT.L.10.15 perteneciente al cuerpo de jamba (norte-sur) la cual presenta un remetimiento hacia el este, la esquina norte de la jamba presenta una altura de 2.40 m e incluye restos de pintura roja (Figura 11.4).



Figura 11.4. Vano norte, recinto 1 del Palacio Sur de la Plaza Norte del sitio arqueológico Witzna' (Foto de Casasola).

Al delimitar la jamba noreste se descubrió el contexto WIT.L.10.16 un piso denominado piso #1 del recinto 2, el cual no nivela con los pisos descubiertos en el corte que se realizó sobre el piso del recinto 1. Este piso de estuco presenta una fuerte presencia de ceniza el contexto *small find* (WIT.L.10.16.01) pertenece a restos de carbón recolectado en la esquina noreste sobre el piso 1 del recinto 2, la muestra es de 0.02 m de largo por 0.01 de ancho (Figura 11.5). De esta área también se extrajo muestra de ceniza y carbón para análisis de polen por la arqueóloga Cameron MacNeil.



Figura 11.5. Muestra de carbón recolectada en el recinto 2, Palacio Sur, plaza norte del sitio arqueológico Witzna' (Foto de Casasola).

Notando que la nivelación del piso del recinto 2, era diferente a la del recinto 1, se descubrió el contexto WIT.L.10.17 una grada de 0.30 m, de altura que conduce al recinto 2 y nivela el piso 1 de dicho cuarto. La grada presenta restos de pintura color rojo (Figura 11.6).



Figura 11.6. Grada que conduce al recinto 2, Palacio Sur, Plaza Norte del sitio arqueológico Witzna' (Foto de Casasola).

Continuando con la investigación arqueológica en el muro norte del recinto 1, se descubrió el contexto WIT.L.10.18 que pertenece a la continuidad del muro norte del recinto 1 presenta un largo de 3.15 m y una altura de 2.40 en lado este y 2.42 m en el lado oeste. En el largo de este muro mencionado anteriormente se llega a la distancia justa donde el saqueo principal norte-sur rompió este muro para ingresar al recinto. Se reporta en el muro sur del recinto 1 el contexto WIT.L.10.19 localizando las jambas este y oeste estucadas con un color salmón y restos de pintura color rojo en su parte inferior, la jamba este presenta una altura de 1.10 m mientras que la jamba oeste presenta una altura de 1.4 m las jambas presentan un ancho norte sur en su parte inferior de 1.6 m, mientras que su parte superior presentó un ancho de 1.7 m, cada jamba presenta su respectivo remetimiento tanto el este como al oeste y conducen a lo que se denominó recinto 3, a diferencia del recinto 2 esta entrada no presenta grada que conduzca hacia el cuarto, el ancho total hacia el ingreso por medio del vano es de 0.81 m (Figura 11.7).



Figura 11.7. Vano suroeste que conduce al recinto 3, Palacio Sur, Plaza Norte del sitio arqueológico Witzna' (Foto de Casasola).

Por último se decide realizar un pozo de sondeo buscando tanto el muro norte del recinto I así como el piso, ya que la mutilación de estas dos características arquitectónicas desaparecen debido a la penetración del saqueo principal norte sur, para buscar estas evidencias se realizó un pozo de sondeo contexto WIT.L.10.20 dentro del derrumbe la excavación alcanzo el metro de profundidad siendo negativa las evidencias arquitectónicas mencionadas, por la tanto se abandona la excavación.

## EXCAVACIÓN WIT.L.10 EXTENSIÓN NORTE, PALACIO SUR, PLAZA NORTE, WITZNA’.

### DESCRIPCIÓN DE LA EXCAVACIÓN

La extensión norte es el contexto WIT.L.10.21 una trinchera de 4.00 metros de largo por 1.5 de ancho ubicada a 7.33 m, hacia el sur sobre la trinchera principal de saqueo (norte-sur) los objetivos de esta trinchera eran la ubicación del piso del recinto I, extensión este, y posiblemente ubicar alguna subestructura. Esta excavación produjo algunos hallazgos arquitectónicos los cuales se describen a continuación.

Iniciando la excavación se descubrió el contexto WIT.L.10.22 perteneciente a un relleno constructivo tierra gris claro consistencia poco compacta, textura granulosa suave, con inclusión de piedrín por un 50 % del volumen total. Su espesor es de 1.12 m con piedra caliza mediana y pequeña por toda la excavación. Dentro de este relleno constructivo se descubrió en el contexto un muro con talud ubicado en el perfil oeste, dicho muro presenta un largo de 3.86 m y una altura de 2.00 m, el muro presenta una inclinación de 45 grados de sur a norte, el muro fue mutilado en la penetración del saqueo principal (Figura 11.8).

Un nuevo relleno se descubrió en el contexto WIT.L.10.23 perteneciente a un relleno constructivo tierra gris oscura consistencia compacta, textura granulosa, con inclusión de piedrín por un 30 % del volumen total. Su espesor es de 1.12 m con piedra caliza mediana y pequeña por toda la excavación. Dentro de este relleno constructivo se ubicó el contexto WIT.L.10.24 perteneciente a un muro de contención este muro está compuesto por 6 bloques de piedra caliza orientados de norte a sur los bloque promedian 0.70 m de largo con una altura promedio de 0.25 m dicho muro le proporcionaba cimiento al muro con talud descubierto en esta extensión. Con este último hallazgo se dio por terminada la investigación dentro de la trinchera extensión norte, por lo que se procedió a rellenar las excavaciones expuestas en la operación denominada L.10.



Figura 11.8. Extensión norte, saqueo L.10, Palacio Sur, Plaza Norte del sitio arqueológico Witzna’ (Foto de Casasola).

## CONCLUSIONES

El dibujo de la fachada norte en la Estructura 1 del sitio arqueológico Holmul queda pendiente para la siguiente temporada de campo, los problemas con el programa *Cad touch* son cada vez menores, debido al trabajo continuo con este programa se han encontrado formas para que el programa no se trabe, por ejemplo al usar la herramienta para marcar líneas con medidas se da un primer toque y sin dejar de presionar el dedo se espera hasta que la herramienta marque un cuadro, eso indica que se puede mover, luego de instalarla en el lugar deseado se da un nuevo toque y se espera hasta que aparezcan los números, con ello puede hacer una línea con medidas. Pero si al contrario no se permite que la herramienta seleccionada indique su uso y se sigue tocando la pantalla lo que sucederá es que esta se trabara y no habrá otra forma de trabajar en ella más que volviéndola a apagar y reiniciar.

Las excavaciones arqueológicas en la extensión este del saqueo principal del palacio sur, plaza norte del sitio Witzna' permitieron conocer parte de la arquitectura y funcionalidad de esta estructura, es posible que a lo que se ha denominado recinto 1, sea un corredor que atravesase buena parte de la estructura en un eje este-oeste, y que dicho corredor conduzca a diferentes recintos tanto al norte como al sur de la estructura, la excavación realizada demostró que el recinto 1, o corredor conduce al recinto 2 a través de un amplio vano hacia el norte, también conduce hacia el recinto 3 a través de un vano orientado hacia el sur (Figura 11.9). La diferencia entre los vanos que conducen a estos recinto es notable ya que el vano hacia el norte es de mayores dimensiones, también el ingreso a este recinto es a través de una grada que le brinda una nivelación diferente del recinto 1 (Figura 11.10). Por su parte el vano sur es de dimensiones regulares y no presenta grada que haga cambiar el nivel del piso.

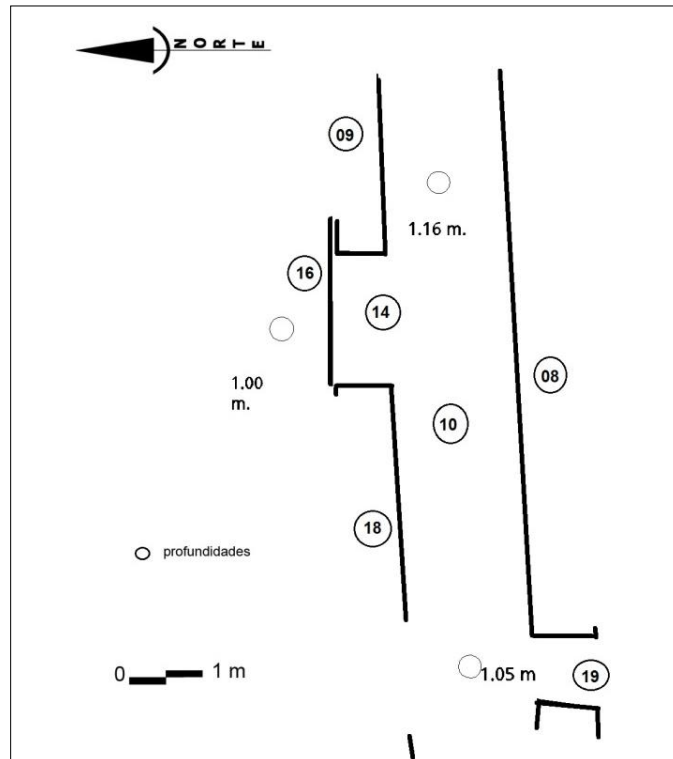


Figura 11.9. Planta del recinto 1 y vanos que conducen al recinto 2 al norte, y recinto 3 al sur del Palacio Sur, Plaza Norte del sitio arqueológico Witzna' (Dibujo de Casasola).

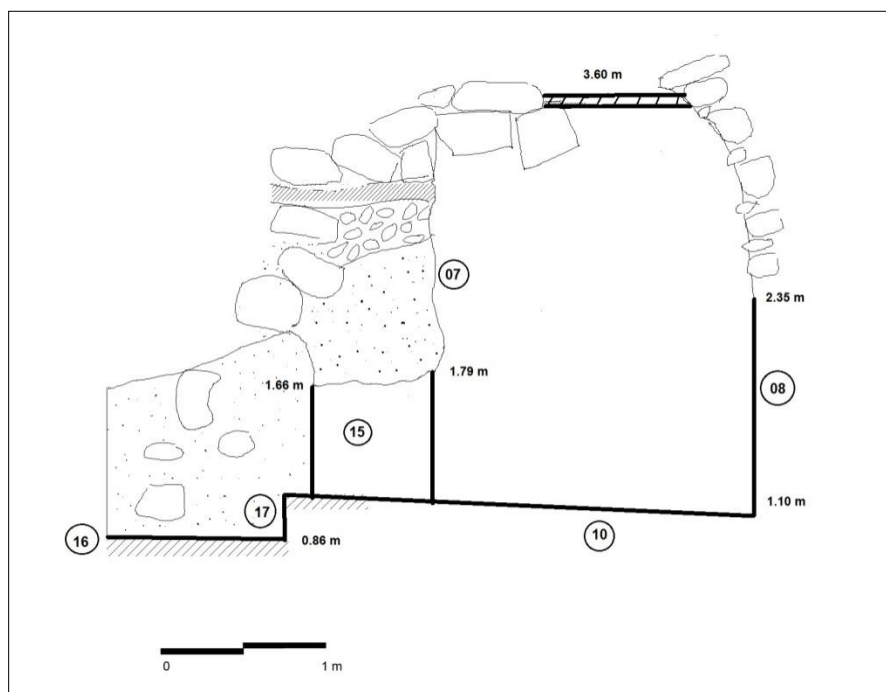


Figura 11.10. Perfil norte-sur del recinto 1 y grada que conduce al recinto 2, Palacio Sur, Plaza Norte del sitio arqueológico Witzna' (Dibujo de Casasola).

Este recinto o corredor corresponde a una estructura de crujía alargada características de las edificaciones tipo palacio, El termino palacio, fue primeramente utilizado por los cronistas españoles en el siglo XVI, para referirse a estructuras complejas, este término ha sido retomado por los investigadores mayistas para referirse a edificios de múltiples cámaras y en ocasiones de más de un nivel, así como a estructuras abovedadas menores, sin embargo se ha reconocido la dificultad en la asignación de funciones y la confusión que a veces ha generado el término.

Investigaciones que han incluido excavación detallada en sitios como Tikal (Harrison 2003), Aguateca (Inomata 2001; Inomata y Triadan 2003), Caracol (Chase y Chase 2001) y Copán (Traxler 2003) han proveído información que permite sostener un uso habitacional de tales estructuras por parte de grupos de individuos de alto estatus. Sin embargo uno de los problemas principales es identificar si efectivamente, todas las estructuras de crujía alargada pueden ser identificadas como espacios habitacionales; (Prem 2003:277), con base en estudios arqueológicos y etnohistóricos se ha propuesto que los palacios mayas pudieron haber albergado familias extensas de élite.

Kurjack (1999:312) ha sugerido que el plan en cuartos o celdas podría haber dividido de manera marcada subgrupos de habitantes, probablemente familias nucleares emparentadas. Las estructuras tipo palacio pudieron tener varias funciones, incluyendo su ocupación habitacional, sin embargo debió de haber existido diferencias respecto a quienes vivían en ellas ya fueran los gobernantes o bien individuos de alto estatus pero no necesariamente gobernantes como los habitantes del Palacio sur en Witzna'.

Según Harrison (2003:103), las plantas de los edificios de la Acrópolis Central de Tikal muestran distribuciones que combinan cuartos tándem y cuartos transversales, de manera que hay cuatro variantes posibles que van de lo simple a lo complejo, y que son estructuras: (1) sin tándem ni cuartos transversales, es decir una estructura de un solo cuarto, (2) con tándem pero sin cuartos transversales, (3) sin tándem con cuartos transversales, que puede ser de múltiples cuartos, y (4) con tándem y cuartos transversales, que sería la variante más compleja y con el mayor número de arreglos posible de los cuartos. (Figura 11.11).

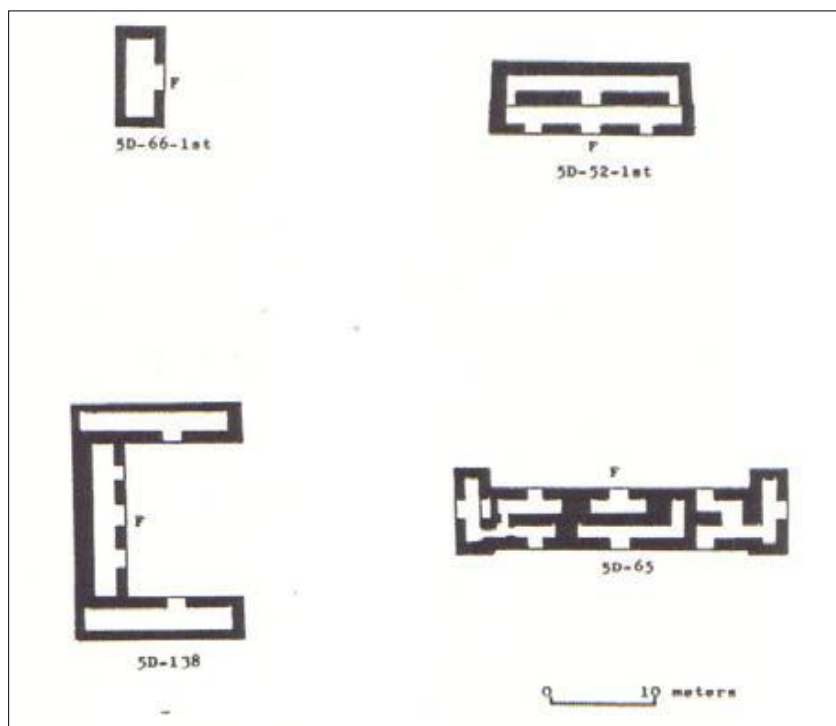


Figura 11.11. Cuatro tipos de planta de estructuras en la Acrópolis Central de Tikal: sin tándem ni cuartos transversales; con tándem, sin cuartos transversales; sin tándem, con cuartos transversales; con tándem y cuartos transversales (Tomado de Harrison 2003: 104, Fig. 4.4).

El muro norte del recinto 1 o corredor presentó una perforación en su lado noroeste debido al ingreso del túnel de saqueo, aunque se realizó una excavación en búsqueda tanto del piso como del resto del muro, fue infructuoso, posiblemente debido al colapso del montículo y la enorme acumulación de bloques, tierra y piedra que cayó encima de este muro lo hayan destruido en su totalidad. Es posible que en una siguiente temporada se pueda seguir el muro sur, y verificar si este también se destruyó con el colapso del montículo o si guarda restos de su muro. Esto sería importante para delimitar el tamaño total de este corredor, conocer si en algún momento cierra hacia el oeste entonces lo convertiría en un recinto o si continúa hacia el oeste con lo cual se determinaría que es un corredor.

En el corte que los saqueadores realizaron sobre el piso del recinto 1, se develaron dos pisos estos pisos no nivelaron con el piso del recinto 2, por lo que preliminarmente se propone como posibles pisos de subestructuras que se plantea sería interesante de investigar en una próxima temporada. Las excavaciones arqueológicas realizadas en el saqueo L.11 demostraron la existencia de una subestructura a una profundidad de 2.00 metros sobre la superficie y a 9.66 metros de distancia hacia el este del recinto 1, saqueo L.10.

Las excavaciones en la ampliación norte del saqueo L.10 demostraron la existencia de un muro con talud que corre en dirección este-oeste y presenta una profundidad de 0.02 metros con relación a la superficie. Esto demuestra que este muro se encuentra a un metro más abajo del piso del recinto 1 investigado en la extensión este (Figura 11.12).

Los muros de las fases constructivas 1 y 2 descansan sobre un apisonado a una profundidad de 0.93 metros en relación a la superficie. Un muro de contención fue descubierto bajo el muro en talud, está compuesto de bloques grandes de caliza que le brindan estabilidad a esta construcción, es posible que el muro en talud sea parte de la fachada principal de la fase constructiva I (Figura 11.13).

Gracias a las excavaciones arqueológicas realizadas en la estructura del Palacio Sur y Plaza Norte se trató de reconstruir esta estructura, preliminarmente se puede decir que tiene 52 m de largo presenta una gran cantidad de cuartos dispuestos al norte y al sur de la estructura. Presenta una estructura interna que al parecer no fue dañada por los saqueadores y que podría brindar grandes y gratas sorpresas arqueológicas en las próximas temporadas.

Se presenta un diagrama de matriz de Harris (Figura 11.14) que consiste en representar gráficamente la estratificación de las excavaciones arqueológicas así como los contextos que se interrelacionan entre sí. La matriz de Harris radica en el estudio, a través de la superposición de estratos o capas, de la tierra con fines arqueológicos. A cada estrato o capa le corresponde una edad o periodo diferente, por lo tanto, según el estrato donde se halle un objeto es posible datar su antigüedad. Una vez diferenciados los niveles estratigráficos hay que establecer una secuencia cronológica que permitirá el correcto estudio y clasificación del yacimiento.

Cuatro son los principios básicos por los que se rige este método:

- 1- Ley de la superposición de estratos: Las capas más superiores serán más recientes que las más profundas o inferiores.
- 2- Ley de la horizontalidad original: Los estratos se forman originalmente de forma horizontal.
- 3- Ley de la continuidad original: cada depósito es en origen un conjunto informe, sin aristas divisorias ni cuadrículas realizadas para la clasificación del yacimiento.
- 4- Ley de la sucesión estratigráfica: A cada estrato le sucede otro que corresponde con una etapa posterior en el tiempo.

Actualmente, la arquitectura se está sirviendo de esta metodología para realizar obras de restauración, permitiendo obtener un mayor conocimiento del edificio a intervenir. Esta metodología aplicada a la arquitectura es conocida como: Arqueología de la Arquitectura. Ha sido en las duras condiciones de los yacimientos urbanos donde ha mostrado su eficacia y obtenido credenciales, donde el entrañable diario de excavación y los viejos métodos han pasado a mejor vida.

Por último como una colaboración se realizó dos dibujos en auxilio a compañeros arqueólogos atrasados en su elaboración, se hizo un perfil este-oeste del saqueo L.11 en el Palacio Sur de la Plaza Norte, esta operación instalada al este del saqueo L.10 (Figura 11.15). También se realizó el dibujo en planta del Palacio Norte, Estructura 1, Witzna', (Figura 11.16). Se hace la aclaración de que dichos dibujos no presentan contextos debido a que estos trabajos fueron realizados por otros arqueólogos, aquí solamente se adjuntan para su respectivo archivo.



Figura 11.12. Perfil norte-sur, extensión norte, saqueo L.10, Palacio Sur, Plaza Norte del sitio arqueológico Witzna' (Foto de Casasola).

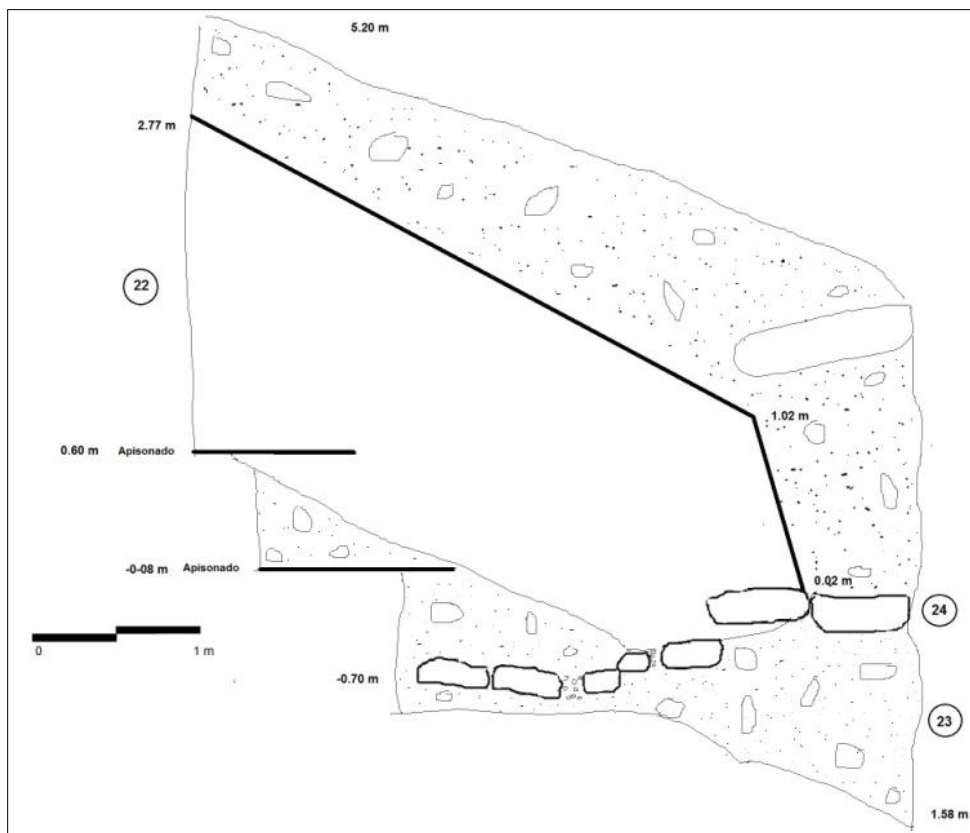


Figura 11.13. Perfil norte-sur, extensión norte, saqueo L.10, Palacio Sur, Plaza Norte del sitio arqueológico Witzna' (Dibujo de Casasola).

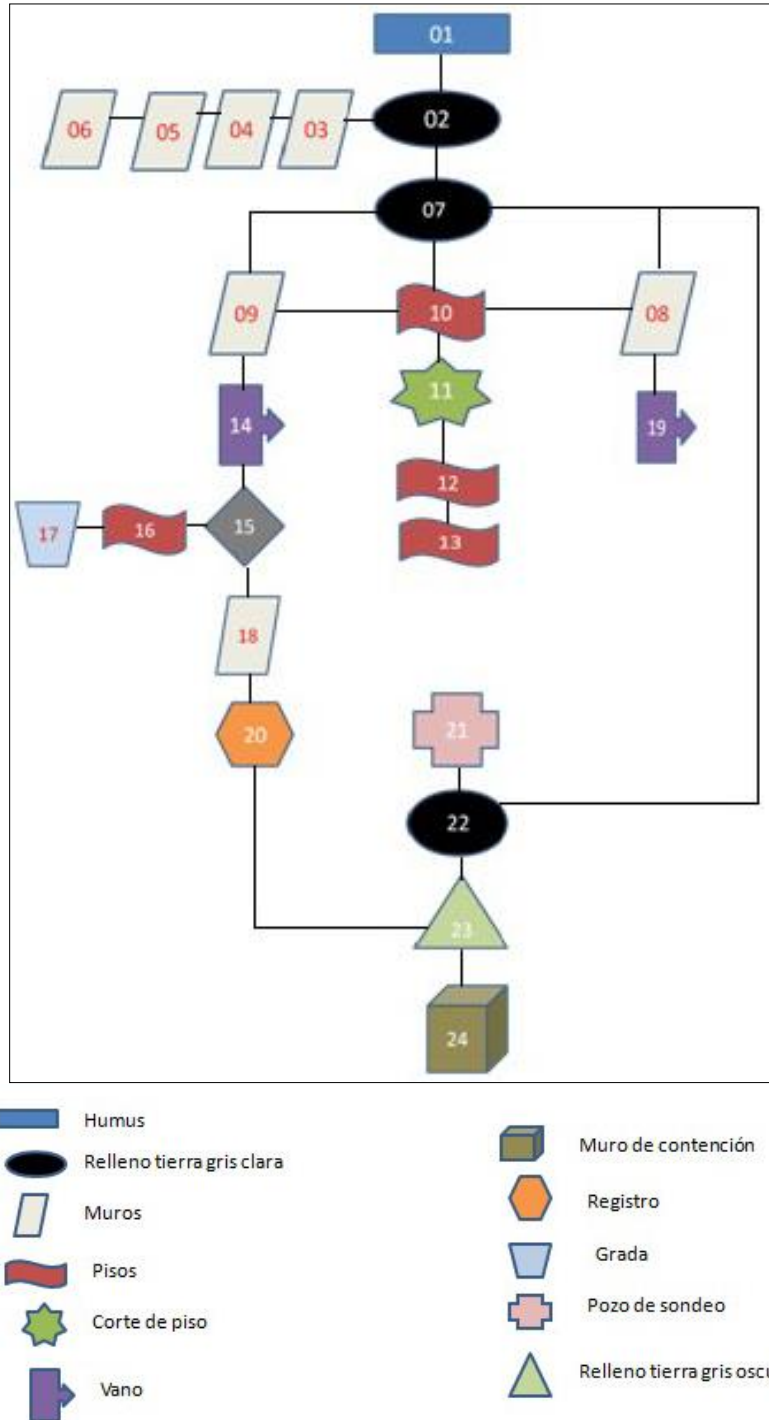


Figura II.14. Diagrama Matriz de Harris con números se representan los contextos excavados en la temporada 2016. (Digitalización de Casasola).

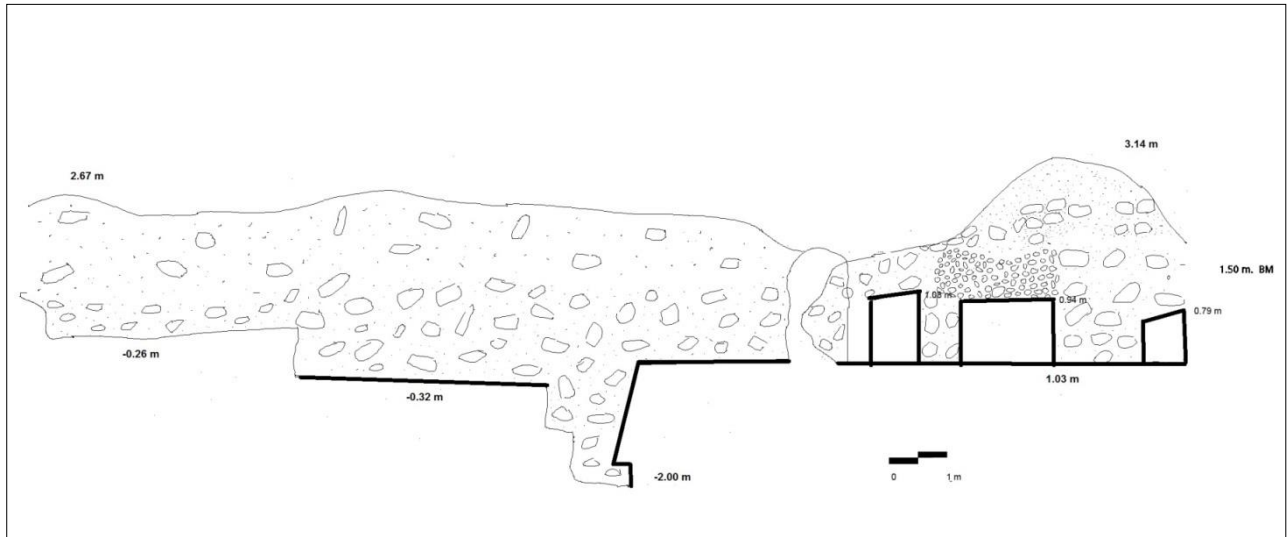


Figura 11.15. Perfil este-oeste, Operación L.II, Palacio Sur, Plaza Norte del sitio arqueológico Witzna'.

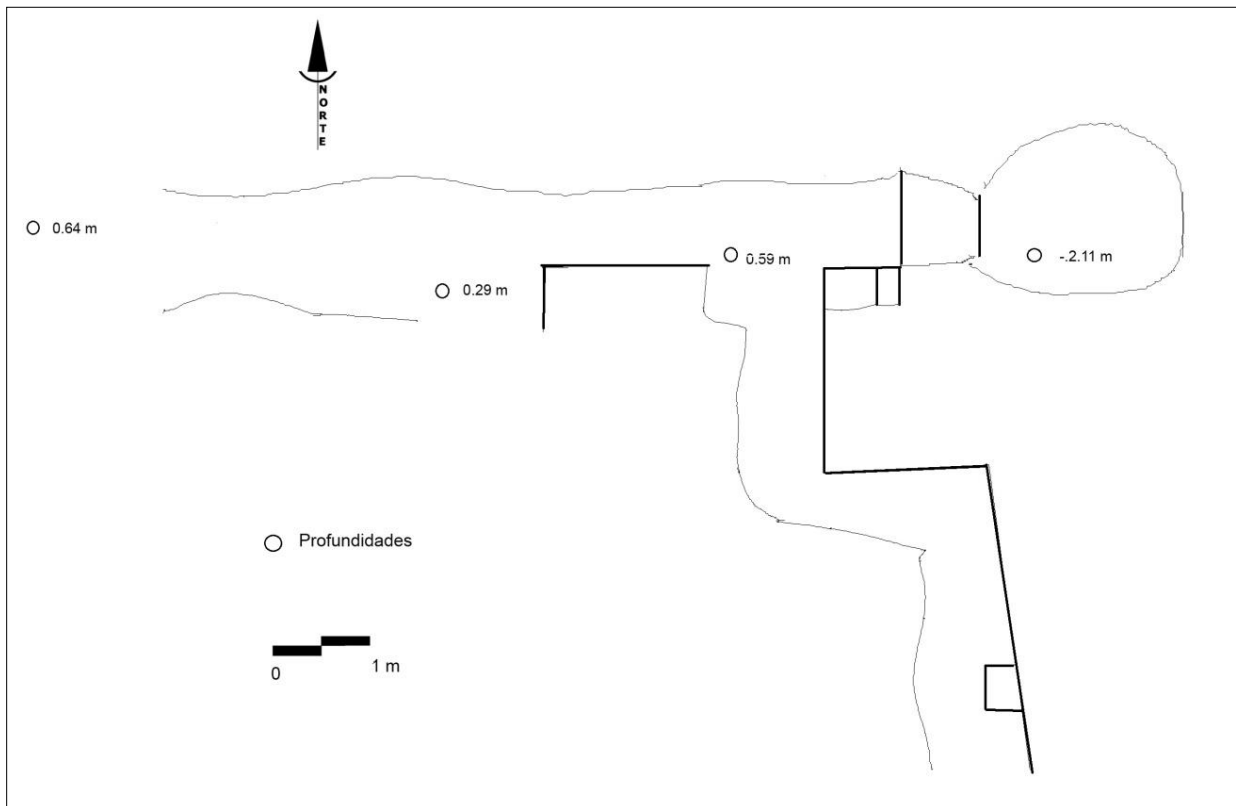


Figura 11.16. Planta recinto oeste, Palacio Norte de la Plaza Norte, Estructura 1 del sitio arqueológico Witzna'.

## REFERENCIAS

Chase, Arlen F. y Diane Z. Chase

2001 *The Royal Court of Caracol, Belize: Its Palaces and People. Royal Courts of the Ancient Maya*. Vol 2. (Editado por T. Inomata y S.D. Houston): 102- 137. Westview Press. Colorado and Oxford.

Harrison, Peter D.

2003 *Palaces of the Royal Court at Tikal. Maya Palaces and Elite Residences*: 98-119. University of Texas Press. Austin.

Inomata, Takeshi

2001 *The Classic Maya Palace as a Political Theatre*. En *Reconstruyendo la ciudad maya: El urbanismo en las sociedades antiguas* (Editado por A. Ciudad, M.J. Iglesias y M. del C. Martínez): 341-362. Sociedad Española de Estudios Mayas. Madrid.

Prem, Hanns J.

2003 *Aspectos de los patrones de asentamiento en la región Puuc Central*. En *Escondido en la Selva* (Editado por H. Prem): 273-308. Universidad de Bonn. Instituto Nacional de Antropología e Historia. Bonn y México DF.

Kurjack, Edward B.

1999 *Political Geography of the Yucatan Hill Country*. Acta Mesoamericana 7. Hidden Among the Hills (Editado por H.J. Prem): 308- 315. Saurwein. Bonn.

Traxler, Loa P.

1996 *Grupos de patios tempranos de la Acrópolis de Copán*. *Yaxkin*. Órgano de Divulgación del Instituto Hondureño de Antropología e Historia. Volumen XVI, Tomos I y II: 35-54.

[https://en.wikipedia.org/wiki/Harris\\_matrix](https://en.wikipedia.org/wiki/Harris_matrix)

## CAPÍTULO 12

### EXCAVACIÓN WIT.T.04, POZO DE SONDEO, PLAZA II, WITZNA’.

*Yessica Tumax*  
*Centro Universitario de Petén*

#### INTRODUCCIÓN

La excavación WIT.T.04 se realizó con el propósito de investigar la arquitectura. Es un pozo de sondeo de 2x2 m ubicado en la Plaza Central II, al frente de la Estructura 5.

#### DESCRIPCIÓN DE LA EXCAVACIÓN

Se inició la excavación removiendo el humus, Contexto WIT.T.04.01. Es una capa de 0.31 m de espesor sobre toda la excavación, tierra de color café oscuro y se observó algunas raíces y un 10% de piedras pequeñas.



Figura 12.1. Pozo de sondeo ubicado en la Plaza II. Contexto WIT.T.04.01, humus. Vista hacia el Sur.  
(Foto de Yessica Tumax).

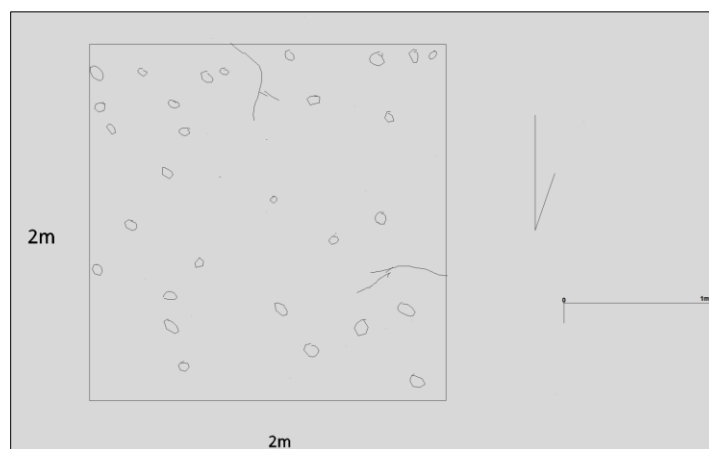


Figura 12.2. Pozo de sondeo ubicado en la Plaza II, frente a la Estructura 5. Dibujo de Planta (escala 1:1) de WIT.T.04.01, humus. 01 de Junio, 2016 (Dibujo de Yessica Tumax).

Debajo del humus se encontró el contexto WIT.T.04.02. Es una capa de tierra de color café claro con un grosor de 0.17m en toda la excavación. Se pudo observar un mínimo de 15% de piedras muy pequeñas. En el perfil Oeste se pudo observar una línea de aproximado 2 cm de grosor de caliza lo que indica un piso. Dentro del contexto WIT.T.04.02 se dio un relleno de piedras grandes de caliza de 0.30m de ancho x 0.40m de largo (30%), piedras regulares de un aproximado de 0.15m de ancho por 0.20 de largo (40%) y piedras pequeñas de un aproximado de 0.10m de ancho x 0.10m de largo (30%). Debido al piso que se encontró se considera que existió una ocupación la cual posiblemente sea la última de la plaza. Se encontró algunos fragmentos de cerámica y pedernal.



Figura 12.3. Pozo de sondeo ubicado en la Plaza II. Contexto WIT.T.04.02, tierra café claro, piso en el perfil y relleno de piedras. Vista del Perfil oeste (Foto de Yessica Tumax).

Debajo del relleno de piedras se encontró el contexto WIT.T.04.03. Es una capa de tierra de color gris oscuro con un grosor de 0.24m y con una textura más suave, y se integra por un 8% de piedrín (dispersas en el pozo). No se encontró material arqueológico.



Figura 12.4. Pozo de sondeo ubicado en la Plaza II. Contexto WIT.T.04.03, tierra gris oscuro. Vista hacia el Sur (Foto de Yessica Tumax).

Debajo del relleno de tierra gris oscuro se encontró el contexto WIT.T.04.04. Es una capa de tierra apisonada de caliza y bien compactada. Esta tiene un grosor de aproximadamente 0.12 m y se pudo observar alguna que otra piedra de caliza. Es posible que este indique que se dio otra ocupación.



Figura 12.5. Pozo de sondeo ubicado en la Plaza II. Contexto WIT.T.04.04, tierra apisonada bien compactada. Vista hacia el este (Foto de Yessica Tumax).

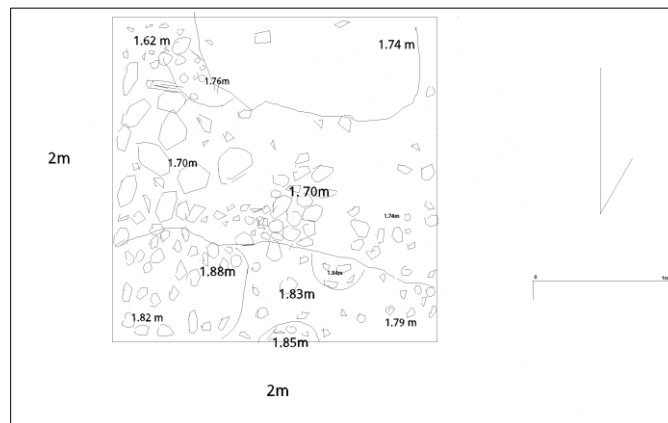


Figura 12.6. Pozo de sondeo ubicado en la Plaza II frente a la Estructura 5. Dibujo de planta (escala 1:1) de WIT.T.04.04, tierra apisonada. (Dibujo de Yessica Tumax).

Al seguir excavando se dio un cambio donde se encontró el contexto WIT.T.04.05 debajo de WIT. T. 04.04 (tierra apisonada). WIT.T.04.05 es un relleno de caliza utilizado probablemente para nivelación de la roca madre. Esta tiene un grosor de aproximadamente 0.12m y una textura muy suave. No se encontró material arqueológico.



Figura 12.7. Pozo de sondeo ubicado en la Plaza II. Contexto WIT.T.04.05, relleno de nivelación. Vista hacia el este (Foto de Yessica Tumax).

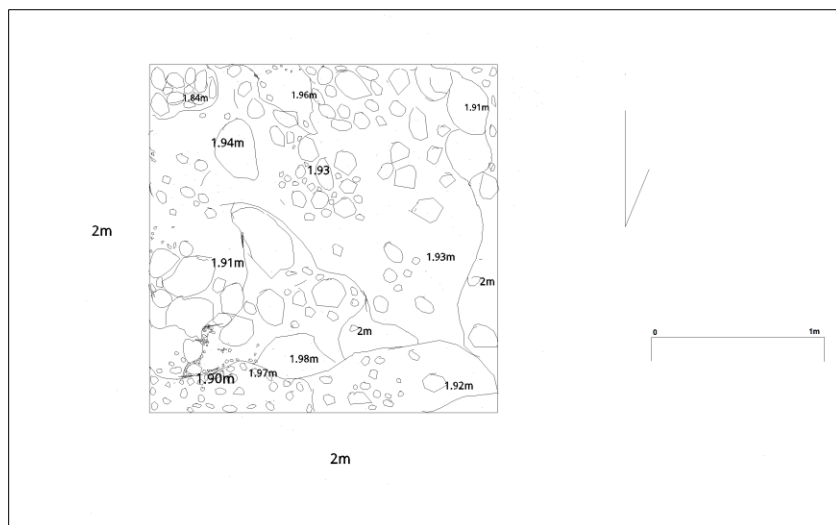


Figura 12.8. Pozo de sondeo ubicado en la Plaza II, frente a la Estructura 5. Dibujo de Planta (escala 1:1) de WIT.T.04.05, utilizada para nivelación de la roca madre. (Dibujo de Yessica Tumax).

Por último se encontró el contexto WIT.T.04.06 que es la roca madre. Esta de color blanco, duro y desnivelado. Esta se encontraba debajo de WIT.T.04.05 (relleno utilizado para nivelar la roca madre).



Figura 12.9. Pozo de registro ubicado en la Plaza II. Contexto WIT.T.04.06, roca madre. Vista hacia el sur (Foto de Yessica Tumax).

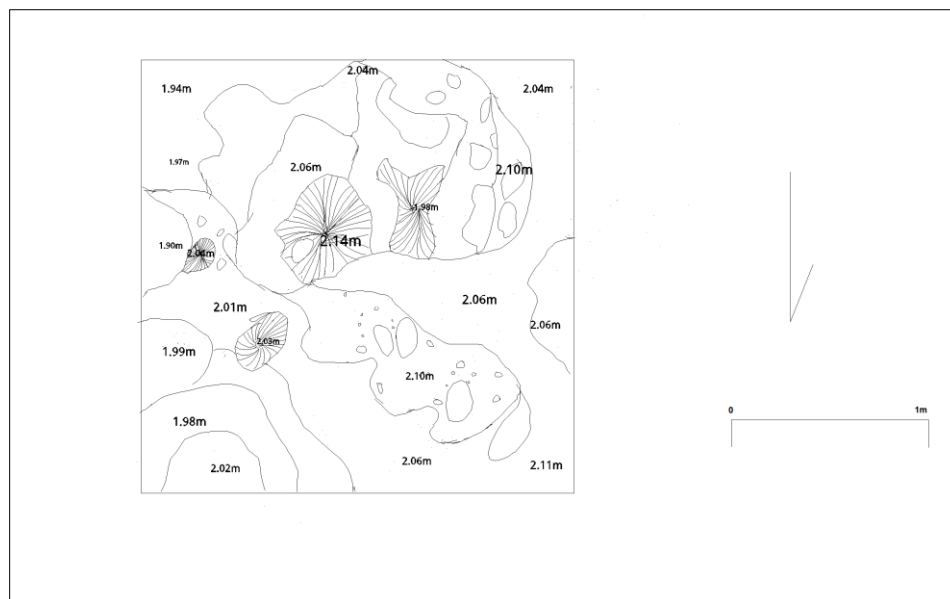


Figura 12.10. Pozo de sondeo ubicado en la Plaza II, frente a la Estructura 5. Dibujo de Planta (escala 1:1) de WIT.T.04.06, roca madre. (Dibujo de Yessica Tumax).

## CONCLUSIÓN

En el pozo de sondeo WIT.T.04 se encuentra ubicado en la base de la Plaza II, frente a la Estructura 05. Se realizó esta excavación con el propósito de observar la arquitectura del sitio (encontrar algún piso). En el contexto WIT.T.04.06 se encontró la roca madre y como esta estaba desnivelada fue utilizada un relleno de caliza (contexto WIT.T.04.05) para nivelarlo y así se da la primera ocupación donde se encontró en el contexto WIT.T.04.04 la tierra apisonada. La segunda ocupación posiblemente se dé durante la tierra gris oscura que se encontró en el contexto WIT.T.04.03. El contexto WIT.T.04.02 se dio un relleno de piedrín que fue utilizada para sostener el piso que se encontró en la tierra café claro y que solo se pudo observar en el perfil oeste (WIT.T.04.02). Este piso nos indica que se dio una tercera ocupación y posiblemente la última de la Plaza II. Se ilustra en la siguiente figura la matriz de Harris donde muestra las etapas constructivas y sus relaciones.

## EXCAVACIÓN WIT.T.07, POZO DE SONDEO, PLAZA IV, WITZNA:

### INTRODUCCIÓN

La excavación WIT.T.07, pozo de sondeo ubicado en la base de la Plaza IV, Witzna. Se efectuó con el propósito de encontrar alguna fase constructiva (piso, muro, etc.), alguna ofrenda y para investigar mejor la estela que se encontraba dentro de la unidad. Este es un pozo de sonde de 2x2 metros. La excavación se colocó alrededor de la estela.

### DESCRIPCIÓN DE LA EXCAVACIÓN

Se inició la excavación removiendo el humus, Contexto WIT.T.07.01, es una capa bien gruesa de 0.35 m de espesor sobre toda la excavación. La tierra es de color café oscuro y se pudo observar muchas raíces y un 20% de piedras pequeñas. Se encontraron ocho fragmentos de machacadores y algunos tiestos.



Figura 12.11. Pozo de sondeo ubicado en la Plaza IV. Contexto WIT.T.07.01, humus y la estela. Vista hacia el este (Foto de Yessica Tumax).



Figura 12.12. Pozo de sondeo ubicado en la Plaza IV. Dibujo de planta (escala 1:1) del contexto WIT.T.07.01, humus. (Dibujo de Yessica Tumax).

Debajo de la capa de humus se encontró el contexto WIT.T.07.02 que consiste de tierra color gris claro, de textura suave. Se observó algunas raíces y un 5% de piedras pequeñas. Esta tiene un grosor de un aproximado 0.20 m sobre toda la excavación. Se encontró un fragmento de obsidiana (posiblemente una navaja).



Figura 12.13. Fragmento de obsidiana encontrada en el contexto WIT.T.07.02. (Foto de Yessica Tumax).



Figura 12.14. Pozo de sondeo ubicado en la Plaza IV. Contexto WIT.T.07.02, tierra gris claro. Vista hacia el sur (Foto de Yessica Tumax).

Debajo de la tierra gris claro se encontró el contexto WIT.T.07.03 que consiste de un relleno de piedrín (piedras de río, lisas). Esta tiene un grosor de aproximadamente 1 m sobre toda la excavación. Se encontró material arqueológico, cerámica y pedernal.



Figura 12.15. Pozo de sondeo ubicado en la Plaza IV. Contexto WIT.T.07.03, relleno de piedrín (piedras de río). Vista hacia el sur (Foto de Yessica Tumax).

Para el siguiente contexto se realizó un pozo de registro de 1m (E-O) x 0.75m (N-S). Se encontró el contexto WIT.T.07.04 que consiste de un relleno de tierra negra bien compactada y dura. Esta tiene un grosor de aproximadamente 0.15 m en todo el pozo de registro.



Figura 12.16. Pozo de sondeo ubicado en la Plaza IV. Contexto WIT.T.07.04, tierra negra bien compactada. Vista desde la superficie (Foto de Yessica Tumax).

Por último se tiene el contexto WIT.T.07.05 donde se encontró la roca madre. Esta es de color crema y muy dura pero se pudo notar que tenía un corte y esto indicaba alguna deformación de la roca. Se encontraba a una profundidad de aproximadamente 2.25 m del datum. Debido a que se dio un derrumbe de las piedras, no se pudo fotografiar y es por esto que no se tiene una foto de la roca madre.

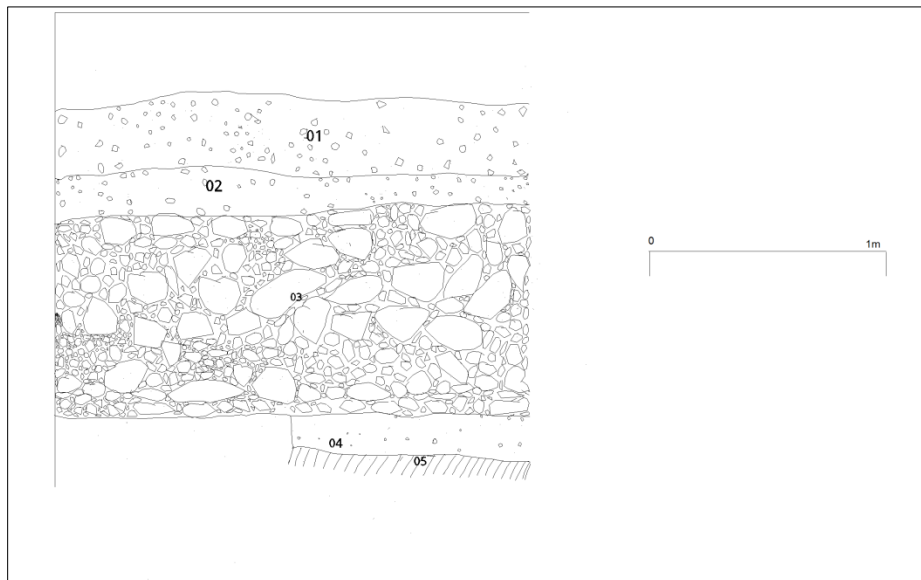


Figura 12.17. Pozo de sondeo ubicado en la Plaza IV. Dibujo del perfil norte (escala 1:1). Estratos de tierra de cada contexto. (Dibujo de Yessica Tumax).

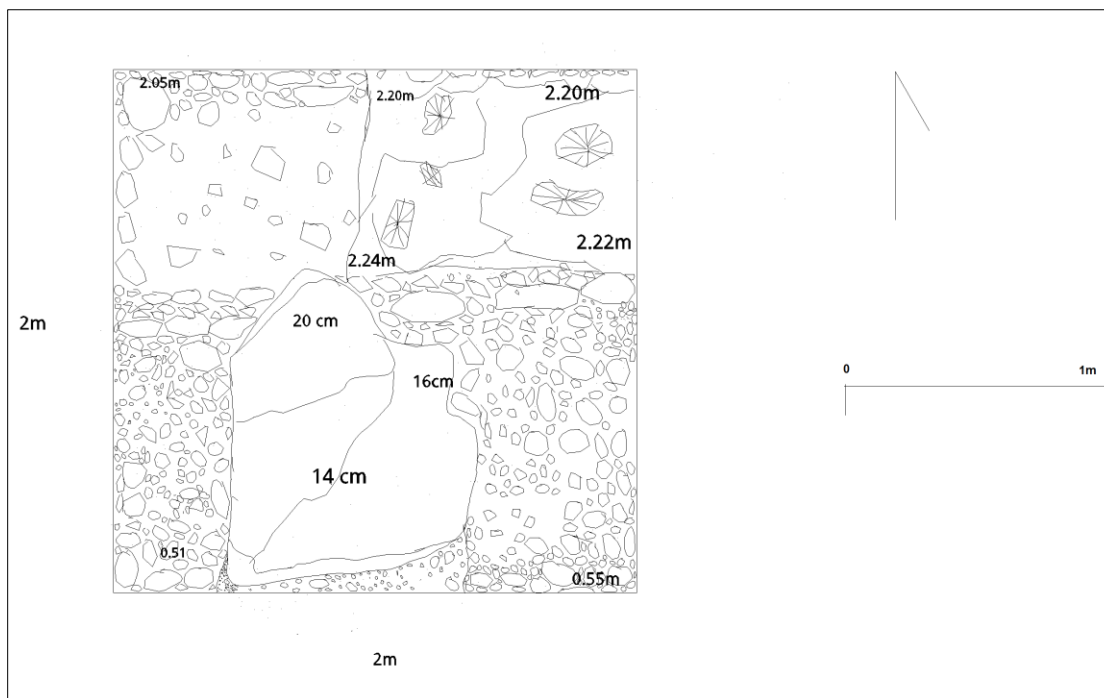


Figura 12.18. Pozo de sondeo ubicado en la Plaza IV. Dibujo de planta (escala 1:1) del contexto WIT.T.07.05, roca madre. (Dibujo de Yessica Tumax).

## CONCLUSIÓN

Se realizó un pozo de sondeo WIT.T.07 de 2m x 2m, ubicado en la Plaza IV. El propósito de la excavación era observar la fase constructiva del lugar. Se pretendía encontrar alguna arquitectura (piso, muro, etc.) o alguna posible ofrenda. También se tenía que excavar para descubrir una pequeña estela que se encontraba dentro de la excavación. Como se mencionó anteriormente en el contexto WIT.T.07.05 (pequeño pozo de registro) se encontró la roca madre que al parecer tenía un corte la cual indica que la roca estaba desnivelado y es por esto que se considera que la tierra negra compactada del contexto WIT.T.07.04 (pozo de registro) es la primera ocupación debido a que también pudo ser utilizada para la nivelación de la roca.

Después de este relleno de tierra negra, estos utilizaron un relleno de piedrín (piedra de río) WIT.T.07.03. Esta pudo ser utilizada para nivelar la segunda ocupación (WIT.T.07.02), tierra gris claro que se considera pudo haber sido la tierra apisonada pero debido a las raíces y los factores naturales esta se deterioró completamente. En cuanto a la Estela, esta es lisa y no estaba completa pero es posible que esta solo fue colocada donde se encontró y no es su lugar de origen. No se encontró ninguna posible ofrenda y la cerámica que se encontró pertenece al periodo clásico temprano. En conclusión, solo se dieron dos ocupaciones.

## EXCAVACIÓN WIT.T.08, POZO DE SONDEO, PLAZA IV, WITZNA’.

### INTRODUCCIÓN

La excavación WIT.T.08 se realizó con el propósito de encontrar alguna fase constructiva, en especial un piso. Esta es una excavación de 2x2 metros del lado este de un altar redondo.

### DESCRIPCIÓN DE LA EXCAVACIÓN

La excavación se inició removiendo el humus, contexto WIT.T.08.01, que es de un grosor de 0.23 m sobre toda la unidad. Esta consiste de tierra color café oscura, tiene una textura granulosa y se pueden observar muchas raíces y un 20% de piedras pequeñas. Debido a que está saliendo el mismo material del contexto WIT.T.07 se interrumpió la excavación. Se obtuvo algunos fragmentos de cerámica.



Figura 12.19. Pozo de registro ubicado al este del altar que se encontró en la Plaza IV. Contexto WIT.T.08.01, humus. Vista hacia el sur (Foto de Yessica Tumax).

### CONCLUSIÓN

Se realizó un pozo de sondeo, WIT.T.08, ubicado en la Plaza IV, al este del altar. El propósito de la excavación fue investigar la arquitectura (piso, muro, etc.) o alguna posible ofrenda. Solo se realizó un contexto WIT.T.08.01, donde se removió la capa de humus y al llegar al cambio de tierra se pudo observar que estaba saliendo muchas piedras pequeñas (de río) y al ver esto se llegó a una conclusión de que se obtendría el mismo material que en el pozo de sondeo WIT.T.07 y es por esto que se suspendió la excavación.

## EXCAVACIÓN WIT.L.21, TRINCHERA DE SAQUEO, ESTRUCTURA 24, WITZNA’

### INTRODUCCIÓN

La excavación WIT.L.21 se realizó con el propósito de investigar las ocupaciones y los rasgos arquitectónicos de la Estructura 24 de la Plaza II. La excavación se realizó en la trinchera de saqueo que se encontraba en el lado sureste de la Estructura. Se observó material de la misma estructura que colapsó debido al saqueo.

## DESCRIPCIÓN DE LA EXCAVACIÓN

Se inicia la excavación removiendo el relleno de colapso que pertenece a la misma Estructura, contexto WIT.L.21.01. Se extrajo bloques de aproximadamente 0.35m (ancho) x 0.45m (largo). Una parte de tierra de color café oscuro y tierra blanca del relleno fue removida para llegar a la superficie. . Al finalizar la limpieza no se encontró algún rasgo arquitectónico como un muro o piso. Se obtuvo algunos fragmentos de cerámica.

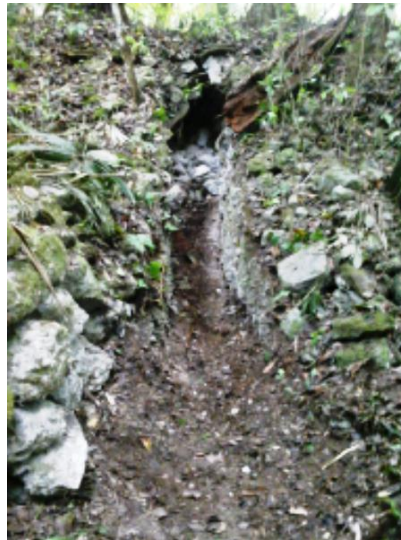


Figura 12.20. Trinchera de saqueo 63 de la Estructura 24, ubicada en la Plaza II. Contexto WIT.L.21.01, relleno de colapso. Vista hacia el oeste (Foto de Yessica Tumax).

Se realizó un pozo de registro de 3.60 x 0.70 metros donde se removió humus, contexto WIT.L.21.02. La tierra es de color café oscuro y tiene un grosor de aproximadamente de 0.35 m sobre toda la excavación. Se pudo observar muchas raíces, y algunas cuantas piedras de caliza de aproximadamente 0.10m de largo por 0.15m de ancho. Durante este contexto no se obtuvo evidencia de algún piso. Se encontró algunos fragmentos de cerámica.



Figura 12.21. Trinchera de saqueo 21 en la Estructura 24, ubicada en la Plaza II. Contexto WIT.L.21.02, humus, tierra café. Vista hacia el oeste (Foto de Yessica Tumax).

Debajo del humus, se encontró el contexto WIT.L.21.03 que consiste de tierra color gris claro y se removieron algunas piedras de caliza de aproximadamente 0.20m x 0.20m. Esta tiene un grosor de aproximadamente 0.70 metros en toda la excavación. Tiene una textura suave, con inclusión de 20% de piedrín. Se pudo observar dos bloques de aproximadamente 0.25m (ancho) x 0.30m (largo), se encontraban alineados de Norte a Sur y hay otro bloque casi destruido en su totalidad. Es posible que esta tierra gris claro sea la última ocupación de la estructura utilizada como tierra apisonada aunque ya se encontraba bien destruido. Se recolectó material arqueológico, en este contexto solo se obtuvo algunos fragmentos de cerámica.

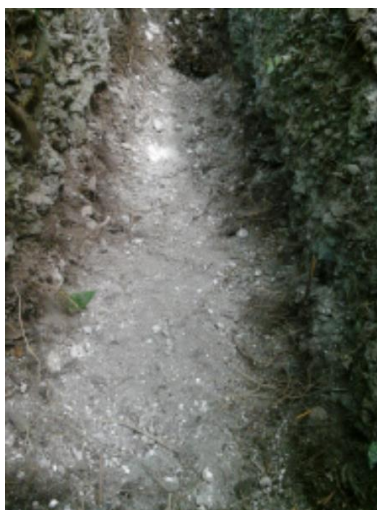


Figura 12.22. Pozo de sondeo en la Trinchera 63 de la Estructura 24, ubicada en la Plaza II. Contexto WIT.L.21.03, tierra gris claro. Vista hacia el oeste (Foto de Yessica Tumax).

Se encontró un nuevo contexto WIT.L.21.04 debido al cambio de tierra de gris claro (WIT.L.21.03) a gris oscuro. Con un grosor de aproximadamente 0.45 metros en toda la excavación. Durante este contexto se obtuvo muchas piedras pequeñas y la tierra es mucha más suave. Se obtuvo fragmentos de cerámica.



Figura 12.23. Pozo de registro en la Trinchera 21 que se encuentra en la Estructura 24, ubicada en la Plaza II. Contexto WIT.L.21.04, Tierra gris oscuro. Vista hacia el oeste (Foto de Yessica Tumax).

Contexto WIT.L.21.05, muro. Se realizó un pozo de registro en el perfil norte de la trinchera debido a que se pudo observar que los bloques encontrados en el contexto WIT.L.21.03 seguían hacia el norte y de igual forma se pudo ver como en el perfil había una hilera de bloques que baja. Este pozo de registro tiene 0.50 metros de ancho de este a oeste y se profundizó para ver la base del muro.



Figura 12.24. Pozo de registro en el perfil norte de la Trinchera 21 que se encuentra en la Estructura 24, ubicada en la Plaza II. Contexto WIT.L.63.05, Muro. Vista del muro (Foto de Yessica Tumax).

Debajo del contexto WIT.L.21.04 se encontró el contexto WIT.L.21.06 que es un relleno de piedrín. Se retiró un 20% de piedras grandes de río (piedras lisas) de un aproximado de 0.25 m (ancho) x 0.30 m (largo), un 35% de piedras medianas de 0.15 m (ancho) x 0.20 m (largo) y también un 45% de piedras pequeñas. El relleno de piedrín tiene un grosor de aproximadamente 1.50 metros en la toda la excavación. Posiblemente fue utilizado como relleno del Contexto WIT.L.21.03 (tierra apisonada, probablemente última ocupación).



Figura 12.25. Pozo de registro en la Trinchera 21 de la Estructura 24 ubicada en la Plaza II. Contexto WIT.L.63.06, relleno de piedrín. Vista desde la superficie (Foto de Yessica Tumax).

Por último se encontró el contexto WIT.L.21.07 que consiste de la roca madre. Esta es de color blanca con algunas grietas y tiene dos cortes, una en el lado este y la segunda en el lado oeste. Desde la superficie se creyó que era una cabeza de algún antro-zoomorfo pero al seguir excavando en los lados se llegó a la base la cual indicaba que era una deformación de la roca. Está a una profundidad de aproximadamente 3.20 m desde el nivel del datum.



Figura 12.26. Pozo de sondeo en la Trincherá 21 de la Estructura 24 ubicada en la Plaza II. Contexto WIT.L.21.07, roca madre. Vista desde la superficie (Foto de Yessica Tumax).

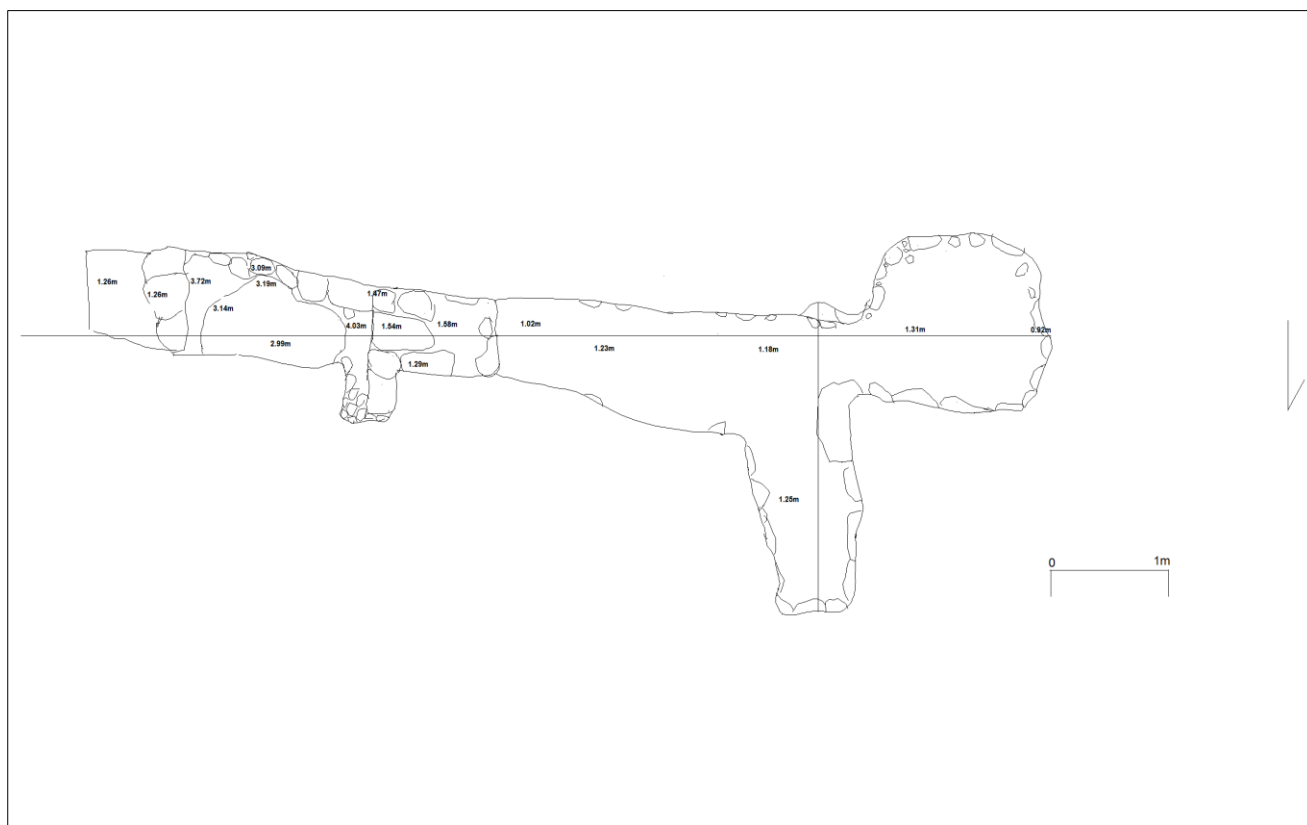


Figura 12.27. Trincherá de saqueo 21 (WIT.L.21) de la Estructura 24, ubicada en la Plaza II. Dibujo de planta (escala 1:1). (Dibujo de Yessica Tumax).

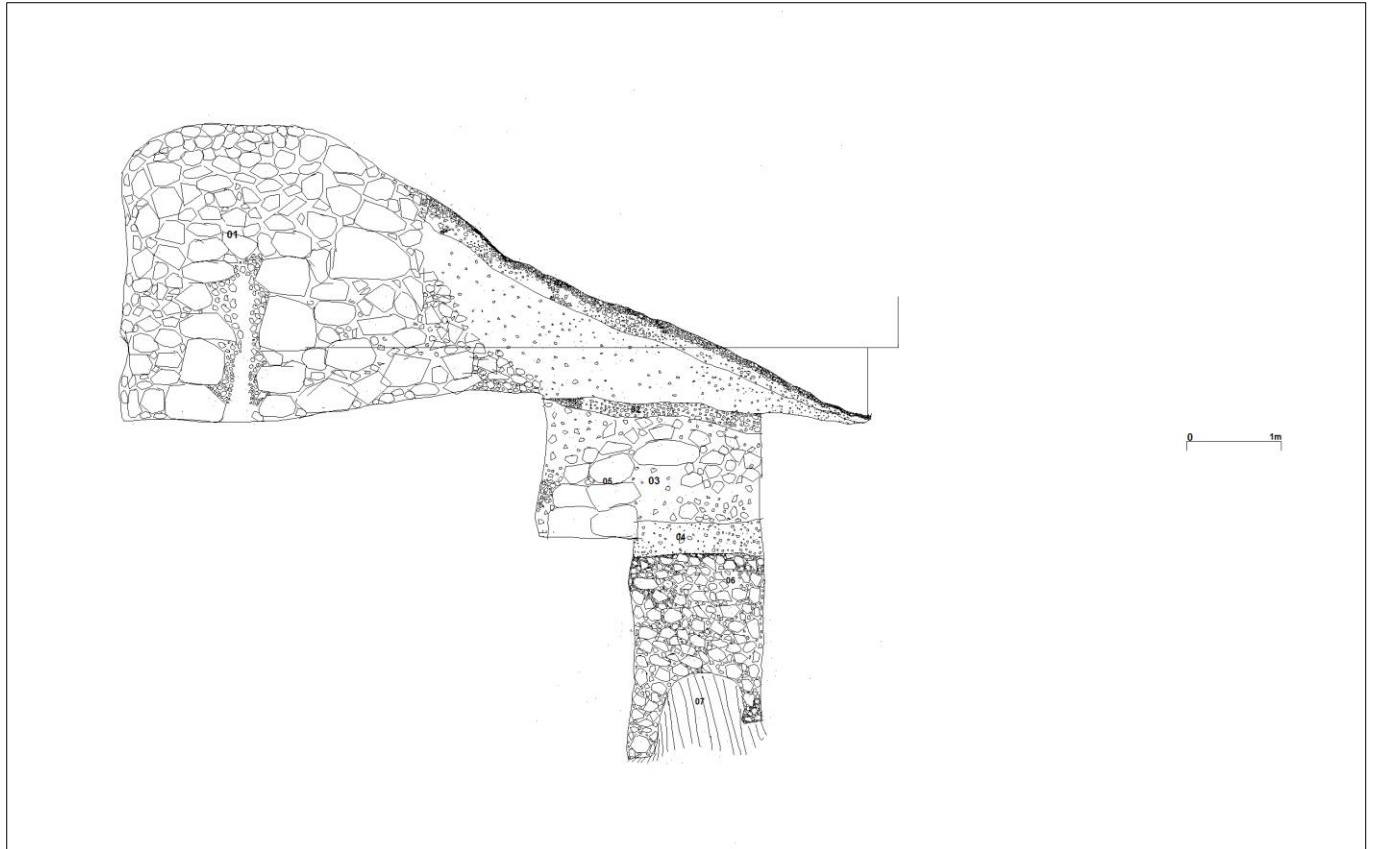


Figura 12.28. Trinchera de saqueo 21 (WIT.L.21) de la Estructura 24, ubicada en la Plaza II Dibujo del Perfil Norte (escala 1:1). (Dibujo de Yessica Tumax).

## CONCLUSIÓN

Se excavó en la trinchera de saqueo 21 (WIT.L.21) de la Estructura 24 ubicada en la Plaza II. El propósito principal de la excavación fue buscar y observar la arquitectura de la estructura. En el contexto WIT.L.21.01 se hizo una limpieza y se removió todo el relleno de colapso que estaba dentro de la trinchera que consistía de bloques y tierra blanca (caliza). Al remover todo esto se pudo observar que no había ningún muro o piso y es por esto que se realizó un pozo de registro para localizarlos. En este pozo de registro se llegó hasta la roca madre que se encontraba a una profundidad de aproximadamente 3.20 m. Se pudo observar que la roca madre tiene una deformación debido a que tiene dos cortes, una en el lado este y otra en el lado oeste.

Luego se localizó el relleno de pedrín WIT.L.21.06 (piedras de río) que posiblemente fue utilizado para la nivelación de la roca madre. Por encima se halló un relleno de tierra gris, WIT.L.21.04 donde se cree se dio una ocupación, la primera en el sitio. En este mismo contexto se localizó una hilera de bloques de caliza la cual seguían hacia el norte que se pensó era una grada. Por encima de la tierra gris claro se encontró el contexto WIT.L.21.02, humus.

Es importante mencionar que se realizó un pequeño pozo de registro WIT.L.21.05 en el perfil norte donde se pudo observar una hilera de tres bloques hacia abajo. Al limpiarlo y definirlo se pudo observar que este era un pequeño muro de cuatro bloques, uno más debajo de los tres ya mencionados. De igual forma se encontraba en el perfil sur. Es así como se llega a la conclusión de que la Estructura 24 tuvo tres fases de ocupación.

## CAPÍTULO 13

### EXCAVACIÓN WIT.T.05, ESTRUCTURA I, PLAZA ESTE, WITZNA'.

*Josué Calvo*  
*Universidad de San Carlos de Guatemala*

#### INTRODUCCIÓN

La excavación WIT.T.05 se realizó con el propósito de localizar el piso de plaza y a partir de este, ubicar las escalinatas de la Estructura I. La excavación es una trinchera de 1 metro de ancho (norte-sur) por 5 metros de largo (este-oeste). Esta trinchera fue excavada frente a la Estructura I, Plaza Este de Witzna'. La Estructura I es la más alta ubicada en la Plaza Este.

#### DESCRIPCIÓN DE LA EXCAVACIÓN WIT.T.05

Se inició despejando el área de residuos de relleno de saqueo, tierra y piedras hasta localizar la capa de humus, contexto WIT.T.05.01, que consiste en una capa de 0.20 m de espesor incrementándose hacia la parte este hasta 1 metro. Consiste de tierra negra mezclada con piedrín, raíces y desechos vegetales. Al remover la capa de humus y hacia el lado este de la excavación se localizó un relleno de piedra suelta y tierra gris, contexto WIT.T.05.02. Se recolectó cerámica de este contexto, al removerlo y observar el corte en el perfil se notó una capa de material apisonado semi destruido en algunas secciones de la excavación pero bien definido en el perfil del Contexto WIT.T.05.03.

A este contexto se encuentra asociado un fragmento de obsidiana, WIT.T.05.03.05.01 el cual se localizó pegado al apisonado, de un espesor aproximado de 0.08 m a lo largo de toda la excavación, compuesto de piedrín blanco y tierra blanca, consistencia semi-compacta, grano fino, se despejó hacia la parte oeste de la excavación, hasta 2 metros, lugar donde fue violentado por saqueadores.



Figura 13.1. Material apisonado semi destruido.



Figura 13.2. Fragmento de obsidiana WIT.T.05.03.05.01.

Se continuó removiendo el contexto WIT.T.05.02 y debajo de este se localizó un relleno compacto compuesto de piedras medianas y pequeñas mezcladas con tierra gris, textura granulosa, contexto WIT.T.05.04 tiene un espesor aproximado de 0.45 m a lo largo de toda la excavación aunque no es una capa uniforme y hacia el lado oeste presenta una mayor profundidad, tiene escasa presencia de material cerámico. Este relleno fue depositado para nivelar la superficie de la roca natural WIT.T.05.05.



Figura 13.3. Roca natural.

Esta roca natural no está nivelada con cortes en la superficie sino rellenada para ganar volumen y altura proporcionando así una plataforma lo suficientemente amplia para asentar la Estructura I.

## CONCLUSIÓN

La excavación de WIT.T.05 permitió conocer la secuencia constructiva del área que se ubica frente a la fachada Este de la Estructura I de la Plaza Este de Witzna'. A una profundidad aproximada de 1.40 metros desde la superficie se localizó la roca natural de la que se aprovechó su forma natural para nivelar el lugar, depositando sobre la misma el relleno WIT.T.05.04 duro y compacto que a su vez sirvió como soporte para depositar el relleno WIT.T.05.02 el cual permitió ganar volumen y altura, sobre este mismo fue construido una capa apisonada de tierra blanca, cal y pedrín (WIT.T.05.03) aunque en muy mal estado de conservación, fue el último depósito constructivo sobre la superficie, antes de asentar sobre la misma la base de la Estructura I de la Plaza Este de Witzna'.

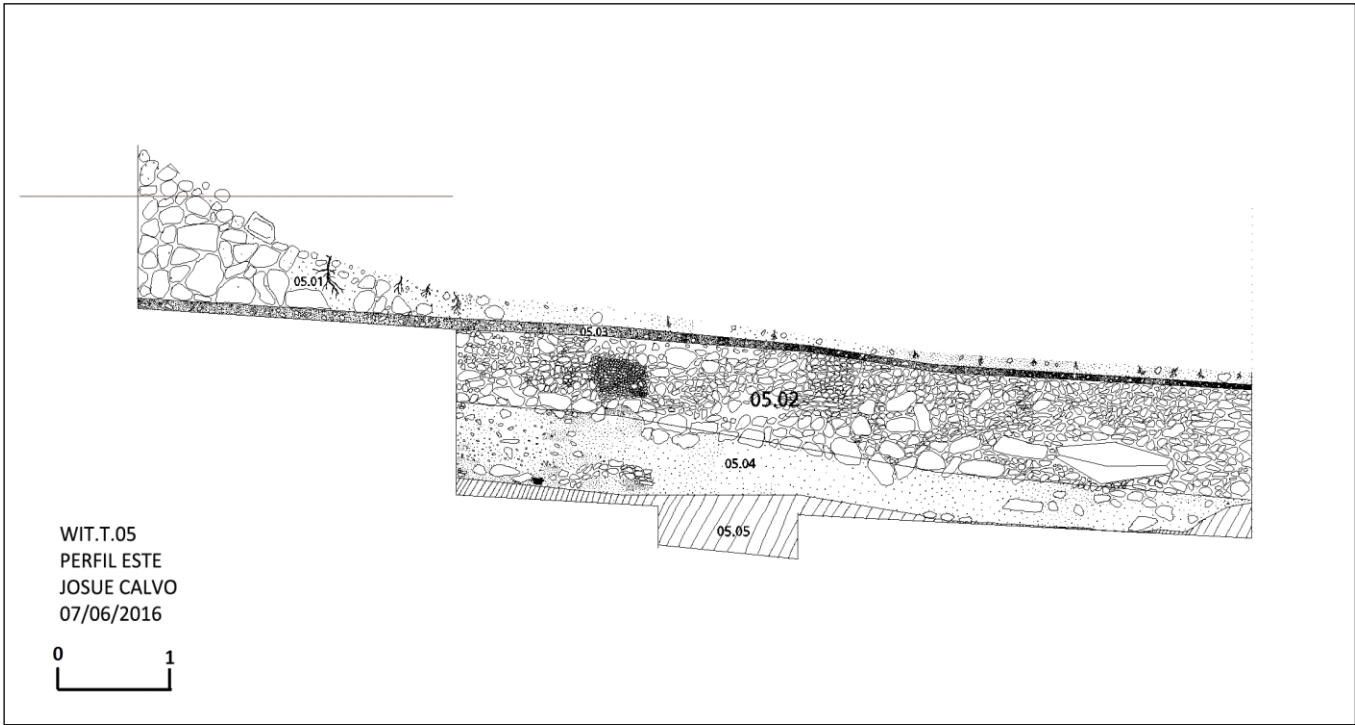


Figura 13.4. Dibujo del perfil este de la Excavación WIT.T.05.

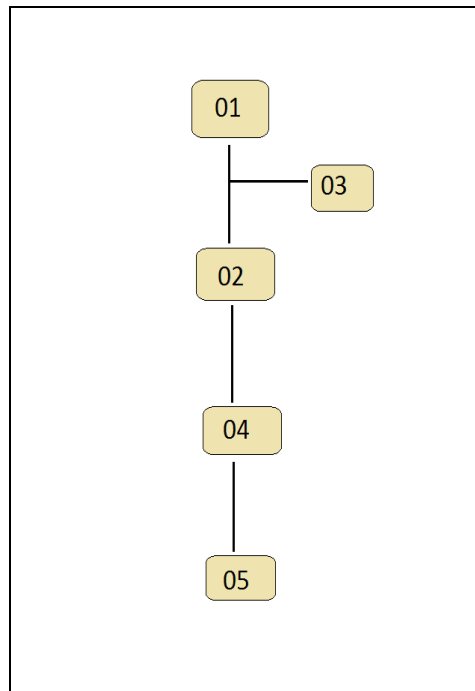


Figura 13.5. Matriz de Harris representando el contexto WIT.T.05.

## EXCAVACIÓN WIT.T.II ESTRUCTURA I, PLAZA ESTE, WITZNA'.

### INTRODUCCIÓN

La Trinchera WIT.T.II se excavó con el propósito de localizar la posible escalinata de la Estructura I y conocer la secuencia constructiva de la misma. La Estructura I es la más alta de la Plaza Este y de todo el sitio de Witzna'. La Trinchera WIT.T.II fue excavada en la cúspide de la estructura con dimensiones de 1 m en el eje norte-sur y de 8 m en el eje este-oeste. La excavación se ubicó desde el centro de la cúspide de la Estructura I hacia la fachada este.

### DESCRIPCIÓN DE LA EXCAVACIÓN

Se inició la excavación delimitando el área y limpiando un agujero de saqueo ubicado en el extremo Oeste de la Trinchera, removiendo el relleno de saqueo, raíces y hojas secas, este agujero se extendió como parte de la Trinchera. Se levantó la capa de humus que es el contexto WIT.T.II.01, de aproximadamente 0.20 m de espesor por toda la excavación, compuesto primordialmente por raíces, materia vegetal en descomposición, pedrín y tierra negra, granulosa, de textura suave. Inmediatamente debajo de WIT.T.II.01 se localizó una capa de empedrado, WIT.T.II.02 la que se extiende por toda la superficie de la excavación, esta fue removida y se localizó un relleno de piedra, WIT.T.II.03 de 0.50 m de espesor, la piedra está mezclada con tierra blanca fina que le sirve de adhesivo, este relleno se encuentra cubriendo un bloque de piedras grandes y segmentos apisonados de cal y tierra blanca fina muy compactada hacia la parte media de la excavación, WIT.T.II.04 sin embargo, hacia el extremo oeste, se observó un muro de piedra laja, WIT.T.II.05 que se extiende 2.0 m. de profundidad, bajo el cual se encuentra una capa de piedras más grandes como base de este muro.

Esta capa de empedrado WIT.T.II.06 tiene 0.30 m. de espesor se encuentra pegada con una mezcla de cal y tierra blanca fina y cubre un apisonado de una mezcla de cal, tierra blanca fina muy compacta WIT.T.II.07 siendo esta la máxima profundidad de la excavación WIT.T.II en el extremo oeste. Hacia el extremo este de la excavación se localizó el muro que limita la cúspide de la Estructura I, WIT.T.II.08 formado con piedra mediana y pegada con cal y tierra blanca granulosa, mide 0.50 de ancho, al limpiar este muro se localizó una grieta que se extiende hacia el extremo oeste hasta el bloque de piedra y estuco WIT.T.II.04; esta grieta WIT.T.II.09 divide dos grandes bloques de cal y tierra blanca fina muy compactos y bordeados con piedras pequeñas, uno hacia el extremo norte WIT.T.II.10 y otro al extremo sur WIT.T.II.11.

### CONCLUSIÓN

La excavación WIT.T.II permitió conocer la composición de la cúspide de la Estructura I de Witzna' y descubrir parte de su arquitectura. A una profundidad de 3.30 m. desde el nivel, se localizó la capa de material apisonado y compacto WIT.T.II.07 sobre el que se depositó una doble capa de piedra grande nivelada WIT.T.II.06 la cual sirvió de base para levantar un muro de 2.0 m. de piedra laja apilada en hileras y pegada con mezcla de cal y arena blanca WIT.T.II.05 y sobre este muro se volvió a depositar una capa de empedrado con piedras de cal grandes WIT.T.II.03 esta comparte el mismo nivel de WIT.T.II.04, bloque de piedra y cal compactada, y entre este bloque y el muro WIT.T.II.08 se excavó la máxima profundidad en el extremo este de la Trinchera WIT.T.II, a 1.48 m. se localizaron dos grandes bloques de material apisonado y nivelado WIT.T.II.10 en el extremo norte y WIT.T.II.11 en el extremo sur de la excavación, ambos bloques separados por una grieta uniforme de 0.08 m. de ancho WIT.T.II.09. Sobre los bloques WIT.T.II.11 y WIT.T.II.10 fue construido el bloque WIT.T.II.04 y posteriormente relleno con una ancha capa de empedrado WIT.T.II.03, la cual fue nivelada en su parte superior y cubierta con una capa uniforme de empedrado WIT.T.II.02, el cual fue el último elemento constructivo depositado en la cima de la Estructura I.

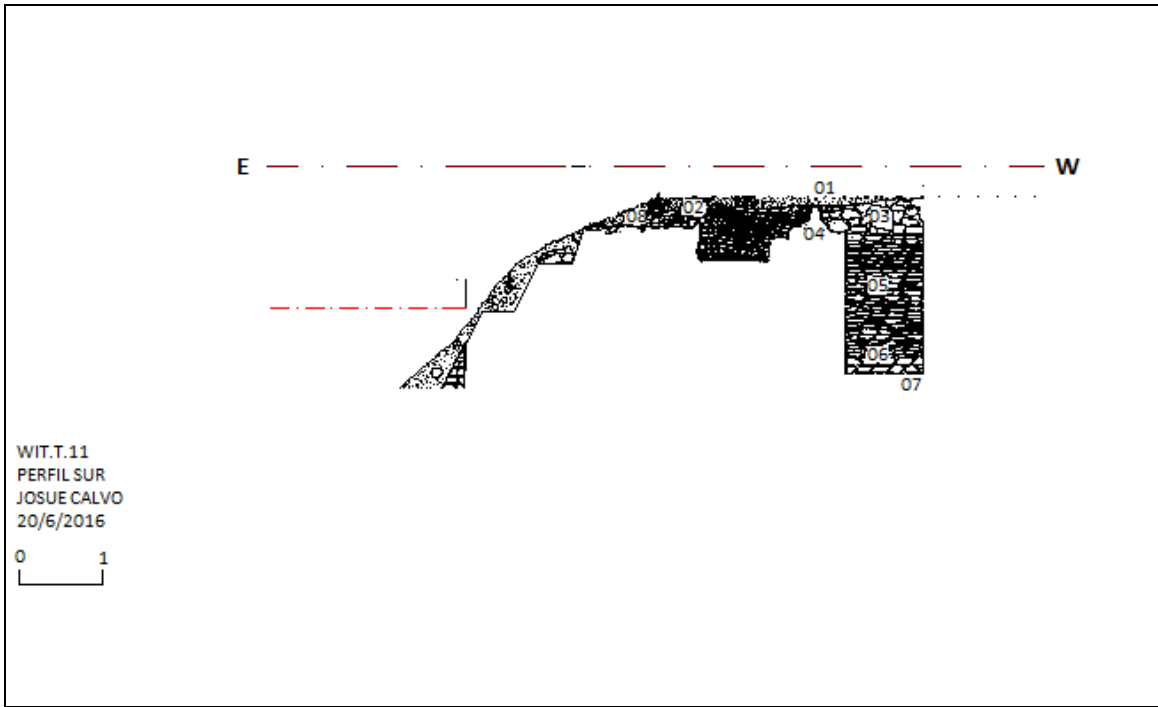


Figura 13.6. Dibujo del perfil sur indicando los contextos visibles en WIT.T.II.

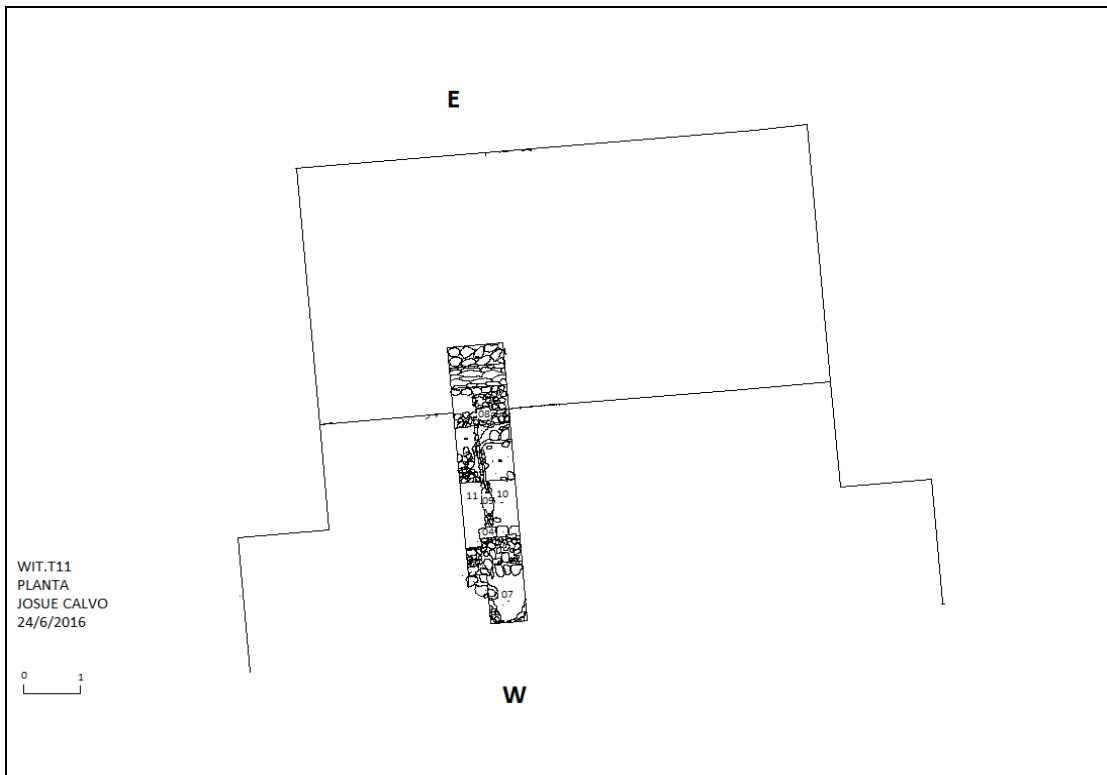


Figura 13.7. Dibujo de planta de WIT.T.II indicando los contextos que pueden apreciarse.

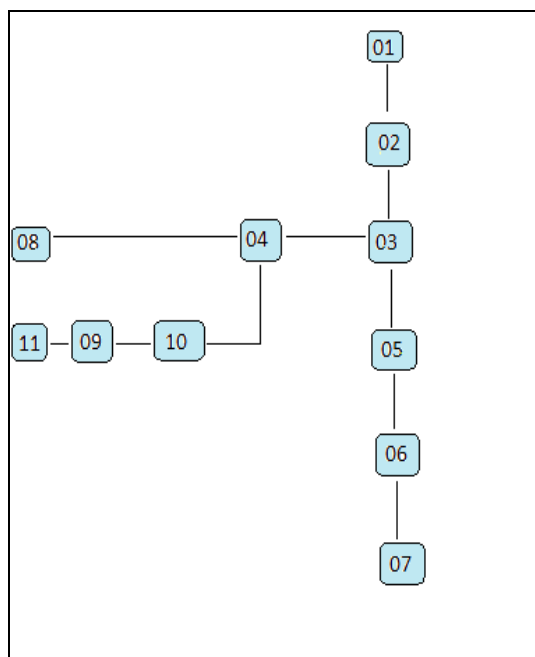


Figura 13.8. Matriz de Harris representando el contexto WIT.T.II.

### TRINCHERA DE SAQUEO WIT.L.23 ESTRUCTURA I, PLAZA ESTE, WITZNA'

Se procedió a limpiar el material colapsado en la trinchera de saqueo WIT.L.23 para conocer la composición arquitectónica y determinar las posibles fases constructivas de la Estructura I de Witzna'. Este túnel fue excavado sobre la fachada este de la estructura a una altura de 18 m desde la base, sus dimensiones son: 1.5 m de altura x 1 m de ancho y se extiende 7.30 m. de profundidad.



Figura 13.9. WIT.L.T.23 Parte de la fachada este de la Estructura I de Witzna' que fue destruida por saqueadores.

## DESCRIPCIÓN DEL CORTE DEL PERFIL SUR DE WIT.L.23.

Se observa en la entrada del túnel una gruesa capa de humus WIT.L.23.01 de 0.60 m. de espesor, conformado de tierra negra suelta y granulosa, raíces, hojas secas y piedras pequeñas, esta cubre un grueso relleno de piedra mediana WIT.L.23.02, pegada con una mezcla de cal, tierra blanca fina y piedrín, este relleno de piedra se extiende horizontalmente hasta que se separa por una grieta WIT.L.23.03, la cual mide 0.08 m. d ancho. Esta grieta separa al relleno de piedra de un muro de contención WIT.L.23.04, el cual se encuentra asentado sobre un relleno de grandes piedras niveladas WIT.L.23.05. El muro WIT.L.23.04 contiene un relleno de piedras medianas pegadas sin orden aparente WIT.L.23.06 y bajo este relleno se aprecia una franja de material apisonado, de 0.20 m. de espesor, muy bien compactado, formado de cal, arena blanca y piedrín WIT.L.23.07, el que se extiende desde un muro WIT.L.23.08, el cual se ubica atrás del relleno WIT.L.23.05 pero se separa del mismo por una grieta WIT.L.23.09 la cual fue localizada en la base del muro WIT.L.23.08.

El apisonado WIT.L.23.07 parte desde el muro WIT.L.23.08 y se extiende en dirección este, pero antes de alcanzar el muro de contención WIT.L.23.04 forma un ángulo agudo y toma dirección inversa (Oeste) y se extiende por 6 metros hasta alcanzar otro muro WIT.L.23.15. En su trayectoria horizontal, el apisonado WIT.L.23.07 cubre un relleno de piedra pegada WIT.L.23.12 el cual está contenido entre los muros WIT.L.23.08 y WIT.L.23.15. En la parte superior del apisonado se observa un segmento de muro WIT.L.23.10 de 0.40 m. de ancho y de altura no determinada, del cual parte una nueva franja de material apisonado WIT.L.23.11, el cual se extiende nuevamente de forma horizontal y en dirección este. El segmento de muro WIT.L.23.10 contiene un relleno de piedra pegada WIT.L.23.13, el cual se extiende igualmente hasta el muro WIT.L.23.15, del cual se separa por la grieta WIT.L.23.14. El muro WIT.L.23.15 contiene un relleno WIT.L.23.16 que es el límite del túnel de saqueo y a partir de este ya no se continuó excavando.

## CONCLUSIÓN

Se pudo establecer que todos los rasgos arquitectónicos se realizaron en una misma fase constructiva, construyendo muros como WIT.L.23.15 el cual contiene un relleno WIT.L.23.16, pero al mismo tiempo sirvió de base para colocar el material apisonado WIT.L.23.07 y este a su vez sirvió para cubrir los rellenos WIT.L.23.12 y WIT.L.23.05 pero al mismo tiempo unir los muros WIT.L.23.15 y WIT.L.23.08 entre sí. Mientras que los muros WIT.L.23.10 y WIT.L.23.04 están unidos por medio del apisonado WIT.L.23.11 todo esto cubierto por el relleno WIT.L.23.02 que es la parte que se encuentra cubierta por la capa de humus WIT.L.23.01 visible en la superficie de la fachada este de la Estructura I.

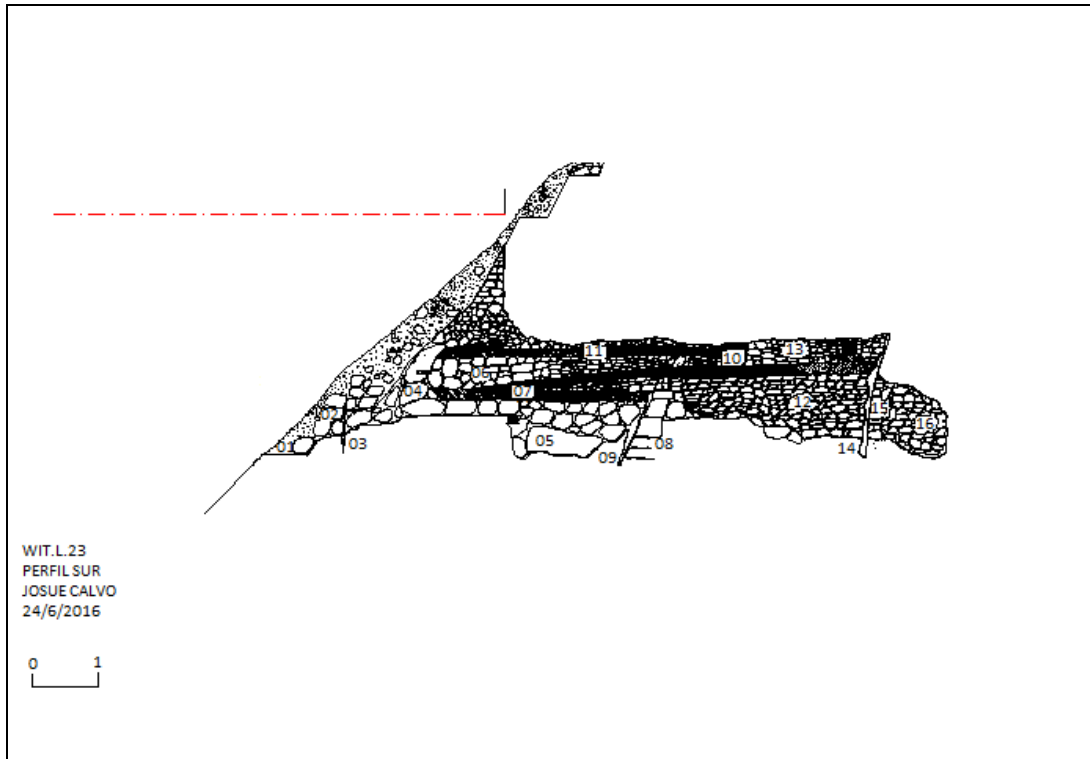


Figura 13.10. Perfil sur de WIT.L.23 indicando los contextos que se pudieron distinguir durante la limpieza de este túnel de saqueo.

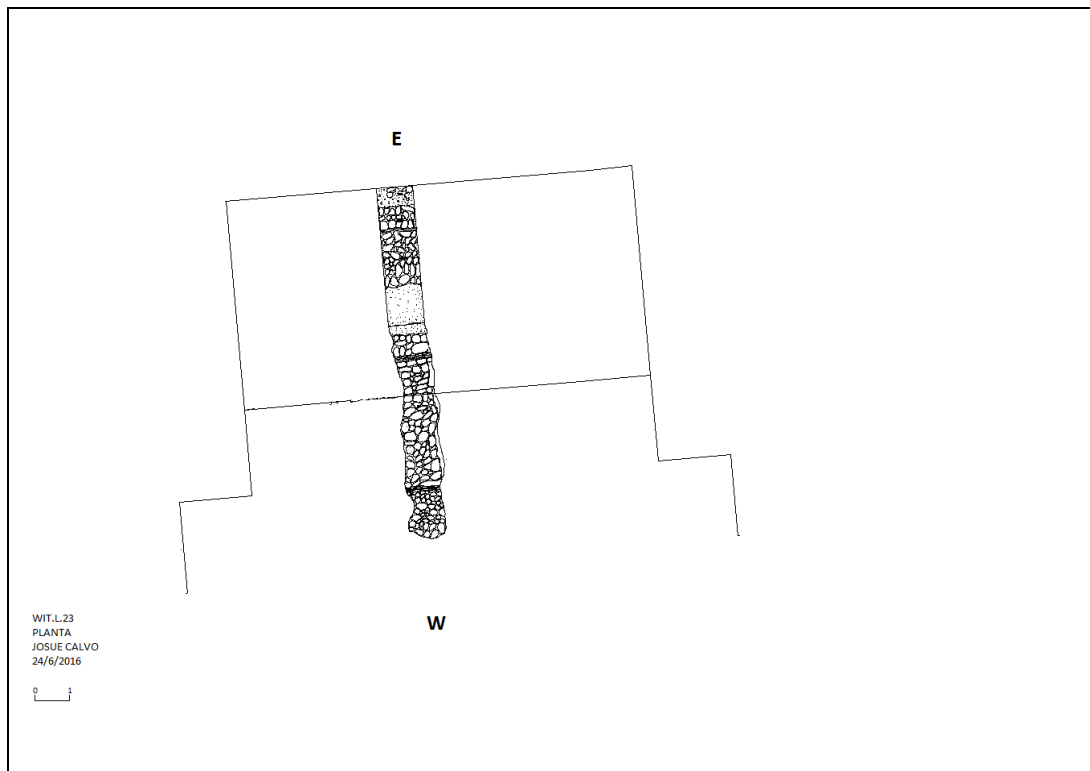


Figura 13.11. Dibujo de planta de WIT.L.23.

## TRINCHERA DE SAQUEO WIT.L.17 ESTRUCTURA I, PLAZA ESTE WITZNA'

### INTRODUCCIÓN

Esta trinchera de saqueo se constituye como la más grande excavada en la Estructura I de Witzna', se localiza sobre la fachada oeste, tiene una profundidad máxima de 21 m. desde la cúspide de la Estructura su ancho varía entre 1 y 2 metros en su eje longitudinal. Gran parte del material removido ha colapsado debido a las inclemencias del tiempo y se ha acumulado en el fondo. Dentro de esta trinchera WIT.L.17 se realizó un registro en el perfil norte, del cual no se recuperó ningún material, solo se observaron los rasgos arquitectónicos presentes en el resto de la estructura, es decir, los muros que contienen relleno para ir ganando volumen y altura.

### DESCRIPCIÓN DE LA TRINCHERA

Debido a sus dimensiones solo fue posible despejar la mayor parte de escombros y descubrir la forma de la trinchera, así solo se obtuvo el corte de la misma en uno de los perfiles para unificar el dibujo total de la estructura, estableciendo el daño causado por el saqueo.

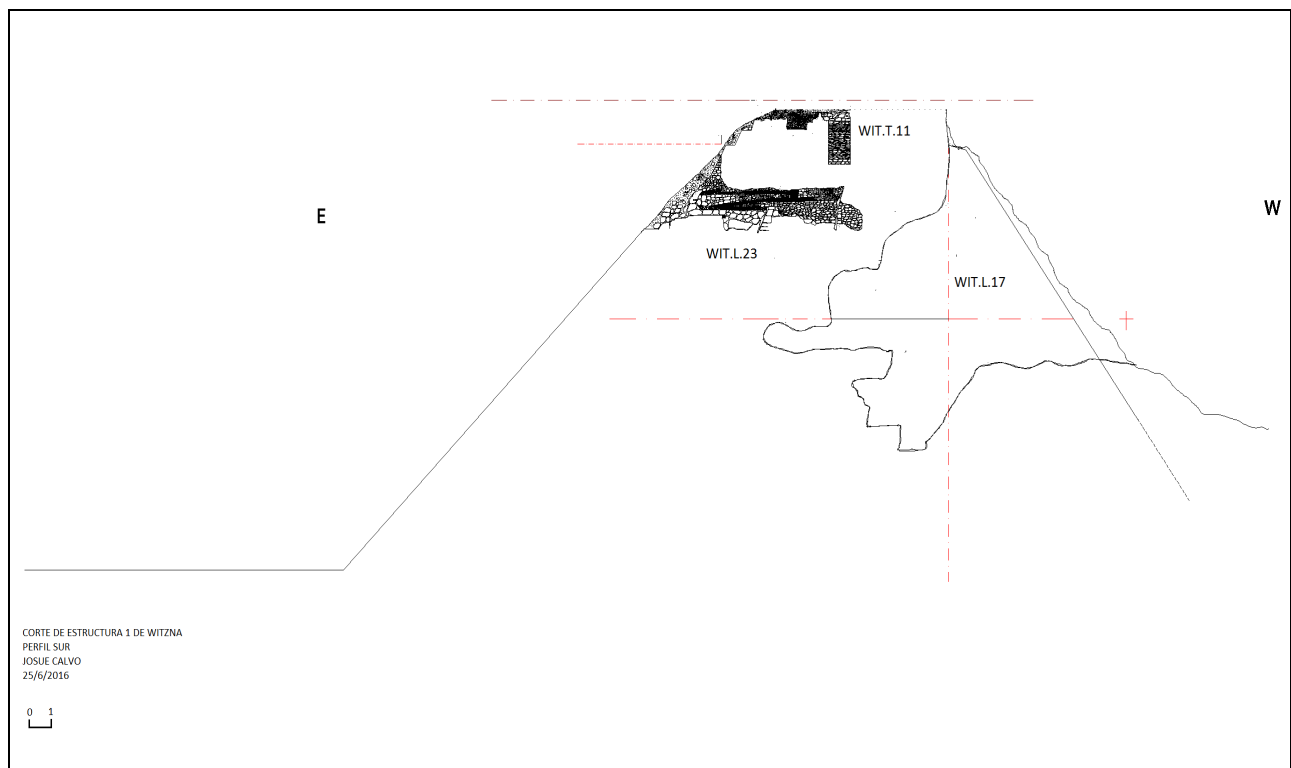


Figura 13.12. Dibujo unificado de Perfiles, incluyendo el corte de WIT.L.17.

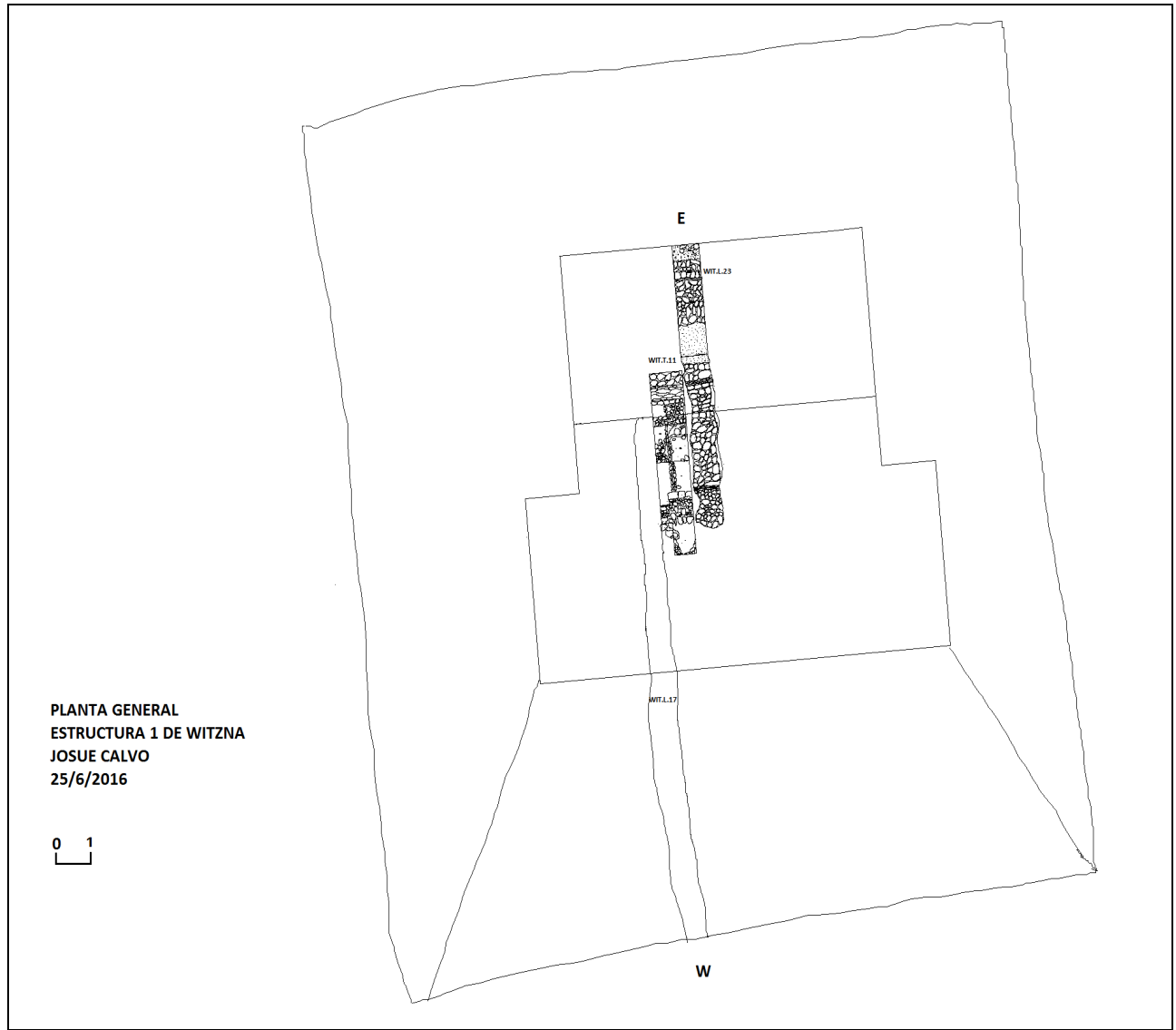


Figura 13.13. Planta general de la Estructura I de Witzna'.

# ANEXO: Listado de piezas arqueológicas temporada Holmul 2016

HOL.T.98.04.02.02	cuenco policromo	Edificio A, Grupo II	
HOL.T.98.04.02.02	cuenco policromo	Edificio A, Grupo II	
HOL.T.98.04.02.03	cuenco policromo	Edificio A, Grupo II	
HOL.T.98.04.02.04	fuelle policroma	Edificio A, Grupo II	
HOL.T.98.04.02.05	cuenco negro (fragmentado)	Edificio A, Grupo II	

HOL.T.98.04.06.01	pectoral piedra verde	Edificio A, Grupo II	
HOL.T.98.04.06.02	cuenta redonda de piedra verde	Edificio A, Grupo II	
HOL.T.98.04.06.03	cuenta conica piedra verde	Edificio A, Grupo II	
WIT.L12.07.10.1-24	pendientes de concha spondylus	Witzna, L12	
WIT.L12.07.10.25-26	dos fragmentos de concha	Witzna, L12	
WIT.L12.07.06.01	orejera piedra verde	Witzna, L12	

WIT.L12.07.05.01	navaja de obsidiana	Witzna, L12	
WIT.L12.07.04.01	eccentrico de pedernal	Witzna, L12	
WIT.L12.07.14.01	fragmentos de pirita	Witzna, L12	
WIT.L12.09.04.01-09	nueve eccentricos de pedernal	Witzna, L12	
WIT.L03.07.10.01	pendiente de concha (Oliva)	Witzna, Estr. 9	
WIT.L03.07.05.01.02.03	tres fragmentos de obsidiana	Witzna, Estr. 9	

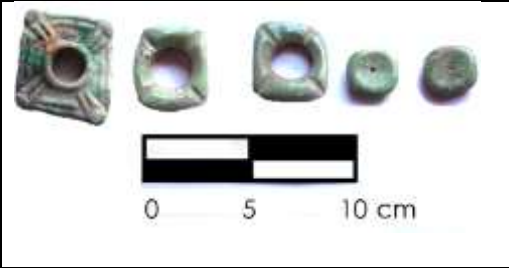
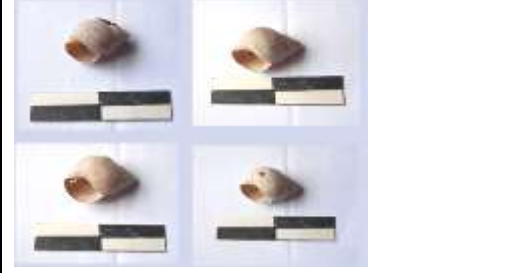
WIT.L.03.08.04.01.02.03	tres bifaciales de pedernal	Witzna, Estr. 9	
WIT.L.05.04.04.01.02	dos bifaciales de pedernal	Witzna, Estr. 8	
WIT.L.05.06.05.01	fragmentos de obsidiana	Witzna, Estr. 8	
WIT. T.10.02.04.01.02.03	tres fragmentos de bifacial de pedernal	Witzna, Estr. 23	
WIT.T.10.03.05.01.02.03	tres fragmentos de obsidiana	Witzna, Estr. 23	
WIT.T.10.03.03.01	fragmento figurilla ceramica	Witzna, Estr. 23	

WIT.T.10.04.03.01	fragmento figurilla ceramica	Witzna, Estr. 23	
WIT.L.16.09.04.01	plato naranja fragmentado	Witzna, Estr. 2	
WIT.L.16.09.04.02	plato naranja fragmentado	Witzna, Estr. 2	
WIT.L.16.09.04.01-07	siete eccentricos de obsidiana	Witzna, Estr. 2	
WIT.L.16.13.03.11	fragmento de plato incompleto	Witzna, Estr. 2	
WIT.L.16.13.03.12	fragmento de plato incompleto	Witzna, Estr. 2	

WIT.L.16.13.03.13	fragmento de plato incompleto	Witzna, Estr. 2	
WIT.T.05.03.05.01	fragmento de navaja de obsidiana	Witzna, Estr. 1	
HOL.T.100.03.02.01	vasija policroma	Ruina X, Holmul	
HOL.T.100.03.02.02	vasija policroma	Ruina X, Holmul	
HOL.T.100.03.02.03	vasija policroma	Ruina X, Holmul	
HOL.T.100.03.02.04	vasija policroma	Ruina X, Holmul	

HOL.T.100.03.02.05	vasija policroma	Ruina X, Holmul	
HOL.T.100.03.10.01	vasija policroma	Ruina X, Holmul	
HOL.T.100.03.06	vasija policroma	Ruina X, Holmul	
HOL.T.100.03.07	vasija policroma	Ruina X, Holmul	
HOL.T.100.03.08	vasija policroma	Ruina X, Holmul	
HOL.T.100.03.09	vasija policroma	Ruina X, Holmul	

HOL.T.93.06.02.04	vasija policroma	Edificio D, Grupo I	
HOL.T.93.06.02.01	vasija policroma	Edificio D, Grupo I	
HOL.T.93.06.02.02	vasija policroma	Edificio D, Grupo I	
HOL.T.93.06.02.03	vasija policroma	Edificio D, Grupo I	
HOL.T.93.06.02.01	pendiente piedra verde	Edificio D, Grupo I	
HOL.T.93.06.06.01	pendiente piedra verde	Edificio D, Grupo I	

<p>HOL.T.93.06.06.03-7</p>	<p>orejera piedra verde</p>	<p>Edificio D, Grupo I</p>	
<p>HOL.T.93.27.06.10.01</p>	<p>pendiente piedra verde</p>	<p>Edificio D, Grupo I</p>	
<p>HOL.T.93.27.06.02-03</p>	<p>orejera piedra verde</p>	<p>Edificio D, Grupo I</p>	
<p>HOL.T.93.27.06.04</p>	<p>orejera piedra verde</p>	<p>Edificio D, Grupo I</p>	
<p>HOL.T.93.27.10.06</p>	<p>concha Spondylus</p>	<p>Edificio D, Grupo I</p>	
<p>HOL.T.93.27.10.01-04</p>	<p>caracoles del genero Pachchilus</p>	<p>Edificio D, Grupo I</p>	

HOL.T.93.27.02.01	vaso cilindrico Naranja acanalado	Edificio D, Grupo I	
HOL.T.93.27.02.02	vaso cilindrico	Edificio D, Grupo I	
HOL.T.93.27.02.03	cuenco policromo	Edificio D, Grupo I	
HOL.T.93.27.02.04	fuente policroma	Edificio D, Grupo I	
HOL.T.93.27.02.05	cuenco policromo	Edificio D, Grupo I	